

Н.С. БИБУТОВ

# МАТЕРИАЛЛАР ҚАРШИЛИГИ АСОСЛАРИ

*Ўзбекистон Республикаси Олий ва ўрта маҳсус таълим вазирлиги томонидан олий ўқув юртлари талабалари учун дарслик сифатида тавсия этилган*

«Минҳож» нашриёти  
ТОШКЕНТ — 2003

30.121

Б 66

Тақримчилар: Бухоро озиқ-овқат ва енгил саноат технологияси институти доценти **Д.Ш. Базарбаев**; Тошкент Давлат Техника Университети доценти **А. Ваҳобов**.

Материаллар қаршилиги конструкция элементларини мустахкамликка, бикримка ва устуворликка муҳандисча ҳисоблаш асосларини ташкил этувчи фан бўлиб, материалларни физик-механик хоссалари, ҷўзлиши ва сиқилиш, силжиш, буралаш, эгилиш, мураккаб қаршилиқда на эгри стерженлардаги кучланиш ва деформациялар ўрганилади.

Китобда материаллар қаршилигидаги масалаларни очиш услуги келтирилган, назарий матнни қисқартириш эказига очилаётган масалаларнинг сони купайтирилди.

Дарслик қурилиш, транспорт ва машинасозлик мутахассислиги бўйича таълим олаётган бакалаврлар учун мўлжалланган.

Наука о сопротивлении материалов является основой всех инженерных расчетов на прочность, жесткость, и устойчивость элементов конструкций.

В книге изучаются физико-механические свойства материалов, напряжения и деформации при растяжении, сдвиге, кручении, изгибе и при сложном сопротивлении прямых и кривых стержней.

Изучаются законы устойчивости элементов конструкций, а также поведение материалов при действии динамических и переменных нагрузок.

В книге рассматривается методика решения задач по сопротивлению материалов, удалось сократить теоретический материал и увеличить количество примеров решения задач.

Книга предназначена для очных и заочных бакалавров строительных, транспортных и машиностроительных специальностей.

Science about strength of materials is a basis of all engineer calculation for durability, hardness and sturdiness of elements of constructions.

The book deals with physical and mechanical properties of the materials, strain and deformation on tension, displacement, bend and on complicated strength of straight and curved rod.

Laws of sturdiness of the elements of constructions, and conduct of materials on the action of dynamical and variable loads are studied as well.

Method of solution of tasks on strength of materials is also considered in the book.

We managed to shorten theoretical material and increase the number of examples of tasks solution.

The book is intended for the bachelors of day time and extramural departments on the specialities of construction, transport and machine-building.

**ББК 30.121 я73**

© Н. С. Бибутов. «Минҳож» нашриёти, 2003 й.

## **СЎЗ БОШИ**

Халқнинг бой интеллектуал мероси ва умумбашарий қадриятлар асосида замонавий маданият, иқтисодиёт, фантехника ва технологияларнинг ютуқлари асосида кадрлар тайёрлашнинг мукаммал тизимини шакллантириш Ўзбекистон тараққиётининг муҳим шаклидир, дейилган Кадрлар тайёрлаш миллый дастурида. Бу юксак вазифани амалга ошириш учун ёшларни ҳар томонлама баркамол қилиб тарбиялаш, жаҳон андозалари талабига мос равишда билимли мутахассислар тайёрлаш мақсадга мувофиқдир.

Ўзбекистон Республикаси Вазирлар Маҳкамасининг 1998 йил 24 февралдаги "Академик лицейлар ва касб-хунар колледжларини ташкил этиш ва уларнинг фаолиятини бошқариш тўғрисида"ти 77-сонли Қарорида Бухоро озиқ-овқат ва енгил саноат технологияси институти касб-хунар колледжлари учун малакали муҳандис-педагог кадрлар тайёрлаш бўйича таянч олий таълим муассасаси қилиб белгиланиши билан бир қаторда Ўзбекистон Давлат стандартига мос замонавий дарсликлар тузиш, ўқиши ва ўқитиш ишларида янгича ёндашув бўлиши зарурлиги ҳам белгилаб берилди.

"Материаллар қаршилиги асослари" тўплами қурилиш, қишлоқ хўжалигини механизациялаш, машинасозлик йўналишларида бакалаврлар тайёрлайдиган олий ўқув юртларининг талабалари учун дарслик сифатида ёзилган.

"Материаллар қаршилиги асослари" дарслигига маърузаларни мустаҳкамлаш учун ҳар бир бобдан кейин масалаларнинг ечими келтирилган. Дарсликни ёзишда ўзбек ва рус тилиларидаги мавжуд адабиётлардан [1, 2, 3, 4, 5, 6, 7] фойдаланилди.

Ушбу дарсликни ёзишда ўзларининг қимматли маслаҳатларини берган Бухоро озиқ-овқат ва енгил саноат технологияси институти "Механика" кафедрасининг мудири профессор М.М. Муродовга ва Тошкент Давлат Техника Университети "Назарий механика ва машина деталлари" кафедрасининг мудири техника фанлари доктори Ш. Шообидовга муаллиф ўз миннатдорчилигини билдиради. Таалabalар таълим олаётган мутахассислигига боғлиқ ҳолда айрим мавзулар ёки боблар қисқартирилган ҳажмда ўрганилиши мумкин.

## К И Р И Ш

Ҳозирги замон машинасозлик саноати мұраккаб ҳаракат құлувчи, катта қувватли, тезюарар ҳамда юқори сифатлы, еңгіл конструкциялы машина ва механизмларни яратмоқда.

Машина ва иншоотни лойиҳалашда асосий әထибор унинг барча қисмлари ташқи күч ва бошқа факторлар (харорат, юқори босим, катта деформация тезлигі ва ҳ.к.) таъсирида ўз шаклини ва хусусиятини, яъни мустаҳкамлигини таъминлашға қаратилиши зарур.

Мустаҳкамликтен таъминлашда машина ёки иншоот қисмдердегі материали ва кесимини танлаш асосий роль ўйнайды. Күпинча мустаҳкамликтен ошириш учун элементтің оғирлигінде күтіледі. Бу ҳолатда ортиқча материал сарфланады ҳамда тежамкорлық жиһатдан ноқулады. Машина ёки иншоот қисмдарини ишлаш жараёнига күра мустаҳкамликтен турлича бўлиши мумкин. Масалан, кўп ҳолларда мустаҳкамлик — реал шароитда — узоқ муддатда элементтің геометрик ўлчами ёки шаклини ўзгартираслигини таъминлашға қаратилса, айрим ҳолларда катта күч таъсирида элементтарнинг шаклини бир ҳолатдан иккинчи ҳолатга ва яна қайтиб бошланғич ҳолатга ўтишини таъминлашға қаратилади. Масалан, машиналарнинг рессорлари, пружиналар ва ҳ.к.

Машина ва иншоот қисмлари айрим ҳолатларда мустаҳкамлигини йўқотиш натижасида эмас, балки шаклини ўзгартириши натижасида емирилиши мумкин. Масалан, ингичка ва узун стержень сиқувчи күч таъсирида ўз шаклини ўзгартиради, яъни стержень түғри чизикли ҳолатини йўқотади. Агар күч аста-секин ўсиб борса, сиқувчи күчни қайсиadir қийматида стерженнинг шакли эгри чизик-

лигича қолади ёки стержень емирилади. Умуман, сиқувчи күч таъсирида стержень шаклини ўзгартириш жараёни — стержень устуверлигининг йўқотилиши, дейилади. Демак, стерженлар устуверлигини йўқотиши натижасида ҳам емирилиши мумкин экан.

Иншоот ва машина қисмларининг шакли ёки геометрик ўлчами ўзгармаслигини (мустаҳкамлигини ҳисобга олиб) таъминлаш учун унинг бикрлигини ошириш керак. Бикрлик — деформацияланишга мойил эмас, деган маънени билдириб, материалнинг физик-механик хоссасига боғлиқдир.

Демак, **материаллар қаршилиги машина ва иншоот қисмларининг мустаҳкамлигини, устуверлигини ва бикрлигини ҳисоблаш усулларини ўргатувчи фандир**.

Материаллар қаршилиги мустаҳкамлик, устуверлик ва бикрликни элементларнинг деформациясига боғлаб ўрганади. Бу масалалар билан қаттиқ жисмлар механикаси фанининг эластиклик назарияси, пластиклик назарияси, қурилиш механикаси ва ҳ.к. сингари соҳалари ҳам шугулланади. Материаллар қаршилиги бошқа фанлардан ўзининг амалийлиги билан фарқ қиласи, яъни конструкция қисми ташқи кучга бардош берадими-йўқми, мустаҳкамлиги етарлими, бикрлик даражаси қанчалигини фақат назарияда эмас, балки амалиётда, тажрибада синааб кўради. Материаллар қаршилигининг ҳисоблаш ва амалий усуллари математика, физика, кимё, назарий механика, материалшунослик ва шу сингари бир қанча фанларнинг тараққиёти билан боғлиқ равишда жадал ривожланмоқда.

## МАТЕРИАЛЛАР ҚАРШИЛИГИ ФАНИНИНГ РИВОЖЛАНИШИ ТАРИХИ ТҮФРИСИДА ҚИСҚАЧА МАЪЛУМОТ

Материаллар қаршилиги фанининг тарихий тараққиётида асосий ўринлардан бирини итальян олимни Г. Галилей (1564—1642) эгаллайди. У дастлаб стерженларнинг қаршилик кўрсата олишини баҳолаш аналитик равишда ҳисобланиши зарурлигини кўрсатди. Материаллар қаршилиги

тұғрисидаги биринчи китобни ҳам Галилей 1638 йилда нашр еттирган.

Күпгина оддий күринишдаги деталлар ва механизmlар, қурилиш иншоотлари Үрта Осиё олимлари томонидан яратылған. Айникса буюқ олим Абдул Аббос Ахмад ибн Мұхаммад Қасир ал-Фарғоний (788 йилда туғилған) томонидан яратылған механик календарь, бурчакларни ўлчаш ва бошқа асбоблар; Абу Али ал-Хусайн ибн Абдуллоҳ ибн Синонинг (980—1087) «Ақл мезони» асарыда механикадаги оддий системалар, яғни ричаглар, блоклар, поғоналардан тузилған механизмларнинг ишлаш принциплари баён қилинған; Абу Юсуф ал-Хоразмий (Х аср)нинг «Илмларнинг калити», И smoил ал-Жазоирнинг (XII—XIII аср) «Мұхандислик механикасини билиш» китoblари зытиборга сазовордир.

Р. Гук (1635—1703) чўзувчи куч билан узайиш орасидаги пропорционал боғланишни 1676 йилда аниқлади. Бу боғланиш Гук қонуни деб аталади.

Швейцарияда туғилған рус олими Л. Эйлер (1707—1783) уступорлик ва эластиклик назариялари ривожига ўз хиссасини қўшиди.

Француз олими Ш. Кулон (1736—1806) эластик жисмларни текшириш, балкаларнинг эгилиши, колонналарнинг сиқилиши, буралиш, буралишдаги тебранишлар бўйича иш олиб борди.

Француз олими Л. Навье (1785—1836) эластиклик назарияси ҳамда биринчи бўлиб статик аниқмас масалалар, бўйлама ва кўндаланг эгилиш бўйича ҳисобларга оид тажриба ишларини олиб борган.

Француз олими Ж. Понселе (1788—1867) материалларни текшириш, динамик кучлар учун чўзилиш диаграммасини, ўзгарувчан кучлар учун материалларнинг емрилиш даражасини аниқлади.

Инглиз олими Т. Юнг (1773—1829) эластиклик модули, марказлашмаган чўзилиш-сиқилиш ва зарб таъсири масалалари устида иш олиб борган.

Француз инженери Барре Де сен-Венан (1797—1886) эса биринчи бўлиб инженерлик масалаларини ҳал этиш-

да эластиклик назариясининг аҳамиятини кўрсатди ва эгри брусларга оид тажрибалар олиб борди.

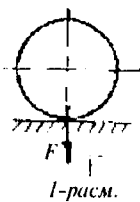
Материаллар қаршилиги бўйича рус тилида ёзилган биринчи дарслик 1774 йилда С. Котельников томонидан яратилди.

Материаллар қаршилигини ривожлантиришда Д. Журавский (1821—1891), Ф. Ясинский (1856—1899), Н. Беляев (1890—1944) ларнинг ҳам ҳиссаси каттадир.

«Материаллар қаршилиги» фанидан ўзбек тилида биринчи дарслик 1973 йилда М.Т. Ўрозбоев томонидан чоп этилди.

Кейинги йилларда материаллар қаршилиги соҳасида иирик тадқиқот ва тажрибалар олиб бораётган олимлар сафига А.А. Илюшин, Э.И. Григорьев, В. Федосьев, В. Болотин, В. Писаренко, В. Качурин, Х. Рахматуллин, М. Ўрозбоев, К. Мансуров, С. Йўлдошев ва бошқаларни киритиши мумкин.

## КУЧ ВА КУЧ ТУРЛАРИ

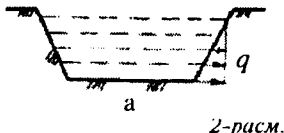


Иншоот ва машина қисмларига таъсир қилувчи кучлар ёки қўйилган юклар ташқи куч бўлади. Ташқи кучлар актив ва реактив кучларга бўлинади. **Актив кучлар** — юк, деб юритилади. Ташқи куч элементларга қўйилиши жиҳатидан тўпланма ёки тақсимланган кучларга бўлинади. Агар юкнинг қўйилиш ўлчамлар конструкция элементи ўлчамларидан жуда кичик бўлса — бундай куч тўпланма куч деб юритилади. Масалан: вагон гидриагининг рельса босими (1-расм). Тўпланма куч Ньютон ( $N$ ); килоньютон ( $kN$ ) ва тонналарда ( $t$ ) ўлчанади.

Агар юк конструкция қисмининг юзаси ёки узунлиги бўйлаб таъсир қилса, бундай куч тақсимланган куч дейилади.

Бундай кучлар тенг тақсимланган ёки тенг тақсимланмаган кучларга бўлинади. Масалан: элемент узунлиги бўйлаб хусусий оғирлигининг ўзгариши тенг тақсимланмаган кучга мисол бўлади (2-а расм). Тақсимланган куч

узунлик бүйича таъсир қилса  
 $\frac{H}{m}; \frac{kH}{m}$  ларда, юза  
 бүйлаб тарқалса  
 $\frac{H}{m}; \frac{kH}{m}$



2-расм.



а

б

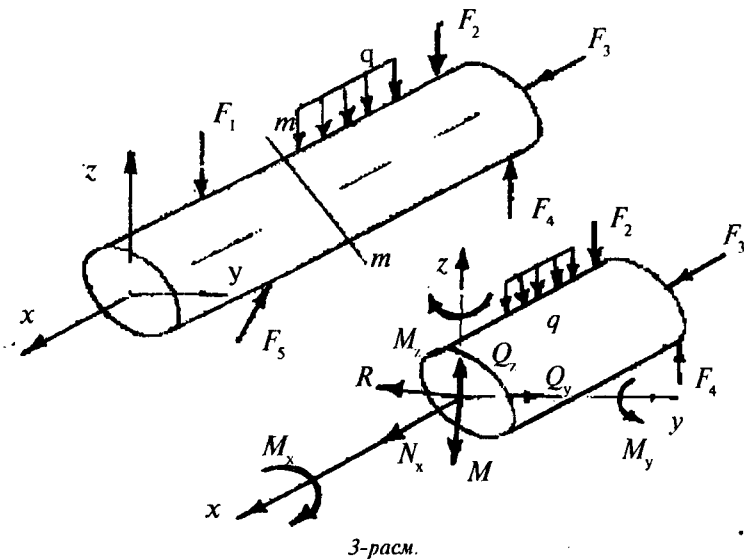
тарзиды ўлчанаади. Вақт оралиғида ўзгариш хусусиятига күра ташқи күчлар статик ва динамик күчларга бүлинади. Нолдан ўзининг охирги ўзгармас қийматигача астасекин силлиқ ўзгарадиган күч — **статик күч** дейилади. Масалан: станокнинг бетонга, имаратнинг асосига босими (2-б расм). Вақт оралиғида ишорасини ва қийматини ўзгартырадиган күч — такрорланувчи күч; бир онда таъсир қиладиган күчлар эса — динамик күчлар дейилади. Динамик күчларга айланма ёки тебранма ҳаракатда ишловчи конструкция қисмлари; зарб таъсири мисол бўлади.

**Ички күч** ташқи күч таъсирида келиб чиқади. Ички кучни аниқлаш ва топиш учун кесиш усулидан фойдаланамиз.

**КЕСИШ УСУЛИ.** Қаттиқ жисмнинг мустаҳкамлиги ундаги заррачаларнинг ўзаро тортишиш күчлари билан ифодаланади. Жисмга ташқаридан таъсир кўрсатилса, заррачаларнинг ўзаро тортишиш күчлари (таъсиirlари) интенсивлашади (ўзгаради). Ташқи күч таъсирида заррачалар ўзаро таъсирининг интенсивлашишига ички күч дейилади.

Ички күчлар ташқи күчга ва материалнинг физик-механик хоссаларига боғлиқ бўлади. Конструкция қисмларининг мустаҳкамлигини таъминлашида ички күч катта роль ўйнайди.

Берилган ташқи күчлар таъсирида мувозанатда бўлган бруснинг (3-расм) ихтиёрий танланган кесим юзасидаги ички күчларни аниқлаш учун уни шу кесим юзасидан  $m - m$  текислиги билан кесиб  $B$  ва  $B$  бўлакларга ажратамиз ва  $B$  қисмини ташлаб юборамиз. Натижада, бруснинг  $B$  қисмида ташлаб юборилган  $B$  бўлакнинг таъсири йўқотилди. Демак, бруснинг  $B$  қисмида мувозанат ҳолати бузилди. Ажратилган  $B$  қисм мувозанатини таъминлаш учун унинг кесилган юзасига  $B$  қисм таъсирини бош күч вектори  $\bar{R}$



3-расм.

ва бош момент вектори  $\bar{M}$  күринишида келтирилиши лозим. Бош күч вектори ва бош момент В қысм учун ички күч ҳисобланади.  $R$  ва  $\bar{M}$  лар XYZ ўқларыда уcta ташкил этувчиларга бўлиниши мумкин —  $N_x$ ;  $Q_y$ ;  $Q_z$ ;  $M_x$ ;  $M_y$ ;  $M_z$ .

$N_x$  — бўйлама күч, бруsnинг бўйлама ўқи бўйлаб йўналган.  $N_x$  таъсирида брус чўзилади ёки сикиласди.  $Q_y$ ;  $Q_z$  бруsnинг бўйлама ўқига перпендикуляр жойлашганилиги учун кўндаланг ёки кесувчи (силжитувчи) күч дейилади.  $M_x$  — буровчи момент бруsnинг кўндаланг кесимида ҳосил бўлади.  $M_x$  таъсирида брус буралиш деформациясига учрайди.  $M_y$  ва  $M_z$  моментлари таъсирида брус эгилади.

$N_x$ ,  $Q_y$ ,  $Q_z$ ,  $M_x$ ,  $M_y$ ,  $M_z$  — ички күч факторлари дейилади. Ички күч омилларини топиш учун бруsnинг ажратилган қисмидаги барча кучлардан мувозанат шартлари тузилади:

$$\begin{aligned} \Sigma X &= 0 & \Sigma M_x &= 0 \\ \Sigma Y &= 0 & \Sigma M_y &= 0 \\ \Sigma Z &= 0 & \Sigma M_z &= 0 \end{aligned} \quad (1)$$

## КУЧЛАНИШ

Ички кучнинг қиймати ва йўналиши брус кўндаланг кесимининг турли нуқталарида ҳар хил бўлиши мумкин. Кесимнинг маълум нуқтасидаги ёки кесим юзаси бўйлаб ички куч қийматининг тарқалиш қонуниятини аниқлаш учун кучланиш тушунчасини киритамиз:

$K$  — нуқта жойлашган элементар юзанинг тўлиқ кучланиши  $P$  шу нуқтага қўйилган ички куч  $dR$  нинг элементар юза  $dA_g$  нисбатига тенгдир:

$$P = \lim_{dA \rightarrow \infty} \frac{dR}{dA} \quad (2)$$

Кучланишнинг ўлчов бирлиги Па (Паскаль). 1 ньютон кучнинг  $1m^2$  юзага нисбати кучланиш бўлиб, 1 Па га тенгдир.

Тўлиқ кучланиш  $P$  ни кўндаланг кесимнинг юзаси бўйлаб иккита тенг тузувчилик ажратамиз. Кўндаланг кесимнинг нормали бўйлаб йўналган кучланишни нормал кучланиш ( $\sigma$ ) деб қабул қиласиз; кўндаланг кесим юзасига уринма ҳолатда йўналган кучланишни уринма кучланиш ( $\tau$ ) деб қабул қиласиз (4-расм). Тўлиқ кучланиш  $P$  билан  $\sigma$  ва  $\tau$  орасидаги боғланиш қўйидагича ифодаланади:

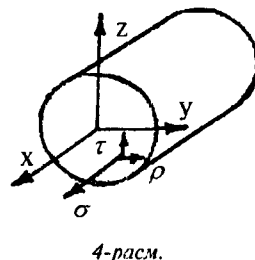
$$P = \sqrt{\sigma^2 + \tau^2} \quad (3)$$

## ДЕФОРМАЦИЯ ВА КЎЧИШ

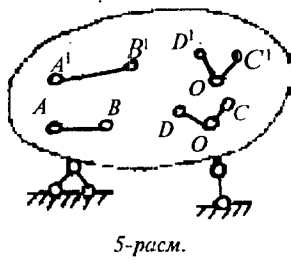
Ташқи куч таъсирида жисм ўз шакли ёки геометрик ўлчамини ўзгартирса, бундай ҳолат деформация дейилади.

Шакл ўзгариши натижасида (5-расм) А ва В нуқталар орасидаги масофа  $\Delta S$  га, ОДС бурчак эса О'Д'С' бурчакка ўзгаради.

$\Delta S$  масофа — А ва В нуқталар оралигининг бир тўғри чизиқ текислигига ортиши ёки камайиши юз берганлиги



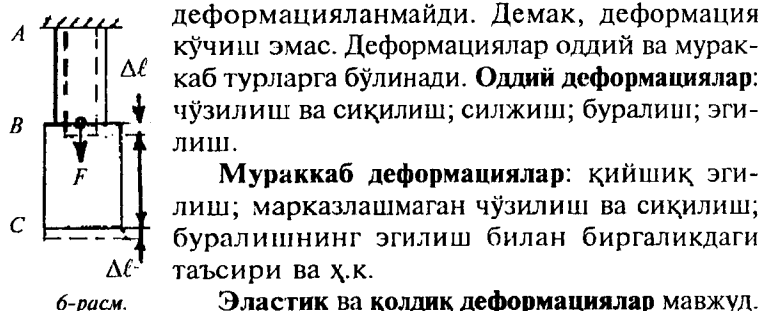
4-расм.



5-расм.

учун чизиқли күчиш деб юритилади. О нүкта атрофига С ва Д нүкталарнинг ўзаро яқинлашиши ёки узоқлашиши бурчакли күчиш дейилади. Чизиқли ва бурчакли күчишларнинг бир нүкта атрофидаги комбинацияси шу нүктанинг деформацияланган ҳолатини аниқлайди.

Ташқи күч таъсирида АВ оралиқнинг деформацияланishi натижасида BC оралиқ күчади (6-расм), BC оралиқ деформацияланмайди. Демак, деформация күчиш эмас. Деформациялар оддий ва мураккаб турларга бўлинади. Оддий деформациялар: чўзилиш ва сиқилиш; силжиш; буралиш; эгилиш.



6-расм.

**Мураккаб деформациялар:** қийшиқ эгилиш; марказлашмаган чўзилиш ва сиқилиш; буралишнинг эгилиш билан биргаликдаги таъсири ва ҳ.к.

**Эластик ва қолдиқ деформациялар** мавжуд. Ташқи күч таъсири йўқотилгандан кейин бошлангич ўлчамлари ёки шакли тикланган стержень деформацияси — эластик, акс ҳолда қолдиқ деформация бўлади.

## МАТЕРИАЛЛАР ҚАРШИЛИГИДА ҚАБУЛ ҚИЛИНГАН ГЕПОТЕЗАЛАР

Конструкция элементларини мустаҳкамликка, устуворликка ва бикрликка ҳисоблашни оддийлаштириш ва соддалаштириш учун материаллар қаршилигида айrim гепотезалар қабул қилинган:

1. Конструкция материали бир жинсли ва ғоваксиз, яъни унинг хоссаси элементнинг шакли ва ўлчамларига боғлиқ эмас деб қарабади.

2. Конструкция материали изотроп, яъни унинг хоссаси барча йўналишда бир хил деб қабул қилинади. Бу чек-

ланиш анизотроп материалларда ишлатилмайды. Масалан, ёғоч.

3. Конструкция материали эластиклик хоссасига эга деб қаралади, яйни ташқи күч таъсири йўқотилганда элемент ўзининг бошлангич шакли ва ўлчамларини қайта тиклайди. Эластик жисм деформацияси фақат кучга боғлиқ бўлиб, кучларнинг қўйилиш тартибига боғлиқ эмас.

4. Конструкция материалининг ҳар бир нуқтасидаги деформация шу нуқтадаги кучланишга тўғри пропорционал деб қаралади. Бу гепотеза **Гук қонуни** дейилади. Бунда кучланиш пропорционаллик чегарасидан катта бўлмаслиги керак.

5. Конструкциянинг деформацияси унинг геометрик ўлчамларига нисбатан кичик миқдор деб қаралади. Бу гепотезадан айрим статик аниқмас масалаларни ечишда фойдаланилади.

6. Конструкцияга қўйилган юклар системасининг таъсири алоҳида юклар таъсирларининг йигиндисига тенг деб қабул қилинади.

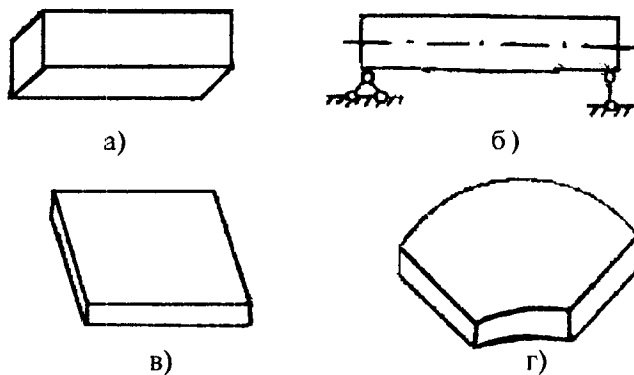
7. Юк қўйилишигача текис бўлган брусларнинг кесими юк таъсиридан кейин ҳам текислигича қолади. Бу гепотеза **Бернулли** гепотезаси дейилади.

## КОНСТРУКЦИЯ ЭЛЕМЕНТЛАРИ

Амалиётда турли конструкция элементлари брус ёки қобиқ кўринишига келтирилади.

Брус деб, иккита геометрик ўлчами (эни ва қалинлиги) узунлигидан анча кичик бўлган элементга айтилади. Ингичка брус — **стерженъ** дейилади.

Иккита ва ундан ортиқ таянчларга таянган брусларга **балка** дейилади. Ўзаро шарнирлар воситасида ёки бикр боғланишда бўлган стерженлар системаси **ферма** дейилади. **Пластинка** деб — қалинлиги қолган ўлчамларидан анча кичик бўлган элементга айтилади. Эгри пластинка қобиқ дейилади.



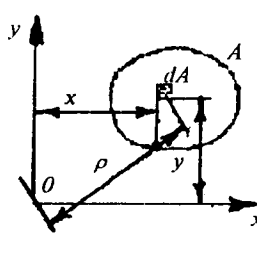
7-расм. а) брус; б) балка; в) пластинка; г) қобиқ.

Юқорида таърифлари келтирилган конструкция элементлари қурилиш, машинасозлик, транспорт ва ҳ.к. саноатларда учрайди. Масалан, кўприкларнинг асослари, свай, стропила, томларни бекитувчи плиталар, вал ва ўқлар, транспорт воситасининг рамаси, цилиндр, труба ва ҳ.к.

## I. БОБ ТЕКИС КЕСИМ ЮЗАЛАРИНИНГ ГЕОМЕТРИК ТАВСИФЛАРИ

Кесим юзаси — оддий геометрик тавсифга эга бўлиб, элементар  $dA$  юзалар йигиндисига тенгdir, яъни:  $A = \int_0^A dA$

Эгилиш, буралиш ва мураккаб деформацияланиш ҳолатларида конструкция қисмларининг мустаҳкамлиги ва бикрлиги, айнан уларнинг кесим юзаларига эмас, балки мураккаб геометрик тавсифларига (статик момент, инерция момент, қаршилик момент ва инерция радиуси) боғлиқ бўлади.



8-расм.

## 1.1. СТАТИК МОМЕНТ ВА ИНЕРЦИЯ МОМЕНТЛАРИ

**Статик момент**, деб элементар юза  $dA$  билан тегишли ўқ орасидаги масофа кўпайтмасининг аниқ интегралига айтилади:

$$S_x = \int_A y \cdot dA; S_y = \int_A x \cdot dA \quad (1.1)$$

Статик момент узунлик ўлчовининг учинчи даражаси билан ўлчанади. Турли ўқларга нисбатан статик моментларни қўшиб бўлмайди. Танланган кесимнинг  $X$  ва  $Y$  ўқларига нисбатан статик моментлари мусбат ва манфий бўлиши мумкин.

$X$  ва  $Y$  ўқларга параллел ўтказилган, элементар  $dA$  юзадан  $x_1 = x - b$  ва  $y_1 = y - a$  масофада жойлашган  $X_1$  ва  $Y_1$  ўқларга нисбатан статик моментни топамиз:

$$S_{y1} = \int_A x_1 dA = \int_A (x - b) dA = \int_A x dA - b \int_A dA = S_y - bA$$

ва

$$S_{x1} = \int_A y_1 dA = \int_A (y - a) dA = \int_A y dA - a \int_A dA = S_x - a \cdot A$$

Статик моментлари нолга teng бўлган ҳолатга тўғри келувчи  $X_1$  ва  $Y_1$  ўқларининг координаталарини топамиз:

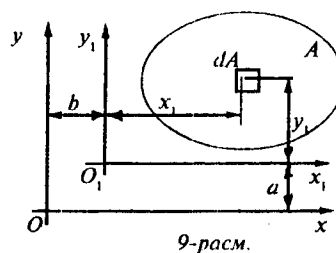
$$S_{y1} = S_y - x_c A = 0; \quad S_{x1} = S_x - y_c A = 0$$

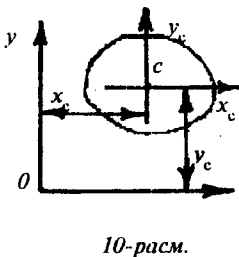
Бу ердан:

$$X_c = \frac{S_y}{A}; \quad Y_c = \frac{S_x}{A} \quad (1.2)$$

С нуқта кесимнинг оғирлик маркази дейилади. Оғирлик марказидан ўтувчи  $X_0$ ;  $Y_0$  ўқлар марказий ўқлар дейилади.

Ҳар қандай оғирлик марказидан ўтувчи ўқларга нисбатан кесимнинг статик моменти нолга teng.





10-расм.

Агар, элементар юза  $dA$  ни ундан ўққача бўлган масофанинг квадратига кўпайтириб интегралласак, ўқларга нисбатан инерция моменти деб аталадиган геометрик катталиктин топамиз (3-расм):

$$I_x = \int_A y^2 dA \text{ ва } I_y = \int_A x^2 dA \quad (1.3)$$

Марказдан қочма инерция моменти элементар юза  $dA$  билан иккала ўқ орасидаги масофа кўпайтмаларининг интегралига тенг:

$$I_{xy} = \int_A xy dA \quad (1.4)$$

Кутб инерция моменти:

$$I_\rho = \int_A \rho^2 dA \quad (1.5)$$

Инерция моментлари узунлик ўлчовининг тўртинчи даражаси билан ўлчанади. Кутб инерция моменти ўқларга нисбатан инерция моментларининг йифиндисига тенг:

$$I_\rho = \int_A (y^2 + x^2) dA = I_x + I_y \quad (1.6)$$

$I_x$ ;  $I_y$  ва  $I_\rho$  лар ҳамиша мусбатdir.

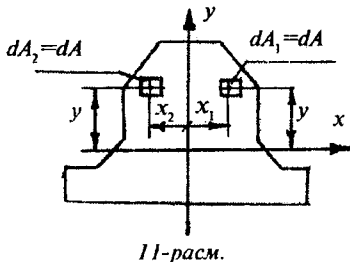
Марказдан қочма инерция моменти мусбат ёки манфий бўлиши мумкин. Битта ёки иккита ўқи симметрик бўлган кесимнинг марказдан қочма инерция моментини топамиз (11-расм).

Кесим юзасидан ажратилган элементар юзачалар

$dA_1 = dA_2$  ўзаро тенг бўлиб, У ўқидан  $x_1 = -x_2$  ва  $x$  ўқидан У масофада жойлашган. Ўзаро симметрик жойлашган элементар юзачаларнинг марказдан қочма инерция моменти:

$$I_{xy} = \int_A x_1 y dA_1 + \int_A x_2 y dA_2 = - \int_A x_2 y dA + \int_A x_2 y dA = 0$$

Демак, кесимнинг симметрия ўқларига нисбатан марказдан қочма инерция моменти нолга тенг экан.



11-расм.

## 1.2. ПАРАЛЛЕЛ ЎҚЛАРГА НИСБАТАН ИНЕРЦИЯ МОМЕНТЛАРИ

Танланган кесим юзаси  $XOY$  координата системасида жойлашган.  $OY$  ва  $OX$  ўқларига параллел янги  $O_1Y_1$  ва  $O_1X_1$  ўқларини оламиз. Элементар юзанинг  $X_1O_1Y_1$  координата системасидаги координаталари  $x_1 = x + b$ ,  $y_1 = y + a$ . Янги ўқларга нисбатан кесимнинг инерция моментларини ёзамиз:

$$\begin{aligned} I_{x1} &= \int_A y_1^2 \cdot dA = \int_A (y + a)^2 dA \\ I_{y1} &= \int_A x_1^2 \cdot dA = \int_A (x + b)^2 dA \\ I_{x1y1} &= \int_A x_1 y_1 \cdot dA = \int_A (x + b)(y + a) dA \end{aligned} \quad (1.7)$$

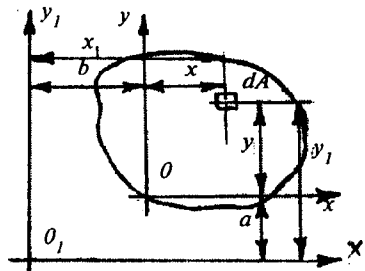
Қавсларни очиб чиқиб ҳосил бўлган тенгламани интегралласак, қуйидаги формулалар ҳосил бўлади:

$$\begin{aligned} I_{x1} &= I_x + 2aS_x + a^2 A & I_{y1} &= I_y + 2bS_y + b^2 A \\ I_{x1y1} &= I_{xy} + aS_y + bS_x + abA \end{aligned} \quad (1.8)$$

$S_y$  ва  $S_x$  кесим юзасининг  $Y$  ва  $X$  ўқларига нисбатан статик моментлари. Агар  $Y$  ва  $X$  ўқлари кесим юзасининг оғирлик марказидан ўтса, яъни марказий ўқлар бўлса:  $S_y = 0$  ва  $S_x = 0$ .

У ҳолда:

$$\begin{aligned} I_{x1} &= I_x + a^2 A \\ I_{y1} &= I_y + b^2 A \\ I_{x1y1} &= I_{xy} + abA \end{aligned} \quad (1.9)$$



Кутб инерция моменти:

*12-расм.*

$$I_{\rho1} = I_{\rho} + (a^2 + b^2)A \quad (1.10)$$

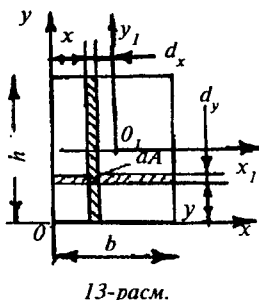
### 1.3. ОДДИЙ КЕСИМ ЮЗАЛАРИНИНГ ГЕОМЕТРИК ТАВСИФЛАРИ

Түртбұрчак (13-расм) кесим юзасининг асосидан ўтган X үқига нисбатан инерция моментини топамиз. Бунинг учун түртбұрчак кесим юзасидан элементар юзачани ажратамиз:

$$dA = \sigma dy$$

$$\text{У ҳолда: } I_x = \int_A y^2 dA = \int_A y^2 \sigma dy = \sigma \frac{y^3}{3} \Big|_0^h = \frac{\sigma h^3}{3}$$

хосил бўлади.



Тўғри түртбұрчакнинг марказий ўқи  $X_1$ га нисбатан инерция моментини параллел үқларга нисбатан инерция моменти формулаларидан фойдаланиб топамиз:

$$I_{x1} = I_x + a^2 A = \frac{\sigma h^3}{3} - \left(\frac{h}{2}\right)^2 \sigma h = \frac{\sigma h^3}{12}$$

Кесимнинг У үқига нисбатан инерция моменти:

$$I_y = \frac{\sigma h^3}{3} \text{ ва } I_{y1} = \frac{\sigma h^3}{12}$$

X ва Y үқларига нисбатан кесимнинг марказдан қочма инерция моментини топамиз. Бунинг учун кесимда  $dA = dx dy$  элементар юзачани танлаймиз. Ўлчамлари  $h$  ва  $dx$  бўлган вертикаль юзанинг марказдан қочма инерция моментини топамиз:

$$dI_{xy} = \int_0^h y x dA = \int_0^h y x dy dx = x dx \int_0^h y dy = x dx \cdot 0,5h^2$$

Энди  $dI_{xy}$  ифодани  $0 \leq x \leq \sigma$  оралиқда интеграллаймиз:

$$I_{xy} = \int_0^\sigma 0,5h^2 x dx = 0,5h^2 \int_0^\sigma x dx = 0,25h^2 \sigma^2 \quad \text{ёки кесимнинг}$$

марказдан қочма инерция моменти:  $I_{xy} = \frac{\sigma h}{4} \cdot A$

**Учбуручак (14-расм) нинг статик моментини аниқлаш.**

Учбуручакнинг  $X_1$  ўқидан  $Y_1$  масофада жойлашган  $A_0$  юзасининг статик моментини ёзамиш:

$$S_{x1}^0 = A_0 \cdot y_0$$

$$\text{Бу ерда: } A_0 = \frac{1}{2} \sigma_y \left( \frac{2h}{3} - y_1 \right) \text{ ва } y_0 = y_1 + \frac{1}{3} \left( \frac{2h}{3} - y_1 \right)$$

$$\text{У ҳолда: } S_{x1} = \frac{1}{2} \sigma_y \left( \frac{2h}{3} - y_1 \right) \cdot \frac{2}{3} \left( \frac{h}{3} + y_1 \right) = \frac{\sigma_y}{3} \left( \frac{2h}{3} - y_1 \right) \left( \frac{h}{3} + y_1 \right)$$

$$\text{Ёки: } S_x = \frac{\sigma_y}{27} \left( 2h^2 + 3hy_1 - 9y_1^2 \right)$$

### Инерция моментини аниқлаш.

Асосидан ўтган  $X$  ўқига нисбатан инерция моментини топиш учун учбуручакнинг кесим юзасидан  $dA = b_y \cdot dy$  элементар юзачани танлаймиз.

$$\text{Бу ерда: } \sigma_y = \sigma \left( 1 - \frac{y}{h} \right)$$

элементар юзачанинг эни.

$$\text{У ҳолда: } I_x = \int_A y^2 dA = \int_0^h y^2 \sigma \left( 1 - \frac{y}{h} \right) dy = \frac{\sigma h^3}{12}$$

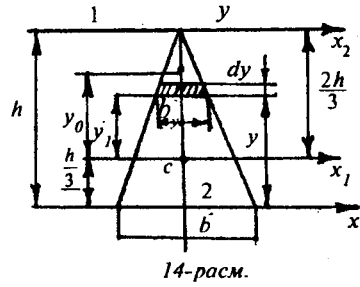
Учбуручакнинг марказий ўқига нисбатан инерция моменити:

$$I_{x1} = I_x + a^2 A = \frac{\sigma h^3}{12} - \left( \frac{h}{3} \right)^2 \frac{\sigma h}{2} = \frac{\sigma h^3}{36} \text{ ва } X_2 \text{ ўқига нисбатан}$$

инерция моменти:  $\sigma_y = -\sigma y / h$ ;  $dA = \sigma_y dy = -\frac{\sigma y}{h} dy$

$$I_{x2} = \int_A y^2 dA = \int_h^0 y^2 \left( \frac{\sigma y}{h} \right) dy = \frac{\sigma h^3}{4}$$

$$\text{Ёки: } I_{x2} = \frac{\sigma h^3}{4}$$



14-расм.

Топилган инерция моменти формулаларидан күриниб турибдики, кесим ўқдан қанча узоқлашса, инерция моменти катталашар экан. Учбурчакнинг У ўқига нисбатан инерция моменти:

$$I_y = \int_A x^2 dA = \int_A x^2 b_x dx = \int_0^{\frac{b}{2}} x^2 \cdot 2 \frac{h}{b} \left( \frac{b}{2} - x \right) dx = \frac{hb^3}{48}$$

**Доиравий кесим (15-расм).** Кесимнинг оғирлик марказидан ўтувчи ихтиёрий ўқقا нисбатан инерция моментини топиш учун аввал доирадан ажратилган ҳалқа күринишидаги  $dA = 2\pi\rho \cdot d\rho$  элементар юзанинг кесим марказига нисбатан қутб инерция моментини топамиз:

$$I_\rho = \int_A \rho^2 dA = \int_0^R \rho^2 \cdot 2\pi\rho \cdot d\rho = \frac{2\pi \cdot \rho^4}{4} \Big|_0^R = \frac{\pi \cdot R^4}{2} = \frac{\pi \cdot D^4}{32}$$

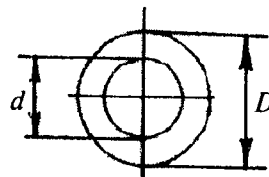
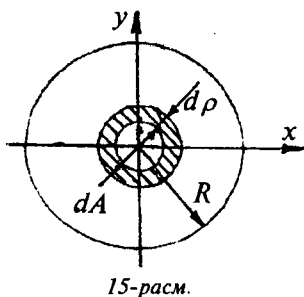
Доиравий кесим учун:  $I_x = I_y$  ва  $I_\rho = I_y + I_x$

$$\text{Демак, } I_\rho = 2I_x = 2I_y = \frac{\pi \cdot D^4}{32}$$

$$\text{Ёки: } I_x = I_y = \frac{\pi \cdot D^4}{64}$$

**Ҳалқасимон кесимнинг инерция моменти ташқи вайчики доиралар инерция моментларининг айримасига тенг (16-расм):**

$$I_y = I_x = \frac{\pi \cdot D^4}{64} - \frac{\pi \cdot d^4}{64} = \frac{\pi \cdot D^4}{64} \left[ 1 - \left( \frac{d}{D} \right)^4 \right]$$



Кутб инерция моменти:

$$I_p = \frac{\pi \cdot D^4}{32} \left[ 1 - \left( \frac{d}{D} \right)^4 \right]$$

#### 1.4. ОДДИЙ КЕСИМ ЮЗАЛАРИНИНГ ҚАРШИЛИК МОМЕНТЛАРИ

Кесим юзаларининг қаршилик моментларини топиш учун:

$$W_x = \frac{I_x}{y_{\max}}; \quad W_y = \frac{I_y}{x_{\max}} \text{ ва} \quad W_p = \frac{I_p}{\rho_{\max}}$$

формулалардан фойдаланамиз.

Тўғри туртбурчак кесимнинг марказий ўқлари  $X_1$  ва  $Y_1$  га нисбатан қаршилик моментини топамиз:

$$W_{x_1} = \frac{\theta h^3}{12} \cdot \frac{2}{h} = \frac{\theta h^2}{6} \text{ ва} \quad W_{y_1} = \frac{h \theta^3}{12} \cdot \frac{2}{\theta} = \frac{h \theta^2}{6}$$

**Учбуручак.** Учбуручакнинг оғирлик марказидан ўтувчи  $X_1$  ўқи кесим юзасининг 1 ва 2 нуқталаридан  $\frac{2h}{3}$  ва  $\frac{h}{3}$  масофада жойлашган. Шунинг учун учбуручакнинг  $X_1$  марказий ўқидан энг узоқда жойлашган 1 ва 2 нуқталаригача бўлган масофаси:

$$y_1 = \frac{2h}{3} \text{ ва} \quad y_2 = \frac{h}{3} \text{ га тенг.} \quad W_{x_1}' = \frac{\theta h^3}{36} \cdot \frac{3}{2h} = \frac{\theta h^2}{24};$$

$$W_{x_1}'' = \frac{\theta h^3}{36} \cdot \frac{3}{h} = \frac{\theta h^2}{12}; \quad W_y = \frac{h \theta^3}{48} \cdot \frac{2}{\theta} = \frac{h \theta^2}{24}$$

$$\text{Доиравий кесим: } W_x = W_y = \frac{I_x}{y_{\max}} = \frac{\frac{\pi \cdot D^4}{64}}{\frac{D}{2}} = \frac{\pi \cdot D^3}{32}$$

$$\text{Кутб қаршилик моменти: } W_p = \frac{\frac{\pi \cdot D^4}{32}}{\frac{D}{2}} = \frac{\pi \cdot D^3}{16}$$

**Халқасимон кесим:**

$$W_x = W_y = \frac{\pi \cdot D^4 \left[ 1 - \left( \frac{d}{D} \right)^4 \right]}{64 \cdot \frac{D}{2}} = \frac{\pi \cdot D^3}{32} \left[ 1 - \left( \frac{d}{D} \right)^4 \right]$$

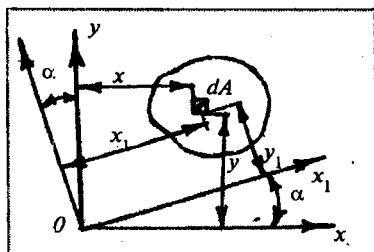
Күтб қаршилик моменти:  $W_\rho = \frac{\pi \cdot D^3}{16} \left[ 1 - \left( \frac{d}{D} \right)^4 \right]$

## 1.5. КООРДИНАТА ЎҚЛАРИНИ АЙЛАНТИРГАНДА ИНЕРЦИЯ МОМЕНТЛАРИ

ХОУ координата ўқларининг О нуқта атрофида айланниши натижасида янги  $X_1OY_1$ , ҳолатта ўтади.  $dA$  элементар юзанинг янги  $X_1OY_1$  координата системасидаги координаталари:

$$x_1 = x \cos \alpha + y \sin \alpha;$$

$$y_1 = y \cos \alpha - x \sin \alpha$$



17-расм.

Танланган кесимнинг янги ўқларга нисбатан инерция моментларини топамиз.

$OY_1$  ўқига нисбатан инерция моменти:

$$\begin{aligned} I_{x1} &= \int_A y_1^2 dA = \\ &= \int_A (y \cos \alpha - x \sin \alpha)^2 dA \end{aligned}$$

Интеграл остидаги қавсни очиб, ҳосил бўлган тенгламани интеграллаймиз:

$$I_{x1} = I_x \cos^2 \alpha + I_y \sin^2 \alpha - I_{xy} \sin 2\alpha \quad (1.11)$$

$OY_1$  ўқига нисбатан инерция моменти:

$$I_{y1} = \int_A x_1^2 dA = \int_A (x \cos \alpha + y \sin \alpha)^2 dA \text{ ёки}$$

$$I_{y1} = I_x \cos^2 \alpha + I_y \sin^2 \alpha + I_{xy} \sin 2\alpha \quad (1.12)$$

Марказдан қочма инерция моменти:

$$I_{x_1y_1} = \int_A x_1 y_1 dA = \int_A (x \cos \alpha + y \sin \alpha)(y \cos \alpha - x \sin \alpha) dA$$

ёки

$$I_{x_1y_1} = \frac{I_x - I_y}{2} \cdot \sin 2\alpha + I_{xy} \cos 2\alpha \quad (1.13)$$

Юқоридаги формулалардан күриниб турибдики, ихтиёрий ўқса нисбатан инерция моменти  $\alpha$  бурчакка боғлиқ экан.

Координата ўқларини айлантириш давомида оғиш бурчагининг  $\alpha = \alpha_0$  қийматини топиш мумкинки, бунда  $I_{x_1y_1} = 0$  ва қолган инерция моментлари экстремал қийматга эришади.

$I_{x_1y_1} = I_{x_0y_0} = 0$  ёки  $I_{x_0y_0} = 0$  ҳолатта түгри келувчи координата ўқига **бош инерция ўқи** дейилади (18-расм). Бош инерция ўқининг йұналиши:  $\operatorname{tg} 2\alpha_0 = -\frac{2I_{xy}}{I_x - I_y}$  (1.14)

Олинган формула  $\alpha$  бурчак учун  $\alpha'_0$  ва  $\alpha''_0 = \alpha'_0 + 90^\circ$  иккита қийматни беради.  $\alpha'_0$  ва  $\alpha''_0$  бурчаклар остида ўза-ро перпендикуляр иккита ўқ чизилади, уларга нисбатан инерция моментлари экстремал қийматларга эришади.

Бош инерция ўқларига нисбатан кесимнинг инерция моментларига бош инерция моментлари дейилади:

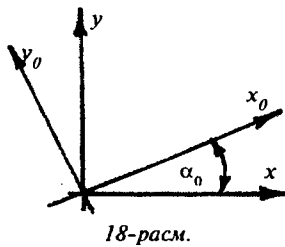
$$I_{x_1} = I_{x_0} = I_x \cos^2 \alpha_0 + I_y \sin^2 \alpha_0$$

$$I_{y_1} = I_{y_0} = I_y \cos^2 \alpha_0 + I_x \sin^2 \alpha_0; I_{x_1y_1} = \frac{I_x - I_y}{2} \sin 2\alpha \quad (1.15)$$

Бу бош инерция моментларидан биттаси максимал, иккинчиси эса минимал қийматта эришади:

$$I_{\min}^{\max} = \frac{1}{2} \left[ (I_x + I_y) \pm \sqrt{(I_x - I_y)^2 + 4 \cdot I_{xy}^2} \right] \quad (1.16)$$

Айрим шаклларда оғирлик марказидан ўтувчи ўқларга нисбатан марказдан қочма инерция моменти нолга тең:



18-расм.

$I_{xy} = 0$ . Шунинг учун бу ўқлар марказий бош инерция ўқлари дейилади.

Масалан, күштавр, швеллер, доиравий ёки түфри тұртбурчакли кесимлар.

Прокатли бурчаклар учун марказдан қочма инерция моментини топамиз:

$$\text{а) Тенг томонли бурчак: } I_{xy} = \frac{I_{x_0} - I_{y_0}}{2} \sin 2\alpha_0 \quad (\text{а})$$

Бу ерда:  $I_{x_0}; I_{y_0}$  — бурчак кесимінің марказий бош инерция моментлари:

$$\alpha_0 = \frac{\pi}{4}, \text{ демек, } \sin 2\alpha_0 = 1.$$

$$\text{б) Тенг томонли бўлмаган бурчак: } I_{xy} = \frac{I_y - I_x}{2} \lg 2\alpha_0 \quad (\text{б})$$

Бу ерда:  $I_x; I_y$  — бурчак кесимининг марказий X ва Y ўқларига нисбатан инерция моментлари;

$\alpha_0$  — марказий бош инерция ўқларини X ва Y ўқларига нисбатан оғишган бурчаги.

Тенг томонли бурчак учун (б) формулани татбиқ этиб бўлмайди, чунки тенг томонли бурчакларда ( $I_x = I_y$ )  $I_x - I_y = 0$  ва

$$\lg 2\alpha_0 = \lg 2 \frac{\pi}{4} = \infty$$

(а) ва (б) формулалар кесимнің координата ўқларини айлантирганда ҳосил бўлган марказдан қочма инерция моментидан келиб чиқади:  $I_{x_0,y_0} = I_{xy} \cos 2\alpha_0 + \frac{I_x - I_y}{2} \sin 2\alpha_0 \quad (\text{в})$

Бу ерда:  $X_0$  ва  $Y_0$  кесимнің X ва Y ўқларини соат стрелкасининг ҳаракат йўналишига тескари айлантирганда ҳосил бўлган ўқлар. Бунда  $\alpha_0$  бурчак мусбатдир.

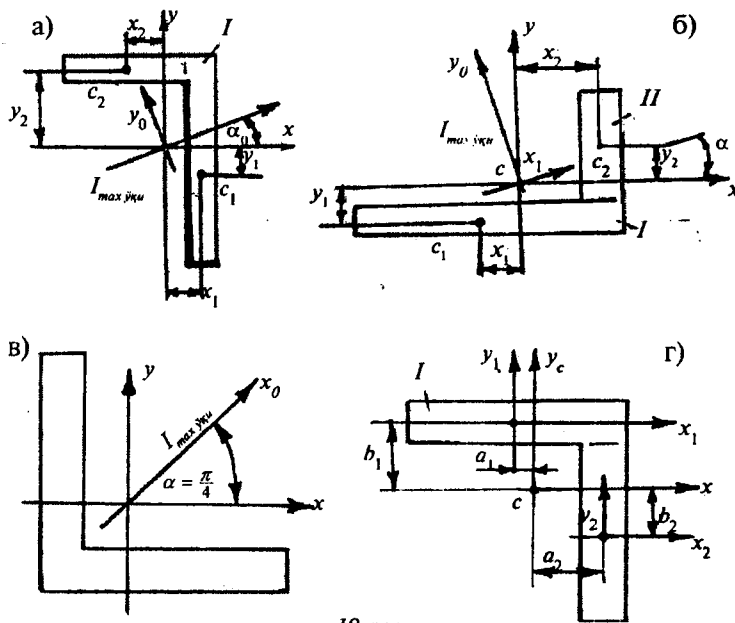
Демак, X ва Y ўқларнинг тескари томонга, яъни соат стрелкасининг ҳаракат йўналиши бўйича айлантирганда (в) формулани қўйидагида ёзишимиз мумкин экан:

$$I_{xy} = I_{x_0,y_0} \cos 2\alpha_0 + \frac{I_{x_0} - I_{y_0}}{2} \sin 2\alpha_0 \quad (\text{г})$$

Бу ерда:  $\alpha_0$  бурчак манфий бўлиши керак.

Агар  $X_0$  ва  $Y_0$  бош инерция ўқлари бўлса, марказдан қочма инерция моменти  $I_{xoy_0} = 0$ . У ҳолда (в) формуладан (б) формулани ҳосил қиласиз: (г) формуладан эса (а) формулани.  $\alpha_0$  бурчак тенг томонсиз бурчак учун  $\frac{\pi}{4}$  қийматдан кичик; тенг томонли бурчак учун  $\frac{\pi}{4}$  га тенг. Кесимнинг берилиш схемасига, яъни ХОУ координатасига жойлашишига кўра,  $\alpha_0$  бурчак биринчи ҳолатда  $I_{\min}$  ўқи бўлса, иккинчи ҳолатда  $I_{\max}$  ўқи бўлиши мумкин (19-расм).

19 а-расмда кўрсатилган тенг томонсиз бурчак учун  $X_0$  ўқи  $I_{\max}$  ўқи бўлади; (а) формула учун  $\alpha_0$  бурчакни минус ишораси билан оламиз, чунки X ва Y ўқлари  $X_0$  ва  $Y_0$  ўқларига нисбатан соат стрелкасининг йўналиши бўйича айлантирилганда ҳосил бўлади.



19-расм.

У ҳолда (а) формула қўйидагича ёзилади:

$$I_{xy} = \frac{I_{\max} - I_{\min}}{2} \sin(-2\alpha_0)$$

**C<sub>1</sub>** нуқтанинг координаталари

$$(+x_1; -y_1) \quad (-x_1; -y_1)$$

**C<sub>2</sub>** нуқтанинг координаталари

$$(-x_2; +y_2); \quad (+x_2; +y_2)$$

Шу бурчакни (б) формула учун мусбат ишорали оламиз, чунки X<sub>0</sub> ва Y<sub>0</sub> ўқлари X ва Y ўқларига нисбатан соат стрелкасининг ҳаракат йўналишига тескари айлантирилди. (б) формула қўйидагича ёзилади:  $I_{xy} = \frac{I_y - I_x}{2} \operatorname{tg} 2\alpha_0$ . Бу ерда: I<sub>y</sub> < I<sub>x</sub> бўлганлиги учун I<sub>xy</sub> манфий ишорали. 19-(б) расмда кўрсатилган кесим учун X<sub>0</sub> ва I<sub>min</sub> ўқи α<sub>0</sub> бурчак (а) формула учун манфий, (б) формула учун эса мусбат ишорали олинади. Унда марказдан қочма инерция момен tlari қўйидагича ёзилади:

$$I_{xy} = \frac{I_{\min} - I_{\max}}{2} \sin(-2\alpha_0); \quad I_{xy} = \frac{I_y - I_x}{2} \operatorname{tg} 2\alpha_0$$

Бу ерда:  $I_{\min} - I_{\max} < 0$  ва  $I_y - I_x > 0$  бўлганлиги учун иккита формулада ҳам марказдан қочма инерция моменти мусбат ишорали.

Кесимнинг X ва Y ўқларидан қайси бирига нисбатан инерция моменти катта бўлса, I<sub>max</sub> ўқи ўша ўққа яқин жойлашади. 19-(а) расмда кесимнинг X ўқига нисбатан инерция моменти катта, шунинг учун I<sub>max</sub> ўқи x<sub>0</sub> ўқига нисбатан α<sub>0</sub> бурчакда жойлашади. 19-(б) расмда эса I<sub>y</sub> > I<sub>x</sub>, шунинг учун I<sub>max</sub> ўқи Y ўқига яқин жойлашган. I<sub>max</sub> ва I<sub>min</sub> ўқларнинг ҳолатини аниқлаш α<sub>0</sub> бурчакнинг ишорасини тўғри танлашга ёрдам беради.

Кесими teng томонли бурчакларни текширамиз. Иккита бош инерция ўқлари ҳам X ўқи билан  $\frac{\pi}{4} = \alpha_0$  бурчакда жойлашади, шунинг учун бош инерция моменти сифатида I<sub>max</sub> ёки I<sub>min</sub> ни қабул қилиш мумкин.

Агар I<sub>xo</sub> = I<sub>max</sub> қабул қилинса, бурчак α манфий ишорали ( X ўқи X<sub>0</sub> га нисбатан соат стрелкасининг йўналиши

бўйича айланади);  $I_{x_0} = I_{\min}$  қабул қилинса, бурчак  $\alpha_0$  мусбат ишорали (ўқларнинг айланиши соат стрелкасининг йўналишига тескари). Унда (а) формула қўйидагида ёзилади:

$$\text{Биринчи ҳол: } (I_{x_0} = I_{\max}) I_{xy} = \frac{I_{\max} - I_y}{2} \sin 2\left(-\frac{\pi}{4}\right)$$

Иккинчи ҳол:

$$(I_{x_0} = I_{\min}) I_{xy} = \frac{I_{\min} - I_{\max}}{2} \sin 2\frac{\pi}{4} = \frac{I_{\min} - I_{\max}}{2}$$

Иккала ҳолда ҳам  $Y_{xy}$  манфий ишорали. Юқоридаги формулаларнинг тўғри эканлигини текшириш мумкин. Бунинг учун тенг томонли бурчакни 1 ва 2 элементларга ажратамиз. Ҳар бир элементнинг ўз марказий ўқлари ( $X_1 Y_1 C_1$  ва  $X_2 Y_2 C_2$ ) параллел ўқларга нисбатан инерция моментлари формуласидан фойдаланиб кесимнинг марказдан қочма инерция моментини топамиз:

$$I_{xy} = I_{xy}^I + I_{xy}^{II} = I_{x1y1}^I - a_1 b_1 A_1 + I_{x2y2}^I - a_2 b_2 A_2$$

$X_1$  ва  $Y_1$ ;  $X_2$  ва  $Y_2$  ўқлари бурчак супачаларини бош марказий ўқлари бўлганлиги учун:

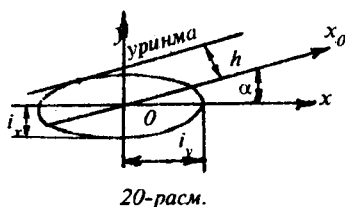
$$I_{x1y1} = 0; \quad I_{x2y2} = 0; \quad I_{xy} = -(a_1 b_1 A_1 + a_2 b_2 A_2)$$

Марказдан қочма инерция моменти — манфий. Умуман,  $I_{xy}$  моментининг ишорасини танлаш учун қўйидаги қоидани ўринли деб топсак бўлади: agar бурчак супачаларининг оғирлик марказлари  $X$  ва  $Y$  координата системасининг биринчи ва учинчи чоракларида жойлашса, марказдан қочма инерция моменти — мусбат (бу чоракларда координаталар мусбат); agar супачаларнинг оғирлик марказлари иккинчи ва тўртинчи чоракларда жойлашса,  $I_{xy}$  — манфий (19-расм, а, б, в, г).

## 1.6. ИНЕРЦИЯ ЭЛЛИПСИ ҲАҚИДА ТУШУНЧА

Инерция эллипси асосан шаклнинг инерция моментини график усулда топишда қўлланилади. Инерция эллипси инерция радиуслари ёрдамида тузилади:

$$i_x = \sqrt{\frac{I_x}{A}} \quad \text{ва} \quad i_y = \sqrt{\frac{I_y}{A}} \quad (1.17)$$



$i_x$  ва  $i_y$  инерция радиуслари тегишли ХОУ координата ўқларига жойлаштирилади (20-расм).

Координатадан  $\alpha_0$  бурчак остида бош инерция ўқи —  $X_0$  ни ўтказамиз.  $OX_0$  ўқига параллел қилиб эллипсга ўтказилган уринма билан  $OX_0$  ўқи орасидаги масофа —  $h$  ни топамиз:

$$h^2 = i_x^2 \cos^2 \alpha_0 + i_y^2 \sin^2 \alpha_0 \quad (1.18)$$

$h$  масофани линейкада ўлчаб ҳам топиш мумкин. Шаклнинг инерция моменти қуийдаги тенглиқдан топилади:

$$I_{x0} = h^2 A \quad (1.19)$$

Демак,  $h$  масофа инерция радиусига тенг экан.

### *Савол ва топшириқлар*

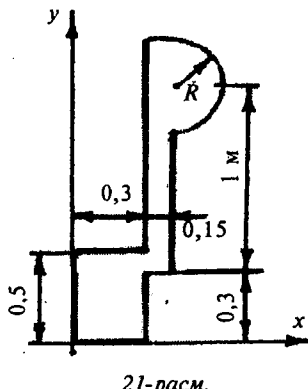
1. Статик момент деб нимага айтилади?
2. Инерция моменти деб нимага айтилади?
3. Инерция моментларининг турларини айтинг.
4. Мураккаб шаклли кесим юзасининг оғирлик марказининг координаталарини аниқлаш формуласини ёзинг.
5. Кесим юзанинг параллел ўқларга нисбатан инерция моменти.
6. Координаты ўқларини айлантирганда кесим инерция моментининг ўзгариши.
7. Бош инерция ўқлари деб қандай ўқларга айтилади?
8. Бош инерция моментлари деб қандай моментларга айтилади?
9. Бош инерция моментларини аниқланг.
10. Инерция радиуси нима?
11. Тўғри тўртбурчак шаклли кесим юзанинг инерция моментларини аниқланг.
12. Учбурчаксимон кесим юзанинг инерция моментларини аниқланг.
13. Кесим юзанинг қаршилик моменти нима?

## Мураккаб шаклларнинг инерция моментларини ҳисоблаш

**1-масала.** Берилган кесим юзаси учун инерция моментларни аниқланг. Амалий ҳисоблар учун мураккаб шаклни оддий шаклларга бўламиз (21-расм). Ҳисоблаш мураккаб шаклнинг ихтиёрий ўқлар системасида оғирлик марказини топишдан бошланади:

$$x_c = \frac{A_1 x_1 + A_2 x_2 + A_3 x_3}{A_1 + A_2 + A_3}$$

$$y_c = \frac{A_1 y_1 + A_2 y_2 + A_3 y_3}{A_1 + A_2 + A_3}$$



Бу ерда (22-расм):

$$A_1 = 0,3 \cdot 0,5 = 0,15 \text{ м}^2; \quad A_2 = 1,2 \cdot 0,15 = 0,18 \text{ м}^2$$

$$A_3 = \frac{\pi R^2}{2} = \frac{3,14(0,2)^2}{2} = 0,0628 \text{ м}^2$$

$$\sum A = A_1 + A_2 + A_3 = 0,3928 \text{ м}^2$$

$$x_1 = \frac{0,3}{2} = 0,15 \text{ м}; \quad y_1 = \frac{0,5}{2} = 0,25 \text{ м}$$

$$x_2 = 0,3 + \frac{0,15}{2} = 0,375 \text{ м}; \quad y_2 = \frac{1+R}{2} + 0,3 = 0,9 \text{ м}$$

$$x_3 = 0,3 + 0,15 + \frac{4R}{3\pi} = 0,535 \text{ м}; \quad y_3 = 0,3 + 1 = 1,3 \text{ м}$$

У ҳолда:

$$x_c = 31,467 \text{ см} = 0,31467 \text{ м}; \quad y_c = 71,474 \text{ см} = 0,71474 \text{ м}$$

Параллел ўқларга нисбатан инерция моментлари формуласидан фойдаланиб кесимнинг  $X_c$  ва  $Y_c$  ўқларга нисбатан инерция моментларини топамиз (22-расм):

$$I_{x_c} = \frac{0,3(0,5)^3}{12} + (y_c - y_1)^2 \cdot 0,3 \cdot 0,5 + \frac{0,15(1,2)^3}{12} + \\ + (y_2 - y_c)^2 \cdot 0,18 + 0,393R^4 + (y_3 - y_c)^2 + \frac{3,14R^2}{2} = 0,085455m^4$$

$$I_{y_c} = \frac{0,5(0,3)^2}{12} + (x_c - x_1)^2 \cdot 0,15 + \frac{1,2(0,15)^3}{12} + (x_2 - x_c)^2 \cdot 0,18 + \\ + 0,11R^4 + (x_3 - x_c)^2 \cdot 0,0628 = 0,01246m^4$$

Марказий ўқларга нисбатан марказдан қочма инерция моментини топамиз:

$$I_{x_c y_c} = [-(y_c - y_1)][-(x_c - x_1)] \cdot 0,15 + (y_2 - y_c)(x_2 - x_c) \cdot 0,18 + \\ + (y_3 - y_c)(x_3 - x_c) \cdot 0,0628 = 0,02154m^4$$

Бош инерция моментларини топамиз:

$$I_{\min} = \frac{I_{xc} + I_{yc}}{2} \pm \frac{1}{2} \sqrt{(I_{xc} - I_{yc})^2 + 4 \cdot I_{x_c y_c}^2} = \frac{0,08545 + 0,01246}{2} \pm \\ \pm \frac{1}{2} \sqrt{(0,08545 - 0,01246)^2 + 4 \cdot (0,02154)^2}$$

$$I_{\max} = 0,0934m^4; \quad I_{\min} = 0,006575m^4 \\ I_{xc} + I_{yc} = I_{\max} + I_{\min}; \quad 0,0854 + 0,01246 = 0,0934 + 0,006575$$

Бош инерция ўқларининг оғишган бурчагини топамиз:

$$\operatorname{tg} 2\alpha_0 = -\frac{2I_{x_c y_c}}{I_{xc} - I_{yc}} = -\frac{2 \cdot 0,02154}{0,08545 - 0,01246} = -0,59 \text{ rad}$$

$$2\alpha_0 = -30^\circ \text{ ёки } \alpha_0 = -15^\circ$$

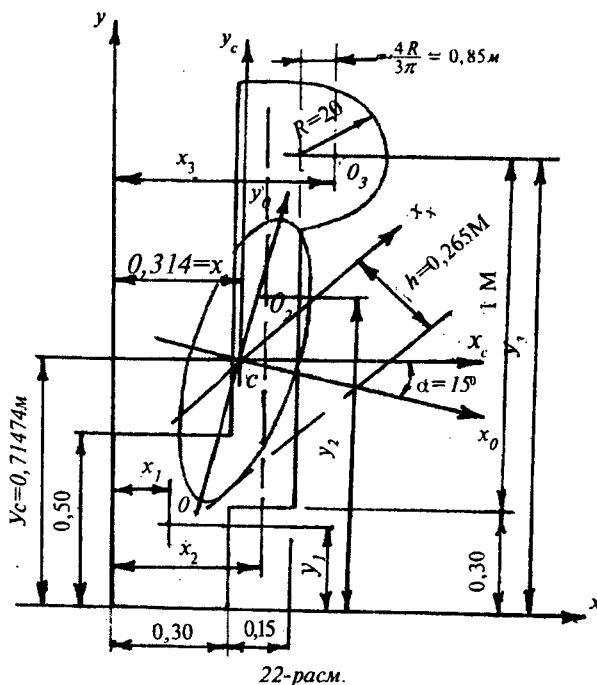
$I_{xc} > I_{yc}$  бўлганлиги учун  $x_c$  ўққа нисбатан инерция моменти максимал қийматга эришади.  $\alpha_0$  бурчаги манфий ишорали бўлгани учун қийматини  $x_c$  ўқидан соат стрелкасининг ҳаракат йўналиши бўйлаб жойлаштирамиз.  $\alpha_0$

бұрчак бош инерция ўқининг ҳолатини белгилайди. Инерция радиусларини топамиз:

$$i_{\max} = \sqrt{\frac{0,09133}{0,3928}} = 0,48 \text{ м}; \quad i_{\min} = \sqrt{\frac{0,00657}{0,3928}} = 0,129 \text{ м}$$

Шаклнинг инерция радиусларини ярим ўқлар сифатида қабул қилиб,  $x_0s_y_0$  координата ўқларидан инерция эллипсини құрамыз (22-расм). Бунда  $sx_0$  ўқи бўйлаб  $i_{\min}$  радиусини,  $s_y_0$  ўқи бўйлаб  $i_{\max}$  инерция радиусини қўямиз. Эллипсдан горизонтга  $45^\circ$  бурчак остида жойлашган  $x_a$  ўққа нисбатан инерция моментини топамиз. Бу ўқ  $x_0$  ўққа нисбатан  $60^\circ$  бурчак остида йўналган. Бу ўққа параллел равишда эллипсга уринма ўтказамиз.  $x_0$  ўқ билан уринма орасидаги  $h = 0,265$  м масофани ўлчаб оламиз. Инерция моменти график усулда қуйидагича топилади:

$$I_k = h^2 A = (0,265)^2 \cdot 0,3928 = 0,0276 \text{ м}^4$$



22-расм.

Ушбу инерция моментини аналитик усулда топамиз:

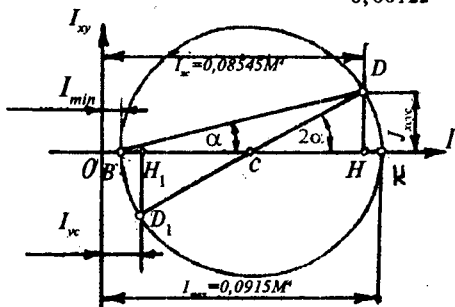
$$I_k = I_{\max} \cdot \cos^2 \alpha + I_{\min} \cdot \sin^2 \alpha = 0,091339 \cos^2 60^\circ + \\ + 0,006575 \cdot \sin^2 60^\circ = 0,0277 \text{ m}^4$$

Бош инерция моментларини график усулда топамиз (23-расм), бунинг учун кесимнинг  $x_c$  ва  $y_c$  ўқларига нисбатан инерция моментлари  $I_{xc} = 0,08545 \text{ m}^4$ ;

$I_{yc} = 0,01246 \text{ m}^4$  ва марказдан қочма инерция моменти  $I_{xyc} = 0,02154 \text{ m}^4$  дан фойдаланамиз. ИО  $I_{xy}$  координата системасини танлаймиз.  $I_{xc}$ ;  $I_{yc}$  ва  $I_{xyc}$  инерция моментларини масштабда ИО ва  $I_{xy}$  О ўқларида жойлаштирамиз. Масштаб: 1 мм = 0,00122 м<sup>4</sup>, у ҳолда:

$$I_{xc} = OH = \frac{0,08545}{0,00122} = 70 \text{ мм}; \quad I_{yc} = OH_1 = \frac{0,01246}{0,00122} = 10,2 \text{ мм}$$

$$I_{xyc} = HD = \frac{0,02154}{0,00122} = 17,6 \text{ мм}$$



$CD=R$  радиус билан айланы чизамиз. Айланы I ўқини K ва B нүкталарда кесиб ўтади.

$$OK = I_{\max} = \frac{75 \text{ мм} \cdot 0,0012 \text{ м}^4}{1 \text{ мм}} = 0,0195 \text{ м}^4$$

$$OB = I_{\min} = 5 \text{ мм} \cdot 0,0012 \frac{\text{м}^4}{\text{мм}} = 6,1 \cdot 10^{-3} \text{ м}^4$$

Схемадан (23-расм):

$$I_{\max} = OK = OC + CK \quad \text{ва} \quad I_{\min} = OB = OC - CB$$

$$\text{Бу ерда: } OC = \frac{OH + OH_1}{2} = \frac{I_{x_c} + I_{y_c}}{2} \quad \text{ва}$$

$$CK = CB = CD = R = \sqrt{(CH)^2 + (DH)^2}$$

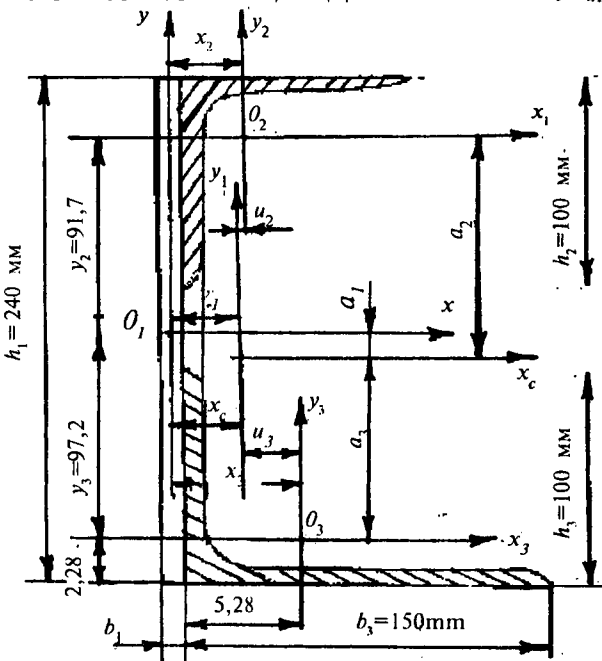
$$CH = \frac{HH_1}{2} = \frac{OH - OH_1}{2} = \frac{I_{x_c} - I_{y_c}}{2}; \quad DH = I_{x_c y_c}$$

$$\text{У ҳолда: } I_{\max} = \frac{I_{x_c} + I_{y_c}}{2} \pm \sqrt{\left(\frac{I_{x_c} - I_{y_c}}{2}\right)^2 + I_{x_c y_c}^2}$$

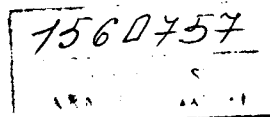
**2-масала.** 24-расмда күрсатылған кесім учун бош инерция моментлари топилсін. Берилған кесім үлчамлары 240x10 (мм) бўлган тўғри тўртбурчак; 100x100x10мм томонли ва 160x100x10 мм тенг томонсиз бурчаклардан ташкил топган.

Берилған элементларнинг геометрик тавсифларини ёзамиз:

1. Тўғри тўртбурчак:  $A_1 = h_1 b_1 = 24 \cdot 1 = 24 \text{ cm}^2$ ,  $I_{x_1 y_1} = 0$



24-расм.



$$I_{x_1} = \frac{b_1 h_1^3}{12} = \frac{1 \cdot (24)^3}{12} = 1152 \text{ cm}^4, \quad I_{y_1} = \frac{h_1^3 b_1}{12} = \frac{24 \cdot 1^3}{12} = 2 \text{ cm}^4$$

2. 100x100x10 мм ўлчамли тенг томонли бурчак:

$$A_2 = 19,2 \text{ cm}^4; \quad I_x = I_y = 179 \text{ cm}^4; \quad Z_0^y = 2,83 \text{ cm}$$

$$I_{x_0} = 284 \text{ cm}^4; \quad I_{y_0} = 74,1 \text{ cm}^4$$

3. 160x100x10 мм ўлчамли тенг томонсиз бурчак:

$$A_3 = 25,3 \text{ cm}^4; \quad I_x = 667 \text{ cm}^4; \quad I_y = 204 \text{ cm}^4$$

$$y_0 = 5,23 \text{ cm}; \quad x_0 = 2,28 \text{ cm}; \quad \operatorname{tg}\alpha = 0,390 \text{ rad}$$

$$I_{\min} = I_{y_0} = 121 \text{ cm}^4$$

**Ечиш.** Кесимнинг оғирлик марказини топамиз.

Берилган кесимни ихтиёрий танланган ХОУ координата системасига жойлаштирамиз ва кесимдан X ва Y ўқларгача бўлган масофаларни қўйидаги формула билан топамиз:

$$x_c = \frac{\sum S_x}{\sum A} = \frac{A_1 x_1 + A_2 x_2 + A_3 x_3}{A_1 + A_2 + A_3}, \quad y_c = \frac{\sum S_y}{\sum A} = \frac{A_1 y_1 + A_2 y_2 + A_3 y_3}{A_1 + A_2 + A_3}$$

$$\text{Схемадан: } x_1 = 0; \quad x_2 = \frac{b_1}{2} + Z_0^y = 0,5 + 2,83 = 3,33 \text{ cm}$$

$$x_3 = \frac{b_1}{2} + 5,23 = 0,5 + 5,23 = 5,73 \text{ cm}$$

$$y_1 = 0; \quad y_2 = \frac{h_1}{2} - Z_0^y = \frac{24}{2} - 2,83 = 9,17 \text{ cm}$$

$$y_3 = -\left(\frac{h_1}{2} - 2,28\right) = -\left(\frac{24}{2} - 2,28\right) = -9,72 \text{ cm}.$$

$$\text{У ҳолда: } X_c = 3,05 \text{ cm}; \quad Y_c = -1,02 \text{ cm}$$

Марказий бош инерция ўқларининг йўналишини аниқлаймиз. Кесимнинг топилган оғирлик маркази О нуқтадан  $X_c$  ва  $Y_c$  ўқларини ўтказамиз. Параллел ўқларга нис-

батан инерция моментлари формулаларидан фойдаланиб кесимнинг  $X_c$  ва  $Y_c$  ўқларга нисбатан ва марказдан қочма инерция моментларини топамиз. Ҳисоблаш формулаларини ва натижаларини қуийдаги жадвалга киритамиз (1-жадвал). Схемадан (24-расм):

$$\begin{aligned} a_1 &= -y_c = -1,02 \text{ см} \\ a_2 &= y_2 + y = 9,17 + 1,02 = 10,19 \text{ см} \\ a_3 &= -(y_3 - y_c) = -(9,72 - 1,02) = -8,7 \text{ см} \\ U_1 &= -x_c = -3,05 \text{ см} \\ U_2 &= x_2 - x_c = 3,33 - 3,05 = 0,28 \text{ см} \\ U_3 &= x_3 - x_c = 5,73 - 3,05 = 2,68 \text{ см} \end{aligned}$$

Жадвални тўлдиришда бурчакларнинг марказдан қочма инерция моментларини топишга тўғри келади. Бурчакларнинг оғирлик марказларидан ўтувчи  $x_2$ ;  $y_2$ ;  $x_3$  ва  $y_3$  ўқлар бош инерция ўқлари эмас. Шунинг учун бу ўқларга нисбатан бурчакларнинг марказдан қочма инерция моментлари нолга тенг эмас. Координата ўқларини айлантирганда марказдан қочма инерция моментларининг ўзгариши формуласидан фойдаланиб  $I_{x_2y_2}$ ;  $I_{x_3y_3}$  ларни топамиз, яъни:

$$I_{x_2y_2} = \frac{I_{x_0} - I_{y_0}}{2} \sin 2\alpha_0 + I_{x_0y_0} \cdot \cos 2\alpha_0$$

Бу ерда:  $I_{x_0} = 284 \text{ см}^4$  ва  $I_{y_0} = 74,1 \text{ см}^4$  бурчакнинг бош инерция моментлари;  $\alpha = 45^\circ$  — ўқлар орасидаги бурчак  $x_0$  ва  $y_0$  бош инерция ўқларига нисбатан инерция моменти:

$$I_{x_2y_2} = \frac{284 - 74,1}{2} (-1) = -104,95 \text{ см}^4$$

$$I_{x_3y_3} = \frac{I_{x_0} - I_{y_0}}{2} \cdot \sin 2\alpha$$

Бу ерда:  $I_{y_0} = 121 \text{ см}^4$ ;  $\operatorname{tg}\alpha = 0,39$  ёки  $\alpha = 21^\circ 30'$ .  $I_{x_0} = I_{\max}$  инерция моментини  $I_{\max} + I_{\min} = I_x + I_y$  формуладан топамиз:  $I_{\max} = I_x + I_y - I_{\min}$ , демак:

Т/р	Эле- мент-- лар- нинг кесим юзала- ри	Координата- тар, см	Инерция моментлари, см <sup>4</sup>									
			$A, \text{см}^2$	$a$	$u$	$I_x$	$a^2 A$	$I_{xc}$	$I_y$	$H^2 A$	$I_x$	$I_{xy}$
1	24	-1,02	-3,05	1152	24,96	1176,96	2	223,26	225,26	0	50,2	50,2
2	19,2	10,19	0,28	179	1993,6	2172,6	179	1,5	180,5	-104,95	54,78	-50,2
3	25,3	-8,7	2,68	204	1915	2118	667	181,7	848,7	-214,49	-590	-804,4
				1535	3393,6	5467,6	848	406,5	1254,5	-319,4	-485	-804,4

$$I_{x_3y_3} = \frac{I_x + I_y - 2 \cdot I_{y_0}}{2} \cdot \sin 2\alpha = \\ = \frac{204 + 667 - 2 \cdot 121}{2} \cdot \sin 2(21^\circ 30') = -214,49 \text{ cm}^4$$

Тенг томонсиз бурчакнинг марказдан қочма инерция моментини қуидагида ҳам топиш мумкин:

$$I_{x_0y_0} = \frac{I_x - I_y}{2} \sin 2\alpha_0 + I_{x_3y_3} \cdot \cos \alpha = 0$$

Бу ерда:

$$I_{x_3y_3} = -\frac{I_x - I_y}{2} \operatorname{tg} 2\alpha = -\frac{667 - 204}{2} \operatorname{tg} 2(21^\circ 30') = -215,8 \text{ cm}^4$$

Бош инерция ўқларининг йўналиши:

$$\operatorname{tg} 2\alpha_0 = -\frac{2 \cdot I_{x_0y_c}}{I_c - I_{y_c}} = -\frac{2(-804,4)}{5467,6 - 1254,5} = 0,381 \text{ ёки } \alpha = 10^\circ 30'$$

Бош инерция моментларини топамиш:

$$I_{\max} = \frac{1}{2} \left[ (5467,6 + 1254,5) \pm \sqrt{(5467,6 - 1254,5)^2 + 4(804,4)^2} \right] = \\ = 0,5(6721 \pm 4509)$$

Бу ерда:  $I_{\max} = 5615 \text{ cm}^4$  ва  $I_{\min} = 1106 \text{ cm}^4$

Текшириш:  $I_{\max} + I_{\min} = I_{x_c} + I_{y_c}$  ёки

$$5615 + 1106 = 5466 + 1254,5 \quad 6721 = 6722 \text{ см}$$

**3-масала.** Иккита 20-номерли швеллер, иккита  $100 \times 100 \times 10$  мм тенг томонли бурчак ва 20-номерли қўштаврдан ташкил топган кесимнинг оғирлик маркази; оғирлик марказидан ўтувчи  $x_c$  ва  $y_c$  ўқларига нисбатан инерция моментларини; бош инерция ўқларининг йўналишини ва бош инерция моментларини топинг.

**Ечиш.** Масалани ечиш учун кесимни ташкил қилган элементларнинг геометрик тавсифларини ёзамиш (2-жадвал).

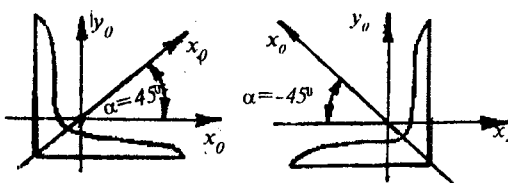
2-жадвал

Элемент-нинг номи	Баландлиги $h$ , см	Эни $b$ , см	Кесим юзаси $A$ , $\text{см}^2$	Инерция моменти $I_x$	Оғирлик маркази $I_y$	
Швэллер	$h_w = 20$	$b_w = 7,6$	$A_w = 23,4$	1520	113	2,07
Тенг томонли бурчак	$h_b = 10$	$b_b = 10$	$A_b = 19,2$	179	179	2,83
Құштавр	$H_k = 20$	$b_k = 10$	$A_k = 26,8$	1840	115	—

Тенг томонли бурчакнинг  $X_0$  ва  $Y_0$  ўқларга нисбатан инерция моментлари  $I_{x_0} = 284 \text{ см}^4$  ва  $I_{y_0} = 74,1 \text{ см}^4$  ёрдамда марказдан қочма инерция моментини топамиз: чунки, учинчи ва түртінчи элементларда  $X_0$  ўқи тенг томонли бурчакнинг  $X_3$  ва  $X_4$  ўқларини, тегишилилича манфий ва мусбат томонларыда жойлашған.

$$I_{xy}^{III} = \frac{I_{x_0} - I_{y_0}}{2} \cdot \sin 2\alpha_0 = \frac{284 - 74,1}{2} \cdot 1 = 104,95 \text{ см}^4$$

$$I_{xy}^{IV} = -104,95 \text{ см}^4$$



α бурчак абсциссага нисбатан соат стрелкасининг йұналишига қарама-қарши томонға жойластирилса, ишораси мусбат, акс ҳолда манфий бўлади.

Кесимни М: 1:1 ёки М 1:2 масштабда чизамиз (25-расм). Ҳар бир элементнинг оғирлик марказларини белгилаймиз:  $O_1$  ва  $O_2$  нуқталар 20-номерли швэллернинг оғирлик марказлари;  $O_3$  ва  $O_4$  нуқталар тенг томонли бурчакнинг оғирлик марказлари;  $O_5$  нуқта 20 номерли құштаврнинг

оғирилкі маркази. Элементларнинг оғирилкі марказларидан  $x_1o_1y_1$ ;  $x_2o_2y_2$ ;  $x_3o_3y_3$ ;  $x_4o_4y_4$  ва  $x_5o_5y_5$  ўқларини ўтказамиз. Кесимни ихтиёрий таңланган координата ўқига жойлаштирамиз. Унда  $x$  ўқи  $x_1$  ва  $x_2$  ўқларининг устига,  $y$  ўқи эса  $y$ , ўқининг устига тушади.  $x$  ўқи билан  $x_1$ ;  $x_2$ ;  $x_3$ ;  $x_4$  ва  $x_5$  ўқлари ва  $y$  билан  $y_1$ ;  $y_2$ ;  $y_3$ ;  $y_4$  ва  $y_5$  ўқлари орасидаги масофаларни белгилаймиз (25-расм):

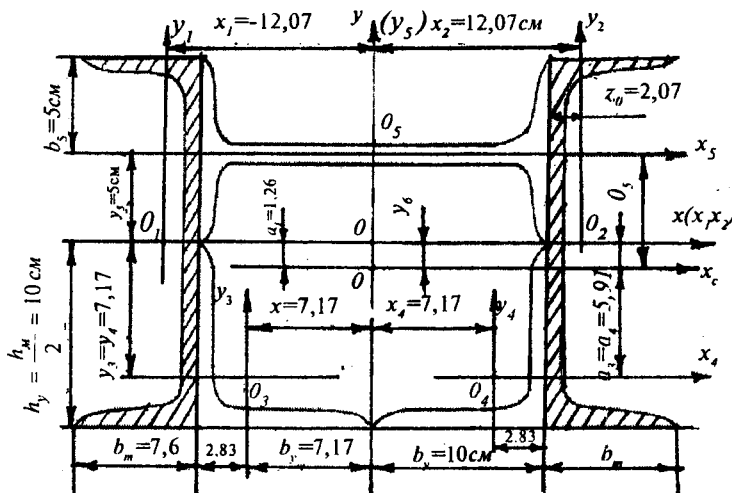
$$x_1 = -\left(\frac{h_k}{2} + z_o^w\right) = -\left(\frac{20}{2} + 2,07\right) = -12,07 \text{ см}; \quad x_2 = 12,07 \text{ см}$$

Чунки:

$$OO_1 = OO_2; \quad x_3 = -\left(\frac{h_k}{2} - z_o^w\right) = -\left(\frac{20}{2} - 2,83\right) = -7,17 \text{ см},$$

$x_4 = 7,17 \text{ см}$ ;  $OO_3 = OO_4$ ,  $x_5 = 0$ ;  $y$  ва  $y_5$  ўқлари устма-уст түшгән  $y_1 = y_2 = 0$ ;  $O$ ,  $O_1$  ва  $O_2$  нүкталари битта ўқ устида, яғни устма-уст түшгән  $x$ ,  $x_1$  ва  $x_2$  ўқларыда жойлашган:

$$y_3 = y_4 = -\left(\frac{h_w}{2} - z_o^g\right) = -\left(\frac{20}{2} - 2,83\right) = -7,17 \text{ см}$$



25-расм.

$$y_s = \frac{h_w}{2} = \frac{b_k}{2} = 0,5(20 - 10) = 5 \text{ см}.$$

Кесимнинг оғирлик марказининг координаталарини топамиз:

$$x_c = \frac{A_w x_1 + A_w x_2 + A_3 x_3 + A_6 x_4 + A_k \cdot x_5}{2A_w + 2A_6 + A_k} = 0$$

Чунки кесим ўқига нисбатан симметрик:

$$\begin{aligned} y_c &= \frac{A_w y_1 + A_w y_2 + A_6 y_3 + A_6 y_4 + A_k \cdot y_5}{2A_w + 2A_6 + A_k} = \\ &= \frac{-2 \cdot 19,2 \cdot 7,17 + 26,8 \cdot 5}{2 \cdot 23,4 + 2 \cdot 19,2 + 26,8} = -1,26 \text{ см} \end{aligned}$$

$x_c = 0$  ва  $y_c = -1,26$  см координаталар билан кесимнинг оғирлик маркази — С нүктани топамиз ва  $x_c$  сүршети координата ўқларини чизамиз.  $x_c$  ўқи билан  $x_1; x_2; x_3; x_4$  ва  $x_5$  ўқлари орасидаги масофаларни топамиз:  $a_1 = a_2 = y_c = 1,26$  см

$$a_3 = a_4 = -(y_3 - y_c) = -(7,17 - 1,26) = -5,91 \text{ см}$$

$$a_5 = y_5 + y_c = 5 + 1,26 = 6,26 \text{ см}$$

$x_c$  ва  $y_c$  ўқларига нисбатан кесимнинг инерция моментларини параллел ўқларга нисбатан инерция моментини аниқлаш формуласидан фойдаланиб топамиз. Ҳисоблаш формулаларини ва натижаларини жадвалда бажарамиз (3-жадвал).

Жадвалдан кўриниб турибдики, кесимнинг марказдан ючма инерция моменти ( $I_{x_c y_c} = 0$ ) нолга тенг экан. Демак,  $x_c$  ва  $y_c$  ўқлари бош инерция ўқлари,  $I_x$  ва  $I_y$  инерция моментлари эса бош инерция моментларидир.

**4-масала.** Иккита 12 швэллердан ташкил топган кесим (26-расм) учун қўйидаги тавсифлар топилсин:

1. Оғирлик маркази.
2. Оғирлик марказидан ўтувчи  $x_c$  ва  $y_c$  ўқларига нисбатан инерция моментлари.
3. Бош инерция ўқларининг йўналиши.
4. Бош инерция моментлари.

3-жаддаул

Кесим №	Элементтарынин кесим №	Юзатерниң оғыртк марказатарынин координаталары, см		Юзатерниң инерция момендері, см <sup>2</sup>		Марказдан құмдаған инерция моменни						
		І <sub>с</sub>	І <sub>с</sub> = І <sub>1</sub> + а <sup>2</sup> А	І <sub>с</sub> = І <sub>у</sub> + x <sup>2</sup> А	І <sub>с</sub> ' = І <sub>у</sub> + x <sup>2</sup> А							
1.	23,4	1,26	-12,07	1520	37,15	1557,15	113	3409	3522	0	-355,9	-355,9
2.	23,4	1,26	12,07	1520	37,15	1557,15	113	3409	3522	0	355,9	355,9
3.	19,2	-5,91	-7,17	179	670,6	849,6	179	987	1166	104,95	813,6	918,5
4.	19,2	-5,91	7,17	179	670,6	849,6	179	987	1166	-104,95	-813,6	-918,5
5.	26,8	6,26	0	115	1050,2	1165,2	1840	0	1840	0	0	0
Жамн:		3513	2465,7	5978,7	2424	8792	11216	0	0	0	0	0

5. Кесимни 1:2 масштабда чизиб, ҳамма ўқлари ва ўлчамлари күрсатилсін.

**Ечиш.** Кесимни масштабда чизиб оламиз, ҳар бир кесимнинг оғирлик марказидан  $x_1o_1y_1$  ва  $x_2o_2y_2$  ўқларини ўтказамиз. Кесимларни 1 ва 2 рақамлар билан белгилаб оламиз ва тавсифларни ёзиб оламиз:

$$\begin{aligned} h &= 12 \text{ см}; & b &= 52 \text{ см}; \\ A &= 13,3 \text{ см}^2; & I_x &= 304 \text{ см}^4; \\ I_y &= 31,2 \text{ см}^4; & Z_0 &= 1,54 \text{ см}. \end{aligned}$$

Кесимни ихтиёрий хоу координата ўқига жойлаштириб,  $x_c$  ва  $y_c$  оғирлик маркази координаталарини топамиз:

$$x_c = \frac{A_1 x_1 + A_2 x_2}{A_1 + A_2}; \quad y_c = \frac{A_1 y_1 + A_2 y_2}{A_1 + A_2}$$

$$\text{Чизмадан } x_1 = \frac{h}{2} = \frac{12}{2} = 6 \text{ см}; \quad x_2 = h - z_0 = 12 - 1,54 = 10,46 \text{ см};$$

$$y_1 = h + z_0 = 12 + 1,54 = 13,54 \text{ см}; \quad y_2 = \frac{h}{2} = \frac{12}{2} = 6 \text{ см} \text{ ни ҳосил} \\ \text{қиласыз, } x_c = 8,23 \text{ см} \text{ ва } y_c = 9,77 \text{ см} \text{ ни топамиз.}$$

Чизма (26-расм) да О нүктадан  $x_c = 8,23$  см ва  $y_c = 9,77$  см масштабда ўлчаб қўйиб С нүктани – кесимнинг оғирлик марказини топамиз. Агар  $x_c$  ва  $y_c$  тўғри топилган бўлса, С нүкта  $O_1$  ва  $O_2$  нүкталардан ўтказилган чизиқ устида жойлашади.

Шаклларнинг марказий ўқлари  $x_1o_1y_1$ ;  $x_2o_2y_2$ ;  $x_c$  ва  $y_c$  ўқлари орасидаги масофаларни топамиз (26-расм):

$$a_1 = -(x_c - x_1) = -(8,23 - 6) = -2,23 \text{ см}$$

$$a_2 = x_2 - x_c = 10,46 - 8,23 = 2,23 \text{ см}$$

$$b_1 = y_1 - y_c = 13,54 - 9,77 = 3,77 \text{ см}$$

$$b_2 = -(y_c - y_2) = -(9,77 - 6) = -3,77 \text{ см}$$

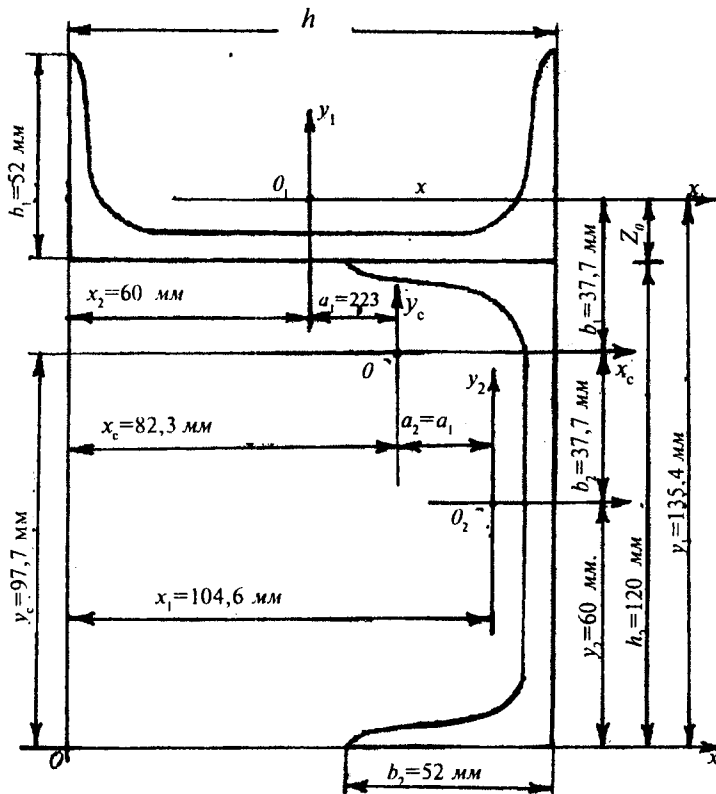
$x_c$  ва  $y_c$  ўқларига нисбатан кесимнинг инерция моментларини параллел ўқларга нисбатан инерция моментини аниқлаш формуласидан фойдаланиб топамиз.

Ҳисоблашни 4-жадвал бўйича бажариш қулай.  $x_1o_1y_1$  ва  $x_2o_2y_2$  ўқлари 1 ва 2-элементларнинг марказий ва бош

инерция ўқлари ҳисобланади. Шунинг учун 1 ва 2-элементларни марказий ўқларига нисбатан марказдан қочма инерция моментлари нолга тенг бўлади.

Кесимнинг марказий ўқларидан биттаси ёки иккитаси симметрия ўқи бўлса, бу ўқлар бош инерция ўқларидир. Масалан, тенг томонли бурчакни марказий ўқлари симметрия ўқи эмас. Шунинг учун бу ўқлар бош инерция ўқлари деб ҳисобланмайди. Агар чизмадаги иккита элементдан биттаси юқорида айтилган бурчак элементи бўлса, марказдан қочма инерция моменти қўйидагича топилади:

$$I_{xy} = \frac{I_{x_0(\max)} - I_{y_0(\min)}}{2} \sin 2\alpha = \frac{I_{x_0} - I_{y_0}}{-2} \quad (\alpha = 45^\circ)$$



26-расм.

Кесим бош инерция ўқларининг йўналишини топамиз:

$$\operatorname{tg} 2\alpha_0 = - \frac{2 \cdot 223,6}{467,4 - 713,2} = 1,819 \text{ rad}$$

Бу ерда:  $2\alpha = 61^\circ$ ;  $\alpha_0 = 30^\circ 30'$

Бош инерция моментларини аниқлаймиз:

$$I_{\max} = \frac{1}{2} \left[ (713,2 + 467,4) \pm \sqrt{(713,2 - 467,4)^2 + 4(223,6)^2} \right] = \\ = 0,5(1180,6 \pm 510,3) \text{ cm}^4 \quad I_{\max} = 845,45 \text{ cm}^4 \\ I_{\min} = 335,15 \text{ cm}^4$$

Кесим элемент-ларининг №	Элемент-ларнинг кесим юзалари $A$ , $\text{см}^2$	Юзаларнинг оғирлиқ марказлариниң координаталари, см		Юзаларнинг инерция моментлари, $\text{см}^4$				$I_{x,y_c} = I_x + abA$	
		Ўқларга нисбатан инерция моментлари				Марказдан кочманинг инерция моменти			
		$I_x = I_x + b^2 A$		$I_y = I_y + a^2 A$		$I_x$	$I_y$		
$a$	$b$	$I_x$	$B^2 A$	$I_x$	$I_y$	$a^2 A$	$I_y$	$I_{x,y_c}$	
1	13,3	-2,23	3,77	31,2	189	220,2	304	66,1	
2	13,3	2,23	-3,77	304	189	493	31,2	370,1	
Жами:				335,2	378	713,2	335,2	97,3	
						132,2	467,4	0	
							-223,6	223,6	

Текшириш:

$$I_{x_0,y_0} = \frac{I_{x_0} - I_{y_0} \sin 2\alpha_0 + I_{x,y_c} \cos 2\alpha_0}{2} = 0$$

$$I_{x_0,y_0} = \frac{713,2 - 467,4 \sin 2(30^\circ 30') - 223,6 \cos 2(30^\circ 30')}{2} = 122,9 - 0,875 - 223,6 \cdot 0,484 = 0,7 \text{ см}^4$$

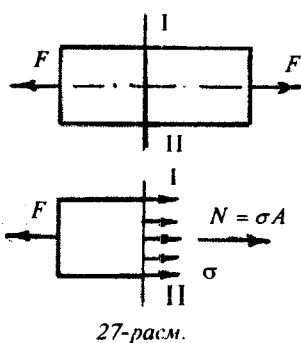
## И Б О Б

### ЧҮЗИЛИШ ВА СИҚИЛИШ

Чүзилиш ва сиқилиш машина элементларидан ва конструкция қисмларында күп учрайдиган ҳолдир. Масалан, занжирлар, трослар, фабрика-заводларнинг трубалари, бино томини ушлаб турувчи колонкалар ва ҳ.к.лар чүзилиш ёки сиқилиш деформациясига учрайди. Иншоот ёки конструкция қисмлари маҳкамланиш турига ёки юк ва ташқи кучларнинг таъсири қилиш тавсифига қараб марказий ёки марказлашмаган чүзилиш ёки сиқилишда бўлади.

Марказий чүзилиши ёки сиқилиши деб, бир-бирига тенг ва ўқи бўйлаб қарама-қарши томонларга йўналган кучлар таъсиридаги стерженнинг деформациясига айтилади (28-расм).

#### 2.1. БЎЙЛАМА КУЧ. КУЧЛАНИШ ВА ДЕФОРМАЦИЯ



Марказий чүзилиш ва сиқилишда стерженнинг кўндаланг кесимида фақат бир хил ички куч омили — бўйлама куч  $N$  ҳосил бўлади. Бўйлама куч кесиш усули орқали топилади.  $N$  кучи кесимдан йўналган бўлса чўзувчи бўйлама куч деб қабул қилинади ва мусбат ишорали бўлади. Агар  $N$  кучи кесимга қараб йўналган бўлса сиқувчи бўйлама куч бўлади ва ишораси манфий олинади.

Кесиш усулидан фойдаланиб  $N$  кучни топишда, унинг йўналиши номаълум бўлса, мусбат ишорани олиш мақсадга мувофиқдир. Стерженъ бир қанча ташқи кучлар таъсирида бўлса, стерженнинг узунлиги бўйлаб ички кучларнинг графигини чизиш керак. Стерженъ ўқи бўйлаб  $N$  кучининг ўзгариш графигига бўйлама куч эпюраси дейилади.  $N$  кучни топиш учун мувозанат тенгламаларидан фойдаланамиз. Бўйлама куч  $N$  стерженъ кўндаланг кесимининг

чексиз кичик юзасига ( $dA$ ) таъсир этувчи  $\sigma dA$  ички кучларнинг тенг таъсир этувчиси ҳисобланади:

$$N = \int_A \sigma \cdot dA \quad (2.1)$$

Тажриба шуни кўрсатадики, марказий чўзилиш ёки сиқилишда стерженинг кўндаланг кесимлари бошланғич ҳолатига нисбатан параллел кўчади, яъни деформацияга-ча текис бўлган кесимлар деформациядан кейин ҳам текислигича қолади. Шунинг учун стерженъ кесим юзасининг ҳар бир нуқтасига қўйилган кучланиш бир хил бўла-ди, яъни:  $\sigma = \text{const}$

Демак, (2.1) формулани қуйидагича ёзиш мумкин экан:

$$N = \sigma \cdot A \quad \text{ва} \quad \sigma = \frac{N}{A} \quad (2.2)$$

Бу ерда:  $\sigma$  — стерженъ кесим юзасининг нормал кучланиши;  $A$  — стерженинг кўндаланг кесим юзаси,  $\text{m}^2$ .

Чўзилиш ва сиқилишга ишлайдиган деталларнинг мустаҳкамлигини ҳисоблашда нормал кучланиш —  $\sigma$  нинг қайси қиймати хавфли эмас, деган савол туғилади. Албатта, бу кучланиш детални ёмирилиш ёки уни ноқулай шароитда ишлаш ҳолатига тўғри келувчи хавфли кучланиш —  $\sigma_0$  дан кичик бўлиши керак. Конструкция қисмларининг хавфсиз ҳолатини таъминловчи кучланишга рухсат этилган кучланиш дейилади. Бу кучланишни  $[\sigma]$  орқали ифодалаймиз.  $[\sigma]$ нинг қиймати тажрибалар орқали топилади.

Демак, конструкция қисмida ҳосил бўлган энг катта нормал кучланиш  $\sigma = \sigma_{\max}$ , шу конструкция материали учун танланган рухсат этилган кучланишдан катта бўлмаса, конструкциянинг мустаҳкамлиги таъминланган бўла-ди, яъни:

$$\sigma_{\max} = \frac{N_{\max}}{A} \leq [\sigma] \quad (2.3)$$

(2.3) формула чўзилиш ёки сиқилишдаги мустаҳкамлик шарт дейилади.  $[\sigma]$  нинг қиймати хавфли нормал кучланишнинг бир қисмига тенг деб қабул қилинади:

$$[\sigma] = \frac{\sigma_0}{n} \quad (2.4)$$

Бу ерда:  $\sigma_0$  — материалнинг мустаҳкамлик чегараси;  $n$  — эҳтиётлик коэффициенти.

Эластик жисмлар деформацияси тажрибалар асосида кузатилганда таъсир қилувчи нормал кучланишлар нисбий деформацияга тўғри пропорционал эканлигини аниқлаш мумкин:

$$\sigma = E \cdot \varepsilon \quad (2.5)$$

Бу шарт Гук қонуни дейилади. (2.5) формуладаги  $\varepsilon$  — нисбий узайиш. Нисбий узайиш бруснинг абсолют узайиши —  $\Delta l$  нинг бошлангич узунлиги нисбатига тенгдир:

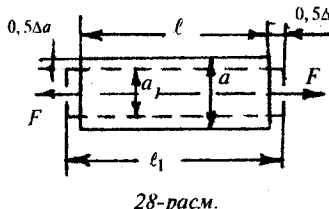
$$\varepsilon = \frac{\Delta l}{l} \quad (2.6)$$

Кўндаланг деформациянинг нисбий миқдори:

$$\varepsilon' = \frac{\Delta a}{a} \quad (2.7)$$

Агар (2.5) формулага (2.2) ва (2.6) ларни келтириб қўйсак, Гук қонунининг бошқа кўринишини топамиш:

$$\Delta l = \frac{N\ell}{EA} \quad (2.8)$$



Е катталиги пропорционаллик коэффициенти бўлиб, у эластиклик модули дейилади.  $E$  — физик константа, тажриба асосида топилади,  $\text{Н}/\text{м}^2$ ;  $\text{kН}/\text{м}^2$  ларда ўлчанади.  $E$  материалнинг турига қараб ўзгаради ва унинг физик-механик хоссасига боғлиқ бўлади.  $EA$  бруснинг чўзиши ёки сиқилишдаги бикрлиги дейилади.

Чўзиши ва сиқилишдаги кўндаланг нисбий деформация  $\varepsilon'$  нинг бўйлама нисбий деформация —  $\varepsilon$  га нисбати ўзгармас сон бўлиб, у Пуассон коэффициенти дейилади:

$$\mu = \frac{\varepsilon'}{\varepsilon} \quad (2.9)$$

Пуассон коэффициенти —  $\mu$  ҳам Е га ўхшаб материалнинг хоссасини аниқловчи катталиқдир.  $\mu$  нинг қиймати 0 дан 0,5 оралиқда материалнинг турига қараб ўзгариғи.

I-жадвал

Материал	Эластик-лик модули E, мПа	Пуассон коэффициенти $\mu$	Рұксат этилган күчланиш мПа	Ҳароратдан чизиқли кенгайиш коэффициенти $\alpha^{\circ}\text{C}^{-1}$	Солиши-тирма оғирлик $\rho$ , $\text{Н}/\text{м}^3$
Пұлат	$2 \rightarrow 10^5$	0,30	160	$125 \rightarrow 10^{-7}$	78
Чүян	$1,2 \rightarrow 10^5$	0,25	130	$104 \rightarrow 10^{-7}$	75
Мис	$1 \rightarrow 10^5$	0,32	60	$165 \rightarrow 10^{-7}$	83
Бронза	$1 \rightarrow 10^5$	0,35	90	$170 \rightarrow 10^{-7}$	82
Шиша	$0,56 \rightarrow 10^5$	0,25			

## 2.2. ҲАРОРАТ ТАЪСИРИДА КҮЧЛАНИШ ВА ДЕФОРМАЦИЯ

Техникада күпгина конструкция қисмлари ҳарорат таъсирида ишлайды (газ трубина, реактив двигатель қисмлари). Ҳарорат таъсирида ҳосил бўлган ички бўйлама куч N материалнинг эластиклик модули E, қиздирилиш ҳарорати  $t^{\circ}$  таъсиридаги чизиқли кенгайиш коэффициенти  $\alpha$  ва стерженнинг кўндаланг кесим юзаси A га боғлиқ бўлади, яъни:

$$N = \alpha \cdot \Delta t \cdot E \cdot A \quad (2.10)$$

$$\text{Ҳароратли күчланиш: } \sigma_t = \frac{N}{A} = \alpha \cdot \Delta t \cdot E$$

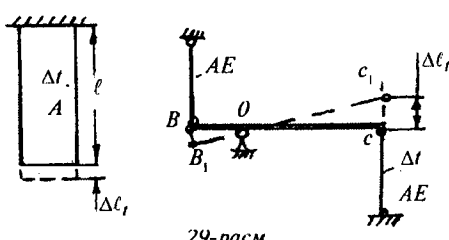
Текис қиздирилган бир жинсли стерженнинг абсолют узайиши қуйидаги формула билан топилади:

$$\Delta \ell_t = \alpha \cdot \Delta t \cdot \ell \quad (2.11)$$

(2.6) формуладан стерженнинг нисбий узайишини топиш мумкин:

$$\varepsilon = \alpha \cdot \Delta t \quad (2.12)$$

Агар стерженга ташқи чўзувчи куч  $F$  ҳам таъсир қилса, (2.11) ва (2.12) формулаларни қуидагича ёзиш мумкин:

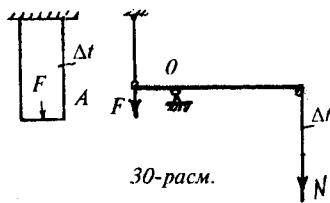


29-расм.

$$\Delta l = \alpha \cdot \Delta t \cdot l + \frac{N_t}{EA} \quad (2.13)$$

$$\text{ва } \varepsilon = \alpha \cdot \Delta t + \frac{\sigma}{E}$$

Ташқи куч  $F$  ва ҳарорат таъсиридаги деформациялар мустақил кўринишга эга ва у стерженнинг умумий деформациясини ташкил қиласди.



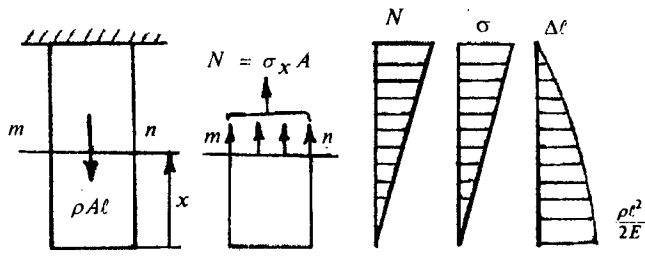
30-расм.

### 2.3. ХУСУСИЙ ОФИРЛИК ТАЪСИРИДАГИ СТЕРЖЕННИНГ ЧЎЗИЛИШ ЁКИ СИҚИЛИШИНИ ҲИСОБЛАШ

Узунлиги  $\ell$  га teng бўлган стержень хусусий оғирлик таъсирида узайди. Стерженнинг пастки учидан  $X$  масофада жойлашган т — п кесимининг ички кучи ва кучланишини аниқлаймиз. Бунинг учун кесиши усулидан фойдаланамиз. Стерженни икки қисмга ажратиб, пастки бўлагини олиб қоламиз. Стерженнинг ажратиб олинган пастки қисми ўзининг хусусий оғирлиги  $\rho Ax$  ва стерженнинг ташлаб юборилган қисмининг пастки қисмга қўйилган таъсири  $\sigma_x$  остида бўлади. Агар  $\sigma_x$  стерженнинг т — п кесимида teng тарқалган бўлса,  $N = \sigma_x A = \rho \cdot Ax$  ва  $\sigma_x = \rho \cdot x$  ҳосил бўлади.

Демак, хусусий оғирлик таъсирини ҳисобга олганда нормал кучланиш — материалнинг солиштирма оғирлиги  $\rho$  ва стерженнинг узунлиги  $\ell$  га боғлиқ бўлади. Нормал кучланиш  $X = \ell$  кесимда, яъни таянч кесимда энг катта қийматга эришади:

$$\sigma_{\max} = \rho \cdot \ell \quad (2.15).$$



31-расм.

Стерженнинг хавфли кесими учун мустаҳкамлик шарти қуидагида ёзилади:

$$\sigma_{\max} = \rho \cdot \ell \leq [\sigma] \quad (2.16)$$

Агар, стерженнинг пастки учига  $F$  куч қўйилган бўлса, мустаҳкамлик шартининг кўриниши ўзгаради (32-расм):

$$\sigma_{\max} = \frac{F}{A} + \rho \cdot \ell \leq [\sigma] \quad (2.17)$$

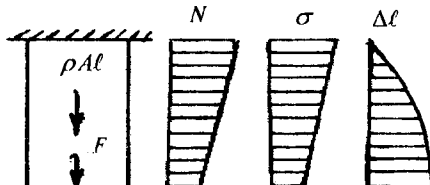
(2.16) ва (2.17) формулалардан фойдаланиб стерженниг мустаҳкамлигини таъминлайдиган критик узунлик:

$$\ell_k = \frac{[\sigma]}{\rho}; \quad \ell_k = \frac{[\sigma] A - F}{\rho A}$$

Бруснинг хусусий оғирлик таъсирида узайишини тошиш учун Гук қонунидан фойдаланамиз (31-расм):

$$\Delta\ell = \int_x^{\ell} \frac{Ndx}{EA} = \int_x^{\ell} \frac{\rho \cdot A \cdot x \cdot dx}{EA} = \frac{\rho}{2E} (\ell^2 - x^2) \quad (2.18)$$

ва кесим юзасини аниқлаш мумкин:



32-расм.

$$A \geq \frac{F}{[\sigma] - \rho \cdot \ell} \quad (2.19)$$

(2.19) формула билан танлаб олинган кесим юза стерженниң хавфли таянч кесимини қаноатлантиради, чунки шу кесимда нормал күчланиш энг катта қийматга эришади.

Стерженниң узунлиги бүйлаб кесим юзани (2.19) формула ёрдамида танлаш мүмкін эмас, чунки  $X = 0$ ;  $\sigma = 0$  ва  $X = \ell$  бўлса,  $\sigma = \sigma_{\max}$  га асосан, нормал күчланиш стерженниң узунлиги бүйлаб барча кесимларда тўғри чизиқли қонуният билан ўзгарувчандир. Бу ҳолат стерженниң узунлиги бүйлаб барча кесимлар нормал күчланиши билан бир хил юкланмаганлигини ва ортиқча материал сарфланганлигини билдиради.

Стерженниң узунлиги бүйлаб кесимни шундай танлаш керакки, унинг барча кесим юзаларида  $\sigma$  бир хил қийматга эга бўлсин. Бундай стерженлар тенг қаршилик кўрсатувчи бруслар дейилади.

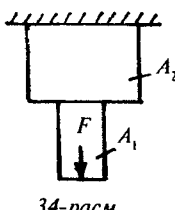
Агар, стержень ташқи  $F$  күч билан ҳам юкланган бўлса (32-расм):

$$\Delta\ell = \int_x^{\ell} \frac{(F + \rho Ax)dx}{EA} = \frac{N(\ell - x)}{EA} + \frac{\rho}{2E} (\ell^2 - x^2) \quad (2.20)$$

ҳосил бўлади.

**Тенг қаршилик кўрсатувчи брусларниң кўндаланг кесим юзаси**

$$A_x = A_0 \ell^{[\sigma]^x} \quad (2.21)$$



формула билан топилиб, брусларниң узунлиги бүйлаб нормал күчланишининг тарқалиш қонуниятига боғлиқ бўлади.

Тенг қаршилик кўрсатувчи брусларни тайёрлашда кесимдан рационал фойдаланганлиги учун ортиқча материал сарфланмайди.

ди. Тенг қаршилик күрсатувчи бруслар қўпинча погонали қилиб тайёрланади (34-расм). Погонали брусларниң кесим юзлари қўйидагича топилади:

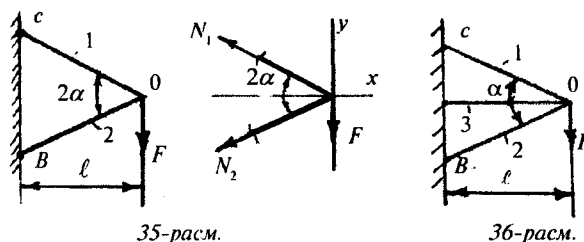
$$A_1 = \frac{F}{[\sigma] - \rho \cdot \ell_1} \quad \text{ва} \quad A_2 = \frac{F + \rho A_1 \ell_1}{[\sigma] - \rho \ell_2}$$

#### 2.4. ЧЎЗИЛИШ ВА СИҚИЛИШДА СТАТИК НОАНИҚ СИСТЕМАЛАР

Амалиётда учрайдиган конструкция қисмларининг кўлчилиги кўндаланг кесимда ҳосил бўладиган ички чўзувчи ёки сиқувчи бўйлама кучлари ва кучланишларини кешиш усулидан фойдаланиб, системанинг ажратилган бўлагини мувозанат шартини тузиш билан топиш мумкин.

Масалан, С ва В кесимлари таянчга таянган ва О кесимида F куч билан юклangan стерженлар системасининг ички бўйлама кучларини топайлик (35-расм).

Системанинг мувозанат шартини таъминловчи иккита тенглама тузамиш:



$$\sum x = -N_1 \cos \alpha - N_2 \cos \alpha = 0 \quad (2.22)$$

$$\sum y = N_1 \sin \alpha - N_2 \sin \alpha - F = 0 \quad (2.23)$$

(2.22) ни тенгламадан  $N_1 = -N_2$  тенгликни (2.23) шартга келтириб қўйсак,  $N_2 = \frac{2 \sin \alpha}{\sin \alpha}$  ҳосил бўлади.

Агар системага яна битта стержень жойлаштирсақ, ундаги ички кучларни мувозанат шартлардан фойдаланиб топиб бўлмайди, чунки ажратилган қисмдаги ички кучларнинг сони шу қисмнинг мувозанат ҳолатини таъминловчи тенгламалар сонидан кўп бўлади (36-расм):

$$\sum x = -N_1 \cos \alpha - N_3 - N_2 \cos \alpha = 0 \quad (2.24)$$

$$\sum y = N_1 \sin \alpha - N_2 \sin \alpha - F = 0 \quad (2.25)$$

(2.24) ва (2.25) тенгламаларда учта  $N_1$ ,  $N_2$  ва  $N_3$  номаълум кучлар бўлиб, бу кучларни юқорида тузилган шартлар ёрдамида топиб бўлмайди.  $N_1$ ,  $N_2$  ва  $N_3$  ларни топиш ноаниқликка келиб қолади. Бундай системалар статик ноаниқдир.

(2.24) ва (2.25) тенгламалардан номаълум  $N$  ички кучларни топиш учун қўшимча тенгламалар тузилиши керак. Қўшимча тенгламалар — системанинг деформациясини ифодалайдиган геометрик бояганишлар — деформация тенгламалари мувозанат тенгламалари билан биргаликда ечилади ва номаълум ички кучлар топилади.

Икки томони бикр маҳкамланган ва  $F$  куч билан юкланган стержень ҳам статик аниқмас масаладир, чунки  $R_A$  ва  $R_B$  таянч реакциялари битта мувозанат шартидан топилиши мумкин эмас (37-расм):  $\sum y = 0$ ;  $R_A + R_B = F$

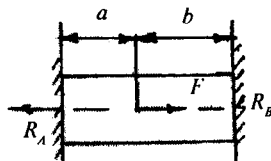
Демак, бу системани ечиш учун қўшимча деформация тенгламасидан фойдаланиш керак. Конструкция элементи ҳар хил материаллардан ташкил топганда ҳам статик ноаниқ масала кўринишидаги система ҳосил бўлади. Бу стержен статик аниқмас масаладир (38-расм).

Стержень кўндаланг кесимининг ўлчамлари топилсинг ( $A_n = 2 A_b$ ). Стерженга қўйилган сиқувчи  $F$  куч пўлат ва бронза стерженларига П детали орқали таъсирилди.  $F$  кучининг ҳар қайси стерженга таъсирини топиш учун битта тенглама тузиш мумкин:  $F_b + F_n = F$  (а)

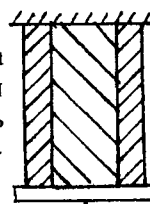
Бу тенгламада иккита номаълум куч бор.

$F_b$  ва  $F_n$  кучларни топиш учун қўшимча деформация тенгламасини тузамиз. Ташқи сиқувчи куч таъсирида ҳар иккала стержень ҳам бир хил масофага сиқилади. Гук қонунига асоссан:

$$\Delta\ell = \frac{F_b \ell}{E_b A_b} = \frac{F_n \ell}{E_n A_n} \quad (6)$$



37-расм.



38-расм.

Бу ерда:  $F_n = F_6 \frac{E_n A_n}{E_6 A_6}$  ни (а) тенгламага келтириб қўйсак:

$$F_6 \left(1 + \frac{E_n A_n}{E_6 A_6}\right) = F \text{ келиб чиқади.}$$

$$\text{У ҳолда: } F_6 = \frac{F}{1 + \frac{E_n A_n}{E_6 A_6}} \text{ ва } F_n = \frac{F}{1 + \frac{E_6 A_6}{E_n A_n}}$$

Ҳар қайси материалдаги кучланиш:

$$\sigma_6 = \frac{F_6}{A_6} \text{ ва } \sigma_n = \frac{F_n}{A_n}$$

У ҳолда (б) тенгламадан:  $\frac{\sigma_n}{\sigma_6} = \frac{E_n}{E_6}$ , агар  $E_n = 2 \cdot 10^5 \text{ мПа}$  ва  $E_6 = 1 \cdot 10^5$  бўлса,  $\sigma_n = 2\sigma_6$  ҳосил бўлади, яъни пўлатдаги кучланиш бронзадаги кучланишдан икки баробар катта экан. Лекин бронза учун рухсат этилган кучланиш пўлат учун рухсат этилган кучланишдан уч баробар кичик. Шунинг учун стерженнинг ўлчамлари бронза учун танланиши керак:  $\sigma_6 = \frac{F}{A_6 \left(1 + \frac{E_n A_n}{E_6 A_6}\right)} \leq [\sigma]_6$

$$\text{Бу ерда: } A_6 \geq \frac{5[\sigma]_6}{F}$$

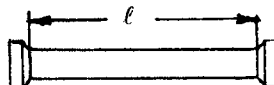
## 2.5. МАТЕРИАЛЛАРНИ ЧЎЗИЛИШ ВА СИҚИЛИШГА СИНАШ

Конструкция қисмларини чўзилиш ва сиқилишга мустаҳкамлигини, бикрлигини ҳисоблашда рухсат этилган кучланиш  $[\sigma]$ , эластиклик модули Е ва Пуассон коэффициенти  $\mu$ , материалнинг эластиклик ва пластиклик хоссаларини ҳисобга олиш керак бўлади. Юқорида келтирилган материалларнинг механик ва пластиклик хоссалари конструкция қисмларининг ишлаш шароитларига, уларни тайёрлаш технологиясига боғлиқ бўлади. Турли шароитларда (юқори ва паст ҳароратда, ҳар хил деформация

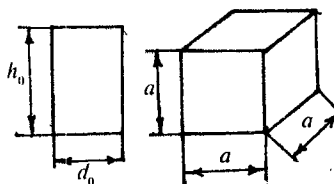
тезлигиди, механик ва термик ишлов беришда...) материалларнинг хоссаларини ўрганиш, чўзилиш ва сиқилишга синашнинг асосий мақсадидир.

Чўзилиш ва сиқилишга синаш маҳсус машиналар билан жиҳозланган лабораторияларда ўтказилади. Синашда қатнашадиган намунанинг шакли ва геометрик ўлчами стандартлаштирилган бўлиши керак:

Чўзилишда синаладиган намунанинг асосий хусусияти, унинг кучайтирилган ушлагич қисмидан  $d_0$  диаметрига деформациянинг силлиқ ўтишидир. Сиқилишга синаладиган намуналар цилиндрик (металл) ва кубик (ёғоч, бетон) шаклида тайёрланади.



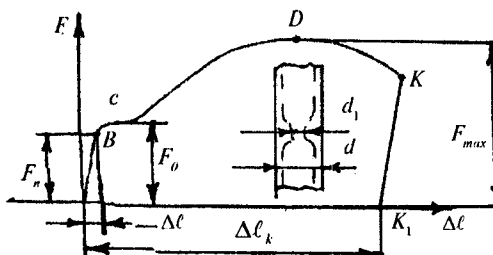
39-расм.



40-расм.

### 2.5.1. ЮМШОҚ ПЎЛАТНИНГ ЧЎЗИЛИШ ДИАГРАММАСИ

Чўзилишга синашда куч билан намунанинг узайини орасидаги боғланиш машинадан диаграмма (41-расм) кўринишида олинади.



41-расм.

Диаграмманинг тавсифли нуқталари қуйидагича номланади:

ОВ чизиқ пропорционаллик чегараси дейилади. ОВ чегарада материал Гук қонунига бўйсунади, чунки намунанинг узайиши ( $\Delta\ell$ ) чўзувчи кучга пропорционал ўзгаради. Бу қонуният В нуқтагача сақланади:

$$\Delta\ell = \frac{F\ell_0}{EA_0}$$

Гук қонуни бўйсунмайдиган ҳолат бошланишига тўғри келувчи кучланиш  $\sigma$  — материалнинг пропорционаллик чегараси дейилади. В нуқтадан сезилар-сезилмас баландроқда жойлашган  $B_0$  нуқта материалнинг эластиклик чегараси дейилади. Нисбатан камроқ (0,001...0,003) % қолдик деформация ҳосил қиласидиган кучланиш  $\sigma$ , эластиклик чегараси дейилади. Агар, ОВ оралиқда синовни тўхтатиб, намунадан кучни олсак, намунанинг узайиши йўқолади (сўнади). Сўнувчан деформация — эластик деформация, дейилади.

Чўзувчи кучни орттириб борсак, силлиқ қилиб тайёрланган намунанинг юзида стерженнинг симметрия ўқига нисбатан  $45^\circ$  бурчакда жойлашган чизиқлар ҳосил бўлади. Намунанинг юзи хидалашади ва унинг узайиши учун кучнинг орттирилиши талаб қилинмайди. Материал оқади.

Ўзгармас кучда намуна деформациясининг ўсиши — материалнинг оқувчанлик чегараси, дейилади. Материалнинг оқишига сабаб бўлувчи кучланиш  $\sigma$  га оқувчанлик чегараси дейилади. Д нуқтагача намунанинг  $\ell_0$  узунлиги чўзилади (деформацияланади). Д нуқтада намуна энг катта кучни қабул қиласи ва унинг бутун узунлиги узайишдан тўхтаб, маълум бир бўлаги узаяди. Маҳаллий узайиш ҳосил бўлади. Намунанинг маҳаллий узайишида қатнашган кўндаланг кесими қисқаради (диаметр кичиклашади), ингичка бўйин ҳосил бўлади. Қисқарган кесимни узиш учун кам куч сарф қилинади ва намуна ингичка бўйиндан К нуқтада узилади.

Энг катта куч  $F_{max}$  таъсирида ҳосил бўлган кучланиш материални мустаҳкамлик чегараси ёки вақтинчалик қаршилик дейилади:

$$\sigma_n = \frac{F_n}{A_0}; \quad \sigma_s = \frac{F_y}{A_0}; \quad \sigma_{ok} = \frac{F_{ok}}{A_0}; \quad \sigma_{max} = \frac{F_{max}}{A_0}. \quad (2.26)$$

(2.26) формулада топилган  $\sigma_n, \sigma_s, \sigma_{ok}$  ва  $\sigma_{max}$  кучланишлар материалнинг механик хоссаларини ташкил қилади. ОК<sub>1</sub> =  $\Delta\ell_k$  намунанинг узилишидаги қолдик деформацияси. K<sub>1</sub>U — намунанинг узилишидан кейин сўнган деформацияси (41-расм ).

$$\text{Намунанинг нисбий узайиши: } \delta = \frac{\Delta\ell_k}{\ell_0} \cdot 100 \% \quad (2.27)$$

Кўндаланг кесимнинг нисбий қисқариши:

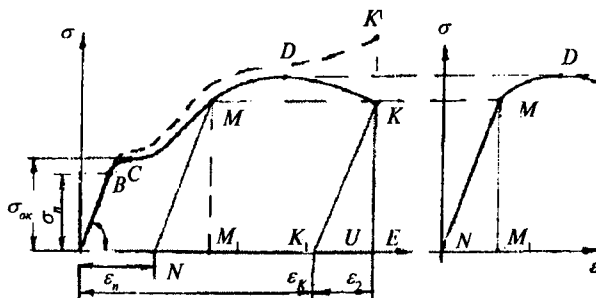
$\psi = \frac{A_0 - A_1}{A_0} \cdot 100\%$  намуна материалининг пластиклик хоссасини белгилайди. Масалан, агар  $\delta > 5\%$  бўлса, материал пластик ва  $\delta < 5\%$  бўлса, материал мўрт бўлади. Пластик материаллар учун  $\psi$  катта бўлади. Ст.2 маркали пўлат учун  $\psi = 55\dots65\%$ ,  $\delta = 28\dots33\%$ .

Материалнинг емирилмасдан катта деформация ҳосил қила олиш қобилияти пластиклик дейилади. Пластикликнинг ўлчови — нисбий узайишидир. Мўртлик — материалнинг пластиклик хоссасига тескаридир.

### **$\sigma - \varepsilon$ координатасида чўзилиш диаграммаси.**

Бунинг учун F кучни A<sub>0</sub> га ва  $\Delta\ell$  ни намуна узунлигига бўламиз (42-расм).  $\sigma - \varepsilon$  координатадаги чўзилиш диаграммасини шартли диаграмма деб қабул қилсак ҳам бўлаверади. Чунки намунанинг чўзилишдаги турли ҳолатига тўғри келувчи кучланишларини ( $\sigma; \sigma_s; \sigma_{max}$ ) топишда чўзувчи куч — F ни намунанинг бошлангич кесим юзаси — A<sub>0</sub> га бўлдик.

Агар намунанинг узайишида кўндаланг ўлчамнинг қисқаришини ҳисобга олсак, (2.26) формула орқали топилган кучланишлар ҳақиқий кучланишлардан фарқли бўлиб чиқади. Ҳақиқий кучланишлар ёрдамида қурилган чўзилиш диаграммасининг ординатаси  $\sigma - \varepsilon$  координатасида ОВСМДК чизик билан чегаралганчан чўзилиш диаграммасининг ординатасидан баланддир (42-расм, пунктир чизик).



42-расм.

$\sigma - \varepsilon$  диаграммадан  $\operatorname{tg}\alpha = \frac{\sigma}{\varepsilon} = E$  ни ҳосил қилиш мүмкін. Материалнинг эластиклик модули  $E$  диаграмманинг тұғри чизиқли қисмимиң абсциссага нисбатан оғишган бурчагининг тангенсига теңгидір.

**Пухталаниш.** Намунанинг чүзилишини  $M$  нүктада тұхтатсақ, диаграмма  $OB$  чизиққа параллел  $MN$  чизиқ билан орқага қайтади. Намунада  $\varepsilon_N$  қолдик деформация ҳосил бўлади. Агар намунага қайта  $F$  кучни юкласақ, чүзилиш диаграммаси, намунанинг узайиши  $N$  нүктадан бошланади ва  $NM$  чизиқ устидан давом этади. Диаграмманинг қолган қисми  $MKD$  чизиги билан устма-уст тушади. Демак, намуна қайта юкландганда олдинги қолдик деформация  $\varepsilon_N$  ҳисобга олинмас экан. Такрорий (қайта) юклашда (чўзишда) материалнинг қолдик деформациясиз катта кучни қабул қилиш қобилияти яхшиланди.

Бу ҳолат  $MN$  чизиқда яққол кўринади.  $MN$  чизиқ такрорий юлашдаги пропорционаллик чегараси бўлиб, материалнинг эластиклик хоссасини аниқлайды. Пластик деформация таъсирида материал эластиклик хоссасининг яхшиланиши **пухталаниш** дейилади.

Пухталаниш техникада кўп учрайдиган технологик жараёндир. Масалан, ремен, занжир, трассларни совук ҳолатида бошланғич чўзилиши, пресслаш, валикларда про-катка қилиш ва ҳ.к.

## 2.5.2. МАТЕРИАЛЛАРНИНГ ЧҮЗИЛИШ ВА СИҚИЛИШ ДИАГРАММАЛАРИ

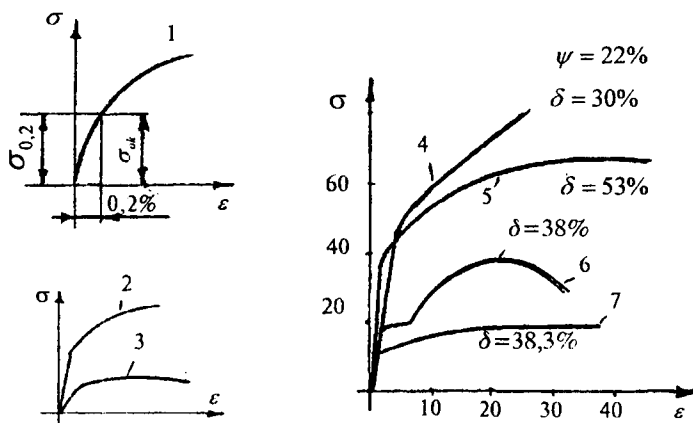
Мис, бронза, пўлат материалларнинг айрим навлари оқувчанлик чегарасига эга эмас. Диаграмманинг тўғри чизиқли қисми эгри чизиқ билан алмашади.

Оқувчанлик чегараси бўлмаган материалларда оқувчанлик чегарасига тегишли қучланишни шартли равища нисбий узайиши  $0,2\%$  га тўғри келувчи кучланишга тенг деб қабул қилинади (43-расм). Бундай материалларда пропорционаллик чегара сифатида намунанинг умумий деформациясининг  $0,002\%$  га тегишли кучланиш қиймати қабул қилинади. Диаграмманинг шу қисми тўғри чизиқ билан алмаштирилади ва Гук қонуни ишлатилади.

Пластик ва мўрт материалларни сиқилишга синаш учун намуналар тайёрланади (44-расм).

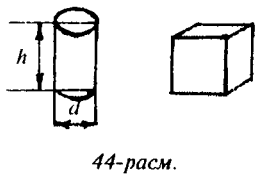
Ёғоч:  $35 \times 35 \times 35$ ; бетон:  $100 \times 100 \times 100$ ; керамика:  $10 \times 10 \times 10$  мм.

Юмшоқ пўлат сиқилишда ҳам чўзилишдаги каби катта қолдиқ деформация ҳосил қилиш хусусиятига эга. Сиқилиш диаграммаси фақат ўсувчан бўлади.



43-расм.

1—дюралюмин; 2— юқори сифатли легирланган пўлат; 3— алюмин ва пўлат; 5— никелли пўлат; 6— қўйма пўлат; 7— бронза.



Шунинг учун юмшоқ пўлатни сиқилишда мустаҳкамлик чегарасини аниқлаш мумкин эмас (45-расм, а).

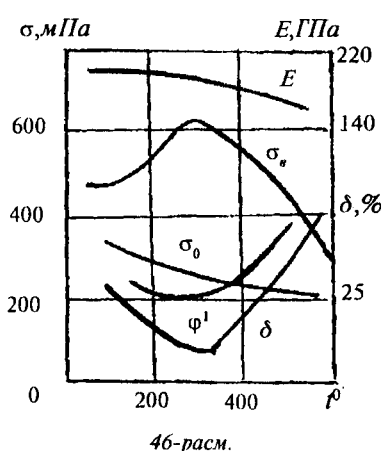
Юмшоқ пўлатни чўзилиш ва сиқилишдаги  $\sigma_n$ ,  $\sigma_{ok}$  кучланишлари тахминан бир хил:  $\sigma_n = 200$  мПа ва



Чўянда чўзилиш (45-расм, б 1) ва сиқилиш диаграммалари (45-расм, б 2) бир хил эмас. Чунки чўян чўзувчи кучга кам қаршилик кўрсатиб, жуда кичик қолдиқ деформация ҳосил қилиб емирилади.

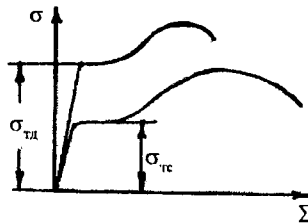
Чўянни чўзилишда узилиш бўйни сезилмайди, сиқилишда эса намуна F куч чизигига  $45^\circ$  бурчак остида емирилади. Умуман, материалнинг хоссалари синов ишларини ўтказиш шароитига, материалларнинг олиниш технологиясига, термик ва механик ишлов бериш усулига, ҳарорат ва ташқи куч қўйилиш тавсифига боғлиқ.

Масалан, ҳарорат  $30^\circ$  С га қадар кўтарилганда юмшоқ



пўлатнинг мўртлиги намоён бўлади, эластик модули Е тахминан ўзгармайди, окувчанлик чегараси кичраяди, мустаҳкамлиги ортади. Ҳарорат  $35^\circ\text{--}40^\circ$  га қадар кўтарилганда юмшоқ пўлатнинг хосаси ноаниклика яқинлашади. Унинг механик хусусиятлари ёмонлашади, пластиклик тикланади (46-расм). Бу ҳолат фақат юмшоқ пўлатга хосдир.

Легирланган пўлат ва ранги металларда ҳарорат кўтарилиши билан  $\sigma_{\text{жк}}$  ва  $\sigma_e$  бир хил камайиб борса, дэ эса ошиб боради. Юкланиш тезлиги ортиши билан пластик материалнинг хоссалари мўрт материал хоссасига яқинлашади (47-расм, 1—статик куч, 2—динамик куч).



47-расм.

Юкланиш тезлиги ортиши билан материалнинг оқувчанлик ва мустаҳкамлик чегаралари ортади. Динамик чўзилишнинг диаграммаси статик чўзилишнинг диаграммасидан баланд жойлашади.

Динамик чўзилишнинг диаграммаси ўқи томонга силжиган ҳолатда жойлашади. Динамик юкланишда юмшоқ пўлатнинг эластик модули тахминан ўзгармайди.

Пластмасса ва органик материалларнинг механик хоссалари деформация тезлигига боғлиқ. Пластмассага узоқ муддат куч таъсир қилиб турса, унинг мустаҳкамлик чегараси камаяди.

Конструкция элементлари тайёрланадиган конструкцион пўлат қўйма, қолиплаш, прокатлаш, судраб чўзиш усуллари билан олинади. Турли хил усуллар билан олинган бир хил таркибли пўлатнинг механик хоссалари ҳар хил бўлади. Қўйма усул билан олинган пўлатда конструкциянинг мустаҳкамлигини камайтирувчи ҳар хил ички нуқсон ҳосил бўлиши мумкин. Шунинг учун материалларни рентгенли, ультратровушли ёки бошқа усуллар билан текшириб кўриш керак.

Прокатлаш пўлатни анизатроп материалга айлантиради. Прокатлаш йўналишида материалда тола ҳосил бўлади. Агар деталнинг ўқи материалнинг толасига параллел бўлса, материалнинг мустаҳкамлиги катта бўлади.

Материалнинг оқувчанлик чегарасидан ташқарида пухталаниши унинг оқувчанлик ва мустаҳкамлик чегарасини ортиради, узилишдан кейинги қолдик деформациясини камайтиради. Материал мустаҳкам ва эластик бўлади, пластиклиги камаяди.

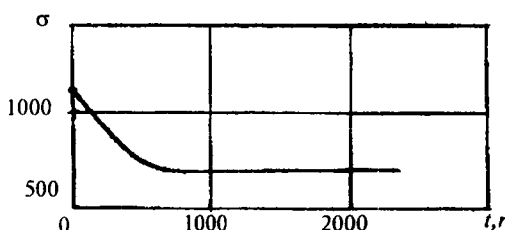
Материалларнинг механик ва пластик хоссаларини ўзгариши учун уларга термик ишлов берилади: юмшатиш, тоблаш ва бўшатиш.

Пўлат маълум ҳароратгача қиздирилиб ушлаб турилади, сўнгра аста-секин совитилади. Юмшатиш натижасида пўлатнинг мустаҳкамлик тавсифи камаяди, пластиклик хусусияти ортади. Натижада, унинг бошланғич ички кучланиши йўқотилади, қирқиб ишиш осонлашади.

Тобланган пўлатда мустаҳкамлик ортади, пластиклик эса камаяди. Бўшатилган пўлатда пластиклик ортади, мустаҳкамлик хусусиятлари камаяди.

Юқори ҳароратда материал хоссасининг ўзгаришида сурилиш аҳамиятлидир. Юқори ҳароратда ўзгармас кучланиш таъсирида вақт ўтиши билан деформациянинг ўсишига сурилиши дейилади. Кўргошин, латунъ, бронза, алюминий ва бошқа рангли металларда сурилиш кичик ҳароратда ҳам содир бўлиши мумкин. Ҳарорат қанча катта бўлса, сурилиш шунча тез ҳосил бўлади.

Айрим ҳолларда жуда катта вақт оралиғида кучланиши пропорционаллик чегарасидан кичик бўлган материалнинг юқори ҳароратда деформациянинг тез ўсиши —емирилишига сабаб бўлиши мумкин. Сурилиш натижасида пластик деформациянинг ўсиши кучланишнинг деталь кесимида қайта тақсимланиши ёки камайишига олиб келади. Пластиклик деформациясининг ўсиши натижасида кучланишнинг камайиши релаксация ҳодисаси, дейилади (48-расм).

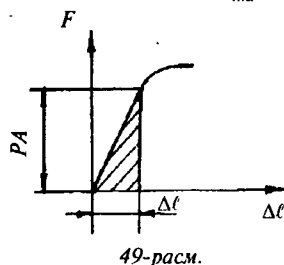


48-расм.

### 2.5.3. ЧҮЗИЛИШ ВА СИҚИЛИШДА ПОТЕНЦИАЛ ЭНЕРГИЯ

Намунани чүзишда ёки сиқишида машина иш бажаради. Бу иш миқдор жиҳатдан материалда түпланган потенциал ( $T$ ) ва кинетик ( $K$ ) энергиялар йиғиндисидан иборат бўлади, яъни:  $A_{иш} = T + K$ .

Намунага қўйилган ташқи куч статик куч бўлганлиги учун кинетик энергия нолга тенг. Демак, ташқи  $A_{иш} = T$  кучнинг бажарган иши намуна-нинг деформацияси натижасида материалда түпланган потенциал энергияга тенг экан. Иккинчи томондан, пропорционаллик чегарасида тўлиқ иш диаграммада штрихланган учбуручакнинг юзаси билан топилади (49-расм):



$$A_{иш} = \frac{F\Delta\ell}{2} = \frac{F^2\ell}{2EA_0} \quad \text{ёки} \quad T = \frac{F^2\ell}{2EA_0}$$

Деформациянинг солишишторма потенциал энергияси:

$$U = \frac{T}{V_0} = \frac{T}{A_0\ell} = \frac{F^2}{2EA_0^2} = \frac{\sigma^2}{2E} = \frac{\sigma\epsilon}{2}$$

### 2.6. РУХСАТ ЭТИЛГАН КУЧЛАНИШНИ ТАНЛАШ

Конструкцияларни мустақамликка ҳисоблаш асосан унинг айрим нуқталарида ҳосил бўладиган энг катта кучланиш  $\sigma_{max}$  бўйича олиб борилади.  $\sigma_{max}$  кучланиш, конструкциянинг ишлаш шароитидаги ва материали учун хос бўлган кучланишдан катта бўлмаслиги керак. Бу кучланиш, рухсат этилган кучланиш  $[\sigma]$ , дейилади ва материални синаш усули билан топилади, яъни:

$$[\sigma] = \frac{\sigma_0}{n}$$

$\sigma_0$  — материалнинг хавфли ҳолатига тўғри келувчи кучланиш.

Пластик материал учун  $\sigma_0 = \sigma_{ok}$  ва мёрт материал учун  $\sigma_0 = \sigma_a$  деб қабул қилинади.

$\sigma_{ok}$  — оқувчанлик чегарасидаги кучланиш;

$\sigma_a$  — мустаҳкамлик чегарасидаги кучланиш;

$n$  — әхтиётлик коэффициенти.

Оқувчанлик чегарасида пластик материалда қолдиқ деформация ҳосил бўлса, мёрт материаллар мустаҳкамлик чегарасида емирилади.

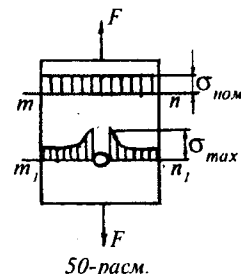
Пластик материаллар учун:  $n = 1,2 \dots 1,8$ ; бетон учун:  $n = 3$ , тош учун:  $n = 10$ ; чўян учун:  $n = 2,5 \dots 3$  га тенг.

Умуман әхтиётлик коэффициентини танлашда машинанинг аҳамияти ва ишлаш муддатига эътибор берилади. Масалан, қурилиш соҳасида  $n = 2 \dots 5$  ва авиация техникасида  $n = 1,5 \dots 2$ .

## 2.7. КУЧЛАНИШЛАР КОНЦЕНТРАЦИЯСИ

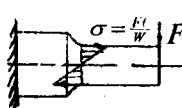
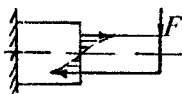
Турли нотекисликлар, тешиклар ва канавкалар ҳисобига кўндаланг кесимнинг (зайфлашиши) ўзгариши кучланишнинг нотекис тақсимланишига, кучланишлар концентрациясининг ҳосил бўлишига олиб келади (50-расм).

F куч таъсирида чўзилаётган стерженнинг  $m$  —  $n$  кесимида меъёрий кучланиш тенг тарқалади.  $m_1$  —  $n_1$  кесимида тешик ёнида кучланиш тўплами ҳосил бўлади. Кучланишнинг бундай тўпланиши маҳаллий кучланиш ёки кучланишлар концентрацияси дейилади. Маҳаллий кучланишни келтириб чиқарган нотекисликларнинг турига кучланишлар концентратори дейилади. Максимал кучланиш  $\sigma_m$ ни (50-расм) кучланиш  $\sigma_{nom}$ га нисбати кучланишлар концентрациясининг коэффициенти дейилади.



$$\alpha = \frac{\sigma_m}{\sigma_{nom}} \quad (2.28)$$

$$\sigma_{nom} = \frac{F}{A_0} \quad (2.29)$$



51-расм.

$\alpha_k$  нинг қиймати нотекисликнинг шакли ва ўлчамига боғлиқ ва эксперимент орқали топилади.

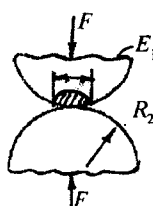
$A_0$  — стерженнинг заифлашмаган кўндаланг кесими юзаси.

Мўрт материалларда лак қопламасини ёки сеткасини ҳосил қилиш усули билан маҳаллий кучланиш аниқланиши мумкин. Айрим ҳолларда кесими ўзгарувчан стерженларда  $\alpha_k$  нинг қиймати материалнинг мустаҳкамлик чегарасини аниқлаш билан топилади:

$$\alpha_k = \frac{\sigma_{\text{ж}}}{\sigma}$$

## 2.8. КОНТАКТ КУЧЛANIШЛАР ҲАҚИДА ТУШУНЧА

Подшипниклар, тишли узатмалар, кўприкларнинг таянч қисмларидаи шар ва цилиндрик фидиракларнинг иш жараёнида контактли кучланишлар ҳосил бўлади. Демак, иккита ўзаро тегиб турадиган жисмни таъсирилашув юзасида пайдо бўладиган кучланишлар контактли кучланишлар дейилади.



52-расм.

Контактли кучланишларни кўпинча маҳаллий кучланишлар ҳам дейилади. Контактли кучланишларнинг ва деформацияларни тақсимланиш қонунияти ва аниқланишининг айрим усуллари, назарияси эластиклик назариясида келтирилган.

Диаметрлари  $d_1$  ва  $d_2$  бўлган иккита эластик шар марказий куч билан сиқилганда уларнинг ўзаро тегиб турган жойларида радиуси:

$$a = 0,88 \sqrt{\frac{F}{2} \cdot \frac{\frac{1}{E_1} + \frac{1}{E_2}}{\frac{1}{d_1} + \frac{1}{d_2}}}$$

бўлган доира ҳосил бўлади.

Контакт майдончасидаги нормал күчланиш нотекис тақсимланади. Энг катта күчланиш контакт доирасининг марказида бўлиб, күчланишнинг ўртача қийматидан 1,5 марта каттадир:  $\sigma_{\max} = 1,5 \frac{F}{\pi d^2}$

Агар шарларнинг материаллари бир хил бўлса, яъни:  $E_1 = E_2$  бўлса:

$$\sigma_{\max} = 0,62 \cdot \sqrt[3]{FE^2 \left( \frac{d_1 + d_2}{d_1 d_2} \right)}$$

Контактли күчланишлар майдончасида ҳажмий күчланиш содир бўлади. Материал ҳар томонлама сиқилишига яқин шароитда ишлайди. Шунинг учун маҳаллий эзилиши учун рухсат этилган күчланиш оддий сиқилишдагига қарангандা анча катта олинади. Контактли күчланишларни аниқлаш учун келтирилган формулалар контактдаги жисмларнинг шаклига ва ўлчамига боғлиқ.

## 2.9. ҚАТТИҚЛИК

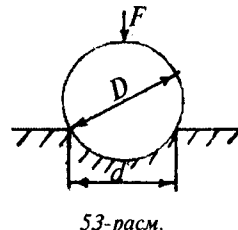
Сиртига механик тарзда киритилган деталга қаршилик кўрсата олиш қобилияти материалнинг қаттиқлиги дейилади.

Қаттиқлик ёрдамида материалнинг мустаҳкамлик чегарасини аниқлаш мумкин. Материалнинг қаттиқлигини аниқлаш учун унинг сиртига шарик маълум куч билан таъсир қилирилади.

$D$  — шарикнинг диаметри, см;  $d$  — шарикнинг материал сиртидаги изи диаметри, см.

Агар,  $HB \geq 400 \text{ кг} / \text{мм}^2$  бўлса, материалнинг қаттиқлиги шарик ёрдамида топилмайди, чунки материалнинг деформацияси сезиларли бўлади. Бринель сони ва материалнинг мустаҳкамлик чегараси боғланишда: қаттиқлик Бринель сони:

$$HB = \frac{2F}{\pi \cdot D \left( D - \sqrt{D^2 - d^2} \right)} \quad \text{бўйича топилади.}$$



53-расм.

Кам углеродли пўлат учун:  $\sigma = 0,36 \text{ НВ}$ .

Кул ранг чўян учун:  $\sigma_e = \frac{HB - 40}{6}$

## 2.10. ЯНГИ МАТЕРИАЛЛАРНИНГ МЕХАНИК ТАВСИФЛАРИ

Кейинги йилларда пластмассалар, резиналар, елимлар, локлар ва бошқа синтетик материаллар техникада кенг кўлланиляпти. Бу турдаги барча материалларнинг асосини полимерлар ташкил этади. Курилишда турли пластмассалар ишлатилмоқда. Пластмассаларни қолиглаш ҳарорати 20° дан (эпоксидопласт, эфириопласт) 250 — 350°C гача (полипропилен, фторопласт) этади. Пластмассаларнинг эластиклик модули катта бўлиб, чўзилувчанлиги кичикдир. Масалан:

фенопласт  $E = (3...25) \cdot 10^3 \text{ мН/м}^2$ ;  $\delta = (0,1...1,5)\%$ ;

эпоксидопласт  $E = (3...4) \cdot 10^3 \text{ мН/м}^2$ ;  $\delta = (2,5...8)\%$ .

Қотиш жараёнида ўзгармайдиган хоссаларга эга бўлган пластмассалар реактопластлар дейилади. Қотиш жараёнида ўзгарувчан хоссаларга эга бўлган пластмассалар — термопластлар дейилади. Уларни қайта қиздириб, яна қолинга солиш мумкин. Бундай пластмассаларнинг эластиклик модули кичик, чўзилувчанлиги каттадир. Масалан:

полиэтиленда  $E = (1,5...2,5) \cdot 10^3 \text{ мН/м}^2$ ;  $\delta = 150...600)\%$ ;

полипропиленда  $E = (9...12) \cdot 10^3 \text{ мН/м}^2$ ;  $\delta = (500...700)\%$ .

Баъзи пластмассаларнинг мустаҳкамлик чегаралари Ст.3 пўлатниги қараганда юқори, пластиклик тавсифлари унча катта эмас, узилишдаги қолдиқ деформацияси  $\delta = (1...2)\%$ . Пластмассаларнинг солиштирма оғирлиги ( $\rho = 1,3...1,9 \text{ кг/см}^3$ ) пўлатниги нисбатан 3—4 марта, дюралюминийниги қараганда тахминан 1,5 марта кичик. Шунинг учун конструкция оғирлигини қамайтиришда бу материалдан фойдаланиш мумкин.

Техникада резина катта аҳамиятга эга. Резинанинг юмшоқ, ўртача қаттиқ, қаттиқ, иссиққа ва ёғ таъсирига чидамли, протектор каби турлари мавжуд. Резинанинг элас-

тиклик модули ва Пуассон коэффициенти ўзгарувчандир. Масалан,  $E = (0,4...8)$  мН/м<sup>2</sup>;  $\mu = 0,11 - 0,45$ , соф каучук учун:  $\mu = 0,5$ , протектор резина учун:  $E = (8,5...11)$  мН/м<sup>2</sup>;  $\delta = 40...45\%$ , эбонит учун:  $E = 40...70$  мН/м<sup>2</sup>;  $\delta = 0,8...1,2\%$ .

### САВОЛ ВА ТОПШИРИҚЛАР

1. Марказий чўзилиш ёки сиқилиш деб нимага айтилади?
1. Абсолют узайиш деб нимага айтилади?
3. Нисбий узайиш деб нимага айтилади?
4. Гук қонунини таърифлаб беринг.
5. Материалларнинг механик хоссаларини айтиб беринг.
6. Материалларнинг пластиклик хоссаларини айтиб беринг.
7. Юмшоқ пўлатнинг чўзилиш диаграммасини чизиб беринг.
8. Юмшоқ пўлатнинг сиқилиш диаграммасини чизиб беринг.
9. Пропорционаллик чегара деб нимага айтилади?
10. Оқувчанлик чегара деб нимага айтилади?
11. Мустаҳкамлик чегара деб нимага айтилади?
12. Эластицлик чегара деб нимага айтилади?
13. Мўртлик деб нимага айтилади?
14. Пластиклик нима?
15. Рухсат этилган кучланиш нима?
16. Чўзилиш ва сиқилишда мустаҳкамлик шартини ёзинг?
17. Статик ноаниқ масала деб нимага айтилади?
18. Пухталаниш нима?

### МАСАЛАЛАР

**1-масала.** Пўлатдан тайёрланган поғонали бруслари  $F_1 = 30$  кН,  $F_2 = 30$  кН,  $F_3 = 50$  кН ташқи кучлар билан юкланган. Поғонали бруслари учун ички бўйлама куч —  $N$ ; нормал кучланиш —  $\sigma$  ва абсолют узайиш —  $\Delta\ell$  эпюралари қурилсин.

**Ечиш.** Бутун системанинг мувозанат тенгламасидан номаълум реакция кучи —  $B$ ни топамиз:

$$\sum y = B + F_3 - F_2 - F_1 = 0 \quad \text{ёки} \quad B = 30 + 30 - 50 = 10 \text{ кН}$$

Берилган масала статик аниқ ёки статик аниқмас система бўлишидан қатъи назар бўйлама кўчишни топиш таъиҷ нуқтадан бошланиши керак, чунки бу нуқта жойлашган кесимнинг кўчиши ( $\Delta\ell_B = 0$ ) нолга tengdir. Шунинг учун бўйлама куч —  $N$  ни топишни ҳам стерженning таъиҷ нуқтасидан бошлаймиз.

Кесиши усулидан фойдаланиб бруслни юқори поғонасидан фикран икки қисмга ажратамиз ва пастки қисмни ташлаб юборамиз. Ажратиб қолдирилган қисмнинг кесилган юзасига пастки ташлаб юборилган қисмнинг таъсирини алмаштирадиган  $N$  кучни қўямиз ва мувозанат тенгламасини тузамиз:

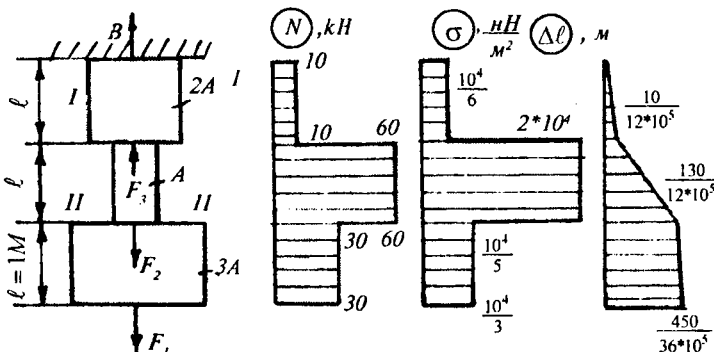
$$\Sigma y = B - N_1 = 0 \quad \text{ёки} \quad B = N_1 = 10 \text{ kH}$$

Текширилаётган поғонанинг узунлиги бўйлаб  $N_1$  куч ўзгармас бўлиб, миқдор жиҳатдан реакция кучи —  $B$ га тенг. Нормал кучланишини топамиз:

$$\sigma_1 = \frac{N_1}{2A} = \frac{10}{2 \cdot 3 \cdot 10^{-3}} = \frac{10^4}{6} \text{, } \frac{\text{kH}}{\text{m}^2}$$

Бруслнинг  $\ell$  узунлиги бўйлаб тўлиқ кўчишни топамиз:

$$\Delta\ell_1 = \int_0^{\ell} \frac{N_1 dy}{E2A} = \frac{N_1 y_1}{E2A}$$



54-расм.

Агар,  $y_1 = 0$  бўлса,  $\Delta\ell_1 = 0$  ва  $y_1 = 1$  м бўлса,  $\Delta\ell_1 = \frac{10}{12 \cdot 10^5} \text{ м}$ .

Демак, бруснинг юқори погонасида бўйлама деформация тўғри чизиқли қонуният билан ўзгариб, нолдан  $\Delta\ell_1 = \frac{10}{12 \cdot 10^5}$  гача ортиб боради.

### II—II қирқим (ўрта погона).

Ажратилган системанинг мувозанат тенгламасига асосан  $\sum y = 0 \cdot B + F_3 - N_2 = 0$  ва  $N_2 = 60 \text{ кН}$ ,  
нормал кучланиш:  $\sigma_2 = \frac{N_2}{A} = \frac{60}{3 \cdot 10^{-3}} = 2 \cdot 10^4 \frac{\text{kH}}{\text{m}^2}$ .

Брус ажратилган қисмининг тўлиқ узайишини топиш учун иккинчи оралиқ узайишига биринчи оралиқнинг тўлиқ узайишини қўшиб ёзамиш, яъни:

$$\Delta\ell_2 = \frac{10}{12 \cdot 10^5} + \frac{N_2 \cdot y_2}{EA}$$

Агар  $y_2 = 0$  бўлса,  $\Delta\ell_2 = \frac{10}{12 \cdot 10^5} \text{ м}$  ва  $y_2 = 1 \text{ м}$ ,  $\Delta\ell = \frac{65}{6 \cdot 10^5} \text{ м}$

### III — III қирқим (пастки погона).

Бўйлама куч —  $N_3$  ни топиш учун стерженнинг ажратилган қисмининг мувозанат тенгламасини тузамиш:

$$\sum y = B + F_3 - F_2 - N_3 = 0$$

Бу ерда:  $N_3 = 30 \text{ кН}$ .

Бўйлама куч ажратилган қисмга таъсир қилаётган кучларни алгебраик йифиндисига тенг бўлади.

Нормал кучланиш:  $\sigma_3 = \frac{N_3}{3A} = \frac{30}{3 \cdot 3 \cdot 10^{-3}} = \frac{10^4}{3} \frac{\text{kH}}{\text{m}^2}$ .

Бруснинг тўлиқ узайиши:

$$\Delta\ell_3 = \Delta\ell_2 + \frac{N_3 y_3}{E3A} \text{ бўлади.}$$

$y_3 = 0$  бўлса,  $\Delta\ell_3 = \frac{130}{12 \cdot 10^5} \text{ м}$  ва  $y_3 = \ell = 1 \text{ м}$ .да  $\Delta\ell_3 = \frac{450}{36 \cdot 10^5} \text{ м}$ .

$N$ ,  $\sigma$  ва  $\Delta\ell$  эпюралари 54-расмда кўрсатилган.

**2-масала.** Тақсимланган күч интенсивлиги  $q_x$  ва  $F_1$ ,  $F_2$ ,  $F_3$  күчлар билан юкланган бруснинг  $N$ ,  $\sigma$  ва  $\Delta\ell$  эпюралари қурилсин. Тақсимланган күч интенсивлиги —  $q_x$  тўғри чизиқли қонуният билан ўзгаради. Бруснинг кўндаланг кесим юзаси  $A = 2 \cdot 10^4 \text{ m}^2$ , ташқи күчлар  $F_1 = F$ ,  $F_2 = 3F$ ,  $F_3 = 3,5F$  ва  $F = 10 \text{ kH}$ . Бруснинг материали пўлат.

Бруснинг тўлиқ узайишини кўзгалмас кесимдаги  $M$  нуқтадан бошлаб аниқлаш керак. Шунинг учун  $N$ ,  $\sigma$  ва  $\Delta\ell$  ни аниқлашни ҳам таянч нуқтасидан бошлаймиз:

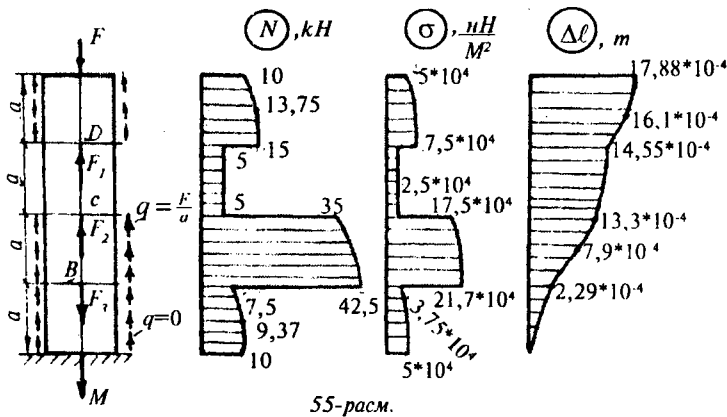
$$\sum x = -M - F_3 + F_2 + F_1 + \frac{1}{2} q_x \cdot 2a + \frac{1}{2} q_x a - F = 0.$$

Бу ерда:  $M = 10 \text{ kH}$

Тақсимланган күч интенсивлиги  $q_x$  брусни оралиқ ма-софаларида тўғри чизиқ қонуни билан ўзгаради. Шунинг учун  $q_x$  ларнинг тенг таъсир қилувчиси тақсимланган күч интенсивлигини максимал ва минимал қийматларидан қурилган учбурчакнинг юзаси билан ўлчанади.

$$\text{У ҳолда: } \frac{q_x}{x} = \frac{q}{2a} \text{ ёки } q_x = q \frac{x}{2a} = \frac{Fx}{2a^2}$$

$$\text{Агар } x = 0 \text{ бўлса, } q_x = 0 \text{ ва } x = 2a \text{ бўлса, } q_x = \frac{F}{a}$$



Берилган брусни узунлиги бўйлаб МВ; ВС; СД ва ДК чегаралари орқали тўртта оралиқقا бўламиз.

**I—I қирқим.** Бруснинг М ва В нуқталари оралиғидан I—I қирқим билан иккига бўлиб, пастки қисмнинг мувозанат тенгламасини тузамиз:

$$\sum x = 0 \text{ ёки } N_1 + \int_0^a q_x dx - M = 0$$

$$N_1 = M - \int_0^a q_x dx = M - \int_0^a q \frac{x dx}{2a} = M - q \frac{x^2}{4a} = M - F \frac{x^2}{4a^2}$$

$$x_1 = 0 \text{ да } N_1 = M 10 \text{ кН}$$

$$\text{Нормал кучланиш: } \sigma_1 = \frac{N_1}{A} = \frac{10}{2 \cdot 10^{-4}} = 5 \cdot 10^4 \frac{\text{kH}}{\text{m}^2}$$

$$x_1 = 0,5 \text{ м} \quad N_1 = 9,375 \text{ кН}, \quad \sigma_1 = 4,6875 \cdot 10^4 \frac{\text{kH}}{\text{m}^2}$$

$$x_1 = 1 \text{ м} \quad N_1 = 7,5 \text{ кН}, \quad \sigma_1 = 3,75 \cdot 10^4 \frac{\text{kH}}{\text{m}^2}$$

Бруснинг тақсимланган куч интенсивлиги билан юкландган оралиғига N ва σ лар эгри чизик қонуни билан ўзгаради. Узайиш:

$$\Delta\ell_1 = \int_0^a \frac{N_1 dx}{EA} = \int_0^a \frac{\left( M - F \frac{x_1^2}{4a^2} \right) dx}{EA} = \frac{1}{EA} \int_0^a M dx - \frac{F}{4a^2 EA} \int x_1^2 dx$$

Ҳосил бўлган тенгламани интегралласак,

$\Delta\ell_1 = \frac{Mx_1}{EA} - \frac{Fx_1^3}{12a^2 EA}$  келиб чиқади.  $x=0$  да  $\Delta\ell_1 = 0$ , яъни қўзғалмас M кесимнинг узайиши нолга тенг бўлади:

$$x_1 = 0,5 \text{ м} \quad \Delta\ell_1 = 1,224 \cdot 10^{-4} \text{ м}$$

$$x_1 = 1 \text{ м} \quad \Delta\ell_1 = \Delta\ell_B = 2,291 \cdot 10^{-4} \text{ м}$$

**II — II қирқим (ВС оралиқ).**  $a \leq x_2 \leq 2a$

Қўзғалмас кесимдан X<sub>2</sub> масофадаги кесимнинг бўйлама кучи қўйидагича топилади:

$$\sum x = 0. \quad N_2 = M + F_3 - \int_0^2 q_x dx = M + 3,5F - \int_0^2 q \frac{x^2}{2a} dx = \\ = M + 3,5F - F \frac{x^3}{4a^2}$$

Нормал күчланиш:  $\sigma_2 = \frac{N_2}{A}$

$$x_2 = 1 \text{ м} \quad N_2 = 42,5 \text{ кН} \quad \sigma_2 = 21,25 \cdot 10^4 \frac{\text{kH}}{\text{m}^2}$$

$$x_2 = 2 \text{ м} \quad N_2 = 35 \text{ кН}; \quad \sigma_2 = 17,5 \cdot 10^4 \frac{\text{kH}}{\text{m}^2}$$

I погонадан II погонага ўтиш В нүктасида бўйлама кучни қиймати  $F_3 = 3,5F = 35 \text{ кН}$  га фарқ қиласди. Шунинг учун В нүкта жойлашган кесимни N эпюрасида 35 кН га тенг сакраш бўлади. Брусни 2а узунлигининг тўлиқ узайишини топамиз.

$$\Delta\ell_2 = \Delta\ell_B + \int_0^{x_2} \frac{N_2 dx}{EA} = 2,291 \cdot 10^{-4} + \frac{Mx_2}{EA} + \frac{3,5Fx_2}{EA} - F \frac{x_2^3}{12a^2 EA}$$

$x_2 = 0, \quad \Delta\ell_2 = 2,291 \cdot 10^{-4} \text{ м}, \quad x_2 = 0,5 \text{ м}, \quad \Delta\ell = 7,9 \cdot 10^{-4} \text{ м},$   
 $x_2 = 1 \text{ м}, \quad \Delta\ell_2 = \Delta\ell_c = 13,3 \cdot 10^{-4} \text{ м}$  брус АС узунлигининг тўлиқ узайишидир.

**III – III қирқим (CD оралиқ).**  $0 \leq x_3 \leq 1 \text{ м}$

Оралиқ узунлиги бўйича тақсимланган куч интенсивлигини тенг таъсир қилувчиси  $\frac{1}{2}q \cdot 2a = qa = \frac{F}{a} \cdot a = F$  га тенг.

Бруснинг ажратилган қисмининг мувозанат тенгламаси қуидагида ёзилади:  $\sum x = N_3 + F_2 + F - F_3 - M = 0$  ёки  $N_3 = 5 \text{ кН}$

Нормал күчланиш:  $\sigma = 2,5 \cdot 10^4 \frac{\text{kH}}{\text{m}^2}$

Оралиқ узунлиги бўйлаб  $N_3$  ва  $\sigma_3$  тенг тарқалган, абсолют узайиш  $\Delta\ell_3$  эса  $x_3$  масофага пропорционал боғланишда бўлиб, тўғри чизиқли қонуният билан ўзгаради. Шунинг учун MD оралиқнинг узайиши:

$$\Delta\ell_B = \Delta\ell_c + \frac{N_3}{EA} = 13,3 \cdot 10^{-4} + \frac{5 \cdot 1}{2 \cdot 10^8 \cdot 2 \cdot 10^{-4}} = 14,55 \cdot 10^{-4} \text{ м}$$

**IV — IV қирқим.**  $0 \leq x_4 \leq 1 \text{ м}$

Бруснинг ажратилган қисмининг мувозанат шарти:

$$\sum x = N_4 + F_1 + \int_0^1 q_x dx + F_2 - F_3 - \frac{1}{2}q2a - M = 0 \text{ ёки}$$

$$N_4 = -F - q \frac{x^2}{2a} - 3F + 3,5F + \frac{F}{a} \cdot a + F = 1,5F - F \frac{x_4^2}{2a}$$

Нормал кучланиш:  $\sigma_4 = \frac{N_4}{A}$  ва абсолют узайиши:

$$\begin{aligned} \Delta\ell_4 &= \Delta\ell_B + \int_0^1 \frac{N_4 dx}{EA} = 14,55 \cdot 10^{-4} + \int_0^1 \frac{\left(1,5F - F \frac{x_4^2}{2a}\right)}{EA} dx = \\ &= 14,55 \cdot 10^{-4} + \frac{1,5Fx_4}{EA} - F \frac{x_4^3}{6a^2 EA} \end{aligned}$$

$$x_4 = 0 \quad N_4 = 15 \text{ кН}; \quad \sigma_4 = 7,5 \cdot 10^4 \frac{\text{кН}}{\text{м}^2}; \quad \Delta\ell_4 = 14,55 \cdot 10^{-4} \text{ м}$$

$$x_4 = 0,5 \text{ м} \quad N_4 = 13,875 \text{ кН}; \quad \sigma_4 = 6,937 \cdot 10^4 \frac{\text{кН}}{\text{м}^2};$$

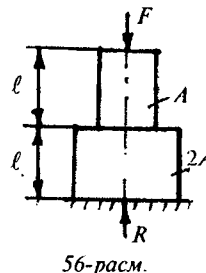
$$x_4 = 1 \text{ м} \quad N_4 = 10 \text{ кН}; \quad \sigma_4 = 5 \cdot 10^4 \frac{\text{кН}}{\text{м}^2}; \quad \Delta\ell_4 = 17,88 \cdot 10^{-4} \text{ м}$$

Бруснинг тўлиқ узайиши:  $\Delta\ell = 17,88 \cdot 10^{-4} \text{ м}$  га тенг.

**З-масала.** F куч ва хусусий оғирлиги билан юкланган поғонали бруснинг тўлиқ қисқариши топилсан. Брус материалининг ҳажмий оғирлиги —  $\rho$  ва эластиклик модули — E.

**Ечиш.** Брус ҳар бир поғонасининг хусусий оғирлиги  $\sigma_1 = \rho A \ell$  ва  $\sigma_2 = \rho 2A \ell$ .

F куч таъсиридан таянч кесимида В реакция кучи ҳосил бўлади.



56-расм.

Реакция кучини топамиз:  $\sum x = B - F - \rho A\ell - \rho 2A\ell = 0$   
 ёки  $B = F + 3\rho A\ell$

Брусни пастки пофонасидаги ички бўйлама кучни кешиш усулидан фойдаланиб топамиз:  $0 \leq x_1 \leq \ell$

$$\sum x = N_1 + B - \rho 2A x_1 = 0 \quad \text{ва} \quad N_1 = \rho 2A \cdot x_1 - F - 3\rho A\ell$$

Бруснинг ажратилган қисмининг деформациясини Гук қонунидан фойдаланиб топамиз:

$$\Delta\ell_1 = \int_0^\ell \frac{N_1 dx}{E2A} = \int_0^\ell \frac{(\rho 2A x_1 - F - 3\rho A\ell) dx}{E2A} = \left[ \frac{\rho x_1^2}{2E} - \frac{(F + 3\rho A\ell)x_1}{E2A} \right]_0^\ell$$

Агар  $x_1 = 0$  бўлса,  $\Delta\ell_1 = \Delta\ell_B = 0$ , яъни таянч қисимида деформация нолга тенг:  $x_1 = \ell; \Delta\ell_1 = -\frac{F\ell}{E2A} - \frac{\rho\ell^2}{E}$

## II — II қирқим.

Бўйлама кучни топамиз:  $\sum x = N_2 + B - \rho 2A\ell - \rho A x_2 = 0$

$$\text{Бу ерда: } N_2 = -F - \rho A\ell + \rho A x_2$$

Ажратилган қисмнинг тўлиқ кўчишини топамиз:

$$\begin{aligned} \Delta\ell_2 &= \Delta\ell_1 + \int_0^\ell \frac{N_2 dx}{EA} = \Delta\ell_1 + \int_0^\ell \frac{(-F - \rho A\ell + \rho A x_2) dx}{EA} = \\ &= \Delta\ell_1 + \left[ \frac{\rho A x_2^2}{2EA} - \frac{(F + \rho A\ell)x_2}{EA} \right]_0^\ell \end{aligned}$$

$$x_2 = 0, \Delta\ell_2 = \Delta\ell_1 \text{ ва } x_2 = \ell, \Delta\ell_2 = -\frac{3F\ell}{2EA} - \frac{3\rho \cdot \ell^2}{2E}$$

## 4-масала.

Вертикал осилган пўлатдан тайёрланган стержень қанча хусусий оғирлиқда емирилади. Пўлат материалининг мустаҳкамлик чегараси  $50 \text{ кг}/\text{мм}^2$ , хусусий оғирлиги  $-\rho = 7800 \text{ кг}/\text{м}^3$ .

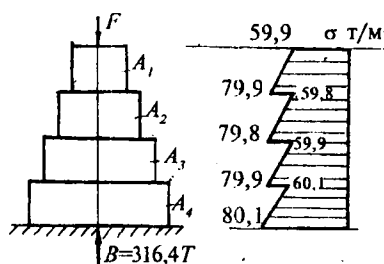
**Ечиш.** Фақат хусусий оғирлиги билан юкланган стерженни мустаҳкамлик шартини ёзамиз:  $\sigma_{\max} = \rho\ell \leq \sigma_B$ . Бу ерда критик узунлик:  $\ell_k = \frac{\sigma_B}{\rho} = \frac{50 \cdot 10^6}{7800} = 6410 \text{ м}$

### 5-масала.

Узунлиги 40 м бўлган погонали бруслари F = 100 т куч ва хусусий оғирлиги билан юқланган. Погонали бруслари тўртта бир хил узунликдаги оралиқдан иборат. Погонали бруслари материалининг солиштирма оғирлиги 2 т/м<sup>3</sup> ва рухсат этилган кучланиш:  $[\sigma] = 80 \frac{T}{m^2}$

**Ечиш.** Погонали брусларининг юқори қисмининг кесим юзасини топамиш:

$$A_1 = \frac{F}{[\sigma] - \rho \ell_1} = \frac{100}{80 - 2 \cdot 10} = 1,67 \text{ m}^2$$



57-расм.

A<sub>2</sub> кесимга ташки F куч ва юқори қисмнинг хусусий оғирлиги таъсир қиласди:

$$A_2 = \frac{F + \rho A_1 \ell_1}{[\sigma] - \rho \ell_2} = \frac{100 + 2 \cdot 1,67 \cdot 10}{80 - 2 \cdot 10} = 2,23 \text{ m}^2$$

Погонали брусларининг учинчи қисми — F куч, биринчи ва иккинчи погоналарни хусусий оғирликлари таъсирида:

$$A_3 = \frac{A + \rho \ell (A_1 + A_2)}{[\sigma] - \rho \ell_3} = \frac{100 + 2 \cdot 10 (1,67 + 2,23)}{80 - 2 \cdot 10} = 2,97 \text{ m}^2$$

Погонали брусларининг энг пастки қисми — F куч ва ундан юқори қисмларининг хусусий оғирликлари таъсирида бўлади:

$$A_4 = \frac{F + \rho \ell (A_1 + A_2 + A_3)}{[\sigma] - \rho \ell_4} = \frac{100 + 2 \cdot 10 (3,9 + 2,97)}{80 - 2 \cdot 10} = 3,95 \text{ m}^2$$

Погонали брусларининг таянч кучини топамиш:

$$\sum x = -F - \rho \cdot \ell (A_1 + A_2 + A_3 + A_4) + B = 0$$

Бу ерда:

$$B = 100 + 2 \cdot 10 (1,67 + 2,23 + 2,97 + 3,95) = 316,4 \text{ т.}$$

Погонали бруснинг узунлиги бўйлаб қучланиш эпурасини қуриш учун уни ҳар бир погонасидаги ички бўйлама кучларини кесиш усулидан фойдаланиб топамиз.

**I — I қирқим.**  $N_1$  кучни топиш учун бруснинг ажратиб олинган ( $A_1$  — кесим) қисмининг мувозанат тенгламасини тузамиз:

$$\sum x = -F - A\rho x_1 - N_1 = 0$$

Бу ерда:  $N_1 = -F - \rho A_1 x_1$  (бўйлама куч — сиқувчи)

Нормал қучланиш:

$$\sigma_1 = \frac{N_1}{A_1} = \frac{-F - \rho A_1 x_1}{A_1} = -\frac{F}{A_1} - \rho x_1$$

$$x_1 = 0, \quad \sigma_1 = -59,9 \frac{T}{m^2} \quad \text{ва} \quad x_1 = 10 \text{ м} \quad \sigma_1 = -79,9 \frac{T}{m^2}$$

**II — II қирқим.**  $0 \leq x_2 \leq 10 \text{ м}$  оралиқдаги ( $A_2$  — кесим) брус сиқувчи куч  $F$  бруснинг юқори қисмининг хусусий оғирлиги ва бўйлама куч таъсирида бўлади. Бу с尔да:

$$-F - \rho A_1 \ell - \rho A_2 x_2 - N_2 = 0; \quad N_2 = -133,4 - 4,46 x_2$$

$$\text{Нормал қучланиш: } \sigma_2 = \frac{N_2}{A_2} = -\frac{133,4 + 4,46 x_2}{2,23}$$

$$x_2 = 0 \quad \sigma_2 = -59,8 \frac{T}{m^2} \quad \text{ва} \quad x_2 = 10 \text{ м} \quad \sigma_2 = -79,82 \frac{T}{m^2}$$

**III — III қирқим.**  $0 \leq x_3 \leq 10 \text{ м}$  ( $A_3$  — кесим)

Бўйлама куч  $N_3$  ни топамиз:  $N_3 = -F - \rho A_1 \ell - \rho A_2 \ell - \rho A_3 x_3$  ёки  $N_3 = -178 - 5,94 x_3$

$$\text{Нормал қучланиш: } \sigma_3 = \frac{N_3}{A_3} = -\frac{178 + 5,94 x_3}{2,97}$$

$$x_3 = 0 \quad \sigma_3 = -59,93 \frac{T}{m^2}, \quad x_3 = 10 \text{ м} \quad \sigma_3 = -79,93 \frac{T}{m^2}$$

**IV — IV қирқим**  $0 \leq x_4 \leq 10 \text{ м}$  ( $A_4$  — кесим)

Бўйлама куч  $N_4 = -F - \rho A_1 \ell - \rho A_2 \ell - \rho A_3 \ell - \rho A_4 x_4$  ёки

$$N_4 = -237,4 - 7,9 x_4$$

$$\text{Нормал күчланиш: } \sigma_4 = \frac{N_4}{A_4} = -\frac{237,4 + 79x_4}{3,95}$$

$$x_4 = 0 \quad \sigma_4 = -60,1 \frac{T}{m^2} \quad \text{ва} \quad x_4 = 10 \text{ м} \quad \sigma_4 = -80,1 \frac{T}{m^2}$$

Погонали бруснинг ҳамма кесим юзаларида нормал күчланиш рухсат этилган күчланиш  $\sigma = 80 \frac{T}{m^2}$  дан катта эмас.

**6-масала.** Хусусий оғирлиги ва тащқи  $F_1=10 \text{ кН}$ ;  $F_2=20 \text{ кН}$ ;  $F_3=0,5 \text{ кН}$  күчлар билан юкландган бруснинг бўйлама куч, нормал күчланиш ва абсолют узайиш эпюраларини куринг.

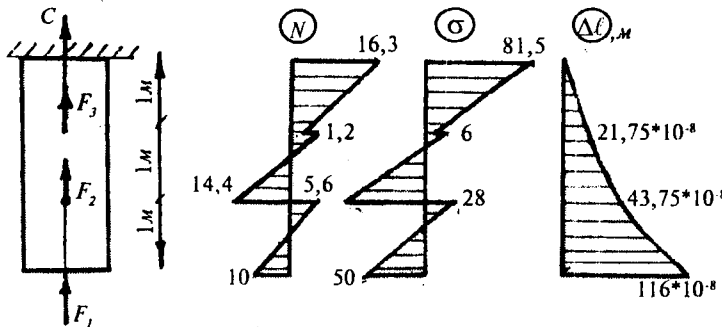
Пўлат материалдан тайёрланган бруснинг кўндаланг кесим юзаси  $0,2 \text{ м}^2$ , материалнинг солиши тири оғирлиги:  $\rho = 78 \frac{\text{кН}}{\text{м}^3}$

**Ечиш:** Бруснинг мувозанат шартидан фойдаланиб реакция кучини топамиш:

$$\sum x = -c + F_1 + F_2 + F_3 - \rho A \cdot 3 = 0 \quad \text{ёки} \quad C = -16,3 \text{ кН}$$

Демак, реакция кучи тескари, яъни юқорига йўналар экан. Ташқи күчларнинг таъсир қилиш тавсифига кўра брусни учта оралиққа бўлиб, ажратилган қисмларни узунлиги бўйлаб  $N$ ,  $\sigma$  ва  $\Delta l$  ларнинг тарқалиш қонуниятини ўрганамиз.

**I — I қирқим.** Бруснинг ажратилган қисмининг кесилган кўндаланг кесимига ташлаб юборилган қисмининг



58-расм.

оғирлигини ва ташиқи күчларнинг таъсирини  $N_1$  куч сифатида келтириб қўямиз. Натижада бруснинг ажратиб олиб қолдирилган қисми реакция кучи  $C$ , узунлиги  $X_1$  бўлган қисмининг хусусий оғирлиги  $\rho Ax_1$  ва ички куч  $N_1$  таъсирида бўлар экан. Мувозанат шарт қўйидагича ёзилади:

$$\sum x = 0; \quad C - \rho Ax_1 - N_1 = 0 \quad \text{ёки} \quad N_1 = C - \rho Ax_1$$

$$\text{Нормал кучланиш: } \sigma_1 = \frac{N_1}{A} = \frac{C}{A} - \rho \cdot x_1$$

$$x_1 - \text{узунликнинг узайиши: } \Delta\ell_1 = \int_0^x \frac{N_1 dx}{EA} = \int_0^x \frac{(C - \rho Ax_1) dx}{EA}$$

$$\text{ёки } \Delta\ell_1 = \frac{Cx_1}{EA} - \frac{\rho \cdot x_1^2}{2E}$$

Юқоридаги тенгламаларга асосан  $0 \leq x_1 \leq 1 \text{ m}$  оралиқда  $N$  ва  $\sigma$  тўғри чизиқли ва  $\Delta\ell$  эгри чизиқ қонунияти билан ўзгаради.

$$x_1 = 0 \quad \text{бўлса} \quad N_1 = 16,3 \text{ kH}; \quad \sigma_1 = 81,5 \frac{\text{kH}}{\text{m}^2}; \quad \Delta\ell_1 = 0$$

$$x_1 = 1 \text{ m} \quad N_1 = 0,7 \text{ kH} \quad \sigma_1 = 3,5 \frac{\text{kH}}{\text{m}^2} \quad \Delta\ell_1 = 21,25 \cdot 10^{-8} \text{ m}$$

**II — II қирқим.** Бруснинг қўзғалмас кесимидағи  $x_2$  ма-софада жойлашган 2—2 кесими учун бўйлама куч:

$$N_2 = c + F - \rho Ax_2$$

$$\text{Нормал кучланиш: } \sigma_2 = \frac{N_2}{A} \\ x_2 = 1 \text{ m} \quad N_2 = 1,2 \text{ kH} \quad \sigma_2 = 6 \frac{\text{kH}}{\text{m}^2}$$

$$x_2 = 2 \text{ m}; \quad N_2 = -14,4 \text{ kH} \quad \sigma_2 = -7,2 \frac{\text{kH}}{\text{m}^2}$$

Бруснинг ажратилган қисмининг тўлиқ узайиши қўйидагича топилади:

$$\Delta\ell_2 = \Delta\ell_1 + \int_0^x \frac{N_2 dx}{EA} = \Delta\ell_1 + \int_0^x \frac{(C + F_3 - \rho Ax_2) dx}{EA}.$$

Ҳосил бўлган тенгламани интегралласак:

$$\Delta\ell_2 = \Delta\ell_1 + \frac{(C + F_3)x_2}{EA} - \frac{\rho \cdot x_2^2}{2E}$$

Бу ерда:

$$x_2 = 0 \text{ бўлса, } \Delta\ell_2 = 21,25 \cdot 10^{-8} \text{ м ва } x_2 = 1 \text{ м бўлса,}$$

$$\Delta\ell_2 = 43,75 \cdot 10^{-8} \text{ м}$$

**III — III қирқим.** Узунлиги  $x_3$  га тенг бўлган брусни мувозанат тенгламаси қуидагича ёзилади:  $\sum x = 0$ .

$$N_3 = C + F_3 + F_2 - \rho A x_3$$

$$\text{Нормал кучланиш: } \sigma_3 = \frac{N_3}{A}$$

$$\text{Агар: } x_3 = 2 \text{ м бўлса, } N_3 = 5,6 \text{ кН } \sigma_3 = 28 \frac{\text{kH}}{\text{м}^2}$$

$$x_3 = 3 \text{ м бўлса, } N_3 = -10 \text{ кН } \sigma_3 = -50 \frac{\text{kH}}{\text{м}^2}$$

Бруснинг тўлиқ узайишини топамиш:

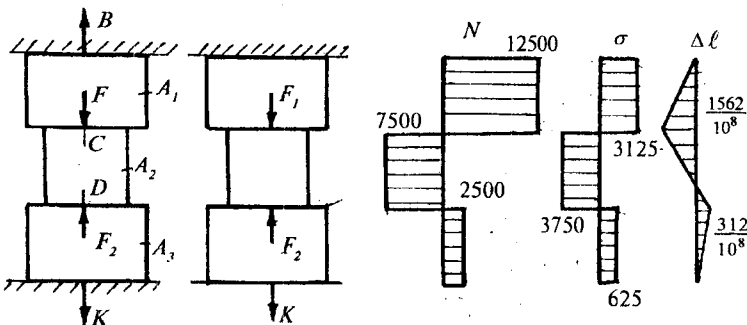
$$\begin{aligned} \Delta\ell_3 &= \Delta\ell_2 + \int_0^{N_3 dx} \frac{dx}{EA} = \Delta\ell_2 + \int_0^{(c + F_3 + F_2 - \rho A x_3) dx} \frac{dx}{EA} = \\ &= 43,75 \cdot 10^{-8} + \frac{36,8 x_3}{EA} - \frac{\rho x_3^2}{2E} \end{aligned}$$

$$x_3 = 0 \quad \Delta\ell_3 = 43,75 \cdot 10^{-8} \text{ м ва}$$

$$x_3 = 1 \text{ м } \Delta\ell_3 = 116,5 \cdot 10^{-8} \text{ м}$$

**7-масала.** Икки учи қистириб маҳкамланган бруснинг узунлиги бўйлаб  $N$ ,  $\sigma$  ва  $\Delta\ell$  эпюраларини қуринг. Кўндаланг кесимлари  $A_1 = A_3 = 2A_2 = 4 \cdot 10^{-3} \text{ м}^2$  бўлган брус  $F_1 = 20 \text{ кН}$  ва  $F_2 = 10 \text{ кН}$  ташки кучлар билан юкланган.

Ташки кучлар таъсирида брус узайишга ва сиқилишга қаршилик қўрсатади ҳамда К ва В таянчларга таянади. Таъянч нуқталаридан брусга реакция кучлари таъсир қилади. Реакция кучларининг йўналишини ва қийматини аниқлаш учун тузилган мувозанат шарти иккита номаълум К ва В ни беради, яъни:



59-расм.

$$\sum x = B + K - F_1 + F_2 = 0$$

Системадаги номаъулар сони статикани мувозанат тенгламаларидан ортиқча. Шунинг учун конструкция статик аниқмас масалаларга киради. Бундай масалалар құшымча деформация (деформацияни таққослаш) тенгламаларини тузиш усули билан ечилади. Деформацияни таққослаш тенгламасини тузиш ташқи күчлар таъсирида таянчлар оралиғи масофаси ўзгармасдан (бруснинг түлиқ деформацияси нолға тенг бўлади), фақат бруснинг поғоналари узунлиги ўзгариши, яъни системани ташқи күчлар таъсиридаги түлиқ узайишининг абсолют қиймати  $K$  реакция кучи таъсиридаги түлиқ қисқаришнинг абсолют миқдорига тенглигига асосланғандир.

Бу ерда:  $\Delta\ell_K = \Delta\ell_{F_1} - \Delta\ell_{F_2}$  ва

$$\Delta\ell_{F_1} = \frac{F_1 \cdot 1}{EA}; \quad \Delta\ell_{F_2} = \frac{F_2 \cdot 1}{EA_2} + \frac{F_2 \cdot 1}{EA_1}$$

$$\Delta\ell_K = K \left[ \frac{1}{EA_1} + \frac{1}{EA_2} + \frac{1}{EA_3} \right] = \frac{2K}{EA_2}$$

Демак,  $\frac{2K}{EA_2} = \frac{F_1 \cdot 1}{E2A} - F_2 \left( \frac{1+1}{EA_2} \right)$  ёки  $K = -\frac{F_2}{4} = -2500 H$

Минус ишораси К реакция кучининг йўналиши нотўғри қабул қилинганлигини билдиради. Демак, К реакция кучи йўналишини тескарига йўналтирамиз ва кейинги тенгламаларда минус (–) ишорасини ҳисобга олмаймиз.

К таянч кучининг қийматини системанинг мувозанат тенгламасига келтириб қўйсак, яъни:  $-\frac{F_2}{4} + B - F_1 + F_2 = 0$

Бу ерда:  $B = 12,5 \text{ кН}$ .

Статик аниқмаслик йўқотилгандан кейин бруслари оралиқ погоналарида  $N$ ;  $\sigma$  ва  $\Delta\ell$  ларнинг ўзгаришини топамиз ва энюрасини қурамиз. Бунинг учун бруслари оралиқларга бўлалими. Қирқимлар чегаралари ташқи кучлар қўйилган нуқтадардан ва бруслари кесим юзаси ўзгариши оралиқларидан ўтган.

### I — I қирқим. (КД — оралиқ)

Ажратилган брусларни мувозанат тенгламасини тузамиз:

$$\sum y = N_1 - K = 0$$

Бу ерда:  $N_1 = K = 2500 \text{ Н}$  (чўзишиш).

Нормал кучланиш:  $\sigma_1 = \frac{N_1}{A_3} = \frac{2500}{2 \cdot 2 \cdot 10^{-3}} = 625 \cdot 10^3 \frac{\text{Н}}{\text{м}^2}$

### II — II қирқим. (ДС — оралиқ)

Схемадан  $N_2 = K - F_2 = 2500 - 10000 = -7500 \text{ Н}$

$$\sigma_2 = \frac{N_2}{A_2} = -\frac{7500}{2 \cdot 10^{-3}} = -3750 \cdot 10^3 \frac{\text{Н}}{\text{м}^2}$$

**III—III қирқим. (СВ — оралиқ)** Брусларни ажратилган қисми  $F_1$ ;  $F_2$ ;  $K$  ва  $N_3$  кучлари таъсирида. Мувозанат тенгламаси қўйидагича ёзилади:

$$\sum y = N_3 - F_1 + F_2 - K = 0 .$$

Бу ерда  $N_3 = 12500 \text{ Н}$

Нормал кучланиш:  $\sigma_3 = \frac{N_3}{A_1} = \frac{12500}{2 \cdot 2 \cdot 10^{-3}} = 3125 \cdot 10^3 \frac{\text{Н}}{\text{м}^2}$

Брусларни тўлиқ узайишини топиш учун оралиқларнинг чегараларидаги  $N$  ўзгармас бўлганлиги учун  $\Delta\ell$  билан бўйлама куч орасидаги боғланиш тўғри чизиқли қонуният билан ўзгаради. К кесим қўзғалмас, демак,  $\Delta\ell_k = 0$ . Д нуқтанинг кўчиши КД оралиқнинг узайишига тенгдир, яъни:

$$\Delta\ell_p = \frac{N_1 \cdot y_1}{EA_3}$$

$$y_1 = 0 \quad \Delta\ell_p = \Delta\ell_K = 0 \text{ ва}$$

$$y_1 = 1 \text{ м} \quad \Delta\ell_p = 312,5 \cdot 10^{-8} \text{ м}$$

С нүктанинг тўлиқ кўчиши КД ва ДС масофаларнинг узайиши йиғиндисига тенгдир, яъни:

$$\Delta\ell_c = 312,5 \cdot 10^{-8} + \frac{N_2 \cdot y_2}{EA_2}$$

$$y_2 = 0 \quad \Delta\ell_c = \Delta\ell_p = 312,5 \cdot 10^{-8} \text{ м}$$

$$y_2 = 1 \text{ м} \quad \Delta\ell_c = -1562,5 \cdot 10^{-8} \text{ м}$$

В нүктанинг кўчиши бруснинг КВ оралиғи тўлиқ узайишига тенгдир, яъни:

$$\Delta\ell_B = -1562,5 \cdot 10^{-8} + \frac{N_3 \cdot y_3}{EA_1}$$

$$y_3 = 0 \quad \Delta\ell_3 = -1562,5 \cdot 10^{-8} \text{ м}$$

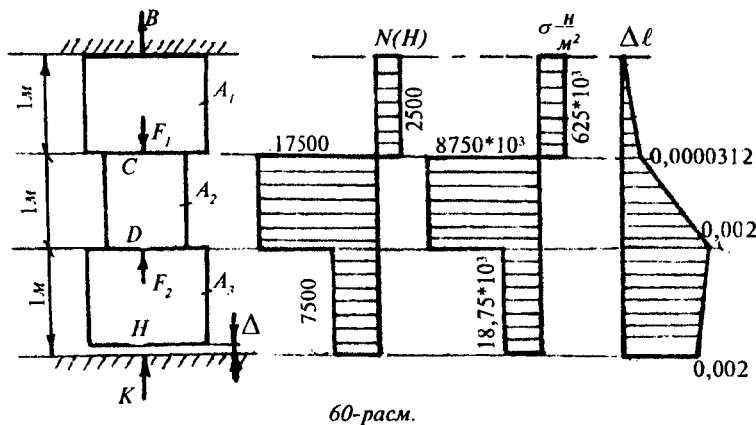
$$y_3 = 1 \text{ м} \quad \Delta\ell_B = -1562,5 \cdot 10^{-8} + \frac{12500 \cdot 1}{2 \cdot 10^{11} \cdot 2 \cdot 2 \cdot 10^{-3}} = 0$$

В нүкта жойлашган кесимнинг кўчиши нолга teng, чунки бу кесим бикр маҳкамланган.

**8-масала.** Брус ташқи кучлар билан юқланганлигига қадар пастки кесими К таянч нүқтаси билан  $\Delta = 0,002$  м масофа ҳосил қилган. Бруснинг ДС оралиқ узунлиги  $\Delta t = 20^\circ$  гача қиздирилган. Агар бруснинг ташқи кучлар ва ҳарорат таъсиридаги тўлиқ узайиши натижасида  $\Delta$  масофа ёпилиб, брус билан таянч орасида ўзаро таъсири кучлари ҳосил бўлса, система статик аниқмас системага айланади;  $\Delta$  масофа ёпилмаса ёки ёпилиб брус билан таянч орасида ўзаро таъсири кучлари ҳосил бўлмаса, система статик аниқ бўлиб қолади.

Берилган система қайси ҳолатга тўғри келишини аниқлаш учун "Н" кесимнинг тўлиқ узайишини топамиз:

$$\Delta_H = \Delta F_1 - \Delta F_2 + \Delta_t = \frac{F_1 \cdot 1}{EA_1} - \frac{F_2 \cdot 1}{EA_2} - \frac{F_2 \cdot 1}{EA_1} + \alpha \cdot \Delta t \cdot 1 = 0,002375 \text{ м}$$



Демак,  $\Delta_H > \Delta$  ёки  $0,002375 > 0,002$  м, натижада Н ва К кесимлар туташади ва К таянчда реактив куч ҳосил бўлиб, система статик ноаниқ бўлади. Масалани ечиш учун системанинг мувозанат тенгламасини тузамиз:

$$\sum y = K + B + F_2 - F_1 = 0 \text{ ёки } K + B = F_1 - F_2$$

Системанинг аниқмаслик даражасини очиш учун қўшимча деформация тенгламасини тузамиз:  $\Delta_H - \Delta = \Delta_A$

$$\Delta_K = K \cdot \frac{1}{EA_1} + \frac{K \cdot 1}{EA_2} + \frac{K \cdot 1}{EA_3}$$

Бруснинг К реакция кучи таъсиридан узайиши:

$$0,002375 = K \left( \frac{1}{EA_1} + \frac{1}{EA_2} + \frac{1}{EA_3} \right) + \Delta \text{ ёки}$$

$$K = \frac{(0,002375 - 0,002) \cdot 2 \cdot 10^{11} \cdot 2 \cdot 10^{-3}}{2} = 7500 H$$

$$B = F_1 - F_2 - K = 20000 - 10000 - 7500 = 2500 H$$

Брусни оралиқларга бўлиб, N, σ ва Δℓ эпюраларни қурамиз.

**I — I қирқим. (ВС — оралиқ)**

$$N_1 = B = 2500 \text{ H} \quad \text{ва} \quad \sigma_1 = \frac{N_1}{A_1} = \frac{2500}{2 \cdot 2 \cdot 10^{-3}} = 625 \cdot 10^3 \frac{\text{H}}{\text{м}^2}$$

В кесимнинг кўчиши нолга тенг, яъни:  $\Delta\ell_B = 0$ . С кесимнинг кўчиши ВС масофанинг тўлиқ узайишига тенг, яъни:

$$\Delta\ell_c = \frac{N_1 \cdot 1}{EA_1} = \frac{2500 \cdot 1}{2 \cdot 10^{11} \cdot 2 \cdot 2 \cdot 10^{-3}} = 312,5 \cdot 10^{-8} \text{ м}$$

### II – II қирқим. (СД – оралиқ)

Бўйлама куч  $N_2 = B - F_1 = 2500 - 20000 = -17500 \text{ H}$  ва

$$\text{нормал кучланиш } \sigma_2 = \frac{N_2}{A_2} = -\frac{17500}{2 \cdot 10^{-3}} = -8750 \cdot 10^3 \frac{\text{H}}{\text{м}^2}$$

ВД оралиқ масофасининг тўлиқ узайиши қўйидагича топилади:

$$\begin{aligned} \Delta\ell_B &= 312,5 \cdot 10^{-8} + \frac{N_2 \cdot 1}{EA_2} + \alpha \cdot \Delta t \cdot 1 = 312,5 \cdot 10^{-8} - \\ &- \frac{17500 \cdot 1}{2 \cdot 10^{11} \cdot 2 \cdot 10^{-3}} + 125 \cdot 10^{-7} \cdot 20 \cdot 1 = 0,00209375 \text{ м} \end{aligned}$$

### III – III қирқим. (ДН – оралиқ)

$N_3 = B - F_1 + F_2 = 2500 - 20000 + 10000 = -7500 \text{ H}$

$$\sigma_3 = \frac{N_3}{A_3} = -\frac{7500}{2 \cdot 2 \cdot 10^{-3}} = -1875 \cdot 10^3 \frac{\text{H}}{\text{м}^2}$$

Н кесимнинг кўчиши ёки бруснинг тўлиқ узайиши:

$$\begin{aligned} \Delta\ell_H &= 0,00209375 + \frac{N_3}{EA_3} = 0,00209375 - \\ &- \frac{7500 \cdot 1}{2 \cdot 10^{11} \cdot 2 \cdot 2 \cdot 10^{-3}} = 0,002 \text{ м} \end{aligned}$$

**9-масала.** Бруснинг пастдан биринчи ва иккинчи (8-масалада берилган қийматлардан фойдаланамиз) погоналари орасида  $\Delta = 0,001 \text{ м}$  масофа бор.  $\Delta$  масофа ёпилгунга

қадар ташқи күч таъсирида бруснинг ҳар бир бўлаги алоҳида деформацияланади (61-а расм).

**Ечиш.** Системанинг  $\Delta = 1 \cdot 10^{-4} \text{ м}$  масофаси ёпилиш ёки ёпилмаслигини текшириш учун  $D$  ва  $K$  нуқталарнинг деформациясини  $\Delta$ га тенглаштирамиз:  $\Delta_K + \Delta_D = \Delta$ .

$$\Delta_K = \frac{F_1 \cdot 2}{E2A} - q \cdot 2 \left( \frac{2}{E2A} + \frac{2}{EA} \right) + \alpha \cdot 2 \cdot \Delta t = \frac{F_1 - 4q}{EA} + 2 \cdot \alpha \cdot \Delta t$$

$$\Delta_D = -\frac{F_3 \cdot 2}{EA} - \frac{F_3 \cdot 2}{E2A} + \frac{F_2 \cdot 2}{E2A} + 2q \left( \frac{2}{2EA} + \frac{2}{E2A} \right) \text{ ёки}$$

$$\Delta_D = \frac{-3F_3 + F_2 + 4q}{EA}$$

$$\text{У ҳолда: } \frac{F_1 - 4q}{EA} + 2 \cdot \alpha \cdot \Delta t + \frac{F_2 - 3F_3 + 4q}{EA} = \Delta \text{ ёки}$$

$$F_1 - 4q + 2EA\alpha \cdot \Delta t + F_2 - 3F_3 + 4q = \Delta EA; 80 > \Delta EA$$

Демак, поғонали бруснинг пастки ва юқори қисмлари деформацияларининг йигиндиси поғоналар орасидаги  $\Delta$  дан катта экан.  $D$  ва  $K$  нуқталар орасидаги масофа ёпилади. Система статик ноаниқ системага айланади,  $C$  ва  $H$  гаянчлардаги реакция кучлари системага қўйилган барча гашқи кучларга боғлиқ бўлади.

Системанинг мувозанат тенгламасини тузамиз (61-а расм):

$$\sum x = c + F_1 - 2q + F_3 - F_2 - 2q + H = 0$$

Тенгламадаги номаълум  $C$  ва  $H$  реакция кучларини тошиб учун асосий системани танлаймиз. Асосий система — ёберилган системанинг  $K$  ва  $D$  нуқталарига поғонали брусиарнинг  $\Delta$  масофаси ёпилгандан кейин бир-бирларига ўзасю таъсирларини алмаштирувчи  $X$  кучини номаълум қийлати кўрсатилган схемасидир (61-б расм). Асосий системанинг  $K$  ва  $D$  нуқталарининг қўчишларини  $F_1; F_2; F_3; q; x$  учлари ва  $\Delta t$  ҳарорати фарқи орқали ифодалаймиз:

$$\Delta_{DX} = -\frac{F_3 \cdot 2}{EA} - \frac{F_3 \cdot 2}{E2A} - x \left( \frac{2}{EA} + \frac{2}{E2A} \right) + \frac{F_2 \cdot 2}{E2A} + 2q \left( \frac{2}{E2A} + \frac{2}{E2A} \right)$$

$$\Delta_{KX} = \frac{F_1 2}{2EA} + \alpha \cdot \Delta t \cdot 2 - 2q \left( \frac{2}{2EA} + \frac{2}{E2A} \right) - x \left( \frac{2}{EA} + \frac{2}{2EA} \right)$$

К ва Д нүкталар күчишларининг йифиндисини Δ масоғага тенглаштирамиз:  $\Delta_{KX} + \Delta_{DX} = \Delta$  ёки

$$\begin{aligned} \frac{F_1 2}{2EA} + \alpha \cdot \Delta t \cdot 2 - 2q \left( \frac{2}{2EA} + \frac{2}{E2A} \right) - x \left( \frac{2}{EA} + \frac{2}{2EA} \right) - \frac{2F_3}{EA} - \frac{2F_3}{E2A} - \\ - x \left( \frac{2}{EA} + \frac{2}{E2A} \right) + \frac{2F_2}{E2A} + 2q \left( \frac{2}{E2A} + \frac{2}{E2A} \right) = \Delta \end{aligned}$$

Бу ерда:

$$F_1 + 2EA \cdot \alpha \cdot \Delta t - 4q - 3x - 3F_3 - 3x + F_2 + 4q = \Delta EA$$

ёки

$$-6x + 40 - 120 + 80 + 2 \cdot 2 \cdot 10^8 \cdot 2 \cdot 10^{-4} \cdot 125 \cdot 10^{-7} \cdot 80 = \Delta EA$$

$$6x = 80 - \Delta EA \text{ ва } x = \frac{80 - 1 \cdot 10^{-4} \cdot 2 \cdot 10^8 \cdot 2 \cdot 10^{-4}}{6} = \frac{76}{6} \kappa H$$

Системанинг ҳар иккала қисмларининг мувозанат шартларидан фойдаланиб С ва Н реакция кучларини топамиз (61-б расм):

$$\sum x = 0; C + F_1 - 2q - x = 0 \text{ ёки } C = \frac{316}{6}, \kappa H$$

$$\sum x = 0; H + x + F_3 - F_2 - 2q = 0 \text{ ёки}$$

$$H = -\frac{76}{6} - 40 + 80 + 80 = \frac{644}{6} \kappa H$$

Топилган реакция кучларининг тўғри аниқланганлигини текширамиз:  $\sum x = C + F_1 - 2q + F_3 - F_2 - 2q + H = 0$  ёки

$$\frac{316}{6} + 40 - 80 + 40 - 80 - 80 + \frac{644}{6} = 0 ; 960 - 960 = 0.$$

Энди системани оралиқларга бўлиб, ҳар бир погона даги ички бўйлама куч N, нормал кучланиш σ, бўйлама деформация Δℓларни топамиз.

**I—I қирқим.** (C — таянч погонаси)

$$\sum x = C + N_1 = 0 \quad \text{ёки} \quad N_1 = -\frac{316}{6} \kappa H \quad (\text{сиккүвчи})$$

$$\sigma_1 = \frac{N_1}{2A} = -\frac{316}{6 \cdot 2 \cdot 2 \cdot 10^{-4}} = -13,167 \cdot 10^4, \frac{\kappa H}{m^2}$$

$x_1$  оралиқдаги брус С реакция күчи ва  $\Delta t$  ҳароратлар фарқы таъсирида деформацияланади:  $\Delta\ell_1 = \frac{N_1 x_1}{E2A} + \alpha \cdot \Delta t \cdot x_1$

$$x_1 = 0 \quad \Delta\ell_1 = 0 \quad \text{ва} \quad x_1 = 2 \text{ м} \quad \text{бүлса}, \quad \Delta\ell_1 = 6,83 \cdot 10^{-4} \text{ м}$$

**II — II қирқим.** Ажратилған қисмнинг мувозанат шарттан:  $\sum x = c + N_1 + F_1 - qx_2 = 0$ ;

$$\text{бүйлама күч: } N_2 = -c - F_1 + qx_2$$

Нормал күчланиш:  $\sigma_2 = \frac{N_2}{A}$ ; бүйлама деформация:

$$\Delta\ell_2 = \Delta\ell_1 + \int_0^2 \frac{N_2 dx}{EA} = \Delta\ell_1 + \int_0^2 \frac{(-C - F_1 + qx_2) dx}{EA} =$$

$$\Delta\ell_1 - \frac{(c + F_1)x_2}{EA} + q \frac{x_2^2}{2EA};$$

$$x_2 = 0; \quad N_2 = -92,7 \kappa H; \quad \sigma_2 = -46,3 \cdot 10^4 \frac{\kappa H}{m^2}$$

$$\Delta\ell_2 = 6,83 \cdot 10^{-4} \text{ м}$$

$$x_2 = 2 \text{ м}; \quad N_2 = -\frac{76}{6} \kappa H; \quad \sigma_2 = -6,3 \cdot 10^4 \frac{\kappa H}{m^2};$$

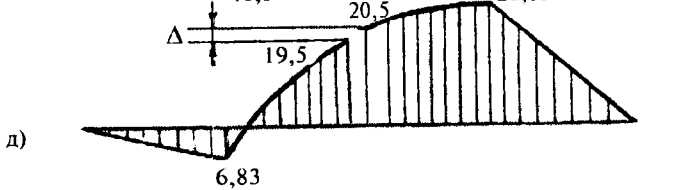
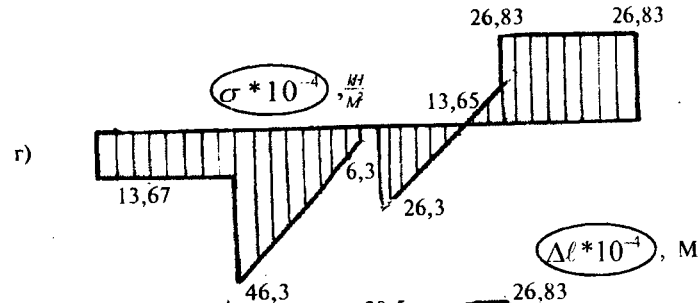
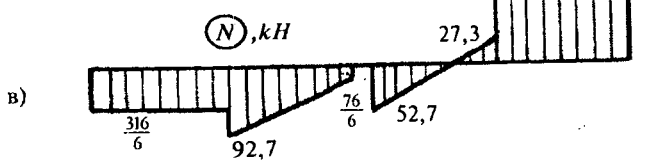
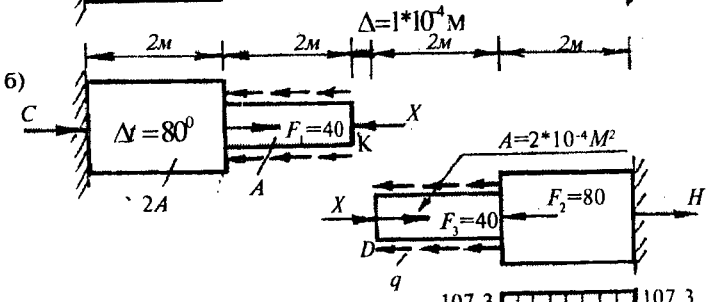
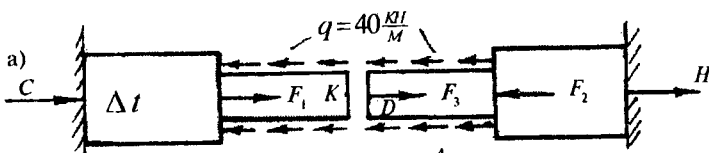
$$\Delta\ell_2 = -19,5 \cdot 10^{-4} \text{ м}$$

**III—III қирқим.** (H — таянч поғонаси)

$$\sum x = 0; \quad H - N_3 = 0, \quad N_3 = H = \frac{644}{6} = 107,3 \kappa H$$

Нормал күчланиш:

$$\sigma_3 = \frac{N_3}{2A} = \frac{644}{6 \cdot 2 \cdot 2 \cdot 10^{-4}} = 26,83 \cdot 10^4 \frac{\kappa H}{m^2}$$



61-расм.

$$\text{Бүйлама деформация: } \Delta\ell_3 = \frac{N_3 x_3}{E2A}$$

$$\begin{array}{ll} x_3 = 0 & \text{бўлса, } \Delta\ell_3 = \Delta\ell_H = 0 \\ x_3 = 2 \text{ м} & \text{бўлса, } \Delta\ell_3 = 26,83 \cdot 10^{-4} \text{ м} \end{array}$$

**IV-IV қирқим.** Ички кучни топамиз:

$$\sum x = -N_4 - qx - F_2 + H = 0$$

Тенгламадан:

$$N_4 = H - F_2 - qx = 107,3 - 80 - qx = 27,3 - 40x$$

$$\text{Нормал кучланиш: } \sigma_4 = \frac{N_4}{A} = \frac{27,3 - 40x}{A}$$

Бўйлама деформация:

$$\begin{aligned} \Delta\ell_4 &= \Delta\ell_3 + \int_0^2 \frac{N_4 dx}{EA} = \Delta\ell_3 + \int_0^2 \frac{(27,3 - 40x) dx}{EA} = \\ &= \Delta\ell_3 + \frac{27,3x}{EA} - 40 \frac{x^2}{2EA} \end{aligned}$$

$$x_4 = 0; \quad N_4 = 27,3 \text{ кН}; \quad \sigma_4 = 13,65 \cdot 10^4 \frac{\text{кН}}{\text{м}^2}$$

$$\Delta\ell_4 = 26,83 \cdot 10^{-4} \text{ м}$$

$$\begin{aligned} x_4 = 2 \text{ м} \quad N_4 = -52,7 \text{ кН}; \quad \sigma_4 = -26,3 \cdot 10^4 \frac{\text{кН}}{\text{м}^2} \\ \Delta\ell_4 = 20,5 \cdot 10^{-4} \text{ м} \end{aligned}$$

Погонали бруснинг К ва Д нуқталари орасида  $\Delta = 1 \cdot 10^{-4} \text{ м}$  масофа бор. Погонали брус томонлари тўлиқ кўчишларининг фарқи  $\Delta$  га тенг бўлиши керак (61-б расм).

$$\Delta = \Delta\ell_4 - \Delta\ell_2 = (20,5 - 19,5) \cdot 10^{-4} = 1 \cdot 10^{-4} \text{ м}$$

**10-масала.** Пўлатдан тайёрланган стержень схемада (62-расм) кўрсатилганидек F куч билан юкландган. F кучнинг іайси ийматида  $\delta_1$  ва  $\delta_2$  оралиқлар ёпилади?

$$E_n = 2 \cdot 10^2 \frac{\kappa H}{\text{мм}^2}$$

**Ечиш.** С бўртиқнинг ҳалқасимон таянчга таяниш ҳолатига тўғри келувчи  $F = F_1$  кучни аниқлаймиз. Бунинг учун стерженнинг юқори қисмини  $F = F_1$  куч таъсиридан абсолют узайишини  $\delta_1$  масофага тенглаштирамиз:

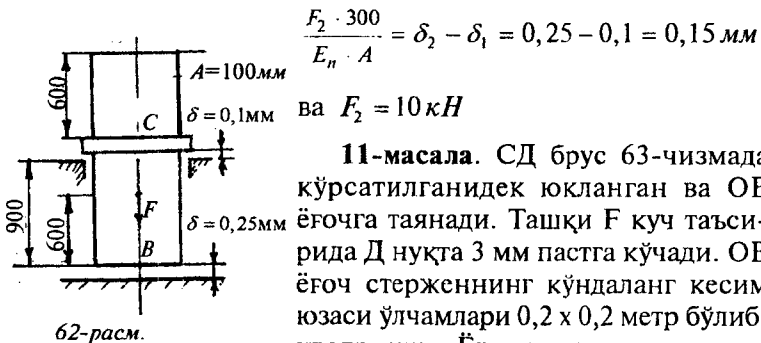
$$\Delta\ell_1 = \frac{F\ell_1}{E_n \cdot A} = \delta_1$$

$$\text{Бу ерда: } F_1 = \frac{\delta_1 E_n A}{\epsilon_1} = \frac{0,1 \cdot 2 \cdot 10^2 \cdot 100}{600} = 3,33 \text{ кН}$$

$\delta_1$  масофа ёпилгандан кейин,  $F = F_2$  куч таъсирида стерженнинг (900 — 600 мм) узунлиги ортади. Унда стерженнинг учи пастки таянчга таяниши учун

$$\Delta\ell_B = \delta_1 + \frac{F_2 \cdot 300}{E_n \cdot A} = \delta_2$$

масофани босиб ўтади, яъни:

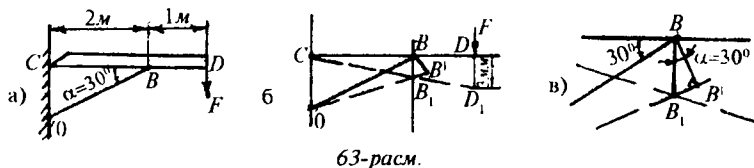


**11-масала.** СД брус 63-чизмада кўрсатилганидек юкланган ва ОВ ёғочга таянади. Ташқи  $F$  куч таъсирида  $\Delta$  нуқта 3 мм пастга кўчади. ОВ ёғоч стерженнинг кўндаланг кесим юзаси ўлчамлари  $0,2 \times 0,2$  метр бўлиб, квадратидир. Ёғоч стерженнинг кесимидағи кучланиш ва  $F$  кучнинг қиймати топилсин.

**Ечиш.** ОВ ёғоч стерженнинг деформациясини топамиз:

$$\Delta DD_1 C \approx \Delta BB_1 C \text{ дан (63-б расм)} \quad \frac{\Delta D_1}{DC} = \frac{BB_1}{BC} \text{ ёки}$$

$$BB_1 = \frac{\Delta D_1}{DC} \cdot BC = 3 \cdot 10^{-3} \cdot \frac{2}{3} = 2 \cdot 10^{-3} \text{ м; } \Delta BB_1 B^I \text{ дан (63-в расм)}$$



63-расм.

$$\frac{B_1 B^1}{BB_1} = \sin 30^\circ \text{ ёки } B_1 B^1 = BB_1 \cdot \sin 30^\circ, \quad B_1 B^1 = \frac{N \ell_{OB}}{EA}$$

Еғөч стерженнинг узайишини ҳисобга олсак,

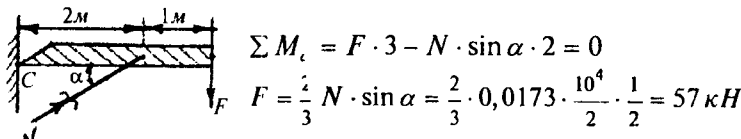
$$B_1 B^1 = \Delta \ell = 2 \cdot 10^{-3} \cdot \frac{1}{2} = \frac{N \ell_{OB}}{EA} \text{ ёки } \frac{N \ell_{OB}}{EA} = 1 \cdot 10^{-3} \text{ м}$$

Тенгламадан ички күч N ни топамиз:

$$N = \frac{1 \cdot 10^{-3} EA}{\ell_{OB}} = \frac{1 \cdot 10^{-3} \cdot 10^7 \cdot 0,2 \cdot 0,2}{\frac{2}{\cos 30^\circ}} = 0,0173 \cdot 10^4 \text{ кН}$$

$$\text{ОВ стержень сиқилади: } \sigma = \frac{N}{A} = -0,433 \cdot 10^4 \frac{\text{кН}}{\text{м}^2}$$

Системанинг мувозанат шартидан фойдаланиб ташқи F кучни топамиз:



### 12-масала.

Берилган стерженлар системасидаги С нүктанинг түлиқ күчиши Δ горизонтал Δ<sub>r</sub> ва вертикал күчишлари Δ<sub>b</sub> топилсин. Узунлайлари ℓ<sub>1</sub> = 2,5 м ва ℓ<sub>2</sub> = 4 м бўлган стерженларнинг мустаҳкамлиги бир хил, материалларининг эса биринчиси алюминий, иккинчиси пўлат.

Ечиш. Стерженлардаги ички кучларни кесиш усулидан фойдаланиб кўрсатамиз:

$$\sum x = -N_1 \cos 45^\circ + N_2 \cos 60^\circ = 0$$

$$\text{Бу ерда: } N_1 = N_2 \frac{\cos 60^\circ}{\cos 45^\circ} = \frac{N_2}{\sqrt{2}} \quad (\text{a})$$

$$\sum y = N_1 \cos 45^\circ + N_2 \cos 30^\circ - F = 0$$

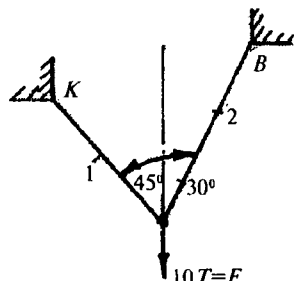
Еки (а) тенгламани ҳисобга олсак:

$$N_2 \cdot \frac{1}{\sqrt{2}} \cdot \frac{\sqrt{2}}{2} + N_2 \cdot \frac{\sqrt{3}}{2} = F$$

Бу ерда:  $N_2 = 73, \text{кН}$  ва  $N_1 = 51,8 \text{кН}$

Биринчи ва иккинчи стерженларнинг мустаҳкамлик шартларидан фойдаланиб кесим юзаларини аниқлаймиз:

$$\sigma^{I}_{\max} = \frac{N_1}{A_1} \leq [\sigma]$$



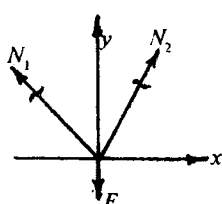
Бу ерда:

$$A_1 = \frac{N_1}{[\sigma]} = \frac{51,8}{150 \cdot 10^3} = 0,345 \cdot 10^{-3} \text{ м}^2$$

$$\sigma^{II}_{\max} = \frac{N_2}{A_2} \leq [\sigma]$$

Бу ерда:

$$A_2 = \frac{N_2}{[\sigma]} = \frac{73}{150 \cdot 10^3} = 0,487 \cdot 10^{-3} \text{ м}^2$$



Гук қонунидан фойдаланиб стерженларнинг абсолют узайишларини топамиз:

64-расм.

$$\Delta \ell_1 = \frac{N_1 \ell_1}{E_{at} \cdot A_1} = \frac{51,8 \cdot 2,5}{0,7 \cdot 10^8 \cdot 0,345 \cdot 10^{-3}} = 536,2 \cdot 10^{-5} \text{ м}$$

$$\Delta \ell_2 = \frac{N_2 \ell_2}{E_n \cdot A_2} = \frac{73 \cdot 4}{2 \cdot 10^8 \cdot 0,487 \cdot 10^{-3}} = 299,8 \cdot 10^{-5} \text{ м}$$

С нүктанинг түлиқ күчишини қыйидагича топамиз (65-расм). Стерженларнинг абсолют узайишлари  $\Delta \ell_1$  ва  $\Delta \ell_2$  ларни стерженларни ўқи бўйлаб ҳар хил масштабда жойлаштириб,  $C_1$  ва  $C_2$  нүкталарни ҳосил қиласиз.  $C_1$  ва  $C_2$  нүкталардан  $CC_1$  ва  $CC_2$  ларга перпендикуляр ўтказамиш.

Перпендикулярнинг туташган нуқтаси С<sub>3</sub> билан С нуқтани бирлаштириб Δ йўналишни топамиз. Тўлиқ кўчиши Δ вертикал чизик билан β бурчакни ташкил қиласи. Ҳосил бўлган схемадан қўйидағи тенгламани келтириб чиқарамиз:

$$\frac{\Delta\ell_1}{\cos(\alpha_1 - \beta)} = \frac{\Delta\ell_2}{\cos(\alpha_2 + \beta)}$$

Бу ерда:  
 $\cos(\alpha_1 - \beta) = \cos\alpha_1 \cos\beta + \sin\alpha_1 \cdot \sin\beta$

$$\cos(\alpha_2 + \beta) = \cos\alpha_2 \cos\beta - \sin\alpha_2 \cdot \sin\beta$$

У ҳолда:  $\frac{\Delta\ell_1}{\Delta\ell_2} = \frac{\cos 45^\circ \cos\beta + \sin 45^\circ \cdot \sin\beta}{\cos 30^\circ \cos\beta - \sin 30^\circ \cdot \sin\beta}$

$$\frac{\Delta\ell_1}{\Delta\ell_2} = \frac{0,707 + 0,707 \frac{\sin\beta}{\cos\beta}}{0,866 - 0,5 \frac{\sin\beta}{\cos\beta}} = \frac{0,707 + 0,707 \cdot \operatorname{tg}\beta}{0,866 - 0,5 \operatorname{tg}\beta}$$

Бу ерда:

$$\operatorname{tg}\beta = \frac{0,866\Delta\ell_1 - 0,707\Delta\ell_2}{0,707\Delta\ell_2 + 0,5\Delta\ell_1}; \quad \operatorname{tg}\beta = 0,525; \quad \beta = 27^\circ$$

Схемадан:

$$\Delta = -\frac{\Delta\ell_1}{\cos(\alpha_1 - \beta)} = -\frac{536,2 \cdot 10^{-5}}{\cos(45 - 27)^\circ} = 563,8 \cdot 10^{-5} \text{ м}$$

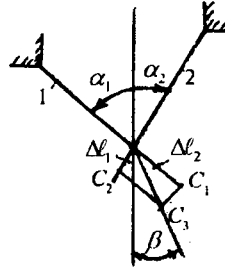
С нуқтанинг горизонтал текислиқда кўчиши:

$$\Delta_x = \Delta \cdot \sin\beta = 563,8 \cdot 10^{-5} \cdot \sin 27^\circ = 255,7 \cdot 10^{-5} \text{ м}$$

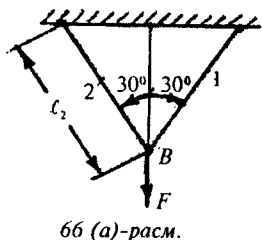
ва вертикал кўчиши:

$$\Delta_h = \Delta \cdot \cos\beta = 563,8 \cdot 10^{-5} \cdot \cos 27^\circ = 501,8 \cdot 10^{-5} \text{ м}$$

**13-масала.** Берилган стерженлар системасидаги В нуқтанинг тўлиқ кўчишини топинг. Берилган:



65-расм.

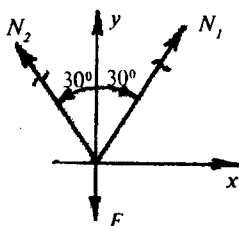


$$\ell_1 = \ell_2 = 3 \text{ м}, \quad A_1 = A_2 = 1 \cdot 10^{-4} \text{ м}^2,$$

$$F = 10 \text{ кН}, \quad E = 1 \cdot 10^8 \frac{\text{кН}}{\text{м}^2}$$

**Ечиш.** Стерженлардаги ички күчларни топиш учун системанинг мұзозанат тенгламаларини тузасиз:

$$\sum x = N_1 \sin 30^\circ - N_2 \sin 30^\circ = 0$$



$$\text{Бу ерда: } N_1 = N_2$$

$$\Sigma y = N_1 \cos 30^\circ + N_2 \cos 30^\circ - F = 0$$

$N_1 = N_2$  тенгликни ҳисобға олсак,

$$N_1 = \frac{F}{2 \cdot \cos 30^\circ} = \frac{10}{2 \cdot 0,866} = 5,77 \text{ кН}$$

$F$  күч таъсиридан стерженлар узаяды,  $B$  нүқта  $B_1$  нүқтеге күчади.

Схемадаги  $\Delta BB_1B^1$  дан

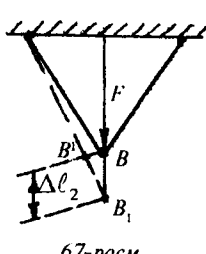
$$\frac{B_1B^1}{BB_1} = \cos 30^\circ \text{ ба } BB_1 = \frac{B_1B^1}{\cos 30^\circ}$$

$B_1B^1 = \Delta\ell_2$  — иккінчи стерженнинг абсолюттүзайышыни Гүк қонуни орқали ифодалаймиз:

$$\Delta\ell_2 = \frac{N_2 \cdot 3}{EA} = \frac{5,77 \cdot 3}{1 \cdot 10^8 \cdot 1 \cdot 10^{-4}} = 17,31 \cdot 10^{-4} \text{ м}$$

$$\text{У ҳолда: } BB_1 = \Delta = \frac{17,31 \cdot 10^{-4}}{0,866} \approx 20 \cdot 10^{-4} \text{ м}$$

#### 14-масала.



Берилған стерженлар системасидаги  $C$  нүктесіндең түлиқ күчиши топилисін (68-расм).

Берилған:

$$E = 2 \cdot 10^8 \frac{\text{кН}}{\text{м}^2}$$

$$[\sigma]^{II} = 100 \text{ МПа}; [\sigma]^I = 160 \text{ МПа}$$

Биринчи стержень иккита N12 швеллердан, иккинчиси N24 қүштаврдан ташкил топган.

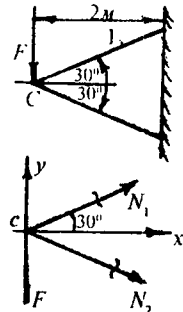
У ҳолда:

$$A_1 = 13,3 \cdot 10^{-4} \text{ м}^2; A_2 = 34,8 \cdot 10^{-4} \text{ м}^2$$

**Ечиш.** Системадаги ички күчлар ёрдамда стерженларга қўйилиши мумкин бўлган ташқи F кучни топамиз:

$$\sum x = N_1 \cos 30^\circ + N_2 \cos 30^\circ = 0 \quad (a)$$

$$\sum Y = -F + N_1 \sin 30^\circ - N_2 \sin 30^\circ = 0 \quad (b)$$



68-расм.

(а) тенгламадан  $N_1 = -N_2$  ни ҳисобга олсак,

$$N_1 = -\frac{F}{2 \cdot \sin 30^\circ} = -F$$

Биринчи стерженнинг мустаҳкамлик шартидан фойдаланиб F кучни топамиз:

$$\sigma' = \frac{N_1}{2A_1} \leq [\sigma] \quad \text{ва} \quad N_1 = F = 2 \cdot 13,3 \cdot 10^{-4} \cdot 160 \cdot 10^3 = 425 \text{ кН}$$

Иккى ичи стерженнинг мустаҳкамлик шартига кўра F кучни топамиз:

$$\sigma'' = \frac{N_2}{A_2} \leq [\sigma]$$

$$\text{У ҳолда: } F = A_2 [\sigma]'' = 34,8 \cdot 10^{-4} \cdot 100 \cdot 10^3 = 348 \text{ кН}$$

Системага қўйилиши мумкин бўлган куч  $F = 348 \text{ кН}$  ни қабул қиласиз. Стерженларнинг узайишини топамиз:

$$\Delta \ell_1 = \frac{N_1 \ell_1}{E 2 A_1} = \frac{348 \cdot 2,31}{2 \cdot 10^8 \cdot 2 \cdot 13,3 \cdot 10^{-4}} = 15,11 \cdot 10^{-4} \text{ м}$$

$$\Delta \ell_2 = \frac{N_2 \ell_2}{E A_2} = \frac{348 \cdot 2,31}{2 \cdot 10^8 \cdot 34,8 \cdot 10^{-4}} = 11,55 \cdot 10^{-4} \text{ м}$$

С нуқтанинг тўлиқ кўчишини топиш учун қўйидаги схемани тузамиз (68-расм, а).

68-расм, а га асосланиб:

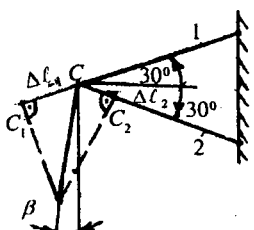
$$\Delta = \frac{\Delta\ell_1}{\cos(60^\circ - \beta)} = \frac{\Delta\ell_2}{\cos(60^\circ + \beta)}$$

$$\cos(60^\circ - \beta) = \cos 60^\circ \cos \beta + \sin 60^\circ \sin \beta$$

$$\cos(60^\circ + \beta) = \cos 60^\circ \cos \beta - \sin 60^\circ \sin \beta$$

ларни ҳисобга олиб, айрим ўзгаришлардан кейин

$$\frac{\Delta\ell_1}{\Delta\ell_2} = \frac{1 + \operatorname{tg} 60^\circ \operatorname{tg} \beta}{1 - \operatorname{tg} 60^\circ \operatorname{tg} \beta} \text{ ни ҳосил қиласиз.}$$



68-а расм.

$$\text{Бу ерда: } \frac{\Delta\ell_1}{\Delta\ell_2} = \frac{15,11 \cdot 10^{-4}}{11,55 \cdot 10^{-4}} = 1,3$$

У ҳолда:

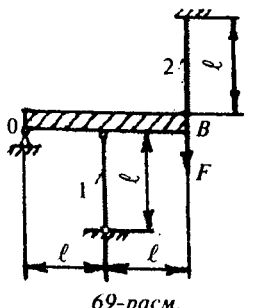
$$\operatorname{tg} \beta = \frac{0,3}{3,9836} = 0,0753 \quad \text{ва} \quad \beta = 4^\circ 30'$$

С нүктанинг түлиқ күчиши:

$$\Delta = \frac{\Delta\ell_1}{\cos(60^\circ - \beta)} = \frac{15,11 \cdot 10^{-4}}{\cos 55^\circ 30'} = 27 \cdot 10^{-4} \text{ м}$$

**15-масала.** Абсолют қаттиқ брус қўзгалувчан шарнирли таянчга таяниш ёрдамида узунлиги  $\ell = 1$  м пўлатдан тайёрланган, кесим юзаси  $A_1 = A_2 = A = 2 \cdot 10^{-4} \text{ м}^2$  бўлган 1 ва 2 стерженларга маҳкамланган.

1) Системага қўйилиши мумкин бўлган рухсат этилган



69-расм.

$P_{\text{пук}}$  юкнинг стерженлардаги энг катта кучланишини

$$[\sigma] = 160 \text{ мПа} \text{ га}$$

тенглаштириб топилсин.

2) Оқувчанлик чегарасида  $\sigma_{\text{ок}} = 240$  мПа дан фойдаланиб чекли юк  $F_{4,4k}$  топилсин. Таъки  $F$  куч таъсирида ОВ брус О шарнир атрофида айланади. Натижада 1-стержень сиқилади, 2-стержень қўзилади.

**Ечиш:** Кесиш усулидан фойдаланиб ички бўйлама кучларни аниқлаймиз (70-расм).

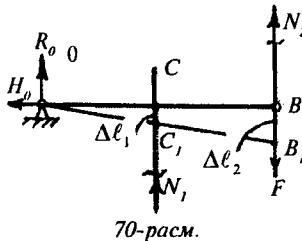
Системанинг мувозанат ҳолатини ифодаловчи статиканинг тенгламаларини тузамиз:

$$\sum x = H_o = 0 \quad (a)$$

$$\sum y = R_o + N_1 + N_2 = 0 \quad (b)$$

$$\sum M_o = -N_1 \cdot \ell - N_2 \cdot 2\ell + F \cdot 2\ell = 0 \quad (c)$$

(а), (б) ва (в) тенгламалардан маълумки, стерженлардаги номаълум ( $N_1$ ;  $N_2$ ) ички кучлари ва таянч кесимидағи реакция кучлари ( $R_o$  ва  $H_o$ ) статиканинг тенгламаларидан кўп экан. Демак, берилган система статик аниқ эмас.



70-расм.

Схемадаги номаълум  $R_o$  ва  $H_o$  реакция кучларини топиш масаланинг шартида қўрсатилмаган ва умуман  $R_o$  ва  $H_o$  реакциялар ички бўйлама кучлар ва стерженлардаги кучланишларга таъсири йўқ. Шунинг учун реакция кучларини топмаймиз.

Системанинг аниқмаслик даражаси:  $S = n - 1 = 2 - 1 = 1$

Бу ерда:  $n$  — номаълум ( $N_1$  ва  $N_2$ ) кучлар сони;

1 — статиканинг тенгламалар сони.

Номаълум ички куч  $N_1$  ва  $N_2$  ларни топиш учун системанинг деформациясидан фойдаланиб қўшимча тенглама тузамиз.

ОВ брус тўғрилигича қолиб,  $F$  куч таъсирида О нуқта атрофида кичик бурчакка айланади. Натижада С ва В нуқталар  $F$  куч йўналишида кўчади ва 1- ва 2-стерженлар тегишлича  $\Delta\ell_1$  ва  $\Delta\ell_2$  масофага деформацияланади.  $\Delta\ell_1$  ва  $\Delta\ell_2$  ларни материалнинг пропорционаллик чегарасидан ортиб кетмайди, деб қаралади ва Гук формуласи билан ифодаланади.

Схемада:  $\frac{BB_1}{BO} = \frac{CC_1}{CO}$  ёки  $\frac{\Delta\ell_2}{2a} = \frac{\Delta\ell_1}{a}$ ;  $\Delta\ell_2 = 2\Delta\ell_1$ , агар

$$\Delta\ell_1 = \frac{N_1\ell}{EA} \text{ ва } \Delta\ell_2 = \frac{N_2\ell}{EA} \text{ бўлса, } \frac{N_2\ell}{EA} = 2 \frac{N_1\ell}{EA} \text{ ёки } N_2 = 2N_1$$

келиб чиқади.  $N_2 = 2N_1$  тенгламани мувозанат тенгламаси билан биргаликда ечиб:  $N_1 = \frac{F}{5}$  ва  $N_2 = \frac{2}{5}F$  ни топамиз.  $N_2 > N_1$  бўлганлиги учун  $\sigma_2 > \sigma_1$ .

Иккинчи стерженнинг мустаҳкамлик шарти:

$$\sigma_2 = \frac{N_2}{A} \leq [\sigma] \text{ ёки } \frac{2F}{5A} \leq [\sigma] \text{ дан}$$

$$F_{pux} = \frac{5F[\sigma]}{2} = \frac{5 \cdot 2 \cdot 10^{-4} \cdot 160 \cdot 10^3}{2} = 80 \text{ кН}$$

келиб чиқади.

Демак, 2-стерженда 1-стерженга нисбатан кучланиш катта бўлади. Бу эса 1-стерженда оқувчанлик чегарасини 2-стерженга нисбатан олдинроқ бошланишига олиб келади. Бу вақт оралиғида, агар кучни кўпайтирсак ҳам 1-стержен кучланиши ўсмайди (катталашмайди) ва система Q ва  $N_1 = \sigma_{ok} \cdot A$  куч билан юкланган статик аниқ системага айланаб қолади. Кучни янада орттирирсак 2-стерженда ҳам оқувчанлик чегараси бошланади:  $N_2 = \sigma_{ok} \cdot A$

Энди  $N_1$  ва  $N_2$  куч ифодаларини мувозанат тенгламасига келтириб қўямиз:  $\sigma_{ok} \cdot A + 2 \cdot \sigma_{ok} \cdot A = F$  ёки

$$3\sigma_{ok}A = F$$

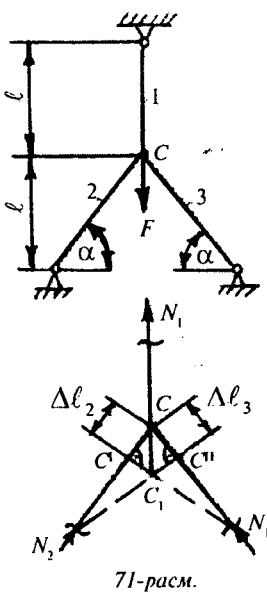
Бу ерда:

$$F = F_{qsk} = 3 \cdot 240 \cdot 10^3 \cdot 2 \cdot 10^{-4} = 144 \text{ кН}$$

**16-масала.** Бир хил диаметрли пўлатдан тайёрланган стерженлар схемадагидек (71-расм)  $F = 20$  кН куч билан юкланган. Мустаҳкамлик шартига кўра стерженларнинг диаметлари топилсин.

Берилган:  $\ell = 1 \text{ м}$ ,  $\alpha = 45^\circ$

$$E = 2 \cdot 10^8 \frac{\text{kН}}{\text{м}^2}; [\sigma] = 160 \text{ МПа}$$



Ечиш. Ф күч таъсирида 1-стержень узаяди; 2—3-стерженлар сиқилади. Текис системада жойлашған күчлар учун статиканың иккита тенгламасы түрі келади:

$$\sum x = -N_3 \cos \alpha + N_2 \cos \alpha = o(a)$$

$$\sum y = N_1 - F + N_2 \sin \alpha + N_3 \sin \alpha = 0(b)$$

Биринчи тенгламадан  $N_2 = N_3$  ни иккінчи тенгламага келтириб қўйсак,  $N_1 + 2N_2 \sin \alpha = F$  (в) ҳосил бўлади.

Демак, система бир маротаба статик аниқмас экан, (в) тенгламадан номаълум  $N_1$  ва  $N_2$  күчларни топиш учун системанинг деформациясидан фойдаланиб қўшимча тенглама тузамиз.

Тўғри бурчакли учбуручак СС<sub>1</sub> С<sub>1</sub><sup>1</sup> дан (71-расм)  
 $\Delta\ell_2 = \Delta\ell_1 \sin \alpha$  (г)

$$\text{Бу ерда: } \Delta\ell_1 = \frac{N_1 \ell_1}{EA} \text{ ва } \Delta\ell_2 = \frac{N_2 \ell_2}{EA}; \ell_1 = \ell; \ell_2 = \frac{2\ell}{\sqrt{2}}.$$

У ҳолда (г) тенглик қуйидаги ҳолатга келади:

$$N_2 = N_1 \frac{\sqrt{2} \cdot \ell}{2\ell} = N_1 \frac{\sqrt{2}}{2} \quad (\text{д})$$

системани деформациясидан ҳосил бўлган қўшимча тенглама бўлиб, уни (в) тенглама билан биргаликда ечиб,  $N_1$  ва  $N_2$  ларни топамиз:

$$N_2 = \frac{F}{3 \cdot \sin \alpha} = \frac{20}{3 \cdot \frac{\sqrt{2}}{2}} = \frac{40}{4,23} \kappa H \quad \text{ва}$$

$$N_1 = \frac{N_2}{\sin \alpha} = \frac{40}{4,23 \cdot \frac{\sqrt{2}}{2}} = \frac{80}{5,9643} \kappa H$$

Энг катта бўйлама күч ва кучланиш 1-стержендага ҳосил бўлади. Шу стержень учун мустаҳкамлик шартини тузамиз:

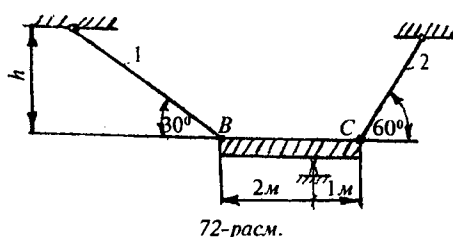
$$\sigma_1 = \frac{N_1}{A} \leq [\sigma] \text{ ёки } \sigma_1 = \frac{N_1 \cdot 4}{\pi \cdot d_1^2} \leq [\sigma]$$

Бу ерда:

$$d_1 = \sqrt{\frac{4N_1}{\pi[\sigma]}} = \sqrt{\frac{4 \cdot 80}{3,14 \cdot 160 \cdot 10^3 \cdot 5,96}} = 0,0103 \text{ м}$$

**17-масала.** Күндаланг кесим юзалари ўзаро тенг бўлган ( $A_1 = A_2 = 40 \cdot 10^{-4} \text{ м}^2$ ) 1- ва 2-стерженлар (72-расм)  $\Delta t = 2^\circ$  га қиздирилган. Стерженлардаги кучланишлар топилсан.

**Ечиш.** Стерженларнинг қиздирилиши натижасида ВС бруси О шарнир атрофида айланниб  $B_1 C_1$  ҳолатга ўтади, 1-стержень  $N_1$  куч таъсирида сиқилади ва  $\Delta t$  ҳарорат таъсирида узаяди, деб қабул қилсак, 2-стержень сиқилади.



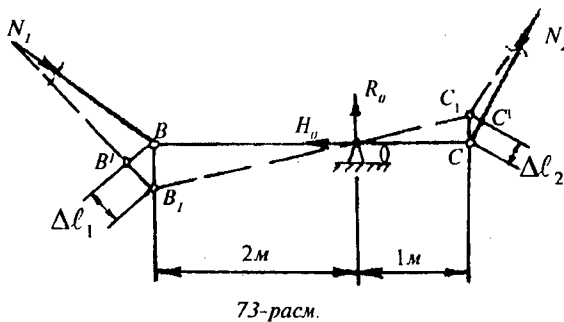
$R_0$  ва  $H_0$  реакцияларнинг таъсирини ҳисобга олмаслик учун системани мувозанат тенгламаси сифатида О шарнирга нисбатан моментлар тенгламасини тузамиз, яъни:

$$\sum M_0 = -2N_1 \cos 60^\circ + N_2 \cos 30^\circ = 0$$

ёки

$$N_2 = 2N_1 \frac{\cos 60^\circ}{\cos 30^\circ} = 1,1547 N_1 \quad (a)$$

(а) тенгламадан кўринишича, системадаги номаълумлар сони  $N_1$  ва  $N_2$  статиканинг мувозанат шартидан кўп экан. Масала статик ноаниқ.



Масалани ечиш үчүн қўшимча деформация тенгламасини тузамиз. Схемадан (73-расм) қўринишича, 1- ва 2-стерженларнинг деформациялари қўйидаги нисбатда боғлиқдир:

$$BB_1 = 2CC_1 \quad \text{ёки} \quad \frac{\Delta\ell_1}{\cos 60^\circ} = 2 \frac{\Delta\ell_2}{\cos 30^\circ}$$

$$\text{Бу ерда: } \Delta\ell_1 = 1,1547 \Delta\ell_2 \quad (\text{б})$$

Стерженларнинг деформацияларини Гук қонуни билан ифодалаймиз:

$$\Delta\ell_1 = -\frac{N_1 h}{EA \sin 30^\circ} + \alpha \cdot \Delta t \frac{h}{\sin 30^\circ};$$

$$\Delta\ell_2 = -\left( \frac{N_2 h}{EA \sin 60^\circ} + \alpha \cdot \Delta t \frac{h}{\sin 60^\circ} \right)$$

У ҳолда (б) тенглама қўйидагича ёзилади:

$$\frac{h}{\sin 30^\circ} \left( -\frac{N_1}{EA} + \alpha \cdot \Delta t \right) = 1,1547 \frac{h}{\sin 60^\circ} \left[ -\frac{N_2}{EA} - \alpha \cdot \Delta t \right]$$

ёки

$$-\frac{N_1}{EA} + \alpha \cdot \Delta t = 1,1547 \frac{\sin 30^\circ}{\sin 60^\circ} \left( -\frac{N_2}{EA} - \alpha \cdot \Delta t \right)$$

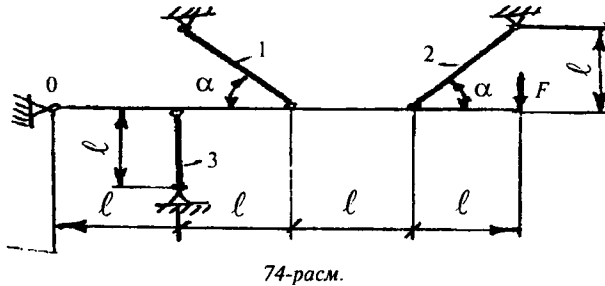
$$\text{Бу ерда: } -N_1 + 0,6667 N_2 = EA(-0,667\alpha \cdot \Delta t - \alpha \cdot \Delta t)$$

(а) тенгламани ҳисобга олсак,  $1,7698 N_1 = 1,667\alpha EA \Delta t$  ҳосил бўлади, у ҳолда  $N_1 = 18834 \text{ кг}$  ва  $N_2 = 21747 \text{ кг}$

$$\text{1-стержендаги кучланиш: } \sigma_1 = \frac{N_1}{A_1} = \frac{18834}{40} = 470 \frac{\text{кг}}{\text{см}^2}$$

$$\text{2-стержендаги кучланиш: } \sigma_2 = \frac{N_2}{A_2} = \frac{21747}{40} = 543 \frac{\text{кг}}{\text{см}^2}$$

**18-масала.** ОД балка кесим юзалари  $A = 1 \cdot 10^{-3} \text{ м}^2$  бўлган пўлатдан тайёрланган стерженлар билан боғланган. Системага қўйилиши мумкин бўлган рухсат этилган куч  $[F]$  нинг стерженлардаги энг катта кучланишини  $[\sigma] = 160 \text{ МПа}$  га тенглаштириб топилсин.



74-расм.

Оқувчанлик чегарасидаги күчланишдан  $\sigma_{\text{ок}} = 240 \text{ мПа}$  фойдаланиб чекли юк  $F_{\text{тек}}$  топилсис:

$$l = 1 \text{ м}; \quad \alpha = 45^\circ; \quad E_1 = E_2 = E_3 = E$$

**Ечиш.** ОД балка F күч тасирида О шарнир атрофида айланади, 1- ва 2-стерженларни чүзилишга ва 3-стержень сиқилишга қаршилик күрсатади, деб қабул қиласиз. Стерженларнинг деформациядан кейинги ҳолати ва ҳисоблаш схемаси 75-расмда күрсатилган.

Системанинг мувозанат ҳолатини ифодаловчи статикканинг тенгламаларини тузамиз:

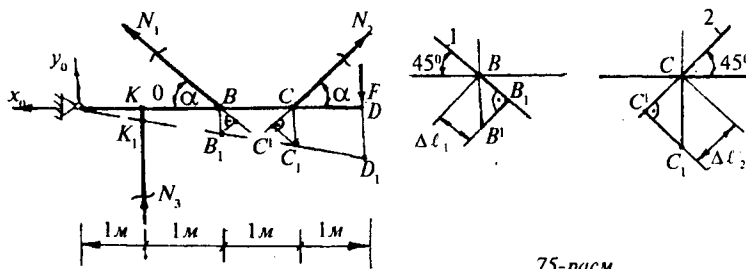
$$\sum x = 0; \quad x_0 - N_1 \cos \alpha + N_2 \cos \alpha = 0 \quad (a)$$

$$\sum y = 0; \quad y_0 + N_3 + N_1 \sin \alpha + N_2 \sin \alpha - F = 0 \quad (b)$$

$$\sum M_0 = 0; \quad 2N_1 \sin \alpha + 3N_2 \sin \alpha + N_3 - 4F = 0 \quad (c)$$

(а), (б) ва (в) тенгламалардан күринишича, стерженлардаги номаълум ( $N_1; N_2; N_3$ ) ички күчлари ва таянч кесимиради реакция күчлари ( $x_0; y_0$ ) статикканинг тенглаларын тузамиз.

D



75-расм.

малари сонидан күп экан. Демак, берилган система статик ноаниқ.

Системанинг аниқмаслик даражасини топамиз:

$$S = n - 3 = 5 - 3 - 2$$

Бу ерда:  $n$  — номаълум кучлар сони;

$3$  — статиканинг тенгламалар сони;

$S$  — системанинг аниқмаслик даражаси.

Система икки маротаба аниқмас. Масалани ечиш учун системанинг геометрик боғланишларидан фойдаланиб иккита қўшимча деформация тенгламаларини тузамиз (75-расм).

Схемадан:  $\Delta BB_1O \approx \Delta KK_1O$  ва  $\Delta CC_1O \approx \Delta KK_1O$  дан

$$\frac{KK_1}{KO} = \frac{BB_1}{BO} \quad \text{ва} \quad \frac{KK_1}{KO} = \frac{CC_1}{CO} \quad \text{ҳосил қиласиз.}$$

$$\text{Бу ерда: } BB_1 = \frac{BB^1}{\cos \alpha} \quad \text{ва} \quad CC_1 = \frac{CC^1}{\cos \alpha}$$

Схемадан  $KK_1 = \Delta \ell_3$ ;  $BB^1 = \Delta \ell_1$  ва  $CC^1 = \Delta \ell_2$  ларни ҳисобга олсак, юқоридаги нисбатлар қўйидагича ёзилади:

$$\frac{\Delta \ell_1}{2 \cos \alpha} = \frac{\Delta \ell_3}{1} \quad \text{ва} \quad \frac{\Delta \ell_2}{3 \cos \alpha} = \frac{\Delta \ell_3}{1} \quad \text{ёки}$$

$$\Delta \ell_1 = 2 \Delta \ell_3 \cos \alpha \quad \text{ва} \quad \Delta \ell_2 = 3 \Delta \ell_3 \cos \alpha \quad (e)$$

(e) қўшимча деформация тенгламаларини Гук қонуни орқали ички кучлар билан ифодалаймиз:

$$\frac{N_1 \ell_1}{E_1 A_1} = 2 \frac{N_3 \ell_3}{E_3 A_3} \cos \alpha \quad \text{ва} \quad \frac{N_2 \ell_2}{E_2 A_2} = 3 \frac{N_3 \ell_3}{E_3 A_3} \cos \alpha \quad (d)$$

Схемадан

$$E_1 = E_2 = E_3 = E; \quad \ell_3 = 1 \text{ м} \quad \text{ва} \quad \ell_1 = \ell_2 = \frac{1}{\cos \alpha} \quad \text{ларни}$$

ҳисобга олсак, айрим ўзгартиришлардан кейин (d) қўйидагича ёзилади:

$$N_1 = 2N_3 \cos^2 \alpha = N_3 \quad (e)$$

$$N_2 = 3N_3 \cos^2 \alpha = 1,5N_3 \quad (ж)$$

(e) ва (ж) тенгламаларини (в) га келтириб қўямиз ва ички кучни топамиз:  $N_3 = 0,72F$ .

У ҳолда:  $N_1 = 0,72F$  ва  $N_2 = 1,08F$

Энди ҳар қайси стержеининг мустаҳкамлик шартини ёзамиз:

$$\sigma_1 = \frac{N_1}{A_1} = \frac{0,72F}{A} \leq [\sigma]$$

$$\sigma_2 = \frac{N_2}{A_2} = \frac{1,08F}{A} \leq [\sigma]; \quad \sigma_3 = \frac{N_3}{A_3} = \frac{0,72F}{A} \leq [\sigma]$$

Мустаҳкамлик шартига қўра энг катта нормал кучланиш 2-стерженда ҳосил бўлди. Системага қўйилиши мумкин бўлган кучнинг рухсат этилган қиймати:

$$[F] = \frac{A[\sigma]}{1,08} = \frac{1 \cdot 10^{-3} \cdot 160 \cdot 10^3}{1,08} = 148,1 \text{ kH}$$

Учта стерженда ҳам оқувчанлик чегараси бошланиши учун  $N_1 = \sigma_{ок} A_1$ ;  $N_2 = \sigma_{ок} A_2$  ва  $N_3 = \sigma_{ок} A_3$  шартлар баражилиши керак. У пайтда (в) тенглама қўйидагича қўринишга келтирилади:  $2\sigma_{ок} A \sin \alpha + 3\sigma_{ок} A \sin \alpha + \sigma_{ок} A = 4F$ .

Охирги тенгламадан оқувчанлик чегарасига тўғри келувчи чекли юк топилади:

$$F_{тек} = \frac{\sigma_{ок} A (1 + s \cdot \sin \alpha)}{4} = \frac{240 \cdot 10^3 \cdot 1 \cdot 10^{-3} (1 + 5 \cdot 0,7)}{4} = 270 \text{ kH}$$

**19-масала.** Бикр брус, кўндаланг кесим юзалари  $A = 20 \cdot 10^{-4} \text{ m}^2$  бўлган учта стерженларга осилган. Ўрта стержень лойиҳа ўлчамидан  $\delta = 0,5 \text{ mm}$  қалта тайёргланган. Конструкция йиғилгандан кейин стерженлардаги кучланиш топилсин. Стерженларнинг материаллари бир хил.

**Ечиш.** Конструкциядаги  $\delta$  масофани йўқотиш учун 1-ва 3-стерженларни сиқиши, 2-стерженни чўзиши керак. Натижада учта стерженда ҳам ички бўйлама кучлар ҳосил бўлади. Ички кучларни топиш учун кесиш усулидан фойдаланамиз.

Конструкция ажратилган қисмининг мувозанат ҳолатини қаноатлантирувчи  $\sum M_0 = 0$  тенгламани тузамиз.

$$\sum M_0 = N_1 \cdot 1 - N_2 \cdot 2 + N_3 \cdot 3 = 0$$

Битта тенгламада учта  $N_1; N_2$  ва  $N_3$  маълум ички кучлар бор экан. Номаълумлар сони мувозанат тенгламалар сонидан иккита кўп.

Шунинг учун танланган масала икки маротаба ноаниқ. Масаланинг аниқмаслик даражасини очиш учун иккита қўшимча деформация тенгламаларини тузиш керак (76-расм).

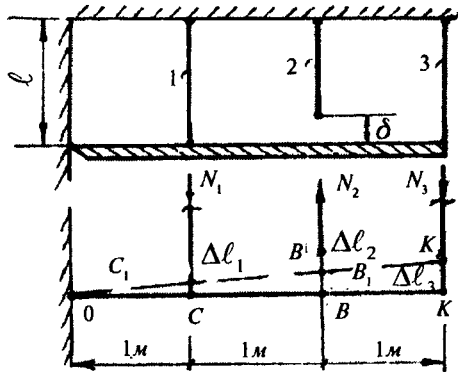
Конструкциянинг деформациясини ўрганамиз. 1- ва 3-стерженларнинг сиқилишида, биринчи стержень  $CC_1 = \Delta\ell_1 = \frac{N_1 \epsilon}{EA}$  масофага, учинчи стержень  $KK_1 = \Delta\ell_3 = \frac{N_3 \epsilon}{EA}$  масофага қисқаради. Натижада В нуқта  $B_1$  га кўчади. 2-стержени брус билан туташтириш учун уни  $\Delta\ell_2 = \frac{N_2 \epsilon}{EA}$  масофага узайтириш керак.

Конструкциядаги стерженларнинг деформацияси натижасида учбуручклар ҳосил бўлади:

$$\Delta KK_1 O \infty \Delta BB_1 O \infty \Delta CC_1 O$$

$$\text{У ҳолда: } \frac{KK_1}{KO} = \frac{CC_1}{CO} \quad \text{ёки} \quad \frac{\Delta\ell_3}{3} = \frac{\Delta\ell_1}{1} \quad \text{ва} \quad \Delta\ell_3 = 3\Delta\ell_1$$

$$\text{Бу ерда: } \frac{N_3 \epsilon}{EA} = 3 \frac{N_1 \epsilon}{EA}; \quad N_3 = 3N_1 \quad (6)$$



76-расм.

$$\frac{BB_1}{BO} = \frac{CC_1}{CO} = \frac{\delta - \Delta\ell_2}{2} = \Delta\ell_1 \quad \text{ва} \quad \delta - \Delta\ell_2 = 2\Delta\ell_1$$

$$\text{Бу ерда: } \delta - \frac{N_2\ell}{EA} = 2 \frac{N_1\ell}{EA} \quad \text{ва} \quad N_2 = \frac{\delta EA - 2N_1\ell}{\ell} \quad (8)$$

ҳосил бўлади. (б) ва (в) тенгликларни (а) тенгламага келтириб қўямиз:  $N_1 \cdot 1 - 2 \frac{\delta \cdot EA - 2N_1\ell}{\ell} + 9N_1 = 0$ ;

$$10N_1\ell - 2\delta \cdot EA + 4N_1\ell = 0 \quad \text{ва}$$

$$N_1 = \frac{\delta \cdot EA}{7\ell} = \frac{0,5 \cdot 10^{-4} \cdot 2 \cdot 10^8 \cdot 20 \cdot 10^{-4}}{7} = \frac{20}{7} \kappa H$$

Биринчи стержендаги кучланиш:

$$\sigma_1 = \frac{N_1}{A} = \frac{20}{7 \cdot 20 \cdot 10^{-4}} = 0,143 \cdot 10^4 \frac{\kappa H}{m^2}$$

$$(в) тенглиқдан N_2 \text{ ни топамиз: } N_2 = \frac{100}{7} \kappa H$$

Иккинчи стержендаги кучланиш:

$$\sigma_2 = \frac{N_2}{A} = \frac{100}{7 \cdot 20 \cdot 10^{-4}} = 0,715 \cdot 10^4 \frac{\kappa H}{m^2}$$

$$(б) тенглиқдан N_3 \text{ ни топамиз: } N_3 = \frac{60}{7} \kappa H$$

$$\text{Кучланиш: } \sigma_3 = \frac{N_3}{A} = \frac{60}{7 \cdot 20 \cdot 10^{-4}} = 0,429 \cdot 10^4 \frac{\kappa H}{m^2}$$

**20-масала.** Погонали брус қесим юзаси А ва асоси қўзгалмас бўлган пўлатдан тайёрланган иккита стерженларга бикр маҳкамланган:

1) қўзгалмас таянч билан погонали бруслар орасидаги масофа  $\Delta = 1 \cdot 10^{-4} m$  куч қанча қийматида ёпилади;

2) ўрта стерженнинг пастки асосидаги реакция кучи В берилган куч Н орқали аниқлансин ва бўйлама куч N эпюраси қурилсин.

**Ечиш.** Биринчи саволга жавоб бериш учун погонали бруслни Н кучдан деформациясини  $\Delta$  масофага тенглаштирамиз (77-расм).

$$\Delta = \frac{HC}{4EA} + \frac{HC}{4EA} + \frac{HC}{2EA} + \frac{H2C}{EA} = \frac{3HC}{EA} \quad (a)$$

$$\Delta = \frac{3H}{2 \cdot 10^8 \cdot 2 \cdot 10^{-3}} \quad \text{ёки} \quad H = \frac{40}{3} \text{ кН}$$

Бу ерда:  $E = 2 \cdot 10^8 \frac{\text{kН}}{\text{м}^2}$  ва

$$A = 2 \cdot 10^{-3} \text{ м}^2$$

(а) тенглама асосида то-пилган  $H$  күч масаланинг шартида берилган  $H = 50 \text{ кН}$  күчдан кичик. Демак, брус билан таянч оралиғидаги ма-софа ёпилади. Масофа ёпили-шини аниқлаш учун берил-ган  $H = 50 \text{ кН}$  күч таъсирида (а) тенглама асосида то-пил-ган поғонали бруснинг түлиқ деформацияси  $\Delta_k$  ни  $\Delta = 1 \cdot 10^{-4} \text{ м}$  билан таққослаймиз:

$$\Delta_k = \frac{3HC}{EA} = \frac{3 \cdot 50 \cdot 1}{2 \cdot 10^8 \cdot 2 \cdot 10^{-3}} = 3,75 \cdot 10^{-4} \text{ м} \quad \text{ёки} \quad \Delta_k > \Delta$$

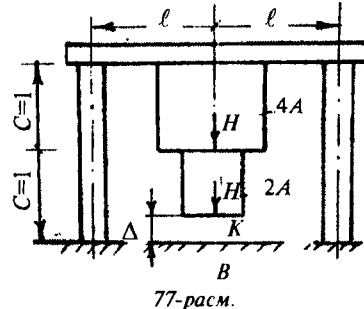
Демак,  $\Delta$  масофа ёпилади. Бруснинг  $K$  кесими  $B$  таянч-га келиб таянади. Системани ҳисоблаш схемаси 77-расмда кўрсатилган. Реакция кучлари  $Y_A$  ва  $B$  ларни системанинг мувозанат шартидан топамиз:

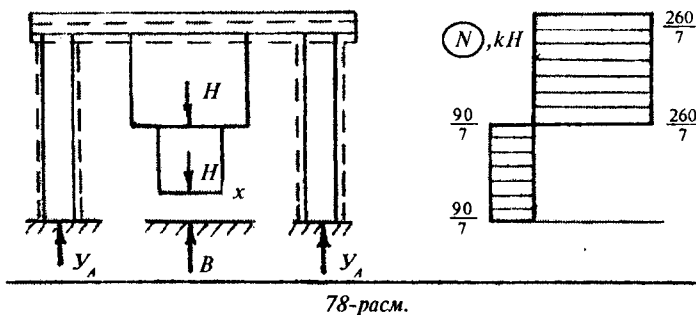
$$\sum Y = 2Y_A + B - 2H = 0 \quad (b)$$

(б) тенгламадан кўринишича, система номаълум реакция кучлари статикани мувозанат тенгламасидан ик-китага кўп. Демак, система бир маротаба статик аниқмас экан.

Номаълум  $Y_A$  ва  $B$  реакция кучларини топиш учун (б) тенглама ёнига қўшимча деформация тенгламасини тузи-шимиз керак.

Бунинг учун икки поғонали брусни ва иккита четки стерженлардан битгасини берилган  $H$  күчдан деформаци-ясини реакция кучлари таъсиридаги деформацияга тенг-лаштирамиз:





$$\frac{HC}{2EA} + \frac{HC}{4EA} + \frac{HC}{4EA} + \frac{H2C}{EA} - \frac{BC}{4EA} - \frac{BC}{E2A} - \frac{Y_A 2C}{EA} = \Delta \quad (6)$$

Агар,  $Y_A = \frac{B}{2}$  деб қаралса, (в) тенгламани

$12HC - 7BC = 4\Delta EA$  күринишга келтирамиз.

Бу ерда:

$$B = \frac{12HC - 4\Delta EA}{7C} = \frac{12 \cdot 50 \cdot 1 - 4 \cdot 10^{-4} \cdot 2 \cdot 10^8 \cdot 2 \cdot 10^{-3}}{7 \cdot 1} = \frac{440}{7} \text{ kH}$$

В реакция кучини (б) тенгламага келтириб,  $Y_A$  реакция кучини топамиз:

$$Y_A = \frac{2H - B}{2} = H - \frac{B}{2} = 50 - \frac{440}{2 \cdot 7} = \frac{130}{7} \text{ kH}$$

Погонали брусни оралиқтарга бўлиб, ички бўйлама куч  $N$  ни топамиз:

**1 — 1 қирқим.**  $\sum Y = N_1 - H + B = 0$  ёки

$$N_1 = H - B = 50 - \frac{440}{7} = -\frac{90}{7} \quad (\text{сикувчи куч})$$

**2 — 2 қирқим.**  $\sum Y = N_2 - 2H + B = 0$

$$N_2 = 2H - B = 2 \cdot 50 - \frac{440}{7} = \frac{260}{7} \text{ kH} \quad (\text{чўзувчи куч})$$

## III БОБ

### КУЧЛАНГАНЛИК ҲОЛАТЛАРИ ВА МУСТАҲКАМЛИК НАЗАРИЯЛАРИ

Кучларнинг таъсир қилиш ҳолатларига қараб конструкция ёки иншоот қисмидаги энг катта кучланишларни ва улар пайдо бўладиган юзачаларни топиш масаласи мураккаброқ. Бу масалани ечиш учун деформацияланувчи жисм нуқтасидаги кучланиш ҳолати текширилади.

#### 3.1. ЧИЗИҚЛИ КУЧЛАНГАНЛИК ҲОЛАТИ

Чизиқли кучланганлик ҳолати элементларни оддий қўйилиш ва сиқилиш деформациясига учраган вақтидаги кўндаланг кесими юзасига қия жойлашган юзаларидаги кучланишларнинг тарқалиш қонуниятини ўрганади.

$F$  куч таъсирида чўзилаётган брусли  $m$ -е кўндаланг кесим юзасидаги кучланиш  $\sigma = \frac{F}{A}$  формула билан топилишини кўриб ўтган эдик. Энди брусли  $m$ -е кўндаланг кесим юзасига қия ҳисобланган  $m$ -н юзасидаги кучланишни аниқлайлик.

$m$ -н текисликнинг қиялиги брус ўқи ва  $n_a$  нормали орасидаги ўткир бурчак  $\alpha$  билан аниқланади. Кесиш услуби орқали ажратиб

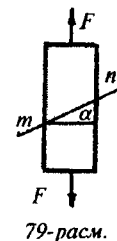
олинган кесимни қия юзасида  $P_\alpha$  кучланиш тенг тарқалади ва  $P_\alpha = \frac{F}{A_\alpha} = \frac{F}{A} \cos \alpha = \sigma_0 \cos \alpha$

формула билан топилади.  $P_\alpha$  нинг қия текислик нормали ва  $m$ -н кесим текислигига проекциялаб.

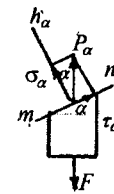
$$\sigma_\alpha = P_\alpha \cos \alpha = \sigma_0 \cos^2 \alpha \quad (3.1)$$

$$\tau_\alpha = P_\alpha \sin \alpha = \frac{\sigma_0}{2} \sin 2\alpha \quad (3.2)$$

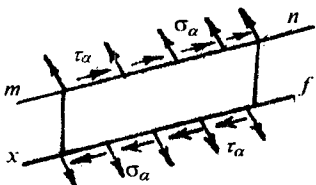
Қия текисликнинг нормал  $\sigma_\alpha$  ва уринма  $\tau_\alpha$  кучланишларни топамиз.



79-расм.

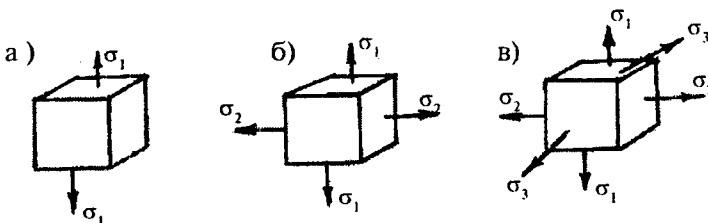


80-расм.



Бруснинг т-п қия текислигига параллел бўлган  $e - f$  чизиқ билан кесиб, бу қия юзада ҳам нормал ва уринма кучланишларнинг ҳосил бўлишини кўрамиз.

сирида  $m - n$  ва  $e - f$  қия кесим юзалари орасидаги масофа узяди;  $\tau_\alpha$  уринма кучланиши таъсирида эса силжиш деформацияси ҳосил бўлади.



81-расм.

Агар  $\sigma_\alpha$  чўзувчи бўлса, ишораси — мусбат;  $\tau_\alpha$  бруснинг ажратилган қисмини соат стрелкаси йўналиши бўйлаб айлантиrsa, ишораси — мусбат деб қаралади. (3.1) ва (3.2) тенгламалардан:

$$\alpha = 0 \text{ бўлса, } \tau_\alpha = 0 \text{ ва } \sigma_\alpha = \sigma_0$$

$$\alpha = 45^\circ \text{ да } \tau_\alpha = \frac{\sigma_0}{2} \text{ ва } \sigma_\alpha = \frac{\sigma_0}{2}$$

$$\alpha = 90^\circ \text{ да } \tau_\alpha = 0 \text{ ва } \sigma_\alpha = 0$$

келиб чиқади.

Демак, 1) брус ўқига перпендикуляр ва параллел кесимларида  $\tau_\alpha = 0$  бўлар экан. Шунинг учун бу юзалар бош юзалар дейилади; 2) брус ўқига параллел юзаларида  $\sigma_\alpha = 0$ ;  $\tau_\alpha = 0$  бўлади, яъни  $\sigma$  ва  $\tau$  ташки кучга боғлиқ бўлмайди.

Бош юзаларга қўйилган кучланишлар бош кучланишлар бўлади. Кучланганлик ҳолатларини  $\sigma_1; \sigma_2$  ва  $\sigma_3$  ларнинг қиймати нолдан фарқли бўлишига қараб аниқланishi мумкин (81-расм):

1) Агар, бош күчланишлардан биттаси нолдан фарқли, қолган иккитаси нолга тенг бўлса — чизиқли күчланганлик ҳолати (81-а расм) оддий чўзилишда:  $\sigma_1 = \sigma_0; \sigma_2 = \sigma_3 = 0$  ва сиқилишда  $\sigma_1 = \sigma_2 = 0; \sigma_3 = -\sigma_a$  бўлади.

2) Агар, иккита бош күчланишлар нолдан фарқли ва биттаси нолга тенг бўлса — текис күчланганлик ҳолати (81-б расм).

3) Агар, учта бош күчланишлар ҳам нолдан фарқли бўлса — ҳажмий күчланганлик ҳолати бўлади (81-в расм)

4)  $\sigma_1; \sigma_2; \sigma_3$  лар бош күчланишлар ва  $\sigma_1 > \sigma_2 > \sigma_3$  деб қабул қиласиз.

### 3.2. ТЕКИС КҮЧЛАНГАНЛИК ҲОЛАТИ

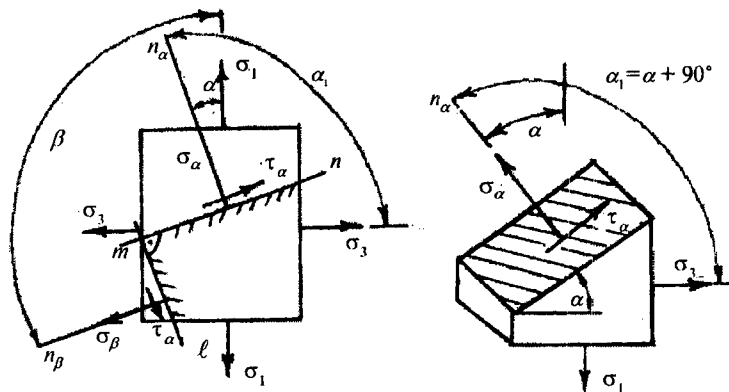
Текис күчланганлик ҳолати қия кесимдаги күчланиш (3.1) ва (3.2) формуласаларга асосланиб топилади.

Бруснинг  $m$ -н қия кесимидағи нормал  $\sigma_\alpha$  ва уринма  $\tau_\alpha$  күчланишларини топамиз:

$$\sigma_\alpha = \sigma_1 \cos^2 \alpha + \sigma_3 \cos^2 \alpha_1 = \sigma_1 \cos^2 \alpha + \sigma_3 \cos^2(\alpha + 90^\circ)$$

ёки

$$\sigma_\alpha = \sigma_1 \cos^2 \alpha + \sigma_3 \sin^2 \alpha \quad (3.3)$$



82-расм.

$$\tau_\alpha = \frac{\sigma_1}{2} \sin 2\alpha + \frac{\sigma_3}{2} \sin 2\alpha_1 = \frac{\sigma_1}{2} \sin 2\alpha + \frac{\sigma_3}{2} \sin 2(\alpha + 90^\circ)$$

ёки       $\tau_\alpha = \frac{\sigma_1 - \sigma_3}{2} \sin 2\alpha$       (3.4)

Агар, т-н қия кесимига перпендикуляр ҳолатдаги бруснинг иккинчи т-е қия кесимини танлаб олсак, бу қия кесимдаги  $\sigma_\beta$  ва  $\tau_\beta$  кучланишлари (3.3) ва (3.4) формулалар асосида топилади.

$$\sigma_\beta = \sigma_1 \cos^2 \beta + \sigma_3 \sin^2 \beta = \sigma_1 \cos^2(\alpha + 90^\circ) + \sigma_3 \sin^2(\alpha + 90^\circ)$$

ёки       $\sigma_\beta = \sigma_1 \sin^2 \alpha + \sigma_3 \cos^2 \alpha$       (3.5)

$$\tau_\beta = \frac{\sigma_1 - \sigma_3}{2} \sin 2\beta = \frac{\sigma_1 - \sigma_3}{2} \sin 2(\alpha + 90^\circ)$$

ёки       $\tau_\beta = -\frac{\sigma_1 - \sigma_3}{2} \sin 2\alpha$       (3.6)

(3.3), (3.4), (3.5) ва (3.6) формулалардан кўриниб турибдики, қия кесимларининг нормал ва уринма кучланишлари  $\alpha$  бурчакнинг ўзгаришига боғлиқ экан. Қия кесимнинг оғиш бурчаги  $\alpha = 45^\circ$  да уринма кучланиш максимал қийматга эришади, яъни:

$$\tau_\alpha = \tau_{\max} = \frac{\sigma_1 - \sigma_3}{2}$$
      (3.7)

Нормал кучланиш  $\sigma_\alpha$  бош нормал кучланишлар йифиндисининг ярмига teng бўлади:  $\sigma_\alpha = \frac{\sigma_1 + \sigma_3}{2}$

$\alpha = 0$  ва  $\alpha = 90^\circ$  бурчакларда  $\tau_\alpha = 0$  ва  $\tau_\beta = 0$ , яъни уринма кучланиш нолга teng бўлар экан. Демак, бу юзалар бош юзалар экан.

(3.3) ва (3.5) тенгламаларнинг чап ва ўнг томонларини қўшиб  $\sigma_\alpha + \sigma_\beta = \sigma_1 + \sigma_3 = \text{const}$ , яъни ўзаро перпендикуляр бўлган қия кесимлардаги нормал кучланишлар йифиндиси бош кучланишлар йифиндисига teng эканлигини аниқлаймиз.

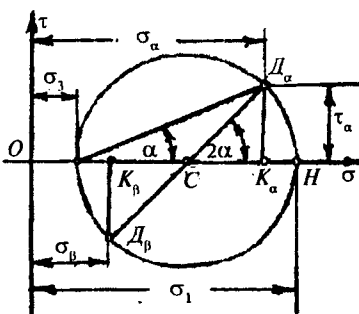
(3.4) ва (3.5) тенгламаларни ўзаро таққосласак,  $\tau_\alpha = -\tau_\beta$ , ўзаро перпендикуляр жойлашган қия кесимлар-

даги уринма кучланишлар бир-бирига тенг ва ишораси ҳар хил бўлишини қўрамиз.  $\tau_a = -\tau_b$  уринма кучланишларнинг жуфтлик аломати дейилади.

### 3.3. КУЧЛАНИШЛАРНИ ГРАФИК УСУЛДА ТОПИШ

Берилган бош нормал кучланишлар орқали текис кучланганлик ҳолатидаги кубикни қия кесимидағи нормал  $\sigma_a$  ва уринма  $\tau_a$  кучланишларни Мор доирасини (кучланишлар доираси) қуриш билан график усулда ҳам топиш мумкин. Бу усулни масалада кўрамиз.  $\sigma_1$  ва  $\sigma_3$  бош нормал кучланишлар берилган бўлсин (83-расм, а). йот координата ўқларини танлаб,  $\sigma_1$  ва  $\sigma_3$  бош нормал кучланишларнинг қийматларини бир хил масштабда  $\sigma$ — ўқида  $OH = \sigma_1$  ва  $OB = \sigma_3$  масофада жойлаштирамиз.

У ҳолда Мор доирасининг маркази координата боши  $O$  нуқтадан  $OC = \frac{OH + OB}{2} = \frac{\sigma_1 + \sigma_3}{2}$  масофада жойлашади. Ҳбисил бўлган  $C$  нуқтадан радиуси (83-расм, а)  $R = CH = CB = \frac{OH - OB}{2} = \frac{\sigma_1 - \sigma_3}{2}$  бўлган доира чизамиз. Қия кесимни  $\sigma_a$  — нормал ва  $\tau_a$  — уринма кучланишлари Мор доирасида жойлашиб, қия кесимни жойлашиши  $\alpha$  бурчагига боғлиқ равищда ўзгаради.  $\sigma_a$  ва  $\tau_a$  кучланишларни аниқлаш учун қия кесимнинг ҳолатини Мор доирасида ифодалаймиз. Бунинг учун В нуқтадан  $\sigma$  ўқига нисбатан  $\tau$  ўқини мусбат томонида  $\alpha$  бурчак остида чизиқ ўтказамиз. Бу чизиқ Мор доирасини  $D_\alpha$  нуқтада кесиб ўтади.  $D_\alpha$  нуқта билан доиранинг маркази С нуқтани бирлаштирувчи чизиқни доиранинг иккинчи қисми билан туташтириб  $D_\beta$  нуқтани хосил қиласиз.  $D_\alpha$  ва  $D_\beta$  нуқталардан  $\sigma$  ўқига перпендикуляр чизиқ ўтказиб  $K_\alpha$  ва  $K_\beta$  нуқталарни топамиз. Кучланишлар масштабига



83-расм, а.

асосан  $OK_a = \sigma_a$ ;  $K_a D_a = \tau_a$ ;  $OK_\beta = \sigma_\beta$  ва  $K_\beta D_\beta = \tau_\beta$  кучланишларини аниқлади.

$\sigma_1$  ва  $\sigma_3$  бош нормал кучланишлар чўзувчи бўлса, Мор доираси  $\sigma_1$  ўқининг мусбат томонида жойлашади.

Ҳақиқатан ҳам  $\sigma_a = OK_a$  эканлигини исботлаймиз:

$$OK_a = OB + BC + CK$$

Лекин:

$$OB = \sigma_3; \quad CB = \frac{\sigma_1 - \sigma_3}{2}$$

$$\text{ва} \quad CK_a = CD_a \cos 2\alpha \quad (\text{бу ерда} \quad CB = CD_a)$$

У ҳолда:

$$\begin{aligned} OK_a &= \sigma_3 + \frac{\sigma_1 - \sigma_3}{2} + \frac{\sigma_1 - \sigma_3}{2} \cos 2\alpha = \sigma_3 + \frac{\sigma_1 - \sigma_3}{2} (1 + \cos 2\alpha) = \\ &= \sigma_3 + (\sigma_1 - \sigma_3) \frac{1}{2} \cdot 2 \cos^2 \alpha = \sigma_3 + \sigma_1 \cos^2 \alpha - \sigma_3 \cos^2 \alpha = \\ &= \sigma_1 \cos^2 \alpha + \sigma_3 (1 - \cos^2 \alpha); \quad \sigma_a = \sigma_1 \cos^2 \alpha + \sigma_3 \sin^2 \alpha \end{aligned}$$

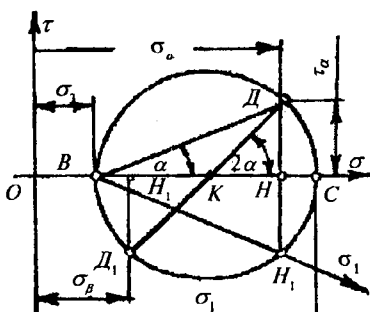
Мор доирасидаги учбурчак  $CD_a K_a$  дан:

$$\frac{D_a K_a}{CD_a} = \sin 2\alpha \quad \text{ёки} \quad D_a K_a = \tau_a = \frac{\sigma_1 - \sigma_3}{2} \sin 2\alpha.$$

Агар қия кесимнинг ҳолати ва ундаги  $\sigma_a; \sigma_\beta; \tau_a = -\tau_\beta$  кучланишлар берилган бўлса, кубикка таъсир қиласидан

бош кучланишларни ва уларнинг йўналишини топиш мумкин. Бундай тескари масалани ҳам Мор доирасини қуриш (83-расм, б) усули билан ечилади. Бунинг учун  $\sigma \cdot o \cdot \tau$  координата ўқларига маълум масштабда  $\sigma_a; \sigma_\beta$  ва  $\tau_a$  кучланишлар жойлаштирилади (83-расм, б).

Д ва  $D_1$  нуқталарни бирлаштириб кучланишлар дои-



83-расм, б.

расининг маркази К нүктани топамиз. ДК ва Д<sub>1</sub>К радиуслар билан чизилган доира  $\sigma_1$  ўқини С ва В нүкталарда кесиб ўтади. Кучланишлар масштабида  $OC = \sigma_1$ , ва  $OB = \sigma_3$ . Мор доирасини қуришда қуйидаги белгилашлардан фойдаландик:

$$\sigma_\alpha = OH; \sigma_\beta = OH_1; HD = \tau; H_1D_1 = \tau_\beta$$

83-б расмдаги чизмадан қуйидаги масофаларни топамиз:

$$OC = OK + KC \text{ ва}$$

$$OB = OK - KB$$

Бу ерда:

$$OK = \frac{OH + OH_1}{2} = \frac{\sigma_\alpha + \sigma_\beta}{2} \quad \text{ва}$$

$$KC = KB = KD = \sqrt{(KH)^2 + (HD)^2} = \sqrt{\left(\frac{\sigma_\alpha - \sigma_\beta}{2}\right)^2 + \tau_\alpha^2}$$

Демак,

$$\begin{aligned} OC &= \sigma_1 = \\ OB &= \sigma_3 = \end{aligned} = \frac{\sigma_\alpha + \sigma_\beta}{2} \pm \sqrt{\frac{(\sigma_\alpha - \sigma_\beta)^2}{4} + \tau_\alpha^2}$$

$$\sigma_{1:3} = \frac{1}{2} \left[ (\sigma_\alpha + \sigma_\beta) \pm \sqrt{(\sigma_\alpha - \sigma_\beta)^2 + 4\tau_\alpha^2} \right] \quad (3.8)$$

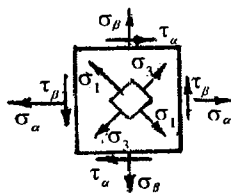
Бош нормал кучланиш  $\sigma_1; \sigma_3$  ларнинг йўналишлари ни топиш учун Мор доирасидаги КНН<sup>1</sup> бурчагидан фойдаланамиз:

$$\operatorname{tg} 2\alpha = \frac{HD}{KH}; \quad \operatorname{tg} 2\alpha = -\frac{2\tau_\alpha}{\sigma_\alpha - \sigma_3} \quad (3.9)$$

ёки бурчак ВНН' дан:

$$\operatorname{tg} \alpha = \frac{HD}{BH} = -\frac{\tau_\alpha}{\sigma_\alpha - \sigma_3}$$

$\alpha$  бурчак мусбат бўлса, уни абсцисса ўқидан соат стрелкасининг йўналишига қарама-қарши томонга жойлаштирилади; манфий бўлса, тескари йўналишда жойлаштирилади.

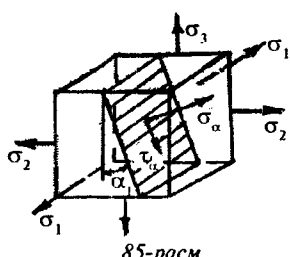


84-расм.

α бурчакнинг қийматига боғлиқ равиша  $\sigma_1$  ва  $\sigma_3$  бош нормал кучланишлар қўйилиши керак бўлган бош юзаларнинг ҳолатлари, оғиш бурчаклари топилади (84-расм).

### 3.4. ҲАЖМИЙ КУЧЛАНГАНЛИК ҲОЛАТИ

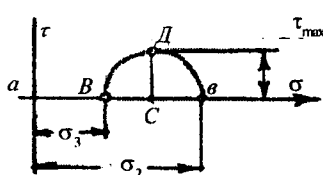
Ҳажмий кучланганлик ҳолатидаги элементнинг қия кесимидаги кучланишни топиш учун (85-расм) қия юзанинг бош кучланишларидан бирортасининг йўналишига паралел қилиб олинади, бу юзадаги нормал ва уринма кучланишлар қолган иккита бош кучланишга боғлиқ бўлиб қолади.



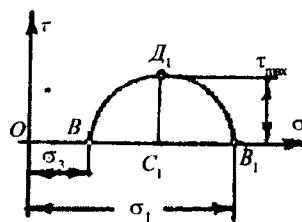
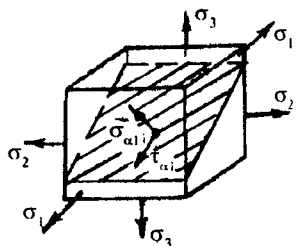
85-расм.

Масалан, қия кесимни  $\sigma_1$  бош нормал кучланишига паралел қилиб оламиз. Демак, штрихланган қия юзадаги  $\sigma_{\alpha 1}$  ва  $\tau_{\alpha 1}$  лар фақат  $\sigma_2$  ва  $\sigma_3$  бош нормал кучланишларга боғлиқ экан.  $\sigma_1$  бош нормал кучланиш таъсиридаги нормал ва уринма кучланишлар нолга teng бўлади.

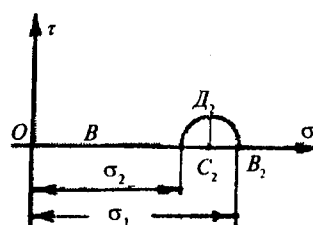
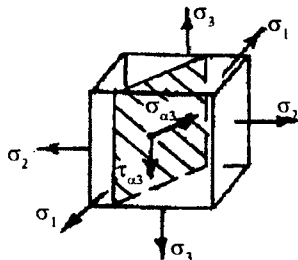
Демак, ҳажмий кучланганлик ҳолатида бўлган кубикдан ажратилган қия текислик текис кучланганлик ҳолатида бўлар экан. Қия кесимдаги нормал кучланиш  $\sigma_{\alpha 1}$  ва уринма кучланиш  $\tau_{\alpha 1}$  ларни топиш учун Мор доирасидан фойдаланамиз. (86-расм) координата системасида  $\sigma_2$  ва  $\sigma_3$  бош нормал кучланишларни жойлаштирамиз ва кучланишлар доирасини қурамиз. Биз қидираётган  $\sigma_{\alpha 1}$  ва  $\tau_{\alpha 1}$  кучланиш ВВ<sub>1</sub> нуқталар билан чегараланган доира ичida жойлашади. Уринма кучланишнинг максимал қиймати кучланишлар доирасининг радиусига teng бўлади, яъни:



86-расм.



87-расм.



88-расм.

$$\tau_{2 \max} = \frac{\sigma_2 - \sigma_3}{2}$$

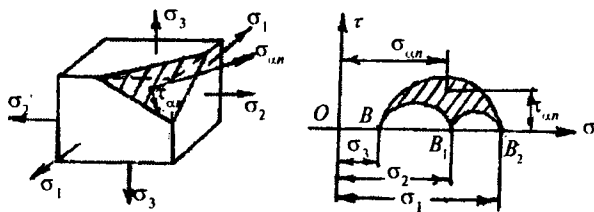
Шу усулда қия кесимні навбати билан  $\sigma_2$  ва  $\sigma_3$  бош нормал күчланишларга параллел қилиб оламиз ва нормал ва уринма күчланишларни топамиз.

Қия кесимдаги  $\sigma_{\alpha_1}$  ва  $\tau_{\alpha_1}$  күчланишлар фақат  $\sigma_1$  ва  $\sigma_3$  бош нормал күчланишларга боғлиқ. Энг катта уринма күчланиш:

$$\tau_{1 \max} = \frac{\sigma_1 - \sigma_3}{2}$$

Қия кесимнинг шундай ҳолатини танлаш мүмкінки, бунда қия кесим ҳамма бош нормал күчланишларнинг йўналишини қесиб ўтади (89-расм).  $\sigma_{\alpha n}$  ва  $\tau_{\alpha n}$  күчланишлар Мор доираси билан чегараланган эгри чизиқли мураккаб юзада жойлашади ва қийидаги формула билан топилади:

$$\sigma_\alpha = \sigma_1 \cos^2 \alpha_1 + \sigma_2 \cos^2 \alpha_2 + \sigma_3 \cos^2 \alpha_3$$



89-расм.

$$\tau_\alpha = \sqrt{\sigma_1^2 \cos^2 \alpha_1 + \sigma_2^2 \cos^2 \alpha_2 + \sigma_3^2 \cos^2 \alpha_3 - \sigma_\alpha^2}$$

$\alpha_1; \alpha_2; \alpha_3$  — бош нормал күчланишларни қия кесимнинг нормали билан ҳосил қилган бурчаги.

### 3.5. ҲАЖМИЙ ДЕФОРМАЦИЯ

Кубикнинг бирорта бош нормал күчланишга параллел қирраси чўзилади. Шу бош нормал күчланиш таъсизида кубикнинг қолган қирралари сиқилади. Натижада, битта қирранинг деформацияси мураккаб бўлиб, бир йўналишда чўзишидан ва иккита йўналишда сиқилишдан иборатdir.

Ҳажмий күчланганлик ҳолатида элементнинг деформацияси Гукнинг умумлашган қонуни бўйича топилади:

$$\begin{aligned}\varepsilon_1 &= \frac{1}{E} [\sigma_1 - \mu(\sigma_2 + \sigma_3)] \\ \varepsilon_2 &= \frac{1}{E} [\sigma_2 - \mu(\sigma_1 + \sigma_3)] \\ \varepsilon_3 &= \frac{1}{E} [\sigma_3 - \mu(\sigma_1 + \sigma_2)]\end{aligned}\quad (3.10)$$

(3.10) формуладан чизиқли ва текис күчланганлик ҳолатларидаги элементларнинг деформациюсини топишда фойдаланиш мумкин.

Бошланғич ҳажми  $V_0 = a \cdot b \cdot c$  бўлган кубикнинг деформациясидан кейинги ҳажми:

$$V_1 = (a + \Delta a)(b + \Delta b)(c + \Delta c) = abc + ab\Delta c + bc\Delta a + ac\Delta b$$

формула билан топилади. Үнда кубик ҳажмининг нисбий ўзгариши  $\varepsilon_0 = \frac{V_1 - V_0}{V_0} = \varepsilon_1 + \varepsilon_2 + \varepsilon_3$  кубик томонларининг нисбий деформацияларининг йигиндисига тенг бўлади. Гук формуласини ҳисобга олсак,  $\varepsilon_0$  қуйидагича топилади:

$$\varepsilon_0 = \frac{1 - 2\mu}{E} (\sigma_1 + \sigma_2 + \sigma_3) \quad (3.11)$$

Кубикнинг деформацияда ҳажми ёки шакли ўзгариши мумкин. (3.11) формуладан аниқки, бош нормал кучланишлар йигиндиси ( $\sigma_1 + \sigma_2 + \sigma_3 = 0$ ) нолга тенг бўлса, ҳажмининг нисбий ўзгариши ҳам нолга тенг бўлади, яъни кубикда шакл ўзгариши юз беради. Айнан шу ҳолатни  $\mu = 0,5$  бўлганда ҳам кўриш мумкин. (3.11) формуладан:  $\sigma_1 = \sigma_2 = \sigma_3 = \sigma_{yp}$  деб қабул қиласак,  $\varepsilon_0 = \frac{1 - 2\mu}{E} \cdot 3\sigma_{yp}$  ҳосил бўлади.

Бу ерда:  $\frac{1 - 2\mu}{3(1 - 2\mu)} = K$  ўзгармас сон ҳажмий эластиклик модули дейилади. Үнда  $\varepsilon_0 = \frac{\sigma_{yp}}{K}$  формула Гукнинг ҳажмий қонуни бўлади.

Гук ҳажмий қонунiga асосан кубикнинг томонларига қиймати ўртача бош кучланишларга тенг кучланишлар билан тъисир қилинса, кубикда ҳажмий ўзгариш содир бўлар экан.

### 3.6. ДЕФОРМАЦИЯНИНГ ПОТЕНЦИАЛ ЭНЕРГИЯСИ

Ҳажмий кучланганлик ҳолатида деформациянинг тўлиқ потенциал энергияси қуйидагича топилади:

$$U = \frac{1}{2}(\sigma_1\varepsilon_1 + \sigma_2\varepsilon_2 + \sigma_3\varepsilon_3) \quad \text{ёки}$$

$$U = U_x + U_u = \\ = \frac{1}{2E} [\sigma_1^2 + \sigma_2^2 + \sigma_3^2 - 2\mu \cdot (\sigma_1\sigma_2 + \sigma_2\sigma_3 + \sigma_3\sigma_1)] \quad (3.12)$$

$U_x$  — кубик ҳажм ўзгаришидаги деформациянинг потенциал энергияси бўлиб, қуйидаги формула билан топилади:  $U_x = \frac{3}{2} \sigma_{yp} \cdot \varepsilon_{yp}$ .

Бу ерда:  $\varepsilon_{yp} = \frac{\sigma_{yp}}{K}$  ҳажмий эластиклик модули  $K = \frac{E}{3(1-2\mu)}$  ва  $\sigma_{yp} = \frac{\sigma_1 + \sigma_2 + \sigma_3}{3}$  ларни ҳисобга олсак, ҳажмий ўзгаришдаги деформациянинг потенциал энергияси  $U_x = \frac{1-2\mu}{6E} (\sigma_1 + \sigma_2 + \sigma_3)^2$ .

Шакл ўзгаришидаги деформациянинг потенциал энергиясини топиш учун (3.12) формуладан  $U_x$  ни топамиз.

$$\text{У ҳолда: } U_w = \frac{1+\mu}{3E} (\sigma_1^2 + \sigma_2^2 + \sigma_3^2 - \sigma_1\sigma_2 - \sigma_1\sigma_3 - \sigma_2\sigma_3)$$

**1-масала.** Кўндаланг кесим ўлчамлари  $0,2 \times 0,2 \times 0,2$  м бўлган кубикнинг емирилиш вақтидаги ташқи сиқувчи кучнинг таъсир қилиш чизигига  $45^\circ$  бурчак билан қия кесим юзасидаги нормал кучланиш  $\sigma_n = 40$  мПа эди. Кубик қанча сиқувчи куч таъсирида смирилади?

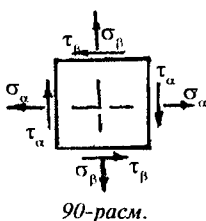
**Ечиш.** Кубик чизиқли кучланганлик ҳолатида бўлғанилиги учун, унинг қия кесимидағи нормал кучланиш формуласи қуйидагича ёзилади:  $\sigma_\alpha = \sigma \cos^2 \alpha = \frac{F}{A} \cos^2 \alpha = 40$  мПа.

$$\text{Бу ерда: } F = \frac{40A}{\cos^2 \alpha} = \frac{40 \cdot 10^3 \cdot 0,2 \cdot 0,2}{(0,707)^2} = 3,2 \cdot 10^3 \text{ кН}$$

**2-масала.** Пўлатдан тайёрланган кубик текис кучланганлик ҳолатида ( $90^\circ$ -расм):

1) бош кучланишлар ва бош юзалар йўналиши; 2) энг катта уринма бош кучланиш; 3) нисбий деформация ва ҳажмнинг нисбий ўзгариши; 4) тўлиқ потенциал энергия топилсин.

Берилган:



$$\sigma_a = 40 \text{ MPa}; \quad \sigma_\beta = 10 \text{ MPa}; \quad \tau_2 = 10 \text{ MPa}$$

Бош күчланишларни (3.8) формула ёрдамида топамиз:

$$\sigma_{1,3} = \frac{1}{2} [(40 + 10) \pm \sqrt{(40 - 10)^2 + 4(10)^2}] = \frac{1}{2} (50 \pm 36,05).$$

Бу ердан:

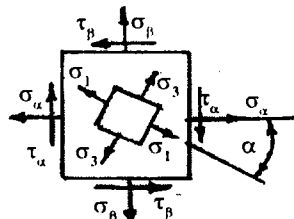
$$\sigma_1 = 43,025 \text{ MPa} \quad \text{ва}$$

$$\sigma_3 = 6,975 \text{ MPa}$$

Бош юзаларнинг жойлашии бурчагини (3.9) формуладан аниқ лаймиз:

$$\lg 2\alpha = -\frac{2 \cdot 10}{40 - 10} = -0,667 \text{ радиан.}$$

$$2\alpha = -34^\circ; \quad \alpha = -17^\circ$$



91-расм.

$\alpha$  — бурчак ишораси ( $-$ ) минус бўлганлиги учун  $\sigma_1$  йўналишини  $\sigma_a$  текислигидан соат стрелкаси йўналиши бўйича жойлаштиридик. Энг катта уринма күчланиш:

$$\tau_{\max} = \frac{\sigma_1 - \sigma_3}{2} = \frac{43,025 - 6,975}{2} = 18,025 \text{ MPa}$$

Кубик томонларининг нисбий чўзилиши:

$$\varepsilon_1 = \frac{1}{2 \cdot 10^8} (43025 - 0,3 \cdot 6975) = 20,466 \cdot 10^{-5} \quad (\text{чўзилиш})$$

$$\varepsilon_2 = -\frac{0,3}{2 \cdot 10^8} (43025 + 6975) = -7,5 \cdot 10^{-5} \quad (\text{сиқилиш})$$

$$\varepsilon_3 = \frac{1}{2 \cdot 10^8} (6975 - 0,3 \cdot 43025) = -2,97 \cdot 10^{-5} \quad (\text{сиқилиш})$$

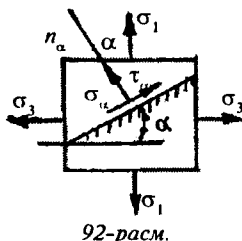
Ҳажмнинг нисбий ўзгариши:

$$\varepsilon_0 = (20,466 - 7,5 - 2,97) \cdot 10^{-5} = 10 \cdot 10^{-5}$$

Тўлиқ потенциал энергияни (3.12) формуладан топамиз:

$$U = \frac{1}{2 \cdot 2 \cdot 10^8} [(43025)^2 + (6975)^2 - 2 \cdot 0,3 \cdot 43025 \cdot 6975]$$

$$U = 24,95 \cdot 10^{-5} \text{ Дж}$$

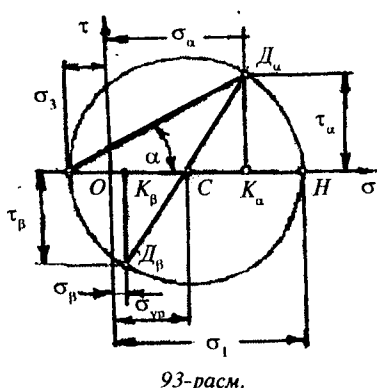


**3-масала.** Берилган  $\sigma_1 = 50 \text{ МПа}$  ва  $\sigma_3 = -10 \text{ МПа}$  бош кучланишлари таъсиридаги  $\alpha = 30^\circ$  бурчак остида жойлашган қия юзанинг (92-расм) нормал ва уринма кучланишлари график усулда топилсин.

**Ечиш.** Масалани график усулда ечиш учун Мор доирасини кўрамиз.

Бунинг учун *от* координата системини оламиз ва абсцисса ўқи бўйлаб бош кучланишлар ( $\sigma_1$  ва  $\sigma_3$ ) ни кучланишлар масштабида жойлаштирамиз (93-расм).  $\mu_\sigma = 1 \text{ мм} = 1 \text{ мПа}$ , яъни 1 мм масофада 1 мПа кучланиш жойлашган деб қабул қилдик.

Демак,  $\overline{OH} = \sigma_1 = 50 \text{ мПа}; \quad \overline{OB} = \sigma_3 = 10 \text{ МПа}$



$\sigma_1$  бош кучланиши чўзувчи бўлганлиги учун абсцисса ўқининг координата боши О нуқтасидан (ўнг) мусбат томонига;  $\sigma_3$  сиқувчи кучланиш бўлганлиги учун координата ўқини манфий томонига жойлаштирамиз. Натижада Н ва В нуқталар ҳосил бўлади. Қия текисликнинг нормал ва уринма кучланишлари Н ва В нуқталари ораглиғида топилганлиги учун

кучланишлар доираси ҳам шу нуқталардан ўтади. Доира марказини қўйидагича топамиз:

$$OC = \frac{OH + OB}{2} = \frac{\sigma_1 - \sigma_3}{2} = \frac{50 - 10}{2} = 20 \text{ мПа}$$

Доиранинг радиуси:

$$CH = CB = \frac{HB}{2} = \frac{OH - OB}{2} = \frac{\sigma_1 + \sigma_3}{2} = \frac{50 + 10}{2} = 30 \text{ MPa}$$

С нүқтадан  $CH = CB = R = 30 \text{ MPa}$  радиус билан айланы чизамиз. В нүқтадан  $\alpha = 30^\circ$  бурчак остида қия кесимни тасвирловчи чизиқ ўтказиб  $D_a$  нүқтани топамиз.  $D_a$  нүқтадан абсциссага перпендикуляр тушириб  $K_a$  нүқтани анықтаймиз.  $\sigma_{\alpha}$  координата системасида  $OD_a = \sigma_{\alpha}$  қия текисликнинг нормал күчланишини ва  $D_a K_a = \tau_{\alpha}$  уринма күчланишни беради.  $CD_a$  чизигини давом эттириб  $D_{\beta}$  ва кейин  $K_{\beta}$  нүқталарни,  $OK_{\beta} = \sigma_{\beta}$  ва  $D_{\beta} K_{\beta} = -\tau_{\beta}$  күчланишларни топамиз. Мор доирасидан топилган күчланишларнинг түғрилигини текширамиз:

$$\sigma_{\alpha} = \sigma_1 \cos^2 \alpha + \sigma_3 \sin^2 \alpha = 50 \left( \frac{\sqrt{3}}{2} \right)^2 - 10 \left( \frac{1}{2} \right)^2 = 35 \text{ MPa}$$

$$\tau_{\alpha} = \frac{\sigma_1 - \sigma_3}{2} \sin 2\alpha = \frac{50 - (-10)}{2} = \sin 2 \cdot 30^\circ = 30 \frac{\sqrt{3}}{2} = 26 \text{ MPa}$$

$$\sigma_{\beta} = \sigma_1 \sin^2 \alpha + \sigma_3 \cos^2 \alpha = 50 \left( \frac{1}{2} \right)^2 - 10 \left( \frac{\sqrt{3}}{2} \right)^2 = 5 \text{ MPa}$$

### 3.7. МУСТАХКАМЛИК НАЗАРИЯЛАРИ [4]

Турли конструкция ва машиналарни ҳисоблашда ёки лойиҳалашда уларнинг элементлари ва деталларида ҳосил бўладиган энг катта күчланиш рухсат этилган күчланишдан ошиб кетмаслиги таъминланиши лозим. Рухсат этилган күчланишни белгилаш учун материалнинг ташқи куч билан юклангандан то емирилиш деформациясигача бўлган оралиқдаги хоссасини ўрганиш керак.

Бир ўқли чўзилиш ва сиқилиш, яъни чизиқли күчланиш ҳолатида ўтказилган кўп тажрибаларнинг узоқ муддат тўпланган натижалари турли материаллар учун рухсат этилган күчланишлар ҳақида етарли даражада аниқлик билан фикр юритиш имконини беради.

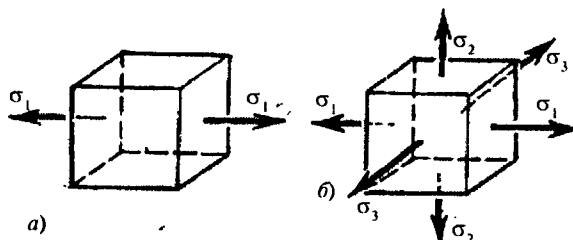
Текис ва ҳажмий кучланиш ҳолатларида бундай фикр юритиб бўлмайди. Бунда деформациянинг ўсиши ва материалнинг емирилиши иккита ёки учта бони кучланишлар нинг таъсирида рўй беради, амалда учрайдиган бош кучланишлар сонининг нисбати ҳамда ишоралари чекланмаган даражада хилма-хил бўлиши мумкин. Шунинг учун хавфли ҳолатдаги чегаравий кучланишларни аниқлаш учун тажрибалар ўтказиш жуда қийин.

Мураккаб кучланиш ҳолатини тажриба йўли билан текшириш учун мўлжалланган ҳозирги мавжуд техника во-ситалари бош кучланишларнинг баъзи хусусий нисбатлари учунгина тажриба ўтказиш имконини беради.

Юқоридагиларга асосан оддий чўзилиш ва сиқилишда ўтказилган тажрибалар натижаларига асосланниб бирор материал исталган кучланиш ҳолатининг хавфлилик даражасини баҳолаш имконини берадиган ҳисоблаш усулини яратиш зарурлигини тақозо қиласди.

Бу масала мустаҳкамлик назариялари ёрдамида амалга оширилади. Бу назарияларнинг барчаси қуйидаги шартга асосланган: иккита кучланиш ҳолатига тегишли бош кучланишлар пропорционал равишда бир хил миқдорда оширилган, иккаласи бир вақтда чегаравий ҳолатга ўтса, бундай кучланиш ҳолатлари тенг кучланишли ва тенг хавфли ҳисобланади, иккала кучланиш ҳолати учун мустаҳкамликнинг эҳтиёт коэффициенти бир хил.

Тенг хавфли кучланиш ҳолатларидан бири сифатида тажриба йўли билан асосланган чизиқли чўзилиш (94-а расм) бошқаси сифатида хавфли ҳолатни аниқлаш керак бўлган кучланиш ҳолатни (94-б расм) олинади.



94-расм.

Бу иккала ўрганилаёттан ҳол учун материалнинг емирилиш ёки чегаравий кучланиш ҳолатига ўтиш сабаби аниқ бўлсагина мумкин бўлади. Лекин материал емирилишинг ҳақиқий сабабини аниқлаш жуда қийин ва у охиригача ҳал қилинмаган масала ҳисобланади. Бу ҳол ягона мустаҳкамлик назариясини яратишга имкон бермайди, на-тижада ҳар бири ўзининг чегаравий кучланиш ҳолатининг пайдо бўлиш сабаби ҳақидаги гипотезасига эга бўлган кўп назариялар юзага келади. Бундай гипотезага асосан зарур ҳисоблаш шартлари ва ўрганилаётган кучланиш ҳолатининг бош кучланишларини чизиқли кучланишдаги бош кучланишлар билан боғловчи формуалалар тузилади.

**Биринчи, иккинчи ва учинчи классик мустаҳкамлик назариялари.** [4] Энг қадимги назарияларда бўлмиш биринчи мустаҳкамлик назарияси чегаравий кучланиш ҳолати пайдо бўлишига энг катта нормал кучланиш сабаб бўлади деган гипотезага асосланади.

Қабул қилинган гипотезага кўра қўйидаги шарт бажарилиши керак:

$$\sigma_{\max} = \sigma_1 < \sigma_0 \quad (3.13)$$

Бу ерда:  $\sigma_1$  — текширилаётган кучланиш ҳолати учун бош кучланишлардан энг каттаси;  $\sigma_0$  — чизиқли чўзиш учун тажрибадан олинган чегаравий кучланиш.

Энг катта нормал кучланиш назариясининг бош камчилиги шундан иборатки, унда бошқа иккита кучланишлар  $\sigma_2$ ,  $\sigma_3$  ҳисобга олинмайди. Амалда эса бу кучланишлар материал мустаҳкамлигига катта таъсир кўрсатади. Масалан, ҳар томонлама (гидростатик) сиқилишда бўлган цемент кубик мустаҳкамлик чегарасидан бир неча марта катта бўлган кучланишга емирилмасдан чидаш бера олади. Бундай шароитда бошқа материаллар ҳам шундай чидамли бўлади.

Бу назария мўрт материалларни чўзишга синашда тасдиқланади. Мўрт материални чўзганда сезиларли пластик деформация ҳосил бўлмасдан, бир бўлаги қолган бўлагидан ажралади.

Ҳозирги пайтда биринчи назариядан фойдаланилмайди, у фақат тарихий аҳамиятга эга.

Иккинчи мустаҳкамлик назарияси материалда чегаралып күчланиш ҳолати пайдо бўлишига энг катта чўзилиш сабаб бўлади деган гипотезага асосланган.

Бош деформациялар  $\varepsilon_1 > \varepsilon_2 > \varepsilon_3$  бўлганида ҳажмий күчланиш ҳолати учун қабул қилинган гипотезага жавоб берувчи умумий шарт қўйидагича ёзилади:

$$\varepsilon_{\max} = \varepsilon_1 < \varepsilon_0 \quad (3.14)$$

Бу ерда:  $\varepsilon_1$  — текширилаётган күчланиш ҳолати учун энг катта чўзилишнинг ҳисобий қиймати;  $\varepsilon_0$  — бир ўқли чўзилишга синаш тажрибасидан олинган нисбий чўзилишнинг чегаралый қиймати.

$\varepsilon_1$  ва  $\varepsilon_0$  ларни аниқлашда маълум Гук қонуни формулаларидан фойдаланилади:

$$\varepsilon_1 = \frac{1}{E} [\sigma_1 - \mu(\sigma_2 + \sigma_3)] \text{ (a)} \quad \varepsilon_0 = \frac{\sigma_0}{E} \text{ (б)}$$

Бунда шартли равишда (а) ва (б) боғланишлар чегаралый күчланиш ҳолати пайдо бўлгунча кучга эга бўлади ва материалнинг сезиларли пластик деформацияларсиз мўрт емирилишига жавоб беради деб ҳисобланади, (а) ва (б) ифодаларни (3.14) шартга қўйиб қўйидаги ифодани ҳосил қиласиз:  $\sigma_1 - \mu(\sigma_2 + \sigma_3) < \sigma_0$  (в).

(в) тенгсизлик чап қисми мусбат бўлгандагина кучга эга, бунда у энг катта чўзилишга мос келади, қабул қилинган гипотеза билан бир хил бўлади.

Иккинчи назариянинг биринчисидан афзаллиги шундаки, унда барча бош күчланишлар таъсири ҳисобга олинади.

Мўрт материаллар(бетон, тош) нинг босим бериладиган торецларига ёф ёки парафин суртиб, оддий сиқилишда емирилишини бу назария ёрдамида тушунтириш мумкин. Материалда сиқувчи кучларга параллел дарзлар пайдо бўлади ва у емирилади. Бу намуна ўқига перпендикуляр йўналишда материалнинг кенгайишига имкон берувчи чизиқли деформацияларнинг ўсиши билан тушунтирилади.

Биринчи назария каби иккинчиси ҳам тажриба натижалари билан етарли даражада тасдиқланмайди, мўрт ма-

териаллар учун күпроқ құл келади.

Учинчи мустақамлик назарияси чегаравий кучланиш ҳолати пайдо бўлишига энг катта уринма кучланишлар сабаб бўлади деган гипотезага асосланади. Шунинг учун у энг катта уринма кучланиш назарияси деб аталади.

Пластик деформациялар жараёнида силжиш ва унга мос келувчи уринма кучланишлар ҳам пайдо бўлиши тажриба асосида тасдиқланган, шунинг учун қабул қилинган гипотезани сезиларли пластик деформациялар билан боғлаш мумкин.

Ушбу назариянинг умумий шарти қуйидаги қўринишга эга:

$$\tau_{\max} < \tau_0 \quad (3.15)$$

Бу ерда:  $\tau_{\max}$  – текширилаётган кучланиш ҳолати учун энг катта уринма кучланишнинг чегаравий қиймати.

Маълумки, ҳажмий кучланишда  $\sigma_1 > \sigma_2 > \sigma_3$ , бўлганда энг катта уринма кучланиш максимал ва минимал бош кучланишлардаги фарқнинг ярмиси қуйидагича топилади:  $\tau = \max \frac{\sigma_1 - \sigma_3}{2}$  (а).

$\tau_0$  кучланиш қуйидаги тенглиқдан топилади:  $\tau_0 = \frac{\sigma_0}{2}$  (б)

Шундай қилиб (3.15)шартни қуйидагича ёзиш мумкин:  $\sigma_1 - \sigma_3 < \sigma_0$  (в).

Учинчи назариянинг асосий камчилиги шундан иборатки, ҳажмий кучланиш ҳолатида  $\sigma_2$  бош кучланишнинг таъсири ҳисобга олинмайди. Энг катта уринма кучланиш назарияси чўзилишга ҳам, сиқилишга ҳам бир хил қаршилик кўрсатадиган пластик материаллар билан ўтказилган тажриба натижаларига мос келади. Бу назария уларнинг мустақамлигини баҳолашда жуда кенг қўлланилади.

**Мустақамликнинг энергетик назарияси.** Энергетик назария қуйидаги тахминга асосланади: материалнинг чегаравий кучланиш ҳолати пайдо бўладиган пайтда тўпландиган деформация солиштирма потенциал энергиясининг миқдори исталган мураккаб кучланиш ҳолатида ҳам, оддий чўзилишда ҳам бир хилдир.

Бу назариянинг яратилишида даставвал чегаравий кучланиш ҳолати пайдо бўлишига тўла солиштирма потенциал энергиясининг энг катта қиймати сабаб бўлади деган гипотеза асос қилиб олинган ва қўйидагича ёзилади:

$$U < U_0 \quad (3.16)$$

Бу ерда:  $U$  — тўла солиштирма энергия, у ҳажмий кучланиш ҳолати учун умумий ҳолда қўйидаги формуладан топилади:

$$U = \frac{1}{2E} [\sigma_1^2 + \sigma_2^2 + \sigma_3^2 - 2\mu(\sigma_1\sigma_2 + \sigma_1\sigma_3 + \sigma_2\sigma_3)] \quad (a)$$

$U_0$  энергиянинг чегаравий қиймати бўлиб, оддий чўзилишга ўтказилган тажрибадан топилади. Уни топиш формуласи (а) дан унинг ўнг томонини  $\sigma_2 = \sigma_3 = 0$  га тенглаб,  $\sigma_1$  ўрнига чўзилишдаги чегаравий кучланиш қийматини, яъни  $\sigma_0$  ни қўйиб келтириб чиқарилади.

$$\text{Шундай қилиб, } U_0 = \frac{\sigma_0^2}{2E} \quad (b)$$

(а) ва (б) ларни ҳисобга олганда (2.16) шарт қўйидагича ёзилади:

$$\sqrt{[\sigma_1^2 + \sigma_2^2 + \sigma_3^2 - 2\mu(\sigma_1\sigma_2 + \sigma_1\sigma_3 + \sigma_2\sigma_3)]} < \sigma_0 \quad (v)$$

Лекин юқорида қайд қилинган гипотеза тажрибада тасдиқланмаган, шунинг учун унга асосланган назария амалда қўлланилади.

Бу назария, масалан, ҳар томонлама бўладиган гидростатик босим билан ўтказилган тажрибада тасдиқланмаган, бунда юқорида айтиб ўтилганидек, емирилиш бўлмайди.

Шундай қилиб, ҳар томонлама сиқилиш натижасида ҳажм ўзгаришига мос келувчи энергия мустаҳкамликни белгиловчи критерия бўлмайди.

Таклиф қилинган янги энергетик назарияда чегаравий кучланиш ҳолати пайдо бўлишига барча солиштирма энергия эмас, балки қирраси бирга тенг бўлган куб шаклининг ўзгариши натижасида тўпланадиган солиштирма энергиянинг бир қисми сабаб бўлади деган гипотеза асос

қилиб олинади. Кўриниб турибдики, янги энергетик назария фақат пластик деформацияларнинг ўсиши билан боғланади. Маълумки, пластик деформация жисмнинг шакл ўзгариши билан боғланади. Унинг ҳажм ўзгариши билан боғланмайди.

Ушбу назариядан фойдаланган риоя қилиниши керак бўлган шарт қўйидаги тенгсизлик билан ифодаланади:

$$U_u < U_{ue} \quad (3.17)$$

Бу ерда:  $U_u$  — текширилаётган кучланиш ҳолатида куб шакл ўзгариши билан боғлиқ бўлган энергиянинг ҳисоб қиймати.

$U_{ue}$  — ушбу энергиянинг оддий чўзилишга ўтказилган тажриба натижасида олинган чегаравий қиймати.

Кучланишнинг умумий ҳоли учун шакл ўзгаришига кетадиган энергияни ҳисоблаш бирмунча қийинчилик туғдиради. Шунинг учун  $U_u$  қўйидаги ифодадан топилади:

$$U = U_v + U_u \quad (3.18)$$

Унда:

$$U_u = U - U_v \quad (3.19)$$

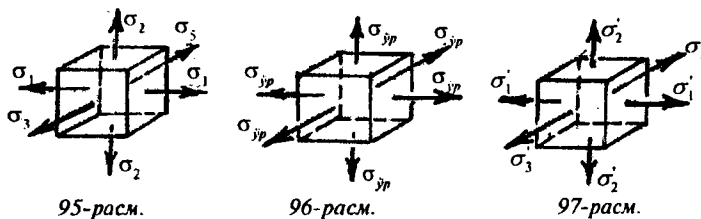
Бу ерда:  $U$  — тўла энергия;  $U_v$  — ҳажм ўзгаришига сарфланадиган энергия.

Ҳажмий кучланишнинг умумий ҳоли учун деформацияни иккига бўламиш: 1) ҳажм ўзгариши билан боғлиқ бўлган деформация; 2) шакл ўзгаришига мос келувчи деформация.

Бунинг учун берилган кучланиш ҳолатини (95-расм) кучланишлар билан аниқланадиган иккита кучланиш ҳолати (96, 97-расм) йиғиндиси кўринишида тасаввур этамиш. Дейлик, улардан бири гидростатик чўзилишга (сиқилишга) мос келади, бунда кубнинг барча томонларига бир хил ўртача кучланиш таъсир этади:

$$\sigma_{yp} = \frac{\sigma_1 + \sigma_2 + \sigma_3}{3} \quad (r)$$

Бунда кубнинг барча қирралари бир хил қийматга ўзгарганлигидан куб шакли ўзгармайди, балки унинг ҳажмигина ўзгарамади.



Иккинчи кучланиш ҳолатининг кучланишларини  $\sigma'_1, \sigma'_2, \sigma'_3$  лар орқали белгилаймиз. Улар қуидаги тенгликлардан топилади:

$$\sigma'_1 = \sigma_1 - \sigma_{yp}; \quad \sigma'_2 = \sigma_2 - \sigma_{yp}; \quad \sigma'_3 = \sigma_3 - \sigma_{yp} \quad (\text{д})$$

$\sigma_1, \sigma_2, \sigma_3$  кучланишларда ҳажмнинг ўзгариши нолга тенглигини исботлаш қийин эмас.

Ҳақиқатан ҳам (г) ни ҳисобга олган ҳолда (д) тенгликтан бу кучланишларнинг қийматларини ҳажмий деформация формуласига қўйиб қуидагини ҳосил қиласиз:

$$\begin{aligned} \frac{1-2\mu}{E} (\sigma'_1 + \sigma'_2 + \sigma'_3) &= \\ = \frac{1-2\mu}{E} \left( \sigma_1 + \sigma_2 + \sigma_3 - 3 \frac{\sigma_1 + \sigma_2 + \sigma_3}{3} \right) &= 0 \end{aligned} \quad (\text{e})$$

Шунинг учун  $\sigma'_1, \sigma'_2, \sigma'_3$  кучланишлардан жисмнинг фақат шакли ўзгаради.

$U_v$  энергияни аниқлаш учун (а) формулага  $\sigma_1, \sigma_2, \sigma_3$ ,  $U_v$  кучланишлар ўрнига  $\sigma_{yp}$  ни қўямиз.

У ҳолда  $U_v = \frac{1-2\mu}{2E} \cdot 3\sigma_{yp}^2$  (ж) ҳосил бўлади. (ж) ифодага  $\sigma_{yp}$  ўрнига (г) тенгликтан унинг қийматини қўйиб қуидаги формулани ҳосил қиласиз:  $U_v = \frac{1-2\mu}{6E} (\sigma_1 + \sigma_2 + \sigma_3)^2$  (з)

(а) ва (з) формулалардан  $U$  ва  $U_v$  ларнинг қийматларини (3.19)га қўйиб, баъзи ўзгаришишлардан сўнг қуидагини топамиз:

$$U_w = \frac{1+\mu}{3E} [\sigma_1^2 + \sigma_2^2 + \sigma_3^2 - (\sigma_1\sigma_2 + \sigma_1\sigma_3 + \sigma_2\sigma_3)] \quad (3.20)$$

(3.20) формулани қүйидаги күренишга келтирамиз:

$$U_{\text{ш}} = \frac{1 + \mu}{6E} \left[ (\sigma_1 - \sigma_2)^2 + (\sigma_1 - \sigma_3)^2 + (\sigma_2 - \sigma_3)^2 \right] \quad (3.21)$$

Олдий чүзилиш учун  $\sigma_2 = \sigma_3 = 0$  бўлганда (3.21), формулага биноан қўйидагига эга бўламиз:

$$U_{\text{ш}} = \frac{1 + \mu}{6E} \cdot 2\sigma_1^2 \quad (3.22)$$

(3.21) ва (3.22) формулаларни ҳисобга олганда (3.17) шарт қўйидагича ёзилади:

$$\left[ (\sigma_1 - \sigma_2)^2 + (\sigma_1 - \sigma_3)^2 + (\sigma_2 - \sigma_3)^2 < 2\sigma_0^2 \right] \quad (\text{i})$$

Бу ерда:  $\sigma_0$  — оддий чўзилишда тажрибада топилган че-гаравий кучланиш.

Ушбу назарияда  $\sigma_0$  — оқувчанлик чегараси  $\sigma_{\text{ок}}$  га тенг деб қабул қилинади.

(и) шартга жавоб берадиган ҳисоблаш формуласи қўйидагича ёзилади:

$$\sigma_{\text{xuc}} = \sqrt{\frac{1}{2} \left[ (\sigma_1 - \sigma_2)^2 + (\sigma_1 - \sigma_3)^2 + (\sigma_2 - \sigma_3)^2 \right]} \leq R \quad (3.23)$$

Бу ерда:  $R$  — чўзилишдаги ҳисобий қаршилик.

Текис кучланиш ҳолатида (2.23) формуласидан бош кучланишларни  $\sigma_z, \sigma_y$  ва  $\tau_{zy}$  лар орқали ифодалаб қўйидагича ёзамиз:

$$\sigma_{\text{xuc}} = \sqrt{\left( \frac{\sigma_z + \sigma_y}{2} \right)^2 + 3 \left( \frac{\sigma_z - \sigma_y}{2} \right)^2 + 3\tau_{zy}^2} \leq R \quad (3.24)$$

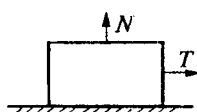
$\sigma_y = 0$  бўлган хусусий ҳол учун  $\sigma_z = \sigma$ ;  $\tau_{zy} = \tau$  десак, қўйидагига эга бўламиз:

$$\sigma_{\text{xuc}} = \sqrt{\sigma^2 + 3\tau^2} \leq R \quad (3.25)$$

Учинчи назария каби энергетик назария ҳам пластик материаллар билан ўтказилган тажрибаларда яхши исботланади ва амалда кенг қўлланилади. Юқорида қайд қилинган назариялар материалда пластик деформациялар пайдо бўлиш шароитини белгиловчи критерияларни белги-

лаб беради. Шунинг учун бу назарияларга асосланган (3.15) ва (3.17) тенгсизликтар баъзан пластиклик шартлари деб аталади.

**Мор мустаҳкамлик назарияси [4].** Барча материаллар ҳам чўзилиш ва сиқилиш деформациясига бир хил қаршилик кўрсатмаслигини Мор назарияси ҳисобга олади. Бу назария 1882 йилда таклиф этилиб, 1900 йилда ривожлантирилган.



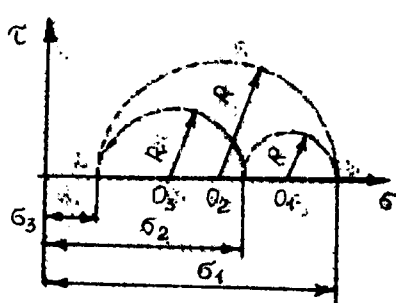
98-расм.

Ички ишқаланиш  $T = fN$  материалнинг эластиклик чегарасидан кейин силжиш натижасида содир бўлади. Демак, силжишга кўрсатилган қаршилик фақатгина уринма кучланиш каби нормал кучланишга ҳам боғлиқ бўлади.

Демак, уринма кучланишдан ҳосил бўлган қаршилик куки жисмнинг сиқувчи нормал кучланиш мавжуд бўлган нуқталарида каттароқ бўлиб, чўзилиш мавжуд бўлган нуқталарида паст бўлдаи. Юқоридаги фикрлаш Мор назариясининг асосини ташкил этади. Уринма кучланишлар, биринчидан, материалнинг ўзаро боғланиши натижасида, иккинчидан эса, биринчи силжиш боғланишдаги емирилиш сабабига боғлиқ.

Юқоридаги холосаларга асосланиб, умуман, ҳажмий кучланганлик ҳолатини Мор доираси ёрдамида шундай кўрсатиш мумкин ( $\sigma_1; \sigma_2; \sigma_3$ ). Уринма кучланишлар эса штрихланган юзанинг бирорта нуқтасида ифода этилади. Яна шу нарса аниқки, материаллар сиқилиш деформациясига кўрсатадиган қаршилиги чўзилишдаги қийматидан каттароқ бўлади. Мор доирасига кўра мустаҳкам қаршилик кўрсатувчи соҳа куйидагича бўлади.

Чўзилиш деформациясидан сиқилишга ўтганда қаршилик кўрсатувчи соҳа катталашади. Демак, Мор назариясига кўра мустаҳкам қаршилик кўрсатувчи соҳа-



99-расм.

ни белгилаш учун сиқилиш соҳасида  $R_c$  радиуси билан, чўзилиш соҳасида  $R$  радиуси билан айланалар ўтказиб, уларни умумий уринмалар билан туташтирамиз, натижада АМКГД-НА мустаҳкам қаршилик кўрсатувчи соҳа ҳосил бўлади. Демак, Мор назарияси I, II, III мустаҳкамлик назарияларида гидек,  $\sigma, \varepsilon, \tau$  (бита) омилга боғлиқ бўлмасдан бир вақтда нормал ( $\sigma$ ) ва уринма ( $\tau$ ) кучланишлар таъсирини содир эта олади.

Мор мустаҳкамлик назариясига кўра шарт қуидагича бўлади.

$$\sigma_1 - \nu\sigma_3 = (1 - \nu) \frac{\sigma}{2} + (1 + \nu) \sqrt{\frac{\sigma^2}{4} + \tau^2} < \sigma_0^I$$

$$\sigma_3 - \nu\sigma_1 = (1 - \nu) \frac{\sigma}{2} - (1 + \nu) \sqrt{\frac{\sigma^2}{4} + \tau^2} < \sigma_0^I ; \quad \nu = \frac{\sigma_0^I}{\sigma_0^{II}}$$

Бу ҳолда:  $\sigma_0^I$  — чўзилишдаги мустаҳкамлик чегараси;

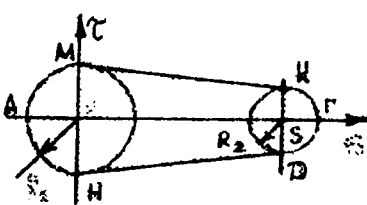
$\sigma_0^{II}$  — сиқилишдаги мустаҳкамлик чегараси.

**Бирлашган мустаҳкамлик назарияси [4].** Ушбу назарияда материалнинг икки хил емирилиши бир-биридан фарқ қилинади: мўрт емирилиш — материалнинг узилиши билан содир бўлади, қовушқоқ емирилиш — кесилиш (силжиш) орқали рўй беради.

Узилиш содир бўладиган кучланишни  $\sigma_{yz}$  силжишда рўй берадиган емирилишга мос келувчи кучланишни  $\tau_{cm}$  орқали белгилаймиз.

Чўян стерженнинг буралишдаги емирилиши мўрт емирилишга мисол бўла олади. Бунда узилиш бош чўзувчи кучланишлар майдончаси бўйлаб рўй беради. Пластик пўлатдан ясалган валнинг буралишдаги емирилиши қовушқоқ емирилишга мисол бўла олади.

Юқорида айтилганлар асосида биринчи ва иккинчи чегаравий кучланиш ҳолати назарияларини материалнинг



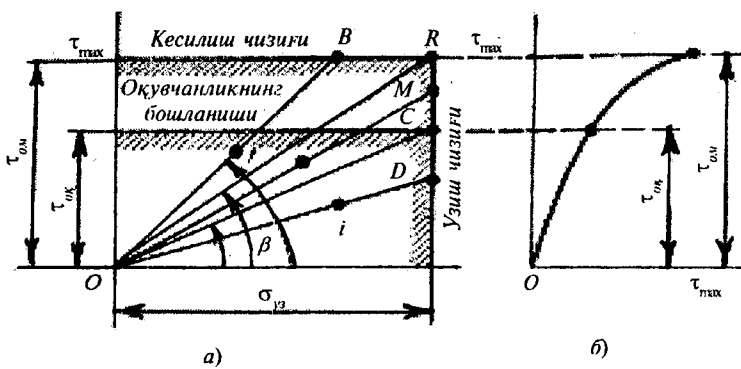
100-расм.

емирилишини узилиш ҳодисаси орқали тушунтирувчи назариялар группасига, учинчи ва энергетик назарияларни эса емирилиш, кесилиш (силжиш) йўли билан содир бўладиган назариялар группасига киритиш мумкин.

Узоқ йиллар мобайнида у ёки бу материал ё узилиш, ё силжиш натижасида емирилади деган тахмин ҳукмрон эди. Бирлашган мустаҳкамлик назариясига кўра бир хил материал узилиш йўли билан ҳам, кесилиш йўли билан ҳам емирилиши мумкин, бу унинг иш шароитига ва қучланиш ҳолатига боғлиқ. Шу гипотеза асосида иккинчи ва учинчи назариялар бирлаштирилади.

Иккита назарияни бундай бирлаштириш механик ҳолат диаграммаси деб аталадиган диаграмма ёрдамида ўрнати-лаётган материалнинг узилишга ҳам, қирқилишга ҳам мустаҳкамлигини текшириш ва мумкин бўлган емирилиш турини аниқлаш имконини беради.

График мазкур диаграмманинг асосий элементи ҳисобланади. Бу графикда  $\tau_{max}$  ва  $\sigma_{max}$  ўқлар системасида тўғри тўртбурчак қурилади, тўртбурчак эса ушбу материал мустаҳкам ҳолатларини чегаралаб туради (101-расм). Бу графикни қуриш тажрибадан аниқланадиган  $\sigma_{uz}$  ва  $\tau_{cm}$  қийматлар ҳар бир материал учун ўзгармас бўлиб, кучланиш ҳолати турига боғлиқ эмас деган чекланишга асосланади. Бундан ташқари, мазкур графикда материал оқувчанлик ҳолатининг бошланишига мос келувчи тўғри чизик ҳам



101-расм.

келтирилади. Бу түгри чизиқ ҳолати оқувчанлик чегараси  $\tau_{\max}$  б билан белгиланади. У мустаҳкамлик ҳолати соҳасини икки қисмга бўлади, чизиқдан пастда жойлашган қисми эластик деформацияларга, юқори қисми эса пластик деформацияларга тегишли бўлади. 101-б расмда тажриба на-тижалари асосида  $\tau_{\max}$  ва  $\sigma_{\max}$  ўқлар системасида қурилган эгри чизиқ кўрсатилган. Мазкур эгри чизиқда оқувчанлик чегарасига, яъни пластик деформациялар бошлинишига ва материалнинг емирилишига мос келувчи нуқталар қайд қилинади. Бу характеристикалардан 101-а расмда кўрсатилган графикни қуришда фойдаланилади. Бирор кучланиш ҳолатини текширишда  $\sigma_{\max}$  ўқи бўйлаб энг катта чўзувчи кучланишнинг ҳисобий қиймати қўйилади, бу қиймат эса иккинчи назарияга кўра қуйидаги формуладан аниқланади:

$$\sigma_{\max} = Es_1 = \sigma_1 - \mu(\sigma_2 + \sigma_3) \quad (a)$$

$\tau_{\max}$  ўқи бўйлаб учинчи назарияга мувофиқ

$$\tau_{\max} = \frac{\sigma_1 - \sigma_3}{2} \quad (b)$$

формула асосида аниқланадиган энг катта уринма кучланишнинг ҳисобий қиймати қўйилади. Шундай қилиб, ҳар бир кучланиш ҳолати графикда маълум  $m = \frac{\tau_{\max}}{\sigma_{\max}}$  координаталар нисбатига teng нуқта билан, 1,2 ёки 1 нуқталар билан тасвирланади (101-а расм). Мазкур нисбат  $m$  кучланиш ҳолатининг асосий характеристикиси ҳисобланади,  $m=\text{const}$  бўлганда кучланиш интенсивигини ўзгартириб, координата ўқлари бошидан чиқувчи ҳамда  $\sigma_{\max}$  ўқига α бурчак остида оғран (бу бурчакнинг тангенси  $m$  га teng) нур оламиз. Бу нурни ўтказишда у пластик деформациялар соҳасига ўтгандага ҳам, яъни материал емириладиган пайтгача тўғрилигича қолади, деган иккинчи чекланишга асосланади.

### *Савол ва топшириқлар*

1. Кучланганлик ҳолатларининг турларини айтинг.
2. Чизиқли кучланганлик ҳолатида нормал кучланиш формуласини ёзинг.

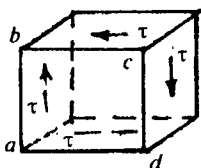
3. Чизиқли кучланганлик ҳолатида уринма кучланиш формуласини ёзинг.
4. Уринма кучланишларнинг жуфтлик аломати нима?
5. Текис кучланганлик ҳолатида нормал кучланиш формуласини ёзинг.
6. Текис кучланганлик ҳолатида уринма кучланиш формуласини ёзинг.
7. Ҳажмий кучланганлик ҳолатида Гук қонунини ёзинг.
8. Қачон кубикнинг ҳажм ўзгариши содир бўлади?
9. Қачон кубикнинг шакл ўзгариши содир бўлади?
10. Гук ҳажмий қонунини ёзинг.
11. Биринчи мустаҳкамлик назариясини таърифланг.
12. Иккинчи мустаҳкамлик назариясини таърифланг.
13. Учинчи мустаҳкамлик назариясини таърифланг.
14. Тўртинчи мустаҳкамлик назариясини таърифланг.

## IV БОБ СИЛЖИШ

Амалиётда болтли, парчин михли, пайвандли бирималар ва ҳ.к.лар силжиш деформациясига учрайди. Оддий чўзилиш ёки сиқилишда бўлган стерженнинг қия текислигига нормал ва уринма кучланишлар ҳосил бўлиб, бу кучланишлар таъсирида стерженда узайиш ёки силжиш содир бўлишини кўриб чиқсан эдик. Силжиш деформациясини ўрганиш учун шундай юзаларни танлаш керакки, бу юзаларда нормал кучланишлар нолга teng бўлиб, фақат уринма кучланишлар таъсири қилсин.

Фақат уринма кучланишлар таъсирида бўлган элементнинг кучланганлик ҳолатига соф силжиш дейилади.

Соф силжишга ишлаётган кубикнинг қирралари уринма кучланишлар таъсирида шу кучланишлар йўналиши бўйича деформацияга учрайди.



102-расм.

#### 4.1. СОФ СИЛЖИШДА КУЧЛАНИШ ВА ДЕФОРМАЦИЯ

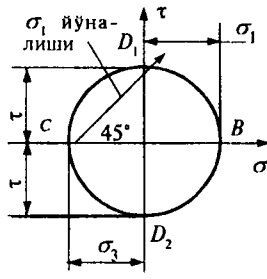
Үзаро перпендикуляр  $ab$  ва  $bc$  қирраларга тенг ва қара-ма-қарши томонларга йўналган уринма кучланишлар таъсиридаги кубикни ўрганайлик (102-расм). Кубикнинг  $abcd$  фасад юзасида нормал ва уринма кучланишлар таъсиридан иккитаси кучланишлар таъсирида, битта фасад юзаси эса ҳар қандай кучланишлар таъсиридан озод экан. Шунинг учун кубикнинг кучланганлик ҳолати текис кучланганлик ҳолатига тўғри келади.

Кубикнинг вертикал қиррасига  $\sigma_a = 0$ ;  $\tau_a = \tau$ ; горизонтал қиррасига  $\sigma_b = 0$  ва  $\tau_b = -\tau$  таъсири қилаётган кучланиш ёрдамида Мор доирасидан фойдаланиб  $abcd$  бош юзадан бошқа юзадаги бош кучланишларни топамиз.  $\sigma$ - $\tau$  координата системасида  $OD_1 = \tau_a = \tau$  кучланишни  $\tau$  ўқи бўйлаб юқорига ва  $OD_2 = \tau_b = -\tau$  кучланишни  $\tau$  ўқи бўйлаб настга жойлаштирамиз.

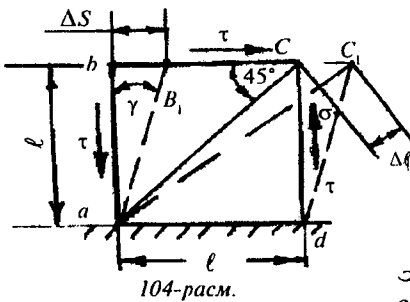
$D_1$  ва  $D_2$  нуқталар координата маркази О нуқтадан бир хил ма-софада жойлашганлиги учун Мор доирасининг радиуси  $OD_a = \tau$  га тенг бўлади. Мор доираси абсцисса ўқини  $OB = \tau$  ва  $OC = -\tau$  масофа-ларда кесиб ўтади. Шунинг учун  $OB = \tau = \sigma_1$  ва  $OC = -\tau = \sigma_3$ ;  $\sigma_2 = 0$

Бош нормал кучланиш  $\sigma_1$  нинг йўналиши доирада С $D_1$  чизиқ билан кўрсатилган ва  $bc$  юзанинг нормали билан  $45^\circ$  бурчак остида жойлашган (103-расм). Кубикдан ажратилган элемент  $\sigma_1$  таъсирида  $bd$  диагонал бўйлаб чўзилади;  $\sigma_3$  таъсирида эса  $ac$  диагонал бўйлаб сиқилади. Демак, соф силжиш ўзаро тенг чўзувчи ва сиқувчи бош нормал кучланишларга эквивалент экан. Шунинг учун силжиш деформациясида материял чўзилиш ва сиқилишга ҳам учрайди (104-расм).

Силжишда деформацияни ўрганиш учун  $abcd$  қиррали кубикнинг  $ad$  қиррасини таянчга тираб қўямиз (104-расм).



103-расм.



Уринма күчланиш таъсирида  $bc$  қирра  $\Delta S$  масофага силжийди.  $\Delta S$  — абсолют силжиш.  $abcd$  элемент қийшиқ бўлади,  $ab$  ва  $cd$  қирралар  $\gamma$  бурчакка оғади,  $\gamma$  бурчак нисбий силжиш. Элементнинг деформацияси эластик бўлгандиги учун  $\gamma$  бурчак кичик миқдордир.

Схемадан:

$$\operatorname{tg} \gamma = \gamma = \frac{\Delta S}{\ell} \quad (4.1)$$

$ac$  диагоналнинг абсолют узайиши:

$$C_1 C_2 = \Delta \ell = \Delta S \cdot \cos 45^\circ$$

$$\text{Нисбий узайиши: } \varepsilon = \frac{\Delta \ell}{\ell} \sin 45^\circ$$

$$\text{У ҳолда: } \varepsilon = \frac{\Delta S}{a} \cos 45^\circ \cdot \sin 45^\circ \text{ ёки } \varepsilon = \frac{\gamma}{2} \quad (4.2)$$

Диагоналнинг бош нормал күчланишлар  $\sigma_1 = \tau$  ва  $\sigma_3 = -\tau$  таъсиридаги нисбий узайиши куйидагича топилади:

$$\varepsilon = \varepsilon_1 = \frac{\sigma_1}{E} - \mu \frac{\sigma_3}{E} = \frac{\tau}{E} (1 + \mu) \quad (4.3)$$

(4.2) ва (4.3) тенгликларни ўзаро солиштириб:

$$\tau = \frac{E}{2(1 + \mu)} \cdot \gamma$$

формулани ҳосил қиласиз. Бу ерда:

$$G = \frac{E}{2(1 + \mu)} \quad (4.4)$$

силжиш модули деб қабул қилинса, формула

$$\tau = \gamma G \quad (4.5)$$

силжишда Гук қонунини ҳосил қиласи. Шундай қилиб, нисбий узайиши ва уринма күчланиш силжишда ўзаро про-

порционал боғланишда бўлади. Кўндаланг кесим юзаси А бўлган брус  $F$  силжитувчи куч таъсирида бўлсин (105-расм). Бруснинг силжиши чизмада кўрсатилган. Агар, брусни  $m$  —  $m$  текислик билан кесиб, бир бўлагини ташлаб юборсак, ажратиб қолдирилган қисмининг мувозанати бузилади. Бруснинг ташлаб юборилган қисмининг ажратиб олинган бўлагига таъсирини  $\tau_{xy}$  куч интенсивлиги билан белгилаймиз. Бу кучларнинг teng таъсир қилувчисини кўндаланг куч  $Q_y$  билан алмаштирасак, брусни ажратиб олинган бўлагининг мувозанат шарти қўйидагича ёзилади:

$$\sum Y = Q_y - F = 0 \text{ ёки } Q_y = \tau_{xy} \cdot A = F$$

$$\tau_{xy} = \frac{F}{A}$$

Бу ердан силжишда уринма кучланиш формуласини ҳосил қиласиз. Силжишда Гук қонуни элементнинг ўлчамлари билан ифодаланиши мумкин:

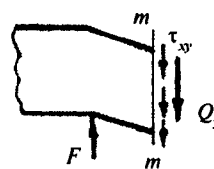
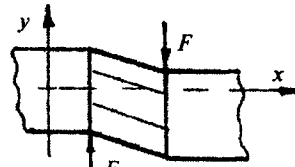
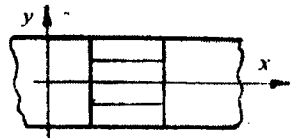
$$\Delta S = \frac{Q\ell}{GA} \quad (4.6)$$

Эластик силжишда кўндаланг куч  $Q$  нинг бажарган иши қўйидаги формула билан топилади:

$$A_{uu} = \frac{Q \cdot \Delta S}{2} = \frac{Q^2 \ell}{2GA} = \frac{\tau^2 A \ell}{2G} \quad (4.7)$$

Силжитувчи куч статик характеристда бўлса, бажарилган иш миқдор жиҳатдан силжиш деформациясининг потенциал энергиясига teng бўлади:

$$A_{uu} = U = \frac{Q^2 \ell}{2GA} \quad (4.8)$$



105-расм.

## 4.2. СОФ СИЛЖИШДА РУХСАТ ЭТИЛГАН КУЧЛАНИШ

Лаборатория шароитида соф силжишни ҳосил қилиш мураккаб бўлганлиги учун рухсат этилган кучланиши тури мустаҳкамлик назариялари асосида танлаймиз.

Биринчи мустаҳкамлик назарияси бўйича,  $\sigma_1 \leq [\sigma]$ , шартга кўра,  $\sigma_1 = \tau$  бўлса, соф силжишда  $[\tau]' = [\sigma]$  ҳосил бўлади.

Иккинчи мустаҳкамлик назарияси:

$$\sigma_1 - \mu(\sigma_2 + \sigma_3) \leq [\sigma]$$

Бу ерда:  $\sigma_1 = \tau$  ва  $\sigma_3 = -\tau$ ;  $\sigma_2 = 0$

У ҳолда:  $\tau - \mu(-\tau) \leq [\sigma]$ , ёки  $\tau \leq \frac{\sigma}{1 + \mu}$

Бу ерда:  $[\tau]'' = \frac{\sigma}{1 + \mu}$

Учинчи мустаҳкамлик назарияси:  $\sigma_1 - \sigma_3 \leq [\sigma]$ . Агар  $\sigma_1 = \tau$  ва  $\sigma_3 = -\tau$  ҳисобга олинса,  $\tau + \tau \leq [\sigma]$  ёки

$$[\tau]''' = \frac{[\sigma]}{2}$$

Тўртингчи назарияга асосан:

$$\frac{1}{\sqrt{2}} \sqrt{(\tau - 0)^2 + (0 + \tau)^2 + (\tau + \tau)^2} = 3\sqrt{\tau} \leq [\sigma] \quad \text{ёки}$$

$$[\tau]'''' = \frac{[\sigma]}{3}$$

Учинчи ва тўртингчи назариялар бўйича ҳисоблаш пластик материалларга: иккинчи назария бўйича мўрт материалдан тайёрланган деталлар учун ва силжишга ишлайдиган конструкцияларга татбиқ этилади.

Юқоридагиларни ҳисобга олиб умумий ҳолда уринма рухсат этилган кучланиш қўйидагича қабул қилинади.

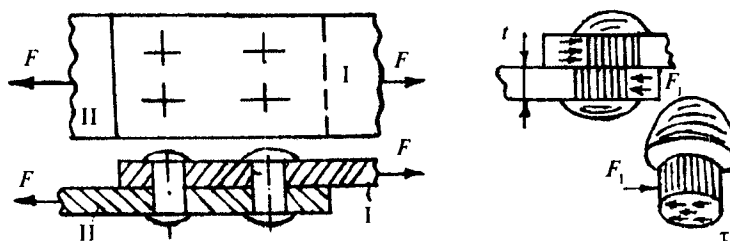
Мўрт материаллар учун:  $[\tau] = (0,8 \dots 1,0)[\sigma]$

Пластик материаллар учун:  $[\tau] = (0,5 \dots 0,6)[\sigma]$

### 4.3. ПАРЧИН МИХЛИ БИРИКМАЛарНИ ҲИСОБЛАШ

Оддий парчин михли бирикмани ўрганайлик (106-расм).

Хар бир парчин михга ўзаро тенг ва қарама-қарши йўналган кучлар таъсир қиласди:  $F_1 = \frac{F}{n}$  кучлари парчин михни қирқишга ҳаракат қиласди. Қирқувчи куч  $F_1$  қирқиш юзаси  $A_{k1} = \pi d^2 / 4$  га параллел йўналади. Шунинг учун қирқилиш юзасида уринма кучланишлар ҳосил бўлади.  $\tau$  парчин михни қирқилиш юзасида тенг тарқалади.



106-расм.

У ҳолда:  $\tau = \frac{F_1}{\pi \cdot d^2} = \frac{4F}{n \cdot \pi \cdot d^2}$  қирқилишдаги уринма кучланиш формуласи<sup>4</sup> ҳосил бўлади.

Парчин михни қирқилишга мустаҳкамлик шарти:

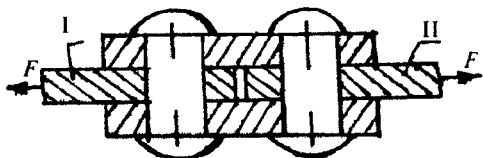
$$\tau = \frac{F}{nA_k} = \frac{4F}{n \cdot \pi \cdot d^2} \leq [\tau] \quad (4.9)$$

Парчин михни диаметри берилган бўлса, бирикмадаги парчин михлар сони топилиши мумкин:

$$n \geq \frac{4F}{\pi \cdot d^2 [\tau]} \quad (4.10)$$

Агар I ва II элеменлар устқуяма орқали бириктирилса, бундай бирикма учма-уч бирикма дейилади.

Бу ҳолатда парчин мих икки қирқимли бўлади. Икки қирқимли парчин мих учун мустаҳкамлик шарти:



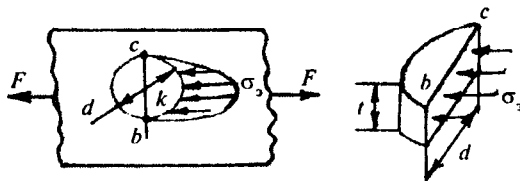
107-расм.

$$\tau = \frac{F}{n \cdot 2A_k} \leq [\tau] \quad (4.11)$$

ва парчин мих сони:

$$n \geq \frac{F}{2A_k \cdot [\tau]} \quad (4.12)$$

Уланувчи I ва II элементларни парчин михга босими таъсирида парчин мих ўрнининг деворида ярим цилиндрик юза бўйлаб эзилиш бўлади. Элементларнинг парчин михга ярим цилиндрик юза бўйлаб босимининг тарқалиш қонунияти номаълум (108-расм), лекин шу ютекис тарқалган босим парчин мих стерженининг диаметриал кесими ВС бўйлаб тенг тарқалган деб қабул қилинади.



108-расм.

ВС диаметриал кесимда ҳосил бўлган эзилишдаги нормал кучланиш тахминан К нуқтадаги кучланишга тенг ва қуидагича топилади:  $\sigma_s = \frac{F}{ntd}$  ва мустаҳкамлик шарти:

$$\sigma_s = \frac{F}{ntd} \leq [\sigma], \quad (4.13)$$

$[\sigma] = [2...2,5] \cdot [\sigma]$  — эзилишга рухсат этилган кучланиш.

(4.13) шартидан парчин михлар сони топилиши мумкин:

$$n \geq \frac{F}{dt[\sigma]}, \quad (4.14)$$

Уланувчи элементларда парчин мих ўрнининг (тешик) тайёрланиши уларнинг кўндаланг кесимини заифлашти-

ради. Натижада элементларни чўзилиш ва сиқилишга мустаҳкамлиги пасаяди.

Элементни заифлашмаган кесимнинг эни  $b$  бўлса, чўзилиш ёки сиқилишга мустаҳкамлик шарти қўйидагича ёзилади:

$$\sigma = \frac{F}{t(b - md)} \leq [\sigma] \quad (4.15)$$

$t$  — заифлашган кўндаланг кесимдаги парчин мих ўрни сони.

#### 4.4. ПАЙВАНД БИРИКМАЛАР

Пайванд бирикмалар икки хил бўлади:

1. Учма-уч пайванд бирикма.
2. Устма-уст пайванд бирикма.

Учма-уч пайванд бирикмалар уланадиган элементлар қалинлигига қараб ҳар хил бўлади.

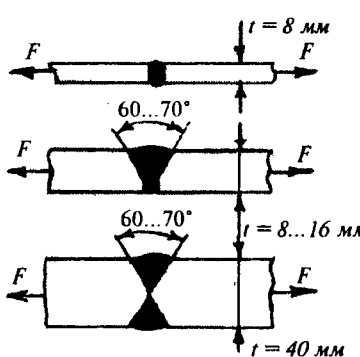
Учма-уч пайванд бирикма чўзилиш ёки сиқилишга ишлайди. Чокнинг мустаҳкамлиги қўйидагича ҳисобланади:

$$\sigma = \frac{F}{t \cdot \ell} \leq [\sigma]_{r.c} \quad (4.16)$$

Бу ерда:

$[\sigma]_{r.c} = (0,6...0,8)(\sigma)$  — чок материалы учун чўзилишга рухсат этилган кучланиш;

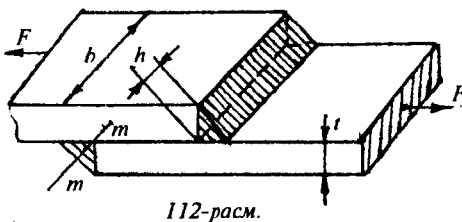
$[\sigma]_{r.c} = (0,75...0,9)(\sigma)$  — чок материалы учун сиқилишга рухсат этилган кучланиш.  $\ell$  — чокнинг узунлиги.



110-расм.



111-расм



112-расм.

Устма-уст пайвандлашда чок валик шаклида бўлади (112-расм).

Валикли чок  $m = m$  кесим бўйича ёмирилиши мумкин, чунки бу текисликда уринма кучланиш энг катта қийматга эришади. Устма-уст пайвандлашда ташқи куч —  $F$  пастки ва юқори чокларга таъсир қиласи.

У ҳолда уринма кучланиш қуйидагича топилади:  $\tau = \frac{F}{2A_n}$

Бу ерда:  $A_n = h\ell = 0,7t \cdot \ell$  — чокнинг юзаси. Устма-уст пайвандлашда мустаҳкамлик шарти:

$$\tau = \frac{F}{1,4t \cdot \ell} \leq [\tau] \quad (4.17)$$

(4.17) формуладан пайвандланадиган деталнинг қалинлиги ( $t$ ) ёки пайванд бирикманинг узунлиги — ( $\ell$ ) аниқланиши мумкин.

$$t = \frac{F}{1,4\ell[\tau]}$$

### *Савол ва топшириқлар*

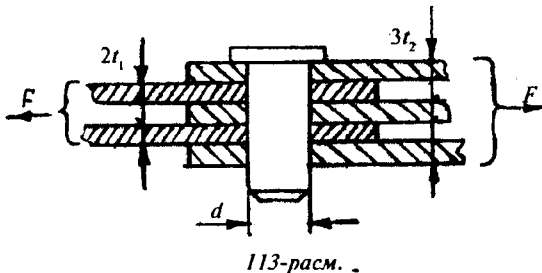
1. Қандай конструкция қисмлари силжишга учрайди?
2. Соф силжиш нима?
3. Силжишда Гук қонунини ёзинг.
4. Силжиш модули қандай катталик?
5. Парчин михли бирикманинг қирқилишга мустаҳкамлик шартини ёзинг.
6. Парчин михли бирикманинг эзилишга мустаҳкамлик шартини ёзинг.
7. Парчин михли бирикманинг чўзилиш ва сиқилишга мустаҳкамлик шартини ёзинг.
8. Пайванд бирикмаларнинг турларини айтинг.
9. Устма-уст пайвандлашда чокни мустаҳкамлик шартини ёзинг.

**1-масала.** Болтли бирикмадаги пүлатдан тайёрланган валик орқали 480 кН куч узатилади. Валикнинг қирқилишга ва эзилишга мустаҳкамлик шартидан фойдаланиб, унинг диаметрини ва уланувчи элементлари ўлчамлари топилсин.

Рухсат этилган кучланиши: қирқилишга —  $[\tau] = 95 \cdot 10^3 \frac{\text{кН}}{\text{м}^2}$ ; эзилишга —  $[\sigma] = 95 \cdot 10^3 \frac{\text{кН}}{\text{м}^2}$  ва чўзилишга —  $[\sigma] = 160 \cdot 10^3 \frac{\text{кН}}{\text{м}^2}$

**Ечиш.** Болтли бирикмани мустаҳкамлик шартидан фойдаланиб валикнинг диаметрини топамиз:

$$\tau = \frac{F}{4A} \leq [\tau]$$



Бу ерда:  $A = \frac{\pi \cdot d^2}{4}$  — валикнинг битта қирқилиш юзаси, 4 — қирқилиш юзалари сони.

У ҳолда валикнинг диаметри:

$$d = \sqrt{\frac{4 \cdot F}{4 \cdot \pi [\tau]}} = \sqrt{\frac{480}{3,14 \cdot 95 \cdot 10^3}} = 40 \text{ мм}$$

$t_1$  қалинликдаги элементларнинг эзилишга мустаҳкамлик шартидан фойдаланиб  $t_1$  қалинликни топамиз:

$$\sigma_s = \frac{F}{ntd} \leq [\sigma],$$

$$\text{Бу ерда: } t_1 = \frac{F}{2d[\sigma]} = \frac{480}{2 \cdot 0,04 \cdot 250 \cdot 10^3} = 0,024 \text{ м. Иккита}$$

бир хил  $t_1$  қалинликдаги ва эни бир хил бўлган элементларни чўзилишга мустаҳкамлик шартидан фойдаланиб  $b$  ни топамиз:

$$\sigma = \frac{F}{2t_1(\sigma - md)} \leq [\sigma], \text{ бу ерда: } m = 1$$

$$\text{У ҳолда: } b = \frac{F}{2t_1[\sigma]} + d = \frac{240}{160 \cdot 10^3 \cdot 0,024} + 0,04 = 0,1025 \text{ м}$$

Бирикмадаги қолган 3 та элементтинг қалинлиги —  $t_2$  ни топамиз:

$$\sigma = \frac{F}{3t_2(\sigma - md)} \leq [\sigma]$$

Бу ерда:

$$t_2 = \frac{F}{3(b-d)[\sigma]} = \frac{480}{3(0,1025 - 0,04) \cdot 160 \cdot 10^3} = 0,016 \text{ м}$$

**2-масала.** Қалинлиги  $t = 10 \text{ мм}$  бўлган иккита элемент диаметлари  $d = 20 \text{ мм}$  бўлган 6 та парчин мих билан устма-уст уланган. Рухсат этилган чўзувчи куч ва элементларнинг эни топилсан.

Рухсат этилган кучланиш:

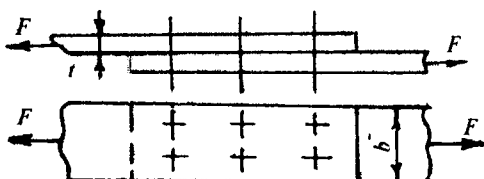
$$\text{қирқилишга: } [\tau] = 120 \cdot 10^3 \frac{\kappa H}{\text{м}^2};$$

$$\text{эзилишга: } [\sigma] = 320 \cdot 10^3 \frac{\kappa H}{\text{м}^2} \text{ ва}$$

$$\text{чўзилишга: } [\sigma] = 160 \cdot 10^3 \frac{\kappa H}{\text{м}^2}$$

**Ечиш.** Қирқилишга мустаҳкамлик шартидан рухсат этилган куч:

$$[F] = \frac{n\pi \cdot d^2 [\tau]}{4} = \frac{6 \cdot 3,14 \cdot 4 \cdot 10^{-4} \cdot 120 \cdot 10^3}{4} = 226 \kappa H$$



114-расм.

Эзилишга мустақкамлик шартидан рухсат этилган күч:  $[F] = ntd[\sigma] = 6 \cdot 0,01 \cdot 0,02 \cdot 320 \cdot 10^3 = 384 \text{ kH}$ . Рухсат этилган күчлардан бириңчисини қабул қиласыз, чунки парчин михли бирикмани иккала мустақкамлик шарти ҳам бажарилади. Уланувчи элементларнинг энини топамиз.

$$b = \frac{F}{[\sigma] \cdot t} + md = \frac{226}{160 \cdot 10^3 \cdot 0,01} + 2 \cdot 0,02 = 0,18 \text{ m}$$

**3-масала.** Кесимнинг ўлчамлари  $10 \times 80$  ва  $10 \times 100$  мм бўлган иккита листлар устма-уст пайвандланган. Пайванд бирикма  $F$  күч билан чўзилади. Чўзишишга  $[\sigma] = 160 \cdot 10^3 \frac{\text{kH}}{\text{м}^2}$  ва қирқилишга  $[\tau] = 90 \cdot 10^3 \frac{\text{kH}}{\text{м}^2}$  рухсат этилган күчланишлар ёрдамида чокнинг узунлиги топилсин.

Кўндаланг кесим юзаси кичик бўлган уланувчи элементни чўзишга мустақкамлик шартидан чўзувчи күчни топамиз:

$$\sigma_{\max} = \frac{F}{b \cdot t} \leq [\sigma] \text{ ва}$$

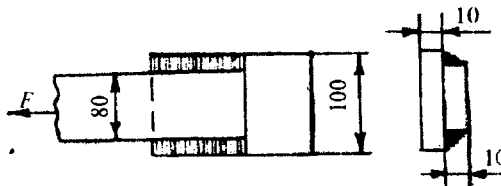
$$F = b \cdot t [\sigma] = 0,08 \cdot 0,01 \cdot 160 \cdot 10^3 = 128 \text{ kH}$$

Пайванд бирикманинг қирқилишга мустақкамлик шартидан чокнинг узунлигини топамиз:

$$\ell_p = \frac{F}{1,4t[\tau]} = \frac{128}{1,4 \cdot 0,01 \cdot 90 \cdot 10^3} = 0,102 \text{ m}$$

Чокнинг тўлиқ узунлиги:

$$\ell = \ell_p + 5 \cdot 10^{-3} \cdot 2 = 0,112 \text{ m}$$



115-расм.

## В Б О Б Б У Р А Л И Ш

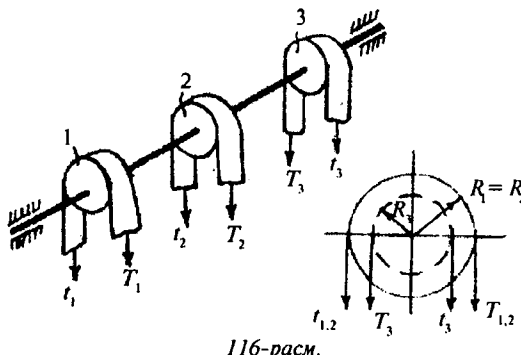
Стерженнинг бўйлама ўқига перпендикуляр текислиқда жуфт куч моменти таъсир қилса, буралиш деформацияси ҳосил бўлади.

Буралиш деформацияси турли вал ва ўқларнинг, фазовий конструкцияларнинг, элементларнинг ишлаш жараёнида учрайди. Буралиш, асосан, буровчи момент таъсирида келиб чиқади.

Буралиш деформациясининг тавсифи кўп жиҳатдан бураладиган конструкция кесим юзасининг шаклига боғлиқ. Техникида кўпинча кесим юзаси доиравий ёки ҳалқасимон бўлган элементлар учрайди.

### 5.1. БУРОВЧИ МОМЕНТ ҲАҚИДА ТУШУНЧА

Ременлар ўрнатилган шкивлар билан юкланган доиравий кесимли стерженнинг мувозанат ҳолатини текширамиз (116-расм). Шкивлар билан стерженнинг айланishi натижасида ременларда тортишиш кучлари ( $t_1$  ва  $T_1$ ;  $t_2$  ва  $T_2$ ;  $t_3$  ва  $T_3$ ) ҳосил бўлади. Етакловчи ременнинг тортишиш кучи  $T$  етакланувчи ременни тортишиш кучидан  $t$  икки баробар катта бўлади, яъни  $T=2t$ . Тортишиш кучларининг стержень кесимининг марказига нисбатан моментлари:  $M_1 = T_1 R_1 - t_1 R_1 = t_1 R_1$ ,  $M_2 = t_2 R_2$  ва  $M_3 = t_3 R_3$  билан ифодаланган схема 117-расмда кўрсатилган.



$R_1$ ;  $R_2$  ва  $R_3$  — тегишли 1, 2 ва 3 шкивларнинг радиуслари.

$M_1$ ;  $M_2$  ва  $M_3$  — стерженга қўйилган ташқи моментлар.

Ихтиёрий кесимдаги буровчи моментни топиш учун стерженни шу кесимдан икки бўлакка қирқамиз ва ҳар бир

бўлакка  $M_x = M_\delta$  буровчи моментларини қўямиз. Масалан, 117-расмда кўрсатилган ҳол учун (II—II кесим) чап қисмнинг мувозанат тенгламасидан қўйидаги ифодани топамиз:

$$\sum M_x = M_1 - M_\delta'' = 0 \quad \text{ёки } M_\delta'' = M_1$$

III—III кесимдаги буровчи моментни топамиз:

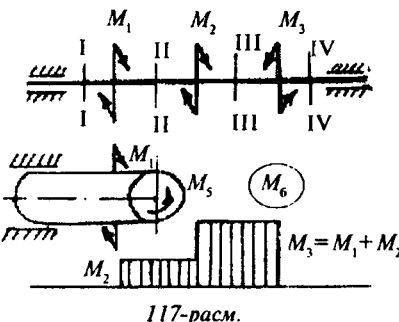
$$\sum M_x = M_1 + M_2 - M_\delta''' = 0 \quad \text{ёки } M_\delta''' = M_1 + M_2$$

IV—IV кесимдаги буровчи момент:

$$\sum M_x = M_1 + M_2 - M_3 - M_\delta'''' = 0$$

$$\text{ёки } M_\delta'''' = M_1 + M_2 - M_3$$

Демак, стержень кесим юзасида ҳосил бўладиган буровчи момент  $M_\delta$  кесилган кесим юзасига нисбатан бир томонда жойлашган ташқи моментларнинг алгебраик йиғиндишига тенг экан. Стерженning ажратиб олинган бўладидаги ташқи момент, кесилган кесим юзасининг марказига нисбатан соат стрелкаси йўналиши бўйича ҳаракат қиласа,  $M_\delta$  ишораси мусбат қабул қилинади. Юқоридаги ҳисобларга кўра стерженning узунлиги бўйлаб буровчи моментнинг қиймати ўзгариб боради.  $M_\delta$  нинг бу ўзгариш графикаси буровчи момент эпюраси дейилади. (117-расм). Буровчи моментнинг мусбат ишорали қиймати 0 — 0 чизиқнинг юқори томонига, манфийлари паст томонига қўйилади.



Буровчи моментни вални узатаётган қуввати ва айланышлари сони билан ҳам ифодалаш мумкин:

$$M_{\delta} = 7162 \frac{N}{n} \text{ Hm} \quad \text{ёки} \quad M_{\delta} = 9736 \frac{N_k}{n} \text{ Hm} \quad (5.1)$$

Бу ерда:  $N$  — от күчи бирлигидаги қувват;

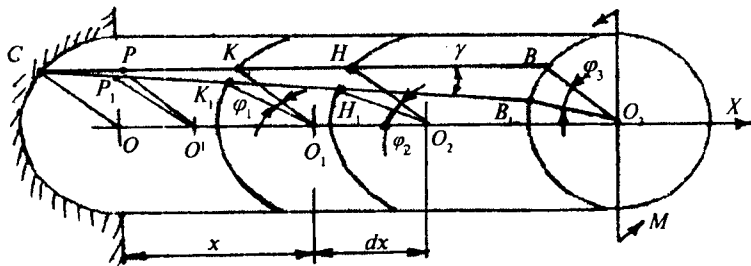
$N_k$  — киловатт бирлигидаги қувват;

$n$  — валнинг бир минутдаги айланышлари сони.

## 5.2. ДОИРАВИЙ КЕСИМ ЮЗАЛИ БРУСЛАРНИНГ БУРАЛИШИДА КУЧЛANIШ ВА ДЕФОРМАЦИЯ

Бир учи қистириб маҳкамланган, эркин учига  $M$  - жуфт куч моменти қўйилган брусларнинг буралишини кўриб чиқамиз. Буровчи момент таъсирида брусларнинг сиртига ўтказилган СВ тўғри чизик, брусларнинг бурилишида СВ<sub>1</sub> ҳолатини эгаллади. СВ тўғри чизиқдаги  $K$ ;  $H$  ва  $B$  нуқталар  $K_1$ ,  $H_1$  ва  $B_1$  ҳолатларга ўтади. Натижада брусларнинг қистириб қўйилган кесимидан  $X$  масофадаги кесими  $\varphi_1$  бурчакка, кейинги кесими  $\varphi_2 = \varphi_1 + d\varphi$  бурчакка ва жуфт куч моменти қўйилган кесим  $\varphi_3 = \varphi_2 + d\varphi$  бурчакка буралади (118-расм).

Тажрибалар шуни кўрсатадики, брус бураганидан кейин кўндаланг кесим юзалари текислигича қолади, улар орасидаги масофа деярли ўзгармайди; исталган кесим юзасида ўтказилган радиус эгринамайди. Бундай буралиш брус кўндаланг кесим юзалининг бир-бирига нисбатан силжишлари натижаси деб қаратади. Бунинг натижасида брус кўндаланг кесим юзалирида фақат уринма



118-расм.

кучланиш пайдо (119-расм) бўлади. Бруснинг буралишида бўйлама толалар чўзилмайди ҳам, сиқилмайди ҳам. Шунинг учун бруснинг кўндаланг кесимида нормал кучланишлар пайдо бўлмайди.

Брус ихтиёрий кесимнинг марказидан  $\rho$  масофада жойлашган нуқталарнинг уринма кучланиши силжишдаги Гук қонунига асосан топилади (119-расм):

$$\tau_\rho = \gamma G \quad (5.2)$$

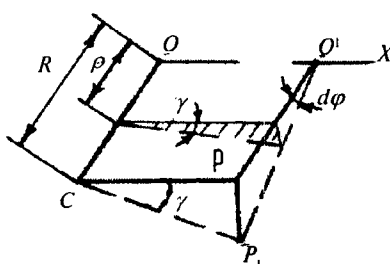
Бу ерда:  $\gamma = \frac{\rho \cdot d\phi}{dx}$  (119-расм) брус кесим юзасининг марказидан ихтиёрий ( $\rho$ ) масофада ётувчи толаси учун силжиш бурчаги бўлиб, брус сиртида ётувчи толанинг силжиш бурчаги  $\gamma = \frac{Pp_1}{PO} = \frac{Rd\phi}{dx}$  асосида топилади. Унда кесим юзасининг иккита нуқтаси учун:

$$\tau_\rho = G\rho \frac{d\phi}{dx} \quad (5.3)$$

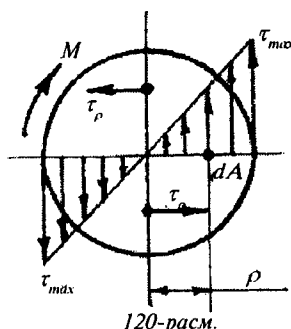
ва  $\tau_{max} = GR \frac{d\phi}{dx}$  уринма кучланиш формулалари ҳосил бўлади.

Демак, кесим юзасининг нуқталаридаги кучланишлар шу нуқталардан брус ўқигача бўлган масофага пропорционал ўзгарар экан. Ҳосил бўлган формуладан  $G \frac{d\phi}{dx} = const$  бўлса, кучланиш фақат  $\rho$  масофага боғлиқ бўлади.

Агар:  $\rho = 0$  бўлса,  $\tau_\rho = 0$  ва  $\rho = \rho_{max}$  бўлса,  $\tau = \tau_{max}$  бўлади.



119-расм.



120-расм.

Бу уринма кучланишларнинг брус ўқига нисбатан моменти миқдор жиҳатдан ( $M_\delta$ ) буровчи моментига тенгдир:

$$M_\delta = \int_A \tau_\rho dA \rho \quad (5.4)$$

(5.3) формуладаги  $\tau_\rho$  нинг қийматини (5.4) формулаға келтириб қўйсак:  $M_\delta = \int_A G \rho \frac{d\varphi}{dx} dA \cdot \rho = G \frac{d\varphi}{dx} \int_A \rho^2 dA$  ҳосил бўлади.

$I_\rho = \int \rho^2 dA$  — брус кесимининг кутб инерция моментини ҳисобга олсак:  $\frac{d\varphi}{dx} = \frac{M_\delta}{G I_\rho}$  келиб чиқади ва бу ифодани (5.3) формулаға қўйиб, буралишдаги уринма кучланишни топамиз:

$$\tau_\rho = \frac{M_\delta \rho}{I_\rho} \quad (5.5)$$

Бу ерда: агар  $\rho = 0$  бўлса,  $\tau = 0$  ва  $\rho = R$  бўлса,

$$\tau = \tau_{\max} = \frac{M_\delta \cdot R}{I_\rho} = \frac{M_\delta}{W_\rho} \quad (5.6)$$

Бу ерда  $W_\rho = \frac{\pi \cdot d^3}{16}$  — стержень кесимининг кутб қаршилик моменти уринма кучланиш стержень кесимининг диаметри бўйлаб тўгри чизиқли қонуният билан ўзгарили (120-расм), чунки (5.5) формулада  $\rho$  масофа биринчи даражада.

Буралиш бурчагини аниқлашда:  $d\varphi = \frac{M_\delta dx}{G I_\rho}$  тенгламадан фойдаланамиз. У ҳолда:

$$\varphi = \int_0^R \frac{M_\delta dx}{G I_\rho} \quad (5.7)$$

$G I_\rho$  — бруснинг буралишдаги бикрлиги;  
 $I_\rho \approx 0,1 d^4$  — стержень кесимининг кутб инерция моменти.

Формулани  $dx$  бўйича интеграллаб стерженниң тўлиқ буралиш бурчагини топамиз:

$$\varphi = \frac{M_\delta \cdot \ell}{G I_\rho} \quad (5.8)$$

### 5.3. БУРАЛИШДА МУСТАҲКАМЛИК ВА БИКРЛИК ШАРТЛАРИ

Юқоридаги формулалардан маълумки, стержень кесимининг марказидан энг узоқда жойлашган нуқталарида уринма қучланиш энг катта қийматга эришар экан, яъни:

$$\tau_{\max} = \frac{M_\delta}{W_\rho}$$

Агар,  $\tau_{\max}$  стерженниң материали учун рухсат этилган кучланишдан катта бўлмаса, стерженниң буралишдаги мустаҳкамлиги таъминланган бўлади:

$$\tau_{\max} = \frac{M_\delta}{W_\rho} \leq [\tau] \quad (5.9)$$

Бу ерда:  $[\tau] = (0,5...0,6)[\sigma]$ . (5.9) формула буралишдаги мустаҳкамлик шарти.

Агар стерженга таъсир қилувчи буровчи момент ва стерженниң материали маълум бўлса, унинг диаметрини (5.9) формула ёрдамида танлаш мумкин:

$$d \geq \sqrt[3]{\frac{16 M_\delta}{\pi [\tau]}} \quad (5.10)$$

Агар стерженниң диаметри ва материали берилган бўлса, унга қўйилиши мүмкун бўлган буровчи момент топилиши мумкин:

$$M_\delta = \frac{\pi d^3}{16} [\tau]$$

Кўпгина валлар учун тўлиқ буралиш бурчагининг қиймати чеклаб қўйилади, яъни:

$$\varphi_{\max} = \frac{M_\delta \cdot \ell}{G I_\rho} \leq [\varphi] \quad (5.11)$$

Бу ерда:  $[\varphi] = 0,15 \dots 0,3^\circ$  буралиш бурчагининг рухсат этилган қиймати. (5.11) формула буралишдаги бикрлик шарти дейилади.

$$I_\rho = \frac{\pi d^4}{32} \approx 0,1d^4 \text{ қутб инерция моментини ҳисобга олиб,}$$

бикрлик шартидан стерженнинг диаметрини топишимиз мумкин:

$$d \geq \sqrt[4]{\frac{32M_\delta \ell}{\pi \cdot G [\varphi]}} \quad (5.12)$$

Агар валнинг диаметри  $d$  ва унинг бир минутдаги айланышлари сони ( $n$ ), вал материалининг рухсат этилган кучланиши ( $\tau$ ) берилган бўлса, узатилаётган қувват —  $N$  топилиши мумкин:

$$N = \frac{\pi \cdot n \cdot d^3 [\tau]}{155776} \text{ кВт} \quad \text{ва} \quad N = \frac{\pi \cdot n \cdot d^3 [\tau]}{114592} \text{ от кучи.}$$

#### 5.4. БУРАЛИЩДА СТАТИК АНИҚМАС МАСАЛА

Икки учи бикр маҳкамланган таянчга таянган доираий қесимли стерженнинг буровчи моментини аниқлайлик (121-расм).

Берилган масалани ечиш учун стерженнинг мувозанат тенгламасини тузамиз:  $\sum M_x = -M_\delta + M - M_c = 0$

Бу ерда  $M_\delta$  ва  $M_c$  таянч моментлари.

Берилган стерженнинг битта мувозанат тенгламаси бўлиб, унда иккита номаълум моментлар қатнашяпти. Демак, масала статик ноаниқ бўлиб, бундай масалалар қўшимча деформациялар тенгламалари ёрдамида ечилади. Қўшимча деформация тенгламасини тузиш учун асосий системани таnlаймиз. Асосий системани тузишда битта таянч таъсирини шу таянчда ҳосил бўлган номаълум реактив момент билан алмаштирамиз. Берилган системадагидек асосий системада ҳам ташлаб юборилган таянч қесимнинг буралиш бурчаги нолга тенг бўлиши керак, яъни  $\varphi_c = 0$ , чунки ҳақиқий берилган системада бу кесим бикр (қўзғалмас) маҳкамланган. Кучларнинг таъсир

қилишида халал бермаслик тамойилига асосан  $\varphi_c = \varphi_{cm} - \varphi_{cmc} = 0$  тенгламани ҳосил қиласиз:

Бу ерда:  $\varphi_{cm}$  — ташқи момент таъсирида С кесимнинг буралиш бурчаги;

$\varphi_{cmc}$  — реактив момент  $M_c$  таъсирида С кесимнинг буралиш бурчаги.

(5.8) формулаға асосан

$$\varphi_{cm} = \frac{M \cdot b}{G \cdot I_p}$$

ва  $\varphi_{cmc} = \frac{M_c(a+b)}{Gl_p}$  ни ҳисобга олсак, деформация тенгламасини қўйидагича ёзиш мумкин:

$$\frac{M \cdot b}{Gl_p} - \frac{M_c(a+b)}{Gl_p} = 0 \text{ ёки } M_c = M \frac{b}{a+b}$$

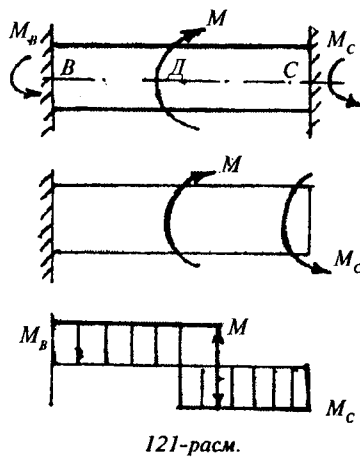
Энди мувозанат тенгламасидан  $M_B$  моментни топамиз:

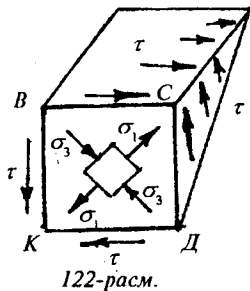
$$M_B = M - M_c = M - M \frac{b}{a+b} = M \frac{a}{a+b}$$

$M_B$  ва  $M_c$  топилгандан кейин буровчи момент эпюрасини қуриш мумкин.

## 5.5. БУРАЛИШДА КУЧЛАНИШ ҲОЛАТИНИНГ ТАХЛИЛИ

Буралишда доиравий кесимли стерженнинг кўндаланг кесимида уринма кучланишлар ҳосил бўлади. Бу кучланишлар стержень кесим юзасининг марказида нолга тенг ва стерженнинг сиртида энг катта қийматга эга. Уринма кучланиш стержень материалининг ҳар бир нуқтасида шу нуқтадан ўтган радиусга перпендикуляр йўналади. Уринма кучланишларнинг жуфтлик аломатига кўра стерженнинг кўндаланг кесимига перпендикуляр бўлган бўйлама





юзада ҳам уринма кучланиш ҳосил бўлади. Кесимнинг радиуси бўйлаб уринма кучланиш бўлмайди. Акс ҳолда стерженнинг ён сиртида ҳам уринма кучланишлар ҳосил бўлар эди. Стерженнинг кўндаланг кесим юзаларида ҳам, бўйлама кесимларида ҳам нормал кучланиш ҳосил бўлмайди. Шундай қилиб, стержендан ажратилган элементар

юза фақат стерженнинг кўндаланг ва бўйлама юзаларида ҳосил бўлган уринма кучланишлар таъсирида. Бундай кучланиш ҳолатига соғ силжиш дейилади (122-расм).

Соғ силжишда стерженнинг бўйлама ўқига  $45^\circ$  бурчак остида чўзувчи ва сиқувчи бош нормал кучланишлар ҳосил бўлади.

Стерженнинг барча нуқталарида бош кучланишларнинг экстремал қийматлари уринма кучланишларга тенг бўлади, яъни:

$$\sigma_{\max} = -\sigma_{\min} = \tau_{\max} = -\tau_{\min} = \frac{M_e}{W_p} \quad (5.13)$$

Мўрт материаллар буралишда  $\sigma_1$  йўналишида емирилади. Умуман, стерженнинг марказига яқин жойлашган материали буралишда деярли қатнашмайди, чунки бу юзада жуда  $\tau$  кичик қийматга эга. Демак, бу юзадаги материалини ортиқча сарфланган деб қараш мумкин экан. Шуннинг учун бу юзадаги материали олинса, стерженнинг кесим юзаси ҳалқасимон кесимга айланади. Агар, стерженнинг марказий кесимидағи материалини олиб, унинг оғирлигини 16% камайтирсак, ҳосил бўлган ҳалқасимон кесимнинг сиртидаги энг катта кучланиш 2,6 % ошар экан. Радиуси  $R = 350$  мм бўлган ҳалқасимон вал радиуси  $R = 300$  мм бўлган валдан 53,4 % га енгилдир.

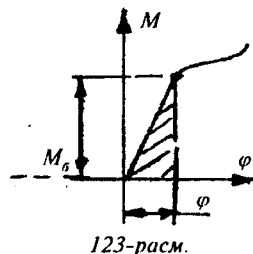
## 5.6. БУРАЛИШДА ПОТЕНЦИАЛ ЭНЕРГИЯ

Стерженнинг буралиши унинг материали эластиклик чегарасидан ошиб кетмайди, деб қаралади.

Унда буровчи моментнинг бажарған иши буралиш диаграммасининг юзига тенг бўлади:

$$A_{uu} = U = \frac{M_\delta \cdot \varphi}{2} \text{ ёки}$$

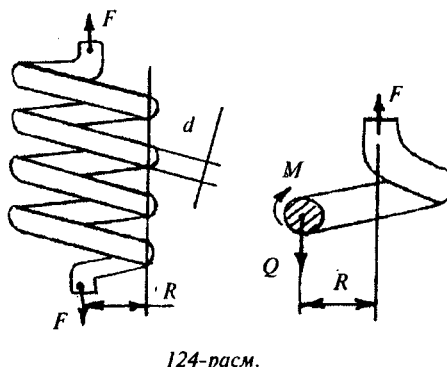
$$U = \frac{M_\delta^2 \ell}{2G I_p} \quad (5.14)$$



### 5.7. ВИНТСИМОН ЦИЛИНДРИК ПРУЖИНАЛАРНИ ҲИСОБЛАШ

Вагонларнинг рессорлари ўрнида, ички ёнув двигатели ва ҳ.к. механизmlарда винтсимон пружиналар ишлатилиади. Бу пружиналар чўзувчи ёки сиқувчи кучлар таъсирида бўлади. Пружинанинг деформацияси ташки кучни юмшатади ёки мувозанатлайди. Пружинадаги ички кучларни аниқлаш учун уни кесиш усулидан фойдаланиб икки қисмга ажратамиз (124-расм). Пастки қисмини ташлаб юборамиз ва унинг юқори қисми таъсирини (кўндаланг куч) кесувчи куч  $Q$  ва буровчи момент  $M_\delta$  билан алмаштирамиз. Пружинанинг ажратиб олинган қисми мувозанат шартига кўра  $Q = F$  ва  $M_\delta = F \cdot R$  ҳосил бўлади. Пружина ўрамининг қирқилиган кесим юзасида кесувчи куч  $Q$  таъсиридан қирқилишдаги уринма кучланиш  $\tau_1$  ва буровчи момент таъсиридаги  $\tau_2$  уринма кучланиши ҳосил бўлади.

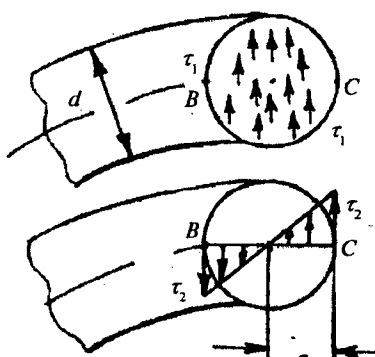
Қирқилишдан ҳосил бўлган уринма кучланиш пружина ўрамининг кесим юзасида текис таксимланган деб қабул қиласиз:



$$\tau_1 = \frac{F}{A} = \frac{F}{\pi r^2} \quad (5.15)$$

Буралишдан ҳосил бўлган уринма қучланиш пружина ўрами кесимининг марказидан энг узоқда жойлашган нуқтада ҳосил бўлади:

$$\tau_2 = \frac{M_\delta}{W_p} = \frac{2FR}{\pi r^3} \quad (5.16)$$



125-расм.

Кесимнинг В ва С нуқталари хавфли ҳолатда бўлади. Чунки бу нуқталардаги тўлиқ қучланиш  $\tau_1$  ва  $\tau_2$  қучланишларнинг йигиндисига tengdir, яъни:

$$\tau = \frac{F}{\pi r^2} + \frac{2FR}{\pi r^3}$$

Пружинанинг деформациясида ўрамлари буралишга учрайди деб ҳисоблаб,  $F$  куч таъсиридаги пружинанинг чўзишишини топамиз.

Пружинанинг  $\lambda$  миқдорга кўчишида  $F$  кучнинг бажарган ишини ёзамиз:

$$A_{uu} = \frac{1}{2} F \lambda$$

Пружинада буралишдан ҳосил бўлган потенциал энергия:

$$U = \frac{M_\delta^2 \ell}{2G I_p} \quad (5.17)$$

п ўрамли пружинани тайёрлашда  $\ell = 2\pi R n$  узунликдаги сим ишлатилади.

(5.16) ва (5.17) формулаларни ўзаро тенглаб,  $I_p = \frac{\pi r^4}{2}$  пружина ўрами кесимининг қутб инерция моментини ҳисобга олсак:

$$\lambda = \frac{4FR^3n}{Gr^4} \quad (5.18)$$

ҳосил бўлади.

$\lambda = \frac{4FR^3n}{Gr^4} \leq [\lambda]$  — пружинанинг бикрлик шарти.

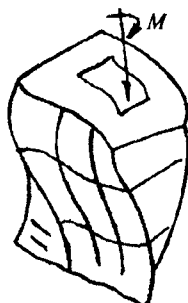
## 5.8. КЕСИМИ ДОИРАВИЙ БЎЛМАГАН СТЕРЖЕНЛАРНИНГ БУРАЛИШИ

Муҳандислик амалиётида кесими доиравий бўлмаган кесимлар, юпқа деворли ва прокатли элементлар ҳам буралишга учраши кўрилган. Бундай элементларнинг буралишида кўндаланг кесимнинг нуқталари кесим юзасини текислигидан чиқиб кетади, натижада кесим юзаси ва бутун элементнинг шакли ўзгаради.

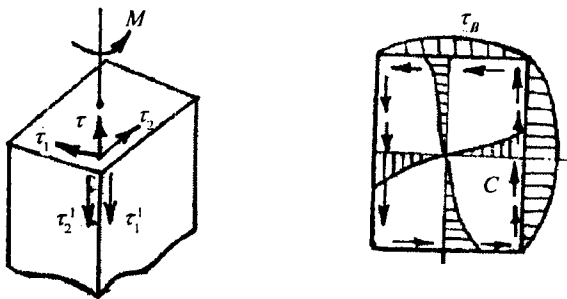
Бу ҳолга депланация дейилади. Лекин буралаётган элемент толаларининг узунлиги ўзгармайди. Демак, кўндаланг кесимда нормал кучланиш ҳосил бўлмайди. Бундай буралишга соф ёки эркин буралиш дейилади. Агар буралиш элементи толаларининг узунлиги ўзгариши билан содир бўлса, мажбурий буралиш, дейилади.

Юқорида айтилган барча мулоҳазалар кесими доиравий бўлмаган элементларнинг буралишида уларнинг кўндаланг кесими ҳосил бўлган кучланишини аниқлаш мурракаб эканлигини билдиради. Чунки, элементнинг кесими эгриланиши билан кучланишнинг тарқалиш қонунияти ҳам ўзгаради.

Бурчаксимон кесимларнинг бурчакларида уринма кучланиш нолга айланади. Тўрт бурчакли элементнинг сиртида  $\tau'_1$  ва  $\tau'_2$  уринма кучланишлари нолга тенг. Уринма кучланишларни жуфтлик аломатига кўра:  $\tau_1 = \tau'_1 = 0$  ва  $\tau_2 = \tau'_2 = 0$



126-расм.



127-расм.

Демак,  $\tau = 0$ , яъни ташқи бурчак яқинида уринма кучланиш нолга тенг. Энг катта уринма кучланиш кесимнинг С нуқтасида ҳосил бўлади:

$$\tau_c = \tau_{\max} = \frac{M_\delta}{\alpha a \sigma} \quad (5.19)$$

В нуқтадаги уринма кучланиш:  $\tau_\beta = \eta \tau_{\max}$

Кесими доиравий бўлмаган элементларнинг буралиш бурчаги:

$$\varphi = \frac{Mc}{G \beta \sigma^3 a} \quad (5.20)$$

Бу ерда:  $\alpha, \eta$  ва  $\beta$  — элемент кесими томонлари (ўлчамларини) нисбати.

### *Савол ва топшириқлар*

1. Қандай конструкция қисмлари буралишга учрайди?
2. Буровчи момент деб нимага айтилади?
3. Стерженнинг буралишида қандай кучланиш ҳосил бўлади?
4. Уринма кучланиш стерженъ кесим юзасида қандай қонуният билан тарқалади?
5. Буралишида мустаҳкамлик шарти формуласини ёзинг.
6. Буралиш бурчаги формуласини ёзинг.
7. Буралишда бикрлик шарти формуласини ёзинг.

8. Буралишда мустақамлыйк шартидан фойдаланыб доиравий кесимли стерженниң диаметрини топинг.

9. Винтсимон пружинанинг кесим юзасида қандай күчланиш ҳосил бўлади?

10. Винтсимон пружинанинг деформациясини топинг.

### 1-масала.

Пўлатдан тайёрланган стерженга  $M_1 = 40 \text{ Нм}$ ;  $M_2 = 20 \text{ Нм}$ ;  $M_3 = 40 \text{ Нм}$ ;  $M_4 = 30 \text{ Нм}$  моментлари қўйилган.

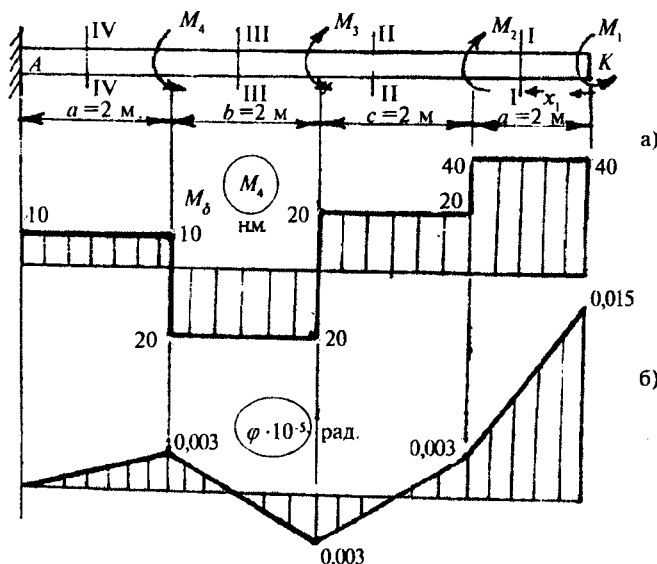
1. Буровчи момент эпюрасини қуринг.

2. Берилган  $[\tau] = 40 \text{ МПа}$  қийматдан фойдаланыб буралишдаги мустақамлыйк шартига асосан стерженнинг диаметрини топинг.

3. Буралиш бурчаги эпюрасини қуринг.

4. Энг катта нисбий буралиш бурчагини топинг.

Ечиш. Ички буровчи моментни топиш учун стерженни қирқимларга бўламиз (128-расм). Ҳар қайси қирқимдаги буровчи момент шу қирқимга қўйилган барча моментларнинг алгебраик йиғиндишига тенгдир.



128-расм.

Узунлиги  $x_1$  га тенг бўлган (КД — оралик) қирқимнинг I—I кесимига нисбатан  $M_1$  моментининг йўналиши соат стрелкаси йўналишига тескаридир. Шунинг учун бу оралиқдаги ички буровчи момент  $M_6^I$  ишорасини мусбат оламиз. Агар кесим марказига нисбатан момент йўналиши соат стрелкасининг йўналиши билан бир хил бўлса, ички буровчи момент ишорасини манфий деб қабул қиласиз.

$$M_6^I = M_1 = 40 \text{ Hm}$$

$$\text{Демак, } M_6^{II} = M_1 - M_2 = 40 - 20 = 20 \text{ Hm} \quad (\text{ДС — оралик})$$

$$M_6^{III} = M_1 - M_2 - M_3 = 40 - 20 - 40 = -20 \text{ Hm} \quad (\text{СВ — оралик})$$

$$M_6^{IV} = M_1 - M_2 - M_3 + M_4 = -20 + 30 = 10 \text{ Hm} \quad (\text{ВА — оралик})$$

Топилган қийматлар ёрдамида  $M_6$  эпюраси қурилади. Ихтиёрий масштабда танланган буровчи момент мусбат ишорали қиймати чизиқни юқори томонига, манфий ишорали қиймати эса пастки томонга чизилади (128-расм, а).

Доиравий кесимли стерженни қутб қаршилик момен-

ти —  $W_p = 0,2d^3$  ни  $\frac{M_{6\max}}{0,2d^3} \leq [\tau]$  формулага келтириб қўйсак:

$$d = \sqrt[3]{\frac{M_{6\max}}{0,2[\tau]}} = \sqrt[3]{\frac{40}{0,2 \cdot 40 \cdot 10^6}} = 0,017 \text{ m}$$

Стрежень диаметрини 30 мм деб қабул қиласиз. Стерженни таянч кесимидан бошлаб, яъни  $\varphi_A = 0$  кесимдан ҳар бир оралиқдаги буралиш бурчагининг ўзгаришини деформацияни ҳисоблаш формуласидан фойдаланиб топамиз:

$$\varphi = \frac{M_6 \cdot \ell}{G \cdot I_p}$$

Стреженning оралиқ масофаларида  $\varphi$  тўғри чизиқли қонуният билан ўзгарганлиги учун буралиш бурчагини факат иккита оралиқ чегарасидаги кесим учун топамиз.

$G \cdot I_p$  — стреженning буралишдаги бикрлиги.

$G = 8 \cdot 10^{10} \text{ Pa}$  — силжиш модули.

**IV—IV қирқим** охирги кесимида: (AB — оралик)

$$I_\rho = \frac{\pi \cdot d^4}{32} = 0,1d^4 = 0,1(0,30)^4 = 81 \cdot 10^{-5} \text{ м}^4$$

Стержень кесимининг қутб инерция моменти:

$$\varphi_B = \frac{M_6^{II} \cdot b}{G \cdot I_\rho} = \frac{10 \cdot 2}{8 \cdot 10^{10} \cdot 81 \cdot 10^{-5}} = 0,003 \cdot 10^{-5} \text{ rad}$$

**III—III қирқим охирги кесимида: (ВС — оралиқ)**

$$\varphi_c = \varphi_B + \frac{M_6^{III} \cdot b}{G \cdot I_\rho} = 0,003 \cdot 10^{-5} - \frac{20 \cdot 2}{648 \cdot 10^{-5}} = -0,003 \cdot 10^{-5} \text{ rad}$$

**II—II қирқим охирги кесимида: (СД — оралиқ)**

$$\varphi_D = \varphi_c + \frac{M_6^{II} \cdot c}{648 \cdot 10^{-5}} = -0,003 \cdot 10^{-5} + \frac{20 \cdot 2}{648 \cdot 10^{-5}} = -0,003 \cdot 10^{-5} \text{ rad}$$

**I—I қирқим охирги кесимида: (ДК — оралиқ)**

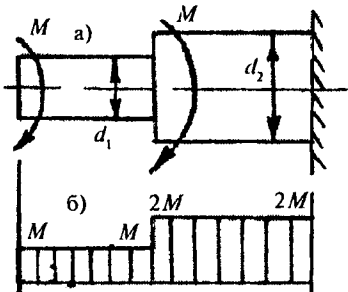
$$\varphi_K = \varphi_D + \frac{M_6^I \cdot a}{648 \cdot 10^{-5}} = -0,003 \cdot 10^{-5} + \frac{40 \cdot 2}{648 \cdot 10^{-5}} = -0,015 \cdot 10^{-5} \text{ rad}$$

$\varphi_B$ ,  $\varphi_c$ ,  $\varphi_D$  ва  $\varphi_K$  ларнинг ихтиёрий масштабда 0—0 чизиқда жойлаштириб, буралиш бурчаги эпюрасини қурамиз (128-расм, б).

Энг катта нисбий буралиш бурчагини топамиз:

$$\varphi_{\max} = \frac{M_{6\max}}{G \cdot I_\rho} = \frac{40}{648 \cdot 10^{-5}} = 0,006 \cdot 10^{-5} \text{ rad}$$

**2-масала.** Бир томони қистириб маҳкамланган ўзгарувчан кесимли стерженга бир хил жуфт куч моменти қўйилган. Стерженning кичик диаметри  $d_1 = 40$  мм ва катта диаметри  $d_2 = 60$  мм (129-расм). Стерженning ўнг погонасидаги энг катта уринма қулланиш 80 мПа. Стерженning чап погонасидаги уринма қулланиши топинг.



129-расм.

**Ечиш.** Стерженнинг ўнг погонасидаги энг катта уринма кучланиш формуласини ёзамиз:

$$\tau_2 = \frac{M_6^H}{W_\rho^H} = 80 \text{ мПа}$$

Буровчи моментни топамиз:

$$M_6^H = 800 \cdot W_\rho = 800 \frac{\pi \cdot d_2^3}{16} = 800 \frac{3,14(6)^3}{16} = 33912 \text{ кГсм}$$

Демак, стерженнинг чап погонасига қўйилган буровчи момент 33912 кГ см. Стерженнинг узунлиги бўйлаб буровчи момент эпюрасини қурамиз (129-расм, б). Стерженнинг II-II қирқим билан ажратиб олинган қисмида буровчи момент ташқи моментларнинг йигиндисига тенг, яъни  $M_6^H = 2M$ . У ҳолда, I-I қирқимдаги, яъни стерженнинг чап погонасидаги буровчи момент миқдор жиҳатдан ташқи моментга тенг:  $M_6^I = M$ .

Чап погонадаги энг катта уринма кучланишни топамиз:

$$\tau_1 = \frac{M_6^I}{W_\rho^I} = \frac{33912}{2 \cdot 12,56} = 1350 \frac{\text{кг}}{\text{см}^2}$$

$$\text{Бу ерда: } W_\rho^I = \frac{\pi \cdot d_1^3}{16} = \frac{3,14(4)^3}{16} = 12,56 \text{ см}^3$$

**З-масала.** Диаметри  $d = 90$  мм бўлган вал 90 от куч кувватини узатади. Вал материалининг рухсат этилган кучланиши  $[\tau] = 60 \frac{\text{кг}}{\text{см}^2}$  бўлса, валнинг бир минутдаги айланышлари сони топилсин.

**Ечиш.** Буровчи момент, узатилаётган кувват N ва валнинг айланышлари сони ўзаро боғланишда:

$$M_6 = 71620 \frac{N}{n}, \text{ кГсм}$$

Буровчи моментни валнинг мустаҳкамлик шартидан аниқлаймиз:

$$M_6 = W_\rho [\tau] = \frac{\pi \cdot d^3}{16} [\tau] = \frac{3,14(9)^3}{16} \cdot 600 = 85839,7 \text{ кГсм}$$

У ҳолда валнинг бир минутдаги айланишлари сони:

$$n = 71620 \frac{N}{M_6} = 71620 \frac{90}{85839,7} = 75 \frac{\text{аил}}{\text{мин}}$$

**4-масала.** Автомобилнинг кардонли вали икки хил режимда бир хил қувватни узатади ( $N = 23$  от кучи). Вални бир минутдаги айланишлари сони биринчи ҳолатда  $n_1 = 108$  айл/мин; иккинчи ҳолатда —  $n = 60$  айл/мин.

Вал материалынинг рухсат этилган кучланиши  $\tau = 400$  кг/см<sup>2</sup> бўлса, валнинг ташқи ва ички диаметрларини ( $d_0 = 0,9 d$ ) топинг.

**Ечиш.** Кардонли валнинг икки режимига тўғри келувчи буровчи моментни топамиз:

$$M_6^1 = 71620 \frac{23}{108} = 15252,4 \text{ кГсм}$$

$$M_6^{11} = 71620 \frac{23}{60} = 27454,3 \text{ кГсм}$$

Валнинг диаметри ўзгармас бўлса, энг катта кучланиш  $M_6^{11}$  моменти таъсирида ҳосил бўлади. Вал кесимининг кутб инерция моментини ҳалқасимон кесимлар учун қутб инерция моменти формуласидан фойдаланиб ёзамиз:

$$\begin{aligned} I_\rho &= \frac{\pi \cdot d^4}{32} - \frac{\pi \cdot d_0^4}{32} = \frac{\pi \cdot d^4}{32} - \frac{\pi (0,9d)^4}{32} = \\ &= \frac{\pi \cdot d^4}{32} (1 - 0,656) = 0,033755d^4 \end{aligned}$$

Уринма кучланиш ва кесимининг четки нуқтасида, яъни кесим марказидан  $0,5 \cdot d$  масофада жойлашган нуқтасида ҳосил бўлади:

$$\tau_{\max} = \frac{M_6^{11} \cdot 0,5d}{I_\rho} = \frac{M_6^{11} d}{2 \cdot 0,033755d^4} \leq [\tau] \text{ ёки}$$

$$d = \sqrt[3]{\frac{M_6^{11}}{0,0675[\tau]}} = \sqrt[3]{\frac{27454,3}{0,0675 \cdot 400}} = 10 \text{ см}$$

У ҳолда валнинг ички диаметри —  $d_0 = 9$  см.

**5-масала.** Пўлатдан тайёрланган ҳалқасимон кесимли вал 100 айл/мин тезлик билан айланиб,  $N = 75$  кВт қувватни узатади. Вал кесими деворининг қалинлиги ўртача диаметрининг  $1/50$  қисмини ташкил этади. Валнинг 3 м узунлигига тўғри келувчи буралиш бурчаги  $\varphi = 1^\circ$  дан ошмаслик шарти билан унинг ўртача диаметрини топинг. Уринма кучланиш нимага тенг:

**Ечиш.** Валнинг ташқи ва ички диаметрлари унинг деворининг қалинлигига боғлиқ:

$$d = d_y + t = d_y + \frac{d_y}{50} = \frac{51d_y}{50}; \quad d_0 = d_y - t = d_y - \frac{d_y}{50} = \frac{49d_y}{50}.$$

Вал кесимининг қутб инерция моментини аниқлаймиз:

$$I_\rho = \frac{\pi}{32} [d^4 - d_0^4] = \frac{\pi}{32} \left[ \left( \frac{51d_y}{50} \right)^4 - \left( \frac{49d_y}{50} \right)^4 \right] = 0,0157d_y^4$$

Валнинг буралишдаги бикрлик шартини ёзамиш:

$$\varphi = \frac{M_6 \cdot \ell}{G \cdot I_\rho} \leq [\varphi]; \quad \frac{M_6 \cdot \ell}{G \cdot 0,0157d_y^4} = 1^\circ \quad \text{Бу ерда: } G = 8 \cdot 10^5 \frac{\kappa\cdot\text{см}}{\text{см}^2}$$

$$M_6 = 97360 \frac{N}{n} = 97360 \frac{75}{100} = 73020 \text{ кГсм}$$

Ўртача диаметрни топамиш:

$$d_y = \sqrt[4]{\frac{M_6 \ell}{G \cdot 0,0157 \cdot 1^\circ}} = \sqrt[4]{\frac{73020 \cdot 300}{8 \cdot 10^5 \cdot 0,0157 \cdot \frac{3,14}{180^\circ}}} = 17,8 \text{ см}$$

$$\text{У ҳолда: } d = \frac{51 \cdot 17,8}{50} = 18,156 \text{ см; } d_0 = \frac{49 \cdot 17,8}{50} = 17,45 \text{ см}$$

Кесимнинг қутб инерция моменти:

$$I_\rho = 0,0157d_y^4 = 0,0157(17,8)^4 = 1576 \text{ см}^4$$

Энг катта уринма кучланишни топамиш:

$$\tau_{\max} = \frac{M_6 \cdot 0,5d}{I_\rho} = \frac{73020 \cdot 9}{1576} = 417 \frac{\kappa\cdot\text{см}}{\text{см}^2}$$

**6-масала.** Икки томони бикр маҳкамланган доиравий кесимли бир хил йўналишдаги иккита момент билан юкланган. Стерженнинг диаметри —  $d = 10$  см. Стерженнинг аниқмаслик даражасини ечинг ва II-II кесимнинг айланиш бурчагини топинг.

**Ечиш.** Ташқи моментлар таъсирида стерженнинг таянч кесимларида реактив моментлар ҳосил бўлади. Стерженнинг мувозанат тенгламасини тузамиз (130-расм).

$$\sum M_x = -M_c + 2M - M_B = 0$$

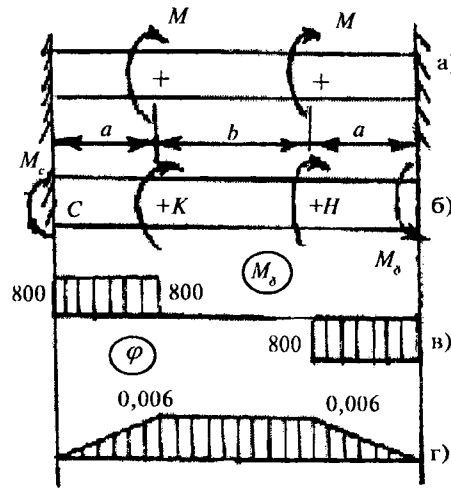
Битта тенгламада иккита номаълум реактив (таянч) моментлар бор, яъни стерженнинг мувозанат шартидан ундаги номаълумлар сони кўп экан. Шунинг учун бу масала ноаниқ. Стерженнинг ноаниқлик даражасини очиш учун кўшимча деформация тенгламасини тузамиз. Кўшимча тенгламалар сони стерженнинг аниқмаслик даражасига тенг бўлади, яъни:

$$S = n - 1 = 2 - 1 = 1$$

Бу ерда:  $n$  — стержендаги номаълумлар сони;  
 $1$  — стерженнинг мувозанат шарти.

Демак, стерженни аниқмаслик даражаси бирга тенг. Кўшимча деформация тенгламасини тузиш учун берилган стержендан асосий стерженни танлаб оламиз. Асосий стерженъ — бу таянч таъсири, таянч моменти таъсири билан алмаштирилган стерженнинг кўринишидири (130-расм, б).

Асосий стерженда ҳам, берилган стерженлардагидек, йўқотилган



таянч кесимнинг буралиш бурчаги нолга тенг, яъни  $\varphi_B = 0$ , чунки берилган стерженда бу кесим қўзғалмасдири.

В кесимнинг буралиш бурчагини, кучларнинг мустақиллик тамойилига асосан, ҳар қайси моментлар таъсиридан ҳосил бўлган буралиш бурчакларининг йигиндиси кўринишида ёзамиш:

$$\varphi_B = \varphi_{BM} + \varphi_{BM_B} = 0$$

$$\text{Бу ерда: } \varphi_{BM} = \frac{M \cdot a}{G \cdot I_\rho} + \frac{M(a+b)}{G \cdot I_\rho}$$

$\varphi_{BM}$  — стерженнинг В кесимини иккита ташқи моментлар таъсиридан буралиш бурчаги;  $\varphi_{BM_B} = -\frac{M_B(2a+b)}{G \cdot I_\rho}$  стержень В кесимининг таянч моменти  $M_B$  таъсиридан буралиш бурчаги.

$$\text{У ҳолда: } \varphi_B = \frac{M \cdot a}{G \cdot I_\rho} + \frac{M(a+b)}{G \cdot I_\rho} - \frac{M_B(2a+b)}{G \cdot I_\rho} = 0$$

$$\text{Бу ерда } \frac{1}{G \cdot I_\rho} \neq 0, \text{ шунинг учун}$$

$$M_a + M(a+b) - M_B(2a+b) = 0$$

$$\text{У ҳолда: } M_B = \frac{Ma + M(a+b)}{2a+b} = \frac{800 \cdot 0,6 + 800 \cdot 1,4}{2} = 800 \text{ кНм}$$

Стерженнинг мувозанат тенгламасидан  $M_c$  моментни топамиш:

$$M_c = -M_B + 2M = -800 + 1600 = 800 \text{ кНм}$$

Стержени қирқимларга бўламиш. Ҳар бир қирқимдаги буровчи моментнинг вал буралиш бурчагини топамиш:

**I—I қирқим.** Буровчи момент:  $M_6^1 = M_c = 800 \text{ кНм}$

$$\text{Буралиш бурчаги: } \varphi_K = \frac{M_6^1 \cdot a}{G \cdot I_\rho} = \frac{80000 \cdot 60}{8 \cdot 10^5 \cdot 10^3} = 0,006 \text{ rad}$$

Стержень кесимининг қутб инерция моменти:

$$I_p = \frac{\pi d^4}{32} = \frac{3,14 \cdot (10)^4}{32} = 10^3 \text{ см}^4$$

## II-II қирқим.

Буровчи момент:  $M_b^{II} = M_c - M = 800 - 800 = 0$

Буралиш бурчаги:  $\varphi_B = \varphi_K + \frac{M_b^{II} \cdot b}{G \cdot I_p} = 0,006 \text{ рад}$

## III-III қирқим.

Буровчи момент:

$$M_b^{III} = M_c - 2M = 800 - 1600 = -800 \text{ кГсм}$$

Буралиш бурчаги:

$$\varphi_B = \varphi_K + \frac{M_b^{III} \cdot a}{G \cdot I_p} = 0,006 - \frac{80000 \cdot 60}{8 \cdot 10^5 \cdot 10^3} = 0$$

Топилган қийматлар ёрдамида стерженнинг узунлиги бўйлаб унинг буровчи моменти ва буралиш бурчаги эпурасини қурамиз.

**7-масала.** Умумий узунлиги  $a + b = 3,3 \text{ м}$ , чап қисми-нинг диаметри  $d_1 = 6 \text{ см}$ , ўнг қисмининг диаметри  $d_2 = 5 \text{ см}$  бўлган стержень учи билан қистириб, бикр маҳкамланган. Стерженнинг икки қисмida ҳам бир хил кучланиш ҳосил бўлса,  $a$  ва  $b$  узунликлар топилсин (131-расм).

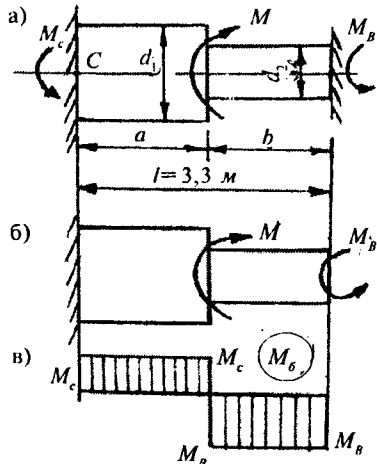
**Ечиш.** Стерженнинг С ва В таянчларидағи реактив  $M_c$  ва  $M_d$  моментларни топиш учун унинг мувозанат тенгламасини тузамиз:

$$\Sigma M_x = -M_c + M - M_B = 0$$

Мувозанат тенгламадан кўринишича, стержень статик ноаниқ система экан. Шунинг учун асосий системани танлаймиз ва қўшимча тенглама тузамиз:  $\varphi_B = \varphi_{BM} + \varphi_{BM_B} = 0$ , яъни В таянч кесимини буралиш бурчаги нолга тенг. Бу

ерда:  $\varphi_{BM} = \frac{M \cdot a}{G \cdot I_{\rho_1}}$  ва  
 $\varphi_{BM_B} = -M_B \left( \frac{a}{G \cdot I_{\rho_1}} + \frac{b}{G \cdot I_{\rho_2}} \right)$

В кесимнинг тегишли  $M$  ва  $M_B$  моментлари таъсиридан буралиш бурчаклари.



131-расм.

У ҳолда:

$$\frac{M \cdot a}{G \cdot I_{\rho_1}} = M_B \left( \frac{a}{G \cdot I_{\rho_1}} + \frac{b}{G \cdot I_{\rho_2}} \right)$$

$$\text{ва } M_B = \frac{Ma}{a + b} \frac{1}{I_{\rho_2}} \quad \text{МОМЕНТ-}$$

ни стерженнинг мувозанат тенгламасига келтириб қўйсак,  $M_c$  таянч моментни топамиз:

$$M_c = M - M_B = \frac{\frac{M \cdot b}{1}{\rho_1}}{\frac{a + b}{1}{\rho_2}} \frac{1}{I_{\rho_2}}$$

Стреженнинг узунлиги бўйлаб буровчи момент эпюрасини қурамиз (131-расм, в) ҳамда чап ва ўнг қисмларини кўндаланг кесимидағи уринма кучланишларни топамиз:

$$\tau_1 = \frac{M_c}{W_{\mu_1}} = \frac{M \cdot b \cdot \frac{1}{I_{\rho_1}}}{\left( a + b \cdot \frac{1}{I_{\rho_1}} \right) \frac{\pi \cdot d_1^3}{16}} \quad \text{ва} \quad \tau_2 = \frac{M_B}{W_{\rho_2}} = \frac{M_B}{\left( a + b \cdot \frac{1}{I_{\rho_1}} \right) \frac{\pi \cdot d_2^3}{16}}$$

Масаланинг шартига қўра:  $\tau_1 = \tau_2$

$$\text{У ҳолда: } \frac{M \cdot b \cdot \frac{1}{I_{\rho_1}}}{\left( a + b \cdot \frac{1}{I_{\rho_1}} \right) \frac{\pi \cdot d_1^3}{16}} = \frac{M \cdot a}{\left( a + b \cdot \frac{1}{I_{\rho_1}} \right) \frac{\pi \cdot d_2^3}{16}} \quad \text{ёки}$$

$\frac{I_{\rho_1}}{I_{\rho_2}} \cdot bd_2^3 = a \cdot d_1^3$  ҳосил бўлади. Бу ерда:

$$I_{\rho_1} = \frac{\pi \cdot d_1^4}{32} = \frac{\pi (6)^4}{32} = \frac{\pi \cdot 1296}{32} \quad \text{ва} \quad I_{\rho_2} = \frac{\pi \cdot d_2^4}{32} = \frac{\pi (5)^4}{32} = \frac{\pi \cdot 625}{32}$$

Стержень чап ва ўнг қисмларининг кесим юзаларининг қутб инерция моментларини ҳисобга олсак,  $\frac{6}{5}b = a$  ҳосил бўлади. 131-расмдан  $a + b = 3,3 \text{ м}$  масофага  $a = \frac{6}{5}b$  ни келтириб қўйсак,  $b = 1,5 \text{ м}$  ва  $a = 1,8 \text{ м}$  ни топамиз.

**8-масала.** 132-расмда кўрсатилган диаметри  $d = 20 \text{ мм}$  бўлган, бир қирқимли парчин михли бирикма  $F = 35 \text{ кН}$  куч таъсирида. Энг хавфли парчин михдаги уринма кучлашини топинг.

Ечиш.  $F$  кучни парчин михли бирикманинг маркази  $C$  нуқтага кўчирамиз. Битта чизиқчали кучлар  $M_b = F\ell$  буровчи моментини ҳосил қиласди. Парчин михли бирикма  $M_b$  моменти таъсирида бўлади.  $F$  куч таъсири бешта парчин мих орасида тенг тарқалади. Ҳар бир парчин мих марказида  $F_k$  куч  $C$  нуқтадан ўтган тўғри чизиқка перпендикуляр йўналади. 132-расмдан  $\frac{F_{k_1}}{15} = \frac{F_{k_2}}{7,5}$  ва  $F_{k_1} = 2F_{k_2}$  ни ҳосил қиласмиш ҳамда  $F_{k_1} = F_{k_3}$  ва  $F_{k_2} = F_{k_4}$  эканлигини аниқлаб оламиш. Бирикмани буровчи момент:

$$3500 \cdot 22,5 = 2F_{k_1} \cdot 15 + 2F_{k_2} \cdot 7,5; \quad 78750 = 4F_{k_2} \cdot 15 + 2F_{k_2} \cdot 7,5$$

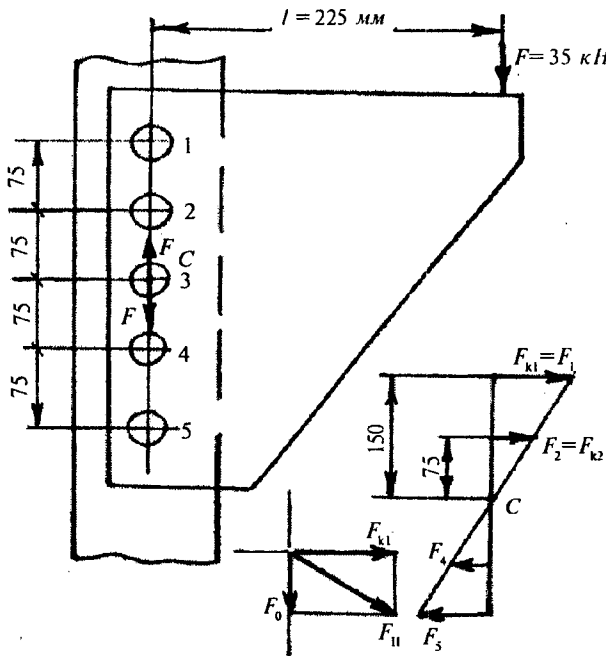
Бу ерда:  $F_{k_2} = 1050 \text{ кг}$  кучни ҳосил қиласмиш.

$$F_{k_1} = 2F_{k_2} = 2 \cdot 1050 = 2100 \text{ кг}$$

Демак, бирикмани четки, парчин михлари кўпроқ хавфли ҳолатда бўлар экан.

1 ва 5 парчин михлардаги тўлиқ кучни топамиз (132-расм).

$$F_{s_7} = F_{l_7} = \sqrt{F_{k_1}^2 + F_0^2} = \sqrt{(2100)^2 + (700)^2} = 2213 \text{ кг}$$



132-расм.

Четки парчин михларда ҳосил бўладиган уринма кучланишларни топамиз:

$$\tau_{\max} = \frac{F_{l_T}}{A_K} = \frac{2213}{3,14 \frac{d^2}{4}} = \frac{2213}{3,14 \frac{(2)^2}{4}} = 704 \frac{\text{kz}}{\text{cm}^2}$$

**9-масала.** Пўлатдан тайёрланган вал тўртга ҳар қайсиси 2 кНм бўлган момент билан юкланган (133-расм).

1. К кесимнинг буралиш бурчаги нолга тенг бўлган ҳолатга тўғри келувчи  $X$  моментнинг қиймати топилсин.

2. Буровчи момент эпюралари қурилсин ва валнинг мустаҳкамлик шартига асосан диаметри топилсин.

3. Буралиш бурчаги эпюралари қурилсин.

**Ечиш.** К кесимига номаълум  $x$  моменти қўйилган ва А кесими бикр маҳкамланган статик аниқ система статик ноаниқ масалага эквивалентдир.

Масаланинг шартига кўра номаълум момент —  $x$  нинг топиладиган қайсиdir қийматида К кесимнинг буралиш бурчаги ( $\varphi_K = 0$ ) нолга teng бўлиши керак.

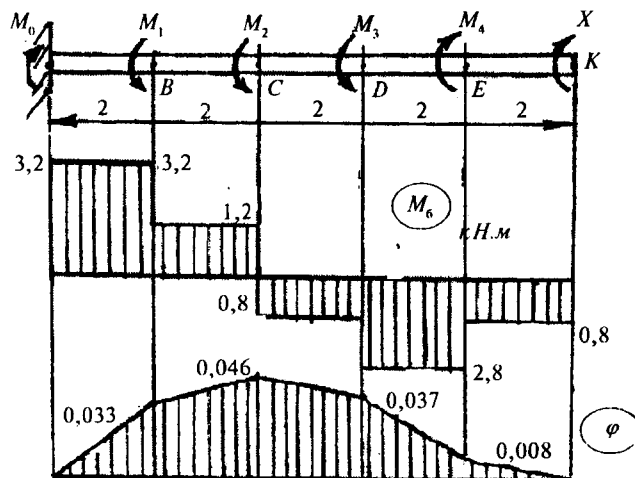
Кучларнинг таъсир қилишдаги ва қўшишдаги халал бермаслик тамойилига асосан К кесимнинг тўлиқ буралиш бурчаги қўйилган ҳар қайси моментлар таъсиридаги буралиш бурчакларининг йифиндисига teng деб қараймиз, яъни:

$$\varphi_K = \varphi_{KM_1} + \varphi_{KM_2} + \varphi_{KM_3} + \varphi_{KM_4} + \varphi_{KX} = 0 \quad (a)$$

Фақат  $M_1$  моментнинг таъсирида К кесимнинг буралиш бурчаги ОВ оралиқнинг буралиш бурчагига tengдир, яъни:

$$\varphi_{M_1} = \frac{M_1 \cdot 2}{G \cdot I_\rho} \text{ ва қолган моментлар таъсиридаги } \varphi_{M_2} = \frac{M_2 \cdot 4}{G \cdot I_\rho}$$

$$\varphi_{M_3} = \frac{M_3 \cdot 6}{G \cdot I_\rho}; \quad \varphi_{M_4} = \frac{-M_4 \cdot 8}{G \cdot I_\rho} \quad \text{ва } \varphi_{KX} = \frac{-x \cdot 10}{G \cdot I_\rho}$$



133-расм.

Буралиш бурчакларини (а) тенгламага келтириб қўйсак,  

$$\frac{1}{G \cdot I} (M_1 \cdot 2 + M_2 \cdot 4 + M_3 \cdot 6 - M_4 \cdot 8 - x \cdot 10) = 0$$
 ёки  
 $x = 0,8 \text{ кНм}$  ҳосил бўлади.

Системанинг мувозанат ҳолати тенгламасидан О кесимдаги реактив момент  $M_o$  ни топамиз:

$$\sum M_o = -M_1 - M_2 - M_3 + M_4 + x + M_o = 0 \text{ ёки } M_o = 3,2 \text{ кНм}$$

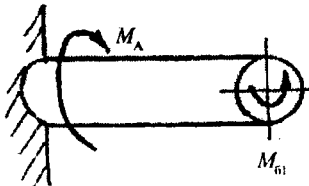
Валнинг О кесимидан ўнгга қараб оралиқларга бўла-  
миз ва буровчи момент қийматларини топамиз.

**I—I қирқим** оралиғидаги валга  $M_o$  реактив ва  $M_{61}$   
буровчи моментлари таъсир қиласи.

Демак, валнинг I—I қирқимида мувозанат содир бўли-  
ши учун,  $M_o = M_{61}$  шарт бажарилиши керак, яъни ажра-  
тилган оралиққа қўйилган ташқи момент миқдор жиҳат-  
дан валнинг ички куч момент-  
ларининг йифиндисига тенг  
бўлиши керак.

$$M_A = M_{61} = 3,2 \text{ кНм}$$

Агар ташқи момент кесим марказига нисбатан соат стрел-  
касининг йўналишига тескари  
ҳаракат қилса,  $M_{61}$  ишораси  
манфий бўлади. Юқоридаги хulosага асосан валнинг ҳар  
бир оралиқдаги ташқи моментларнинг алгебраик йифин-  
диси миқдор жиҳатдан шу оралиқдаги буровчи моментга  
тенгdir, яъни:



**II—II қирқим:**  $M_{6_2} = M_o - M_1 = 3,2 - 2 = 1,2 \text{ кНм}$

**III—III қирқим:**  $M_{6_3} = M_o - M_1 - M_2 = 1,2 - 2 = -0,8 \text{ кНм}$

**IV—IV қирқим:**

$$M_{6_4} = M_o - M_1 - M_2 - M_3 = -0,8 - 2 = -2,8 \text{ кНм}$$

**V—V қирқим:**

$$M_{6_5} = M_o - M_1 - M_2 - M_3 + M_4 = -2,8 + 2 = -0,8 \text{ кНм}$$

Буровчи моментнинг энг катта қиймати I—I қирқим-  
да ҳосил бўлади. Буралишда мустаҳкамлик шартига асо-  
сан валнинг диаметрини топамиз:

$$\tau_{\max} = \frac{M_{\delta_{\max}}}{W_p} \leq [\tau];$$

Вал кесимининг қутб қаршилиқ моменти:  $W_p = \frac{\pi d^3}{16}$

$$d = \sqrt[3]{\frac{16M_{\delta_{\max}}}{\pi[\tau]}} = \sqrt[3]{\frac{16 \cdot 3,2}{3,14 \cdot 60 \cdot 10^3}} = 0,065 \text{ м}$$

$d = 70 \text{ мм}$  қабул қиласиз  $[\tau] = 60 \text{ МПа}$  — вал учун күчланишнинг рухсат этилган қиймати.

Валниң ҳар оралиқдаги буралиш бурчагини  $\varphi = \int_0^{M_{\delta}} \frac{dx}{G \cdot I_p}$  формула ёрдамида күзғалмас таянчдан бошлиб топамиз.

$$\text{Буда: } I_p = 0,1 \cdot d^4 = 0,1(0,01)^4 = 24 \cdot 10^{-7} \text{ м}^4$$

**1—1 қирқим.**  $0 \leq x_1 \leq 2 \text{ м}$

$$\varphi_1 = \frac{M_{\delta_1} x_1}{8 \cdot 10^7 \cdot 24 \cdot 10^{-7}} = \frac{3,2 x_1}{192}$$

Агар  $x_1 = 0$  бўлса,  $\varphi_1 = \varphi_o = 0$ , агар  $x_1 = 2 \text{ м}$

$$\varphi_1 = \varphi_B = \frac{3,2 \cdot 2}{192} = 0,033 \text{ rad}; \quad \varphi_B = 0,033 \cdot \frac{\pi}{180} = 2^0 31'$$

бўлса,  $\varphi$  ҳар қайси қирқимда тўғри чизиқди қонуният билан ўзгаради. Шунинг учун қирқимлар чегаралардаги буралиш бурчакларни топамиз.

С — кесимнинг тўлиқ буралиш бурчаги В ва С кесимларни нуқтага нисбатан буралиш бурчаклари йигиндисига тенгдир:

$$\varphi_c = \varphi_B + \frac{M_{\delta_2} \cdot 2}{192} = 0,033 + \frac{1,2 \cdot 2}{192} = 0,046 \text{ rad} \quad \text{ёки } \varphi_c = 3^0$$

Колган қирқимларда ҳам шу усулда  $\varphi$  қийматни топамиз:

$$\varphi_D = 0,046 + \frac{M_{\delta_3} \cdot 2}{192} = 0,046 - \frac{0,8 \cdot 2}{192} = 0,037 \text{ rad}$$

$$\varphi_E = 0,037 + \frac{M_{\delta_4} \cdot 2}{192} = 0,037 - \frac{2,8 \cdot 2}{192} = 0,0083 \text{ rad}$$

$$\varphi_K = 0,0083 + \frac{M_{\delta_5} \cdot 2}{192} = 0,0083 - \frac{0,8 \cdot 2}{192} = 0,0083 - 0,0083 = 0 \text{ rad}$$

**10-масала.** Ўртача радиуслари  $R = 10$  см ўрамнинг диаметри  $d = 2$  см бўлган пўлатдан тайёрланган иккита пружиналар С ва В нуқталарда таянчларга таянган. Юқори пружинада  $n_1 = 4$  та ва пастки пружинада  $n_2 = 5$  та ўрамлари бор. Иккала пружиналар ўртасига  $F = 450$  кг куч қўйилган плита ўрнатилган.

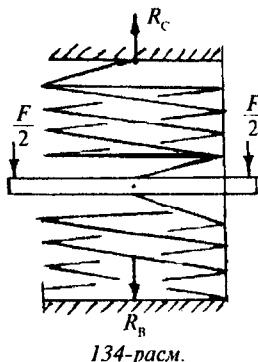
Пружиналарга тақсимланган кучнинг миқдори, юқ ўрнатилган плитанинг вертикал кўчиши, пружина стерженида ҳосил бўлган уринма кучланиш топилсин.

**Ечиш.**  $F$  куч таъсирида юқори пружина чўзилади, пастки пружина сиқилади.

С ва В таянчларда  $R_c$  ва  $R_b$  реакция кучлари ҳосил бўлади.  $R_c$  реакция кучи миқдор жиҳатдан юқори пружинадаги чўзувчи кучга,  $R_b$  реакция кучи пастки пружинадаги сиқувчи кучга тенг бўлади.  $R_c$  ва  $R_b$  кучларни топиш учун системанинг мувозанат тенгламасини тузамиз:

$$\sum y = R_c - F - R_b = 0$$

Битта тенгламада иккита номаълум куч бор. Демак, масала статик ноаниқ. Шунинг учун кўшимча деформация тенгламасини тузамиз.  $F$  куч таъсирида юқори пружинанинг чўзилиши пастки погонанинг сиқилишига тенг, яъни  $\lambda_1 = \lambda_2$ .



134-расм.

$$\text{Бу ерда: } \lambda_1 = \frac{4R_c R^3 n_1}{G \cdot r^4} \quad \text{ва} \quad \lambda_2 = \frac{4R_B R^3 n_2}{G \cdot r^4}$$

У ҳолда:

$$\frac{4R_c R^3 n_1}{G \cdot r^4} = \frac{4R_B R^3 n_2}{G \cdot r^4} \quad \text{ёки} \quad R_c = R_B \frac{n_2}{n_1} \quad \text{ва} \quad R_c = R_B \frac{5}{4} \quad \text{ифодани}$$

мұвозанат тенгламасын көлтириб қүйсак,  $R_c$  күчни топамиз:

$$R_B = \frac{F \cdot 4}{9} = \frac{450 \cdot 4}{9} = 200 \text{ кГ}; \quad R_c = \frac{4F}{9} \cdot \frac{5}{4} = \frac{450 \cdot 4}{9} = 250 \text{ кГ}$$

Плитанинг вертикальдың күчишіні топамиз:

$$\lambda = \frac{4R_c R^3 n_1}{G \cdot r^4} = \frac{4 \cdot 250 \cdot 10^3 \cdot 4}{8 \cdot 10^5 \cdot 1^3} = 5 \text{ см}$$

Юқори пружина стерженинде күчләнеш:

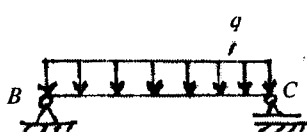
$$\tau_1 = \frac{R_c \cdot 4}{\pi \cdot d^2} + \frac{2R_c \cdot R}{\pi \cdot r^3} = \frac{250 \cdot 4}{\pi \cdot (2)^2} + \frac{2 \cdot 250 \cdot 10}{\pi \cdot 1^3} = 1672 \frac{\text{кг}}{\text{см}^2}$$

Пастки пружина стерженинде күчләнеш:

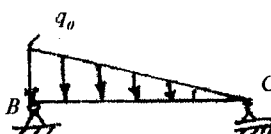
$$\tau_2 = \frac{R_c \cdot 4}{\pi \cdot d^2} + \frac{2R_B \cdot R}{\pi \cdot r^3} = \frac{200 \cdot 4}{\pi \cdot (2)^2} + \frac{2 \cdot 200 \cdot 10}{\pi \cdot 1^3} = 1338 \frac{\text{кг}}{\text{см}^2}$$

## VI БОБ ЭГИЛИШ

Амалиётда кўприкларнинг рамалари, иморатларнинг айрим қисмлари, вагоннинг ўқлари ва ҳ.к. эгилиш деформациясига учрайди. Икки таянчга таянган ва эгилиш деформациясига учрайдиган брус балка дейилади. Айрим балкаларнинг кўринишларини келтирамиз:



135-расм.



136-расм.



137-расм.

1. Кўп қаватли уйларнинг қаватлари орасидаги уладидиган балкалар тенг тақсимланган кучлар билан юкланган.

2. Сув омборидаги платинанинг устуни тақсимланган куч интенсивлиги (сувнинг босими) билан юкланган. Бу кучнинг қиймати Одан қача ўзгаради.

3. Кўприкнинг асосий балкаси локоматив фидирекларнинг босими таъсирида бўлади.

Биз бу мавзуда қуйидаги шартларни бажара оладиган балкаларнинг эгилишини ўрганамиз:

1. Балка кесимининг ҳеч бўлмагандан битта симметрия ўқи бор.

2. Барча ташқи кучлар балканнинг симметрия ўқи текислигига жойлашган.

3. Балкага таъсир этувчи барча кучлар, шу жумладан реакция кучлари ҳам симметрия ўқи текислигига ётганлиги учун балканнинг эгилган ўқи ҳам шу текисликда ётади.

Бундай эгилиш текис эгилиш дейилади.

## 6.1. ТАЯНЧ ВА ТАЯНЧ ТУРЛАРИ

Уч хил таянч турлари мавжуд:

1. Қўзғалувчи шарнирли таянч стерженning таянч кесими шарнир ўқи атрофида айланиш бурчагини ва стерженning горизонтал текисликдаги ҳаракатини чекламайди. Шунинг учун қўзғалувчи — шарнирли таянчда фақат вертикал реакция кучи ҳосил бўлади (138-расм).

2. Қўзғалмас шарнирли таянч стерженning таянч кесимини вертикал ва горизонтал текисликлардаги ҳаракатини чегаралайди; кесимнинг айланиш бурчагини чекламайди. Шунинг учун бу хил таянчда вертикал ва горизонтал реакция кучлари ҳосил бўлади.

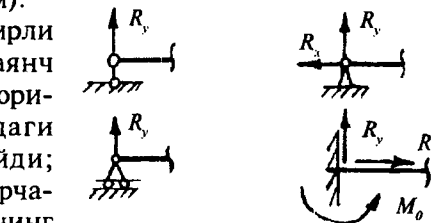
3. Қўзғалмас бикр маҳкамланган таянч (138-в расм) стерженning таянч кесимининг барча ҳаракатларини чегаралайди. Шунинг учун бу таянчда вертикал, горизонтал реакция кучлари билан биргаликда реактив момент ҳам ҳосил бўлади.

Реакция кучларини аниқлаш учун статиканинг муовзанат шартларини тузамиз:

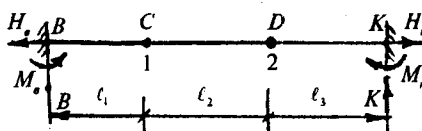
$$\sum x = 0; \quad \sum y = 0 \text{ ва} \quad \sum M_0 = 0 \quad (6.1)$$

Статиканинг тенгламалари орқали реакция кучларни топиш мумкин бўлган балкалар статик аниқ система-ларга киради.

Бундай масалаларга кўп пролётли ва оралиқ шарнирли балкалар ҳам мисол бўлади (139-расм).

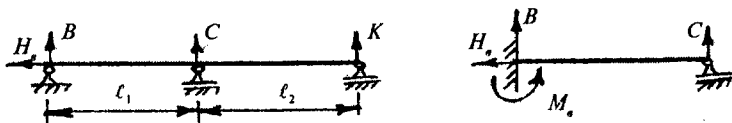


138-расм.



139-расм.

Айрим ҳолларда балка бир нечта таянчларга таяниши мүмкін.



140-расм.

Бу хилдаги балкалардаги реакция күчларининг сони камида түрттә бўлади ва барча реакция күчлари бир текисликда жойлашганлиги учун бутун системанинг мувозанат ҳолатини ифодаловчи статиканинг учта тенгламасини тузиш мүмкін. Бу балкаларда реакция күчлари сони статика тенгламалари сонидан кўп. Шунинг учун бу балкаларда реакция күчларини статиканинг тенгламалари билан топиб бўлмайди.

Бундай балкалар статик ноаниқдир. Статик ноаниқ масалаларни ечиш усули кейинроқ маҳсус мавзу сифатида кўриб чиқилади.

## 6.2. ЭГИЛИШДА ИЧКИ КҮЧЛАРНИ АНИҚЛАШ

Түрттә ўзаро тенг бўлган  $F$  куч таъсирида мувозанатда бўлган брусли ўрганамиз (141-расм). Бруслинг  $BC$  оралиғидан ихтиёрий танланган  $m-m$  кесимнинг ички күчларини кесиш методидан фойдаланиб топамиз. Бруслинг ажратиб олинган кесимининг мувозанатини таъминлаш учун унинг кесилган юзасига ташлаб юборилган қисмининг таъсирини алмаштирувчи бош куч вектори  $Q$  ва бош момент вектори  $M$  ни келтириб қўямиз.  $Q$  кучни кўндаланг куч ёки кесувчи куч деб қабул қиласиз.

Кўндаланг кучни топиш учун бруслинг ажратиб олинган қисмидаги ташқи кучни  $m-m$  текисликка проекциялаймиз:  $F - Q = 0$  ёки  $Q = F$ .

Брусли  $BC$  оралиғидаги ихтиёрий танланган  $n-n$  кесимидаги кўндаланг куч  $Q$  ни топиш учун шу оралиқдаги барча ташқи күчларни  $n-n$  текисликка проекцияла-

рининг алгебраик йиғиндисини топамиз:  $F - F - Q = 0$  ёки  $Q = 0$ .

Демак,  $Q$  күндаланг күч бруснинг ажратиб олинган қисмидаги ташқи кучларни алгебраик йиғиндисига тенг экан.

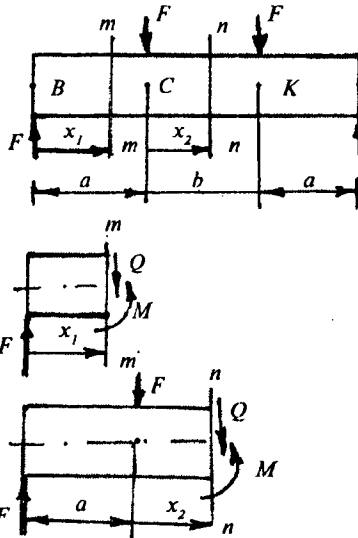
Бруснинг кесилган кесимиға нисбатан ташқи кучнинг йұналиши соат стрелкасининг ҳаракат йұналиши билан мос тушса, күндаланг күчнинг ишораси мусбат, тескари ҳолатда эса манфий қабул қилинади.

Бош момент вектори  $M$  әгувчи момент дейилади. Әгувчи моментни топиш

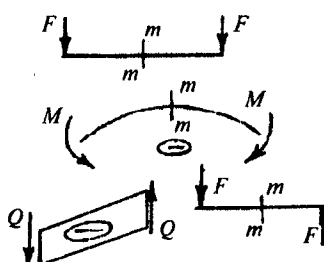
учун бруснинг ажратиб олинган кесимидаги ташқи кучдан кесилган кесим юзасининг марказига нисбатан момент оламиз: ВС оралиқдаги  $x$  масофа учун  $M = Fx$  ва ВК оралиқдаги  $(a + x)$  масофа учун  $M = F(a + x) - Fx$  тенгламаларни ҳосил қиласиз.

Демак, әгувчи момент брусни ажратиб олинган қисмидаги ташқи кучларнинг, шу оралиқ кесилган кесим юзасининг марказига нисбатан моментларининг алгебраик йиғиндисига тенг экан. Агар ташқи күч брусни юқориға әгилтирилса, әгувчи момент ишораси мусбат, пастга әгилтирилса манфий қабул қилинади.

Юқоридаги күндаланг күч ва әгувчи момент тенгламаларидан күренишича, бруснинг узунлиги бўйлаб  $Q$  ва  $M$  ўзгариб борар экан.  $Q$  ва  $M$  нинг брус ўқи бўйлаб ўзгариш гра-



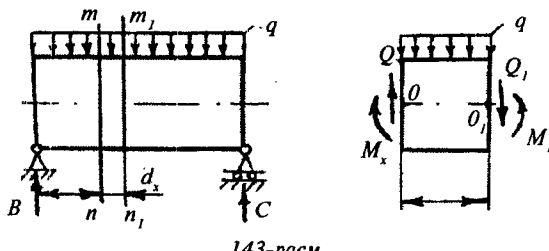
141-расм.



142-расм.

фикасига кўндаланг куч ва эгувчи момент эпюраси дейилади.

**M, Q ва q орасидаги дифференциал боғланишлар.** Тақсимланган куч интенсивлиги таъсирида бўлган балкадан ажратилган элементар узунликдаги бўлакнинг мувозанат ҳолатини текширамиз.



143-расм.

Тақсимланган куч интенсивлиги  $q$  таъсиридаги элементар  $dx$  узунликдаги ажратилган элемент балкани ташлаб юборилган қисмлари таъсирини алмаштирувчи кўндаланг кучлар  $Q$ ,  $Q_1 = Q + dQ$  ва моментлар  $M_x$ ,  $M_1 = M_x + dM_x$  таъсирида бўлади (143-расм). Ажратилган элементнинг мувозанат шарти қўйидагича ёзилади:

$$\sum Y = 0 \text{ ёки } Q - qdx - (Q + dQ) = 0 \quad (6.2)$$

$$\sum M_0 = 0 \text{ ёки } M_x + Qdx - qdx \frac{dx}{2} - (M_x + dM_x) = 0 \quad (6.3)$$

(6.2) тенгламадан  $qdx - dQ = 0$  тенгликни ҳосил қиласиз.

Бу ерда:

$$q = -\frac{dQ}{dx} \quad (6.4)$$

Демак, балканинг ихтиёрий кесимидағи кўндаланг кучнинг абсцисса бўйлаб биринчи тартибли ҳосиласи шу кесимдаги тақсимланган куч интенсивлиги —  $q$  га тенг экан. Агар  $q$  куч ўқорига йўналса (6.4), тенгламанинг ишораси мусбат бўлади.

(6.3) тенгламадан

$$Qdx - dM_x = 0 \quad \text{ва} \quad Q = \frac{dM_x}{dx} \quad (6.5)$$

хосил бўлади, яъни балканинг ихтиёрий кесимидағи кўндаланг куч шу кесимдаги эгувчи моментнинг абсцисса бўйича биринчи тартибли ҳосиласига тенг экан. (6.4) ва (6.5) тенгламалар асосида  $\frac{d^2 M_x}{dx^2} = \frac{dQ}{dx} = -q$  тенглик ҳосил бўлади, яъни эгувчи моментнинг абсцисса бўйлаб иккинчи тартибли ҳосиласи шу кесимдаги тақсимланган куч интенсивлиги —  $q$  га тенг экан.

Юқоридаги дифференциал боғланишлардан  $M$  ва  $Q$  эпюраларини қуришда фойдаланиш мумкин. Масалан, балканинг бирор кесимида  $Q = \text{const}$  бўлса, шу кесимида (6.4) дифференциал боғланишга асосан  $q = 0$ , яъни тақсимланган куч интенсивлигининг таъсири нолга тенг ёки  $q$  куч таъсири қилмас экан.

Тақсимланган куч интенсивлиги таъсири қилган оралиқда кўндаланг куч тўғри чизиқли қонуният билан ўзгаради.  $Q$  нинг эпюраси абсцисса ўқини кесиб ўтади, яъни абсциссага оғишган бурчак билан жойлашади.

(6.5) дифференциал боғланишга асосан агар балканинг бирор кесимида эгувчи момент ўзгармас бўлса, яъни  $M = \text{const}$ , шу кесимдаги кўндаланг куч нолга тенг бўлар экан. Эгувчи момент балка узунлигининг бирор қисмида тўғри чизиқли қонуният билан ўзгарса, яъни  $M$  графикаси тўғри чизиқ бўйлаб абсциссага бирор бурчак билан жойлашса, шу кесимдаги кўндаланг куч ўзгармас ва  $Q$  нинг эпюраси абсциссага параллел чизиқ бўлар экан.

Балканинг тақсимланган куч интенсивлиги —  $q$  таъсири қилган оралиқда  $M$  эпюраси эгри чизиқ билан чегараланади.

### *Савол ва топшириқлар*

1. Қандай конструкция қисмлари эгилиш деформациясига учрайди?
2. Балка деб нимага айтилади?
3. Таянч турларини айтинг.
4. Эгувчи момент, кўндаланг куч ва ёйилган куч интенсивлиги билан дифференциал боғланишларни ёзинг?

5. Күндаланг күч деб нимага айтилади?
6. Күндаланг күч ишораси қаңон мусбат бўлади?
7. Эгувчи момент деб нимага айтилади?
8. Эгувчи момент ишораси қаңон мусбат бўлади?

**1-масала.** Балканинг эгувчи момент ( $M$ ) ва кўндаланг күч ( $Q$ ) эпюралари қурилсин (144-расм).

**Ечиш.** Реакция кучларини балканинг мувозанат шартларидан фойдаланиб топамиз:

$$\begin{aligned}\sum M_A &= -M_1 + 4q\left(\frac{4}{2} + 1\right) + F_1 \cdot 4 + F_2 \cdot 6 - M_2 + q \cdot 2\left(\frac{2}{2} + 8\right) + \\ &+ M_3 - B \cdot 8 = 0; \quad B = 12,125 \text{ кН} \\ \sum M_B &= -M_1 - q4\left(\frac{4}{2} + 3\right) - F_1 \cdot 4 - F_2 \cdot 2 - M_2 + \\ &+ q2 \cdot \frac{2}{2} + M_3 + K \cdot 8 = 0; \quad K = \frac{63}{8} \text{ кН}\end{aligned}$$

Балкани оралиқ қирқимларга бўлиб эгувчи момент  $M$  ва кўндаланг күч тенгламаларини тузамиз (144-расм).

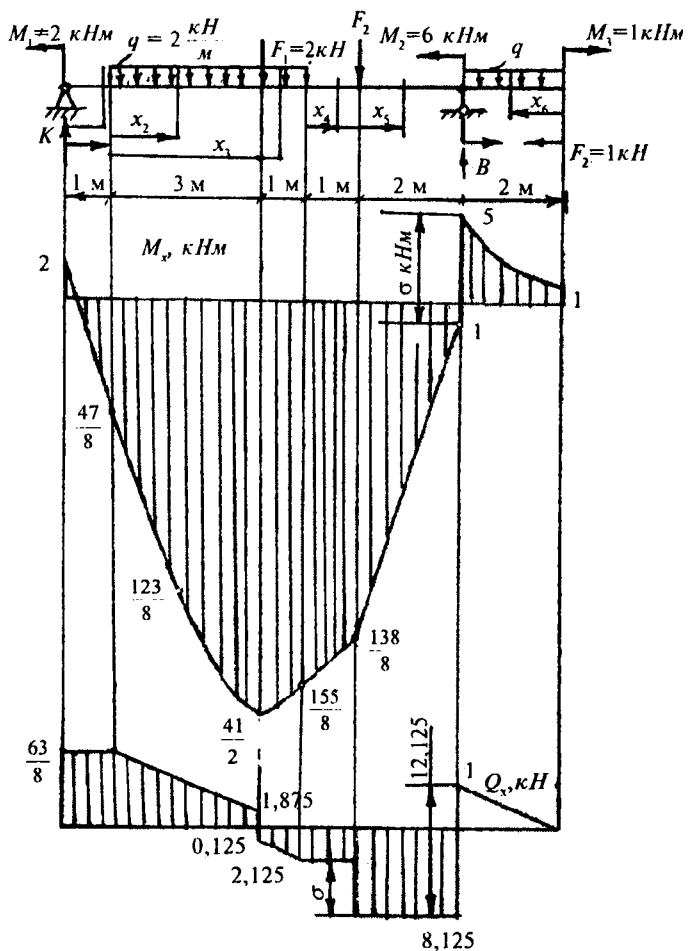
**I—I қирқим.**  $0 \leq x_1 \leq 1 \text{ м}$

$$\begin{aligned}M_{x_1} &= Kx_1 - M_1 \quad \text{ва} \quad Q_1 = K = \frac{63}{8} \text{ кН} \\ x_1 = 0, \quad M_{x_1} &= -2 \text{ кНм}, \quad x_1 = 1 \text{ м}, \quad M_{x_1} = \frac{47}{8} \text{ кНм}\end{aligned}$$

**II—III қирқим.**  $0 \leq x_2 \leq 3 \text{ м}$

$$\begin{aligned}M_{x_2} &= K(1 + x_2) - M_1 - q\frac{x_2^2}{2} \quad \text{ва} \quad Q_2 = K - qx_2 \\ x_2 = 0; \quad M_{x_2} &= \frac{47}{8} \text{ кНм}; \quad Q_2 = \frac{63}{8} \text{ кН} \\ x_2 = 1 \text{ м}; \quad M_{x_2} &= \frac{123}{8} \text{ кНм}; \quad Q_2 = \frac{39}{8} \text{ кН} \\ x_2 = 3 \text{ м}; \quad M_{x_2} &= \frac{41}{2} \text{ кНм}; \quad Q_2 = 1,875 \text{ кН}\end{aligned}$$

**III—III қирқим.**  $3 \leq x_3 \leq 4 \text{ м}; \quad Q_3 = K - qx_3 - F_1$



144-расм.

$$M_{x3} = K(1 + x_3) - M_1 - q \frac{x_3^2}{2} - F_1(x_3 - 3)$$

$$x_3 = 0; \quad M_{x_3} = \frac{41}{2} \kappa H m; \quad Q_3 = -0,125 \kappa H$$

$$x_3 = 4 m; \quad M_{x_3} = \frac{155}{8} \kappa H m; \quad Q_3 = -2,125 \kappa H$$

**IV—IV қирқим.**  $0 \leq x_4 \leq 1 m$

$$M_{x_4} = K(5 + x_4) - M_1 - q4(2 + x_4) - F_1(1 + x_4)$$

$$Q_4 = K - q \cdot 4 - F_1 = \frac{63}{8} - 2 \cdot 4 - 2 = -2,125 \kappa H$$

$$x_4 = 0; \quad M_{x_4} = \frac{155}{8} \kappa H m; \quad x_4 = 1 m; \quad M_{x_4} = \frac{138}{8} \kappa H m$$

**V—V қирқим.**  $0 \leq x_5 \leq 2 m$

$$M_{x_5} = K(6 + x_5) - M_1 - q4(2 + 1 + x_5) - F_1(2 + x_5) - 7,5 x_5$$

$$Q_5 = K - q \cdot 4 - F_1 - F_2 = \frac{63}{8} - 2 \cdot 4 - 2 - 6 = -8,125 \kappa H m$$

$$x_5 = 0; \quad M_{x_5} = \frac{138}{8} \kappa H m; \quad x_5 = 2 m; \quad M_{x_5} = 1 \kappa H m^{10}$$

**VI—VI қирқим.**  $0 \leq x_6 \leq 2 m$

$$M_{x_6} = -M_3 - q \frac{x_6^2}{2}; \quad Q_6 = qx_6$$

$$x_6 = 0; \quad M_{x_6} = -1 \kappa H m; \quad Q_6 = 0$$

$$x_6 = 1 m; \quad M_{x_6} = -2 \kappa H m; \quad Q = 2 \kappa H$$

$$x_6 = 2 m; \quad M_{x_6} = -5 \kappa H m; \quad Q_6 = 4 \kappa H$$

Балканинг оралиқ қирқимларидан күндаланған күч  $Q > 0$  бўлса, эгувчи момент  $M_x$  ўсувчи, агар  $Q < 0$  бўлса,  $M_x$  камаювчи бўлади. Тарқалган күч интенсивлиги  $-q$  таъсир қилган қирқимларда эгувчи момент эгри чизиқ (парабола) қонуни билан ўзгаради.  $Q$  күч мусбат ишорадан манфий ишорага ўтиш нуқтасида эгувчи момент тах қийматига эришади. Жуфт күч  $M$  таъсир қилиш нуқтасида эгув-

чи момент эпюрасида шу жуфт күч миқдорига тенг сакраш бўлади. Ташқи күч  $F$  қўйилган нуқтада  $Q$  күч эпюрасида  $F$  кучга тенг сакраш бўлади. Юқорида айтилган мулоҳазаларни ҳисобга олиб  $M_x$  ва  $Q_x$  ларнинг эпюрасини курамиз (144-расм).

**2-а масала.** Берилган балканинг эгувчи момент ( $M_x$ ) ва кўндаланг күч ( $Q$ ) эпюралари қурилсин.

**Ечиш.** Консоль балканинг  $x_1$  узунлигидага юқорига йўналган тўпланма күч  $F$  ва пастга йўналган тенг тақсимланган күч қ таъсир қиласди. Эгувчи момент ва кўндаланг күч тенгламаларини тузамиш:

$$M_{x_1} = Fx_1 - q \frac{x_1^2}{2}$$

$$Q_1 = -F + qx_1$$

$$x_1 = 0 \text{ да}$$

$$M_{x_1} = 0 \text{ ва } Q_1 = -F = -5 \text{ kH}$$

$$x_1 = 1 \text{ m};$$

$$M_{x_1} = 2,5 \text{ kNm} \text{ ва } Q_1 = 0$$

$$x_1 = 2 \text{ m};$$

$$M_{x_1} = 0 \text{ ва } Q_1 = 5 \text{ kH}$$

$$x_1 = 3 \text{ m};$$

$$M_{x_1} = -7,5 \text{ kNm} \text{ ва } Q_1 = 10 \text{ kH}$$

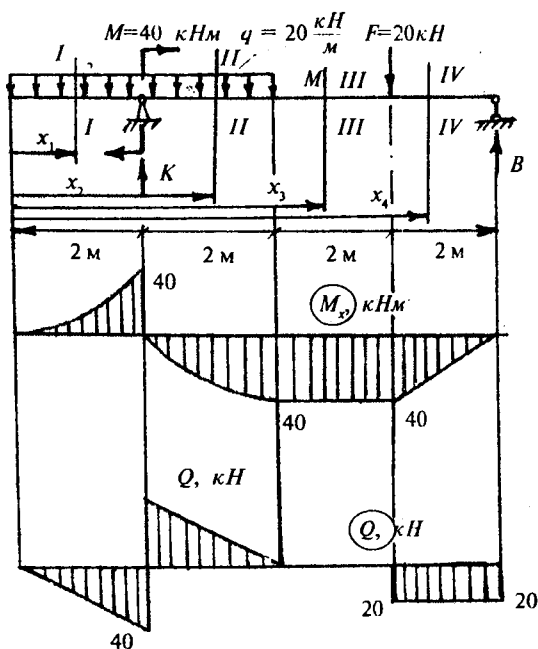
Ҳисобланган қийматлар асосида  $M_x$  ва  $Q$  эпюралари ни қурамиз (145-расм).

**2-б масала.** Эгувчи момент  $M_x$  ва кўндаланг күч  $Q$  эпюралари қурилсин (146-расм).

**Ечиш.** Пўлатдан тайёрланган балка К ва В нуқталарида таянчга таяниб турган. К ва В реакция кучларини топиш учун системанинг мувозанат ҳолатини қаноатлантирувчи статиканинг момент тенгламасидан фойдаланамиз:

$$\sum M_K = M + F \cdot 4 + q \frac{4}{2} - q \frac{4}{2} - B \cdot 6 = 0$$

$$\text{Бу ерда: } B = 20 \text{ kH}$$



146-расм.

$$\sum M_B = K \cdot 6 + M - F \cdot 2 - q \cdot 4 \left( \frac{4}{2} + 4 \right) = 0$$

Бу ерда:  $K = 80 \text{kH}$

Текшириш:  $\sum y = K + B - F - 4q = 0$

$$80 + 20 - 20 - 4 \cdot 20 = 0 \quad \text{ва} \quad 80 - 80 = 0$$

Энди балкани оралиқларга бўлиб, эгувчи момент ва кўндаланг куч эпюрасини қурамиз. I—I ва II—II қирқимлар оралиқларида  $M$  тақсимланган куч интенсивлиги билан иккинчи даражали боғланишда.

**I—I қирқим.**  $0 \leq x_1 \leq 2 \text{ m}$

$$M_{x_1} = -q \frac{x_1^2}{2}; \quad Q_1 = -qx_1$$

Агар  $x_1 = 0$  бўлса,  $M_{x_1} = 0$  ва  $Q_1 = 0$   
 Агар  $x_1 = 1\text{ м}$  бўлса,  $M_{x_1} = -10\text{ кНм}$  ва  $Q_1 = -20\text{ кН}$   
 Агар  $x_1 = 2\text{ м}$  бўлса,  $M_{x_1} = -40\text{ кНм}$  ва  $Q_1 = -40\text{ кН}$

**II-II қирқим.**  $2 \leq x_2 \leq 4\text{ м}$

$$M_{x_2} = q \frac{x_2^2}{2} + K(x_2 - 2) + M; \quad Q_2 = K - qx_2$$

$$x_2 = 2\text{ м}; \quad M_{x_2} = 0; \quad Q_2 = 40\text{ кН}; \quad x_2 = 3\text{ м}; \quad M_{x_2} = 30\text{ кНм}$$

$$Q_2 = 20\text{ кН}; \quad X_2 = 4\text{ м}; \quad M_{x_2} = 40\text{ кНм}; \quad Q_2 = 0$$

Эгувчи момент тенгламасида жуфт куч М қатнашганлиги учун  $M_{x_2}$  эпюрасида  $x_2 = 2\text{ м}$  кесимда  $M = 40\text{ кНм}$  қийматга тенг сакраш бўлади.

**III-III қирқим.**  $4 \leq x_3 \leq 6\text{ м}$

$$M_{x_3} = -q \cdot 4(x_3 - 2) + K(x_3 - 2) + M$$

$Q_3 = -4q + K = -4 \cdot 20 + 80 = 0$ , яъни кўндаланг куч III-III қирқим оралиғида нолга тенг экан. Демак,  $M_x$  нинг қиймати  $4 \leq x_3 \leq 6\text{ м}$  оралиқда ўзгармас ва абсциссага параллел жойлашиди.

$$x_3 = 4\text{ м}; \quad M_{x_3} = 40\text{ кНм} \quad \text{ва} \quad x_3 = 6\text{ м}; \quad M_{x_3} = 40\text{ кНм}$$

**IV-IV қирқим.**  $6 \leq x_4 \leq 8\text{ м}$

Эгувчи момент тенгламасини тузамиз:

$$M_{x_4} = -4q(x_4 - 2) + K(x_4 - 2) - F(x_4 - 6)$$

Кўндаланг куч тенгламасини тузамиз:

$$Q_4 = -4q + K - F = -4 \cdot 20 + 80 - 20 = -20\text{ кН}$$

$$x_4 = 6\text{ м}; \quad M_{x_4} = 40\text{ кНм}; \quad x_4 = 8\text{ м}; \quad M_{x_4} = 0$$

Энг катта эгувчи момент  $M_{x_4} = 40\text{ кН м}$

Эгилишда нормал кучланиш бўйича мустаҳкамлик шартига асосан қўштаврли кесим танлаймиз:

$$W_x = \frac{M_{x_{\max}}}{[6]} = \frac{40 \cdot 10^3}{160 \cdot 10^6} = 0,25 \cdot 10^{-3}\text{ м}^3$$

$W_x = 0,254 \cdot 10^{-3}\text{ м}^3$  га асосан қўштавр № 22 ни қабул қиласиз.

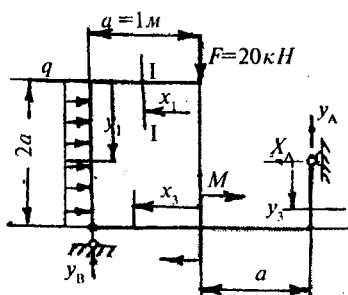
**3-масала.** Берилған рама учун  $M$  ва  $Q$  эпюралари қурилсін.

**Ечиш.** Реакция күчларини топамиз.

$$\sum x = -x_A + q \cdot 2a = 0 \text{ ёки } x_A = 2qa = 40 \text{ кН}$$

$$\sum M_B = 0$$

$$F \cdot a + q \cdot 2a \cdot \frac{2a}{2} + M - y_A \cdot 2a - x_A \cdot a = 0$$



147-расм.

Бұй ерда:

$$y_A = \frac{Fa + 2qa^2 + M - x_A a}{2a} = \\ = \frac{20 + 2 \cdot 20 \cdot 1^2 + 20 - 40 \cdot 1}{2 \cdot 1}$$

$$\text{ёки } y_A = 20 \text{ кН}$$

$$\sum M_A = y_B \cdot 2a + M - F \cdot a = 0$$

$$\text{ва } y_B = 0$$

$M$  ва  $Q$  тенгламаларни тұзамиз:

**I—I қириқим.**  $0 \leq x_1 \leq 1 \text{ м}$

$$M_{x_1} = F \cdot x_1 \quad \text{ва} \quad Q_1 = F = 20 \text{ кН}$$

$$x_1 = 0; \quad M_{x_1} = 0 \quad \text{ва} \quad x_1 = 1 \text{ м}; \quad M_{x_1} = 20 \text{ кНм}$$

**II-II қириқим.**  $0 \leq y_1 \leq 2 \text{ м}$

$$M_{x_2} = F \cdot 1 + q \frac{y_1^2}{2} \quad \text{ва} \quad Q_2 = qy_1; \quad N_2 = -F = -20 \text{ кН}$$

$$y_1 = 0; \quad M_{x_2} = 20 \text{ кНм}; \quad Q_2 = 0$$

$$y_1 = 1 \text{ м}; \quad M_{x_2} = 30 \text{ кНм}; \quad Q_2 = 20 \text{ кН}$$

$$y_1 = 2 \text{ м}; \quad M_{x_2} = 60 \text{ кНм}; \quad Q_2 = 40 \text{ кН}$$

**III-III қириқим.**  $0 \leq y_2 \leq 1 \text{ м}$

$$M_{x_3} = x_A \cdot y_2; \quad Q_3 = -x_A = -40 \text{ кН} \quad \text{ва} \quad N_2 = 20 \text{ кН}$$

$$y_2 = 0; \quad M_{x_3} = 0 \quad \text{ва} \quad y_2 = 1 \text{ м}; \quad M_{x_3} = 40 \text{ кНм}$$

**IV—IV қирқим.**  $0 \leq x_2 \leq 1\text{ м}$

$$M_{x_4} = x_A \cdot 1 + y_A x_2; \quad Q_4 = -y_A = -20 \text{ кН}; \quad N_4 = -x_A = -40 \text{ кН}$$

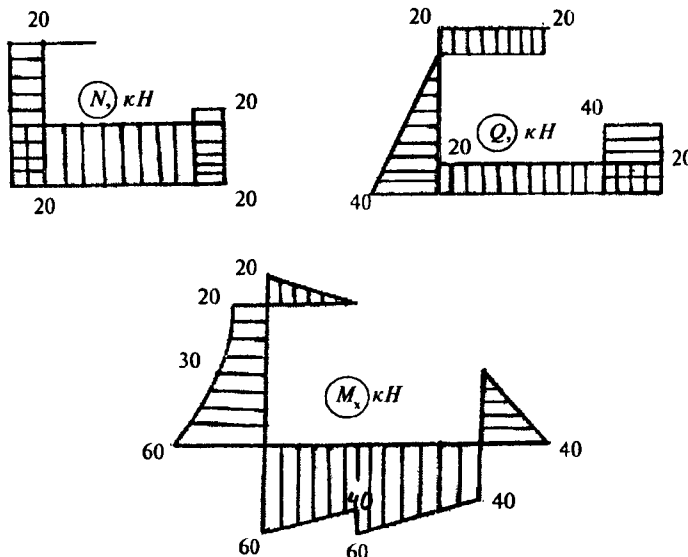
$$x = 0; \quad M_{x_4} = 40 \text{ кНм} \quad \text{ва} \quad x_4 = 1 \text{ м}; \quad M_{x_4} = 60 \text{ кНм}$$

**V—V қирқим.**  $0 \leq x_3 \leq 1\text{ м}$

$$M_{x_5} = x_A \cdot 1 + y_A (x_3 + 1) - M \quad \text{ва} \quad Q_5 = -y_A = -20 \text{ кН}$$

$$N_5 = -x_A = -40 \text{ кН}; \quad x_3 = 0; \quad M_{x_5} = 40 \text{ кНм}$$

$$x_3 = 1 \text{ м}; \quad M_{x_5} = 60 \text{ кНм}$$



148-расм.

**4-масала.** Схема (в) (149-расм).

Ечиш. Тақсимланган күч интенсивлигі  $q$  балка узунлигі бүйінша түғри чизиқ қонунияті билан ўзгаради.  $q$  — күчларни тенг таъсир қылувчиси учбұрчак юзаси билан үлчанади ва К нүктадан  $\left(\frac{\ell}{3}\right) = 1 \text{ м}$  масофада жойлашиди.

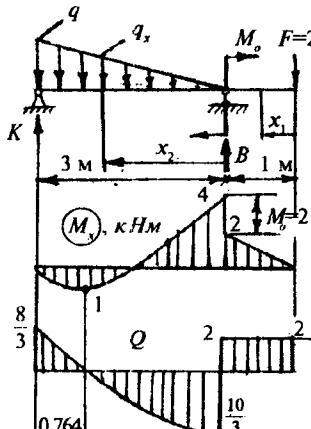
$$\sum M_K = F \cdot 4 + M_0 - B \cdot 3 + q \cdot 3 \cdot \frac{1}{2} \cdot \frac{1}{3} \cdot 3 = 0 \quad \text{ва} \quad B = \frac{16}{3} \kappa H$$

$$\sum M_B = K \cdot 3 - \frac{q \cdot 3}{2} \cdot \frac{2}{3} \cdot 3 + M_0 + F \cdot 1 = 0 \quad \text{ва} \quad K = \frac{8}{3} \kappa H$$

Текшириш:  $\sum y = K - q \cdot \frac{3}{2} + B - F = 0$

$$\frac{8}{3} - 4 \cdot \frac{3}{2} + \frac{16}{3} - 2 = 0$$

Эгувчи момент  $M_x$  ва күндаланг күч  $Q$  ни топиш учун балканинг узунлиги бўйлаб иккита оралиқка бўламиз. Оралиқлар бошланишини  $K$  нуқтадан ёки  $F$  күч қўйилиш нуқтасидан олиш мумкин:



149-расм.

$$Q_{x_1} = K - q_x \cdot x_1 - \frac{q - q_x}{2} \cdot x_1$$

$$M_{x_1} = Kx_1 - q_x \frac{x_1^2}{2} - \frac{(q - q_x)}{2} \cdot \frac{2}{3} x_1$$

$$0 \leq x_1 \leq 3 \text{ м}$$

$x_1$  — оралиқда юк юзаси баландлиги  $q_x$  га тенг тўртбurchакдан ва баландлиги бўлган  $q - q_x$  учбурчакдан иборат. Катта ва

кичик учбурчакларнинг ўхшашлигидан  $\frac{q}{3} = \frac{q_x}{3 - x_1}$  ёки  
 $q_x = q \frac{3 - x_1}{3} = q \left(1 - \frac{x_1}{3}\right)$  ифодани ҳисобга олсак,

$$M_{x_1} = Kx_1 - q \left(1 - \frac{x_1}{3}\right) \frac{x_1^2}{2} - \left[ \frac{q - q \left(1 - \frac{x_1}{3}\right)}{2} \right] x_1 \cdot \frac{2}{3} x_1 = Kx_1 - q \frac{x_1^2}{2} +$$

$$+ q \frac{x_1^3}{6} - q \frac{x_1^3}{9} = Kx_1 - q \frac{x_1^3}{2} + q \frac{x_1^3}{18}$$

$$Q_1 = K - qx_1 + q \frac{x_1^2}{3} - \frac{\left[ q - q \left( 1 - \frac{x_1}{3} \right) \right]}{2} x_1 = K - qx_1 + q \frac{x_1^2}{6}$$

Эгувчи момент ва күндаланг күч тенгламаларини бал-канинг күч қўйилган нуқтасидан бошлаб ҳам тузиш мумкин.

**I—I қирқим.**  $0 \leq x_1 \leq 1 \text{ м}$

$$\begin{aligned} M_{x_1} &= -Fx_1; & Q_1 &= F_1 = 2\kappa H; \\ x_1 &= 0; & M_{x_1} &= 0; & x_1 &= 1 \text{ м}; & M_{x_1} &= -2\kappa H \end{aligned}$$

**II—II қирқим.**  $0 \leq x_2 \leq 3 \text{ м}$

$$M_{x_2} = -F(1+x_2) - M_0 + Bx_2 - q_x \frac{x_2}{2} \cdot \frac{x_2}{3}; \quad Q_2 = F - B + q_x \cdot \frac{x_2}{2}$$

$q_x$  — ўзгарувчан интенсив юкни В таянчдан  $x_2$  масофада жойлашган қиймати бўлиб,  $\frac{q}{3} = \frac{q_x}{x_2}$  ёки  $q_x = q \cdot \frac{x_2}{3}$  ифода билан топилади.

$$M_{x_2} = -F(1+x_2) - M_0 + Bx_2 - q \frac{x_2^3}{18}; \quad Q_2 = F - B + q \frac{x_2^2}{6}$$

$$x_2 = 0; \quad M_2 = -4\kappa Hm; \quad Q_2 = -\frac{10}{3}\kappa H$$

$$x_2 = 1 \text{ м}; \quad M_{x_2} = -\frac{8}{9}\kappa Hm; \quad Q_2 = -\frac{16}{6}\kappa H$$

$$x_2 = 3 \text{ м}; \quad M_{x_2} = 0; \quad Q_2 = -\frac{8}{3}\kappa H; \quad Q = F - B + q \cdot \frac{x_2^2}{6} = 0$$

ёки  $x_2^2 = 5$ , демак,  $x_2 = 2,236 \text{ м}$  бўлса,

$$Q_2 = 0; \quad M_{x_2} = M_{\max} = 1\kappa Hm$$

### 6.3. ЭГИЛИШДА НОРМАЛ КУЧЛАНИШНИ АНИҚЛАШ

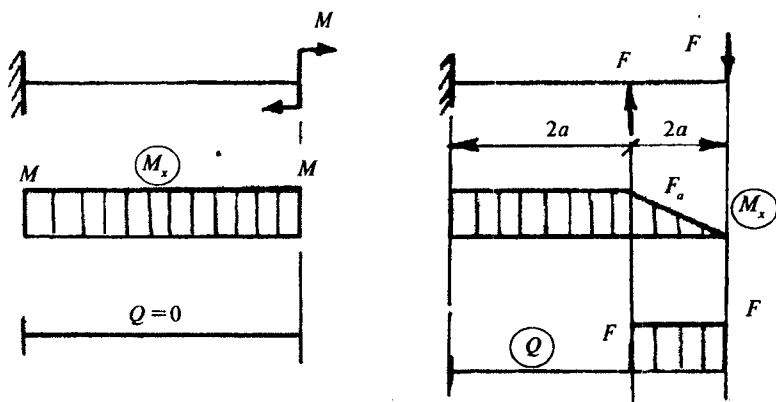
Эгилишда бруснинг кўндаланг кесим юзасида эгувчи момент ва кўндаланг куч ҳосил бўлади. Ўзаро тенг  $F$  кучлар билан юкланган балкани  $m - p$  кесимида пастга йўналган ички куч —  $Q$  таъсир қиласи. Кўндаланг куч  $Q$  балкани кесилган юзасига  $m - p$  текисликка уринма бўлиб йўналган. Шунинг учун бу юзада уринма кучланиш  $\tau$  ҳосил бўлади (150-расм).

Вертикал текисликда жойлашган  $C$  ва  $Q$  кучлари балкани  $X$  оралиқда  $M = CX$  жуфт куч моментини ҳосил қиласи. Жуфт куч моменти  $M$  балкани  $m - p$  текислигидаги кесим юзасида нормал кучланишлар  $\sigma$  ни келтириб чиқаради.

Демак, балкани  $C$  таянчидан  $X$  масофада жойлашган кесим юзасида  $\tau$  ва  $\sigma$  кучланишлари ҳосил бўлиб, бу кучланишлар балканинг бир кесимидан иккинчи кесимига узатилади (150-расм).

Берилган балканинг  $m - p$  кесимидан нормал кучланиш  $\sigma$  ни топиш учун шу кесимдаги уринма кучланишнинг қийматини, унинг кесим юзасидаги тарқалиш хусусиятини билишимиз керак. Кесим юзасидаги  $\tau$  номаълум бўлганлиги учун нормал кучланишни балканинг бу кесимидағи кучланганлик ҳолатидан фойдаланиб топа олмаймиз, чунки  $\sigma$  ва  $\tau$  ўзаро боғланишда. Демак, иккита кучланишдан биттасини топиш учун уларнинг биттаси берилган бўлиши ёки нолга тенг бўлиши керак. Балканинг  $X$ , оралиғидаги  $m_1 - p_1$  кесимида  $Q = C - F = F - F = 0$  ёки  $\tau = 0$  бўлганлиги учун бу кесимда фақат  $M = Fa$  эгувчи момент ёки нормал кучланишлар —  $\sigma$  таъсир қиласи. Эгилишдаги кучланиш ҳолатининг кўндаланг куч нолга тенг бўлган хусусий ҳоли соф эгилиш дейилади. Соф эгилиш оралиқда эгувчи момент ўз қийматини ўзгартирмайди. Фақат  $M = Fa$  эгувчи момент (нормал кучланишлар —  $\sigma$ ) таъсир қиласи. Эгилишдаги кучланиш ҳолатини кўндаланг куч нолга тенг бўлган хусусий ҳоли соф эгилиш дейилади. Соф эгилишда эгувчи момент ўз қийматини ўзгартирмайди ( $M = \text{const}$ ), кўндаланг куч эса нолга

тeng ( $Q = 0$ ). Демак, уринма күчланиш нолга teng бўлиб, фақат нормал күчланишлар таъсиридаги балканинг дефор-



мацияси соф эгилиш экан. Куйидаги балкалар соф эгилишда:

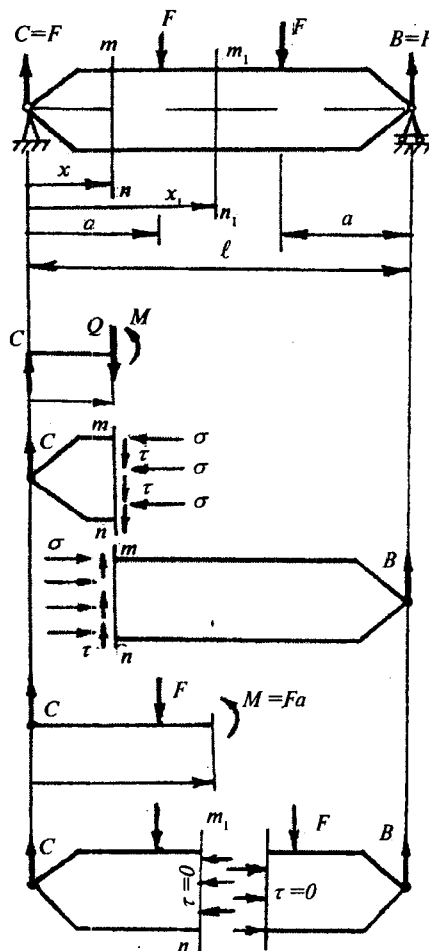
Нормал күчланишни соф эгилиш ҳолатидан фойдаланиб топамиз.

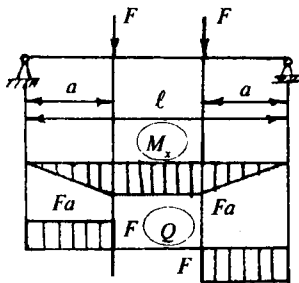
Бунинг учун қуйидаги гипотезалардан фойдаланамиз: балканинг деформациясигача текис бўлган кўндаланг кесим юзаси деформациядан кейин ҳам текислигича қолади (151-расм) ва бир-бирига нисбатан  $\theta$  бурчакка оғади: ўзаро параллел бўйлама чизиқлар эргиланади ва параллелигича қолади. Юқоридаги бўйлама чизиқлар сиқилади, пастдагилари эса чўзилади (тескари ҳолат ҳам мавжуд); балканинг материали Гук қонунига бўйсунади; чўзиладиган ва сиқиладиган толалар учун  $E = \text{const}$  деб қабул қилинади; толалар бир-бирига вертикал текисликда босим кўрсатмайди. Демак, 152-расмдаги ав чизиқ сиқилади, cd чизиқ эса чўзилади. Сиқиладиган ва чўзиладиган толалар орасидаги  $O_1 O_2$  тола чўзилмайди ҳам, сиқиладиди ҳам. Шунинг учун  $O_1 O_2$  толанинг узунлиги ўзгартмайди, яъни  $O_1 O_2 = O'_1 O'_2 = dx$ . Балканинг деформацияланшида ўз узунлигини ўзгартирмайдиган тола нейтрал тола дейилади. Нейтрал тола билан кўндаланг кесимнинг кешишидан ҳосил бўлган чизиқ нейтрал ўқ дейилади. 152-

расмдан  $cd$  толанинг нисбий узайишини топамииз:

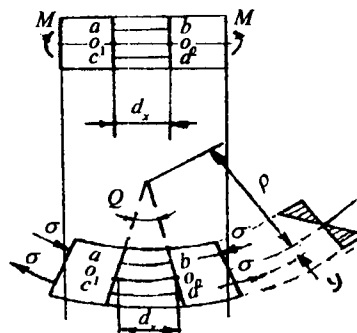
$$\varepsilon = \frac{\Delta_{cd}}{cd} = \frac{c_1 d_1 - cd}{cd} = \frac{c_1 d_1 - dx}{dx}$$

Бу ерда:  $c_1 d_1 = \theta(\rho + y)$  ва  $dx = \theta \cdot \rho$





151-расм.



152-расм.

У ҳолда:  $\varepsilon = \frac{y}{\rho}$  ифодани  $\sigma = \varepsilon \cdot E$  — Гук қонунига келтириб қўйилса,

$$\sigma = \frac{y}{\rho} E \quad (6.6)$$

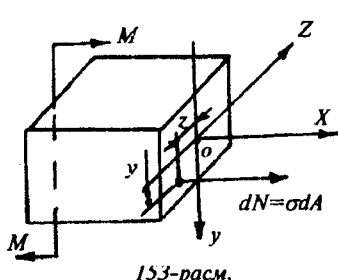
(6.6) формула ёрдамида нормал кучланиш кесим юзанинг баландлиги бўйлаб ўзариш қонуниятини аниқлаш мумкин:

$$y = 0 \text{ бўлса, } \sigma = 0 \quad \text{ва} \quad y = y_{\max} \text{ бўлса, } \sigma = \sigma_{\max}$$

Демак, нормал кучланиш кесимининг марказида, яъни нейтрапал ўқда нолга teng ва кесимнинг сиртида, яъни кесимнинг нейтрапал ўқдан энг узоқда жойлашган нуқтасида катта қийматга эришар экан. Нормал кучланишнинг бундай ўзариш графикаси тўғри чизикдир (152-расм).

(6.6) формуладан  $\sigma$  ни топиш учун уни ташқи куч ёки эгувчи момент билан боғлашимиз керак. Бунинг учун балкадан ажратиб олинган  $d$ , узунликдаги кесимини ташқи куч моменти  $M$  ва ички бўйлама куч  $dN$  таъсиридаги мувозанатини статиканинг тенгламалари ёрдамида текширамиз. Соғ эгилишда кесим юзасидаги элементар  $dN$  бўйлама кучларининг таъсир этувчиси нолга teng бўлади:

$$\sum X = N = \int_A \sigma \cdot dA = 0 \quad \text{ва} \quad \int_A \frac{E}{\rho} y dA = 0$$



153-расм.

батан статик моменти нолга тенгдир. Шунинг учун  $OZ$  ўқесим юзасининг оғирлик марказидан ўтади.

Ички бўйлама куч ва момент  $M$  кесим юзаси  $y$  ва  $z$  ўқларига проекция бермайди. Шунинг учун  $\sum Z = 0$ ;  $\sum y = 0$  тенгламаларидан фойдаланмаймиз. Шунингдек,  $dN$  ва  $M$  кесим юзасини  $OX$  ва  $OY$  ўқларига нисбатан моментлари ҳам айниятга айланганлиги учун  $\sum M_x = 0$  ёки  $\sum M_y = 0$  тенгламаларидан фойдаланмаймиз. У ҳолда  $\sum M_z = 0$  тенгламани тузамиз:

$$M_z = \int_A dN \cdot y = \int_A \sigma \cdot dA \cdot y = \int_A \frac{E}{\rho} y^2 dA = \frac{E}{\rho} \cdot \int_A y^2 dA$$

Бу ифодадаги интеграл балка кесим юзасининг оз ўққа нисбатан инерция моментини билдиради —  $I_z = \int_A y^2 dA$ . У ҳолда:  $M_z = \frac{E}{\rho} \cdot I_z$  ни ҳосил қиласиз. Бу тенгликдан  $\frac{1}{\rho} = \frac{M_z}{EI_z}$  — нейтрал қатлам эгрилигини (6.6) формулага қўйиб эгилашда нормал кучланиш формуласини топамиз:

$$\sigma = \frac{M_z \cdot y}{I_z} \quad (6.7)$$

(6.7) формула балка кўндаланг кесим юзасида нейтрал ўқдан у масофадаги горизонтал чизиқда ётувчи исталган нуқтадаги кучланишни топиш учун ишлатилади. Агар,  $y = y_{max}$  ва  $M_z = M_{max}$  бўлса,

Интеграл остидаги  $\frac{E}{\rho}$  қиймат ўзгармас миқдор ва нолга тенг бўлмаганлиги учун уни интеграл ишораси олдига чиқарамиз ва бутун тенгликни шу қийматга қисқартирамиз. Унда интеграл  $\int_A y dA = 0$  кесим юзаси-нинг нейтрал ўқ  $OZ$  га нис-

$$\sigma = \sigma_{\max} = \frac{M_{\max} \cdot y_{\max}}{I_z} \quad \text{ёки} \quad \sigma_{\max} = \frac{M_{\max}}{\frac{I_z}{y_{\max}}} = \frac{M_{\max}}{W_z} \quad (6.8)$$

Бу ерда:  $W_z$  — кесимнинг оз ўққа нисбатан қаршилик моменти.

Эгилишда нормал кучланиш бўйича мустаҳкамлик шарти қуидагида ёзилади:

$$\sigma_{\max} = \frac{M_{\max}}{W} \leq [\sigma] \quad (6.9)$$

(6.9) формула асосида, материаллар қаршилигига уч хил масала ечилиши мумкин:

1. Конструкцияга қўйилиши мумкин бўлган юкнинг қиймати топилади:  $M_{\max} = [\sigma] \cdot W \text{ kH} \cdot \text{m}$

2. Конструкциянинг кесими танланади:  $W \geq \frac{M_{\max}}{[\sigma]} ; \text{ m}^3$

3. Конструкциянинг мустаҳкамлик шарти текширилади:

$$\sigma_{\max} = \frac{M_{\max}}{W} \leq [\sigma]$$

Агар балканинг материали чўзилиш ва сиқилишга ҳар хил қаршилик кўрсатса, яъни  $[\sigma]_v \neq [\sigma]_c$  бўлса, у ҳолда:

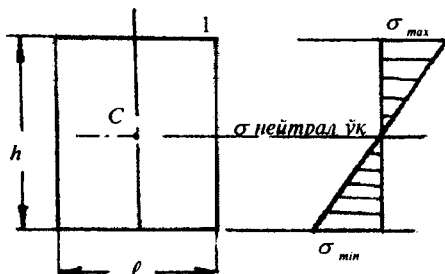
$$\sigma_{\max.v} = \frac{M_{\max}}{W_1} \leq [\sigma]_v \quad \text{ва} \quad \sigma_{\max.c} = \frac{M_{\max}}{W_2} \leq [\sigma]_c \quad (6.10)$$

### 6.3.1. ТУРЛИ КЕСИМЛАР УЧУН НОРМАЛ КУЧЛANIШ ЭПЮРАСИ

1. Тўғри тўртбурчак (С нуқта кесимининг оғирлик маркази).

Мустаҳкамлик шарти:

$$\sigma_{\max \min} = \frac{M_{\max}}{W_x} \leq [\sigma]; \quad W_x = \frac{bh^2}{6}$$



154-расм.

У ҳолда:

$$\frac{6M_{\max}}{bh^2} \leq [\sigma]$$

2. Доира. Кесимнинг қаршилик моменти:

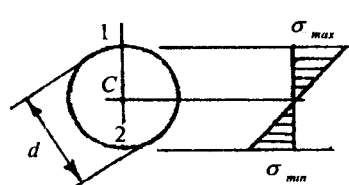
$$W_x = W_y = \frac{\pi \cdot d^3}{32}$$

Мустаҳкамлилік шар-

$$\text{ти } \frac{\sigma_{\max}}{\sigma_{\min}} = \frac{32M_{\max}}{\pi \cdot d^3} \leq [\sigma]$$

3. Учбұрчак. Кесимнинг 1 ва 2-нуқталари нейтрал ўқдан әнг узоқда жойлашған.

Қаршилик моментлар:



155-расм.

$$W_x^1 = \frac{bh^2}{24} \text{ ба } W_x^{11} = \frac{bh^2}{12}$$

Мустаҳкамлилік шарти:

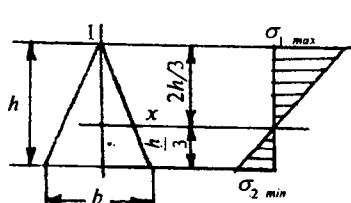
$$\sigma_{1\max} = \frac{M_{\max}}{W_x^1} \leq [\sigma]$$

$$\sigma_{2\min} = \frac{M_{\max}}{W_x^{11}} \leq [\sigma]$$

4. Түгри бурчаклы құштавр.

Оғирлік маркази координатасы:

$$y_1 = y_2 = \frac{H}{2}$$



156-расм.

$$W_x = \frac{dh^3}{6H} + \frac{b}{H} (H^3 - h^3),$$

$$W_y = \frac{d^3 h}{6b} + \frac{b^2}{6} (H - h)$$

$$\sigma_{1\max} = -\sigma_{2\max} = \frac{M_{\max}}{W_x} \leq [\sigma]$$

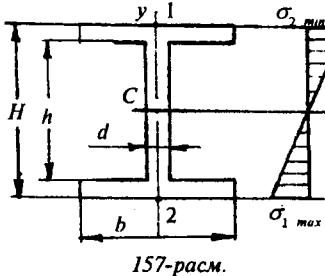
$$A = bc_1 + d(h + h_1) + BC$$

$$b_1 = b - d \quad B_1 = B - d;$$

$$y_1 = \frac{dH^2 + B_1 C^2 + b_1 C_1 (2H - C_1)}{dH + B_1 C + b_1 C_1}$$

$$I_y = \frac{1}{12} [B^3 C + b^3 C_1 + d^3 (h + h_1)]$$

$$I_x = \frac{1}{3} (By_1^3 - B_1 h^3 + by_1^3 - b_1 h_1^3);$$

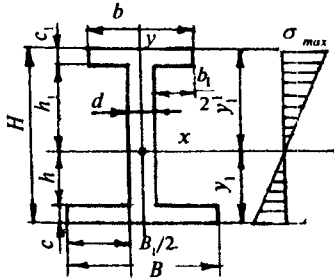


157-расм.

**5. Трапеция.**  
Мустаҳкамлык шарти:

$$\sigma_{1\max} = \frac{M_{\max}}{W_x^1} \leq [\sigma]$$

$$\sigma_{2\max} = \frac{M_{\max}}{W_x^{11}} \leq [\sigma]$$



158-расм.

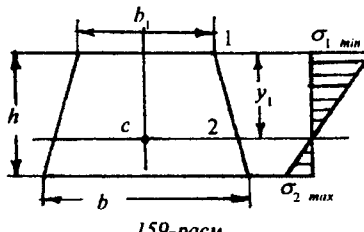
Тенг томонли бўлмаган  
трапеция учун қаршилик  
моменти ва С нуқта координаталари:

$$W_x^1 = \frac{h^2(b^2 + 4bb_1 - b_1^2)}{12(2b + b_1)}; \quad W_x^{11} = \frac{h^2(b^2 + 4bb_1 + b_1^2)}{12(2b + b_1)}$$

Биринчи ва иккинчи нуқта координаталари:

$$y_1 = \frac{2b + b_1}{3(b + b_1)}$$

$$y_2 = \frac{b + 2b_1}{3(b + b_1)}$$

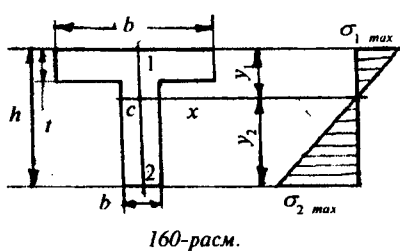


159-расм.

Юқори асоси  $b_1$  ва  
пастки асоси  $b = b_1 + b_0$   
бўлган тенг томонли тра-  
пеция учун қаршилик моменти:

$$W_{x1} = \frac{h^2(6b_1^2 + 6b_1b_0 + b_0^2)}{12(3b_1 + 2b_0)}; \quad y_1 = \frac{3b_1 + 2b_0}{3(2b_1 + b_0)} \cdot h$$

**6. Таврли кесим. Оғирлик марказининг координаталари:**



$$y_1 = \frac{1}{2} \frac{(B-b)t^2 + bh^2}{(B-b)t + bh}$$

$$y_2 = h - y_1$$

$$A = (B-b)t + bh$$

Мустаҳкамллик шарти:

$$\sigma_{1\max} = \frac{M_{\max}}{W_{x1}} \leq [\sigma] \quad \text{ва}$$

$$\sigma_{2\max} = \frac{M_{\max}}{W_{x2}} \leq [\sigma]$$

Қаршилик моменти:

$$W_{x1} = \frac{\frac{1}{3} [(B-b)t^3 + bh^3]}{y_1} - y_1 [(B-b)t + bh]$$

$$W_{x2} = \frac{\frac{1}{3} [(B-b)t^3 + bh^3] - y_1^2 A}{y_2}$$

#### 6.4. ЭГИЛИШДА УРИНМА КУЧЛАНИШНИ АНИҚЛАШ

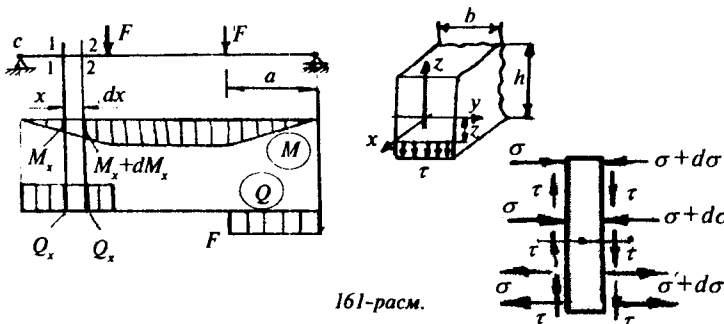
Шакли түғри бурчакли кесимнинг бўйлама ўқига перпендикуляр бўлган кўндаланг юзадаги уринма кучланишни топамиз (161-расм). Соф эгилишдан фарқли бу юзада нормал  $\sigma$  ва уринма кучланиш  $\tau$  ҳосил бўлади, чунки балканинг шу оралиғида эгувчи момент ҳам, кўндаланг куч ҳам нолга teng эмас.

Уринма кучланиш тўғрисида қуйидаги фикрларни юритамиз:

1. Кўндаланг куч  $Q$  барча ички уринма кучланишларнинг teng таъсир қилувчиси. Уринма кучланишларнинг

йўналиши кўндаланг куч йўналиши билан мос тушади. (161-расм).

2. Кесимнинг нейтрал ўқидан бир хил масофада жойлашган юзалардаги уринма кучланишлар ўзаро тенгдир (161-расм).

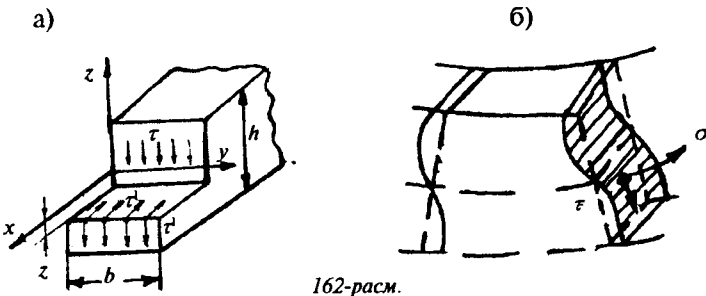


3. Уринма кучланишларнинг жуфтлик аломатига кўра балканинг кўндаланг кесимида перпендикуляр бўлган бўйлама кесимида уринма кучланишлар ҳосил бўлади (162-расм), яъни:  $\tau = -\tau'$ .

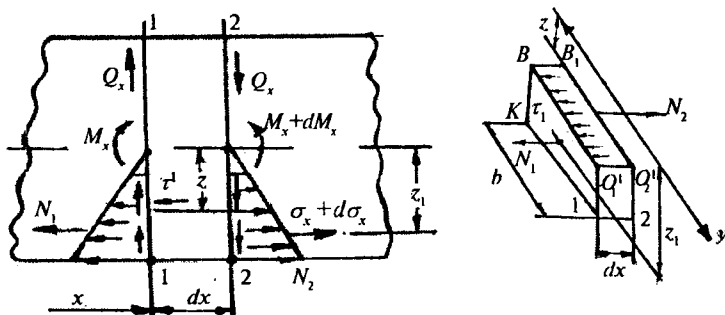
Демак, балканинг бўйлама ўқи йўналишида ҳам уринма кучланишлар —  $\tau'$  ҳосил бўлар экан, улар балка толалирини бир-бирига нисбатан силжитади.

4. Текис кўндаланг эгилиш гипотезасига асосан деформациягача текис бўлган кўндаланг кесим юзалар деформациядан кейин қисман эгриланади (162-б расм).

Кўндаланг кесимнинг бундай қисман эгриланиши нормал кучланишнинг тарқалиш қонуниятига таъсир қил-



майди, шунинг учун эгилишда уринма кучланишни топишда толаларнинг силжиши гипотезаси ҳисобга олинмайди. Эгилишда уринма кучланиш формуласини келтириб чиқариш учун, балкани С таянч нуқтасидан X ва кесимнинг нейтрал қатламидан Z масофада жойлашган  $dx$  элементар узунлиқдаги қисмини ажратиб оламиз (163-расм).



163-расм.

Ажратиб олинган түғри бурчакли элементнинг горизонтал  $BB_1O'_1O'_2$  юзаси  $\tau'$  уринма кучланишлари; вертикал  $BKO'_1$  юзаси  $N_1$  ва унга параллел юзада  $N_2$  ички бўйлама кучлари таъсирида бўлади (163-расм).  $BB_1O'_1O'_2$  юзадаги  $\tau'$  уринма кучланишларнинг тенг таъсир қилувчиси  $d\Gamma = \tau' b dx$  балкани бўйлама ўқига параллел йўнадади.  $BO'_1$  қиррага таъсир қилаётган  $N_1$  бўйлама куч  $BKO'_1$  юзадаги  $\sigma_x$  нормал кучланишларнинг тенг таъсир қилувчиси, яъни:

$$N_1 = \int_0^A \sigma_x dA = \frac{M_x}{I_y} \int_0^A Z_1 dA$$

Бу ерда интеграл  $\int_0^A Z_1 dA$  балканинг нейтрал қатламидан Z масофада ажратиб олинган  $BKO'_1$  юзанинг нейтрал ўқ — У га нисбатан статик моменти, яъни:

$$S_y^0 = \int_0^A Z_1 dA$$

У ҳолда  $N_1 = \frac{M_x}{I_y} \cdot S_y^0$  ҳосил бўлади.  $B_1 O'_2$  қиррага таъсир қилаётган  $N_2$  ички бўйлама куч  $\sigma_x + d\sigma_x$  нормал кучланишларнинг тенг таъсир қилувчиси, яъни:

$$N_2 = \int_0^A (\sigma_x + d\sigma_x) dA = \frac{M_x + dM_x}{I_y} \int_0^A Z_1 dA = \frac{M_x + dM_x}{I_y} S_y^0$$

Ажратиб олинган элементнинг мувозанат шартини ёзамиш:

$$\sum x = N_1 + dT - N_2 = 0 \text{ ёки}$$

$$\frac{M_x}{I_y} \cdot S_y^0 + \tau^1 b dx - \frac{(M_x + dM_x)}{I_y} \cdot S_y^0 = 0$$

Айрим соддалаштиришлардан кейин:  $\tau = \frac{dM_x}{dx} \cdot \frac{S_y^0}{I_y \cdot b}$  ҳосил бўлади. Агар,  $\frac{dM_x}{dx} = Q_x$  дифференциал боғланишни ҳисобга олсак, эгилишда уринма кучланиш формуласи келиб чиқади:

$$\tau = \frac{Q_x \cdot S_y^0}{I_y \cdot b} \quad (6.11)$$

Бу ерда:  $S_y^0$  — ажратиб олинган элементнинг  $BKO'_1$  юзасини, яъни балканинг нейтрал ўқидан  $Z$  масофадан пастда ва балка кесимининг четки 1 нуқтасидан юқорида қолган  $BKO'_1$  юзасини нейтрал ўқ — Уга нисбатан статик моменти;

$b$  — кучланиши текширилаётган нуқта жойлашган кесим юзасининг эни;

$I_y$  — балка кесим юзасининг нейтрал ўқ — Уга нисбатан инсерция моменти.

(6.11) формула Журавский формуласи дейилади. Демак, эгилишда уринма кучланиш ( $Q_x = const$  ва  $I_y = const$ ) кесимнинг баландлиги бўйлаб кучланиши текширилаётган нуқтанинг ўрнига ва шу нуқта жойлашган кесимнинг эни —  $b$  га боғлиқ экан. Амалиётда ҳамма конструкция қисмларининг кесими ҳам баландлиги бўйлаб

ўзгармас энли бўлавермайди. Ўзгарувчан энли кесимларда т кесим энининг ўзгариш нуқтасида икки хил қийматга эга бўлади.

(6.11) формулага асосан т кесимнинг баландлиги бўйлаб эгри чизиқли қонуният билан ўзгаради. 164-расмдан кўринишича,  $Z$  масофа қанчалик кичик бўлса,  $BKO_1^f$  юза шунча катталашади. Демак, кучланиши текширилаётган нуқта нейтрал ўқса яқинлашса, ундаги уринма кучланиш т ҳам катталашар экан. Агар, кучланиши текширилаётган нуқта  $B$  ёки  $O_1^f$  нуқталар нейтрал ўқдан энг узоқда жойлашса, яъни  $B$  нуқта 1 нуқта билан устма-уст тушса, унда ажратилган элементнинг юзаси нолга teng бўлади,  $BKO_1^f$  юзани  $Y$  ўқига нисбатан статик моменти ҳам нолга teng бўлади. Демак,  $Z = Z_{\max}$  нуқтада, яъни кесимнинг четки нуқтасида уринма кучланиш нолга teng бўлар экан.

Юқоридаги фикрларга асосан уринма кучланиш кесимнинг нейтрал қатламида энг катта қийматга ва кесимнинг четки нуқталарида ноль қийматга эришар экан.

#### 6.4.1. ЖУРАВСКИЙ ФОРМУЛАСИННИ ТУРЛІ КЕСИМЛАРГА ТАТБИҚ ЭТИШ

##### 1. Тўғри тўртбурчак.

Уринма кучланишнинг тарқалиш қонуниятини аниқлаш учун Журавский формуласидан фойдаланамиз:

$$\tau = \frac{QS_y^0}{I_y b}$$

Бу ерда:  $S_y^0$  — тўғри тўртбурчакнинг кесим юзасидан ажратилган ВКСД штрихланган юзанинг  $Y$  ўқига нисбатан статик моменти, яъни:

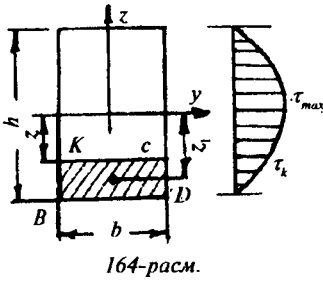
$$S_y^0 = A_{BKSd} \cdot Z_1$$

$A_{BKSd} = \sigma \left( \frac{h}{2} - Z \right)$  — ажратилган ВКСД штрихланган юза.

$Z_1 = \frac{h}{2} - \frac{1}{2} \left( \frac{h}{2} - Z \right)$  — ажра-  
тилган ВКСД юзанинг оғирлик марказидан нейтрал ўқигача бўлган масофа. У ҳолда:

$$S_y^0 = b \left( \frac{h}{2} - Z \right) \left[ \frac{h}{2} - \frac{1}{2} \left( \frac{h}{2} - Z \right) \right] =$$

$$= \frac{b}{2} \left( \frac{h^2}{4} - Z^2 \right)$$



$I_y = \frac{bh^3}{12}$  — тўғри тўртбурчакнинг марказий ўқига нисбатан инерция моменти.

$$\text{У ҳолда: } \tau = \frac{Q \cdot \frac{b}{2} \left[ \frac{h^2}{4} - Z^2 \right]}{\frac{bh^3}{12} \cdot b} = \frac{6Q \left[ \frac{h^2}{4} - Z^2 \right]}{bh^2} \quad (6.12)$$

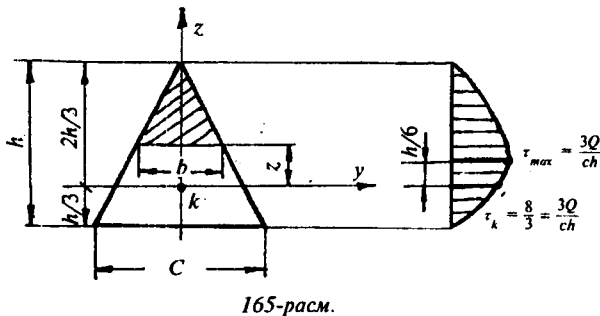
Бу срда:  $0 \leq Z \leq \frac{h}{2}$ . Агар  $Z = 0$  бўлса,  $\tau = \tau_{\max} = \frac{3Q}{2bh}$  ва  $Z = \frac{h}{2}$  бўлса,  $\tau = 0$ .

(6.12) формулада  $Z$  масофа иккинчи даражада, шунинг учун тўғри тўртбурчакнинг баландлиги бўйлаб парабола қонунияти билан ўзгаради, тўғри тўртбурчакнинг четки нуқталарида т ноль қийматга ва нейтрал қатламида энг катта қийматга эришади.

**2. Учбурчак.** Учбурчақдан ажратилган (штрихланган) юзанинг  $Y$  ўққа нисбатан статик моментини ёзамиш:

$$S_y^0 = \frac{b}{3} \left( \frac{2h}{3} - Z \right) \left( \frac{h}{3} + Z \right)$$

Учбурчакнинг оғирлик марказидан ўтган ўқ  $Y$  га нисбатан инерция моменти —  $I_y = \frac{ch^3}{36}$  ни ва статик моментни Журавский формуласига келтириб қўямиз:



165-расм.

$$\tau = \frac{QS_y^0}{I_y b} = \frac{Q \cdot \frac{b}{3} \left( \frac{2h}{3} - Z \right) \left( \frac{h}{3} + Z \right)}{\frac{ch^3}{36} b} = \frac{12Q \left( \frac{2h}{3} - Z \right) \left( \frac{h}{3} + Z \right)}{ch^3}$$

Бу ерда:  $-\frac{h}{3} \leq Z \leq \frac{2h}{3}$

Агар:  $Z = -\frac{h}{3}$  бўлса,  $\tau = 0$  (пастки четки нуқта)

$Z = \frac{2h}{3}$  бўлса,  $\tau = 0$  (юқори четки нуқта)

$Z = 0$  бўлса,  $\tau = \frac{8}{3} \cdot \frac{Q}{ch} = \tau_k$

$Z = \frac{h}{6}$  масофада  $\tau = \tau_{\max} = \frac{3Q}{ch}$

Демак, учбурчаксимон кесимларда уринма кучланиш нейтрал қатламдан  $\frac{h}{6}$  масофада жойлашган нуқтада максимал қийматга эришар экан.

**3. Доиравий кесим.** Нейтрал қатламдан  $Z$  масофада (166-расм) жойлашган  $B$ ,  $K$  нуқталардаги уринма кучланишни топамиз. Бу нуқталардаги уринма кучланишлар доиравий кесимнинг шу нуқтасидаги уринма текислик билан бир хил йўналишда бўлади ва  $Z$  ўқи билан  $C$  нуқтада кесишади.

*B* ва *K* нүқталардаги түрима күчланишларни  $\tau_1$  ва  $\tau_2$  күчланишларига ажратиш мүмкін. Кесимнинг *B* ва *K* нүқталаридаги горизонтал уринма күчланишлари ( $\tau_2$ ) ўзаро мувозанатлашади,  $\tau_1$  уринма күчланишларининг йигиндиси эса күндаланг күч — *Q* га тенглашади.

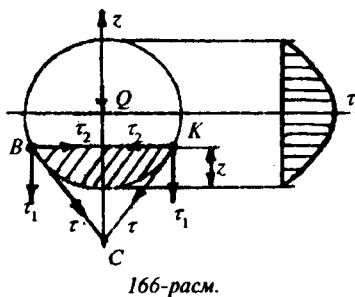
Демак, доиравий кесимдаги  $\tau_1$  уринма күчланишлари түғри бурчаклы кесимдаги түлиқ уринма күчланиш —  $\tau$  билан бир хил функцияда бўлар экан. Шунинг учун доиравий кесимлардаги уринма күчланишни топиш учун ҳам Журавский формуласидан фойдаланамиз, яъни:

$$\tau = \frac{QS_y^0}{I_y b} \quad (6.13)$$

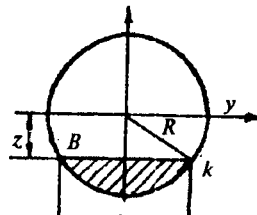
Бу ерда:  $S_y^0$  — доиравий кесимнинг *Z* масофа ва кесимнинг четки нүқтаси билан чегараланган ажратилган юзасининг нейтрал ўққа нисбатан статик моменти.

$$S_y^0 = \frac{2}{3} (R^2 - Z^2)^{\frac{3}{2}} \quad \text{ва} \quad b = 2\sqrt{(R^2 - Z^2)}$$

Доиравий кесимнинг нейтрал ўққа нисбатан инерция моменти:  
 $I_y = \frac{\pi \cdot R^4}{4}$  ажратилган юзанинг статик моменти  $S_y^0$  ва кесимнинг эни *b* ни (6.13) формулага келтириб қўямиз:



166-расм.



167-расм.

$$\tau = \frac{Q \frac{2}{3} (R^2 - Z^2)^{\frac{3}{2}}}{\frac{1}{4} \pi \cdot R^4 \cdot 2\sqrt{(R^2 - Z^2)}} = \frac{4Q}{3\pi \cdot R^4} (R^2 - Z^2) \quad (6.14)$$

Бу ерда:  $0 \leq Z \leq \pm R$  оралиқда ўзгаради. Агар,  $Z = 0$  бўлса,  $\tau = \tau_{\max} = \frac{4Q}{3\pi \cdot R^2}$ , яъни уринма кучланиш доиравий кесимнинг нейтрал ўқида максимал қийматга эришади.

Агар,  $Z = R$  бўлса,  $\tau = 0$ , яъни доиравий кесимнинг четки нуқтасида уринма кучланиш нолга тенг бўлади. (6.14) формулага асосан  $\tau$  доиравий кесимни диаметри бўйлаб парабола қонуни билан ўзгарар экан (168-расм).

**4. Кўштаврли кесим.** Кўштаврли кесим оддий тўғри тўртбурчаклардан ташкил топган деб қаралса ҳам бўлади. Шунинг учун қўштаврли кесимнинг нейтрал ўқидан  $Z$  масофада жойлашган нуқтасининг уринма кучланишини ҳам Журавский формуласи билан аниқлаш мумкин:

$$\tau = \frac{QS_y^0}{I_y b(d)} \quad (6.15)$$

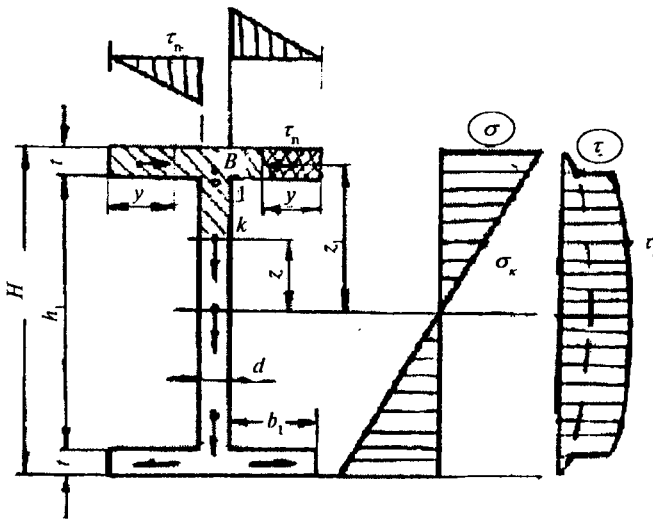
Бу ерда:  $S_y^0$  — нейтрал ўқдан  $Z$  ва қўштаврли кесимнинг четки нуқталари оралиғида қолган юзанинг нейтрал ўқ —  $Y$  га нисбатан статик моменти (168-расм):

$$\tau_B = \frac{Qr(h-t)}{2I_y}; \quad \tau_1 = \frac{Qr(h-t)b}{2I_y \cdot d}$$

$b$  — кучланиши текширилаётган нуқта жойлашган кесимнинг эни.

Кўштаврли кесим супачасининг эни бўйлаб уринма кучланиш бир хил эмас. Шунинг учун қўштаврнинг супачасидаги уринма кучланиши Журавский формуласи билан топилиши мумкин эмас. Кўштавр супачасининг  $Z$  ўқига яқин юзасида уринма кучланиш тахминан эгри чизиқ қонуни билан тарқалади деб қабул қилиш мумкин ( $\tau$  — эпюрасидаги пункттир чизиқ).

Кўштаврнинг супачаси нейтрал ўқдан узоқ масофада жойлашганлиги учун бу юза асосан нормал кучланишлар таъсирида бўлади (168-расм,  $\sigma$  — эпюраси). Кўштавр деворий қисмидан нейтрал ўққа яқинлашган сайин нормал кучланиш кичиклашиб қелади ва нейтрал ўқ устида  $\sigma = 0$ .



168-расм.

Күштавр деворининг  $K$  нуқтасидаги уринма кучланиши топиш учун штрихланган (168-расм) юзанинг статик моментини ёзамиш:

$$S_y^0 = bt \left( \frac{H-t}{2} \right) + \frac{d}{2} \left( \frac{h_1^2}{4} - Z^2 \right)$$

Уринма кучланиш:

$$\tau = \frac{Q}{2I_y d} \left[ bt(H-t) + d \left( \frac{h_1^2}{4} - Z^2 \right) \right] \quad (6.16)$$

Бу ерда:  $I_y = \frac{dh_1^3}{12} + 2 \left[ \frac{bt^3}{12} + bt \left( \frac{H-t}{2} \right)^2 \right]$  — күштавр кесимнинг нейтрал ўқ —  $Y$  га нисбатан инерция моменти;

$d$  — кучланиш текширилаётган нуқта жойлашган кесимнинг эни.

(6.16) формуласига асосан қўштавр деворининг баландлиги бўйлаб  $\tau$  парабола қонунияти билан ўзгарар экан (168-расм,  $\tau$  эпюраси).

$$\text{Агар } Z = 0 \text{ бўлса, } \tau = \tau_{\max} = \frac{Q}{2I_y d} \left[ bt(H-t) + \frac{dh^2}{4} \right] \text{ ва}$$

$$Z = \frac{h}{2}; \tau = \tau_l = \frac{Qbt(H-t)}{2I_y d}$$

Кўштаврнинг супачасига нисбатан деворида  $Z$  ни турли қийматида  $S_y^0$  кичик чегарада ўзгаради. Шунинг учун қўштаврнинг деворида уринма кучланиш жуда катта. Демак, қўштаврнинг девори асосан уринма кучланишлар таъсиридадир. Бу кучланишлар  $Z$  ўқига параллел йўналишда бўлади.

Уринма кучланишларнинг жуфтлик аломатига кўра қўштаврнинг деворига перпендикуляр юза — супачада ҳам кесимни нейтрал ўққа параллел йўналган уринма кучланишлар ҳосил бўлади ва қўйидаги формула билан топилади:  $\tau_n = \frac{QS_y^0}{I_y t_n}$ .

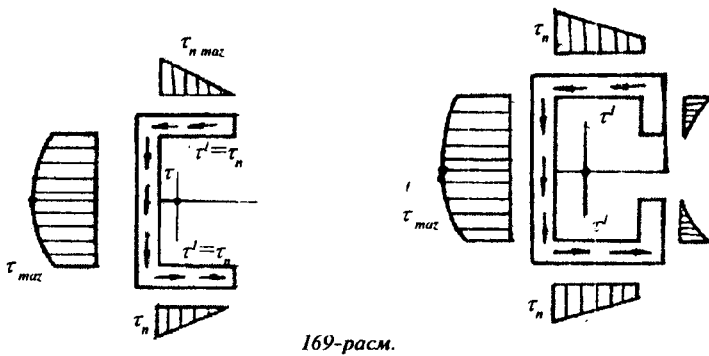
Кўштавр супачасидан ажратиб олинган у узунликдаги штрихланган юзанинг статик моментини топамиз (168-расм):  $S_y^0 = yt \frac{H-t}{2}$ .

$$\text{Шунинг учун: } \tau_n = \frac{Qy(H-t)}{2I_y} \quad (6.17)$$

(6.17) формулада у биринчи даражада бўлганлиги учун  $\tau_n$  супачанинг узунлиги бўйлаб тўғри чизиқли қонуният билан ўзгаради.  $Y = 0$  бўлса,  $\tau = 0$  ва  $y = b_1$ ;  $\tau_{n\max} = \frac{Qb_1(H-t)}{2I_y}$ . Демак,  $\tau_n$  қўштавр супачасининг  $Z$  ўққа яқин юзасида энг катта қийматга эга экан (168-расм,  $\tau_n$  эпюраси). Айрим кесимлар учун уринма кучланиш эпюраси 169-расмда кўрсатилган.

Олдинги мавзуда турли кесимларда уринма кучланишлар тўпламишининг ҳосил бўлишини кўриб чиқдик. Айрим профилларда уринма кучланишларнинг оқими кесим юза-

сининг марказидан ўтади. Масалан: доира, тўғри тўртбурчак, қўштавр, учбурчак. Очиқ профилли айрим кесимларда (швейллер, бурчак, ҳалқасимон кесим ва ҳ.к. 169-расм) уринма кучланишларнинг тўплами профилнинг оғирлик марказидан ўтмайди.



### ... ЭГИЛИШ МАРКАЗИ

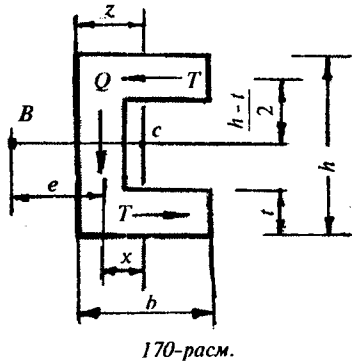
Кучланишлар тўплами кесимнинг оғирлик марказига нисбатан  $M_\delta$  момент ҳосил қиласди:  $M_\delta = QX + T(h - t)$ , бу ерда:  $x = Z_0 - \frac{d}{2}$

$$T = \frac{\tau_{max,n} + 0}{2} tb_1 = \frac{Qb_1^2(h - t)}{4I_y} t$$

$M_\delta$  — буровчи момент таъсирида очиқ профилли элемент буралади. Натижада элемент эгилиш билан бирга буралишга ҳам учрайди. Очиқ профилли элементнинг кучланганилик ҳолати мураккаблашади. Агар уринма кучланишларнинг тенг таъсир қилувчилари  $Q$  — кўндаланг куч ва  $T$  — тангенциал кучларнинг кесимдан ташқаридаги бирор нуқтага нисбатан моментларини нолга тенглаштириб,  $M_\delta$  буровчи моментни мувозанатлаширилса, очиқ профилли элементнинг буралишини чеклаб қўйиш мумкин:

$$\sum M_\delta = Q\ell - T(h - t) = 0, \text{ бу ерда:}$$

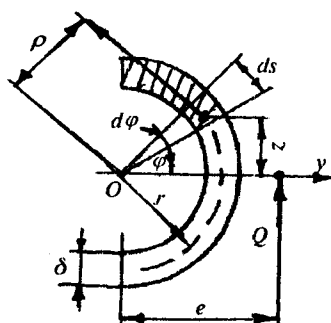
$$\ell = \frac{T(h-t)}{Q} = \frac{b_1^2(h-t)(h-t)}{4I_y} t \quad (6.18)$$



Бу нүкта эгилиш маркази дейилади ва  $Q$  кўндаланг кучдан  $\ell$  масофада жойлашади.

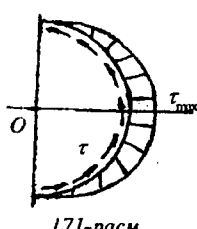
Демак, эгилиш маркази деб, ички куч моментларининг йифиндиси нолга тенг бўлган нуқтанинг ҳолатига айтилади. Эгилиш маркази кесим юзасидан ташқарида жойлашади. Эгилиш марказига шундай куч қўйиладики, бу куч ички кучларнинг профил кесимининг оғирлик

марказига нисбатан моментларини мувозанатлаштиради. Демак, эгилиш марказига нисбатан ташқи ва ички кучлар моментларининг йифиндиси нолга тенг бўлар экан.



**Масала.** Вертикал текисликда эгилишта учрайдиган юпқа де-ворли ҳалқасимон кесимли балканинг оғирлик марказини топинг. Ярим ҳалқасимон кесимнинг радиуси  $r = 25$  см, қалинлиги  $\delta = 0,25$  см.  $Q = 70$  кН кўндаланг куч таъсиридан кесимнинг уринма кучланиш эпюрасини қуринг (171-расм).

**Ечиш.** Кесимдаги барча уринма кучларнинг тенг таъсири қилувчисини кўндаланг куч  $Q$  деб қабул қиласиз. Ярим ҳалқасимон кесимдан ажратилган элементар юзачадаги уринма куч:  $dT = \tau \cdot dA = \tau \cdot \delta \cdot dS$  ни  $O$  нуқтага нисбатан моменти  $Q$  кучнинг шу нуқтага нисбатан моментаига тенг бўлади, яъни:



$$Q\ell = \int dT \cdot \rho = \int \tau \cdot \delta \cdot dS \rho = \int_{I_y \delta}^S Q S_y^0 \delta \cdot \rho \cdot dS$$

Чизмадан  $\rho = r$ ;  $dS = rd\phi$  ва ажратилган элементар юзанинг у ўқига нисбатан статик моменти:

$$S_y^0 = \int_0^{\frac{\pi}{2}} Z dA = \int_0^{\frac{\pi}{2}} r \sin \varphi \cdot \delta \cdot r \cdot d\varphi = r^2 \delta \cos \varphi$$

$$\text{ва } \ell = \frac{1}{I_y} \int_y^S S_y^0 \rho \cdot dS.$$

Ярим ҳалқасимон кесимнинг у ўқига нисбатан инерция моменти:

$$I_y = \int Z^2 dA = 2 \int_0^{\frac{\pi}{2}} (r \sin \varphi)^2 \delta \cdot r d\varphi = \frac{\pi \cdot r^3 \delta}{2}$$

$$\text{У ҳолда: } \ell = \frac{1}{I_y} \int_y^S S_y^0 \rho dS = \frac{2}{I_y} \int_0^{\frac{\pi}{2}} r^2 \delta \cos \varphi \cdot r \cdot r d\varphi = \frac{2r^4 \delta}{I_y} = \frac{4r}{\pi}$$

Демак, ярим ҳалқасимон кесимнинг эгилиш маркази О нуқтадан  $\ell = \frac{4r}{\pi}$  масофада жойлашган С нуқтада бўлади.

Кесимнинг исталган нуқтасидаги уринма кучланишини топамиз:  $\tau = \frac{QS_y^0}{I_y \delta} = \frac{Q \cdot r^2 \cos \varphi}{I_y} = \frac{2Q \cos \varphi}{\pi \cdot r \delta}$

Энг катта уринма кучланиши:

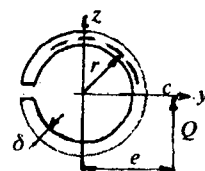
$$\tau_{\max} = \frac{2Q}{\pi \cdot r \delta} = \frac{2 \cdot 7000}{3,14 \cdot 25 \cdot 0,25} = 715 \text{ кг/см}^2$$

Кесилган ҳалқа учун  $\ell$  ни топамиз:

$$S_y = r^2 \delta (1 - \cos \varphi)$$

$$I_y = \pi \cdot r^3 \delta$$

У ҳолда:  $\ell = 2r$  ҳосил бўлади.



172-расм.

## 6.5. БАЛКАЛАР МУСТАҲКАМЛИГИНИ БОШ КУЧЛАНИШЛАР БҮЙИЧА ТЕКШИРИШ

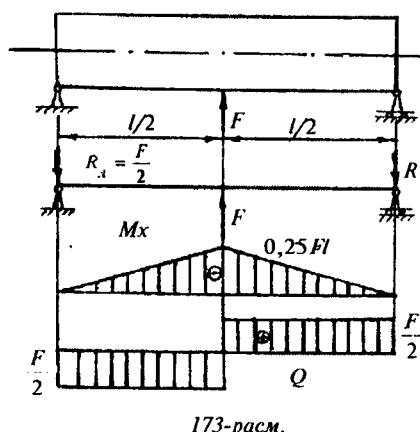
Эгилаётган балканинг кўндаланг кесим юзасида нормал  $\sigma$  ва уринма кучланиш т ҳосил бўлишини кўриб ўтган эдик. Нормал кучланишнинг энг катта қиймати балка кесимининг нейтрал ўқидан энг узоқда жойлашган нуқтада, яъни кесимнинг четки нуқталарида ҳосил бўлади. Бу нуқталарда уринма кучланиш нолга тенг. Уринма кучланиш энг катта қийматга эришган балканинг нейтрал қатламида жойлашган материалида нормал кучланиш нолга тенг. Шунинг учун кесимнинг нейтрал ўқидан энг узоқда жойлашган толаларининг мустаҳкамлиги нормал кучланишлар бўйича таъминланади:

$$\sigma_{\max} = \frac{M_{\max}}{W} \leq [\sigma]$$

Балка кесимининг нейтрал қатламида жойлашган материалнинг мустаҳкамлиги эса уринма кучланишлар бўйича таъминланади:

$$\tau_{\max} = \frac{Q_{\max} \cdot S_{\max}}{I_x d} \leq [\tau]$$

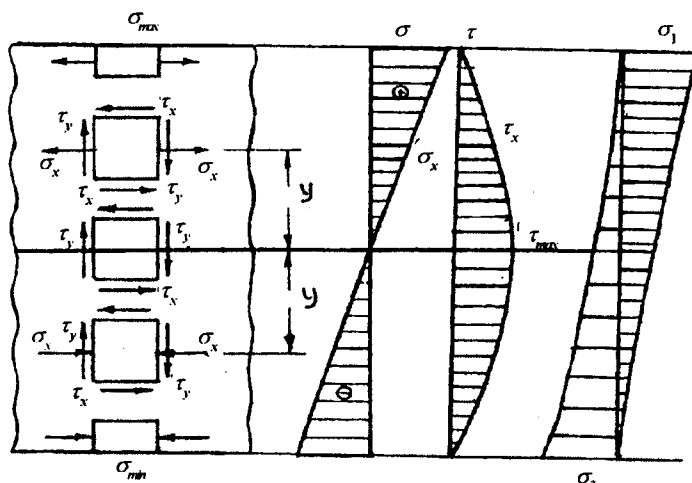
Балка кесимининг нейтрал ўқидан  $Y$  масофада жойлашган материалининг (ажратилган  $B$  элемент, 174-расм)



173-расм.

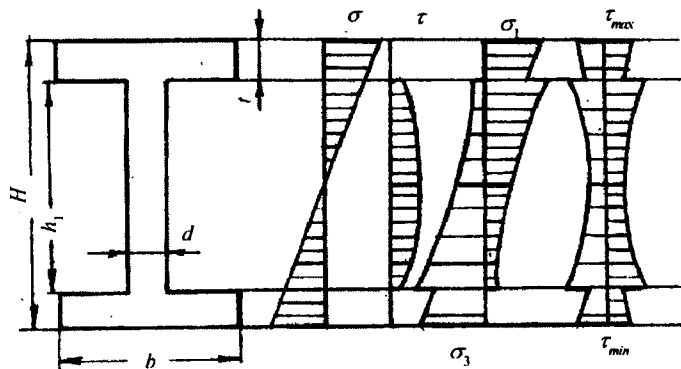
мустаҳкамлигини нормал кучланишлар бўйича ҳам, уринма кучланишлар бўйича ҳам таъминлаш мумкин эмас.

Чунки  $B$  элементда  $\sigma$  ва  $\tau$  лар нолдан фарқи бўлганлиги учун бу элементнинг мустаҳкамлиги юқорида келтирилган эгиллишдаги нормал ва уринма кучланишлар бўйича мустаҳкамлик шартларига бўйсунмайди.

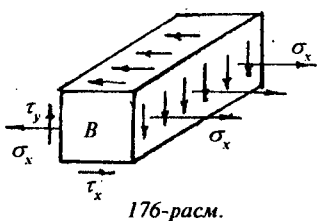


174-расм.

Ажратилган  $B$  элементтинг олд қисми — балканинг ён сиртига устма-уст тушади ва бу юза нормал ва уринма кучланишлардан озод, шунинг учун бу юзача бош юза.  $B$  элементтинг вертикал юзалари  $\sigma_x$  ва  $\tau_y$  кучланишлари, горизонтал юзаси эса фақат  $\tau_x$  уринма кучланиши таъсира бўлади.



175-расм.



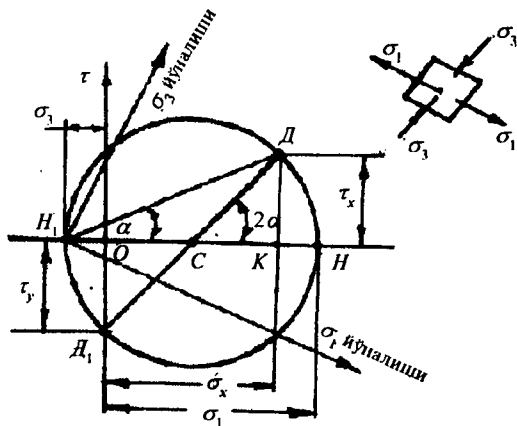
Демак, В элементнинг кучланганлик ҳолати мураккаб бўлиб, текис кучланганлик ҳолатига тўғри келади. Текис кучланганлик ҳолатида бўлган элементнинг мустаҳкамлиги бош кучланишларга боғлиқ бўлиб, мустаҳкамлик назаријалари асосида текширилади.

Текис кучланганлик ҳолатидаги элементда учта бош нормал кучланишлардан биттаси (масалан,  $\sigma_z = 0$ ) нолга тенг. Қолган  $\sigma_1$  ва  $\sigma_3$  бош нормал кучланишларини берилган  $\sigma_x; \tau_x = -\tau_y$  кучланишлари ёрдамида Мор доирасини (177-расм) қуриш усули билан топамиз. Бунинг учун  $\sigma_{\text{от}}$  координата системасини оламиз (177-расм). Координата бошидан ( $O$  нуқтадан) кучланишлар масштабида  $\sigma_x = OK$  масофа,  $K$  нуқтадан  $\sigma$  ўқига перпендикуляр текисликда мусбат ишорали уринма кучланиш  $\tau_x = KD$  жойлаширилади. В элементнинг горизонтал юзадаги нормал кучланиш  $\sigma_y = 0$  бўлганлиги учун бу нормал кучланиш  $\sigma_{\text{от}}$  координата системасининг нуқтасида жойлашади.

$O$  нуқтадан  $\tau$  ўқининг манфий томонига  $\tau_y = OD$ , кучланишини жойлашириб,  $D$  нуқтани ҳосил қиласиз.  $D$  ва  $D_1$  нуқталарни бирлаштирасак, Мор доирасининг маркази  $C$  нуқта ҳосил бўлади.  $D$  ва  $D_1$  нуқталар Мор доирасининг четки нуқталари бўлганлиги учун  $CD = CD_1 = R$  радиуси билан Мор доираси чизилади (177 - расм). Мор доираси  $\sigma$  ўқининг  $H$  ва  $H_1$  нуқталарида кесиб ўтади. Кучланишлар масштабида  $OH$  масофа  $\sigma_1$  — энг катта бош нормал кучланишга,  $OH_1$  масофа эса  $\sigma_3$  — энг кичик бош нормал кучланишга тенг.

Ажратилган ( $B$ ) элемент  $\sigma_1$  чўзувчи ва  $\sigma_3$  сиқувчи бош нормал кучланишлари таъсирида экан.  $\sigma_1$  ва  $\sigma_3$  бош нормал кучланишлари қўйидаги формула билан топилади:

$$\sigma_{1,3} = \frac{1}{2} \left[ \sigma_x \pm \sqrt{\sigma_x^2 + 4\tau_x^2} \right] \quad (6.19)$$



177-расм.

(6.19) формуладан күринишича,  $\sigma_1$  ва  $\sigma_3$  бош нормал кучланишлари  $\sigma_x$  ва  $\tau_x = -\tau_y$ , кучланишларининг қийматларига боғлиқ экан.  $\sigma_x$  нормал ва  $\tau_x = -\tau_y$  уринма кучланишлари эса -B- элемент балка кесимининг нейтрал қатламидан қандай масофада (у) жойлашишига боғлиқ.

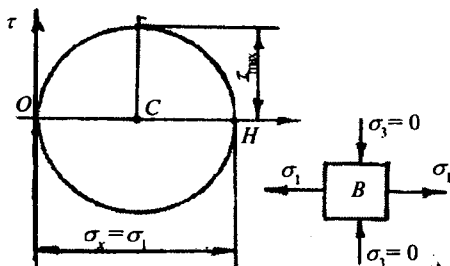
Агар,  $y = y_{\max}$  бўлса,  $\sigma_x = \sigma_{\max}$  ва  $\tau_x = 0$

У ҳолда Мор доираси 178-расмдаги күринишда бўлади.

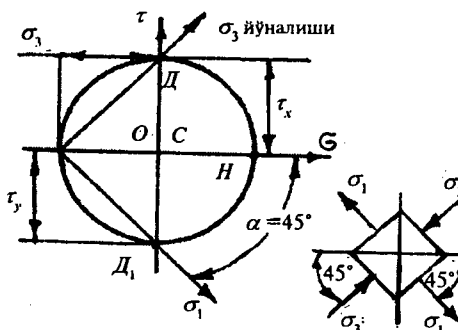
Ажратилган (B) элемент фақат чўзувчи  $\sigma_1$  бош нормал кучланиши таъсирида бўлади, чунки бу нуқта сиқилмайди, яъни:  $\sigma_3 = 0$ .

Агар,  $y = 0$  бўлса,  $\sigma_x = 0$  ва  $\tau_x = \tau_{\max}$  соғ силжиш ҳосил бўлади. Бу ҳолатда Мор доираси  $\tau_x = -\tau_y$  уринма кучланишларининг қийматларида чизилади.

Мор доирасининг маркази С нуқта координата боши O нуқта билан устма-уст тушади (179-расм). Балкадан ажратилган B элемент нейтрал қатлам билан энг четки сиқидаладиган тола оралиғида жойлашсин. Бу нуқтадаги нормал кучланиш манфий, уринма кучланиш эса мусбат ишорали (180-расм).



178-расм.

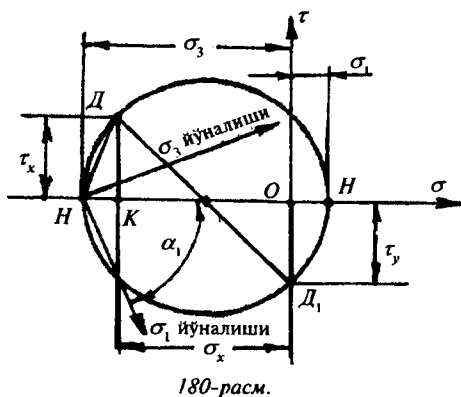


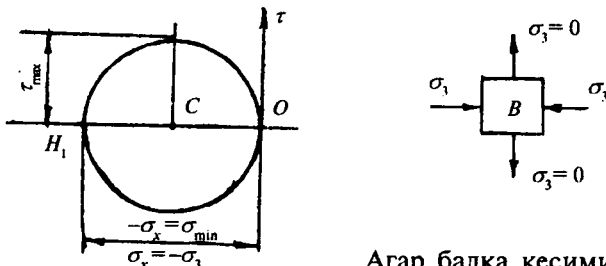
179-расм.

Мор доирасини қуриш учун  $\sigma_x = OK$  ва  $\tau_x = KD$  масофа-лардан фойдалана-миз.  $OH$  масофа энг катта бош нормал кучланиш  $\sigma_1$  га тенг.  $\sigma_3$  бош кучланиш таъсирида  $B$  элемент чўзилади.  $OH_1$  масофа энг кичик бош нормал кучланиш  $\sigma_3$  га тенг.  $B$  элемент  $\sigma_3$  бош кучланиш таъсирида сиқилади.  $\sigma = \sigma_{\min}$  ва  $\tau_x = 0$  бўлган нуқта атрофида ажратилган элементга таъсир қилаётган бош нормал кучланишларни топамиз.

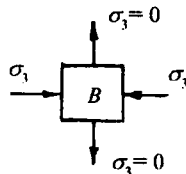
Бу элемент сиқи-ладиган толаларда жойлашганлиги учун нормал кучланиш манфий ишоралидир.

Шунинг учун Мор доирави  $\sigma$  от коорди-ната ўқининг тўлиқ чап, яъни манфий томонида чизилади. (6.19) формула асо-сида ёки Мор доира-си ёрдамида топил-ган бош кучланишлар балка кесимининг ба-ландлиги бўйлаб ўзга-риш графикаси қури-лади (182-расм).





181-расм.



Агар балка кесимининг эни унинг баландлиги бўйлаб ўзгармас бўлса, бош нормал кучланишларнинг эпюраси силлиқ ўзгарувчи эгри чизикдан иборат бўлади. Агар балка кесимининг эни унинг баландлиги бўйлаб ўзгарувчан бўлса, масалан, қўштавр, швеллер, бурчаксимон элемент ва ҳ.к. кесим энининг ўзариш нуқтасида  $\sigma_1$  ва  $\sigma_3$  эпюраларида сакраш бўлади (175-расм). Юқорида келтирилган балканинг юқори толалари чўзишига, пастки толалари эса сиқилишга учраяпти. Шунинг учун мусбат ишорали нормал кучланиш ва  $\sigma_1$  бош нормал кучланиш эпюралари вертикал чизикнинг (174-расм) ўнг томонида жойлашади. Агар, балка кесимининг юқори толалари чўзилса, Мор доираси  $\sigma$  ўқининг мусбат томонида жойлашади. Бу нуқта фақат  $\sigma_1$  бош нормал кучланиш таъсирида бўлиб, бу нуқтада  $\sigma_3 = 0$ . Кучланиши текширилаётган нуқта чўзиладиган толадан сиқиладиган толалар томонга ҳаракат қиласерса, Мор доираси ҳам  $\sigma$  ўқининг мусбат томонидан манфий ишорали томонига ўта бошлиайди. Бу ҳолатда  $\sigma_1$  бош кучланиш камайиб боради,  $\sigma_3$  бош кучланиш эса катталашади (182-расм).

Балканинг юқори толалари чўзиладиган оралиғида эгувчи моментнинг ишораси манфий бўлади. Лекин, эгувчи моментнинг ишораси нормал кучланишнинг ишораси ёки йўналишига таъсир қилмайди. 182-расмда балканинг хавфли кўндаланг кесимининг баландлиги бўйлаб бир чизиқ устида ётган бир нечта нуқталар учун Мор доирасини куриш усули билан бош кучланишларнинг қиймати ва йўналиши кўрсатилган. 183-расмда эса, балканинг бўйла ма кесимидағи бир нечта нуқталар учун бош нормал кучланишларнинг қиймати ва йўналиши кўрсатилган. Бош куч-

ланишларнинг йўналиши аналитик усулда қўйидаги формула билан топилади:

$$\operatorname{tg} 2\alpha = - \frac{2\tau_x}{\sigma_x} \quad (6.20)$$

Бош кучланишларнинг йўналиши Мор доирасини қуриш усули билан ҳам топилади.

Балкани юқори толалари чўзилса,  $\alpha$  манфий. Агар балканинг юқори толалари сиқилса, бурчак  $\alpha$  мусбатдир.

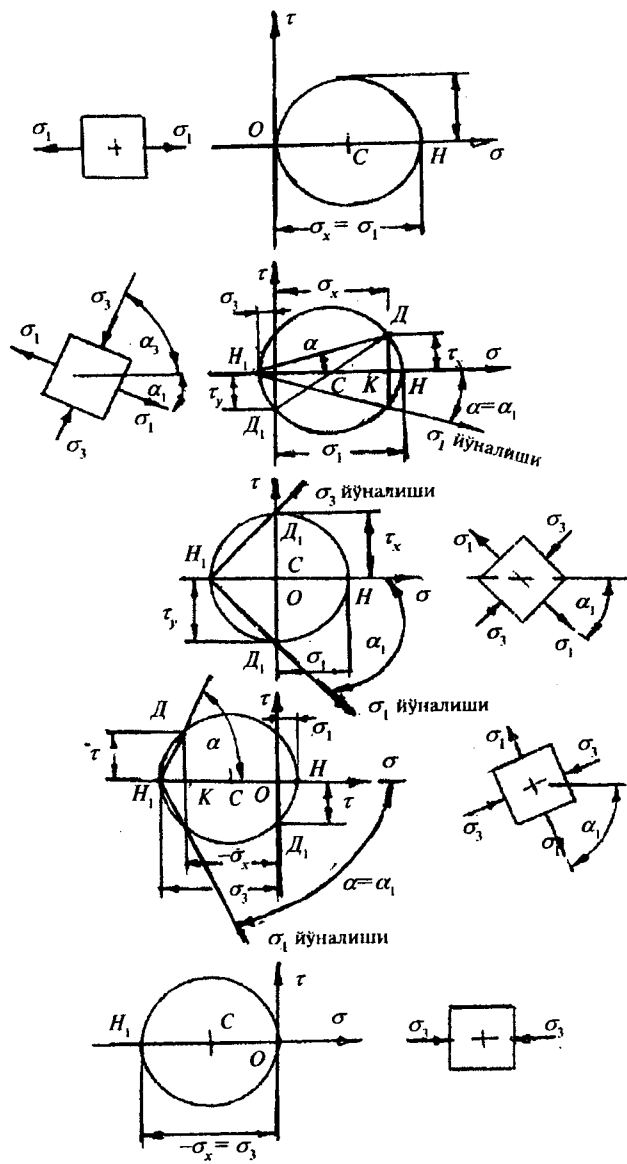
Агар  $\alpha$  бурчак манфий бўлса, энг катта бош нормал кучланишнинг ( $\sigma_1$ ) йўналиши абсцисса ўқидан соат стрелкасининг ҳаракат йўналиши бўйлаб жойлаштирилади.

Балка кесимининг 1 нуқтаси (182-расм) фақат  $\sigma_1$  бош нормал кучланиш таъсирида ( $\sigma_3 = 0$ ) уринма кучланиш нолга тенг. Шунинг учун (6.20) формулага асосан,  $\alpha_1 = 0$ . Демак, чўзувчи  $\sigma_1$  бош нормал кучланиш абсциссанинг устига тушади.

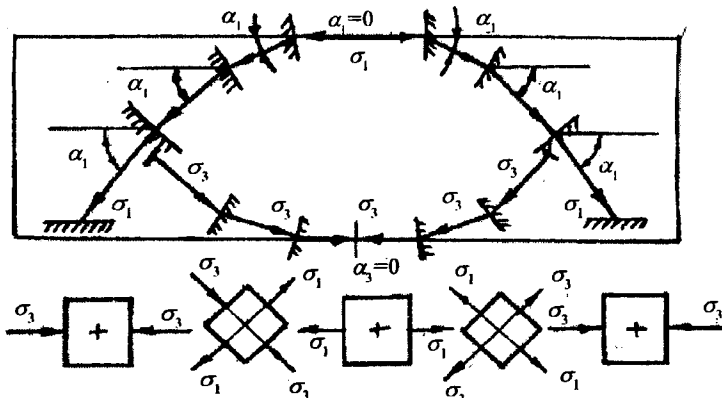
II нуқтадаги бош нормал кучланишнинг йўналишини топиш учун Мор доирасидаги  $H_1$  ва  $D$  нуқталар тўғри чизиқ билан туташтирилади.  $H_1 D$  чизиқ абсцисса билан  $\alpha$  бурчакни ҳосил қиласди. (6.20) формулага асосан  $\alpha$  бурчакнинг ишораси манфий. Шунинг учун  $\alpha$  бурчакни абсцисса ўқидан соат стрелкасининг ҳаракат йўналишига мос жойлаштирилади.

Ҳосил бўлган чизиқ II нуқтадаги  $\sigma_1$  бош нормал кучланишнинг йўналишидир.  $\sigma_3$  бош нормал қучланиш  $\sigma_1$  нинг йўналишига перпендикуляр юзада таъсир қиласди. Демак, II нуқта атрофидан ажратиб олинган элемент соат стрелкасининг ҳаракат йўналишига мос айланар экан.

III ва IV нуқталарда ҳам  $\sigma_1$  бош нормал кучланишнинг йўналиши шу усулда топилади. Ўнуқтада (6.20) формулага асосан  $\alpha_1 = 90^\circ$  ҳосил бўлади. Бу нуқтада фақат  $\sigma_3$  бош нормал кучланиш таъсир қиласди.  $\sigma_3$  нинг абсциссага нисбатан жойлашиш бурчаги  $\sigma_3 = 0$  бўлади. Балканинг узунлиги бўйлаб  $\sigma_1$  ва  $\sigma_3$  бош нормал кучланишларнинг траекториясини аниқлаш мумкин (183-расм). Бунинг учун балканинг узунлиги бўйлаб бир нечта нуқталарнинг ўринлари танлаб олинади. Нуқталар нейтрал қатламдан турли масофаларда жойлашиши керак.



182-расм.



183-расм.

Битта нүктада топилган бош күчланишнинг йўналиши иккинчи нүқтагача давом эттирилади. Иккинчи нүқтадаги бош күчланишнинг йўналиши кейинги нүқта билан туаштирилади. Шундай қилиб, балканинг узунлиги бўйича бош күчланишларнинг йўналиш траекторияси топилади. Бу масала хавфли кесимга нисбатан амалга оширилса осонроқ ечилади (183-расм).

Энди юқори толалари сиқиладиган ва пастки толалари чўзиладиган балканинг хавфли кесими баландлиги бўйлаб бош күчланишларнинг қийматларини Мор доираси ёрдамида топамиз ва эпюрасини қурамиз. Балканинг юқори толасида манфий ишорали нормал күчланиш, пастки чўзиладиган толасида эса мусбат ишорали күчланиш ҳосил бўлади. Уринма күчланишнинг ишораси кўндаланг куч  $Q$  нинг ишорасига мос равишда топилади. Уринма күчланишнинг ўнг томонида манфий, чап томонида мусбат.

Нормал күчланиш балканинг юқори толасида манфий, уринма күчланиш мусбат бўлсин. Бош күчланишларнинг йўналиши қуйидаги формуладан аниқланди:

$$\operatorname{tg} 2\alpha = - \frac{2\tau}{(-\sigma_x)}$$

Балка кесимининг турли нүқталаридаги бош күчланишларни аниқлаб, мустаҳкамлик назариялари асосида мустаҳкамлик шартларини тузамиз:

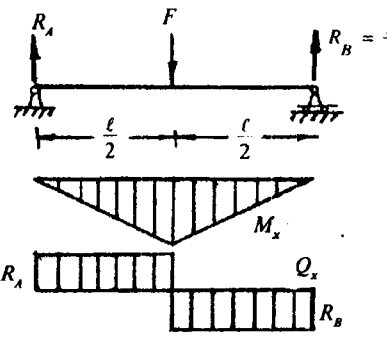
**I назария.** Энг катта нормал күчланишлар назарияси:

$$\sigma_1 \leq [\sigma];$$

$$\frac{1}{2} \left[ \sigma_x + \sqrt{\sigma_x^2 + 4\tau^2} \right] \leq [\sigma]$$

**II назария.** Энг катта нисбий деформациялар назарияси:

$$[\sigma_1 - \mu(\sigma_2 + \sigma_3)] \leq [\sigma]$$



184-расм.

Бу ерда:  $\sigma_2 = 0$  ва  $\sigma_1, \sigma_3$  бош күчланишларни хисобга олсак:

$$\left[ \frac{1-\mu}{2} \sigma_x + \frac{1+\mu}{2} \sqrt{\sigma_x^2 + 4\tau^2} \right] \leq [\sigma]$$

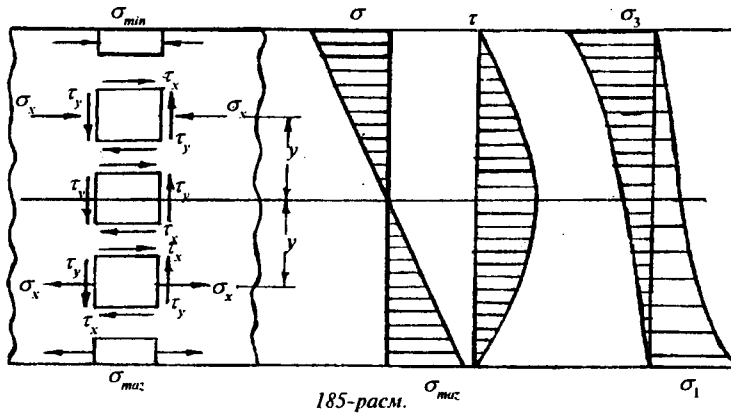
**III назария.** Энг катта уринма күчланишлар назарияси:

$$\sigma_1 - \sigma_3 \leq [\sigma] \text{ ёки } \left[ \sqrt{\sigma_x^2 + 4\tau^2} \right] \leq [\sigma]$$

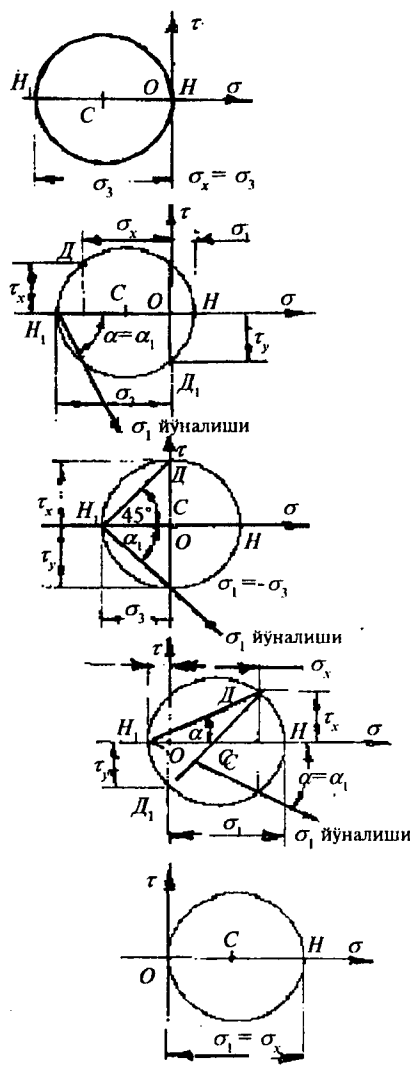
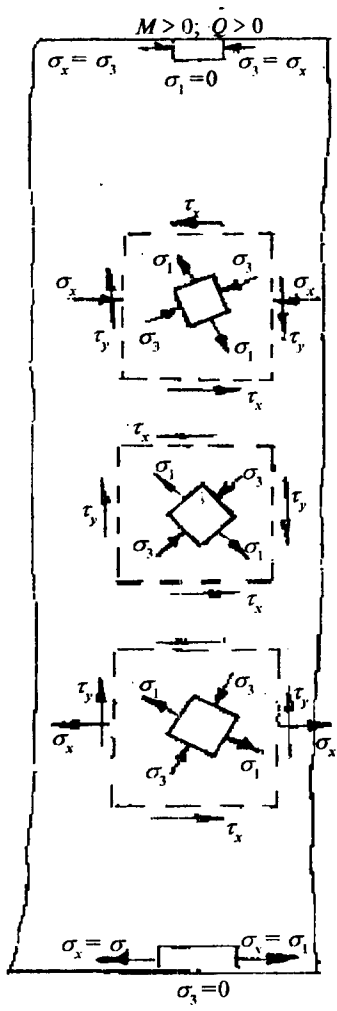
**IV назария.** Шакт ўзгаришдаги потенциал энергия:

$$(\sigma_1 - \sigma_2)^2 + (\sigma_2 - \sigma_3)^2 + (\sigma_3 - \sigma_1)^2 = 2[\sigma]^2 \text{ ёки}$$

$$\sqrt{\sigma^2 + 3\tau^2} \leq [\sigma]$$



185-расм.



186-расм.

## VII Б О Б

### ЭГИЛИШДА БАЛКАЛАРНИНГ КЎЧИШИНИ АНИҚЛАШ

#### 7.1. САЛҚИЛИК ВА КЕСИМНИНГ АЙЛАНИШ БУРЧАГИ

Балкани бирор инерция ўқи текислигига ташқи куч билан юкланса, унинг ўқи шу инерция ўқи текислигига эгри бўлади, яъни текис эгилиш содир бўлади. Унда  $B$  нуқта  $B_1$  ҳолатга кўчади (187-расм). Бу кўчиш  $F$  куч йўналишида содир бўлиб, балканинг салқилиги дейилади. Салқилик  $U$  ҳарфи билан белгиланади. Балка эгри ўқининг тенгламаси  $U = f(x)$ . Эгилишгача текис бўлган балканинг кесими деформациядан кейин ҳам текислигича қолиб, ўзининг бошлангич ҳолатига нисбатан  $\theta$  бурчакка айланади. Шунинг учун бурчак балка  $\theta$  кесимининг айланиш бурчаги дейилади. Ува  $\theta$  абсциссанинг функциясидир. Балканинг ҳар бир кесими учун  $U$  билан  $\theta$  орасида математик боғлашибор:

$$\operatorname{tg}\theta = \frac{dy}{dx}$$

Бурчак  $\theta$  ни жуда кичик миқдор эканлигини хисобга олсак:

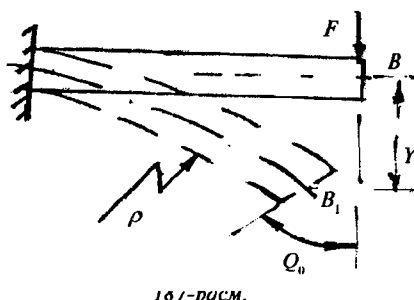
$$\operatorname{tg}\theta = \theta \quad \text{ёки} \quad \theta = \frac{dy}{dx} \quad (7.1)$$

Демак, балканинг ҳар бир кесимининг айланиш бурчаги —  $\theta$  шу кесимдаги салқилик  $U$ дан абсцисса бўйича олинган биринчи тартибли ҳосилага тенг экан. Шунинг учун балканинг деформациясини ўрганиш, эгилган ўқининг тенгламасини тузиш ва ҳосил бўлган тенгламадан дифференциялаш усули билан балканинг исталган кесимининг айланиш бурчаги —  $\theta$  ни топиш мумкин экан.

## 7.2. БАЛКА ЭГИЛИШ ЎҚИННИГ ДИФФЕРЕНЦИАЛ ТЕНГЛАМАСИ

Салқилик —  $Y$  ни абсцисса функцияси кўринишида ҳосил қилиш учун балканинг деформациясини ташқи куч билан боғлаш керак. Шундай боғланиш, биринчидан, балканинг эгрилик радиуси билан эгувчи момент, балка материалининг эластиклик модули ва балка кесимининг инерция моменти орасидаги боғланиш ва иккинчидан, эгрилик радиуси  $\rho$  билан унинг  $X$  ва  $Y$  координаталари

орасидаги боғланишдир, яъни:  $\frac{1}{\rho} = \pm \frac{M}{EI}$



16 /-расм.

$$\frac{1}{\rho} = \pm \sqrt{\frac{d^2 y}{dx^2}} \left[ 1 + \left( \frac{dy}{dx} \right)^2 \right]^{-3}$$

У ҳолда:

$$M = \pm EI \sqrt{\frac{d^2 y}{dx^2}} \left[ 1 + \left( \frac{dy}{dx} \right)^2 \right]^{-3} \quad (7.2)$$

(7.2) формула балка эгилган ўқининг дифференциал тенгламаси. Амалиётда бурчак  $\theta = \frac{dy}{dx}$  кичик миқдордир, шунинг учун унинг квадрати  $\left(\frac{dy}{dx}\right)^2$  яна ҳам кичик бўлади. Демак, (7.2) формуладаги  $\left(\frac{dy}{dx}\right)^2$  ифодани бирга нисбатан ҳисобга олмасак ҳам бўлади.

У ҳолда:

$$\pm \frac{d^2 y}{dx^2} = \frac{M}{EI} \quad \text{ёки} \quad EI \frac{d^2 y}{dx^2} = \pm M \quad (7.3)$$

Бу формула балка эгилган ўқининг тақрибий дифференциал тенгламаси дейилади. (7.3) тенгламанинг ишораси  $M$  эгувчи моментнинг ишорасига боғлиқ. Балка эгилган ўқининг дифференциал тенгламасидан салқилик тенгламаси  $Y = f(x)$  ни ҳосил қилиш учун (7.3) тенгламани интеграллаш керак.

(7.3) тенгламанинг биринчи интеграли:  
 $EI \frac{dy}{dx} = \int M dx + C$  ва иккинчи тартибли интеграли:  
 $EI \cdot y = \int dx \int M dx + CX + D$  кўринишда бўлади. Шундай қилиб, кесимнинг айланиш бурчаги:

$$\theta = \frac{1}{EI} \left[ \int M dx + C \right] \quad (7.4)$$

ва салқилик  $y = \frac{1}{EI} \left[ \int dx \int M dx + CX + D \right]$  тенгламаларини ҳосил қиласиз.

Бу ерда  $C$  ва  $D$  интеграллаш доимиийларидан фойдаланамиз.

Агар,  $M = -FX$  бўлса, айланиш бурчаги ва салқилик тенгламалари қўйидагича кўринишга келади:

$$a) \theta = \frac{1}{EI} \left[ -F \frac{x^2}{2} + C \right] \quad \text{ва} \quad b) y = \frac{1}{EI} \left[ -F \frac{x^3}{6} + CX + D \right]$$

Интеграллаш доимиийлари  $C$  ва  $D$  ни топиш учун балка учларининг таяниш шартларидан фойдаланамиз: агар,  $X = 0$  бўлса, (а) тенгламадан  $\theta = \theta_B = \theta_0 = \frac{C}{EI}$  ёки  $C = \theta_0 EI$  (в).

Демак, интеграллаш доимиийси  $C$  балка бошлангич кесимининг (187-расм) айланиш бурчаги  $\theta_0$  ни балканинг бикрлиги  $EI$ га кўпайтмасига тенг экан. (в) тенгламадан  $\theta_0$  бурчак номаълум бўлмаганлиги учун  $C$  ҳам номаъдумлигича қолади. (б) тенгламадан  $y = y_B = y_0 = \frac{D}{EI}$  ёки  $D = I_0 EI$  (г)

Демак, интеграллаш доимиийси  $D$  балка бошлангич нуқтасининг салқилиги  $y_0$  нинг балка бикрлиги  $EI$ га кўпайтмасига тенг экан. Агар,  $x = \ell$  бўлса (187-расм), (а) тенгламадан  $\theta = \theta_k = 0$  ва (б) тенгламадан  $y = y_k = 0$  ҳосил бўлади. У ҳолда  $C = \frac{F\ell}{2}$  ифодани ҳисобга олсак,

$D = \frac{F\ell^3}{6} - \frac{F\ell^2}{2} \cdot \ell = -\frac{F\ell^3}{3}$ . С ва  $\mathcal{D}$  интеграллаш доимийларини (а) ва (б) тенгламаларга келтириб қўйсак:

$$\theta = \frac{1}{EI} \left[ -F \frac{x^2}{2} + F \frac{\ell^2}{2} \right] \quad (7.5)$$

$$y = \frac{1}{EI} \left[ -F \frac{x^3}{6} + F \frac{\ell^2}{2} x - \frac{F\ell^3}{3} \right] \quad (7.6)$$

ҳосил бўлади. Бу тенгламалардан  $X$  нинг турли қийматларида балканинг узунлиги бўйлаб  $\theta$  ва  $y$  лар топилади.

### 7.3. БОШЛАНГИЧ ПАРАМЕТРЛАР УСУЛИ

Узунлиги бўйлаб бир нечта оралиқлардан иборат бўлган ҳар қандай балка учун ҳам  $\theta$  ва  $y$  ларни аниқлашда тақрибий дифференциал тенгламани татбиқ этиш фойдали бўлавермайди. Чунки,  $n$  та оралиқдан иборат балканинг деформациясини аниқлаш учун  $n$  та тақрибий дифференциал тенглама тузиш керак. Бу тенгламаларни интеграллаш натижасида  $2n$  та интеграллаш доимийликлари ҳосил бўлади ва масалани ечиш мураккаблашади. Шунинг учун узунлиги бўйлаб иккита ва ундан кўпроқ оралиқлардан иборат балкаларда эластик эгилган ўқнинг дифференциал тенгламасини татбиқ этиш ва ундаги доимийларни аниқлаш анча мураккаб ва нокулайдир.

Агар балканинг деформациясига таъсир қилмаган ҳолда унинг схемасини ўзгартиришда ва эластик эгилган ўқнинг дифференциал тенгламасини интеграллашда айрим чекланишларни қабул қиласак, дифференциал тенгламалардаги  $2n$  та номаълумни 2 тага қадар камайтириш мумкин. Бунинг учун қуйидаги чекланишларни қабул қиласиз:

1) балкани  $XOY$  координата системасига жойлаштирамиз ва балканинг бошлангич нуқтасини аниқлаймиз;

2) балканинг оралиқ масофаларини координата бошидан маълум тартибда жойлаштирамиз;

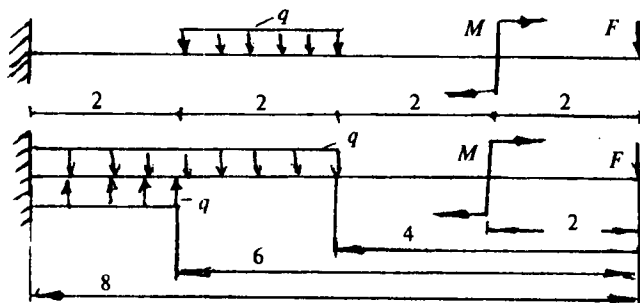
3) балканинг бирор оралиқдаги тақсимланган куч интенсивлигини таъсири, балканинг охиригача давом этмаса, балканинг шу оралиқларини ўзаро тенг ва қарама-қар-

ши йўналган тақсимланган куч интенсивлиги билан тўлдирдимиз;

4) жуфт куч моментини  $M^* X^0$  кўринишда ёзамиш;

5) дифференциал тенгламани интеграллашда қавсларни очмаймиз. Интеграллашни қўйидагича бажарамиз:

$$\int (x - a)^n dx = \frac{(x - a)^{n+1}}{n+1}$$



188-расм.

Балканинг ҳар бир оралиқлари учун эгилган ўқнинг дифференциал тенгламасини тузамиш ва интеграллаймиз:  
 $OB$  қирқим.  $0 \leq x_1 \leq 2 \text{ м}$

$$EI \cdot y_1'' = -Fx_1; \quad EI \cdot y_1' = -F \frac{x_1^2}{2} + C_1$$

$$EI \cdot y_1 = -F \frac{x_1^3}{6} + C_1 x_1 + D_1$$

$OK$  қирқим.  $2 \leq x_2 \leq 4 \text{ м}$

$$EI \cdot y_2'' = -Fx_2 - M(x_2 - 2)^0;$$

$$EI \cdot y_2' = -F \frac{x_2^2}{2} - M(x_2 - 2)^1 + C_2$$

$$EI \cdot y_2 = -F \frac{x_2^3}{6} - M \frac{(x_2 - 2)^2}{2} + C_2 x_2 + D_2$$

**ОН қирқим.**  $4 \leq x_3 \leq 6$  м

$$EI \cdot y_3'' = -Fx_3 - M(x_3 - 2)^0 - q \frac{(x_3 - 4)^2}{2}$$

$$EI \cdot y_3' = -F \frac{x_3^2}{2} - F(x_3 - 2)^1 - q \frac{(x_3 - 4)^3}{6} + C_3$$

$$EI \cdot y_3 = -F \frac{x_3^3}{6} - M \frac{(x_3 - 2)^2}{2} - q \frac{(x_3 - 4)^4}{24} + C_3 x_3 + D_3$$

**ОЖ қирқим.**  $6 \leq x_4 \leq 8$  м

$$EI \cdot y_4'' = -Fx_4 - M(x_4 - 2)^0 - q \frac{(x_4 - 4)^2}{2} + q \frac{(x_4 - 6)^2}{2}$$

$$EI \cdot y_4' = -F \frac{x_4^2}{2} - M(x_4 - 2)^1 - q \frac{(x_4 - 4)^3}{6} + q \frac{(x_4 - 6)^3}{6} + C_4$$

$$EI \cdot y_4 = -F \frac{x_4^3}{6} - M \frac{(x_4 - 2)^2}{2} - q \frac{(x_4 - 4)^4}{24} + q \frac{(x_4 - 6)^4}{24} + C_4 x_4 + D_4$$

Интеграллаш доимийликларини аниқтаймиз:

$X_1 = 2$  м ва  $X_2 = 2$  м бўлса,  $y_1^i = y_2^i$  ва  $y_1 = y_2$  ҳосил бўлади, яъни  $OB$  оралиқдан  $KB$  оралиққа ўтиш кесимидағи айланиш бурчаклари ва салқиликлари тенг:

$$-F \frac{4}{2} + C_1 = -F \frac{4}{2} + C_2 \text{ ва}$$

$$-F \frac{8}{6} + C_1 \cdot 2 + D_1 = -F \frac{8}{6} + C_2 \cdot 2 + D_2$$

Шунинг учун  $C_1 = C_2$  ва  $D_1 = D_2$  шу усул билан  $x_2 = 4$  м =  $= x_3$  да  $y_2' = y_3'$  ва  $y_2 = y_3$ , тенгликлар асосида  $C_3 = C_2$  ва  $D_2 = D_3$  лар;  $x_3 = 6$  м =  $x_4$  да  $y_3' = y_4'$  ва  $y_3 = y_4$ , шунинг учун  $C_3 = C_4$  ва  $D_3 = D_4$  тенгликлар ҳосил қилинади.

Демак,  $C_1 = C_2 = C_3 = C_4 = C$  ва  $D_1 = D_2 = D_3 = D_4 = D$  кўри-нишда ҳамма интеграллаш доимийликлари ўзаро тенг эканлиги келиб чиқади. Тўртта оралиқдан иборат балканинг дифференциал тенгламаларини интеграллашда ҳосил бўлган саккизта номаълум интеграллаш доимийликлари иккитага келтирилади. Бу доимийликларни:  $C = EI \cdot \theta_0$

ва  $D = EI \cdot y_0$  кўринишда, яъни балканинг бошлангич кесимини айланиши бурчаги  $\theta_0$  ва салқилиги  $Y_0$  орқали ифодалаш мумкин. Барча интеграллаш доимийликлари тенглигидан фойдаланиб балканинг охирги оралиқлари учун дифференциал тенгламани қўйидагида кўринишда ёзамиш:

$$\theta = \theta_0 + \frac{1}{EI} \left[ -F \frac{x^2}{2} - M(x-2)' - q \frac{(x-4)^3}{6} + q \frac{(x-6)^3}{6} \right] \quad (7.7)$$

$$y = y_0 + \theta_0 x + \frac{1}{EI} \left[ -F \frac{x^3}{6} - M \frac{(x-2)^2}{2} - q \frac{(x-4)^4}{24} + q \frac{(x-6)^4}{24} \right] \quad (7.8)$$

Ҳосил бўлган тенгламалар (7.7) ва (7.8) универсал формулалар дейилади. Формуланинг универсаллиги унинг балка узунлиги бўйлаб барча оралиқларини ҳисобга олишида. Балкани қайси оралиқнинг деформациясини ўрганиш керак бўлса, универсал формулада шу оралиқдаги кучлар қолдирилади; бошқа кучлар эса ташлаб юборилади. Балканинг барча оралиқлари учун  $\theta_0$  ва  $Y_0$  лар умумийдир.

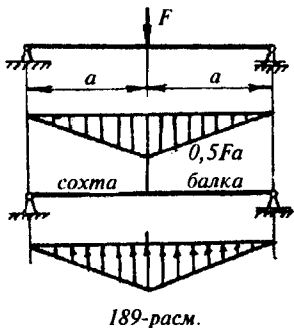
#### 7.4. ЭГИЛИШДА КЎЧИШНИ ТОПИШНИНГ ГРАФОАНАЛИТИК УСУЛИ

Графоаналитик усул билан балкани танланган кесимининг салқилиги ва айланиш бурчагини аниқлаш мумкин. Бу усулнинг аналитик томони балка эгилган ўқининг тақрибий дифференциал тенгламасига асосланган, яъни:

$$\frac{d^2(EI \cdot y)}{dx^2} = EI \frac{d^2y}{dx^2} = M \quad (7.9)$$

Бу ерда:  $M$  — берилган балканинг эгувчи моменти (189-расм).

Масаланинг график томонини ёритиш учун сохта балка ва сохта куч тушунчаларини киритамиз. Сохта балка ҳақи ҳий балкадан фарқ қиласида ва у сохта куч интенсивлиги  $q_f$ , яъни ҳақиқий балка эгувчи моментининг эпюораси билан юклаймиз. Демак, сохта куч миқдор жиҳатдан эгувчи моментга тенг экан, яъни:  $M = q_f$ . Сохта куч интенсивлиги —  $q_f$  ҳақиқий балканинг эгувчи моменти қонунияти юлан ўзгаради.



Сохта күч интенсивлигиги билан сохта эгувчи момент орасидаги дифференциал боғланишни ҳақиқий балкадаги  $M$  ва  $q$  орасидаги боғланиш асосида ёзамиз:

$$\frac{d^2 M_f}{dx^2} = q_f \quad (7.10)$$

$M = q_f$  тенгликни ҳисобга олсақ, (7.9) ва (7.10) тенглемаларни солишириб қуидаги формуулани ҳосил қиласыз:

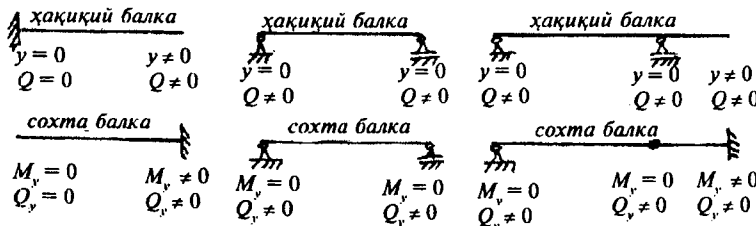
$$\frac{d^2 (EI \cdot y)}{dx^2} = \frac{d^2 M_f}{dx^2} \quad (7.11)$$

(7.11) формулани интеграллаб, ихтиёрий ўзгармас чап ва ўнг томон интеграллаш доимийларини ўзаро тенглаштырасак, қуидагини ҳосил қиласыз:

$$\frac{d(EI \cdot y)}{dx} = EI \theta \frac{dM_f}{dx} \text{ ва } EI \cdot y = M_f$$

Берилган ташқи күч таъсирида ҳақиқий балка ихтиёрий кесимининг айланиш бурчаги —  $\theta$  сохта балканинг шу кесимидағи күндаланг күчнинг ҳақиқий балканинг бикрлигига бўлинмасига тенг:

$$\theta = \frac{\Omega_f}{EI} \quad (7.12)$$



190-расм.

Берилган ташқи күч таъсирида ҳақиқий балканинг ихтиёрий нуқтасининг салқилиги —  $Y$ , сохта балканинг шу нуқтасидаги эгувчи момент  $M$ , нинг ҳақиқий балканинг бикрлиги бўлинмасига тенг:

$$y = \frac{M_f}{EI} \quad (7.13)$$

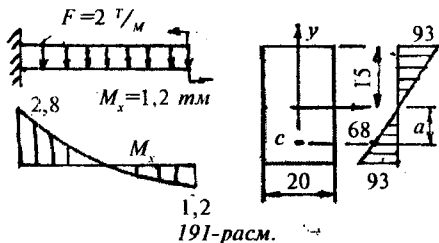
Ҳақиқий балканинг танланган кесимининг айланиш бурчаги ва салқилигини аниқлаш учун сохта балканинг шу кесимидағи сохта кўндаланг күч ва сохта эгувчи моментини аниқлаш керак экан. Сохта балкани танлаш шартлари 190-расмда кўрсатилган.

### *Савол ва топшириқлар*

1. Соф эгилиш деб нимага айтилади?
2. Соф эгилишга мисоллар келтириңг.
3. Нейтрал қатлам деб қандай материалга айтилади?
4. Эгилишда нормал кучланиш формуласини ёзинг.
5. Эгилишда нормал кучланиш балка кесимининг юзасида қандай қонуният билан ўзгаради?
6. Эгилишда уринма кучланиш формуласини ёзинг?
7. Эгилишда уринма кучланиш балка кесимининг юзасида қандай қонуният билан ўзгаради?
8. Эгилишда нормал кучланиш бўйича мустаҳкамлик шарти формуласини ёзинг.
9. Эгилишда уринма кучланиш бўйича мустаҳкамлик шарти формуласини ёзинг?
10. Тент қаршилик кўрсатувчи балкалар деб нимага айтилади?
11. Балка кесимининг айланиш бурчаги ва салқилиги нима?
12. Эгилиш деформацияси қандай усуllар билан топилади?
13. Балка эгилган ўқининг тақрибий дифференциал тентгасини ёзинг.
14. Универсал формулани ёзинг.

**1-масала.** Берилган балка учун эгувчи момент эпюраси қурилсин; хавфли кесимдаги энг катта нормал кучланиш ва шу кесимдаги С нуқтанинг кучланиши топилсин.

**Ечиш.**  $M_x = M_0 - q \frac{x^2}{2}$  тенгламадан  $x = 0$  да  $M_x = 1,2$  тм,



$x = 1,09 \text{ м}$ ,  $M_x = 0$  ва  
 $x = 2 \text{ м}; M_x = 2,8 \text{ тм}$   
 ҳосил қиласиз. Кесимнинг  $x$  ўқига нисбатан қаршилик моментини топамиз:

$$W_x = \frac{bh^2}{6} = \frac{0,2(0,3)^2}{6} = 3 \cdot 10^{-3} \text{ м}^3$$

Энг катта эгувчи момент балканинг таянч кесимида ҳосил бўлади:

$$M_{\max} = 2,8 \text{ тм} = 28 \text{ кНм} \text{ ва}$$

$$\sigma_{\max} = \frac{M_{\max}}{W_x} = \frac{28}{3 \cdot 10^{-3}} = 9,3 \cdot 10^3 \frac{\text{кН}}{\text{м}^2}$$

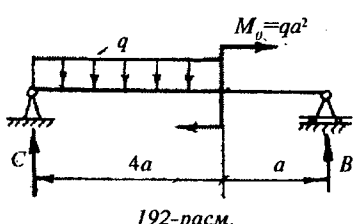
$C$  нуқта балка кесимининг ўқидан

$$y - a = \frac{h}{2} - 4 = 11 \text{ см} = 0,11 \text{ м} \quad \text{масофада жойлашган.}$$

$$\sigma_c = \frac{-M_{\max} \cdot (y - a)}{I_x} = \frac{28 \cdot 0,11}{4,5 \cdot 10^{-4}} = -0,684 \cdot 10^{11} \frac{\text{кН}}{\text{м}^2}$$

$$\text{Бу ерда: } I_x = \frac{bh^3}{12} = \frac{0,2(0,3)^3}{12} = 4,5 \cdot 10^{-4} \text{ м}^4$$

## 2-масала.



Узунлиги  $\ell = 3 \text{ м}$  бўлган тўғри бурчакли кесимли балка 192-расмда кўрсатилгандек юкланган.

Ўлчамлари  $h = 0,2 \text{ м}$ ,  $b = 0,12 \text{ м}$  бўлган балканинг хавфли кесимдаги энг катта нормал кучланиши  $\sigma_{\max} = 1,21 \frac{\text{кН}}{\text{м}^2}$  дан фойдаланиб, тақсимланган куч интенсивлиги —  $q$  топилсин.

**Ечиш.** Реакция кучларини топамиз:

$$\sum M_c = q \cdot 4a \cdot \frac{4a}{2} + M_0 - B \cdot 5a = 0; \quad B = \frac{9}{5} q \cdot a$$

$$\sum M_B = C \cdot 5a - q \cdot 4a \left( \frac{4a}{2} + a \right) + M = 0; \quad C = \frac{11}{5} q \cdot a$$

$M_x$  ва  $Q$  тенгламаларни тузамиз:

$$M_x = c \cdot x - q \frac{x^2}{2} \quad \text{ва} \quad Q = c - qx$$

Балкани  $Q = 0$  бўлган нуқтасида  $M_x = M_{\max}$ . Шунинг учун  $Q = 0$  нуқтанинг координатаси —  $x$  ни топамиз.  $C - qx = 0$  ёки:

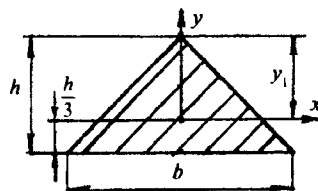
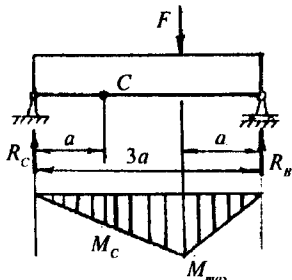
$$x = \frac{c}{q} = \frac{11 \cdot q \cdot a}{5q} = \frac{11a}{5}$$

$$\text{У ҳолда: } M_{\max} = C \cdot \frac{11a}{5} - q \frac{\left(\frac{11a}{5}\right)^2}{2} = 2,42qa^2$$

Балка хавфли кесимининг мустаҳкамлик шартини ёзамиш:

$$\sigma_{\max} = \frac{M_{\max}}{W} = \frac{2,42qa^2}{bh^2} = 1,21 \frac{\kappa H}{m^2}$$

$$\text{Бу ерда: } q = \frac{1,21 \cdot b \cdot h^2}{2,42 \cdot 6 \cdot a^2} = \frac{1,21 \cdot 0,12 \cdot (0,20)^2}{2,42 \cdot 6 \cdot 1} = 4 \cdot 10^{-4} \frac{\kappa H}{m}$$



193-расм.

### 3-масала.

$F$  күч таъсиридан балка кесимининг  $C$  нуқтасида ҳосил бўлган нормал кучланиш  $\sigma_c = 3 \frac{\kappa H}{m^2}$ . Балканинг  $M = M_{\max}$  бўлган хавфли кесимидағи абсолют қиймати энг катта бўлган нормал кучланиш топилсин.

**Ечиш.** Реакция кучлари  $R_c = \frac{F}{3}$  ва  $R_b = \frac{2F}{3}$

$M$  эпюрасидан  $M_c = R_c \cdot a = \frac{Fa}{3}$  ва  $M_{\max} = \frac{2}{3} Fa$  ҳосил

қиласиз. Нуқта учун балканинг мустаҳкамлик шарти —

$$\sigma_c = \frac{M_c}{W} \text{ дан } M_c = \sigma_c \cdot W \text{ ни топамиз.}$$

$$\text{У ҳолда: } M_c = \sigma_c \cdot \frac{I_y}{y} = \sigma_c \cdot \frac{bh^3 \cdot 3}{12 \cdot h} = \sigma_c \cdot \frac{bh^2}{4} = 0,75bh^2$$

$M$  эпюрасидан ва мустаҳкамлик шартидан келиб чиқсан  $M_c$  моментларини солиштирсак,

$$\frac{Fa}{3} = 0,75bh^2 \text{ ва } F = \frac{2,25bh^2}{a} \text{ ни ҳосил қиласиз.}$$

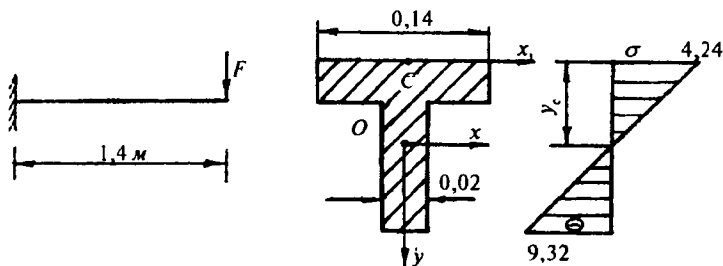
$$\text{У ҳолда: } M_{\max} = \frac{2}{3} \cdot \frac{2,25bh^2 \cdot a}{a} = 1,5bh^2. \text{ Балканинг хавф-}$$

ли кесимидағи энг катта нормал кучланишни топамиз:

$$\sigma_{\max} = \frac{M_{\max} \cdot y_1}{I_x} = \frac{1,5bh^2}{bh^3} \cdot \frac{2}{3} h = \frac{1,5 \cdot \frac{2}{3}}{12} = 12 \frac{\kappa H}{m^2}$$

**4-масала.** Узунлиги  $\ell = 1,4 \text{ м}$  консоль балканинг хавфли кесимидағи чўзувчи нормал кучланиши —  $\sigma = 4,24 \frac{\kappa H}{m^2}$ . Балкага қўйилган  $F$  күч ва сиқувчи нормал кучланиш топилсин.

**Ечиш.** Балканинг таянч кесими энг хавфли ҳисобларади, чунки бу кесимда:  $M_x = M_{\max} = -F \cdot \ell = -1,4F$



194-расм.

$F$  күч таъсиридан балканинг эгилишида юқори толалар чўзилади, пастки толалари эса сиқилади. Шунинг учун юқори толалардаги энг катта чўзувчи кучланиш  $\sigma_{\max} = 4,24 \frac{kH}{m^2}$ . Чўзувчи кучланишлар бўйича балкани хавфли ҳолатидаги материалининг мустаҳкамлик шартини ёзамиш:  $\sigma_{\max} = \frac{M_{\max} \cdot y_0}{I_x} = 4,24 \frac{kH}{m^2}$ .

Бу ерда:  $y_0$  — балка кесимининг нейтрал ўқидан  $C$  нуқтагача бўлган масофа:  $y_0 = \frac{\sum Sx}{\sum A}$

$I_x$  — балка кесимининг нейтрал ўққа нисбатан инерция моменти.

$S_{x_1}$  — балка кесимининг  $x_1$  ўқига нисбатан статик моменти.

$$\sum S_{x_1} = 0,14 \cdot 0,02 \cdot 0,01 + 0,14 \cdot 0,02 \left( \frac{0,14}{2} + 0,02 \right) = 2,8 \cdot 10^{-4} \text{ м}^3$$

$$\sum A = 2 \cdot 0,14 \cdot 0,02 = 5,6 \cdot 10^{-3} \text{ м}^2$$

$$\text{У ҳолда: } y_0 = \frac{2,8 \cdot 10^{-4}}{5,6 \cdot 10^{-3}} = 0,05 \text{ м}$$

$$I_x = \frac{0,14(0,02)^3}{12} + 0,14 \cdot 0,02(y_0 - 0,01)^2 + \frac{0,02(0,14)^3}{12} + \\ + 0,02 \cdot 0,14(0,02 + 0,07 - y_0)^2 = 1,3623 \cdot 10^{-5} \text{ м}^4$$

формуладан фойдаланиб  $F$  кучни топамиз:  $\frac{1,4Fy_0}{I_x} = 4,24 \frac{\kappa H}{m^2}$

$$\text{ва } F = \frac{4,24 \cdot I_x}{1,4 \cdot y_0} = \frac{4,24 \cdot 1,3623 \cdot 10^{-5}}{1,4 \cdot 0,05} \approx 8,25 \cdot 10^{-5} \kappa H$$

Кесимнинг  $B$  нуқтасидаги нормал құчланишни топамиз:

$$M_{\max} = 82,5 \cdot 10^{-5} \cdot 1,4 = 115,5 \cdot 10^{-5} \kappa Hm$$

$$\sigma_B = \frac{115,5 \cdot y_B \cdot 10^{-5}}{1,3623 \cdot 10^{-5}} = -\frac{115,5 \cdot 10^{-5} (0,16 - 0,05)}{1,3623 \cdot 10^{-5}} = 9,32 \frac{\kappa H}{m^2}$$

### 5-масала.

Еғөндір тайёрланған балка учун  $h = 1,5b$  нисбатдан фойдаланиб түгри бурчакли кесим танлансин.

$$\text{Берилған: } a = 0,25 \text{ м; } q = 10 \frac{\kappa H}{m}; \quad F = 10qa = 25 \kappa H$$

$$[\sigma] = 10 \frac{\kappa H}{m^2}; \quad [\tau] = 0,12 \frac{\kappa H}{m^2}$$

**Ечиш.** Бир томони қыстириб маңкамланған балканинг хавфли кесимидағи әгувчи момент ва құндаланғ кучни топамиз.

**I қырқым.**  $0 \leq x_1 \leq 0,75 \text{ м}$

$$Mx_1 = -q \frac{x_1^2}{2} \quad \text{ва} \quad Q_1 = -qx_1$$

$$x_1 = 0; \quad Mx_1 = 0 \quad \text{ва} \quad Q_1 = 0$$

$$x_1 = 0,75 \text{ м; } \quad Mx_1 = -2,81 \kappa Hm$$

$$Q_1 = -7,5 \kappa H$$

**II қырқым.**  $0,75 \leq x_2 \leq 1 \text{ м}$

$$Mx_2 = -q \frac{x_2^2}{2} - F(x_2 - 0,75); \quad Q_2 = -qx_2 - F$$

$$x_2 = 0,75 \text{ м; } \quad M_2 = -2,81 \kappa Hm; \quad Q_2 = -32,5 \kappa H$$

$$x_2 = 1 \text{ м; } \quad M_2 = -11,25 \kappa Hm; \quad Q_1 = -35 \kappa H$$

Балканинг хавфли кесими таянч нуқтасида экан:

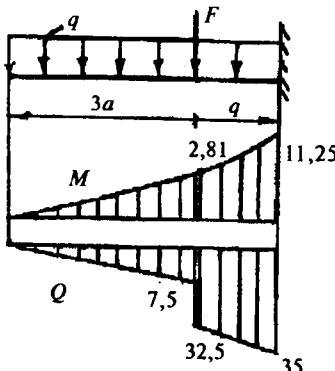
$$M_{\max} = -11,25 \text{ kNm} \text{ ва}$$

$$Q_{\max} = -35 \text{ kN}$$

Хавфли кесим учун нормал ва уринма кучланишлар бўйича мустаҳкамлик шартларини ёзмиз:

$$\sigma_{\max} = \frac{M_{\max}}{W_x} \leq [\sigma] \text{ ва}$$

$$\tau_{\max} = \frac{Q_{\max} \cdot S_x}{I_x \cdot b} \leq [\tau]$$



195-расм.

Бу ерда:  $W_x = \frac{bh^2}{6}$  кесимнинг  $x$  ўқига нисбатан қаршилик моменти ( $\text{m}^3$ ),  $S_x = b \cdot \frac{h}{2} \cdot \frac{h}{4} = \frac{bh^2}{8}$  кесимнинг  $x$  ўқига нисбатан статик моменти ( $\text{m}^3$ ),  $I_x = \frac{bh^3}{12}$  кесимнинг  $x$  ўқига нисбатан инерция моменти,  $\text{m}^2$  кесимнинг ўлчамларини нормал кучланиш бўйича мустаҳкамлик шартидан фойдаланиб топамиз. Кесимнинг ўлчамларини нормал кучланиш бўйича мустаҳкамлик шартидан фойдаланиб топамиз.

$$\frac{6M_{\max}}{hb^2} = [\sigma] \text{ ёки } h = 1,5b \text{ ни ҳисобга олсак:}$$

$$b = \sqrt[3]{\frac{6 \cdot M_{\max}}{1,5 [\sigma]}} = \sqrt[3]{\frac{6 \cdot 11,25}{1,5 \cdot 10^4}} = 0,165 \text{ м}$$

$$h = 1,5 \cdot b = 1,5 \cdot 0,165 = 0,2475 \text{ м}$$

Кесимнинг ўлчамларини уринма кучланишга боғлаб аниқлаймиз:  $\tau_{\max} = \frac{Q_{\max} \cdot \frac{bh^2}{8}}{\frac{bh^3}{12} \cdot b} \leq [\tau]$ :  $h = 1,5b$  нисбатни ҳисобга олсак:

$$\tau_{\max} = \frac{3}{2} \cdot \frac{Q_{\max}}{1,5 \cdot b^2} \leq [\tau] \quad \text{ёки} \quad b = \sqrt{\frac{Q_{\max}}{[\tau]}} = \sqrt{\frac{35}{0,12 \cdot 10^4}} \approx 0,17 \text{ м}$$

$h = 1,5 \cdot b = 1,5 \cdot 0,17 = 0,255 \text{ м}$      $b = 0,17 \text{ м}$ ;    ва  $h = 0,255 \text{ м}$  ўлчамларни қабул қиласиз.

**6-масала.** П шаклли профилнинг деворлари баландлиги бўйлаб нормал  $\sigma$  ва уринма  $\tau$  кучланишларнинг тарқалиш қонунияти графикасини қуиринг.

Берилган:  $Q_{\max} = 120 \text{ кН}$ ;  $M_{\max} = 50 \text{ кНм}$

**Ечиш.** Кесимнинг нейтрал ўқининг ҳолатини аниқлаймиз. Нейтрал ўқ кесимнинг оғирлик марказидан ўтади. Шунинг учун П шаклли кесимнинг оғирлик марказининг координаталарини аниқлаймиз. Кесим  $Z$  ўқига нисбатан симметрик бўлганилиги учун:

$$y_c = 0. \quad \text{У ҳолда: } Z_c = \frac{\sum S_{y_1}}{\sum A} = \frac{11,04 \cdot 10^{-4}}{9,6 \cdot 10^{-3}} = 0,115 \text{ м}$$

$\sum S_y$  — кесимнинг  $y_1$  ўқига нисбатан статик моменти,  $\text{м}^3$ .

$$\begin{aligned} \sum A &— шаклнинг кесим юзаси, \text{м}^2. \\ \sum S_y &= 0,02 \cdot 0,12 \cdot 0,19 + 2 \cdot 0,18 \cdot 0,02 \cdot 0,09 = 11,04 \cdot 10^{-4} \text{ м}^4 \end{aligned}$$

$$\sum A = 2 \cdot 0,02 \cdot 0,18 + 0,02 \cdot 0,12 = 9,6 \cdot 10^{-3} \text{ м}^2$$

Параллел ўқларга нисбатан инерция моментлари формуласидан фойдаланиб кесимнинг у ўқига нисбатан инерция моментини топамиш:

$$\begin{aligned} I_y &= 2 \left[ \frac{0,02 \cdot [0,18]^3}{12} + (0,025)^2 \cdot 0,02 \cdot 0,18 \right] + \\ &\quad + \frac{0,12(0,02)^3}{12} + 0,75^2 \cdot 0,02 \cdot 0,12 \\ I_y &= 37,52 \cdot 10^{-6} \text{ м}^4 \end{aligned}$$

$\sigma = \frac{M_{\max} \cdot Z}{I_y}$  формуладан фойдаланиб кесимнинг баландлиги бўйлаб нормал кучланишнинг ўзгаришини топамиш.

Бу ерда:  $Z$  — кучланиш текширилаётган нүктадан кесимнинг нейтрал ўқигача бўлган масофа, м.

$$1\text{-нукта } (Z_1 = 0,085 \text{ м}); \sigma^I = \frac{-50 \cdot 0,085}{37,52 \cdot 10^{-6}} = -113,273 \cdot 10^3 \frac{\text{кН}}{\text{м}^2}$$

$$2\text{-нукта } (Z_2 = 0,065 \text{ м}); \sigma^{II} = \frac{-50 \cdot 0,065}{37,52 \cdot 10^{-6}} = -86,62 \cdot 10^3 \frac{\text{кН}}{\text{м}^2}$$

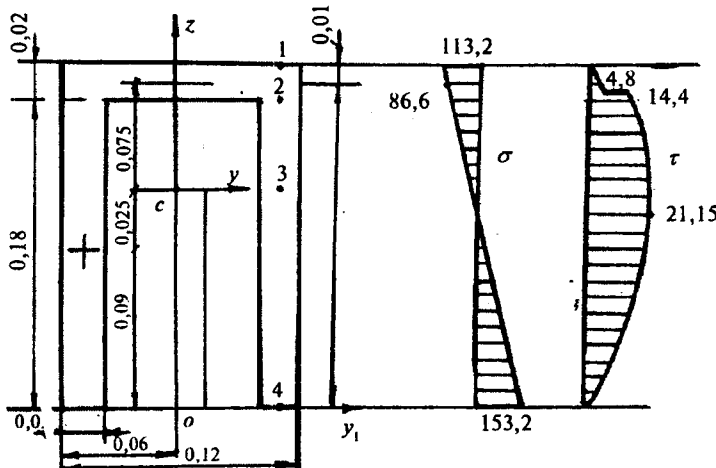
$$3\text{-нукта } (Z_3 = 0); (\sigma^{III} = 0)$$

$$4\text{-нукта } (Z_4 = 0,115 \text{ м}); \sigma^{IV} = \frac{50 \cdot 0,115}{37,52 \cdot 10^{-6}} = +153,25 \cdot 10^3 \frac{\text{кН}}{\text{м}^2}$$

Масаланинг берилишида эгувчи моментнинг ишораси мусбат. Демак, кесимнинг 1- ва 2-нукталар жойлашган қисми сиқилишга ва 4-нукта жойлашган томони чўзилишга ишлади.

Журавский формуласидан фойдаланиб кесим кесими-нинг баландлиги бўйлаб уринма кучланишнинг ўзарини аниқлаймиз:

$$\tau = \frac{Q_{\max} \cdot S_y}{I_y b(d)}$$



196-расм.

Бу ерда:  $S$  — кесимнинг четки нуқтасидан пастда ва кучланиш текшириладиган нуқтадан юқорида жойлашган юзасининг нейтрал ўққа нисбатан статик моменти.

1-нуқта учун:  $S_1 = 0$  ва  $\tau_1 = 0$

2-нуқта учун:  $S_2 = 0,02 \cdot 0,12 \cdot 0,075 = 1,8 \cdot 10^{-4}$ ,  $m^3$

$$\tau_2 = \frac{120 \cdot 1,8 \cdot 10^{-4}}{37,52 \cdot 10^{-6} \cdot 0,12} = 4,8 \cdot 10^3 \frac{kH}{m^2}$$

Нуқта кесимнинг супачасидан деворига ўтиш қисмида жойлашгани учун кесимнинг эни 0,12 метрдан 0,02 м қадар камаяди.

$$\tau_2^1 = \frac{120 \cdot 1,8 \cdot 10^{-4}}{37,52 \cdot 10^{-6} \cdot 2 \cdot 0,02} = 14,4 \cdot 10^3 \frac{kH}{m^2}$$

3-нуқта учун:

$$S_3 = 1,18 \cdot 10^{-4} + 2 \cdot 0,02 \cdot 0,065 \cdot \frac{0,065}{2} = 26,45 \cdot 10^{-5} m$$

$$\tau_3 = \frac{120 \cdot 2,645 \cdot 10^{-4}}{37,52 \cdot 10^{-6} \cdot 2 \cdot 0,02} = 21,15 \cdot 10^3 \frac{kH}{m^2}$$

4-нуқта учун:  $S_4 = 0$  ва  $\tau_4 = 0$

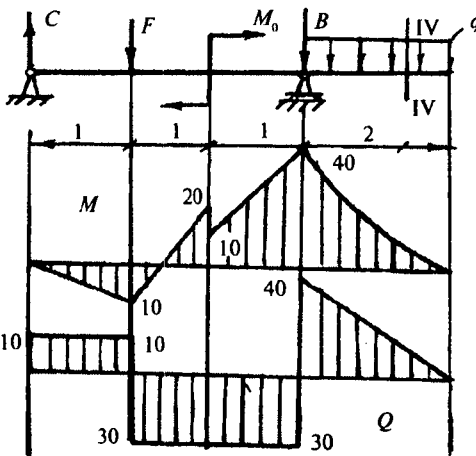
**7-масала.** Берилган пўлат материалдан тайёрланган балка учун қўштаврли кесим танлансин. Балканинг хавфли кесими III мустаҳкамлик назарияси асосида тўлиқ текширилсин. Балка материалининг рухсат этилган уринма кучланиши  $[\tau] = 100 \text{ MPa}$ , нормал кучланиши  $[\sigma] = 160 \text{ MPa}$

Берилган:  $F = 40 \text{ kN}$ ;  $M_0 = 10 \text{ kNm}$ ;  $q = 20 \frac{\text{kH}}{m}$

**Ечиш.** Реакция кучларини топамиз:

$$\sum M_c = F \cdot 1 + M_0 - B \cdot 3 + q \cdot 2 \left( \frac{2}{2} + 3 \right) = 0; \quad B = 70 \text{ kN}$$

$$\sum M_B = C \cdot 3 - F \cdot 2 + M_0 + q \cdot 2 \left( \frac{2}{2} \right) = 0; \quad C = 10 \text{ kN}$$



197-расм.

Балканинг узунлиги бўйича эгувчи момент  $M_x$  ва қўндаланг куч —  $Q$  ни топамиз.

**I—I қирқим.**  $0 \leq x_1 \leq 1\text{m}$

$$M_{x_1} = c \cdot x_1 \quad \text{ва} \quad Q_1 = c = 10 \text{ kH}$$

$$x_1 = 0; \quad M_{x_1} = 0$$

$$x_1 = 1\text{m}; \quad M_{x_1} = 10 \text{ kNm}$$

**II-II қирқим.**  $0 \leq x_2 \leq 1\text{m}$

$$M_{x_2} = c(1 + x_2) - Fx_2$$

$$Q_2 = c - F = 10 - 40 = -30 \text{ kH}$$

$$x_2 = 0; \quad M_{x_2} = 10 \text{ kNm}$$

$$x_2 = 1\text{m}; \quad M_{x_2} = -20 \text{ kNm}$$

**III-III қирқим.**  $0 \leq x_3 \leq 1\text{m}$

$$M_{x_3} = c(2 + x_3) - F(1 + x_3) + M_0$$

$$Q_3 = c - F = 10 - 40 = -30 \text{ kH}$$

$$x_3 = 0; \quad M_{x_3} = -10 \text{ kNm}; \quad x_3 = 1 \text{ m}; \quad M_{x_3} = -40 \text{ kNm}$$

**IV—IV қирқим.**  $0 \leq x_4 \leq 2 \text{ m}$

$$M_{x_4} = -qx_4 \frac{x_4}{2} \quad \text{ва} \quad Q_4 = qx_4$$

$$x_4 = 0; \quad M_{x_4} = 0 \quad \text{ва} \quad Q_4 = 0$$

$$x_4 = 2 \text{ m}; \quad M_{x_4} = -40 \text{ kNm}; \quad Q_4 = 40 \text{ kN}$$

Балканинг  $B$  таянч кесими хавфли ҳолатда:

$$M_{\max} = -40 \text{ kNm}; \quad Q_{\max} = 40 \text{ kN}$$

Нормал кучланиш бўйича мустаҳкамлик шарти:

$$\sigma_{\max} = \frac{M_{\max}}{W_x} \leq [\sigma] \quad \text{асосида балканинг кесимини танлаймиз:}$$

$$W_x = \frac{M_{\max}}{[\sigma]} = \frac{40}{160 \cdot 10^3} = 0,25 \cdot 10^{-3} \text{ m}^3$$

$W_T = 0,254 \cdot 10^{-3} \text{ m}^3$  қаршилик моментли N-22a қўштаврни қабул қиласиз. Танланган қўштаврли кесимда нормал кучланиш бўйича мустаҳкамлик шартини текширамиз:

$$\sigma_{\max} = \frac{40}{0,254 \cdot 10^{-3}} = 157,48 \cdot 10^3 \frac{\text{kH}}{\text{m}^2} < [\sigma]$$

Кесимдаги энг катта нормал кучланиш —  $\sigma_{\max}$  балканинг материали учун рухсат этилган кучланишидан кичик экан. Шунинг учун  $W_T = 0,254 \cdot 10^{-3} \text{ m}^3$  қаршилик моменти N-22a қўштаврни қабул қиласиз:

$$h = 0,22 \text{ m}; \quad b = 0,12 \text{ m}; \quad d = 0,0054 \text{ m}$$

$$t = 0,0089 \text{ m}; \quad I_x = 2790 \cdot 10^{-8} \text{ m}^4; \quad W_x = 0,254 \cdot 10^{-3} \text{ m}^3$$

$$S_x = 143 \cdot 10^{-6} \text{ m}^3$$

Балканинг мустаҳкамлигини уринма кучланиш бўйича текширамиз:

$$\tau_{\max} = \frac{Q_{\max} \cdot S_x}{I_x \cdot d} = \frac{40 \cdot 143 \cdot 10^{-6}}{2790 \cdot 10^{-8} \cdot 0,0054} = 3,87 \cdot 10^3 \frac{\text{kH}}{\text{m}^2} < [\tau]$$

σ ва τ қўштаврнинг баландлиги бўйича ўзгариш тавсифини аниқлаймиз (198-расм). Бунинг учун қўштаврнинг баландлиги бўйича тўққизта нуқтанинг нормал ва уринма кучланишларини топамиз.

Нормал кучланиш куйидаги формула билан топилади:  
 $\sigma = \frac{M_{\max}}{I_x} \cdot y$ ; бу ерда:  $y$  — кучланиш текширилаётган нуқтадан қўштавр кесимининг нейтрал ўқигача бўлган масофа, м:

$$y_1 = \frac{h}{2} = 0,11 \text{ м}; \quad y_{2,3} = \frac{h}{2} - t = \frac{0,22}{2} - 0,0089 = 0,101 \text{ м}$$

$$y_4 = \frac{h_0}{4} = \frac{h - 2t}{4} = \frac{0,22 - 2 \cdot 0,009}{4} = 0,05 \text{ м}$$

$$y_5 = 0; \quad y_6 = -0,05 \text{ м}; \quad y_{7,8} = -0,101 \text{ м}; \quad y_9 = -0,11 \text{ м}$$

Уринма кучланиш Журавский формуласи билан топилади:

$$\tau = \frac{Q_{\max} \cdot S_x^0}{I_x b(d)}$$

$S_x^0$  — қўштавр кесимининг четки нуқтаси билан кучланиши текширилаётган нуқта орасидаги юзасини нейтрал ўққа нисбатан статик моменти, м;

$I_x$  — қўштавр кесимининг нейтрал ўққа нисбатан инерция моменти, м;

$b(d)$  — кучланиши текширилаётган нуқта жойлашган кесимнинг эни, м.

Қўштаврнинг баландлиги бўйича  $\tau$  нинг ўзгариши (198-расм)  $S_x^0$  га боғлиқ:  $S_x^t = 0$

$$S_x^{II} = S_x^{III} = b \cdot t \frac{h - t}{2} = 0,12 \cdot 0,0089 \frac{0,22 - 0,0089}{2} = 1,13 \cdot 10^{-4} \text{ м}^4$$

$$S_x^{IV} = 1,13 \cdot 10^{-4} + \frac{d}{2} \left( \frac{h_0^2}{L_4} - y^2 \right) = 1,13 \cdot 10^{-4} +$$

$$+ \frac{0,0054}{2} \left[ \frac{(0,2022)^2}{4} - (0,05)^2 \right] = 1,33 \cdot 10^{-4} \text{ м}^3$$

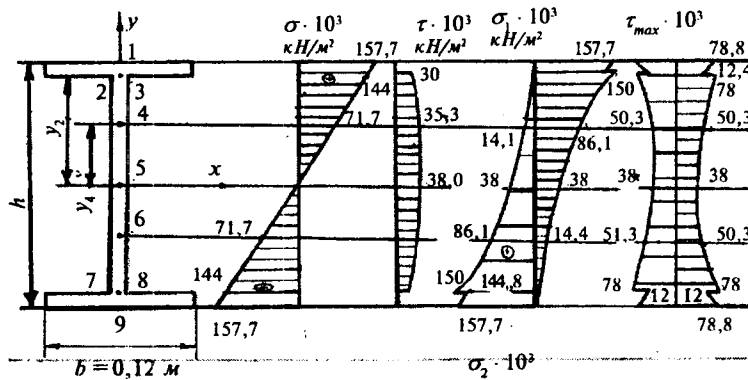
$$S_x^V = 1,33 \cdot 10^{-4} + \frac{0,0054}{2} \cdot \frac{(0,2022)^2}{4} = 1,4 \cdot 10^{-4} \text{ м}^3 \approx S_x$$

σ ва τ — катталикларни ҳисоблашни жадвалда бажарыш қулай (5-жадвал). Кесимнинг баландлиги бўйлаб бош кучланишларни қуидаги формулалар билан аниқлаймиз:

$$\sigma_{1,3} = \frac{1}{2} [\sigma \pm \sqrt{\sigma^2 + 4\tau^2}] \quad \text{ва} \quad \tau_{\max} = \pm \frac{1}{2} \sqrt{\sigma^2 + 4\tau^2}$$

Бош нормал кучланишларнинг йўналишини қуидаги формуладан топамиз:

$$\operatorname{tg} 2\alpha = -\frac{2\tau}{\sigma}$$



198-расм.

**8-масала.** Берилган балканинг таянч кесимлари айланыш бурчаклари, С ва Д нуқталарнинг салқиликлари топилсин.

$$EI = 4 \cdot 10^3 \text{ kNm}^2$$

Ечиш. Балканинг реакция кучларини топамиз (199-расм).

$$\sum M_A = -F \cdot 1 - R_B \cdot 4 + F \cdot 5 = 0;$$

$$R_B = F = 40 \text{ kN}$$

$$\sum M_B = -F \cdot 5 - R_A \cdot 4 + F \cdot 1 = 0;$$

$$R_A = 40 \text{ kN}$$

Эгувчи момент тенгламаларини тузамиз ва эпюрасини курамиз.

I—I қирқим.  $0 \leq x_1 \leq 1 \text{ м}$

$$M_{x_1} = -Fx_1; \quad x_1 = 0; \quad M_{x_1} = 0 \\ \text{ва} \quad x_1 = 1 \text{ м}; \quad M_{x_1} = -40 \text{ кНм}$$

II—II қирқим.  $1 \leq x_2 \leq 5 \text{ м}$

$$M_{x_2} = -Fx_2 + R_A(x_2 - 1) \\ x_2 = 1 \text{ м}; \quad M_{x_2} = -40 \text{ кНм}; \quad x_2 = 5 \text{ м}; \quad M_{x_2} = -40 \text{ кНм}$$

III—III қирқим.  $5 \leq x_3 \leq 6 \text{ м}$

$$M_{x_3} = -Fx_3 + R_A(x_3 - 1) + R_B(x_3 - 5) \\ x_3 = 5 \text{ м} \quad M_{x_3} = -40 \text{ кНм}; \quad x_3 = 6 \text{ м}; \quad M_{x_3} = 0$$

Универсал формулани тузамиз:

Кесимнинг айланиш бурчаги:

$$\theta = \theta_0 + \frac{1}{EI} \left[ -F \frac{x^2}{2} + R_A \frac{(x-1)^2}{2} + R_B \frac{(x-5)^2}{2} \right] \quad (\text{а})$$

Салқилик тенгламаси:

$$y = y_0 + \theta_0 x + \frac{1}{EI} \left[ -F \frac{x^3}{6} + R_A \frac{(x-1)^3}{6} + R_B \frac{(x-5)^3}{6} \right] \quad (\text{б})$$

Универсал формуладаги номаълум  $\theta_0$  ва  $y_0$  ларни тошиш учун балка учларининг таяниш шартидан фойдаланамиз:

$x = 1 \text{ м}$  бўлса,  $\theta = \theta_A \neq 0$ ;  $y = y_0 = 0$ , у ҳолда (б) тенгламадан  $y_0 + \theta_0 \cdot 1 - \frac{F \cdot 1^3}{6EI} = 0$  (в) ҳосил бўлади.

$x = 5 \text{ м}$  бўлса,  $\theta = \theta_B \neq 0$ ;  $y = y_B = 0$ , у ҳолда (б) тенгламадан  $y_0 + 5\theta_0 + \frac{1}{EI} \left[ -F \frac{125}{6} + R_A \frac{64}{6} \right] = 0$  тенглама ҳосил бўлади (в) ва (г) тенгламаларни система қилиб ечамиз:

## 5-жадәкал

T/p	Масоға $\mu(\text{м})$	Статик момент $S_1(\text{м}^2)$	Күчтөншілдер, $\frac{\kappa H}{\text{м}^2}$	Болш нормал кучтөншілдер $\frac{\kappa H}{\text{м}^2}$	Болш урнама кучтөншілдер $\frac{\kappa H}{\text{м}^2}$		Болш күчтөншілдердің йұналышы			
					$\sigma \cdot 10^3$	$\tau \cdot 10^3$	$\sigma_1 \cdot 10^3$	$\sigma_3 \cdot 10^3$	$t_{\max} \cdot 10^3 \frac{\kappa H}{\text{м}^2}$	
1	0,11	0	157,7	0	157,7	0	-78,85	0	-0	90°
2	0,101	$1,13 \cdot 10^{-4}$	144,8	1,35	144,81	-0,01	-72,41	-0,0186	0°30'	89°30'
3	0,101	$1,13 \cdot 10^{-4}$	144,8	30,0	160,75	-5,95	-78,36	-0,4143	11°15'	78°45'
4	0,05	$1,33 \cdot 10^{-4}$	71,7	35,30	86,15	-14,45	-50,3	-0,9846	-22°12'	67°48'
5	0	$1,43 \cdot 10^{-4}$	0	38,0	38,0	-38,0	-38,0	—	-4,5°	45°
6	-0,05	$1,33 \cdot 10^{-4}$	-71,7	35,30	14,45	-86,15	-50,3	0,9848	67°12'	22°12'
7	-0,101	$1,13 \cdot 10^{-4}$	-144,8	30,0	5,95	-150,75	-78,36	0,4143	78°45'	11°15'
8	-0,101	$1,13 \cdot 10^{-4}$	-144,8	1,35	0,01	-144,81	-72,41	0,0186	89°3'	0°3'
9	-0,11	0	-157,7	0	0	-157,7	-78,86	0	90°	0

$$y_0 + \theta_0 - \frac{F}{6EI} = 0$$

$$y_0 + 5\theta_0 - \frac{125F}{6EI} + \frac{64R_A}{6EI} = 0$$

Юқоридаги тенгламани 1 га күпайтириб, ҳосил бўлган тенгламани пастки тенгламага қўшамиз:

$$4\theta_0 - \frac{124F}{6EI} + \frac{64R_A}{6EI} = 0$$

$$\text{Бу ерда: } \theta_0 = \frac{124F - 64R_A}{24EI} = \frac{124 \cdot 40 - 64 \cdot 40}{24EI} = \frac{100}{EI}$$

$$\theta_0 = \frac{100}{EI} \text{ ифодани (в) тенгламага қўйиб } Y_0 \text{ ни топамиз:}$$

$$y_0 = \frac{F}{6EI} - \theta_0 = \frac{40}{6EI} - \frac{100}{EI} = -\frac{560}{6EI}$$

Топилган  $\theta_0$  ва  $y_0$  ларни универсал формулага келтириб қўямиз:

$$\theta = \frac{100}{EI} + \frac{1}{EI} \left[ -F \frac{x^2}{EI} + R_A \frac{(x-1)^2}{2} + R_B \frac{(x-5)^2}{2} \right]$$

$$y = -\frac{560}{6EI} + \frac{100x}{6EI} + \frac{1}{EI} \left[ -F \frac{x^3}{6} + R_A \frac{(x-1)^3}{6} + R_B \frac{(x-5)^3}{6} \right]$$

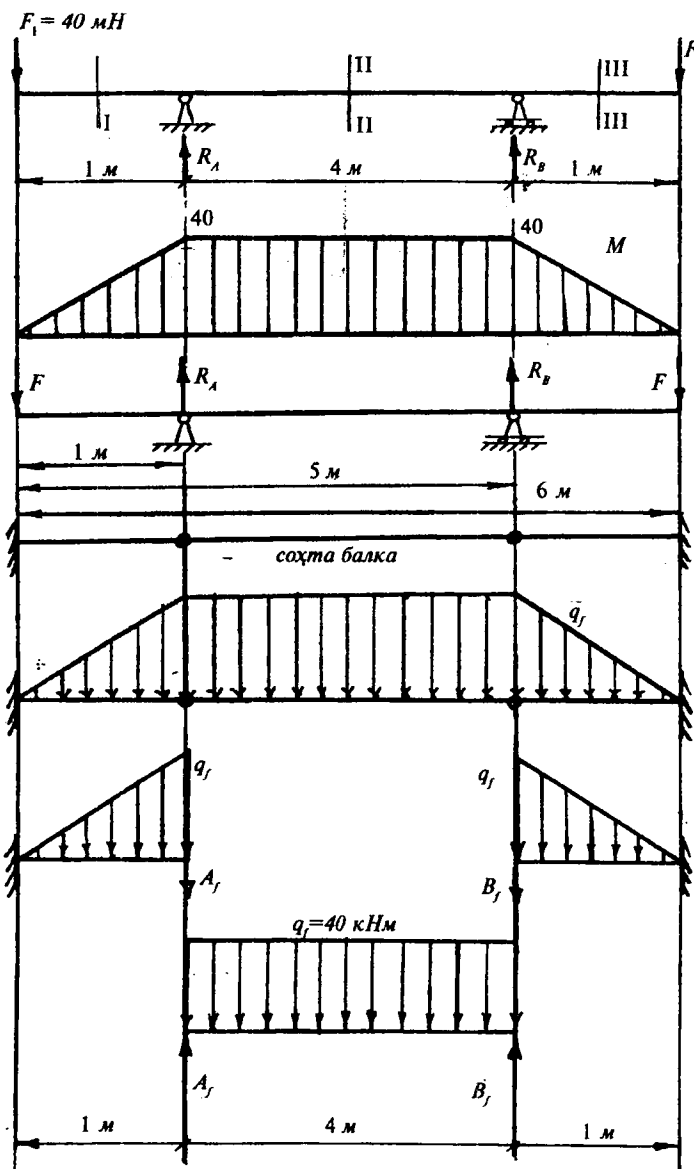
Балканинг  $A$  таянч кесимининг айланиш бурчаги:

$$\theta = \theta_A = \frac{100}{EI} - \frac{F \cdot 1^2}{2EI} = \frac{100}{EI} - \frac{20}{EI} = \frac{80}{EI} = \frac{80}{4 \cdot 10^3} = 0,02 \text{ rad}$$

$B$  таянч кесимининг айланиш бурчаги:

$$\theta = \theta_B = \frac{100}{EI} + \frac{1}{EI} \left[ -F \frac{25}{5} + R_A \frac{16}{2} \right] = \frac{100}{EI} - \frac{80}{EI} = -\frac{20}{EI}$$

$$\theta_B = -\frac{20}{4 \cdot 10^3} = -0,02 \text{ rad}$$



199-расм.

С нүктанинг салқилигини топамиз:  $X = 3$  м

$$y_C = -\frac{560}{6EI} + \frac{100 \cdot 3}{EI} - \frac{27F}{6EI} + \frac{8R_A}{6EI} = \\ = \frac{-560 + 1800 - 1080 + 320}{6EI} = \frac{480}{24 \cdot 10^3} = 0,02 \text{ м}$$

Д нүктанинг салқилигини топамиз: ( $x = 6$  м)

$$y_D = -\frac{560}{6EI} + \frac{100 \cdot 6}{EI} + \frac{1}{EI} \left[ -F \frac{216}{6} + R_A \frac{125}{6} + R_B \frac{1}{6} \right] = \\ = \frac{-560 + 3600 - 8640 + 5000 + 40}{24 \cdot 10^3} = -\frac{560}{24 \cdot 10^3} = -0,0233 \text{ м}$$

Балканинг деформациясини графоаналитик усул билан аниқлаш учун ҳақиқий балкадан сохта балкани талаймиз (199-расм) ва уни сохта күч билан юклаймиз.

Ҳақиқий консол балканинг таянч нүкталари сохта балкада шарнирлар билан алмаштирилади. Шарнирли кесимларда моменттинг таъсири нолга teng бўлганлиги учун сохта балкани учта оддий балкаларга ажратамиз. Ўрта сохта балканинг реакция кучларини топамиз:

$$\sum M_A = q_f \cdot \frac{4^2}{2} - B_f \cdot 4 = 0 \quad \text{ёки} \quad B_f = 2 \cdot 40 = 80 \text{ kNm}^2 \\ \sum M_B = -q_f \cdot 8 + A_f \cdot 4 = 0 \quad \text{ёки} \quad A_f = 80 \text{ kNm}^2$$

Балка  $A$  кесимнинг айланиш бурчагини топамиз:

$$\theta_A = \frac{\theta_f^A}{EI} = \frac{A_f}{EI} = \frac{80}{4 \cdot 10^3} = 0,02 \text{ rad}$$

$B$  кесимнинг айланиш бурчагини топамиз:

$$\theta_B = \frac{\theta_f^B}{EI} = \frac{B_f}{EI} = \frac{80}{4 \cdot 10^3} = -0,02 \text{ rad}$$

С нүктанинг салқилигини топамиз:

$$y_C = \frac{M_f^c}{EI} = \frac{80}{4 \cdot 10^3} = 0,02 \text{ м}$$

$$\text{Бу ерда: } M_f^c = A_f \cdot 2 - q_f \frac{2^2}{2} = 80 \cdot 2 - 40 \cdot 2 = 80 \text{ kNm}^3$$

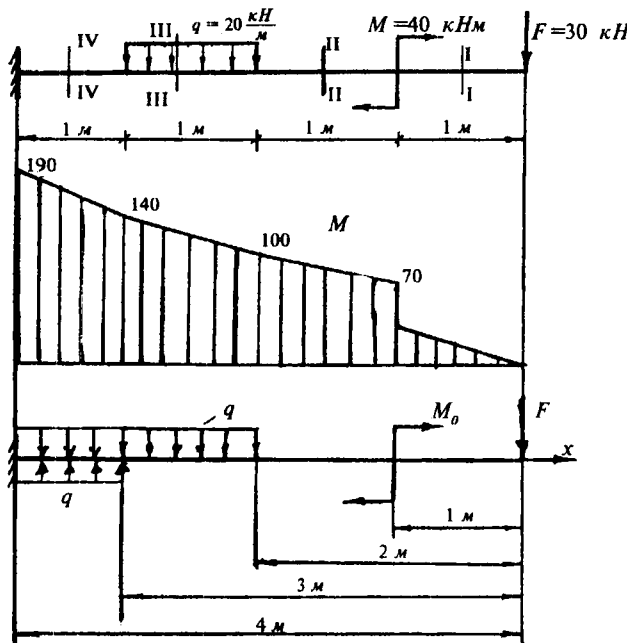
$\Delta$  нүктанинг салқилигини топамиз.  
Бунинг учун  $B - \Delta$  узунлиқдаги сохта балкани ўрганамиз:

$$y_B = \frac{M_f^D}{EI} = \frac{-\omega \frac{2}{3} \cdot 1 - B_f \cdot 1}{EI} = \frac{-\frac{40}{3} - 80}{4 \cdot 10^3} = -0,023 \text{ м}$$

$$\text{Бу ерда: } \omega = \frac{1}{2} q_f \cdot 1 = \frac{40}{2} = 20 \text{ кНм}^2$$

**9-масала.** Бир учи қистириб мақкамланган балканинг  $\theta$  ва  $B$  нүкталарининг салқилигини бошланғич параметрлар ва графоаналитик усуллар билан топинг.

**Ечиш.** Балканинг оралиқтарга бўлиб эгувчи моментнинг тенгламаларини тузамиз ва эпюрасини қурамиз.



200-расм.

**I—I қирқим.**  $0 \leq x_1 \leq 1 \text{ м}$

$$M_{x_1} = -Fx_1; \quad x_1 = 0; \quad M_{x_1} = 0 \quad \text{ва} \\ x_1 = 1 \text{ м}; \quad M_{x_1} = -30 \text{ кНм}$$

**II—II қирқим.**  $1 \leq x_2 \leq 2 \text{ м}$

$$M_{x_2} = -Fx_2 - M; \quad x_2 = 1 \text{ м}; \quad M_{x_2} = -70 \text{ кНм} \quad \text{ва} \\ x_2 = 2 \text{ м}; \quad M_{x_2} = -100 \text{ кНм}$$

**III—III қирқим.**  $2 \leq x_3 \leq 3 \text{ м}$

$$M_{x_3} = -Fx_3 - M - q \frac{(x_3 - 2)^2}{2}; \quad x_3 = 2 \text{ м}; \quad M_{x_3} = -100 \text{ кНм} \\ \text{ва} \quad x_3 = 3 \text{ м}; \quad M_{x_3} = -140 \text{ кНм}$$

**IV—IV қирқим.**  $3 \leq x_4 \leq 4 \text{ м}$

$$M_{x_4} = -Fx_4 - M - q \cdot 1(x_4 - 2,5); \quad x_4 = 3 \text{ м}; \quad M_{x_4} = -140 \text{ кНм} \\ \text{ва} \quad x_4 = 4 \text{ м}; \quad M_{x_4} = -190 \text{ кНм}$$

Балка учун универсал формулани тузамиз:

$$\theta = \theta_0 + \frac{1}{EI} \left[ -F \frac{x^2}{2} - M(x-1)^1 - q \frac{(x-2)^3}{6} + q \frac{(x-3)^3}{6} \right]$$

$$y = y_0 + \theta_0 x + \frac{1}{EI} \left[ -F \frac{x^3}{6} - M \frac{(x-1)^2}{2} - q \frac{(x-2)^4}{24} + q \frac{(x-3)^4}{24} \right]$$

Универсал формуладаги  $\theta_0$  ва  $y_0$  номаълумларни балка учларининг таяниш шартидан фойдаланиб топамиз.  $x = 0$  нуқта ҳар қандай таянчдан озод, яъни эркин бўлганлиги учун бу кесимда:  $\theta = \theta_0 \neq 0$  ва  $y = y_0 \neq 0$

Шунинг учун  $x = 0$  шартдан фойдаланиб бўлмайди.  $x = 4$  метр масофадаги таянч кесимнинг барча йўналишдаги ҳаракатлари чегараланган. Шунинг учун  $x = 4$  бўлса,  $\theta$  ва  $y$  тенгламаларидан қуийдагини ҳосил қиласиз:  $\theta = 0$  ва  $y = 0$

$$\theta_0 = \frac{1}{EI} \left[ F \frac{16}{2} + M \cdot 3 + q \frac{8}{6} - q \frac{1}{6} \right] = \frac{2300}{6EI}$$

$$y_0 = -\frac{2300 \cdot 4}{6 \cdot EI} + \frac{1}{EI} \left[ F \frac{64}{6} + M \cdot \frac{9}{2} + q \frac{16}{24} - q \frac{1}{24} \right] = -\frac{24500}{24EI}$$

Топилган  $\theta_0$  ва  $y_0$  ларни универсал формулаага келтириб қўямиз:

$$\theta = \frac{2300}{6EI} + \frac{1}{EI} \left[ -F \frac{x^2}{2} - M(x-1)^1 - q \frac{(x-2)^3}{6} + q \frac{(x-3)^3}{6} \right]$$

$$y = -\frac{24500}{24EI} + \frac{2300}{6EI} \cdot x + \\ + \frac{1}{EI} \left[ -F \frac{x^3}{6} - M \frac{(x-1)^2}{2} - q \frac{(x-1)^4}{24} + q \frac{(x-3)^4}{24} \right]$$

$O$  нуқтанинг салқилиги  $x=0$  нуқтага тўғри келиб,  $y=y_0$  ҳосил бўлади.

$$y_0 = -\frac{24500}{24 \cdot 10^3} = -0,0102 \text{ м}$$

$B$  нуқтанинг салқилигини топамиз ( $x=2\text{м}$ ):

$$y_B = -\frac{24500}{24EI} + \frac{2300 \cdot 2}{6EI} - \frac{240}{6EI} - \frac{40}{2EI} \approx -3,14 \cdot 10^{-3} \text{ м}$$

Балканинг деформациясини графоаналитик усул билан аниқлаймиз. Бунинг учун ҳақиқий балкадан сохта балкани танлаймиз. Сохта балкани ҳақиқий балкани эгувчи моменти билан юклаймиз. Сохта балкада нотекис тарқалган сохта кучлар ҳосил бўлади. Сохта балканинг ҳар бир нуқтасидаги сохта куч микдор жиҳатдан ҳақиқий балканинг шу нуқтасидаги эгувчи моментга тенг бўлади ( $q_j = M$ ), сохта куч интенсивлиги билан юклangan куч юзаларини топамиз:

$$\omega_1 = \frac{1}{2} \cdot 30 \cdot 1 = 15 \text{ кНм}^2; \quad \omega_2 = 70 \text{ кНм}^2$$

$$\omega_3 = \frac{1}{2} (100 - 70) \cdot 1 = 15 \text{ кНм}^2; \quad \omega_4 = 100 \cdot 1 = 100 \text{ кНм}^2$$

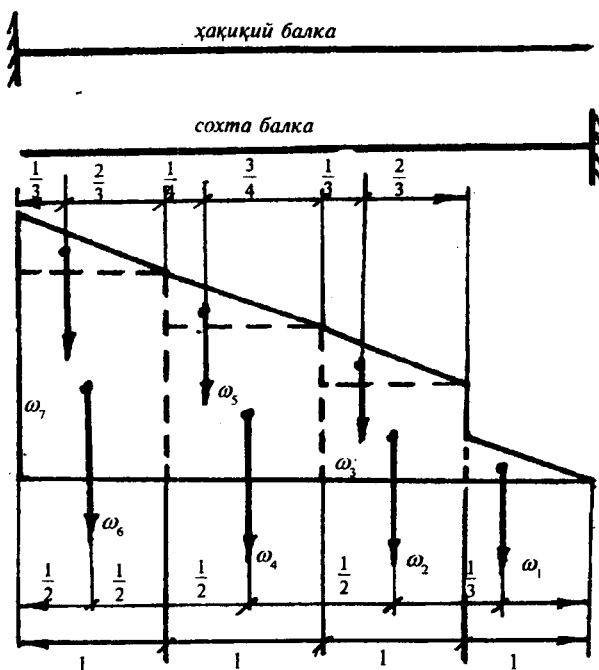
$$\omega_5 = \frac{1}{3} (140 - 100) \cdot 1 = \frac{40}{3} \kappa Hm^2; \quad \omega_6 = 140 \cdot 1 = 140 \kappa Hm^2$$

$$\omega_7 = \frac{1}{2} (190 - 140) \cdot 1 = 25 \kappa Hm^2$$

B нүктәнинг салқилигини топамиз:

$$M_B^f = -\omega_7 \left( \frac{2}{3} \cdot 1 + 1 \right) - \omega_6 \left( \frac{2}{3} \cdot 1 + 1 \right) - \omega_5 \left( \frac{3}{4} \cdot 1 \right) - \omega_4 \frac{1}{2} \cdot 1 = \\ = -25 \frac{5}{3} - 140 \frac{2}{3} - \frac{40}{3} \cdot \frac{3}{4} - 100 \frac{1}{2} = -\frac{935}{3} \kappa Hm^3$$

$$y_B = \frac{M_B^f}{EI} = -\frac{935}{3 \cdot 10^5} = -3,11 \cdot 10^{-3} M$$



201-расм.

С нүктанинг салқилигини топамиз:

$$\begin{aligned}
 M_f^0 = & -\omega_7 \left( \frac{2}{3} \cdot 1 + 3 \right) - \omega_6 \left( \frac{2}{3} \cdot 1 + 3 \right) - \omega_5 \left( \frac{3}{4} \cdot 1 + 2 \right) - \omega_4 \left( \frac{1}{2} \cdot 1 + 2 \right) - \\
 & - \omega_3 \left( \frac{2}{3} \cdot 1 + 1 \right) - \omega_2 \left( \frac{1}{2} \cdot 1 + 1 \right) - \omega_1 \left( \frac{1}{3} \cdot 1 \right) = -25 \frac{11}{3} - 140 \frac{7}{2} - \frac{40}{3} \cdot \frac{11}{4} - \\
 & - 100 \frac{5}{2} - 15 \frac{5}{3} - 70 \frac{3}{2} - 15 \frac{2}{3} = -\frac{3025}{3} \text{ кНм}^3 \\
 y_0 = \frac{M_f^0}{EI} = & -\frac{3025}{3 \cdot 10^5} = -0,0101 \text{ м}
 \end{aligned}$$

**10-масала.** Иккита шарнирли таянчга таянган, узунлиги  $\ell = 1$ . Балканинг ўрта кесимида салқилик  $f = 6,25$  мм. Балканинг кесими, томонлари  $b = 0,06$  м ва  $h = 0,04$  м бўлган тўғри бурчаклидир. Балка материалининг эластиклиқ модули ва бўйлама ўқининг эгрилик радиуси топилсин.

$$\sigma_{\max} = [\sigma] = 10 \cdot 10^3 \frac{\text{кН}}{\text{м}^2}$$

**Ечиш.** Балканинг нормал кучланиш бўйича мустаҳкамлик шартини ёзамиш:

$$\sigma_{\max} = \frac{M \cdot y_{\max}}{I_x} = [\sigma]$$

Бу ерда:  $y_{\max} = \frac{h}{2}$  ва  $M$  балканинг хавфли кесимидағи эгувчи момент.  $M$  моментли балканинг энг катта салқилигини  $f$  билан белгилаймиз:

$$f = \frac{Mc^2}{8EI_x} \text{ ва } M = \frac{fEI_x \cdot 8}{\ell^2}, \text{ у ҳолда мустаҳкамлик шарти}$$

қуийдагича ёзилади:  $\frac{fEI_x \cdot 8 \cdot \frac{h}{2}}{I_x \cdot \ell^2} = [\sigma]$

$$E = \frac{[\sigma] \ell^2}{f \cdot 8 \cdot \frac{h}{2}} = \frac{1 \cdot 10^4}{6,25 \cdot 10^{-3} \cdot 8 \cdot \frac{0,04}{2}} = 1 \cdot 10^7 \frac{\text{кН}}{\text{м}^2}$$

Бу ерда:

Энди эгрилик радиуси  $\rho$  билан  $M$  ва балканинг эгилишдаги бикрлиги  $EI_x$  орасидаги боғланишни ёзамиш:

$$\frac{1}{\rho} = \frac{M}{EI_x}$$

Бу ерда:

$$\rho = \frac{EI_x}{M} = \frac{EI_x \cdot l^2}{fEI_x \cdot 8} = \frac{l^2}{f \cdot 8} = \frac{l^2}{6,25 \cdot 10^{-3} \cdot 8} = 20 \text{ м}$$

**11-масала.** Бир томони қистириб маҳкамланган балканинг  $F$  куч жойлашган нуқтасини унинг кесими ўлчамлари ва рухсат этилган кучланиши билан ифодаланган салқилигини топинг.

**Ечиш.** Энг катта эгувчи момент таянч кесимида ҳосил бўлади:  $M_{\max} = -F\ell$ . Консол балка эгилган ўқининг тақрибий дифференциал тенгламасини ёзамиш:  $EI_x \cdot y'' = -Fx$ . Бу тенгламанинг биринчи интеграли  $-E \cdot I \cdot y^1 = -F \frac{x^2}{2} + C$  ва иккинчи интеграли  $-E \cdot I \cdot y = -F \frac{x^3}{6} + CX + D$ . Ҳосил бўлган тенгламалардаги интеграллаш доимийларини балканинг  $K$  кесимдаги таяниш шартидан топамиз.  $B$  нуқтада ( $x = 0$ )  $y^1 = C$  ва  $y = D$ .  $K$  нуқтада ( $x = \ell$ )  $y^1 = 0$  ва  $y = 0$ . Унда биринчи тенгламадан топилган  $C = \frac{F\ell^2}{2}$  ифодани иккинчи тенгламага келтириб қўйсак,  $D = \frac{2F\ell^3}{6} = \frac{F\ell^3}{3}$  ҳосил бўлади. Унда салқилик тенгламаси қўйидагича ёзилади:

$$y = -F \frac{x^3}{6EI_x} + F \frac{\ell^2}{2EI_x} x + F \frac{\ell^3}{3EI_x}$$

Ташқи  $F$  куч кесимини ўлчамлари орқали ифодалаймиз. Бунинг учун балканинг мустаҳкамлик шартини ёзамиш:

$$\sigma_{\max} = \frac{M \cdot y_{\max}}{I_x} \leq [\sigma] \quad \text{ёки} \quad \frac{F\ell \cdot h}{2I_x} = [\sigma] \quad \text{ва} \quad I_x = \frac{F\ell \cdot h}{2[\sigma]}$$

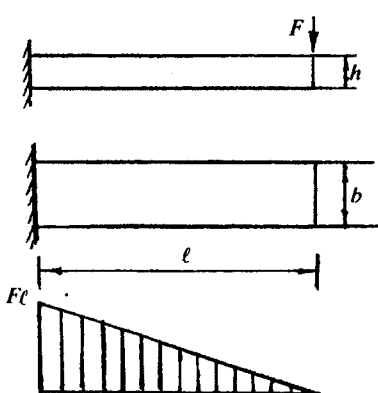
*B* нүктанинг салқилигини топамиз ( $x = 0$ ):

$$y_B = f_B = F \frac{\ell^3}{3EI_x} = F \frac{\ell^3 \cdot 2[\sigma]}{3E \cdot F\ell h} = \frac{2\ell^2}{3Eh} [\sigma]$$

## 7.5. ТЕНГ ҚАРШИЛИК КҮРСАТУВЧИ БАЛКАЛАР

Балканинг кесим юзаси эгувчи моменттинг энг катта қийматига эришадиган, яъни хавфли ҳолатдаги кесими бўйича танланади.

Кўпинча балканинг бошқа кесимлари хавфли кесими мига тенг қилиб олинади.



Лекин бу кесимларда эгувчи момент кичик бўлганлиги учун нормал кучланиш ҳам хавфли кесимга нисбатан кичик бўлади.

Масалан,  $M_x = 0$  бўлса,  $\sigma = 0$ .

Балканинг узунлиги бўйлаб кесимларда кучланиш нотекис тарқалади, узунлик бўйлаб материал кучланиш билан тўлиқ юкланмайди. Натижада ортиқча материал сарфланади. Тенг қаршилик кўрсатувчи балкани танлаш учун кесим юзаси тўғри тўртбурчак кўринишида ва баландлиги ўзгармас бўлган балканинг хавфли кесими ва эркин учидан  $X$  масофада жойлашган кесими учун мустаҳкамлик шартларини ёзамиз:

$$\sigma_{\max} = \frac{M_{\max}}{W} = \frac{F\ell}{bh^3} \leq [\sigma] \quad \text{ва} \quad \sigma_x = \frac{M_x}{W_x} = \frac{Fx}{b_x h^2} \leq [\sigma]$$

$$\text{Бу ерда: } \frac{6F\ell}{bh^2} = \frac{6Fx}{b_x h^2} \quad \text{ёки} \quad b_x = b \cdot \frac{x}{\ell} \quad (6.21)$$

$M_{\max}$  – қистириб маҳкамланган кесимдаги момент;

$M_x$  – балканинг эркин учидан  $x$  масофада жойлашган кесимининг моменти;

$W$  – қистириб маҳкамланган кесимнинг қаршилик моменти;

$W_x$  – балканинг  $X$  масофадаги кесимининг қаршилик моменти.

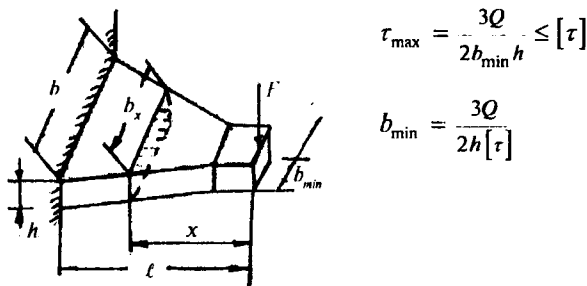
(6.21) формуладаги  $b_x$  тенг қаршилик кўрсатувчи балканинг узунлиги бўйича кесимнинг эни балканинг узунлиги бўйлаб тўғри чизиқли қонуният билан ўзгаради;  $x$  масофадаги кесимнинг қаршилик моментини топамиз:

$$W_x = \frac{b_x h^2}{6} = \frac{bh^2}{6} \cdot \frac{x}{\ell} = W \frac{x}{\ell}$$

Бу кесимдаги эгувчи момент  $M_x = F \cdot x$ . Мазкур кесимнинг энг узоқдаги толасида пайдо бўладиган кучланишни текширамиз:

$$\sigma_x = \frac{M_x}{W_x} = \frac{Fx}{W \frac{x}{\ell}} = \frac{F\ell}{W} = \sigma_{\max} = \text{const}$$

Шундай қилиб балканинг барча кесимларида энг катта нормал кучланишлар бир хил. Ташқи юкни кўтарадиган кесимнинг минимал энини уринма кучланиш бўйича мустаҳкамлик шартидан фойдаланиб топамиз.



202-расм.

## ЎЗГАРУВЧАН КЕСИМЛИ БАЛКАЛАРДА КҮЧИШЛАРНИ АНИҚЛАШ

Ўзгарувчан кесимли балкаларнинг бикрлиги —  $X$  нинг функцияси. Шунинг учун эгилган ўқнинг тақрибий тенгламаси қўйидагича ёзилади (202-расм):

$$EI_x \frac{d^2y}{dx^2} = M_x$$

Бу ерда:  $I_x$  — ўзгарувчан балка кесимининг инерция моменти, яъни:

$$I_x = \frac{b_x h^3}{12} = \frac{bh^3}{12} \cdot \frac{x}{\ell} = I \frac{x}{\ell}$$

У ҳолда:

$$EI \frac{x}{\ell} \cdot \frac{d^2y}{dx^2} = -Fx \quad \text{ёки} \quad EI \frac{d^2y}{dx^2} = -\frac{Fx\ell}{x} = -F\ell \quad (6.22)$$

(6.22) тенгламани интеграллаймиз:

$$EI \frac{dy}{dx} = -F\ell x + C \quad \text{ва} \quad EIy = -F\ell \frac{x^2}{2} + Cx + D$$

$x = \ell$  бўлса, салқилик  $y = 0$  ва айланиш бурчаги:

$$\frac{dy}{dx} = \theta = 0$$

$$\text{У ҳолда: } 0 = -F\ell^2 + C \quad \text{ва} \quad 0 = -F \frac{\ell^3}{2} + C\ell + D$$

$$\text{Бу ерда: } C = F\ell^2 \quad \text{ва} \quad D = -\frac{F\ell^2}{2}$$

$\theta$  ва  $y$  тенгламалари қўйидагича кўринишга келади:

$$\begin{aligned} \theta &= -\frac{F\ell}{EI}x + \frac{F\ell^2}{EI} = \frac{F\ell^2}{EI} \left( 1 - \frac{x}{\ell} \right) \\ y &= -\frac{F\ell x^2}{2EI} + \frac{F\ell^2 x}{EI} - \frac{F\ell^3}{2EI} = -\frac{F\ell^3}{2EI} \left( 1 - 2 \frac{x}{\ell} + \frac{x^2}{\ell^2} \right) \end{aligned}$$

Энг катта салқилик балканинг эркин учida ҳосил бўлади:

$$X = 0 \text{ бўлса, } y_{\max} = f = -\frac{F\ell^3}{2EI}$$

Агар балка узунлиги бўйлаб ўзгармас кесимли бўлса, энг катта салқилик  $f = -\frac{F\ell^3}{3EI}$  формула билан топилади.

Демак, ўзгарувчан кесимли балкаларнинг эгилувчанилиги катта экан.

## 7.6. ЭГИЛИШДА КЎЧИШЛАРНИ ТОПИШНИНГ ЭНЕРГЕТИК УСУЛЛАРИ

Юқорида тўғри стерженнинг кўндаланг эгилишдаги кўчишини аниқлашнинг турли усулларини кўриб ўтдик. Балка эгилган ўқининг тақрибий дифференциал тенгламасини интеграллаш усули бошлангич параметрлар ва гравитационик усулларни татбиқ этиш усуллари билан балкаларнинг эгилишини оддий кўринишларида аниқлаш ёки хисоблаш қулайдир.

Эгилишга учрайдиган конструкция қисмларининг айрим мураккаб шакл ёки кўринишлари мавжудки, бу хилдаги конструкция қисмларининг кўчишларини аниқлаш учун эгилишдаги деформациянинг энергиясига асосланган Мор ёки Верещагин усулларини татбиқ этиш осон. Мор ёки Верещагин усуллари билан тўғри стерженларнинг чўзилиш ёки сиқилиш, буралиш ва эгилишдаги кўчишларини аниқлаш ва статик ноаниқ масалаларни ечиш мумкин.

### 7.7.1. ЭГИЛИШДА ДЕФОРМАЦИЯНИНГ ПОТЕНЦИАЛ ЭНЕРГИЯСИ

Балкага ўсиб борувчи элементар кичик  $dF$  юк билан таъсир қилинсин (203-расм). Юк  $dF$  миқдорга ортганда балкага юкландиган олдинги юк пастга тушади ва унинг потенциал энергияси ( $U_p$ ) камаяди, балка деформациясининг энергияси ( $U_d$ ) эса тегишлича ортади. Балка ҳар бир  $dF$  миқдорда юкландганида, заррачаларининг ҳаракат хусусияти ўзгармайди. Шунинг учун ҳар бир юклашда балкаларнинг ҳамма қисмида мувозанат ҳолати содир бўлади. Де-



203-расм

мак, балканинг деформацияси уни мувозанат ҳолатини бузмасдан ҳосил бўлар экан. Шунинг учун балканинг ҳар бир юкланиш ҳолатида  $U_F = U$  тенглик келиб чиқади, яъни юкнинг потенциал энергияси  $U_F$  балка деформациясининг потенциал энергиясига тўлиқ ўтади. Бошқа турга айланган энергиянинг ўлчами сифатида конструкцияга таъсир қилувчи ташқи кучни бажарган иши қабул қилинади. Унда  $U_F$  ташқи кучнинг мусбат ишорали иши  $A_F$  билан ўлчанади; деформациянинг потенциал энергияси эса ички кучларнинг манфий ишорали иши ( $A_u$ ) билан ўлчанади. Ички кучлар балка нуқталарининг кўчишига тескари томонга йўналганлиги учун ( $A_u$ ) иш манфийдир. Демак,  $A_F = 0$ , яъни мувозанат бузилмаган ҳолатдаги кўчишида ташқи ва ички кучларнинг бажарган ишларининг йигиндиси нолга teng экан. Юқоридаги тенгликка асосан деформациянинг потенциал энергияси  $U$  ташқи кучнинг бажарган иши  $A_u$  га teng экан, яъни:

$$U = A_u \quad (7.15)$$

Балканинг соғ эгилишда бўлган қисмидан ажратилган  $dx$  узунликдаги бўлагининг деформациясини текширамиз (204-расм).

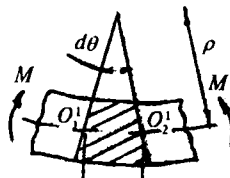
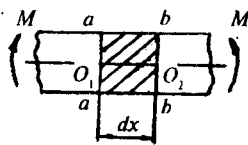
Балка ўқининг эгриланишида унинг кесимлари  $d\theta = \frac{dx}{\rho}$  бурчакка айланади. Эгрилик радиуси  $\rho$  эгувчи момент билан қўйидагича боғланишда:

$$\frac{1}{\rho} = \frac{M}{EI} . \quad \text{У ҳолда: } d\theta = \frac{Mdx}{EI} \text{ ҳосил бўлади.}$$

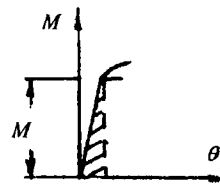
Балка эгилишининг пропорционаллик чегарасида эгувчи моментнинг бажарган иши  $OBK$  учбурчакнинг юзаси билан ўлчанади (205-расм), яъни:

$$dA = \frac{Md\theta}{2} = \frac{M^2 dx}{2EI} \quad \text{ёки } dU = dA = \frac{M^2 dx}{2EI}$$

Агар балканинг узунлиги бўйлаб  $M = \text{const}$  ва  $EI = \text{const}$  бўлса, яъни бир жинсли деб қаралса:



204-расм.



205-расм.

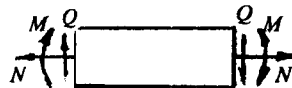
$$U = \int_0^{\ell} \frac{M^2 dx}{2EI} = \frac{M^2 \ell}{2EI} \quad (7.16)$$

хосил бўлади.

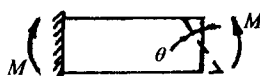
Эгилаётган балканинг кўндаланг кесимида  $M$ ,  $Q$  ва  $N$  ички куч омиллари ҳосил бўлади (206-расм).

У пайтда тўлиқ потенциал энергия куйидагича ёзилади:

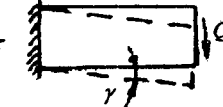
$$U = \sum_0 \int \frac{M^2 dx}{2EI} + \sum_0 \int \frac{N^2 dx}{2EA} + \sum_0 \int \frac{Q^2 dx}{2GA}$$



206-расм.



207-расм.

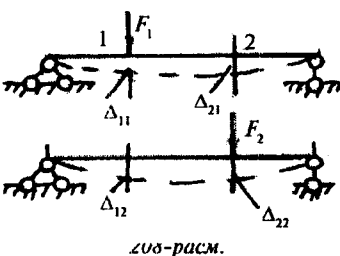


207-расм.

Кўндаланг куч ва бўйлама кучлар таъсиридаги деформациялар эгувчи момент таъсиридаги деформацияга нисбатан кичик миқдор бўлганлиги учун  $Q$  ва  $N$  таъсиридан ҳосил бўлган ишларни эътиборга олмасак ҳам бўлади.

### 7.7.2. ИШЛАР ОРАСИДАГИ БОҒЛАНИШЛАР ТЕОРЕМАСИ КЎЧИШЛАР ОРАСИДАГИ БОҒЛАНИШЛАР ТЕОРЕМАСИ

Балканинг ташқи куч билан юкланишида тўрт хил ҳолатни кўриб чиқайлик (208-расм):



**I ҳолат.** Балка  $F_1$  күч билан 1-нуқтада юкланды. 1- ва 2-нуқталарнинг  $F_1$  күч таъсиридаги күчишларини  $\Delta_{11}$  ва  $\Delta_{21}$  билан белгилаймиз.

**II ҳолат.** Балканинг 2-нуқтасига  $F_2$  күч қўйилади. 1- ва 2-нуқталарнинг  $F_2$  күч таъсиридаги күчишини  $\Delta_{12}$  ва  $\Delta_{22}$

билилаймиз.

Бу ерда:  $\Delta_{11}$  — биринчи нуқтанинг  $F_1$  күч таъсирида шу күч йўналиши бўйича күчиши;

$\Delta_{21}$  — иккинчи нуқтанинг  $F_1$  күч таъсирида  $F_1$  күч йўналишидаги күчиши;

$\Delta_{12}$  — биринчи нуқтанинг  $F_2$  күч таъсирида  $F_2$  күч йўналишидаги күчиши;

$\Delta_{22}$  — иккинчи нуқтанинг  $F_2$  күч таъсирида шу күч йўналишидаги күчиши.

$F_1$  ва  $F_2$  ташқи кучларнинг бажарган ишларини Клапейрон формуласи билан аниқлаймиз:

$$A_{11} = \frac{F_1 \Delta_{11}}{2} \quad \text{ва} \quad A_{22} = \frac{F_2 \Delta_{22}}{2}$$

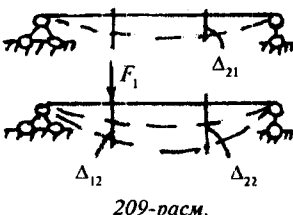
$A_{11}$  ва  $A_{22}$  ишларни балканинг кўндаланг кесимида ҳосил бўладиган ички омил, эгувчи момент ёрдамида ҳам аниқлаш мумкин:

$$A_{11} = \sum_0' \int \frac{M_1^2 dx}{2EI} \quad \text{ва} \quad A_{22} = \sum_0' \int \frac{M_2^2 dx}{2EI}$$

**III ҳолат.** Балкани кетма-кетига аввал  $F_1$  күч билан, кейин  $F_2$  күч билан юклаймиз.

208-расмдан 1-нуқтани күчишида  $F_1$  кучнинг бажарган иши  $A_{11}$  ни топган эдик.

$F_2$  күч эгилган балкадаги 2-нуқтага қўйилади.  $F_2$  күч ноль қийматдан энг катта қийматга ўсиши давомида  $F_1$  күч ўзгар-



мас бўлади ва  $\Delta_{12}$  миқдорга кўчишида  $A_{12} = F_1\Delta_{12}$  ишни бажаради. Бу пайтда  $F_2$  куч  $A_{22}$  ишни бажаради. У ҳолда балкани  $F_1$  ва  $F_2$  куч билан кетма-кет юклангандা бажарилган тўлиқ иши қўйидагича топилади:

$$A_4 = A_{11} + A_{12} + A_{22} = \frac{F_1\Delta_{11}}{2} + F_1\Delta_{12} + \frac{F_2\Delta_{22}}{2} \quad (7.17)$$

Бошқа томондан тўлиқ ишни  $F_1$  ва  $F_2$  кучларни тегишли кўчишларга кўпайтмаларини йигиндисининг ярмига тенг деб қабул қилиш мумкин:

$$A_4 = \frac{F_1(\Delta_{11} + \Delta_{12})}{2} + \frac{F_2(\Delta_{21} + \Delta_{22})}{2} \quad (7.18)$$

(7.17) ва (7.18) тенгламаларни ўзаро тенглаштирсак,  $F_1\Delta_{12} = F_2\Delta_{21}$  ҳосил бўлади.

Бу ерда  $A_{12} = F_1\Delta_{12}$  бўлиб,  $F_2$  куч таъсирида 1-нуқтанинг кўчишда  $F_1$  кучни ўз йўналишида бажарган ишидир.

У ҳолда,  $A_{21} = F_2\Delta_{21}$  иш  $F_1$  куч таъсирида 2-нуқтанинг кўчишида  $F_2$  кучни ўз йўналишида бажарган ишидир (209-расм).

Демак,  $A_{12} = A_{21}$  иккинчи куч таъсирида биринчи куч қўйилган нуқтанинг шу кучнинг йўналишидаги кўчишида бажарган иши миқдор жиҳатдан биринчи куч таъсиридан иккинчи куч қўйилган нуқта йўналишидаги кўчишда бажарган ишига тенг экан.

Бу таъриф ишлар орасидаги боғланишлар теоремаси бўлиб, Бетти теоремаси дейилади.

Тўлиқ  $A_4$  ишни эгувчи моментлар орқали ифодалаймиз:

$$A_4 = \sum_0' \frac{(M_1 + M_2)^2 dx}{2EI} \quad (7.20)$$

Бу ерда:  $M_1$  ва  $M_2$  ички куч омиллари,  $F_1$  ва  $F_2$  таъсирида балканинг кўндаланг кесимида ҳосил бўлган эгувчи моментлариидир. Тенгликда  $A_{12}$  ишни топамиз:

$$A_{12} = A_4 - A_{11} - A_{22} \text{ ёки}$$

$$A_{12} = \sum_0' \frac{(M_1 + M_2)^2 dx}{2EI} - \sum_0' \frac{M_1^2 dx}{2EI} - \sum_0' \frac{M_2^2 dx}{2EI}$$

$$\text{Бу ерда: } A_{12} = \sum_0^l \frac{M_1 M_2 dx}{EI} \text{ ва } A_{21} = \sum_0^l \frac{M_2 M_1 dx}{EI}$$

**IV ҳол.**  $F_1 = F_2 = 1$  бирлик күч деб қабул қылсак,

$$1 \cdot \Delta_{12} = 1 \cdot \Delta_{21} \quad \text{ёки} \quad \delta_{12} = \delta_{21} \quad (7.21)$$

ҳосил бўлади, яъни биринчи бирлик күч таъсиридан иккинчи бирлик күч йўналишидаги кўчиши  $\delta_{12}$  миқдор жиҳатдан, иккинчи бирлик кучи таъсиридан биринчи бирлик кучи йўналишидаги кўчиши  $\delta_{21}$  га тенгdir. Бу таъриф Максвелл теоремаси дейилади ва кўчишлар орасидаги боғланишлар теоремаси бўлади.

### 7.7.3. ЭГИЛИШДА КЎЧИШЛАРНИ АНИҚЛАШНИНГ МОР ИНТЕГРАЛИ

Балка юкланишининг 2 хил ҳолатини кўрамиз:

Биринчи ҳолда балкага  $F_1$  ташқи күч, иккинчи ҳолда  $F_2 = 1$  бирлик күч қўйилган бўлсин (210-расм).

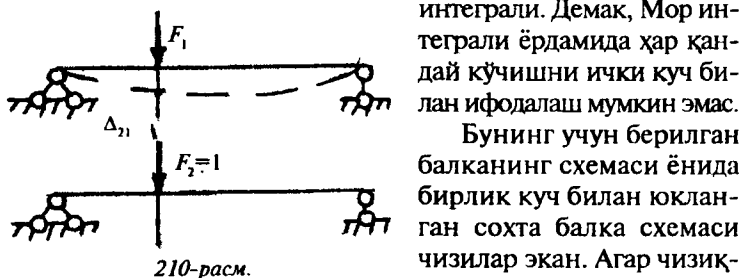
$\Delta_{21}$  кўчишда  $F_2 = 1$  бирлик кучнинг бажарган иши —  $A_{21}$  ни аниқлаймиз.

$$A_{21} = F_2 \Delta_{21} = 1 \cdot \Delta_{21} = \Delta_{21}$$

$A_{21}$  иш ички күч омили эгувчи момент билан ифодаланади:

$$A_{21} = \Delta_{21} = \int_0^l M_2 \frac{M_1 dx}{EI} \quad (7.22)$$

Бу ерда:  $M_2$  бирлик  $F_2 = 1$  күч таъсиридан ҳосил бўлган момент. (7.22) тенглик Мор интеграли. Демак, Мор интеграли ёрдамида ҳар қандай кўчишни ички күч билан ифодалаш мумкин эмас.



ли күчиш топилса, соxта балкага  $F = 1$  ўлчов бирлигисиз тўпланма куч қўйилади; агар кесимнинг айланиш бурчаги топилса, соxта балкага  $M = 1$  ўлчов бирлигисиз момент таъсир қилирилади. Бирлик кучнинг йўналиши кўчишнинг йўналиши билан мос тушиши керак.

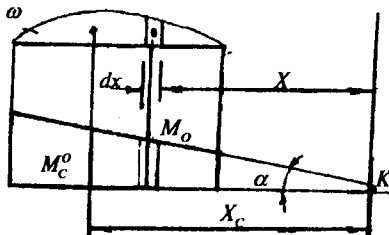
#### 7.7.4. ВЕРЕЩАГИН ҚОИДАСИ

Бирлик куч тўпланма куч ёки момент бўлишидан қатъи назар, бу моментнинг эпюраси тўғри чизикдир. Ташқи куч моментининг эпюраси тўғри чизикли ҳам, эгри чизикли ҳам бўлиши мумкин. Фараз қиласирик, ташқи куч моменти  $M$  нинг эпюраси эгри чизикли, бирлик куч моменти

$M_0$  нинг эпюраси тўғри чизикли бўлсин (211-расм). У ҳолда интеграл  $\int_0^x MM_0 dx$  — момент  $M$  нинг ҳар қандай ҳолатида  $\omega M_0$  ифода билан алмаштириш мумкин.

Схемадан:  $M = x \cdot \operatorname{tg} \alpha$  бўлса,  $\int_0^x MM_0 dx = \int_0^x d\omega \cdot x \cdot \operatorname{tg} \alpha$  келиб чиқади. Бу ерда:  $M dx = d\omega$  — эгувчи момент  $M$  эпюрасидан ажратилган элементар юза.

$$\int_0^x d\omega \cdot x = \omega \cdot x_c = S_k$$



211-расм.

Эгувчи момент эпюрасини  $K$  нуқтага нисбатан статик моменти. У ҳолда:  $\omega \cdot x_c \cdot \operatorname{tg} \alpha = \omega \cdot M_c^0$ ; бу ерда:  $M_c^0 = x_c \cdot \operatorname{tg} \alpha$  бирлик куч моменти  $M^0$  нинг эгувчи момент  $M$  эпюрасининг оғирлик марказига тўғри келувчи ординатаси.

$$\delta = \frac{\omega \cdot M_c^0}{EI} \quad (7.23)$$

Верещагин усули билан эгилишда кўчишларни топиш учун берилган балка эгувчи моментининг эпюраси остида бирлик куч моменти эпюраси қурилиши керак. Кейин эпюралар ўзаро кўпайтирилади.

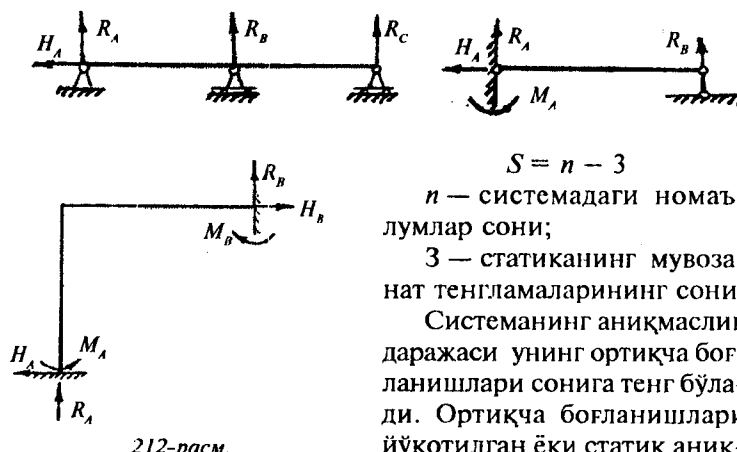
## 7.8. СТАТИК АНИҚМАС СИСТЕМАЛАР

Айрим конструкцияларнинг иш шароитига кўра, ундаги таянч сонини кўпайтириш керак. Таянч сони айрим конструкция қисмларининг кўчишини чеклаш учун ҳам кўпайтирилади. Бундай ҳолларда системада ортиқча боғланишлар пайдо бўлади (212-расм). Ортиқча боғланишлар системада қўшимча номаълум реакция кучларини келтириб чиқаради ( $H_A; R_A; R_B; R_C; H_B; M_A; M_B$ ). Номаълум реакция кучларини топиш учун статиканинг тенгламаларидан фойдаланамиз:

$$\left. \begin{array}{l} \sum X = 0 \\ \sum Y = 0 \\ \sum M = 0 \end{array} \right\} \quad (7.24)$$

Статиканинг тенгламаларидан ва расмдан кўриниб турибдики, ҳар бир системадаги номаълум реакция кучларининг сони статиканинг тенгламалари сонидан ортиқча экан.

Бундай системалар статик ноаниқ системалар, номаълум реакция кучларини аниқлаш статик ноаниқ системалар дейилади. Статик ноаниқ системаларни ҳисоблаш учун аввал уни аниқмаслик даражаси топилади:



маслик даражаси очилган ҳар қандай статик ноаниқ система — статик аниқ системаадир. Системанинг аниқмаслик даражаси қўшимча тенгламалар — системанинг деформация тенгламаси тузилиши билан очилади.

Системанинг деформация тенгламаси қўйидаги усуллардан биттасини татбиқ этиш билан тузилади:

- 1) балка эгилган ўқининг дифференциал тенгламаси;
- 2) кўчишларни таққослаш;
- 3) Мор интеграли ёки Верешагин формуласини татбиқ этиш;
- 4) уч момент теоремасини татбиқ этиш;
- 5) куч усули. Каноник тенглама тузиш.

## БАЛКА ЭГИЛГАН ЎҚИННИНГ ДИФФЕРЕНЦИАЛ ТЕНГЛАМАСИНИ ТАТБИҚ ЭТИШ

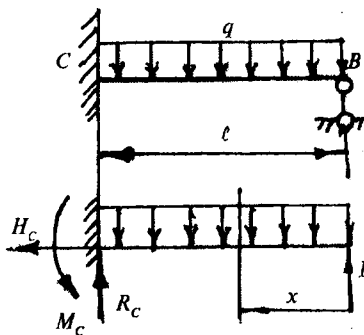
Ортиқча боғланиш ёки ортиқча номаълум сифатида  $B$  таянчдаги реакция кучини танлаймиз. В номаълум реакция кучи ва  $q$  билан юкланган система статик ноаниқ система бўлиб, асосий система дейилади. Асосий система берилган системага эквивалентdir. Номаълум реакция кучларини топиш учун статиканинг мувозанат тенгламаларини тузамиз:

$$\sum X = -H_c = 0 \quad (a)$$

$$\sum Y = -R_c - q\ell + B = 0 \quad (b)$$

$$\sum M_c = -M_c + q \frac{\ell^2}{2} - B\ell = 0 \quad (v)$$

(a), (b) ва (v) тенгламалардан кўриниб турибдики, номаълум реакция кучларининг сони статиканинг мувозанат тенгламаларидан ортиқча экан. Шунинг учун бу ма-



213-расм.

сала статик ноаниқдир. Системанинг аниқмаслик даражасини топамиз:

$$S = n - 3 = 4 - 3 = 1$$

Демак, системанинг аниқмаслик даражаси бирга тенг экан, яъни  $S = 1$ . Системанинг аниқмаслик даражасини очиш учун битта қўшимча тенглама тузиш керак. Бунинг учун балка эгилган ўқининг дифференциал тенгламасидан фойдаланамиз.  $EI \cdot y^{(1)} = Bx - q \frac{x^2}{2}$

Дифференциал тенгламани икки маротаба интеграллаймиз:

$$EI \cdot y^1 = B \frac{x^2}{2} - q \frac{x^3}{6} + C \quad (\text{г})$$

$$EI \cdot y^1 = B \frac{x^3}{6} - q \frac{x^4}{24} + CX + D \quad (\text{д})$$

Интеграллаш доимийликлари  $C$  ва  $D$  ҳисобига номаълумлар сони иккитага ортди. Лекин, балка учларининг таянчларга таяниш шартларига кўра:  $X = 0$  да  $Y = 0$  ва

$$\begin{aligned} X &= \ell \quad \text{да} & y &= 0 \\ y^1 &= 0 \quad \text{ва} & D &= 0 \end{aligned}$$

$$\left. \begin{aligned} B \frac{\ell^2}{2} - q \frac{\ell^3}{6} + C &= 0 \\ B \frac{\ell^3}{6} - q \frac{\ell^4}{24} + C\ell &= 0 \end{aligned} \right\} \quad (\text{е})$$

У ҳолда

(е) тенгламалар системасидан  $B = \frac{3}{8}q\ell$  келиб чиқади.  $B$  реакциянинг қиймати топилса, статик аниқмас масалани мувозанат шартлари ёрдамида  $R_c$  ва  $M_c$  номаълум реакция кучларини аниқлаш мумкин.

**Кўчишларни таққослаш усули.** Асосий системадаги  $B$  нуқтанинг салқилиги  $q$  ва  $B$  кучлари таъсиридаги салқиликларнинг йиғиндисига тенг бўлади, яъни  $f_B = f_{Bq} + f_{BB} = 0$

Бу ерда:  $f_{Bq} = -\frac{q\ell^4}{8EI}$  В нүктанинг  $q$  кучи таъсиридан салқилиги.  $f_{BB} = \frac{B\ell^3}{3EI}$  В нүктанинг В реакция кучи таъсиридан күчиши.

У ҳолда:  $-\frac{q\ell^4}{8EI} + \frac{B\ell^3}{3EI} = 0$  ёки  $B = \frac{3q\ell}{8}$  В реакция кучининг қийматини шундай ҳисоблаб топдикки, бу ҳолатда  $q$  ва  $B$  кучлар таъсиридаги күчишлар ўзаро тенг бўлди.

**Мор интегралини татбиқ этиш.** Бу усулда берилган балканинг остида асосий ва бирлик куч билан юкланган соҳта балкалар чизилади. Асосий ва соҳта балкаларнинг X оралиқ масофаси учун момент тенгламалари ёзилади (215-расм).

$M_x = Bx - q \frac{x^2}{2}$  ташқи куч ва но- маълум реакция кучи  $B$  таъсиридаги эгувчи момент тенгламаси:  
 $M_o = Fx = 1 \cdot x = x$

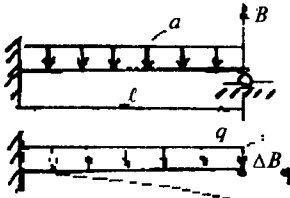
В нүктанинг салқилиги нолга тенг, яъни:  $f_B = 0$  ёки

$$f_B = \int_0^l \frac{M_x M_o dx}{EI} = \int_0^l \frac{(Bx - q \frac{x^2}{2}) \cdot dx}{EI} = 0$$

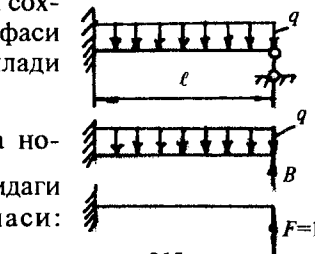
Бу ерда  $\frac{1}{EI} \neq 0$ , шунинг учун  $\int_0^l (Bx - q \frac{x^2}{2}) \cdot dx = 0$  ёки интеграллашдан кейин:  $B = \frac{3}{8}q\ell$

**Верешагин формуласини татбиқ этиш.** Берилган куч  $-q$ , номаълум реакция кучи  $-B$  ва  $F=1$  бирлик кучи таъсиридан ҳосил бўлган эгувчи моменти эпюраларини кўрамиз.

Ҳар қайси эгувчи момент эпюраси юзаларини топамиш:

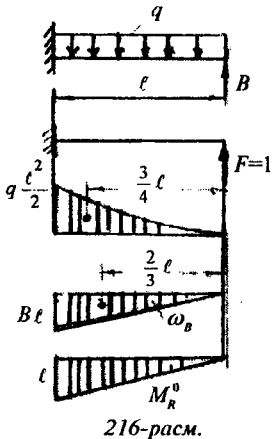


214-расм.



215-расм.

$$\omega_q = \frac{1}{3} q \frac{\ell^2}{2} \ell = q \frac{\ell^3}{6}, \quad \omega_B = \frac{1}{2} B \ell \cdot \ell = \frac{B \ell^2}{2}$$



$\omega_q$  ва  $\omega_B$  юзаларининг оғирлик марказларига түғри келувчи бирлик кучи моменти эпюрасининг ординатасини топамиз:

$$M_q^o = \frac{3}{4} \ell \quad \text{ва} \quad M_B^o = \frac{2}{3} \ell$$

$B$  нуқтанинг кўчишини ёзамиш:

$$f_B = \frac{\omega_q \cdot M_q^o + \omega_B \cdot M_B^o}{EI} = \\ = \frac{1}{EI} \left( -q \frac{\ell^3}{6} \cdot \frac{3}{4} \ell + \frac{B \ell^2}{2} \cdot \frac{2}{3} \ell \right) = 0$$

$$\text{Бу ерда: } B = \frac{3}{8} q \ell$$

Ортиқча номаълум реакция кучи  $B$  топилган балканинг эгувчи момент ва кўндаланг куч эпюралари статик аниқ балқадаги каби қурилади.

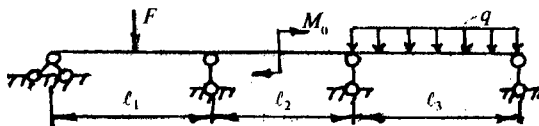
### УЗЛУКСИЗ БАЛКАЛАР. УЧ МОМЕНТ ТЕОРЕМАСИ

Статик аниқмас конструкцияларнинг асосий кўришилларидан бири узлуксиз балкалардир.

Узлуксиз деб, камида иккита таянчга таянувчи ва оралиқ шарнирлари бўлмаган балкага айтилади.

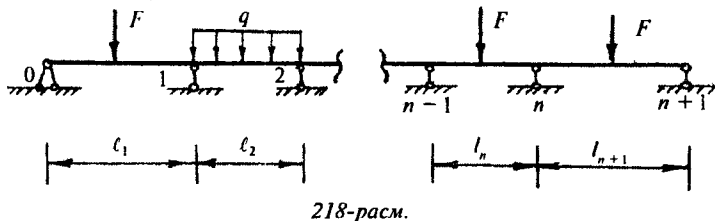
Узлуксиз балканинг чекка кесимлари шарнирли ёки қистириб маҳкамланган таянчларга таянади.

Бўйлама кучни қабул қилиш учун узлуксиз балканинг битта таянчи қўзғалмас шарнирли бўлиши керак. Ҳарорат



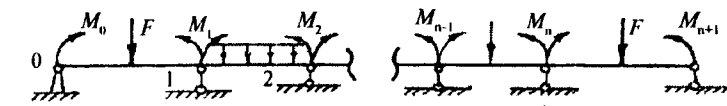
217-расм.

тасырида узунлигини ўзгартыриши учун узлуксиз балканың қолган таянчларини құзғалуынан шарнирли қабул қилинади. Агар балка  $n + 1$  та шарнирли таянчга таянса, унда горизонтал реакция күчини ҳисобға олмаганды шунда вертикаль йұналған реакция күчләри ҳосил бўлади. Берилған узлуксиз балка учун иккита мувозанат шартини тузиш мумкин бўлғанлиги учун бу балка  $n - 1$  маротаба ноаниқдир (218-расм).



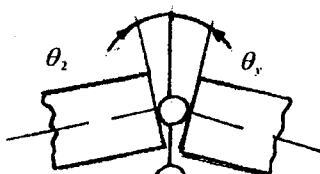
Балканың таянчлари чапдан ўнгга қараб 0; 1; 2; 3... $n - 1$  ва  $n + 1$  сонлари билан белгиланиши мумкин. Таянчлар орасидаги масофалар  $\ell_1; \ell_2; \ell_3; \dots \ell_n$  ва  $\ell_{n+1}$  билан белгиланади. Ҳар бир оралиқ узунлигининг индекси ўнг таянч номерига тұғри келади. Балканың узунлиги бўйлаб кесимнинг инерция моменти бир хил бўлсин. Узлуксиз балканың аниқмаслик даражасини очиш учун уч момент теоремасидан фойдаланамиз. Бунинг учун узлуксиз балканың асосий системасини танлаймиз. Асосий системада оралиқ шарнирли таянчлар устига шарнирлар, номаълум реакция күчләри ўрнига эса номаълум таянч моментлари қабул қилинган.

Бундай асосий системада ҳар бир ташқи күч ўзи қўйилған оралиқта таъсир қиласы, яъни ташқи күч балканың бошқа оралиқтарига таъсири номаълум таянч моментида ифодаланади.



219-расм.

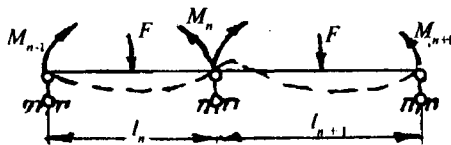
Демак, асосий система — шарнирларға таянган, ташқи күч ва номаълум моментлар билан юклантган оддий балкалар экан. Оддий икки таянчли балкалардаги ҳар бир таянч кесимининг күчиши (айланиш бурчаги) шу оралиқдаги ташқи күчга ва номаълум таянч моментига боғлиқ. Асосий системада ҳар бир оддий икки таянчли балка бошқа балкалардаги күчларга боғлиқ бўлмасдан, ўзига кўйилган ташқи күч таъсирида алоҳида деформацияланади. Демак, иккита балканинг бир таянчга таянувчи кесимларидан биттаси  $\theta_n$  бурчакка, иккincinnиси эса  $\theta_y$  бурчакка айланар экан.



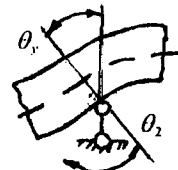
220-расм.

Берилган балкада бу иккита кесим бир бутун бўлганлиги учун таянч кесимининг деформацияси (айланиш бурчаги) куйидагича бўлади (221-расм):

Бу ерда:  $\theta_n$  — узунлиги  $\ell_n$  бўлган чап балкани  $a$  таянчга таянувчи кесимининг айланиш бурчаги:



221-расм.



$\theta_y$  — узунлиги  $\ell_n + 1$  бўлган ўнг балканинг  $n$  таянчга таянган кесимининг айланиш бурчаги. Бу иккита кесим бир бутун бўлганлиги учун:  $\theta_n = \theta_y$ , яъни ўзаро қарама-қарши бурчаклар tengdir.  $n$  — таянчга таянувчи чап ва ўнг балкалардаги  $M_{n-1}$ ;  $M_n$  ва  $M_{n+1}$  номаълум моментлари фойдаланамиз.  $\ell_n$  ва  $\ell_n + 1$  узунликдаги балкаларни алоҳида чизиб оламиз. Ҳар қайси балкалар учун берилган ташқи күч ва номаълум моментлар таъсиридаги эгувчи моментлар эпюраларини курамиз.

Учта сохта балкани бир бутун — битта сохта балка деб қараш керак, чунки биз ўкувчига  $F$  кучи;  $M_{n-1}$ ;  $M_n$  ва  $M_{n+1}$  номаълум моментларининг эгувчи моменти тушунарли бўлсин деб, ҳар бир асосий балка учун утадан эгувчи момент эпторасини курдик.

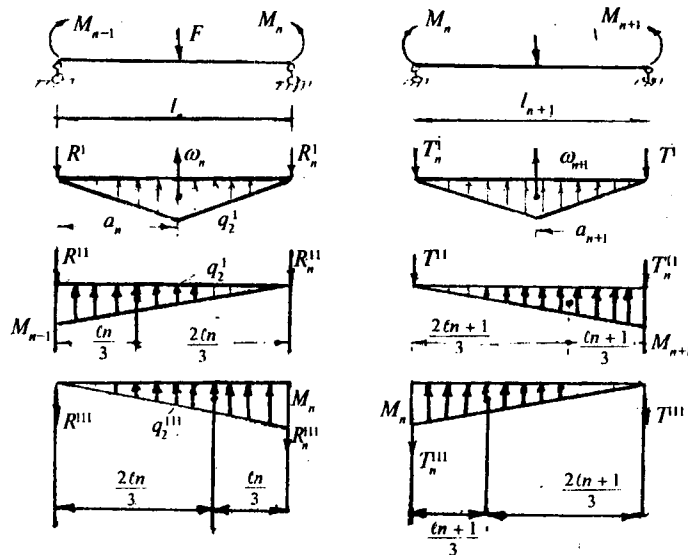
У ҳолда:  $R_n = R_n^I + R_n^{II} + R_n^{III}$  ва  $T_n = T_n^I + T_n^{II} + T_n^{III}$

$R_n$  ва  $T_n$  реакция кучларини топиш учун сохта балкадаги тақсимланган куч интенсивлиги —  $q_c$  лардан ҳамда  $R_n^I$ ;  $R_n^{II}$ ;  $R_n^{III}$ ;  $T_n^I$ ;  $T_n^{II}$  ва  $T_n^{III}$  реакция кучларидан  $n-1$  ва  $n+1$  таянчларга нисбатан моментларининг йифиндисини нолга тенглаштирамиз.

Чап балка учун:

$$\sum M_{n-1} = R_n \cdot \ell_n - \omega_n \cdot a_n - \frac{M_{n-1} \cdot \ell_n}{2} \cdot \frac{\ell_n}{3} - \frac{M_n \cdot \ell_n}{2} \cdot \frac{2\ell_n}{3} = 0$$

$$\text{Бу ерда: } R_n = \frac{M_{n-1} \cdot \ell_n}{6} + \frac{M_n \cdot \ell_n}{3} + \omega_n \frac{a_n}{\ell_n}$$



222-расм.

У пайтда чап балка  $n$  таянч кесимининг айланиш бурчаги қуидагида топилади:

$$\theta_n = \frac{Q_c^n}{EI} = \frac{R_n}{EI} = \frac{1}{EI} \left( \frac{M_{n-1}\ell_n}{6} + \frac{M_n\ell_n}{3} + \frac{\omega_n a_n}{\ell_n} \right) \quad (7.25)$$

Үнг балка учун:

$$\begin{aligned} \sum M_{n+1} &= -T_n \cdot \ell_{n+1} + \omega_{n+1} \cdot a_{n+1} + \frac{M_{n+1} \cdot \ell_{n+1}}{2} \cdot \frac{\ell_{n+1}}{3} + \\ &+ \frac{M_n \cdot \ell_{n+1}}{2} \cdot \frac{2\ell_{n+1}}{3} = 0 \end{aligned}$$

Бу ерда:  $T_n = \frac{M_{n-1} \cdot \ell_{n+1}}{6} + \frac{M_n \cdot \ell_{n+1}}{3} + \omega_{n+1} \frac{a_{n+1}}{\ell_{n+1}}$  ва

$$\theta_e = \frac{Q_c^y}{Ey} = \frac{T_n}{EI} = \frac{1}{EI} \left[ \frac{M_{n+1}\ell_{n+1}}{6} + \frac{M_n\ell_{n+1}}{3} + \frac{\omega_{n+1}a_{n+1}}{\ell_{n+1}} \right] \quad (7.26)$$

(7.25) ва (7.26) тенгликларни ўзаро тенглаштирасак:

$$M_{n-1}\ell_n + 2M_n(\ell_n + \ell_{n+1}) + M_{n+1}\ell_{n+1} = -6 \left( \frac{\omega_n a_n}{\ell_n} + \frac{\omega_{n+1} a_{n+1}}{\ell_{n+1}} \right) \quad (7.27)$$

$\omega_n$  ва  $\omega_{n+1}$  — ташқи  $F$  күч эгувчи моменти эпюрасининг юзаси (күч юзаси) — уч момент тенгламаси ҳосил бўлади.

Узлуксиз балкада уч момент тенгламасининг сони ундаги оралиқ таянчларининг сонига тенгdir. Барча уч момент тенгламалари система кўринищда ҳисобланса, но маълум реакция моментлари топилади. Узлуксиз балканинг ҳар бир оралиғи алоҳида икки таянчли балка деб қабул қилинса ҳамда эгувчи момент ва кўндаланг күч эпюралари қурилса бўлади.

## 7.9. СТАТИК АНИҚМАС РАМАЛАРНИ ҲИСОБЛАШ

Рамали (бирикмалар) конструкциялар ўзаро бикр қилиб бириттирилган стерженлардан ташкил топган. Улардан биттасининг деформацияси унга ёндашган бошқала-

рининг деформациясига сабаб бўлади. Бундай статик ноаниқ системаларни куч усули билан ҳисоблашда ҳам асосий система танлаб олиниши керак.

Асосий система бир неча вариантда танлаб олинади. Асосий системани танлашда ортиқча боғланишлар ортиқча номаълумлар —  $X$  билан алмаштирилади.

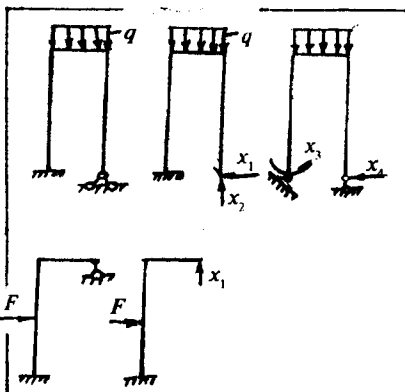
Асосий системада статик ноаниқ система содда ва статик аниқ кўринишга эга бўлиши, геометрик ўзгармас бўлиши керак.

Икки марта статик ноаниқ рама учун асосий системанинг иккита варианти ва бир марта статик ноаниқ раманинг асосий системаси 223- расмда кўрсатилган. Асосий системаларнинг қайси вариантда номаълум боғланишларнинг бирлик қийматида ( $X_1=1; X_2=1$ ) ва ташки куч таъсирида эгувчи момент эпюраларини қуриш осон бўлса, ўша вариант қабул қилинади. Асосий системани танлашда ҳам чизиқли, ҳам бурчакли боғланишлар ташлаб юборилар экан.

Асосий система вариантларидан бири (223-расм) га кўра  $B$  таянч қўзгалмас — шарнирли бўлиб, номаълум реакция кучлари  $X_1$  ва  $X_2$  бирлик кучлар билан алмаштирилган. Кучлар таъсирининг мустақиллик аломати асосида ҳар бир куч таъсиридан кўчишлар топилади, сўнгра улар кўшилади, буларнинг йигиндиси нолга тенг бўлиши керак, чунки  $B$  нуқтанинг барча кучлар таъсиридан горизонтал ва вертикаль кўчишлари чеклангандир, яъни:

$$\Delta_p(q; x_1; x_2) = 0$$

Деформация тенгламалари бу ҳолда қуйидагича ёзилади:



223-расм.

$$\Delta_\beta = \Delta_{\beta x_1} + \Delta_{\beta x_2} + \Delta_{\beta q} = 0 \text{ (горизонтал күчиш)}$$

$$\Delta_\beta = \Delta_{\beta x_1} + \Delta_{\beta x_2} + \Delta_{\beta q} = 0 \text{ (вертикаль күчиш)}$$

$X_1$  ва  $X_2$  номаълумлардан ҳосил бўладиган кўчишларни қўйидагича ёзиш мумкин:  $\Delta_{\beta x_1} = \delta_{\beta 1} x_1$  ва  $\Delta_{\beta x_2} = \delta_{\beta 2} x_2$

Бу ерда:  $\delta_{\beta 1}$  ва  $\delta_{\beta 2}$  — асосий система  $B$  таянчини  $X_1 = 1$ ,  $X_2 = 1$  бирлик кучлари таъсиридан кўчишидир. Горизонтал кўчишда  $\Delta_\beta = \Delta_1$  ва вертикаль кўчишда  $\Delta_\beta = \Delta_2$  деб қабул қилинса, юқоридаги тенглама қўйидагича ёзилади:

$$\left. \begin{array}{l} \delta_{11} x_1 + \delta_{12} x_2 + \Delta_{1q} = 0 \\ \delta_{12} x_1 + \delta_{22} x_2 + \Delta_{2q} = 0 \end{array} \right\} \quad (7.28)$$

Ҳосил бўлган тенглама куч усулиниң каноник тенгламалари дейилади. Уларнинг сони системанинг статик ноаниқлик даражасига тенг бўлади. Каноник тенгламалардаги кўчишларни топиш учун асосий системада  $X_1 = 1$ ,  $X_2 = 1$  номаълум бирлик кучлардан ва ташқи кучдан эгувчи момент эпюралари қурилади. Мор формуласи ёки Верешагин усули бўйича керакли эпюралар ўзаро кўпайтирилиб, каноник тенгламанинг бирлик куч ва берилган ташқи куч таъсиридан бўладиган кўчишлари топилади. Каноник тенгламаларни ҳисоблаб  $X_1$  ва  $X_2$  номаълумлар аниқланади. Номаълумлар топилгач, балка статик аниқ кўринишга келади.

### *Савол ва топшириқлар*

1. Балка эгилишининг потенциал энергияси нимага тенг?
2. Ишлар орасидаги боғланишлар теоремасини айтинг.
3. Кўчишлар орасидаги боғланишлар теоремасини айтинг.
4. Мор интегралини ёзинг.
5. Верешагин формуласини ёзинг.
6. Статик ноаниқ система деб нимага айтилади?
7. Статик ноаниқ системалар қандай усуллар билан ечилади?
8. Уч момент тенгламасини ёзинг.
9. Каноник тенгламани ёзинг.

### **1-масала.**

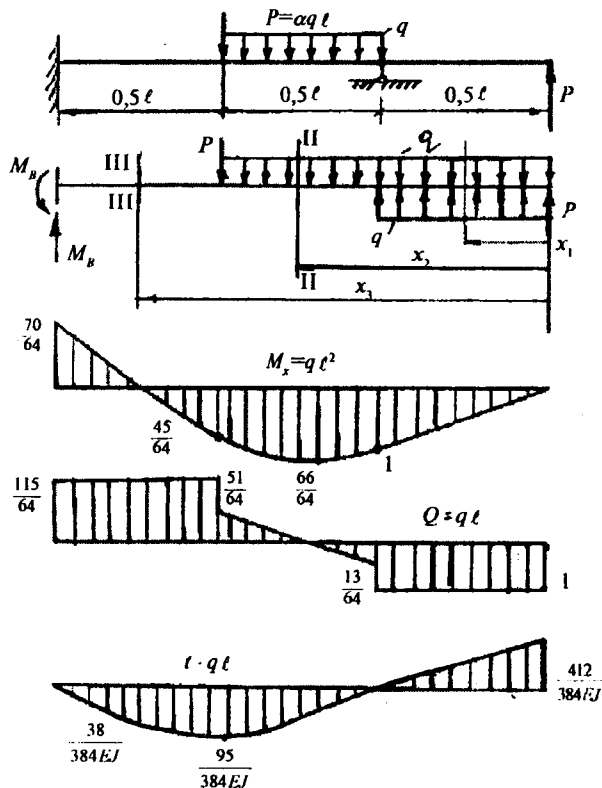
1. Берилган статик аниқмас балканинг  $B$  таянчдаги реактив момент  $M_\beta$  топилсин.

2.  $M_x$  ва  $Q_x$  эпюралари қурилсін.

3. Балканинг узунлиғи бүйлаб салқылыш эпюраси қурилсін.

$$\alpha = 1,0$$

Ечиш. Берилған системаниң эквивалент схемасини танлаймиз. (224-расм). Агар балканинг  $K$  таянчдан кейинги оралиғида тақсимланған күч интенсивлигі таъсир қилмаса, асosий (эквивалент) схеманы танлашда балканинг



224-расм.

шу қисми бир-бирига тенг ва қарама-қарши йўналган —  $q$  кучлар билан тўлдирилади. Биринчи саволга жавоб топиш учун барча кучлардан  $K$  таянч нуқтага нисбатан олинган моментлар йиғиндисини нолга тенглаштирамиз:

$$\sum M_K = -M_B + B \cdot 2\ell - P\ell - P\ell - q\ell^2 + q \frac{\ell^2}{2} = 0 \quad \text{ёки}$$

$$M_B = 2B\ell - 2P\ell - q \frac{\ell^2}{2} \quad (a)$$

(а) тенгламада иккита номаълум бўлиб,  $B$  ни топиш учун қўшимча тенглама тузишга тўғри келади. Қўшимча тенглама сифатида балканинг исталган кесимининг салқилигини ифодаловчи универсал формула тузамиз:

$$f = y_0 + \theta_0 x + \frac{1}{EI} \left[ B \frac{x^3}{6} - M_B \frac{x^2}{2} - q \frac{(x-\ell)^4}{24} + K \frac{(x-\ell)^3}{6} + q \frac{(x-2\ell)^4}{24} - P \frac{(x-\ell)^3}{6} \right] \quad (6)$$

$y_0$  ва  $\theta_0$  балканинг бошлангич  $B$  кесимининг салқилиги ва айланиш бурчаги (б) тенгламадаги  $x = 0$  ва балканинг  $B$  кесимида таянишга асосан нолга тенгdir,  $x = 2\ell$  бўлса, балканинг  $K$  таянчидаги салқилик нолга тенг бўлади:

Демак,  $f = f_K = \frac{1}{EI} \left[ B \frac{8\ell^3}{6} - M_B \frac{4\ell^2}{2} - q \frac{\ell^4}{24} - P \frac{\ell^3}{6} \right] = 0 \quad \text{ёки}$

$$\frac{8B\ell^3}{6} - \frac{4M_B\ell^2}{2} - \frac{P\ell^3}{6} - \frac{q\ell^4}{24} = 0$$

Бу ерда:

$$M_B = \frac{1}{2} \left( \frac{8B\ell}{6} - q \frac{\ell^2}{6} - q \frac{\ell^2}{24} \right) = \frac{4B\ell}{6} - \frac{5 \cdot q \cdot \ell^2}{48} \quad (b)$$

(а) ва (б) тенгламаларни ўзаро тенглаштириб,  $B$  реакция кучини топамииз:  $2B\ell - 2P\ell - q \frac{\ell^2}{2} = 4B\ell - \frac{5q\ell^2}{48}$

Бу ерда:  $B = \frac{115}{48} \cdot \frac{6}{8} q\ell = \frac{115}{64} q\ell$  ифоданы (а) тенгламага қүйсак,  $M_B$  моментни топамиз:

$$M_B = 2 \cdot \frac{115}{64} q\ell^2 - 2q\ell^2 - q \frac{\ell^2}{2} = \frac{70}{64} q\ell^2$$

Энди барча күчлардан  $B$  нүктага нисбатан момент тенгламасини тузамиз ва  $K$  таянч күчини топамиз:

$$\sum M_B = -M_B + P\ell + q2\ell\left(\frac{2\ell}{2} + \ell\right) - K \cdot 2\ell - P \cdot 3\ell - q\ell\left(\frac{\ell}{2} + 2\ell\right) = 0$$

$$K = \frac{-M_B + P\ell + 4q\ell^2 - 3P\ell - 2,5q\ell^2}{2\ell} = -\frac{102}{128} q\ell$$

Текшириш:  $\sum y = B - P - 2q\ell + K + q\ell + P = 0$  ёки

$$B + K - q\ell = \frac{115}{64} - \frac{102}{128} - 1 = 0; \quad 0 = 0$$

Балкани учта оралиққа бўлиб  $M_x$  ва  $Q_x$  эпюраларни қурамиз:

**I—I қирқим.**  $0 \leq x_1 \leq \ell$

$$M_{x_1} = Px_1 = q\ell x_1 \quad \text{ва} \quad Q_{x_1} = -P = -q\ell$$

$M_x$  ва  $Q_x$  тенгламаларини тузишда балканинг  $0 \leq x_1 \leq \ell$  оралиқдаги тақсимланган күч интенсивлиги —  $q$  нинг таъсирини ғисобга олмадик. Чунки  $q$  күч фақат ( $\delta$ ) тенгламани келтириб чиқаришда ва  $f$  салқиликни топишда ишлатилади.

$x_1 = 0$  бўлса,  $M_{x_1} = 0$  ва  $x_1 = \ell$  да  $M_{x_1} = q\ell^2$

**II-II қирқим.**  $\ell \leq x_2 \leq 2\ell$

$$M_{x_2} = P \cdot x_2 + K(x_2 - \ell) - q \frac{(x_2 - \ell)^2}{2}$$

$$Q_{x_2} = -P - K + q(x_2 - \ell)$$

$$x_2 = \ell \text{ да } M_{x_2} = q\ell^2 \text{ ва } Q_{x_2} = -P - K = -q\ell + \frac{51}{64} q\ell = -\frac{13}{64} q\ell$$

$$x_2 = 1,5\ell \quad M_{x_2} = q\ell \cdot 1,5\ell - \frac{51}{64}q\ell \cdot 0,5\ell - q \frac{0,2\ell^2}{2} = \frac{133}{128}q\ell^2$$

$$Q_{x_2} = -q\ell + \frac{51}{64}q\ell + 0,5q\ell = \frac{19}{64}q\ell$$

$x_2 = 2\ell$  бўлса:

$$M_{x_2} = q\ell \cdot 2\ell - \frac{51}{64}q\ell \cdot \ell - q \frac{\ell^2}{\ell} = \frac{45}{64}q\ell^2$$

$$Q_{x_2} = -q\ell + \frac{51}{64}q\ell + q\ell = \frac{51}{64}q\ell$$

III—III қирқим.  $2\ell \leq x_3 \leq 3\ell$

$$M_{x_3} = P_{x_3} + K(x_3 - \ell) - q\ell \left[ x_3 - \left( \ell + \frac{\ell}{2} \right) \right] - P(x_3 - 2\ell)$$

$$Q_{x_3} = -P - K + q\ell + P = \frac{51}{64}q\ell + q\ell = \frac{115}{64}q\ell$$

III—III қирқимда кўндаланг куч ўзгармас қийматга эга:

$$x_3 = 2\ell \text{ бўлса, } M_{x_3} = \frac{45}{64}q\ell^2; \quad x_3 = 3\ell \text{ бўлса, } M_{x_3} = \frac{70}{64}q\ell^2$$

$M_{\max}$  ни II—II қирқимдаги  $Q_{x_2} = 0$  кесимдан аниқлай-миз:

$$O = -P - K + q(x_2 - 2) \text{ ёки } O = -q\ell + \frac{51}{64}q\ell + qx_2 - q\ell$$

$$\text{тenglamadan } x_2 = \frac{2q\ell - \frac{51}{64}q\ell}{q} = \frac{77}{64}q \approx 1,2\ell \text{ xosil bўлади.}$$

$$M_{x_2} = M_{\max} = q\ell \cdot 1,2\ell - \frac{51}{64}q \cdot 0,2\ell^2 - q \frac{0,04\ell^2}{2} = \frac{65,5}{64}q\ell^2$$

Учинчи саволга жавоб бериш учун ( $\delta$ ) тенгламадан фойдаланамиз:

$$f = \frac{1}{EI} \left[ B \frac{x^3}{6} - P \frac{(x-\ell)^3}{6} - M_B \frac{x^2}{2} - q \frac{(x-\ell)^4}{24} + K \frac{(x-2\ell)^3}{6} + q \frac{(x-\ell)^4}{24} \right]$$

$$x = 0,5\ell, \quad f = -\frac{38,1q\ell^4}{384EI}; \quad x = \ell; \quad f = -\frac{95q\ell^4}{384EI}$$

$$x = 1,5\ell; \quad f = -\frac{93,37q\ell^4}{384EI}; \quad x = 2\ell; \quad f = 0;$$

$$x = 3\ell; \quad f = \frac{412}{384} q\ell^4$$

**2-масала.** Икки оралиқли балка схемада күрсатилғаниңдек юкланған. Балканинг статик ноанықлық даражаси то-пилсін ва реакция құчлары аниқлансын:  $M$  ва  $Q$  эпюралары қурилсін ва  $h : b = 2$  нисбатдан фойдаланыб балка кесимининг ўлчамлары топилсін. Балканинг материалы — пұлат  $[\sigma] = 160 \text{ MPa}$  (225-расм).

**Ечиш.** Берилған узлуксиз балка бүлгансында статикканинг тенгламаларидан қыйидагиларни ҳосил қиласыз (225-расм).

$$\sum x = -x_0 = 0 \quad (1)$$

$$\sum y = R_0 - F + R_B + R_c - F = 0 \quad (2)$$

$$\sum M_0 = -F \cdot 2 - R_B \cdot 4 + F \cdot 6 - R_c \cdot 8 = 0 \quad (3)$$

Учта тенгламада түрттә номағым. Демек, узлуксиз балка бир маротаба статик ноанық. Узлуксиз балканинг статик ноанықлық даражасини очиш учун уч момент тенгламасынан фойдаланамыз. Узлуксиз балкадаги номағым реакция құчларини номағым таянч моментлари билан алмаштириб, асосий системаны ҳосил қиласыз. Асосий системада ўрта (1) таянчны ортиқча боғланиш деб шарнир билан алмаштирамыз. Узлуксиз балкани 2 та оддий балкаларга ажратади. Оддий балкалар учун әгувчи момент эпюраларини қурамыз ва уларни күч юзалари деб қабул қиласыз:

$$\omega_1 = \omega_2 = \frac{1}{2} \cdot 10 \cdot 4 = 20 \text{ kNm}^2$$

$\omega_1$  ва  $\omega_2$  дан балкаларнинг четки таянчларигача бўлган масофаларни  $a$ ,  $b$  деб қабул қиласиз.

Уч момент тенгламасини тузамиш (225-расм):

$$M_0 \cdot \ell_1 + 2M_1(\ell_1 + \ell_2) + M_2 \cdot \ell_2 = -6 \left( \omega_1 \frac{a}{\ell_1} + \omega_2 \frac{b}{\ell_2} \right)$$

Уч момент тенгламасида:

$$M_0 = 0; \quad M_2 = 0; \quad \ell_1 = 4 \text{ м}; \quad \ell_2 = 4 \text{ м}$$

$$a = 2 \text{ м}; \quad b = 2 \text{ м}$$

У ҳолда:  $M_1 = -7,5 \text{ кНм}$

Оддий балкаларни  $M_1$  моменти билан юклаймиз (225-расм). Ҳар бир оддий балканинг  $F$  ташқи кучи ва  $M_1$  моменти таъсиридан реакция кучларини топамиш.

Чап балка (225-расм):

$$\sum M_0 = F \cdot 2 - R_B^* \cdot 4 + M_1 = 0; \quad R_B^* = \frac{27,5}{4} \text{ кН}$$

$$\sum M_B = R_0 \cdot 4 - F \cdot 2 + M_1 = 0; \quad R_0 = \frac{12,5}{4} \text{ кН}$$

Үнг балка (225-расм):

$$\sum M_B = -M_1 + F \cdot 2 - R_c \cdot 4 = 0; \quad R_c = \frac{12,5}{4} \text{ кН}$$

$$\sum M_c = -M_1 + R_B^* \cdot 4 - F \cdot 2 = 0; \quad R_B^* = \frac{27,5}{4} \text{ кН}$$

Узлуксиз балканинг реакция кучларини ёзамиш:

$$R_0 = \frac{12,5}{4} = 3,125 \text{ кН}; \quad R_c = \frac{12,5}{4} = 3,125 \text{ кН}$$

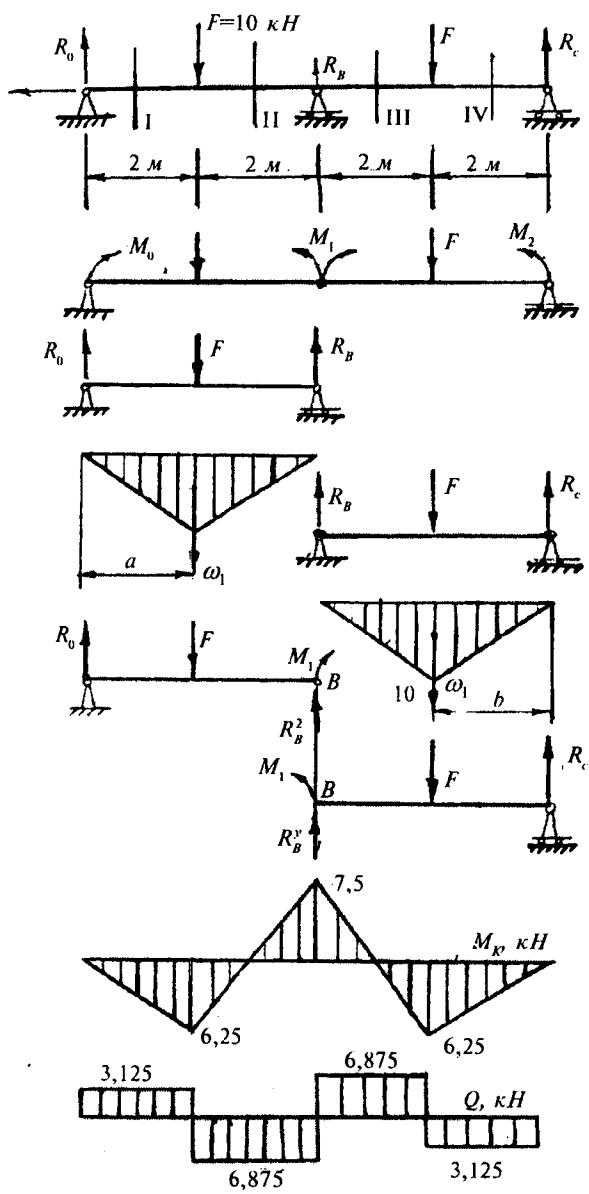
$$R_B = R_B^* + R_B^y = \frac{27,5}{4} + \frac{27,5}{4} = 13,75 \text{ кН}$$

Узлуксиз балкани оралиқларга бўлиб,  $M$  ва  $Q$  тенгламаларини тузамиш:

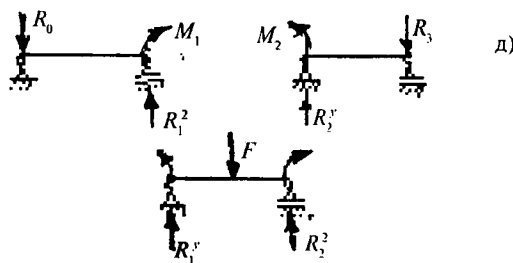
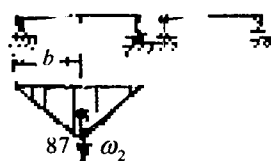
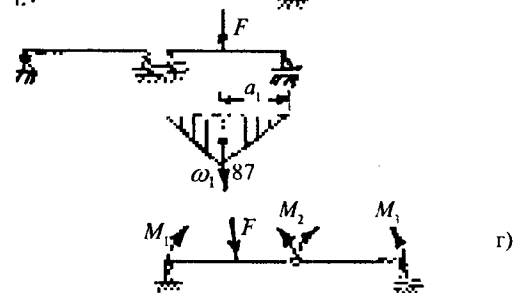
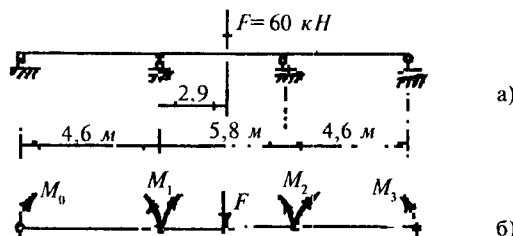
I—I қирқим.  $0 \leq x_1 \leq 2 \text{ м}$

$$M_{x_1} = R_0 x_1; \quad Q_1 = R_0 = 3,125 \text{ кН};$$

$$x_1 = 0; \quad M_1 = 0; \quad x_1 = 2 \text{ м}; \quad M_1 = 6,25 \text{ кНм}$$



225-расм.



226-rasm.

**II—II қирқим.**  $0 \leq x_2 \leq 2 \text{ м}$

$$M_{x_2} = R_0(2 + x_2) - Fx_2; \quad Q_2 = R_0 - F = 3,125 - 10 = -6,875 \text{ кН}$$
$$x_2 = 0; \quad M_2 = 6,25 \text{ кНм}; \quad x_2 = 2 \text{ м}; \quad Mx_2 = -7,5 \text{ кНм}$$

**III—III қирқим.**  $0 \leq x_3 \leq 2 \text{ м}$

$$M_{x_3} = R_0(4 + x_3) - F(2 + x_3) + R_B x_3$$
$$Q_3 = R_0 - F + R_B = 3,125 - 10 + 13,75 = 6,875 \text{ кН}$$
$$x_3 = 0; \quad M_3 = -7,5 \text{ кНм}; \quad x_3 = 2 \text{ м}; \quad Mx_3 = 6,25 \text{ кНм}$$

**IV—IV қирқим.**  $0 \leq x_4 \leq 2 \text{ м}$

$$M_{x_4} = R_0(6 + x_4) - F(4 + x_4) + R_B(2 + x_4) - Fx_4$$
$$Q_4 = R_0 - 2F + R_B = 3,125 - 10 + 13,75 - 10 = -3,125 \text{ кН}$$
$$x_4 = 0; \quad Mx_4 = 6,25 \text{ кНм}; \quad x_4 = 2 \text{ м}; \quad Mx_4 = 0 \text{ кН}$$

Энг катта эгувчи момент В таянчда ҳосил бўлади:

$$M_{\max} = 7,5 \text{ кНм}$$

Эгилишда мустаҳкамлик шартига асосан:

$$W_x = \frac{M_{\max}}{[\sigma]} = \frac{7,5}{160 \cdot 10^3} = 4,7 \cdot 10^{-5} \text{ м}^3. \quad \text{Бу ерда: } W_x = \frac{bh^2}{6} \quad \text{ва}$$

$$h = 2b$$

У ҳолда:

$$b = \sqrt[3]{\frac{6 \cdot 4,7 \cdot 10^{-5}}{4}} = 0,0413 \text{ м}; \quad h = 2 \cdot 0,0413 = 0,086 \text{ м}$$

**З-масала.** Уч оралиқли узлуксиз балка учун эгувчи момент ва кўндаланг куч эпюралари қурилсин.

**Ечиш.** Узлуксиз балка икки маротаба статик ноаниқ. Шунинг учун узлуксиз балқани иккита оддий икки оралиқли, бир маротаба статик ноаниқ балкаларга ажратамиз (226-б расм).

Ҳар қайси икки оралиқли узлуксиз балкаларни оддий икки таянчли балкаларга ажратиб, ташқи куч таъсиридан эгувчи момент эпюраларини қурамиз. Куч юзаларининг тенг таъсир қилувчиларини топамиз (226-в, г расм).

$\omega_1 = \omega_2 = \frac{1}{2} \cdot 87 \cdot 5,8 = 252,3 \text{ кНм}^2$ ;  $a_1 = b = 2,9 \text{ м}$ . Ҳар қайси иккى оралиқти узлуксиз балка учун үч момент тенгламасын тузамиз:

$$M_0 \cdot 4,6 + 2M_1(4,6 + 5,8) + M_2 \cdot 5,8 = -6 \frac{\omega_1 \cdot a_1}{5,8}$$

$$M_1 \cdot 5,8 + 2M_2(5,8 + 4,6) + M_3 \cdot 4,6 = -6 \frac{\omega_2 \cdot b}{5,8}$$

Бу ерда:  $M_0 = 0$ ;  $M_3 = 0$

$$20,8M_1 + 5,8M_2 = -6 \frac{\omega_1 a_1}{5,8} \quad | \cdot (-20,3)$$

$$5,8M_1 + 20,8M_2 = -\frac{\omega_2 \cdot b}{5,8} \quad | \cdot (5,8)$$

$$-432,64M_1 - 120,64M_2 = 124,8 \frac{\omega_1 \cdot a_1}{5,8} \quad |$$

$$33,64M_1 + 120,64M_2 = -34,8 \frac{\omega_2 \cdot b}{5,8} \quad |$$

Иккала тенгламани құшсак:

$$-399M_1 = 124,8 \frac{252,3 \cdot 2,9}{5,8} - 34,8 \frac{252,3 \cdot 2,9}{5,8}; \quad M_1 = -28,45 \text{ кНм}$$

$$\text{жосил бўлади ва } 20,8(-28,45) + 5,8M_2 = -6 \frac{252,3 \cdot 2,9}{5,8};$$

$$M_2 = -28,45 \text{ кНм}.$$

Оддий иккى таянчли балкаларни  $M_1$  ва  $M_2$  моментлари билан юклаймиз (226-расм).

Ҳар бир оддий балканинг реакция кучларини топамиз:

1-балка:

$$\sum M_0 = M_1 - R_1^y \cdot 4,6 = 0; \quad R_1^y = 6,2 \text{ кН}$$

$$\sum M_1^* = -R_0 \cdot 4,6 + M_1 = 0; \quad R_0 = 6,2 \text{ кН}$$

2-балка:

$$\sum M_1^* = F2,9 - M_1 + M_2 - R_2^y \cdot 5,8 = 0; \quad R_2^y = 30 \text{ кН}$$

$$\sum M_2^* = R_1^y \cdot 5,8 - M_1 + M_2 - F \cdot 2,9 = 0; \quad R_1^y = 30 \text{ кН}$$

$R_0$

3-балка:

$$\sum M_2^y = R_3 \cdot 5,8 - M_2 = 0; \quad R_3 = 6,2 \text{ кН}$$

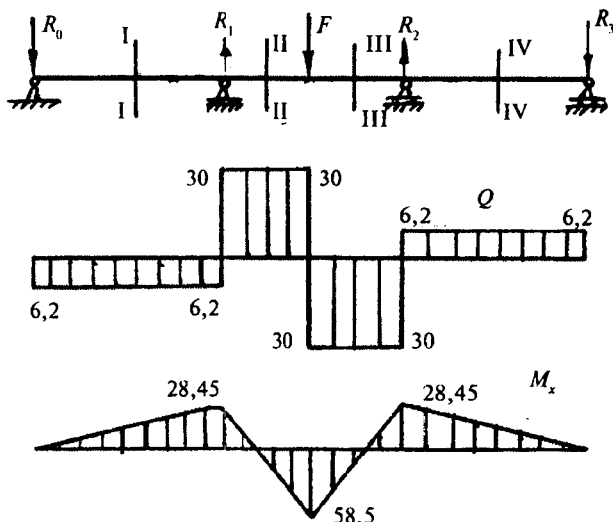
$$\sum M_3 = R_2^y \cdot 5,8 - M_2 = 0; \quad R_2^y = 6,2 \text{ кН}$$

Узлуксиз балканинг реакция кучлари:

$$R_0 = 6,2 \text{ кН}; \quad R_3 = 6,2 \text{ кН}$$

$$R_1 = R_1^y + R_1^x = 6,2 + 30 = 36,2 \text{ кН}$$

$$R_2 = R_2^y + R_2^x = 30 + 6,2 = 36,2 \text{ кН}$$



227-расм.

Узлуксиз балкани оралиқтарга бўлиб қўндаланг  $Q$  ва эгувчи момент  $M_x$  тенгламаларини тузамиш (227-расм).

I—I қирқим.  $0 \leq x_1 \leq 4,6 \text{ м}$

$$Q_1 = -R_0 = -6,2 \text{ кН}; \quad M_{x_1} = -R_0 x_1$$

II—II қирқим.  $4,6 \leq x_2 \leq 7,5 \text{ м}$

$$Q_2 = -R_0 + R_1 = -6,2 + 36,2 = 30 \text{ кН}$$

$$M_{x_2} = -R_0 x_2 + R_1 (x_2 - 4,6)$$

**III—III қирқим.**  $7,5 \leq x_3 \leq 10,4 \text{ м}$

$$Q_3 = -R_0 + R_1 - F = -6,2 + 36,2 - 60 = -30 \text{ кН}$$

$$M_{x_3} = -R_0 x_3 + R_1 (x_3 - 4,6) - F (x_3 - 7,5)$$

**IV—IV қирқим.**  $10,4 \leq x_4 \leq 15 \text{ м}$

$$Q_4 = -R_0 + R_1 - R_2 = -6,2 + 36,2 - 60 + 36,2 = 6,2 \text{ кН}$$

$$M_{x_4} = -R_0 x_4 + R_1 (x_4 - 4,6) - F (x_4 - 7,5) + R_2 (x_4 - 10,4)$$

**4-масала.** Узлуксиз балка учун  $M$  ва  $Q$  эпюралари қурилсін (228-расм)

**Ечиш.** Узлуксиз балка  $K$  ва  $B$  нүкталарда құзғалувчан шарнирли таянчларга таянади;  $C$  нүктада эса құзғалмасдир.

Узлуксиз балкани иккита оддий икки таянчли балкалар ажратамыз (228-а,б расм). 228-б расмда құзғалмас таянч үрнига иккита, бир-биридан  $\ell_3 = 0$  масофада жойлашган таянчлар қабул қиласыз.

Хар қайси балка учун реакция күчларини топиб,  $M$  — әтувчи момент эпюраларни қурамыз.

Биринчи балка (228-а расм)  $M$  эпюрасининг оддий күринишини ҳосил қилиш ва уни оғирилік марказининг координаталарини ҳисоблашни осонлаштириш учун  $F$  күч таъсирини олмаймыз.

$$\sum M_B = R_k \cdot \ell_1 - q \frac{\ell_1^2}{2} = 0; \quad R_k = 20 \text{ кН}$$

$$\sum M_k = -R_B \cdot \ell_1 + q \frac{\ell_1^2}{2} = 0; \quad R_B = 20 \text{ кН}$$

$$M_x = R_k \cdot x_1 - q \frac{x_1^2}{2}; \quad 0 \leq x_1 \leq \ell_1$$

$$x_1 = 0; \quad M_x = 0; \quad x_1 = \ell_1; \quad M_x = 0; \quad x_1 = \frac{\ell}{2}; \quad M_x = 10 \text{ кН}$$

Иккінчи балка (228-б расм) иккінчі оралиқнинг узунлигі бүлгансындағы учун балкада фақат  $B$  ва  $C$  таянчлар қолады. Демек, иккінчи балка икки таянчли ва  $M_o$  — жуфт күч моменти билан юқланған.

$$\begin{aligned}\sum M_B &= -M_0 + R_c \cdot 2,5 = 0; & R_c &= 16 \kappa H \\ \sum M_c &= -M_0 + R_B \cdot 2,5 = 0; & R_B &= 16 \kappa H\end{aligned}$$

I—I қирқим.

$$\begin{aligned}M_{x_1} &= R_B \cdot x_1; & 0 \leq x_1 \leq 1 \text{ м} \\ x_1 &= 0; \quad M_{x_1} = 0; \quad x_1 = 1 \text{ м}; \quad M_{x_1} = 16 \kappa H \text{ м}\end{aligned}$$

II-II қирқим.

$$\begin{aligned}M_{x_2} &= -R_c \cdot x_2; & 0 \leq x_2 \leq 1,5 \text{ м} \\ x_2 &= 0; \quad M_{x_2} = 0; \quad x_2 = 1,5 \text{ м}; \quad M_{x_2} = -24 \kappa H \text{ м}\end{aligned}$$

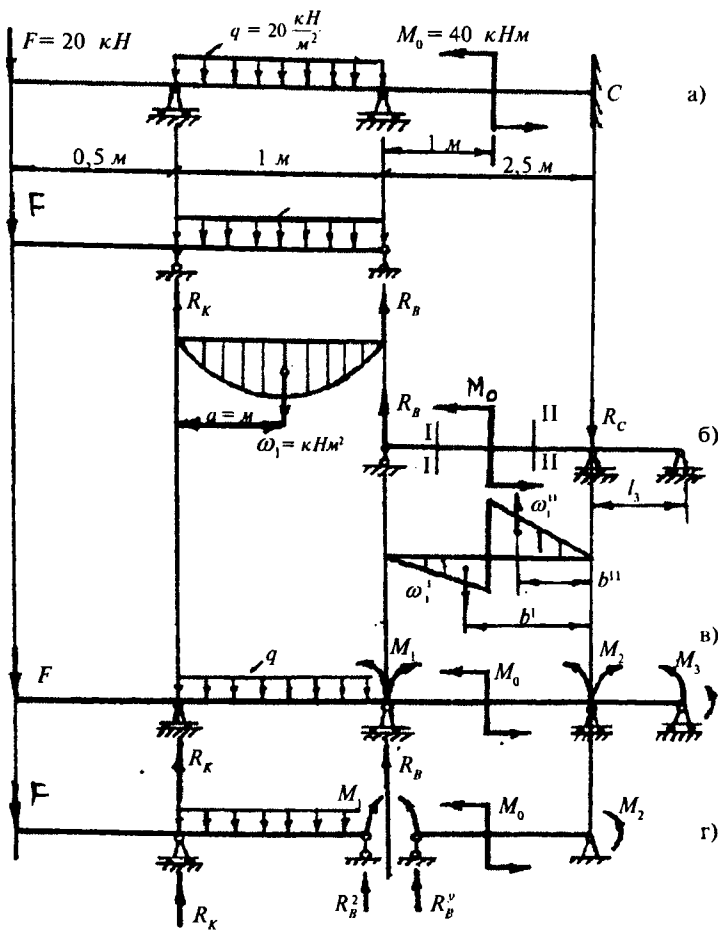
Иккита оддий балкалардаги күч юзаларининг тенг таъсир этувчилигини топамиш:

$$\begin{aligned}\omega_q &= \frac{2}{3} \cdot 10 \cdot \ell_1 = \frac{2}{3} \cdot 10 \cdot 2 = \frac{40}{3} \kappa H \text{ м}^2; & a_q &= 1 \text{ м} \\ \omega_1^1 &= \frac{1}{2} \cdot 16 \cdot 1 = 8 \kappa H \text{ м}^2; & b^1 &= \frac{1}{3} \cdot 1 + 1,5 = \frac{5,5}{3} \text{ м} \\ \omega_1^{11} &= \frac{1}{2} \cdot 24 \cdot 1,5 = 18 \kappa H \text{ м}^2; & b^{11} &= \frac{2}{3} \cdot 1,5 = 1 \text{ м}\end{aligned}$$

228-в расмга асосан уч момент тенгламасини тузамиш:

$$\left\{ \begin{array}{l} M_k \ell_1 + 2M_1(\ell_1 + \ell_2) + M_2 \ell_2 = -6 \left( \frac{\omega_q \cdot a_q}{\ell_1} + \frac{\omega_1^1 b_1^1 - \omega_1^{11} b^{11}}{\ell_2} \right) \\ M_1 \ell_2 + 2M_2(\ell_2 + \ell_3) + M_3 \ell_3 = -6 \left( \frac{\omega_1^1 \frac{2}{3} \cdot 1 - \omega^{11} \left( 1 + \frac{1,5}{3} \right)}{\ell_2} + \frac{\omega_3 \cdot a_3}{\ell_3} \right) \end{array} \right.$$

$$\text{Бу ерда: } M_k = -F \cdot 0,5 = -10 \kappa H \text{ м}; \quad M_3 = 0; \quad \omega_3 = 0 \\ a_3 = 0; \quad \ell_3 = 0$$



228-расм.

$$-10 \cdot 2 + 9M_1 + 2,5M_2 = -6 \left\{ \frac{40 \cdot 1}{6} + \frac{8 \cdot \frac{5,5}{3} - 18 \cdot 1}{2,5} \right\}$$

У ҳолда:

$$M_1 2,5 + 5M_2 = -6 \left[ \frac{16}{7,5} - \frac{18 \cdot 1,5}{2,5} \right]$$

$$\begin{aligned} -20 + 9M_1 + 2,5M_2 &= -32 \\ 2,5M_1 + 5M_2 &= 52 \end{aligned} \quad \left. \begin{aligned} 9M_1 + 2,5M_2 &= -12 \\ 2,5M_1 + 5M_2 &= 52 \end{aligned} \right\} \text{ ёки }$$

Икки номаълумли иккита тенгламалар системаси ҳосил бўлди.

Бу ерда  $M_1 = -4,9 \text{ кНм}$  ва  $M_2 = 12,84 \text{ кНм}$  ҳосил бўлади.  $M_1$  ва  $M_2$  моментларнинг қийматларини ва ишораларини ҳисобга олиб, оддий икки таянчли балкаларнинг реакция кучларини топамиз (228-г расм).

Чап балка:

$$\sum M_k = -F \cdot 0,5 + q \frac{\ell_1^2}{2} + M_1 - R_B^H \cdot \ell_1 = 0; \quad R_B^H = 17,45 \text{ кН}$$

$$\sum M_B = -F \cdot (0,5 + \ell_1) - q \frac{\ell_1^2}{2} + M_1 - R_k \cdot \ell = 0; \quad R_k = 42,25 \text{ кН}$$

Ўнг балка:

$$\sum M_B^y = -M_1 - M_0 - M_2 + R_c \cdot \ell_2 = 0; \quad R_c = 23,096 \text{ кН}$$

$$\sum M_c = -M_1 - M_0 - M_2 + R_B^y \cdot \ell_2 = 0; \quad R_B^y = 23,096 \text{ кН}$$

Узлуксиз балканинг реакция кучлари:

$$R_k = 42,55 \text{ кН}; \quad R_c = 23,096 \text{ кН}$$

$$R_B = R_B^H + R_B^y = 17,45 + 23,096 = 40,545 \text{ кН}$$

Узлуксиз балканинг  $C$  кўзгалмас таянч нуқтасидаги реакция кучи:  $R_c = 23,096 \text{ кН}$  ва таянч моменти  $M_2 = M_c = 12,84 \text{ кНм}$

Балкани (229-расм) оралиқларга бўлиб  $M$  ва  $Q$  тенгламаларини топамиз.

**I—I қирқим.**  $0 \leq x_1 \leq 0,5\text{m}$

$$M_{x_1} = -Fx_1; \quad Q_1 = -F = -20\text{ kH}; \quad x_1 = 0; \quad Mx_1 = 0;$$

$$x_1 = 0,5\text{ m}; \quad Mx_1 = -10\text{ kNm}$$

**II—II қирқим.**  $0 \leq x_2 \leq 2\text{ m}$

$$M_{x_2} = -F(0,5 + x_2) + R_k x_2 - q \frac{x_2^2}{2}; \quad Q_2 = -F + R_k - qx_2$$

$$x_2 = 0 \quad M_{x_2} = -10\text{ kNm} \quad Q_2 = 22,55\text{ kH}$$

$$x_2 = 1\text{ m}; \quad Mx_2 = 2,55\text{ kNm}; \quad Q_2 = 12,55\text{ kH}$$

$$x_2 = 2\text{ m}; \quad Mx_2 = -4,9\text{ kNm}; \quad Q_2 = -17,45\text{ kH}$$

$Q$  — күндаланг күч абсцисса ўқини кесиб ўтиш нүкта-  
сида нолга тенг бўлади. Шу нүктада балқанинг иккинчи  
қирқимдаги чўзиладиган толаларида  $M_{x_2} = M_{\max}$ , эгувчи  
момент энг катта қийматга эришади.

$$-F + R_k - qx_2 = 0 \quad \text{ёки} \quad x_2 = \frac{R_k - F}{q} = 1,1275\text{ m}$$

У ҳолда:

$$M_{x_2} = M_{2_{\max}} = -20 \cdot 1,6275 + 42,55 \cdot 1,1275 -$$

$$-20 \frac{(1,1275)^2}{2} = 2,71\text{ kNm}$$

**III—III қирқим.**  $0 \leq x_3 \leq 1\text{ m}$

$$M_{x_3} = -F(2,5 + x_3) + R_k(2 + x_3) - q \cdot 2(1 + x_3) + R_B x_3,$$

$$Q_3 = -F + R_k - 2q + R_B =$$

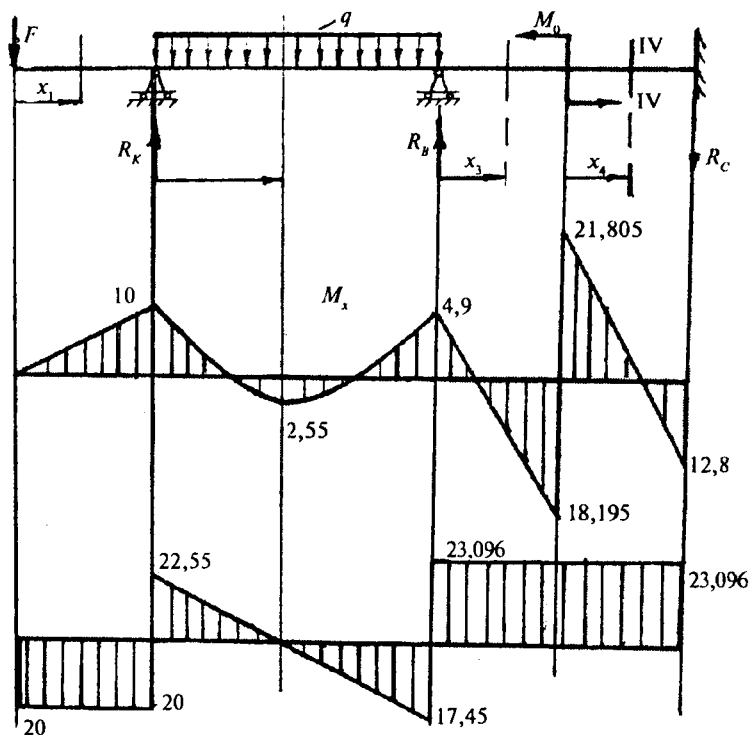
$$= -20 + 42,55 - 2 \cdot 20 + 40,545 = 23,096\text{ kH}$$

$$x_3 = 0; \quad M_{x_3} = -4,9\text{ kNm}; \quad x_3 = 1\text{ m}; \quad M_{x_3} = 18,195\text{ kNm}$$

**IV—IV қирқим.**  $0 \leq x_4 \leq 1,5\text{ m}$

$$M_{x_4} = -F(3,5 + x_4) + R_k(3 + x_4) - q \cdot 2(2 + x_4) + R_B(1 + x_4) - M_0$$

$$Q_4 = -F + R_k - 2q + R_B = 23,096\text{ kH}$$



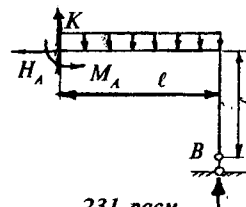
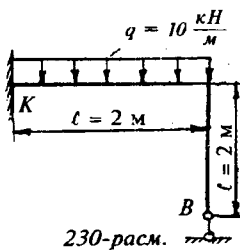
229-расм.

$$x_4 = 0; \quad M_{x_4} = -21,805 \text{ кНм}; \quad x_4 = 1,5 \text{ м}; \quad M_{x_4} = 12,84 \text{ кНм}$$

**5-масала.** Статик ноаниқ раманинг  $M$ ,  $Q$  ва  $N$  эпюралари қурилсин:

- 1) статик аниқмас рамаларнинг аниқмаслик даражасини топинг;
- 2) каноник тенгламани тузинг;
- 3) берилган куч ва бирлик куч эпюраларини қуринг;
- 4) күчишларни топинг;
- 5) ортиқча боғланишларни аниқланг;
- 6)  $M$ ,  $Q$  ва  $N$  эпюраларини қуринг.

**Ечиш.** Раманинг  $K$  кесими бикр маҳкамланган таянчга,  $B$  кесими қўзғалувчан шарнирли таянчга таянади. Шунади.



нинг учун  $K$  кесимда учта,  $B$  кесимда битта реакция кучлари ҳосил бўлади. Системада тўртта номаълум реакция кучлари ҳосил бўлиб, уларни топиш учун статиканинг учта мувозанат тенгламаларини тузиш мумкин:

$$\sum x = 0; H_K = 0$$

$$\sum y = 0; K - q\ell + B = 0$$

$$\sum M_K = 0; -M_A + q \frac{\ell^2}{2} - B\ell = 0$$

Демак, системадаги номаълум реакциялар сони статиканинг тенгламалари сонидан биттага кўп экан.

Система битта ортиқча боғланишга эга. Ортиқча боғланишлари бўлган системаларда барча реакцияларни статиканинг мувозанат тенгламалари ёрдамида топиб бўлмайди. Бундай системалар статик ноаниқ системалар дейилади. Ортиқча номаълумлар сони системанинг ноаниқлик даражасини билдиради:

$$S = m - 3 = 4 - 3 = 1$$

$m$  — системадаги номаълум реакциялар сони. Статик ноаниқ масалани ечиш учун берилган системадан асосий системага ўтилади. Асосий система, бу номаълум реакцияди. Номаълум боғланиш кучи  $X$  билан алмаштирилган ҳолати ёки статик ноаниқ системани статик аниқ кўришишга келтирилишидир (232-расм).

Асосий системага кўйилган номаълум ортиқча боғланиш кучи —  $X$  бирлик куч дейилади. Берилган системада  $q$  ва  $B$  кучлари таъсиридан  $B$  нуқтанинг кўчиши нолга тенг, яъни  $\Delta_B = 0$  эди.

Асосий системада  $B$  нуқтанинг кўчиши  $q$  ва  $x_1$  кучларидан нолга тенг деб қабул қилинади:  $\Delta_B = x_1 \delta_{11} + \Delta_{1q} = 0$  ёки  $\delta_{11} + \Delta_{1q} = 0$  тенглама каноник тенглама дейилади.

Системанинг ноаниқлик даражаси қанча бўлса, каноник тенгламалар сони ҳам шунча бўлади.

Бу ерда  $\delta_{11}$  — асосий система  $B$  нүктасининг  $x_1$  куч йўналишида  $x_1 = 1$  куч таъсиридан кўчиши;

$\Delta_{1q}$  —  $B$  нүктанинг номаълум  $x_1$  куч йўналишида  $q$  куч таъсиридан кўчиши.

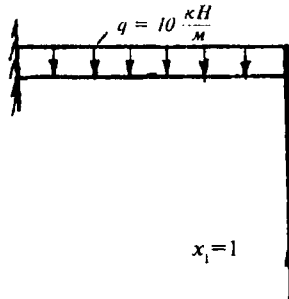
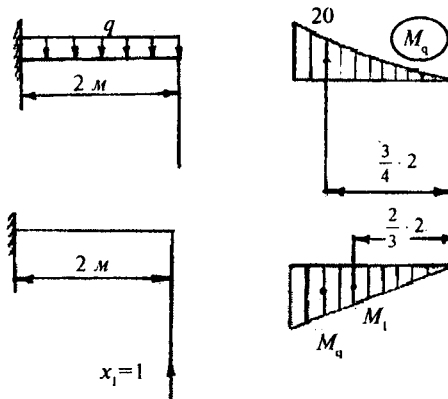
$\delta_{11}$  ва  $\Delta_{1q}$  кўчишларни топиш учун асосий системада номаълум бирлик кучлардан ва ташқи куч —  $q$  дан эгувчи момент эпюоралари қурилади.

$\delta_{11}$  ва  $\Delta_{1q}$  ларни Мор-Максвелл ёки Верещагин формулалари билан топиш мумкин.

$$\text{Мор-Максвелл формуласи: } \delta_{11} = \int_0^l \frac{M_1^2}{EI} dx, \quad \Delta_{1q} = \int_0^l \frac{M_q M_1 dx}{EI}$$

Бу ерда:  $M_1$  — асосий система учун  $x_1 = 1$  кучидан қурилган эгувчи моментнинг эпюраси;  $M_q$  — асосий система учун  $q$  кучидан қурилган эгувчи момент эпюраси;  $EI$  — балканинг бикрлиги.

$$\delta_{11} = \int_0^l \frac{x \cdot x dx}{EI} = \frac{1}{EI} \int_0^l x^2 dx = \frac{l^3}{3EI} = \frac{8}{3EI}$$



232-расм.

233-расм.

$$\Delta_{1q} = - \int_0^{\ell} \frac{q}{EI} \frac{x^2}{2} x \cdot dx = -q \frac{\ell^4}{8EI} = -\frac{20}{EI}$$

$\delta_{11}$  ва  $\Delta_{1q}$  ларни каноник тенгламага қўйиб  $x_1$  номаълум кучни топамиз:

$$x_1 \cdot \frac{\ell^3}{3EI} - q \frac{\ell^3}{8EI} = 0 \text{ ёки } x_1 = \frac{3}{8} q \ell ; \quad x_1 = \frac{60}{8} = 7,5 \text{ kH}$$

$$\text{Верешагин формуласи: } \delta_{11} = \frac{\omega_1 \cdot M_1}{EI} \quad \text{ва} \quad \Delta_{1q} = \frac{\omega_q \cdot M_{1q}}{EI}$$

Бу ерда:  $\omega_1$  ва  $\omega_q$  — асосий система учун  $x_1 = 1$  ва  $q$  кучлардан қурилган  $M_1$  ва  $M_{1q}$  эгувчи момент эпюраларининг юзаси;

$M_1$  — ( $\delta_{11}$  кўчиш учун) — юзанинг оғирлик марказига тўғри келувчи бирлиқ куч моментининг ординатаси;

$M_{1q}$  — ( $\Delta_{1q}$  кўчиш учун) —  $\omega_q$  юзанинг оғирлик марказига тўғри келувчи бирлиқ куч моментининг ординатаси.

$$\delta_{11} = \frac{1}{EI} \left( \frac{1}{2} \cdot 2 \cdot 2 \right) \left( \frac{2}{3} \cdot 2 \right) = \frac{8}{3EI}$$

$$\Delta_{1q} = -\frac{1}{EI} \left( \frac{1}{3} \cdot 20 \cdot 2 \right) \left( \frac{3}{4} \cdot 2 \right) = -\frac{20}{3EI}$$

$$\text{Каноник тенгламадан } x_1 \frac{8}{3EI} - \frac{20}{EI} = 0 \text{ ёки } x_1 = \frac{60}{8} = 7,5 \text{ kH}$$

Демак,  $x_1 = B = 7,5 \text{ kH}$  экан.

Энди,  $B = 7,5 \text{ kH}$  куч ёрдамида берилган балка учун эгувчи момент  $M_1$ , кўндаланг куч  $Q$  ва бўйлама куч  $N$  эпюраларини курамиз (234-расм).

I—I қирқим (ВС оралиқ).  $0 \leq y_1 \leq 2 \text{ m}$

$$M_{y_1} = 0; \quad Q_1 = 0; \quad N_1 = -B = -7,5 \text{ kH}$$

II-II қирқим (СК оралиқ).  $0 \leq x_1 \leq 2 \text{ m}$

$$M_{y_2} = Bx_1 - q \frac{x_1^2}{2}; \quad Q_2 = -B + qx_2 \quad \text{ва} \quad N_2 = 0$$

$x_1 = 0$  бўлса,

$$M_{x_2} = 0 \text{ ва } Q_2 = -7,5 \text{ кН}$$

$x_2 = 2 \text{ м}$  бўлса,

$$M_{x_2} = -5 \text{ кНм} \text{ ва } Q_2 = 12,5 \text{ кН}$$

$CK$  — оралиқда эгувчи момент  $M_x$  эгри чизиқли  $Q_2$  тўгри чизиқли қонуният билан ўзгаради.  $Q_2$  куч  $C$  нуқтада манфий ишорали,  $A$  нуқтада мусбат ишорали қийматга эга.

Кўндаланг куч абсцисса ўқини

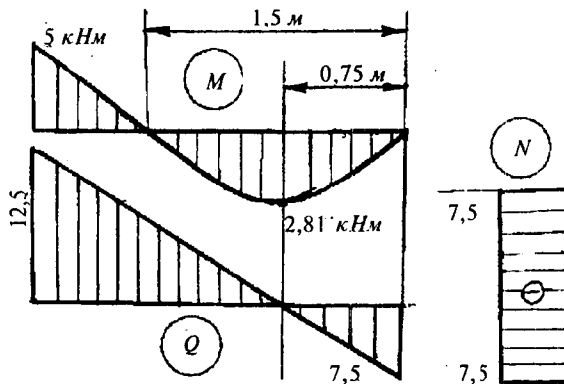
кесиб ўтиш нуқтасида, яъни  $Q_2 = 0$  нуқтада  $M_x$  экстремал

қийматга эришади:  $Q_2 = -B + qx_1 = 0$  ёки  $x_1 = \frac{B}{q} = 0,75 \text{ м}$ ;

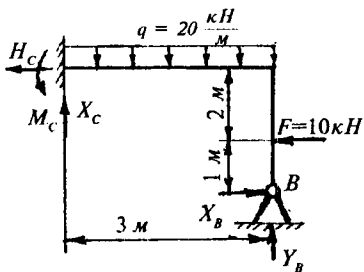
$$M_2 = 7,5 \cdot 0,75 - 10 \frac{(0,75)^2}{2} = 2,8125 \text{ кНм}$$

$M_x = 0$  нуқтани топамиз:

$$M_{x_2} = 7,5x_1 - 10 \frac{x_1^2}{2} = 0; \quad x_1 = 1,5 \text{ м}$$



235-расм.  $M$ ,  $Q$  ва  $N$  эпюралари.



236-расм.

**6-масала.** Статик ноанық рама учун  $M$ ,  $Q$  ва  $N$  эпюралари курилсін (235-расм).

**Ечиш.** Раманинг С таянч нүктасида учта ва В нүктасида иккита реакция күчләри ҳосил бўлади. Раманинг аниқ маслик даражаси:

$$S = n - 3 = 5 - 3 = 2$$

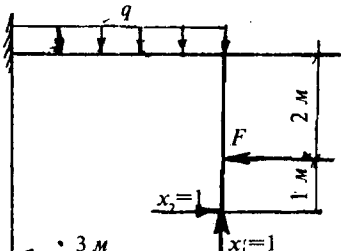
$B$  таянч таъсирини  $x_1 = 1$  ва  $x_2 = 1$  бирлик күчлар билан алмаштириб асосий системани ҳосил қиласиз (237-расм).

$$x_1 \delta_{11} + x_t \delta_{12} + \Delta_{1F} + \Delta_{1q} = 0$$

$$\text{Каноник тенглама: } x_1 \delta_{21} + x_2 \delta_{22} + \Delta_{2F} + \Delta_{2q} = 0$$

Каноник тенгламанинг коэффициентларини Верешагин формуласидан фойдаланиб топамиз:

$$\delta_{11} = \sum \frac{M_i^2}{EI} \quad \text{ва} \quad \delta_{ik} = \sum \frac{M_i M_k}{EI}$$



237-расм.

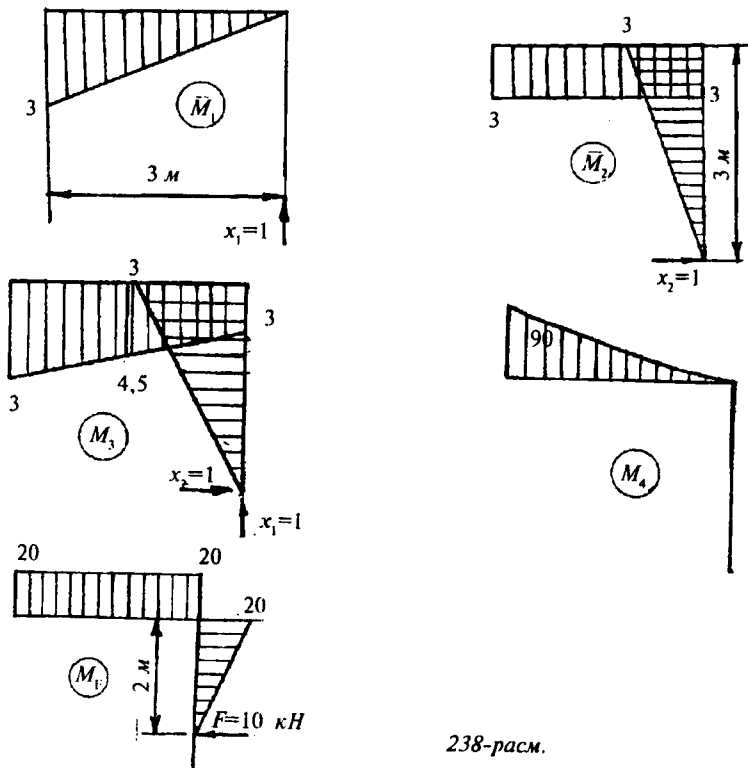
Бирлик ва ташқи күчлар моментларининг эпюраларини қурамиз:

$M_1$  — бирлик  $x_1$  күч моментининг эпюраси;  $M_2$  — бирлик күч моментининг эпюраси;  $M_s$  — бирлик  $x_1 = 1$  ва  $x_2 = 1$  күчлар моментларининг эпюралари.

$$\delta_{11} = \frac{1}{EI} \cdot \frac{1}{2} \cdot 3 \cdot 3 \cdot \frac{2}{3} \cdot \frac{3}{3} = \frac{9}{EI}$$

$$\delta_{12} = \frac{1}{EI} \left( \frac{1}{2} \cdot 3 \cdot 3 \cdot \frac{2 \cdot 3}{3} + 3 \cdot 3 \cdot 3 \right) = \frac{36}{EI}$$

$$\delta_{12} = \delta_{21} = \frac{1}{EI} \left( \frac{1}{2} \cdot 3 \cdot 3 \cdot 3 \right) = \frac{27}{2EI}$$



238-расм.

$$\delta_s = \frac{1}{EI} \left[ \frac{1}{2} 3 \cdot 3 \cdot \frac{2}{3} \cdot 3 + 3 \cdot 3 \cdot 4,5 + \frac{1}{2} \cdot 3 \cdot 3 \left( 3 + \frac{2}{3} \cdot 3 \right) \right] = \frac{72}{EI}$$

$$\Delta_{1F} = \frac{\omega_F \cdot \overline{M_1}}{EI} = -\frac{20 \cdot 3 \cdot \frac{3}{2}}{EI} = -\frac{90}{EI}$$

$$\Delta_{1q} = \frac{\omega_q \cdot \overline{M_1}}{EI} = -\frac{\frac{1}{3} \cdot 90 \cdot 3 \cdot \frac{3}{4} \cdot 3}{EI} = -\frac{810}{4EI}$$

$$\Delta_{2q} = \frac{\omega_q \cdot \overline{M_2}}{EI} = -\frac{\frac{1}{3} \cdot 90 \cdot 3 \cdot 3}{EI} = -\frac{270}{EI}$$

$$\Delta_{2F} = \frac{\omega_F \cdot \overline{M_2}}{EI} = -\frac{1}{EI} \left( \frac{1}{2} \cdot 20 \cdot 2 \cdot \frac{7}{3} + 20 \cdot 3 \cdot 3 \right) = -\frac{680}{3EI}$$

Текшириш:  $\delta_{11} + \delta_{12} - \delta_{21} + \delta_{22} = \delta_s$

$$\frac{9}{EI} + \frac{27}{2EI} + \frac{27}{2EI} + \frac{36}{EI} = \frac{72}{EI}; \quad \frac{72}{EI} = \frac{72}{EI}$$

$$\Delta_{1q} + \Delta_{1F} + \Delta_{2F} + \Delta_{2q} = -\frac{202,5}{EI} - \frac{90}{EI} - \frac{680}{3EI} - \frac{270}{EI} = -\frac{789,1}{EI}$$

$$\sum \frac{M_s(M_q + M_F)}{EI} = \frac{1}{EI} \left( -\frac{1}{2} \cdot 20 \cdot 2 \frac{7}{3} - 20 \cdot 3 \cdot 4,5 - \frac{1}{3} \cdot 90 \cdot 3 \frac{21}{4} \right)$$

$$\sum \frac{M_s(M_q + M_F)}{EI} = -\frac{789,17}{EI}$$

Топилган коэффициентларни каноник тенгламага келтириб құядыз,  $x_1$  ғана  $x_2$  номағұмларни топамиз:

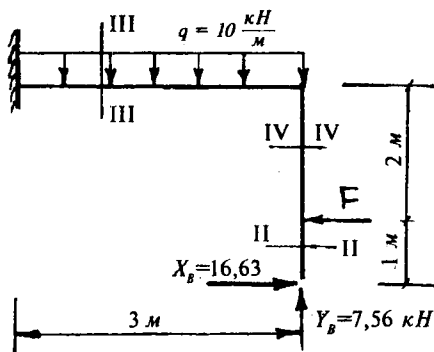
$$\left. \begin{aligned} x_1 \frac{9}{EI} + x_2 \frac{27}{2EI} - \frac{90}{EI} - \frac{810}{4EI} &= 0 \\ -x_1 \frac{27}{2EI} + x_2 \frac{36}{EI} - \frac{680}{3EI} - \frac{270}{EI} &= 0 \end{aligned} \right\}$$

Бу ерда:  $x_1 = 7,56 \text{ kH}$  ғана  $x_2 = 16,63 \text{ kH}$

$M$ ,  $Q$  ғана  $N$  тенгламаларни тузамиз:

I—I қиркүйк.  $0 \leq x_1 \leq 1 \text{ m}$

$$Mx_1 = x_B \cdot x_1 \text{ ғана}$$



239-расм.

$$Q_1 = -x_B = -16,63 \kappa H; N_1 = -y_B = -7,56 \kappa H$$

**II-II қирқим.**

$$Mx_2 = x_a \cdot x_2 - F(x_2 - 1) \quad \text{ва}$$

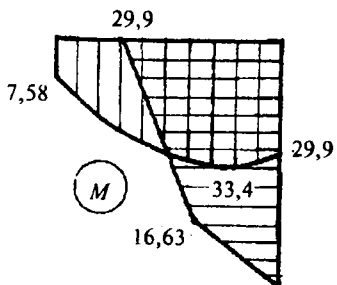
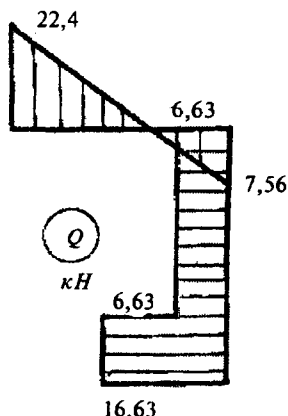
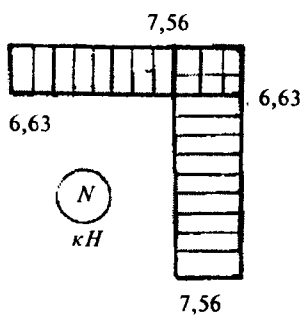
$$Q_2 = -x_B + F = -16,63 + 10 = -6,63 \kappa H$$

$$N_2 = -y_B = -7,56 \kappa H$$

**III-III қирқим.  $0 \leq x_3 \leq 3 \text{ м}$**

$$Mx_3 = y_B \cdot x_3 - q \frac{x_3^2}{2} + x_B \cdot 3 - 2F \quad \text{ва}$$

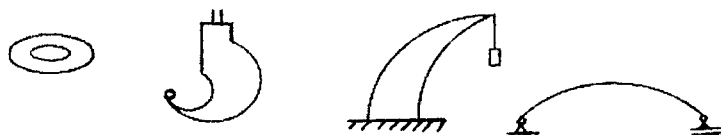
$$Q_3 = -y_B + qx_3; \quad N_3 = x_B - F = 6,63 \kappa H$$



240-расм.

## VIII БОБ ЭГРИ СТЕРЖЕНЛАР

Айрим конструкция ва механизмлардаги элементларда эгрилик марказидан ўтувчи ўқлар эгри бўлади. Масалан, занжирнинг бўғинлари, илгаклар, арклар ва ҳ.к. Бундан ташқари амалиётда учрайдиган барча стерженлар идеал текис бўлмасдан, қандайдир даражада нотекисликларга ёки эгриликларга эга. Шунинг учун эгри ўқли стерженларнинг кесимида кучланишларнинг тарқалиш қонунияти, эгри стерженларни мустаҳкамликка ҳисоблашни билишимиз керак.



241-расм.

Эгри стерженларни мустаҳкамликка ҳисоблашда қуидаги чекланишларга риоя қиласиз:

- 1) стержень кесимининг симметрия ўқи бор;
- 2) стерженнинг ўқи текис эгри бўлиб, симметрия текислигида ётади;
- 3) ташқи кучлар симметрия текислигида таъсир қиласди;
- 4) деформациягача текис бўлган кесим юзаси стерженнинг деформациясидан кейин ҳам текислигича қолади.

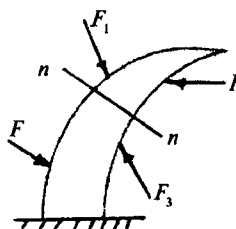
### 8.1. ЭГУВЧИ МОМЕНТ, КЎНДАЛАНГ ВА БЎЙЛАМА КУЧЛАРНИ АНИҚЛАШ

Ташқи  $F_1$ ,  $F_2$ ,  $F_3$  ва  $F_4$  кучлар билан юкланган эгри стерженни ўрганамиз (242-расм). Эгри стерженнинг кўндаланг кесимидағи ички куч омилларини аниқлаш учун уни текислиқ билан кесиб икки бўлакка ажратамиз. Стерженнинг I бўлагини ажратиб олсак, II бўлагининг мувозанат

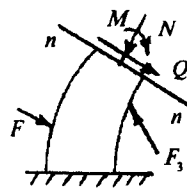
ҳолати бузилади. II қисмнинг мувозанатини таъминлаш учун I қисмнинг таъсирини II қисмнинг кесилган юзасига келтириб қўямиз.

Тўғри стерженларнинг эгилишидан маълумки, ҳар қандай стерженнинг эгилишида бир қисмни иккинчи қисмга таъсири сифатида эгувчи момент  $M$ , кўндаланг куч  $Q$  ва бўйлама куч  $N$  қабул қилинган.

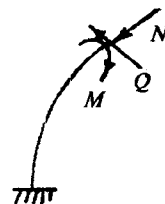
Демак, эгри стерженнинг 1-қисмини 2-қисмiga таъсири сифатлари  $M$ ,  $Q$  ва  $N$  ички куч омиллари қабул қилинади. Эгувчи момент  $M$ , стерженнинг ўрганилаётган қисмидаги ташқи кучлардан унинг кесим юзасининг оғирлик марказига нисбатан олинган моментларининг алгебраик йиғиндисига тенг.



242-расм.



243-расм.



244-расм.

Агар  $M$  стерженнинг эгрилигини катталаштирса, ишораси мусбат (243-расм), тескари ҳолатда манфийdir. Бўйлама куч чўзувчан бўлса ишораси мусбат. Бўйлама куч  $N$  ни мусбат ишорасидан соат стрелкаси йўналиши бўйича  $90^\circ$  га айлантирганда ҳосил бўлган кўндаланг куч  $Q$  нинг ишораси мусбат.

Кўндаланг куч  $Q$  эгри стерженнинг кўндаланг кесимига ўтказилган уринма текисликка ўрганилаётган қисмидаги барча ташқи кучлар проекцияларининг алгебраик йиғиндисига тенг.

## 8.2. КҮНДАЛАНГ ВА БҮЙЛАМА КУЧЛАР БИЛАН БОГЛИК БҮЛГАН КУЧЛАНИШЛАР

Назарий изланишлар, эгри стерженларда уринма кучланишларнинг тарқалиш қонунияти тўғри чизиқли стерженлардаги уринма кучланишларнинг тарқалиш қонуниятига яқин бўлишини кўрсатади. Шунинг учун эгри стерженларда ҳам кесимдаги уринма кучланишни Журавский формуласи билан аниқлаймиз:



$$\tau = \frac{Q S_x}{I_x b} \leq [\tau]$$

Эгри стержендан ажратилган элемент оддий чўзилиш ёки сиқилишга учрайди:

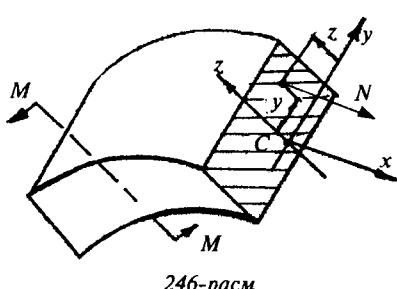
$$V : \delta_N = \frac{N}{A}$$

## 8.3. ЭГУВЧИ МОМЕНТ БИЛАН БОГЛИҚ БҮЛГАН КУЧЛАНИШНИ АНИҚЛАШ

Эгувчи момент билан боғлиқ бўлган кучланишни аниқлаш учун соғ эгилиш ҳолатидан фойдаланамиз (246-расм).

Эгри стерженнинг ажратиб олинган қисми эгувчи момент ва бўйлама куч  $N = \sigma \cdot dA$  таъсирида бўлади. Кесим нейтрал қатламишининг ҳолати бизга аниқ эмас ва кесими эгрилик маркази  $O$  нуқтадан ўтмайди, деб фараз қила миз.

Эгри стерженнинг ажратиб олинган қисмининг координата системасига; бошлангич нуқтасини эса  $C$  нуқтага жойлаштирамиз,  $Z$  ўқи кесимиning симметрия ўқи. Эгувчи момент  $X C Z$  текислигига ётади.



$M$  ва  $\sigma \cdot dA$  таъсирида мувозанатда бўлган стерженъ учун олтига мувозанат шартини ёзиш мумкин:

$$\begin{aligned}
 \sum x = 0; \int_A \sigma \cdot dA = 0 \\
 \sum z = 0 &\quad \text{ва} \quad \sum y = 0 \\
 \sum M_x = 0 &\quad \text{ва} \quad \sum M_z = 0 \\
 \sum M_y = M - \int_0^A \sigma \cdot dA \cdot z = 0; \quad M = \int_0^A \sigma \cdot dA \cdot z
 \end{aligned} \tag{8.1}$$

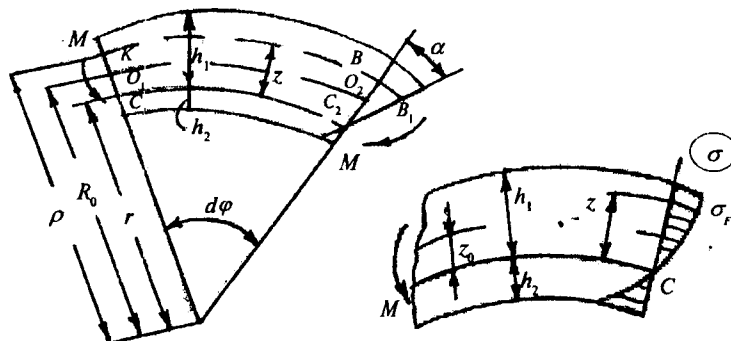
Эгри стерженнинг эгилишига асосан нормал кучланишни аниклаш учун олтита мувозанат шартларидан фаяқ  $\sum x = 0$  ва  $\sum M_y = 0$  тенгламалардан фойдаланиш мумкин. Лекин, бу тенгламалардан  $\sigma$  ни стерженнинг кесимининг баландлиги бўйлаб ўзгариш қонуниятини аниклаб бўлмайди. Демак, нормал кучланишни топиш ноаниқликка олиб келади. Шунинг учун эгри стерженнинг деформасиини ўрганамиз. Стерженнинг эгилишида, кўндаланг кесимда юзалар текислигича қолиб олдинги ҳолатига нисбатан  $\delta$  бурчакка айланади. Стерженнинг  $C_1 C_2$  толаси узунлиги ўзгармайди;  $KB$  тола эса  $BB_1$  миқдорга уzáяди.  $KB$  толанинг узайиши Гук қонунига бўйсунади, яъни (247-расм).  $\sigma = \varepsilon_{KB} \cdot E$

$$\text{Бу ерда: } \varepsilon_{KB} = \frac{BB_1}{KB} = \frac{z\alpha}{\rho \cdot d\phi}; \text{ у ҳолда: } \sigma = \frac{z\alpha}{\rho \cdot d\phi} \cdot E \tag{8.2}$$

Стерженнинг ҳар бир кесими учун  $\frac{\alpha}{d\phi}$  ва  $E$  ўзгармас бўлганлиги учун:

$\sigma$  нинг қиймати  $Z$  ва  $\rho$  масофага боғлиқ бўлади;  
 $\rho$  — стерженнинг эгрилик радиуси;  $\rho = r + z$   
 $r$  — стержень нейтрал қатламишининг эгрилик радиуси (8.2) формулага асосан эгри стерженда кучланиш гипербода қонунияти билан ўзгаради. Эгилишга қадар эгри стержень ташқи толаларининг узунлиги ички толаларининг узунлигидан катта эди; шунинг учун чекка ташқи толадаги нормал кучланиш ички толадаги нормал кучланишдан кичик бўлади (248-расм).

(8.1) формуладан  $\sigma$  нинг ифодасини (8.2) формулага келтириб қўямиз:



247-расм.

248-расм.

$$\int_0^A \sigma \cdot dA = \int_0^A E \frac{z\alpha}{\rho \cdot d\phi} dA = 0$$

Бу ерда:  $E \frac{\alpha}{d\phi} \neq 0$ . Шунинг учун:  $\int_0^A \frac{z}{\rho} dA = 0$  (8.3)

Лекин  $z = \rho - r$ , у ҳолда:  $\int_0^A \frac{\rho - r}{\rho} dA = \int_0^A dA - r \int_0^A \frac{dA}{\rho} = 0$

Бу ерда:  $r = \frac{A}{\int_0^A \frac{dA}{\rho}}$  нейтрал қатлам тенгламаси.

(8.2) формуладан  $\sigma$  нинг ифодасини (8.1) формула-  
га келтириб қўямиз:  $M = E \frac{\alpha}{d\phi} \int_0^A \frac{z}{\rho} \cdot z \cdot dA$ , бу ерда интег-  
рални алоҳида ҳисоблаймиз:

$$\int_0^A \frac{z}{\rho} \cdot z \cdot dA = \int_0^A \frac{\rho - r}{\rho} \cdot z \cdot dA = \int_0^A z \cdot dA - r \int_0^A \frac{z}{\rho} dA$$

Бу ҳисоблашга асосан охирги интеграл:  $\int_0^A \frac{z}{\rho} dA = 0$ ;  
биринчи  $\int_0^A z \cdot dA$  интеграл эса стержень кесим юзасининг  
нейтрал ўққа нисбатан статик моментидир, яъни:  $S = A \cdot Z$ ,

у ҳолда:  $M = E \frac{\alpha}{d\phi} \cdot S$  ва  $\frac{\alpha}{d\phi} = \frac{M}{ES}$  формулани (8.2) га кел-

тириб қўйсак эгри стерженнинг кесимида эгувчи момент таъсиридаги нормал кучланиш формуласи ҳосил бўлади:

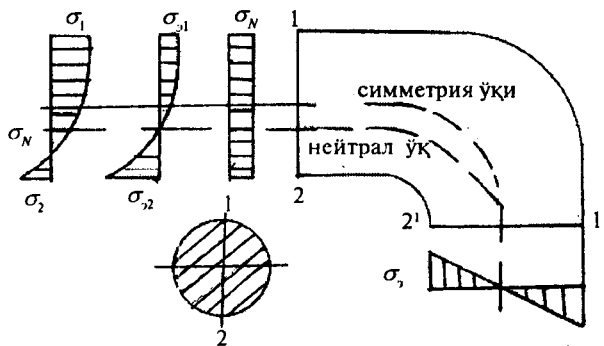
$$\sigma_s = \frac{M Z}{S \rho} \quad (8.4)$$

Шундай қилиб, эгри стерженнинг кўндаланг кесимида эгувчи момент таъсиридан ҳосил бўладиган нормал кучланиш  $\sigma_s$ , кесимнинг нейтрал қатламидан кучланиши текширилаётган нуктагача бўлган масофа —  $Z$  га ва стерженнинг эгрилик радиуси —  $\rho$  га боғлиқ экан. Кесимнинг нейтрал қатламидан энг узоқда жойлашган четки нуктадаридан  $\sigma_s$ , энг катта қийматга эришади (249-расм), яъни:

$$Z = Z_{1,2} \text{ ва } \rho = \rho_{1,2} \text{ бўлса, } \sigma_s = \sigma_{\max} = \pm \frac{M Z_{1,2}}{S \rho_{1,2}}$$

Эгри стерженнинг кўндаланг кесимида ички бўйлама куч  $N$  таъсирида ҳам нормал кучланиш ҳосил бўлади. Унда кесимнинг тўлиқ нормал кучланиши эгувчи момент ва бўйлама куч таъсирида ҳосил бўлган нормал кучланишлар йиғиндисидан иборат бўлади:

$$\sigma_{1,2} = \frac{N}{A} \pm \frac{M Z_{1,2}}{S \rho_{1,2}} \quad (8.5)$$

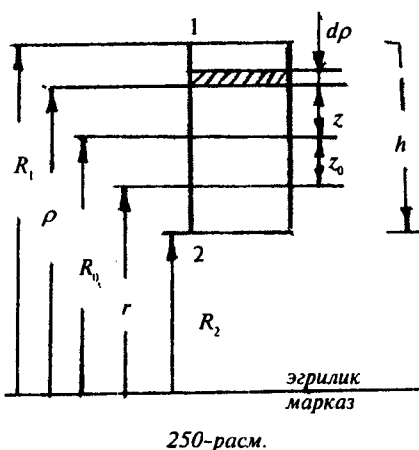


249-расм.

#### 8.4. ЭГРИ СТЕРЖЕНДА НЕЙТРАЛ ҮҚ ҲОЛАТИНИ АНИҚЛАШ

Эгри стерженларда (8.5) формула бўйича нормал кучланишни аниқлаш учун нейтрал ўқ ҳолатини аниқлаш керак. Бунинг учун нейтрал қатламнинг эгрилик радиуси ( $r$ ) ёки кесимнинг оғирлик маркази, ёки марказий ўқдан нейтрал ўққача бўлган масофа —  $Z_0$  ни аниқлаш зарур.

Кўндаланг кесим юзаси тўғри тўртбурчак бўлган эгри стержень нейтрал ўқининг эгрилик радиусини топамиз (250-расм).



Нейтрал ўқ тенгламасини ёзамиз:

$$r = \frac{A}{\int_0^A \rho} ; \text{ бу ерда:}$$

$dA = b \cdot d\rho$  — тўғри тўртбурчакли кесимдан ажратилган элементар юза;

$\rho$  — стерженнинг эгрилик марказидан элементар юзагача бўлган масофа;

$$A = bh — эгри$$

стерженниң кўндаланг кесим юзаси.

$$\text{У ҳолда: } r = \frac{bh}{R_1 \int_0^{R_1} \frac{d\rho}{\rho}} = \frac{h}{\ln \frac{R_1}{R_2}} . \quad Z_0 = R_0 - r = R_0 - \frac{h}{\ln \frac{R_1}{R_2}}$$

Тахминий ҳисоблашлар учун  $Z_0$  қўйидагича топилиши мумкин:

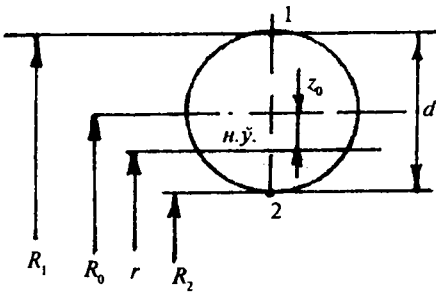
$$Z_0 = \frac{l_y}{R_0 A} \quad (8.6)$$

$$\text{Тўғри тўртбурчак кесими учун: } Z_0 = \frac{\frac{bh^3}{12}}{R_0 bh} = \frac{h^2}{12 R_0}$$

Доиравий кесим нейтрал ўқнинг эгрилик радиуси:

$$r = \frac{d^2}{8 \left( R_0 - \sqrt{R_0^2 - \frac{d^2}{4}} \right)} ;$$

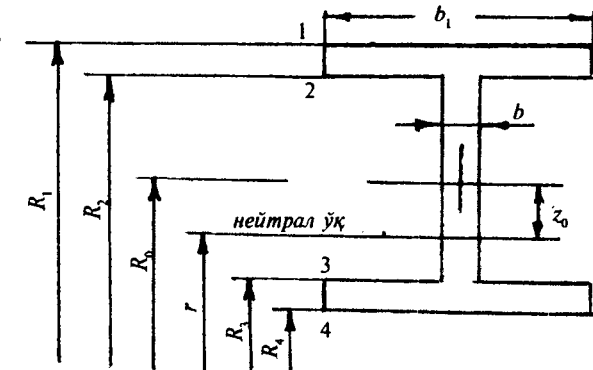
$$Z_0 = \frac{d^2}{16 R_0}$$



Кўштаврли кесим учун нейтрал ўқнинг эгрилик радиуси:

$$r = \frac{b_1 h_1 + b_2 h_2 + b_3 h_3}{b_1 \ell n \frac{R_1}{R_2} + b_2 \ell n \frac{R_2}{R_3} + b_3 \ell n \frac{R_3}{R_4}}$$

$$Z_0 = R_0 - r$$



### 8.5. ЭГРИ СТЕРЖЕНЛАРДА МУСТАҲКАМЛИК ШАРТИ

Олдинги мавзулардан аниқки, нормал қучланиш стержень кесимининг нейтрал ўқидан энг узоқда жойлашган нуқталарида ҳосил бўлади. Агар эгри стерженнинг материали чўзилиш ва сиқилишга бир хил қаршилик кўрсатса:

$$\sigma_{\max} = \pm \frac{N}{A} \pm \frac{M Z_{1,2}}{S R_{1,2}} \leq [\sigma] \quad (8.7)$$

(8.7) формуладаги  $\sigma_{\max}$  ни ҳисоблашда стерженнинг эгилишига эътибор берилиши керак, чунки эгрилиги катта ёки кичик стерженлар мавжуд.

Масалан,  $\frac{R_0}{h} \leq 5$  — эгрилиги катта стерженлар (илгак, ҳалқа ва ҳ.к.);  $\frac{R_0}{h} \leq 5$  — эгрилиги кичик стерженлар.

Бу стерженларда  $\frac{z}{\rho}$  — нисбатни ҳисобга олмаса ҳам бўлади. Шунинг учун эгри стерженнинг  $M$  таъсиридаги нормал кучланиш формуласи тўғри стерженлар учун то-пилган нормал кучланиш формуласидан кам фарқ қиласди.

$R_0 = 5h$  эгри стерженлар:

$$r = \frac{h}{\ln \frac{R_0 + 0,5h}{R_0 - 0,5h}} = \frac{h}{\ln \frac{5,5}{4,5}} = \frac{h}{0,20067} = 4,9833h$$

$$Z_0 = R_0 - r = 5h - 4,9833h = 0,0167 \text{ ёки } Z_0 = 0,00334R_0$$

Яъни нейтрал ўқ кесимининг оғирлик марказидан:  $Z_1 = 0,5167h$ ,  $Z_2 = 0,4833h$  бирликка фарқ қиласди.

У ҳолда:

$$\sigma_1 = \frac{M Z_1}{S_y R_1} = \frac{M \cdot 0,5167h}{b_n \cdot 0,0167h \cdot 5,5h} = \frac{0,567M \cdot 6}{0,5511bh^2} = 0,935 \frac{M}{W}$$

$$\sigma_2 = \frac{M Z_2}{S_y R_2} = \frac{M \cdot 0,4833h}{b_n \cdot 0,0167h \cdot 4,5h} = \frac{0,4833M \cdot 6}{0,4809bh^2} = 1,071 \frac{M}{W}$$

$R_0 = 5h$  ўртacha эгриликдаги стерженларда нормал кучланиш тўғри стерженлардаги нормал кучланишдан 7% га фарқ қиласди.

**1-масала.** Доиравий кесимли эгри стержень хавфли кесимининг нормал кучланишини топинг (251-расм).

Берилган:

$$P = 1100 \text{ H}; \quad d = 5,0 \text{ cm}$$

$$r = 16 \text{ cm}; \quad P_1 = P_2 = P$$

Ечиш. Эгри стержень  $K$  ва  $B$  таянчларга таянади.

Реакция күчларини топамиз:

$$\sum x = 0; \quad -H_A + P_1 = 0$$

251-расм.

$$\text{ёки } H_A = P_1 = 1100 \text{ H}; \quad \sum M_A = 0; \quad P_2 \cdot 2r - Br = 0$$

$$\text{Бу ерда: } B = \frac{2P_2 \cdot r}{r} = 2P_2 = 2200 \text{ H}$$

$$\sum M_B = 0; \quad H_A \cdot r - K \cdot r + P_2 \cdot r - P_1 r = 0$$

$$\text{Бу ерда: } K = \frac{H_A \cdot r}{r} = H_A = 1100 \text{ H}. \text{ Текшириш:}$$

$$\sum y = -K - B - P = 0 \quad \text{ёки } -1100 + 2200 - 1100 = 0; \quad 0 = 0$$

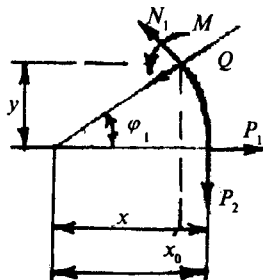
I—I қырқым.  $0 \leq \varphi_1 \leq 90^\circ$

Эгувчи момент тенгламасини тузамиз:  $M_1 = P_2 x_0 - P_1 y$

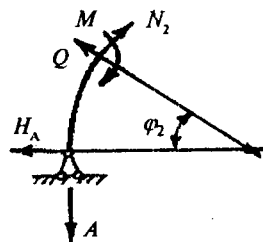
Бу ерда:

$$x_0 = r - x = r - r \cdot \cos \varphi = r(1 - \cos \varphi); \quad y = r \cdot \sin \varphi$$

$$\text{Ү ҳолда: } M_1 = P_2 r (1 - \cos \varphi_1) - P_1 r \sin \varphi_1$$



252-расм.



253-расм.

Күндаланг куч  $Q$  ва бўйлама куч  $N$  тенгламаларини тузамиз. Бунинг учун  $P_1$  ва  $P_2$  ташки кучларни эгри стерженни кесилган кўндаланг кесим юзасига уринма ва перпендикуляр жойлашган текисликларга проекциялаймиз:

$$Q_1 = P_2 \sin \varphi_1 - P_1 \cos \varphi_1 \quad \text{ва} \quad N_1 = P_2 \cos \varphi_1 - P_1 \sin \varphi_1$$

Хисоблашни қуйидаги жадвалда бажариш қулай (6-жадвал).

6-жадвал

Бурчак	Момент	Кўндаланг куч	Бўйлама куч
0	0	- 1,1	- 1,1
30	- 0,0644	- 0,4026	- 1,5026
45	- 0,0704	0	- 1,54
60	- 0,0644	0,4026	- 1,5026
90	0	1,1	- 1,1

II—II қирқим.  $0 \leq \varphi_2 \leq 90^\circ$

$$M_2 = Kr(1 - \cos \varphi_2) - H_A \cdot r \cdot \sin \varphi_2$$

$$Q_2 = -H_A \cdot \cos \varphi_2 + K \cdot \sin \varphi_2$$

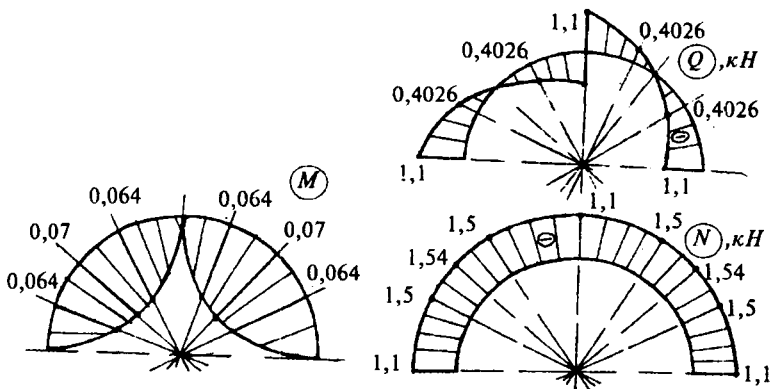
$$N_2 = -K \cos \varphi_2 - H_A \cdot \sin \varphi_2$$

Этувчи момент эпюрасини эгри стерженнинг чўзида-диган толалари томонига қурилади.  $Q$  ва  $N$  кучларни мусбат ишорали қиймати стерженнинг ташки томонига, манфий ишорали қийматини ички томонига жойлаштирамиз (254-расм).

Хисоблашни қуйидаги жадвалда бажарамиз (7-жадвал).

7-жадвал

Бурчак	Момент	Кўндаланг куч	Бўйлама куч
0	0	- 1,1	- 1,1
30	- 0,0644	- 0,4026	- 1,5026
45	- 0,0704	0	- 1,54
60	- 0,0644	0,4026	- 1,5026
90	0	1,1	- 1,1



254-расм.

Стерженнинг хавфли кесими  $\varphi = 45^\circ$  да жойлашади:

$$M_{\max} = 0,07 \text{ кНм}; \quad N_{\max} = 1,54 \text{ кН}$$

Хавфли кесимдаги нормал күчланишни топиш учун күйидаги схемани чизамиз (255-расм). Схемадан:

$$R_1 = r + \frac{d}{2} = 16 + 2,5 = 18,5 \text{ см}; \quad R_2 = r - \frac{d}{2} = 16 - 2,5 = 13,5 \text{ см}$$

$R_1$  ва  $R_2$  — эгрилик маркази  $O$  нүктадан 1 ва 2 нүкта-ларгача бўлган масофа, см:

$$F = \frac{\pi \cdot d^2}{4} = \frac{3,14 \cdot 25}{4} = 19,625 \text{ см}^2 \text{ — стерженning кўнда-}$$

ланг кесим юзаси.

Нейтрал ўқнинг эгрилик радиусини топамиз:

$$r_0 = \frac{d}{\ell_n \frac{R_1}{R_2}} = \frac{5}{\ell_n \frac{18,5}{13,5}} = \frac{5}{0,315} = 15,87 \text{ см}$$

Симметрия ўқи —у билан нейтрал ўқ орасидаги масофа:

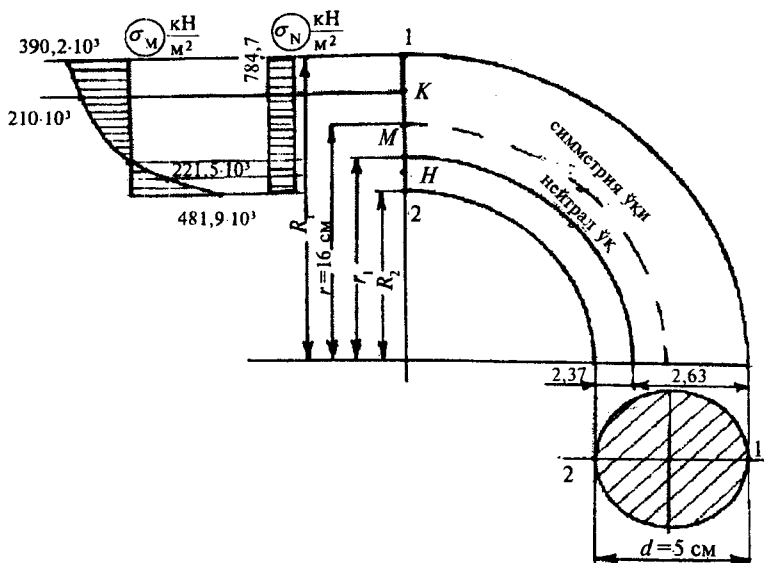
$$Z_0 = r - r_0 = 16 - 15,87 = 0,13 \text{ см}$$

Кесимнинг нейтрал ўққа нисбатан статик моменти:

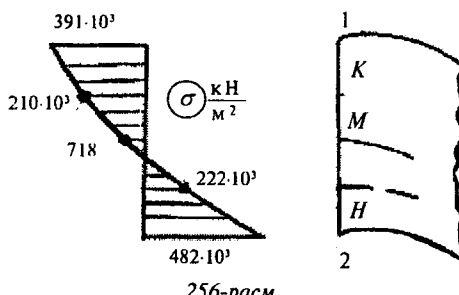
$$S = F \cdot Z_0 = 19,625 \cdot 0,13 \approx 2,55 \text{ cm}^3$$

Хавфли кесимнинг  $M$  ва  $N$  таъсиридан ҳосил бўлган тўлиқ нормал кучланишини қуидаги формуладан топамиз:

$$\sigma = \frac{N_{\max}}{F} - \frac{M_{\max} \cdot Z_i}{S \cdot \rho_l}$$



255-расм.



256-расм.

Бу ерда:  $Z_i$  — кучланиши текширилаётган нүқта билан нейтрал үқ орасидаги масофа, см;

$\rho_i$  — кучланиши текширилаётган нүқта билан стержен-нинг эгрилик маркази —  $Q$  нүқта орасидаги масофа.

Стержень кесимининг диаметри бўйлаб  $\sigma$  эпюрали эгри чизиқ бўлади. Шунинг учун кесимнинг диаметри бўйлаб  $1KMHG$  нүқталаридағи тўлиқ кучланишни топамиз.

Нүқталарнинг координаталарини топамиз:

1-нүқта:

$$Z_1 = R_i - r_0 = 18,5 - 15,87 = 2,63 \text{ см}; \quad \rho_1 = R_i = 18,5 \text{ см}$$

$K$  нүқта:

$$Z_k = \frac{Z_1}{2} = \frac{2,63}{2} = 1,315 \text{ см}; \quad \rho_k = R_i - \frac{Z_1}{2} = 18,5 - \frac{2,63}{2} = 17,185 \text{ см}$$

$M$  нүқта  $Z_M = 0$  (нүқта нейтрал үқ устида жойлашган)

$$\rho_M = r_0 = 15,87 \text{ см}$$

2-нүқта:

$$Z_2 = r_0 - R_2 = 15,87 - 13,5 = 2,37 \text{ см}; \quad \rho_2 = R_2 = 13,5 \text{ см}$$

$H$  нүқта:

$$Z_H = \frac{Z_2}{2} = 1,185 \text{ см}; \quad \rho_H = r_0 - \frac{Z_2}{2} = 15,87 - 1,185 = 14,685 \text{ см}$$

Нүқталарнинг кучланишларини топамиз:

$$\sigma_1 = -\frac{1,54}{19,625 \cdot 10^{-4}} - \frac{0,07 \cdot 10^2 \cdot 2,63 \cdot 10^{-2}}{2,55 \cdot 10^{-6} \cdot 18,5 \cdot 10^{-2}} = -391 \cdot 10 \frac{\kappa H}{m^2}$$

$$\sigma_k = -\frac{1,54}{19,625 \cdot 10^{-4}} - \frac{0,07 \cdot 10^2 \cdot 1,315 \cdot 10^{-2}}{2,55 \cdot 10^{-6} \cdot 17,185 \cdot 10^{-2}} = -210,84 \cdot 10^3 \frac{\kappa H}{m^2}$$

$$\sigma_M = -\frac{1,54}{19,625 \cdot 10^{-4}} = -784,7 \frac{\kappa H}{m^2}$$

$$\sigma_A = -\frac{1,54}{19,625 \cdot 10^{-4}} - \frac{0,07 \cdot 10^2 \cdot 1,185 \cdot 10^{-2}}{2,55 \cdot 10^{-6} \cdot 14,685 \cdot 10^{-2}} = -222,3 \cdot 10^3 \frac{\kappa H}{m^2}$$

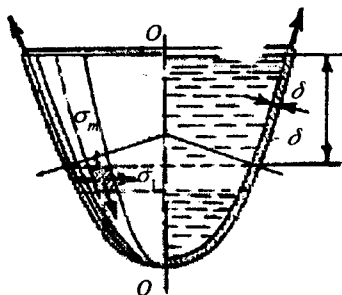
$$\sigma_r = -\frac{1,54}{19,625 \cdot 10^{-4}} - \frac{0,07 \cdot 10^2 \cdot 2,37 \cdot 10^{-2}}{2,55 \cdot 10^{-6} \cdot 13,5 \cdot 10^{-2}} = -482,7 \cdot 10^3 \frac{\kappa H}{m^2}$$

## 8.6. ЮПҚА ДЕВОРЛИ ИДИШЛАРНИ ҲИСОБЛАШ [4]

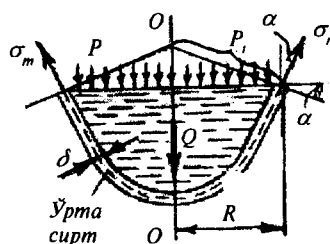
**Юпқа деворли идишларни ҳисоблашнинг моментсиз ва моментли назариялари ҳақида тушунча.** Сув, буғ ёки газларнинг ички босимлари таъсир этувчи идишларнинг деворлари икки томонлама чўзилиш ҳолатида бўлади. Бундай идишларга буғ қозонлари, газгольдерлар, нефть куйиладиган баклар, сув миноралари ва ҳ.к. киради.

Бундай конструкцияларнинг ўзига хос томонларидан бири уларнинг деворлари қалинлиги — $\sigma$  нинг иншоот габарит ўлчамларига нисбатан жуда кичиклигидир, шунинг учун улар "юпқа деворли идишлар" деб юритилади. Юпқа деворли идишларнинг ўзига хос белгиларидан бири шуки, улар айланиш жисмлари кўринишида бўлади, яъни уларнинг сиртқи берилган эгри чизиқ —  $S$  ни  $O-O$  ўқи атрофида айлантириш йўли билан олиниши мумкин (257 - расм). Идишнинг  $O-O$  ўқи орқали ўтган текислик билан ҳосил қилинган кесими меридионал кесими деб, меридианларга, яъни  $S$  эгри чизиқка нормал ўтган кесими айланма кесим деб аталади. 258-расмда кўрсатилган идиш деворининг пастки қисми юқори қисмдан айланма кесим билан ажратилган. Идиш деворининг қалинлигини тенг иккига бўлувчи сиртга ўрта сирт дейилади.

Умумий ҳолда идишга ўқли симметрияга эга бўлган нагрузка (яъни, айланада бўйлаб ўзгармайдиган, фақат меридиан бўйлаб ўзгарадиган нагрузка) таъсир этганида айланма ва меридионал кесимлар билан ажратилган идиш



257-расм.



258-расм.

ўрта сиртидаги элемент ўзаро перпендикуляр йўналишларда чўзилади ва эгриланади. Элементнинг томонлама чўзилишига девор қалинлиги σ бўйича нормал кучланишларнинг текис тақсимланиши тўғри келади. Меридионал ва айланма кесимларда элемент эгрилигининг ўзгариши оддий балкадагига ўхшаш. Девор қалинлиги чизиқли қонунга бўйсунувчи нормал кучланишларни юзага келтиради. Биринчи ҳолда элемент ўқлари бўйлаб нормал кучлар, иккинчи ҳолда эгувчи моментлар таъсир қиласи.

Кўпгина масалаларда нормал кучларнинг миқдори катта бўлганлигидан эглишдан ҳосил бўладиган нормал кучланишларни эътиборга олмаса ҳам бўлади. Бу идиш деворининг шакли ва унга таъсир этувчи нагрузка остида эгувчи момент пайдо бўлмасдан ташқи ва ички кучларнинг мувозанати мумкин бўлганда ўринлидир. Масалан, текис тақсимланган нагрузка остида солқиланган ип фақат чўзилишга ишлайди. Лекин худди шундай солқиланган ип тўпланган кучни мувозанатлай олмайди. Бунинг учун кесимида ё эгувчи моментлар пайдо бўлиши, ёки ип ўз шаклини ўзгартириши лозим.

Худди шунга ўхшаш сферик идишнинг юпқа деворлари фақат чўзилишгагина ишлаб, газнинг ички босимини мувозанатлайди, тўпланган куч таъсир қилганида улар интенсив равища эглишга ишлайди. Эгувчи момент қийматига идиш деворларининг мақкамланиш шарти ва нисбий қалинлиги сезиларли таъсир қиласи (идиш деворининг қалинлиги ортиши билан эгувчи моментларнинг роли ҳам ортади).

Эгувчи моментлар эътиборга олинмайдиган даражада кичик бўлганида идиш деворининг кучланиш ҳолати моментсиз ҳолат деб аталади. Агар идишга кучланиш фақат нормал кучларни ҳисобга олиб топилса, эгувчи моментлар ҳисобга олинмаса, ҳисоблаш моментсиз назария бўйича бажарилади, дейилади. Эгувчи момент ҳисобга олинадиган ҳисоблаш назарияси моментли назария деб аталади.

Юпқа деворли идишлар қобиқлар деб аталадиган системалар кенг синфининг хусусий ҳолидир, уларнинг ҳисоблаш назарияси (айниқса, моментли назарияси) жуда му-

раккабдир. Бу назария қурилиш механикасининг маҳсус курсларида ўрганилади. Қобиқ қалин бўлганида эгувчи моментларни ҳисобга олиш билан бирга қобиқ қалинлиги бўйича нормал кучланиш тақсимланишининг чизиқли қонунидан воз кечишга тўғри келади. Бу масалани янада мураккаблаштиради, улар қалин деворли қобиқлар назариясида ечилади.

Бу ерда меридионал ва айланма кесимларда пайдо бўладиган кучланишлар статик аниқ бўлган ҳол учун юпқа деворли идишларнинг моментсиз назарияси кўриб чиқилади. Моментли назария элементлари билан цилиндрик қобиқ эгилиши ҳақидаги содда мисолда танишиб ўтамиз.

**Идишлар деворидаги кучланишларни моментсиз назария бўйича аниқлаш.** Суюқлик оғирлиги ёки газ босими таъсиридаги юпқа деворли, ўққа нисбатан симметрик бўлган идишни кўриб чиқамиз (258-расм). Идиш деворидан иккита меридионал ва иккита айланма кесимлар билан ажратиб олинган чексиз кичик элементнинг мувозанатини текширамиз (259-расм). Идишнинг айланма ёки меридионал кесимлари ўзаро силжишга интилмайди, шунинг учун мазкур кесимларда уринма кучланишлар бўлмайди. Демак, ажратилган элементга фақат бош нормал кучланишларгина таъсир қиласди. Уларни қўйидагича белгилаймиз:  $\sigma_m$  — меридионал кучланиш (у айланма кесимнинг юзачаларига таъсир қиласди);  $\sigma$ , — айланма кучланиш.

Моментсиз назарияга мувофиқ элемент томонларининг юзасига таъсир қиласдиган  $\sigma_m$  ва  $\sigma$ , кучланишлар текис тақсимланган деб ҳисблаймиз. Бундан ташқари, идишнинг барча ўлчамларини деворининг ўрта сиртидан ҳисблаймиз.

Идиш ўрта сирти икки хил эгриликка эга бўлган сиртдан иборат. Меридианнинг текширилаётган нуқтадаги эгрилик радиусини  $\rho_m$  билан, сиртга ўтказилган нормал ўрта сиртнинг мазкур нуқтасидан  $O-O$  ўққача бўлган кесмасига тенг бошқа эгрилик радиусини  $\rho$ , билан белгилаймиз (259-расм).

Элемент томонларига  $\sigma_m \delta \cdot dS$ , ва  $\sigma \delta \cdot dS_m$  кучлар таъсир қиласди. Ажратилган элементнинг ички сиртига суюқлик босими  $\rho$  таъсир қиласди: унинг тенг таъсир этувчиси

$p dS_1 dS_m$  га тенг. Айтиб ўтилган күчларни  $n-n$  нормалга проекциялаймиз:

$$2\sigma_m \delta \cdot dS_1 \sin \frac{d\alpha_m}{2} + 2\sigma_1 \delta \cdot dS_m \sin \frac{d\alpha_1}{2} - p \cdot dS_1 \cdot dS_m = 0$$

Бу ерда биринчи қүшилувчан элементтинг 259-расмда тасвирланган меридионал текисликдаги проекцияси асосида ёзилган. Иккinci қүшилувчи аналогия бүйича ёзилган (а) тенгламада бурчак кичик бўлганлигидан синусни унинг аргументи билан

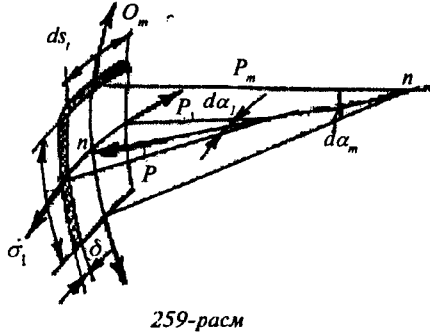
алмаштириб ва барча ҳадларни  $\sigma dS_1 dS_m$  га бўлиб қуидагини топамиш:

$$\sigma_m \frac{d\alpha_m}{dS_m} + \sigma_1 \frac{d\alpha_1}{dS_1} = \frac{p}{\delta} \text{ ёки } \frac{d\alpha_1}{dS_1} = \frac{1}{\rho_1} \text{ ва } \frac{d\alpha_m}{dS_m} = \frac{1}{\rho_m} \text{ эканли-}$$

гини ҳисобга олиб, узил-кесил қуидагини оламиш:

$$\frac{\sigma_m}{\rho_m} + \frac{\sigma_1}{\rho_1} = \frac{\rho}{\delta} \quad (8.8)$$

(8.8) ифода Лаплас тенгламаси дейилади. Уни ўтган асрнинг бошларида суюқлик таъсиридан сиртнинг чўзилишини ўрганишда Лаплас келтириб чиқарган. Бу ерда эътиборни сиртқи чўзилишга ишлаётган суюқликнинг юпқа пардаси билан идиш девори ўргасидаги ўхшашлика жалб қилиш ўринлидир. Аналогия шундан иборатки, парда ҳам, идиш девори ҳам чўзилишга ишлаб, сирти маълум шаклга эга бўлган суюқлик ҳажмини мувозанатда ушлаб туради. Намланмайдиган сиртга тушган суюқлик томчиси сиртқи чўзилиш ҳисобига ёйилиб кетмайди. Шуни айтиб ўтиш керакки, конструкторлар нефть маҳсулотларини сақлаш учун сифим яратишда томчи шаклидан фойдаланганлар; ҳақиқатан ҳам бундай сифимлар бошқаларига нисбатан қатор афзалликларга эга (260-расм).



259-расм

Тенгламада иккита номаълум кучланиш  $\sigma_m$  ва  $\sigma$ , лар бор. Лекин  $\sigma_m$  кучланишни бошқа тенгламадан топса ҳам бўлади, бунда Лаплас тенгламасидан  $\sigma$ , ни толишда фойдаланилади.  $\sigma_m$  ни топиш учун идишнинг қирқиб олинган ҳажмига таъсир қилувчи барча кучларнинг  $O-O$  ўқига проекцияларининг йигиндиси тенгламасини тузамиз.

Идиш деворининг айланма қесими юзасини  $2\pi R\delta$  формула бўйича ҳисоблаш мумкин. Система  $O-O$  ўқига нисбатан симметрияга эга бўлганлигидан бу юза бўйича  $\sigma_m$  кучланишлар текис тақсимланади.

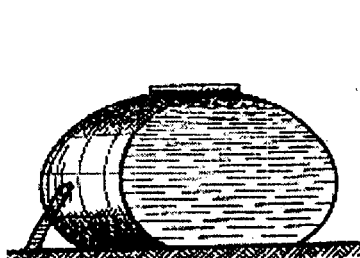
Демак,  $\sigma_m 2\pi \cdot R \cdot \delta \cdot \cos \alpha - p \cdot \pi \cdot R^2 - Q = 0$

$$\text{У ҳолда: } \sigma_m = \frac{pR}{2\pi \cos \alpha} + \frac{Q}{2\pi \cdot R \cdot \delta \cdot \cos \alpha} \quad (8.9)$$

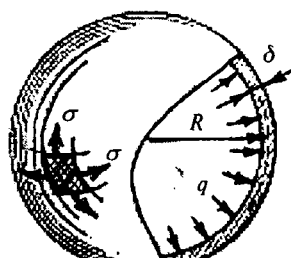
Бу ерда:  $Q$  — айланма қесимдан пастда ётувчи идиш бўлагининг ва суюқликнинг оғирлиги;  $\rho$  — суюқлик босими бўлиб, Паскал қонуни бўйича барча йўналишларда бир хил ва  $\gamma \cdot h$  га тенг; бу ерда  $h$  — ўрганилаётган нуқтанинг чуқурлиги,  $\gamma$  — ҳажм бирлигидаги суюқлик оғирлиги. Баъзан суюқлик идишда атмосфера босими  $q$  дан ортиқча босим остида сақланади. Бу ҳолда:  $p = \gamma \cdot h + q$ .

(8.8) тенглама (8.9) формула идиш деворининг ҳар бир нуқтасидаги иккала  $\sigma_m$  ва  $\sigma$ , кучланишларни топиш имконини беради. Конкрет мисолларни кўриб чиқамиз.

Текис тақсимланган ички газ босими таъсир қиласидаги сферик идиш (261-расм). Идиш девори ва газнинг ўз оғирлигини ҳисобга олмаймиз. Идишнинг симметрикли-



260-расм.



261-расм.

ги туфайли унинг барча нуқталаридаги  $\sigma_m$  ва  $\sigma_1$ , кучланишлар бир хил. (8.8) тенгламада  $\sigma_1 = \sigma_m = \sigma$ ,  $\rho_1 = \rho_m = R$ ,  $p = q$  деб қабул қилиб, қуйидагини топамиз:

$$\sigma = \frac{qR}{2\delta} \quad (8.10)$$

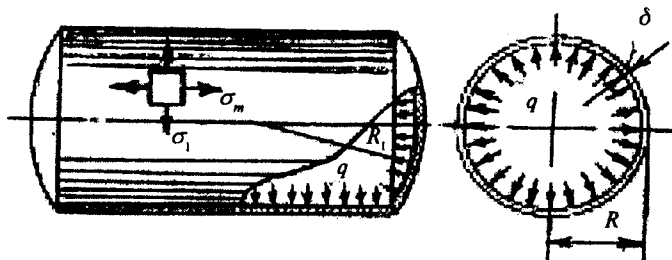
Текис тақсимланган газ ёки буг ички босими  $p = q$  таъсир қиласиган цилиндрик қозон (262-расм). Қозон цилиндрик қисмининг меридианлари вазифасини унинг ясовчилари ўйнайди, улар учун  $\rho_m = \infty$ . Шунинг учун  $\rho_1 = R$ ,  $p = q$  деб олиб, (8.8) тенгламадан айланма кучланишни топамиз:

$$\sigma_1 = \frac{qR}{\delta} \quad (8.11)$$

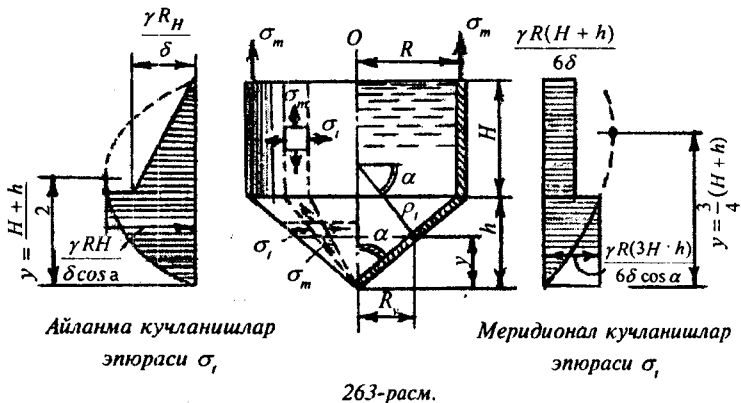
$\cos \alpha = 1, Q = 0$  деб олиб, (8.9) формуладан меридионал кучланишни топамиз:

$$\sigma_m = \frac{qR}{2\delta} \quad (8.12)$$

(8.11) ва (8.12) ифодаларни таққослаш қозон деворини айланга бўйича чўзувчи кучланишнинг ясовчиси бўйича таъсир этувчи кучланишдан икки марта катта эканлигини кўрсатади. Радиус сифатида  $R_1$ , катталикни қабул қилиб, қозоннинг сферик тубидаги кучланишни (8.10) формуладан топиш мумкин.



262-расм.



Суюқлик солинган туби конус кўринишидаги цилиндр резервуар (263-расм). Резервуар деворнинг оғирлигини ҳисобга олмаймиз.

Меридианлар (ясовчилар) эгрилигининг радиуси  $\rho_m = \infty$ . Шунинг учун (8.8) тенгламадан қўйидагини топамиз:  $\sigma_i = \frac{p\rho_i}{\delta}$ , (б)  $H + h - y$  чуқурлиқдаги босим  $\rho$  га тенг бўлади:  $\rho = \gamma(H + h - y)$  чуқурлигидаги босим  $\rho$  га тенг бўлади:  $\rho = \gamma(H + h - y)$  (в). Конуссимон қисми учун қўйидагига эга бўламиз:

$$R_y = \frac{y}{h} R; \quad \rho_i = \frac{R_y}{\cos \alpha} = \frac{yR}{h \cos \alpha} \quad (\text{г})$$

(в) ва (г) ифодаларни (б) формулага қўйиб, конус қисмидаги айланма күчланиш формуласини оламиз:

$$\sigma_i = \frac{\gamma \cdot R}{\delta \cdot h \cos \alpha} (H + h - y) \quad (8.13)$$

Цилиндрик қисми учун  $\rho_i = R$  деб олиб, қўйидагини топамиз:

$$\sigma_i = \frac{\gamma \cdot R}{\delta} (H + h - y) \quad (8.14)$$

$\sigma_i$  эпюраси 263-расмнинг чап томонида кўрсатилган. Резервуарнинг конус қисми учун бу эпюра параболик

кўринишида. У математик жиҳатдан умумий баландлиги нинг ўртасида, яъни  $y = 0,5(H + h)$  бўлганда максимумга эришади.  $H > h$  бўлганида у шартли қийматга эга бўлади,  $H > h$  да эса у конуссимон қисми чегарасига тўғри келиб,

$$\max \sigma_t = \frac{1}{4} \cdot \frac{\gamma \cdot R(H+h)^2}{\delta \cdot h \cos \alpha} \quad (8.15)$$

га тенг реал қийматга эга бўлади.

Меридионал кучланиш  $\sigma_m$  ларни топишга ўтамиз. Конуссимон қисми учун баландлиги у бўлган конус ҳажмидаги суюқлик оғирлигини топамиз:

$$Q = \gamma \frac{1}{3} y \cdot \pi \cdot R_y^2 = \frac{\gamma}{3} \cdot \frac{\pi \cdot y^2 R^2}{h^3} \quad (\text{д})$$

(в), (г) ва (д) ифодаларни (8.9) формулага қўйиб оламиз:

$$\sigma_m = \frac{\gamma \cdot R}{6\delta \cdot h \cos \alpha} [3(H+h) - 2y] y \quad (8.16)$$

$\sigma_m$  эпюраси 263-расмнинг ўнг томонида кўрсатилган. Бу эпюра ҳам конуссимон қисми учун параболик кўринишига эга, у  $y = 0,5(H+h)$  бўлганда максимумга эришади. У  $H \leq \frac{1}{3}h$  бўлгандагина реал қийматга эга бўлиб, конус қисми чегарасига тўғри келади ва

$$\max \sigma_m = \frac{3}{16} \cdot \frac{\gamma \cdot R(H+h)^2}{\delta \cdot h \cos \alpha} \quad (8.17)$$

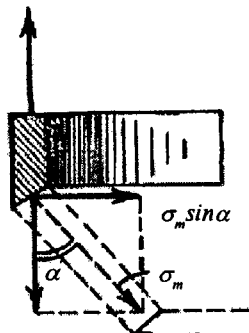
га тенг бўлади.

Идиш цилиндрик қисмдаги кучланиш —  $\sigma_m$  резервурнинг баландлиги бўйича ўзгармайди ва осиб қўйилган юқори қиррасидаги кучланишга тенг:

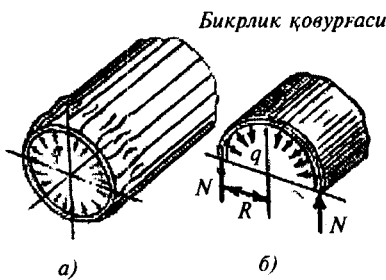
$$\sigma_m = \frac{\gamma \cdot R(H+h)}{6\delta} \quad (8.18)$$

Идиш сирти кескин ўзгарадиган жойда, масалан, цилиндрик қисмининг конуссимон қисми (263-расм) ёки сферик қисми (264-расм) билан туашадиган жойда меридионал кучланишларнинг радиал ташкил этувчиси

$\sigma_m \sin \alpha$  мувозанатлашмаган, бу ҳол 265-расмда күрсатилған. Бу ташкил этувчи ҳалқаның периметри бўйлаб  $q = \delta\sigma \sin \alpha$  га тенг радиал юқ ҳосил қиласи, у юқ цилиндрик қобиқнинг қирраларини ичига эгишга интилади (265-а расм).



264-расм.



265-расм.

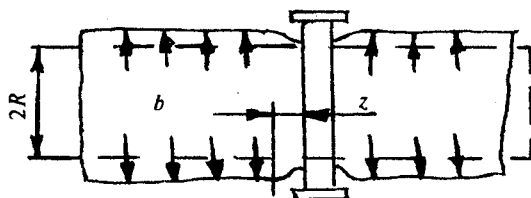
Бундай эгилишга йўл қўймаслик учун идиш сирти ўзгаридиган ерда бурчаклик ёки швеллер кўринишидаги бикрлик қовурғаси қўйилади, у идишни айланаси бўйлаб ўраб олади. Бу қовурға радиал нагрузка  $q$  ни 265-б расмда кўрсатилгандек қабул қиласи.

Бикрлик қовурғасини диаметр бўйича қирқиши йўли билан олинган ярим ҳалқаның мувозанат шартидан қовурғада  $N = qR$  сиқувчи куч пайдо бўлишини осонгина исбот қилиш мумкин, бу ҳолда қовурға билан қобиқ бирга ишлаши ҳисобга олинмайди.

Лекин бикрлик қовурғага ёпишиб турган қобиқ ҳалқасининг кенгайишига тўсқинлик қиласи. Натижада қобиқнинг ясовчиси бикрлик ҳалқаси ўқинида эгриланади. Бу ҳодисага чегаравий эфект дейилади. У идиш деворларида кучланишларнинг маҳаллий кескин ўсишига олиб келиши мумкин. Чегаравий эфектнинг умумий назарияси қобиқлар ҳисобининг моментли назарияси ёрдамида маҳсус курсларда ўрганилади. Куйида цилиндрик трубада чегаравий эфектни ҳисобга олишга доир оддий масала кўриб чиқилади.

**Цилиндрик қобиқда чегаравий эфект.** Цилиндрик қобиққа мисол тариқасида 266-расмда ички босим  $q$  таъсирида бўлган юпқа деворли узун труба тасвирангган. Труба бўлаклари ўзаро фланецлар ёрдамида бириттирилган. Фланецлар бўлмаганида эди, трубанинг бутун узунлиги бўйича ички босим  $q$  туфайли унинг диаметри бирор қийматга катталашган бўларди. Фланец шу даражада бикрки, унинг диаметри катталашишини ҳисобга олмасдан, трубанинг диаметри фланец олдида ўзгармайди, деб ҳисоблаш мумкин. Лекин фланецдан узоқда труба диаметрининг ўзгариши табиийдир.

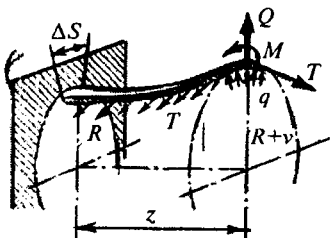
Шунинг учун трубанинг фланец яқинидаги бирор участкаси 266-расмда кўрсатилгандек эгриланади. Олдинига труба кўндаланг кесим юзларида бўйлама кучлар йўқ деган тахмин билан труба деворининг эгилишини (чегаравий эфектни) текширамиз.



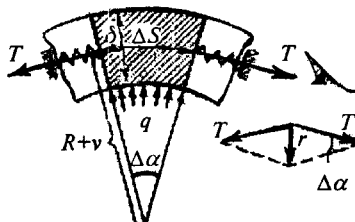
266-расм.

Трубанинг деформациягача бўлган ўртача радиусини  $R$ , деворининг қалинлигини  $\delta$  билан белгилаймиз. Бўйлама кесимлар билан труба деворидан эни  $\Delta s$  га тенг кичик полоса ажратамиз. 267-расмда шундай полоса таъсир қилаётган кучлар билан биргаликда тасвирангган. Труба деформациялангунга қадар ҳам, деформациялангандан кейин ҳам айланма жисмдан иборат бўлганлигидан, барча полосалар 267-расмдагига ўхшаш, бир хил шароитда бўлади. Келгусида  $\Delta s = 1$  деб ҳисоблаймиз.

Полосанинг фланецга бириттирилган ерида қистириб маҳкамланган балка деб ҳисоблаб, унинг салқиликлари радиус орттириналарига тенг деб оламиз; радиус орттириналарини  $v$  билан белгилаймиз. Бу балкага таъсир қилалиган ташқи юқ аввало ички босим ҳисобига ҳосил бўла-



267-расм.



268-расм.

ди; бу босим полосанинг узунлик бирлигига  $\Delta s = 1$  бўлганида  $q \cdot 1 \Delta s = q$  юк билан таъсир қиласи. Бундан ташқари, трубанинг бўйлама кесимларига айланма зўриқиши кучлари ҳам таъсир қиласи; бундай кучларнинг полоса узунлик бирлигига таъсир қиласидиган қийматини  $T$  билан белгилаймиз. Бу кучларнинг қиймати кўндаланг кесимлар билан ҳосил қилинган труба ҳалқаларининг эластик нисбий чўзилишига пропорционалдир. Шунинг учун полосанинг кўндаланг кесими тасвирланган 268-расмда  $T$  кучлар фараз қилинаётган пружиналарнинг эластик реакциялари кўринишида кўрсатилган. Уларнинг тенг таъсир этувчиси —  $\tau$  ни балка — полосада таъсир қилаётган нагрузка деб қараш мумкин. 268-расмдан қуйидагини топамиз:

$$\tau = 2T \sin \frac{\Delta \alpha}{2} \approx T \frac{\Delta s}{R + v}$$

ёки каср маҳражидаги  $v$  қиймати  $R$  га нисбатан кичик бўлганлигидан уни инобатга олмасдан,  $\Delta s = 1$  деб қабул қиласимиз:

$$\tau = \frac{T}{R} \quad (8.19)$$

$R$  радиуснинг нисбий чўзилиши, демак, труба деворининг айланма йўналишдаги нисбий чўзилиши  $\varepsilon_1 = \frac{v}{R}$  га тенг бўлади. Унга мос келадиган айланма кучланишлар Гук қонунига кўра  $\sigma_1 = \frac{v}{R} E$  бўлади.

$$\text{У ҳолда: } T = \sigma_1 \delta \cdot 1 = \frac{\delta \cdot E}{R} v, \text{ демек, } r = \frac{\delta \cdot E}{R^2} v \quad (8.20)$$

Формула  $r$  зўриқиши кучини пропорционаллик коэффициенти  $k = \frac{\delta \cdot E}{R^2}$  бўлган балка-полосанинг  $v$  эгилишларига қаршилик кўрсатувчи эластик асоснинг реакцияси сифатида қараш мумкинлигини кўрсатади.

Шундай қилиб, цилиндрик идишдан ажратиб олинган полоса эгилишининг дифференциал тенгламасини, яхлит эластик асосида ётувчи балка тенгламаси каби ёзиш мумкин:

$$v'' + 4\beta^4 v = \frac{q}{E_1 I} \quad (8.21)$$

Бу ерда:  $I$  — полоса кўндаланг кесим юзасининг инерция моменти;  $\Delta s = 1$  бўлганда  $I = \frac{\delta^3}{12}$ .

Полосанинг эгилишга бўлган бикрлиги  $E_1 I$  даги  $E_1$  оддий эластиклик модули  $E$  ни билдирамайди, балки бошқачароқ маънога эга, чунончи, полоса эгилиши туфайли толалардаги бўйлама деформациялар  $\varepsilon_1$  қўшни полосалар билан ўзаро таъсирда бўлганлигидан шундай орта борадики, уларга мос келувчи кўндаланг деформациялар  $\varepsilon_2$  бўлмайди.

Текис кучланиш ҳолати учун Гук қонунига асосан  $\varepsilon_2 = 0$  деб қабул қилиб, кучланиш  $\sigma_1$  билан чўзилиш  $\varepsilon_1$  ўртасидаги қуйидаги боғланишни топамиз:

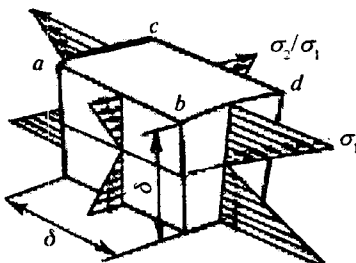
$$\sigma_1 = \frac{\varepsilon_1 E}{1 - \mu^2} = \varepsilon_1 E_1$$

Бу ҳолда  $\sigma_2 = \mu \sigma_1$  ва полоса элемент ёқларидаги эгувчи кучланишлар 269-расмда кўрсатилгандек бўлади. Шундай қилиб, бу ҳолда  $E$  модули ўрнига  $E_1 = \frac{E}{1 - \mu^2}$  модулдан фойдаланиш керак. Айтилганларни ҳисобга олсак, полосанинг эгилишдаги бикрлиги  $E_1 I$  қуйидагича:

$$E_1 I = \frac{\delta^3 E}{12(1 - \mu^2)}$$

(8.21) тенгламадаги  $\beta$  коэффициентнинг қиймати  $k$  ва  $E_l I$  лар учун топилган ифодаларни ҳисобга олган ҳолда топилади:

$$\beta = \sqrt[4]{\frac{k}{4E_l I}} = \sqrt[4]{\frac{3(1-\mu^2)}{R^2 \delta^2}} \quad (8.22)$$



269-расм.

Энди трубанинг кўндаланг кесим юзаларига текис тақсимланган кучланишлар  $\sigma_m$  билан характерланадиган бўйлама зўриқиши кучлари таъсир қиласи, деб тахмин қиласиз. Бунда айланма йўналишдаги нисбий чўзилиш кўйидаги тенгликда топилади:

$$\varepsilon_1 = \frac{\nu}{R} = \frac{\sigma_l}{E} - \mu \frac{\sigma_m}{E}$$

Бундан  $\sigma_l$  ни, сўнгра  $T$  ни топамиз:

$$T = \sigma_l \delta \cdot 1 = \frac{\delta \cdot E}{R} \nu + \mu \cdot \delta \cdot \sigma_m$$

(8.19) формуладан қўйидагини топамиз:

$$r = \frac{\sigma \cdot E}{R^2} \nu + \frac{\mu \cdot \delta \cdot \sigma_m}{R}$$

Охирги қўшилувчини полоса-балкага таъсир этувчи текис тақсимланган нагрузка деб қарааш мумкин, уни ташки нагрузка  $q$  га минус ишора билан қўшиш лозим. Унинг пайдо бўлиши осонгиша шундай тушунтирилади; труба бўйлама йўналишда  $\sigma_m$  кучланиш таъсирида чўзилса, кўндаланг йўналишда тораяди. Кўриниб турибдик, бу манфий босим  $\frac{\mu \cdot \delta \cdot \sigma_m}{R}$  қўйилиши билан эквивалентдир. Демак, бўйлама кучланишлар  $\sigma_m$  ни ҳисобга олганда полоса эгилишининг тенгламаси қўйидаги кўринишни олади:

$$\nu'' + 4\beta^4 \nu = \frac{1}{E_l I} \left( q - \frac{\mu \cdot \delta \cdot \sigma_m}{R} \right) \quad (8.23)$$

Шуни қайд қилиш керакки, (8.21) ва (8.23) тенгламалар истаган ўқи симметрияга эга бўлган нагрузка  $q$  учун кучга эгадир.  $q = const$  ва  $\sigma_m = 0$  бўлган масаламизнинг ечимиға қайтамиз. (8.23) тенгламанинг умумий интеграли қўйидаги кўринишда бўлади:

$$\begin{aligned} \nu &= e^{-\beta z} (C_1 \sin \beta \cdot z + C_2 \cos \beta \cdot z) + \\ &+ e^{\beta z} (C_3 \sin \beta \cdot z + C_4 \cos \beta \cdot z) + \frac{q}{4\beta^4 E_l I} \end{aligned} \quad (8.24)$$

Масаланинг физик маъносига кўра  $z$  нинг қиймати ортиши билан  $\nu$  маълум қийматга интилиши лозим. Лекин (8.24) ечимда  $z \rightarrow \infty$  бўлганда  $e^{\beta z}$  қиймат ҳам чексизликка интилиши бунга зиддир. Шунинг учун  $C_3 = C_4 = 0$  деб оламиз. Қолган иккита ўзгармас  $C_1$  ва  $C_2$  ларни фланецда, яъни  $z = 0$  бўлганида  $\frac{d\nu}{dz} = 0$  ва  $\nu = 0$  бўлиш шартидан топамиз:  $C_1 = C_2 = -\frac{q}{4\beta^4 E_l I} = -\frac{qR^2}{\delta \cdot E}$ ,

$$\nu = \frac{qR^2}{\delta \cdot E} [(\sin \beta \cdot z + \cos \beta \cdot z)] \quad (8.25)$$

Энди эни  $\Delta s = 1$  бўлган полоса учун эгувчи момент  $M$  ва кўндаланг куч  $Q$  ни топамиз:

$$M = E_l I \frac{d^2 \nu}{dz^2} = \frac{qR\delta}{2\sqrt{3}(1-\mu^2)} e^{-\beta z} (\cos \beta \cdot z - \sin \beta \cdot z) \quad (8.26)$$

$$Q = \frac{dM}{dz} = -\frac{q\sqrt{R\delta}}{\sqrt[4]{3}(1-\mu^2)} e^{-\beta z} \cos \beta \cdot z \quad (8.27)$$

(8.25) ва (8.26) формулалар бўйича қурилган  $\nu$  ва  $M$  эпюралари 269-расмда кўрсатилган бўлиб, абсцисса ўқи бўйлаб ўлчовсиз координата  $\beta \cdot z$  қўйилган.

$\nu$ ,  $M$ ,  $Q$  ларни солишиңирсак, улар  $\eta_1$  ва  $\eta_2$  функциялар орқали ифодаланганligини кўришимиз мумкин. Трубадан ажратиб олинган полоса эгилиши ҳақидаги масалани тўпланган куч таъсир қилувчи эластик асосдаги балка сифатида кўришимиз мумкин. Фланецларнинг реакция кучлари тўпланган куч ролини ўтайди.

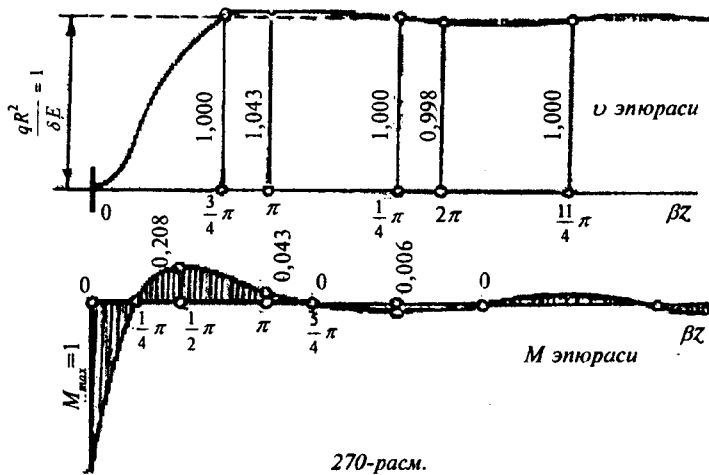
269-расмдаги эпюрадан кўриниб турибдики, труба деворлари эгилиш деформациясининг тўлқини фланецдан узоқлашиши билан тез сўнади. Масалан,  $\beta \cdot z = \pi$  бўлганида солқилик  $\nu$  нинг қиймати фланец йўқ бўлиб, труба эркин кенгайишидаги радиусининг ортиши  $\frac{qR^2}{\delta \cdot E}$  дан фақат 4,3% га фарқ қиласи. Ушбу кесимдаги эгувчи момент ҳам фланецдаги эгувчи моментнинг 4,3% ини ташкил қиласи.  $\beta \cdot z = \pi$  қийматга ( $\mu = 0,3$  бўлганда)  $z = \frac{\pi}{\beta} = \frac{\pi\sqrt{R\delta}}{\sqrt[4]{3(1-\mu^2)}} \approx 2,4\sqrt{R\delta}$  мос келади. Масалан,  $\delta = 0,1R$  бўлганда  $z \approx 0,76R$ . Шундай қилиб, чегаравий эфект фланецдан труба радиусига нисбатан кичик масофага тарқалади деб, 5% аниқлик билан ҳисоблаш мумкин. Труба деворининг маҳаллий қескин эгилишига чегаравий эфект дейилади.

Чегаравий эфект туфайли максимал кучланиш жуда катта қийматларга эришиши мумкин. Масалан, бизнинг мисолимизда  $z = 0$  бўлганида:

$$M_{\max} = \frac{qR\delta}{2\sqrt{3(1-\mu^2)}}; \sigma_{\max} = \frac{6M_{\max}}{\delta^2} = \frac{3qR}{\delta\sqrt{3(1-\mu^2)}} \approx 1,82 \frac{qR}{\delta} \text{ га эга}$$

бўламиз. Бу ( $\mu = 0,3$  бўлганда) моментсиз назариядаги (8.11) формула бўйича топиладиган максимал кучланишдан 1.82 марта каттадир.

Агар қобиқнинг материали пластик материалдан, масалан, пластик пўлатдан иборат бўлса, чегаравий эфект туфайли кучланишларнинг ортиши идишнинг умумий мустаҳкамлигини камайтирмайди, фақат маҳаллий пластик деформациялар пайдо бўлишига олиб келади.



270-расм.

Мұрт материаллар, масалан, темир-бетон резервуарлар учун чегаравий эффектдан ҳосил бўладиган кучланишлар анча хавфли бўлади. Бу кучланишлар резервуарда дарз пайдо бўлишига олиб келади, бу эса унинг герметиклигиги бузади. Бундай ҳолларда чегаравий эффект кучланишларига қарши турли конструктив чоралар воситасида курашилади. Улардан бири темир-бетон резервуар деворларида олдиндан кучланиш пайдо қилишdir. Баъзан резервуар девори билан туби шундай конструкция ёрдамида туташтириладики, деворлар қисман ёки бутунлай эркин кенгайишига йўл қўйилади. Бу чегаравий эффект кучланишини кескин камайтиради ёки бутунлай бартаграф қиласи.

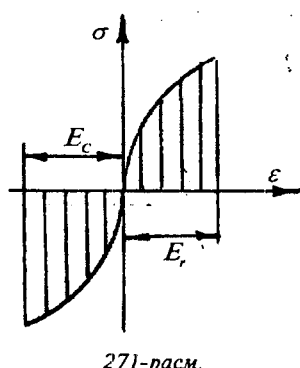
## IX БОБ

### МАТЕРИАЛИ ГУК ҚОНУНИГА БҮЙСУНМАЙДИГАН БАЛКАЛАРНИНГ ЭГИЛИШИ

Юқорида келтирилган эгилишдаги мустаҳкамликка ва бикрликка ҳисоблашлар чўзишиш ва сиқилишда эластиклик модули бир хил бўлган, яъни материали Гук қонунига бўйсунадиган материаллар учун ўринлидир. Гук қонуни кучланиш пропорционаллик чегарасидан ошмагандан аҳамиятга эга. Айрим ҳолларда мустаҳкамликка ҳисоблаш юқори кучланишли пластик деформация содир бўлган шароитга тўғри келади. Мўрт материаллар — чўян, тош, бетон, айрим пластмассаларнинг эластиклик чегарасида ҳам кучланиш билан деформация орасидаги боғланиши тўғри чизиқли эмас, айрим материалларни чўзишиш ва сиқилишдаги эластиклик модуллари бир хил эмас. Шунинг учун материали Гук қонунига бўйсунмайдиган балкаларни эгилишда мустаҳкамликка ҳисоблаш аҳамиятга эга.

Юкланиш даврида материали Гук қонунига бўйсунмайдиган кўндаланг кесим юзаси тўғри тўртбурчакли балканинг эгилишдаги нормал кучланишини аниқлаймиз.

Балка соф эгилишда бўлсин. Агар, куч йўналишида толалар ўзаро бир-бирига босим таъсирини ўтказмаса, балканинг материали оддий чўзишиш ва сиқилишда бўлади. (271-расм).  $\epsilon_u$  бўйлама узайиш —  $\epsilon_c$  бўйлама қисқариш

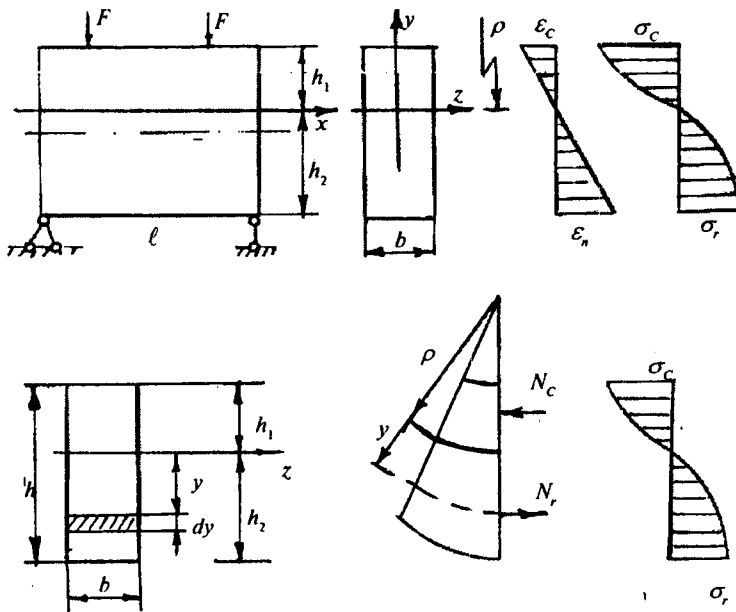


диаграммага асосан, чўзишида кучланишнинг ўсиши деформациянинг ўсишидан кам экан. Бу ерда:  $\epsilon_u > \epsilon_c$ .

Бу ҳолат эгилишда балка кесимининг нейтрал қатлами балканинг эгрилик маркази томон силжитади. Агар балканинг эгрилик радиусини  $\rho$  ҳарфи билан белгиласак, нейтрал қатламдан у масофада жойлашган қатламнинг

нисбий узайиши қуйидаги тенглама билан топилади:

$$\varepsilon = \frac{y}{\rho} \quad (9.1)$$



272-расм.

Нисбий деформация ва нормал күчланишни анықлаш учун нейтрал ўқнинг эгрилик радиуси  $\rho$  ни топиш ва аналитик усулда күчланиш билан деформация орасидаги бөгланишни ҳосил қилиш керак (272-расм).

Жуфт күч таъсирида эгилаётган балканинг ихтиёрий кесимидағи ички  $N_4$  чўзувчи ва сиқувчи  $N_c$  күчлари ҳам жуфт күчни ҳосил қиласади. Унда  $N_4$  ва  $N_c$  күчларни  $X$  ўқига проекциялари ҳам нолга тенг ва уларнинг нейтрал ўқ  $Z$  га нисбатан моменти эгувчи моментга тенг:

$$\sum x = \int_A \sigma \cdot dA = 0 \quad \text{ва} \quad \sum M_z = \int_A \sigma \cdot y \cdot dA - M = 0 \quad (9.2)$$

Бу ерда:

$$dA = b \cdot dy. \quad \text{У ҳолда} \quad b \left( \int_0^{h_1} \sigma_q dy - \int_0^{h_2} \sigma_c dy \right) = 0 \quad (9.3)$$

$$b \left( \int_0^{h_1} \sigma_q dy + \int_0^{h_2} \sigma_c dy \right) = M \quad (9.4)$$

Күп материаллар учун үзүлиш ва сиқилишда күчланиш билан деформация орасидаги боғланиш материалнинг физик хоссалари билан ифодаланади, яъни:

$$\varepsilon_q = K_q \cdot \sigma_q^n \quad \text{ва} \quad \varepsilon_c = K_c \cdot \sigma_c^m \quad (9.5)$$

Бу ерда  $K_q, K_c, n$  ва  $m$  материалнинг физик хоссаларини тавсифловчи катталиклар. (9.1) формулани ҳисобга олиб, (9.5) боғланишлардан нормал күчланишни топамиз:

$$\sigma_q = \left( \frac{\varepsilon_q}{K_q} \right)^{\frac{1}{n}} = \left( \frac{y}{K_q \cdot \rho} \right)^{\frac{1}{n}}; \quad \sigma_c = \left( \frac{\varepsilon_c}{K_c} \right)^{\frac{1}{m}} = \left( \frac{y}{K_c \cdot \rho} \right)^{\frac{1}{m}} \quad (9.6)$$

(9.6) формулани (9.3) тенглилкка келтириб қўямиз:

$$b \left[ \int_0^{h_1} \left( \frac{y}{K_q \cdot \rho} \right)^{\frac{1}{n}} \cdot dy - \int_0^{h_2} \left( \frac{y}{K_c \cdot \rho} \right)^{\frac{1}{m}} \cdot dy \right] = 0 \quad \text{ва ҳосил бўлган}$$

тенглилкни интегралласак,

$$\frac{n}{n+1} \left( \frac{h_1}{K_q \cdot \rho} \right)^{\frac{1}{n}} h_1 - \frac{m}{m+1} \left( \frac{h_2}{K_c \cdot \rho} \right)^{\frac{1}{m}} \cdot h_2 = 0 \quad (9.7)$$

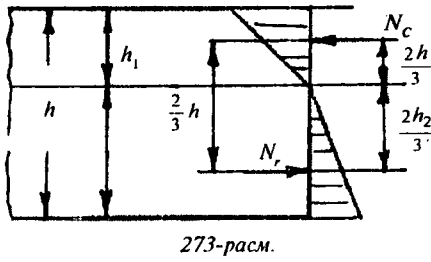
ҳосил бўлади. (9.6) формулани (9.4) тенглилкка келтириб

$$b \left[ \int_0^{h_1} \left( \frac{y}{K_q \cdot \rho} \right)^{\frac{1}{n}} y dy + \int_0^{h_2} \left( \frac{y}{K_c \cdot \rho} \right)^{\frac{1}{m}} y dy \right] = M \quad \text{ва интег-}$$

ралласак, қуйидаги натижани ҳосил қиласмиш:

$$\frac{n}{2n+1} b \left( \frac{h_1}{K_q \cdot \rho} \right)^{\frac{1}{n}} \cdot h_1^2 + \frac{m}{2m+1} b \left( \frac{h_2}{K_c \cdot \rho} \right)^{\frac{1}{m}} \cdot h_2^2 = M \quad (9.8)$$

Агар,  $h_1 + h_2 = h$  эканлигини ҳисобга олсак, (9.7) ва (9.8) формулалардан эгрилик радиуси  $\rho$  ва  $h_1$  ва  $h_2$  ларни аниқлаймиз. (9.6) формуладан  $\sigma_q$  ва  $\sigma_c$  кучланишларни топамиз.



273-расм.

Чўзилиш ва сиқилишда эластиклик модули ҳар хил бўлган материалдан тайёрланган балканинг эгилишдаги нормал кучланишини аниқлаймиз.

Бундай материаллар учун  $E_c > E_q$ , яъни сиқилишдаги эластиклик модули  $E_c$  чўзилишдаги эластиклик модулидан катта бўлади. Нормал кучланиш эпюраси 273-расмда кўрсатилган.

Нейтрал қатламдан  $Y$  масофада жойлашган толанинг кучланиши:

$$\sigma_q = \frac{y}{\rho} E_q \quad \text{ва} \quad \sigma_c = \frac{y}{\rho} E_c \quad (9.9)$$

(9.3) формулага асосан:

$$\frac{E_q}{\rho} \int_0^{h1} \sigma_q dy = \frac{E_c}{\rho} \int_0^{h2} \sigma_c dy \quad (9.10)$$

$$\text{Ёки: } \frac{E_q}{\rho} \int_0^{h1} y dy = \frac{E_c}{\rho} \int_0^{h2} y dy \quad (9.11)$$

(9.11) ни интеграллаб ва  $\frac{1}{2\rho}$  га қисқартириб,

$$E_q h_1^2 = E_c h_2^2 \quad (9.12)$$

ҳосил қиласмиш, бу ерда  $\frac{h_1^2}{h_2^2} = \frac{E_c}{E_q}$  ни ҳисобга олсак,  $h_1 + h_2 = h$  ва

$$h_1 = \frac{h\sqrt{E_c}}{\sqrt{E_q} + \sqrt{E_c}} \quad \text{ва} \quad h_2 = \frac{h\sqrt{E_q}}{\sqrt{E_q} + \sqrt{E_c}} \quad (9.13)$$

нейтрал қатламнинг ҳолатини аниқлаймиз. Ҷўзилиш ва сиқилиш зонасининг чекка толалардаги тенг таъсир қилувчи бўйлама кучни топамиз. Бунинг учун чўзилаётган ва сиқилаётган толалардаги тенг таъсир қилувчи бўйлама кучни топамиз. Ҷўзувчи  $N_q$  ва сиқувчи  $N_c$  кучларни қучланиш эпюрасидан аниқлайдиз:

$$N_q = \frac{\sigma_q b h_1}{2}; \quad N_c = \frac{\sigma_c b h_2}{2} \quad (9.14)$$

$N_q$  ва  $N_c$  кучлар балканинг нейтрал қатламдан  $\frac{1}{3}h$  ва  $\frac{1}{3}h_2$  масофада жойлашади. Кўндаланг кесим юзада ички кучлар жуфт кучга келтирилгани учун  $N_q = N_c$ .

Кучлар орасидаги масофа  $\frac{1}{3}h$ , унда жуфт куч моменти:

$$M = N_q \frac{2}{3}h \quad \text{ва} \quad M = N_c \frac{2}{3}h$$

(9.13) ва (9.14) боғланишларни ҳисобга олсак,

$$M = \frac{\sigma_q \cdot b \cdot h_1 \cdot h}{3} = \frac{\sigma_q b h^2}{3} \cdot \frac{\sqrt{E_q}}{\sqrt{E_q} + \sqrt{E_c}} \quad (9.15)$$

$$M = \frac{\sigma_c \cdot b \cdot h_2 \cdot h}{3} = \frac{\sigma_c b h^2}{3} \cdot \frac{\sqrt{E_c}}{\sqrt{E_q} + \sqrt{E_c}} \quad (9.16)$$

Бу ерда:  $\sigma_q = \frac{3M}{bh^2} \left( 1 + \frac{\sqrt{E_q}}{\sqrt{E_c}} \right)$  (9.17);

$$\sigma_c = \frac{3M}{bh^2} \left( 1 + \frac{\sqrt{E_c}}{\sqrt{E_q}} \right) \quad (9.18)$$

Агар  $E_q$  ва  $E_c$  эластиклик модуллари берилган бўлса, (9.17), (9.18) формуласардан энг катта чўзувчи ва сиқувчи кучланишлар топилади. (9.17) ва (9.18) формулалар-

нинг бошқача кўринишини келтириш учун

$$\frac{\sqrt{E_u}}{\sqrt{E_c}} = \frac{h}{h_1} = \frac{\rho}{\frac{h_1}{\rho}} = \frac{\varepsilon_c}{\varepsilon_u} \text{ ни ҳисобга олсак,}$$

$$\sigma_u = \frac{3M}{bh^2} \left( 1 + \frac{\varepsilon_c}{\varepsilon_u} \right) \quad (9.19)$$

$$\sigma_c = \frac{3M}{bh^2} \left( 1 + \frac{\varepsilon_u}{\varepsilon_c} \right) \quad (9.20)$$

Балка чекка толаларининг нисбий деформациялари тензометр билан аниқланса, (9.19) ва (9.20) формулалар ўринли.

## Х Б О Б

### МУРАККАБ ҚАРШИЛИКЛАР

Техникада ишлайдиган ҳамма деталлар ҳам оддий деформациялар, яъни чўзилиш ва сиқилиш, силжиш, буралиш ёки эгилиш деформацияларига учрамасдан, балки бир пайтда шу оддий деформацияларнинг камидаги иккитаси таъсирида бўлиши мумкин. Бундай ҳолда конструкция қисми мураккаб деформацияга дуч келади. Шунинг учун машина ёки иншоот қисмларининг кўндаланг кесимида бир вақтда иккита ва ундан ортиқ ички куч факторлари ҳосил бўлади. Натижада кесим юзасида шундай мураккаб кучланганлик ҳолати келиб чиқадики, кучларнинг мустақиллик аломатига асосан бу кучланганлик ҳолати оддий кучланганликлар йигиндисидан иборат деб қараш мумкин. Кучларнинг мустақиллик аломатини мураккаб деформацияга татбиқ этиш учун элементнинг деформацияси кичик ва унинг материали Гук қонунига бўйсуниши керак. Мураккаб деформацияга — валнинг бир вақтда буралиш билан эгилиш таъсирида бўлиши: қийшиқ эгилиш, марказлашмаган сиқилиш ёки чўзилиш ва ҳ.к. мисол бўлади.

#### 10.1. ЭГИЛИШ БИЛАН БУРАЛИШНИНГ БИРГАЛИҚДАГИ ТАЪСИРИ

Буралишга ишлайдиган стержень вал дейилади. Вал машина, станок ва механизмларнинг ҳаракатга келтирувчи асосий элементи бўлиб, кўпинча буралиш билан эгилиш деформацияларининг таъсири натижасида ишлайди. Шкивга ўрнатилган ременларнинг, таранглик кучларнинг валга босими ( $P$ ) таъсирида эгилиш деформацияси: ременинг етакловчи ва етакланувчи қисмларининг таранглик кучлари вал кесимининг марказига нисбатан моментлари ( $M_1, M_2$ ) таъсирида буралиш деформацияси ҳосил бўлади.

$$M_1 = T_1 R_1 - t R_1 = t_1 R_1, \quad M_2 = t_2 R_2 \\ P_1 = T_1 + t_1 = 3t_1 \text{ ва} \quad P_2 = 3t_2$$

Демак, валнинг кесимда буралишдаги буровчи момент; эгилишдаги эгувчи момент ва кўндаланг куч ҳосил бўлади.

Буровчи момент таъсирида валнинг кўндаланг кесимда буралишидаги уринма кучланиши ҳосил бўлади:

$$\tau_b = \frac{M_b}{W_p} \quad (10.1)$$

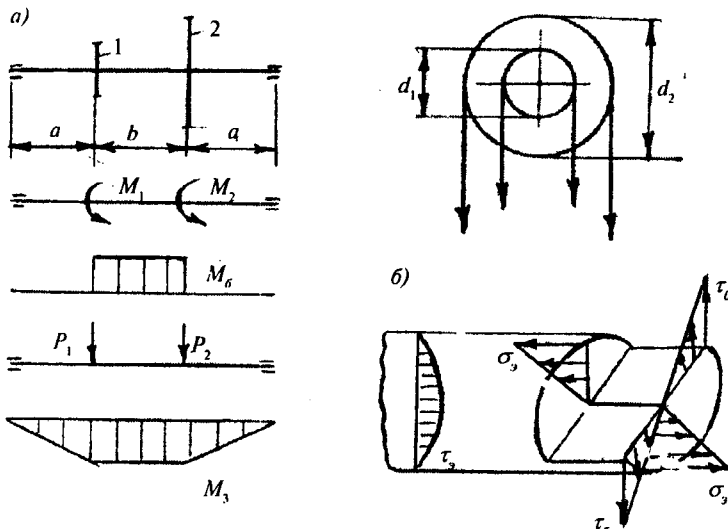
Уринма кучланиш вал кесимининг четки нуқталарида энг катта қийматга эришади (274-а расм).

Кўндаланг куч  $Q$  таъсиридаги уринма кучланиш буровчи моментдан ҳосил бўлган уринма кучланишга нисбатан кичикдир.

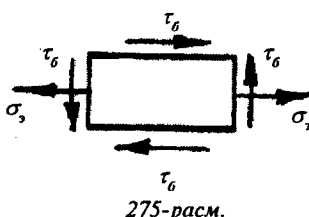
Бу кучланиш вал кесимининг марказида энг катта қийматга эришади. Лекин вални ҳисоблашда бу кучланишнинг таъсири сезиларли эмас.

Эгувчи момент таъсирида валнинг кўндаланг кесимда эгилишида нормал кучланиш ҳосил бўлади (274-б расм):

$$\sigma_s = \frac{M_x}{W_x} \quad (10.2)$$



274-расм.



Нормал кучланиш вал кесимининг четки нуқталарида энг катта қийматга эришади ва кесим марказида нолга тенг (274-б расм).

Демак, вал кесимининг четки нуқтасида  $\tau_b = \tau_{b\max}$  ва  $\sigma_3 = \sigma_{3\max}$  бўлиб, бу нуқта атродида ажратилган элементар юза хавфли ҳолатда ва мураккаб кучланганлик ҳолатида экан.

Ажратилган элементнинг олд қисми ва унга параллел бўлган орқа томони ҳар қандай кучланишлар таъсиридан озод. Шунинг учун бу юза бош юза (275-расм) экан ва бу юзадаги бош нормал кучланиш нолга тенг.

Учта бош кучланишлардан биттаси нолга тенг бўлган ҳолатдаги элементнинг кучланганлик ҳолати текис кучланганлик ҳолатидир. Текис кучланганлик ҳолатидаги элементнинг мустаҳкамлиги элементнинг бошқа юзаларидағи бош кучланишларига боғлиқдир.

Бош кучланишлар қуйидаги формула билан топилади:

$$\sigma_{1,3} = \frac{1}{2} \left[ \sigma_3 \pm \sqrt{\sigma_3^2 + 4\tau_b^2} \right] \quad (10.3)$$

Мураккаб кучланганлик ҳолатидаги валнинг мустаҳкамлиги мустаҳкамлик назариялари асосида текширилади.

Пўлатдан тайёрланган валнинг мустаҳкамлиги III ва IV мустаҳкамлик назариялари бўйича текширилади.

III назария:

$$\sigma_1 - \sigma_3 \leq [\sigma] \quad (10.4)$$

Агар (10.3) формулани ва  $\sigma_3 = \frac{M_3}{W}$ ,  $\tau_b = \frac{M_b}{W_p} = \frac{M_b}{2W}$  кучланишларни ҳисобга олиб III назарияяга келтириб қўйсак, қуйидаги ифода ҳосил бўлади:

$$\frac{\sqrt{M_3^2 + M_b^2}}{W} \leq [\sigma] \quad (10.5)$$

Бу ерда  $\sqrt{M_3^2 + M_6^2} = M$  келтирилган момент деб қабул қиласиз.

Вални мустаҳкамлик шарти:  $\frac{M_{\text{кел}}}{W} \leq [\sigma]$

Вал кесимнинг ўлчамлари қўйидагича топилади:

$$W = \frac{M_{\text{кел}}}{[\sigma]}$$

Агар  $W = \frac{\pi \cdot d^3}{32}$  бўлса, валнинг диаметри:

$$d = \sqrt[3]{\frac{32M_{\text{кел}}}{\pi \cdot [\sigma]}} \quad (10.6)$$

IV назария:  $\sqrt{\sigma_s^2 + 3\tau_b^2} \leq [\sigma]$ ,  $\sigma_s$ ,  $\tau_b$  ларнинг ифодаларини ҳисобга олсак,

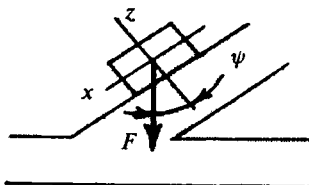
$$\frac{\sqrt{M_3^2 + 0,75M_6^2}}{W} \leq [\sigma] \quad \text{ва} \quad W = \frac{\sqrt{M_3^2 + 0,75M_6^2}}{[\sigma]} = \frac{M_{\text{кел}}}{[\sigma]} \quad (10.7)$$

## 10.2. ҚИЙШИҚ ЭГИЛИШ

Амалиётда шундай конструкция қисмлари учрайдики, бу ҳолатда элементга қўйилган ташқи кучнинг таъсири чизиги элементнинг бўйлами ўқига перпендикуляр жойлашиб, унинг кўндаланг кесимининг бирорта ҳам бош инерция ўқлари текислигидан ўтмайди.

Бундай стерженнинг эгилиши ташқи кучнинг таъсири қилиш текислигига ётмайди. Қийшиқ эгилиш содир бўлади. Масалан, бино томидаги тунука остига қоқладиган тахталар қийшиқ эгилишга ишлайди.

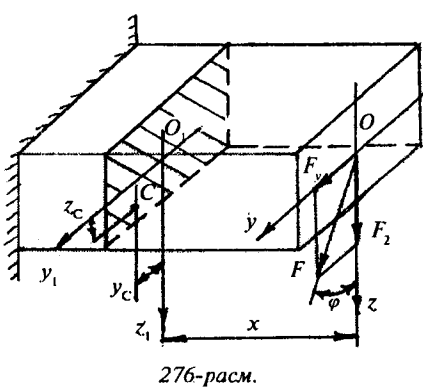
$F$  куч  $Z$  бош инерция ўқига нисбатан  $\varphi$  бурчак остида жойлашган.  $F$  кучнинг  $Z$  ва  $Y$  ўқларидаги ажратувчиларини топамиз (276 - расм):



$$F_z = F \cos \varphi \quad \text{ва} \quad F_y = F \cdot \sin \varphi$$

Ихтиёрий  $X$  масофада жойлашган бош инерция ўқлари ( $Z_1$  ва  $Y_1$ ) га нисбатан  $F_z$  ва  $F_y$  күчларининг эгувчи моментлари қўйидагича ёзилади:

$$\begin{aligned} M_{y1} &= -F_z \cdot X = -F \cdot X \cos \varphi \\ M_{z1} &= -F_y \cdot X = -F \cdot X \sin \varphi \end{aligned} \quad (10.6)$$



276-расм.

Ихтиёрий  $C$  нуқтаси күчланишининг формуласини ёзамиш:

$$\sigma_c = -\frac{M_y \cdot Z_c}{I_y} - \frac{M_z \cdot Y_c}{I_z} = -M \left( \frac{\cos \varphi \cdot Z_c}{I_y} + \frac{\sin \varphi \cdot Y_c}{I_z} \right)$$

Бу ерда:  $I_y$  ва  $I_z$  стержень кесимининг  $Y$  ва  $Z$  ўқларига нисбатан инерция моменти.

$Z_c$  ва  $Y_c$  стержень кесимидан ажратилган  $C$  нуқтанинг координаталари.  $C$  нуқта стерженнинг сиқиладиган толалари томонида жойлашганлиги учун  $\sigma_c$  нормал күчланишининг ишораси манфий. Агар,  $C$  нуқтани координата ўқларининг манфий томонига ёки стержень материалининг чўзиладиган толаларига ўтказсан, нормал күчланишининг ишораси мусбат бўлади. Текис кўндаланг эгилишдагилек, қийшиқ эгилишда ҳам нормал күчланишининг қиймати асосан  $Z$  ва  $Y$  координаталарига боғлиқ. Қийшиқ эгилишда кесимнинг айланишида нейтрал ўқдан энг узоқда жойлашган толаси энг катта деформацияга учрайди. Шунинг

Агар  $M = F_x$  деб қабул қилсак,  $M_y = M \cos \varphi$  ва  $M_z = M \sin \varphi$  ҳосил бўлади. Демак, стерженнинг кўндаланг кесимида иккита эгувчи момент пайдо бўлар экан ва бу моментлар стерженни иккита бош инерция текисликларида эгади.

Стерженнинг кесим юзасидан танланган

учун қийшик әгилишда хавфли ҳолатдаги нұқтани аниқлаш учун аввало стержененинг кесимида нейтрал үқнинг ҳолати ва ундан әнг үзөқда жойлашган нұқта топилади. Текис күндаланғ әгилишдан маълумки, нормал құчланиш нейтрал қатlamда нолга теңг, яғни:

$$O = -M \left( \frac{\cos\varphi \cdot Z_o}{I_y} + \frac{\sin\varphi \cdot Y_o}{I_z} \right) \text{ ёки}$$

$$\frac{\cos\varphi \cdot Z_o}{I_y} + \frac{\sin\varphi \cdot Y_o}{I_z} = 0 \quad (10.9)$$

Бу ерда:  $Z_o$  ва  $Y_o$  нормал құчланиши нолга теңг бўлган ҳолатга тўғри келувчи нұқтанинг координаталари. (10.9) формулага асосан нейтрал үқ координатасы бошидан ўтувчи тўғри чизикдир. Нейтрал үқ  $Y$  үқига  $\alpha$  бурчак остида жойлашган (277-расм).

(10.9)формуладан

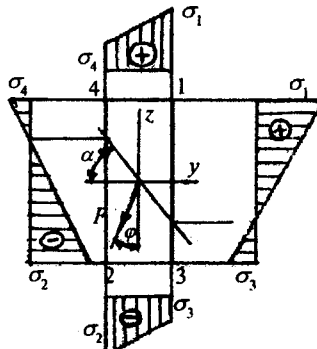
$$\left[ \frac{Z_o}{Y_o} \right] = \operatorname{tg}\alpha \quad (10.10)$$

хосил қиласиз. 277-расмдан кўринишича,  $\left[ \frac{Z_o}{Y_o} \right] = \operatorname{tg}\alpha$ , у ҳолда (10.10) формулани қўйидагича ёзамиш:

$$\operatorname{tg}\alpha = \operatorname{tg}\varphi \frac{I_y}{I_z} \quad (10.11)$$

ёки  $\operatorname{tg}\varphi = \operatorname{tg}\alpha \cdot \frac{I_z}{I_y}$  (10.11) формуладан қийшик әгилишда кесим нейтрал үқининг ҳолати ташқи кучнинг қийматига эмас, балки кучнинг  $Z$  үқига оғишган бурчаги  $\varphi$  га ва кесимиң шаклига боғлиқ экан.

Масалан, инерция моментлари иккала үққа нисбатан бир-бирига теңг бўлган доира-вий, квадрат — кесимларда



277-расм.

нейтрал ўқ ташқи күчнинг таъсир чизигига перпендикуляр жойлашади, яъни  $\operatorname{tg}\alpha = \operatorname{tg}\varphi$  қолган барча кесимларда нейтрал ўқ куч чизигига перпендикуляр бўлмайди. Томонлари  $h$  ва  $b$  бўлган тўғри тўртбурчак кесим учун күчнинг таъсир чизиги кесимнинг диагонали бўйича жойлашса, нейтрал ўқ кесимнинг иккинчи диагоналидан ўтади.

$$\operatorname{tg}\varphi = \frac{bh^3 \cdot 12}{b^3 h \cdot 12} \cdot \frac{b}{h} = \frac{h}{b}$$

Шундай қилиб, қийшиқ эгилишда нормал қучланиш қўйидаги формула билан топилади:

$$\sigma = \pm M \left( \frac{\cos \varphi \cdot z}{I_y} + \frac{\sin \varphi \cdot y}{I_z} \right) \quad (10.13)$$

Кесимнинг нейтрал ўқда жойлашган I ва II нуқталарида кучланиш максимал қийматга, нейтрал ўқ устидаги барча нуқталарида нолга teng ва нейтрал ўқда яқин жойлашган нуқталарда (3 ва 4) минимал бўлади. Кесимнинг турли нуқталари учун топилган кучланишларнинг қийматлари ёрдамида қийшиқ эгилишдаги қучланиш эпюрасини қуриш мумкин. (10.13) формулада кўпинча  $\frac{I_y}{z_{\max}} = W_y$ ,  $\frac{I_z}{y_{\max}} = W_z$  ифода билан алмаштирилади ва қўйидаги формула ҳосил бўлади:

$$\sigma = \pm M \left( \frac{\cos \varphi}{W_y} + \frac{\sin \varphi}{W_z} \right) \quad (10.14)$$

Қийшиқ эгилишда мустаҳкамлик шарти:

$$\sigma_{\max} = M_{\max} \left( \frac{\cos \varphi}{W_y} + \frac{\sin \varphi}{W_z} \right) \leq [\sigma] \quad (10.15)$$

Қийшиқ эгилишда кўчишни аниқлаш. Кучларнинг мустақиллик асосатига асосан:

$$f_z = \frac{F_z \ell^3}{3EI_y} \quad \text{ва} \quad f_y = \frac{F_y \ell^3}{3EI_z} \quad (10.16)$$

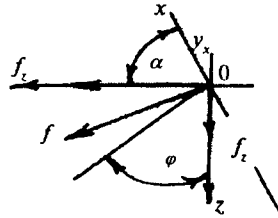
Унда түлиқ күчиш:

$$f = \sqrt{f_x^2 + f_y^2} = \frac{F\ell^3}{3E} \sqrt{\frac{\cos^2 \varphi}{I_y^2} + \frac{\sin^2 \varphi}{I_z^2}}$$

Юқоридаги формулалардан күринадыки, стерженнинг эгилиши унинг бикрлигига боғлиқ.

$$\frac{f_y}{f_z} = \operatorname{tg} \alpha = \operatorname{tg} \varphi \cdot \frac{I_y}{I_z} \text{ ва}$$

$$f = \frac{f_y}{\sin \alpha} = \frac{f_z}{\sin \varphi} \text{ ни ҳосил қила-}$$



миз. Агар  $\alpha = \varphi$  бўлса, стержен-ning эгилиши нейтрал ўққа перпендикуляр текислиғи содир бўлади.

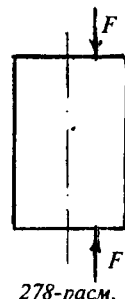
### 10.3. МАРКАЗЛАШМАГАН СИҚИЛИШ (ЧЎЗИЛИШ)

Марказлашмаган сиқилиш (278-расм) курилишда бино устунларини ҳисоблашда кўп учрайди.  $XOY$  ўқларига нисбатан  $X_F$  ва  $Y_F$  ма-софаларда жойлашган  $F$  куч таъсиридаги бруснинг марказлашмаган сиқилишини кўриб чиқайлик.  $F$  куч таъсирида бруснинг исталган кесимида  $N = -F$  сиқувчи бўйлама куч ва  $M_x = -FY$  ва  $M_y = -FX$  эгувчи моментлари ҳосил бўлади.

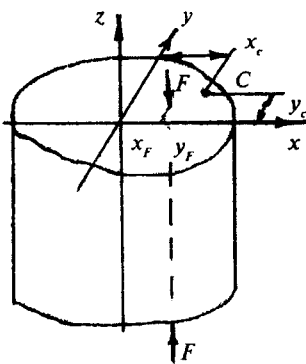
Брус  $M_y$  эгувчи моменти таъсирида  $OY$  нейтрал ўқи атрофида  $OX$  текислигига эгилади. Кесимдан ажратилган ихтиёрий нуқта С бруснинг сиқиладиган толаларида жойлашганлиги учун бу нуқтадаги нормал кучланиш манфий ишорали бўлади (279-расм).

$M_x = FY$  моменти таъсиридан брус  $OY$  текислигига  $OX$  нейтрал ўқи атрофида эгилади (279-расм).

С нуқта бруснинг сиқиладиган толаларида жойлашган. Шунинг учун нормал кучланиш манфий ишорали. Унда С нуқтадаги кучланиш қўйидагича топилади:



$$\sigma_c = -\frac{F}{A} - \frac{FY_F \cdot Y_c}{I_x} - \frac{FX_F \cdot X_c}{J_y} = -F \left( \frac{1}{A} + \frac{Y_F Y_c}{I_x} + \frac{X_F X_c}{I_y} \right) \quad (10.17)$$



279-расм.

Агар  $\frac{I_x}{A} = i_x^2$  ва  $\frac{I_y}{A} = i_y^2$  брус кесимининг  $X$  ва  $Y$  ўқларига нисбатан инерция радиусларини ҳисобга олсак:

$$\sigma_c = -\frac{F}{A} \left( 1 + \frac{Y_F Y_c}{i_x^2} + \frac{X_F X_c}{i_y^2} \right) \quad (10.18)$$

(10.18) формуладан кўринишича, сиқилган брус исталган нуқтасининг кучланишини топиш мумкин. Бунинг учун нуқтанинг координаталари  $X$  ва  $Y$  ишораларини ҳисобга олиш кепрек. Масалан, координаталари  $X_B$  ва  $Y_B$  бўлган кесимдан

иҳтиёрий танланган  $B$  нуқтадаги кучланишнинг ишораси мусбатdir, чунки:

$$\sigma_B = -\frac{F}{A} \left( 1 - \frac{Y_F Y_B}{i_x^2} - \frac{X_F X_B}{i_y^2} \right) \quad (10.19)$$

Бу нуқта брусларининг чўзиладиган толаларида жойлашган. Демак, марказлашмаган сиқилишда ҳам оддий кўндаланг ёки қийшиқ эгилишдаги каби нормал кучланиш нуқтанинг қайси чорагида ёки қайси толаларида жойлашганлигига боғлиқ экан. Марказлашмаган сиқилишда брусларининг хавфли ҳолатидаги материални аниқлаш учун, аввало, брусларининг нейтрал ўқининг ҳолати ва ундан энг узоқда жойлашган нуқтасини топамиз. Кўндаланг эгилишдан маълумки, нейтрал ўқда нормал кучланиш нолга teng, яъни:

$$\sigma = -\frac{F}{A} \left( 1 + \frac{X_F X_o}{i_y^2} + \frac{Y_F \cdot Y_o}{i_x^2} \right) = 0$$

Бу ерда  $X_o$  ва  $Y_o$  — нейтрал ўқ устида жойлашган нуқтанинг координаталари.  $\frac{F}{A} \neq 0$  бўлмаганлиги учун:

$$1 + \frac{X_F X_o}{i_y^2} + \frac{Y_F \cdot Y_o}{i_x^2} = 0 \quad (10.19)$$

хосил бўлади

(10.19) тенглама нейтрал ўқ тенгламаси. Нейтрал ўқ координата бошидан ўтмайдиган тўғри чизиқдир.

Бу тенгламадан  $XOY$  координата бошидан нейтрал ўққача бўлган масофалар —  $X_o$  ва  $Y_o$  ларни топиш мумкин.

$Y_o = 0$  бўлса, (10.19) дан  $1 + \frac{X_F X_o}{i_y^2} = 0$  ифодани оламиз.

Шунингдек,  $X_o = 0$  бўлса,  $1 + \frac{Y_F \cdot Y_o}{i_x^2} = 0$  хосил бўлади. Бу тенгламаларни ечиб,

$$X_o = -\frac{i_y^2}{X_F} \text{ ва } Y_o = -\frac{i_x^2}{Y_F} \quad (10.20)$$

нейтрал ўқ координата ўқларининг кесишидан хосил бўлган кесмаларни топамиз.

Демак, нейтрал ўқ  $X$  ва  $Y$  ўқларини  $X_o$  ва  $Y_o$  масофалардан кесиб ўтар экан (280-расм). Нейтрал ўқ кесим юзасини икки қисмга, чўзиладиган ва сиқиладиган толаларга ажратади. Агар кесимнинг контурига нейтрал ўққа паралел қилиб уринмалар ўтказсак, брус кесимининг нейтрал ўқдан энг узоқда жойлашган нуқталарини (ДК) аниқлаймиз. Кесидаги энг катта чўзувчи ва сикувчи нормал кучланишлар  $D$  ва  $K$  нуқталарда хосил бўлади (280-расм).  $D$  нуқта бруснинг чўзилган толасида жойлашганлиги учун нормал кучланиш мусбат,  $K$  нуқтада эса манфий:

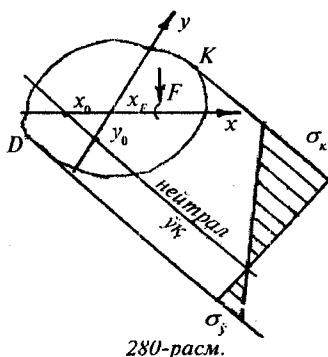
$$\sigma_{D,K} = \pm \frac{F}{A} \left( 1 \pm \frac{X_F \cdot X_{D1K}}{i_y^2} \pm \frac{Y_F \cdot Y_{D1K}}{i_x^2} \right) \quad (10.21)$$

Нормал кучланиш кесим юзасида тўғри чизиқли қонуният билан ўзгаради ва кесимнинг контурида энг катта қийматга эришади.

Кесим юзаси тўғри тўртбурчакдан иборат бўлган бруснинг марказлашмаган сиқилишида, кесимнинг нейтрал ўқини турли ҳолларда ўзgartириб кўрамиз (282-расм).

Күч  $OY$  ўқи бўйлаб ( $X_A = e$ ;  $Y_F = 0$ ) йўналган (10.18) формуладан қўйидагини топамиз:

$$\sigma = -\frac{F}{A} \pm \frac{M_y}{W_y} = -\frac{F}{A} \pm \frac{Fe}{\frac{hb^2}{6}} = -\frac{F}{A} \left( 1 + \frac{6e}{b} \right) \quad (10.22)$$

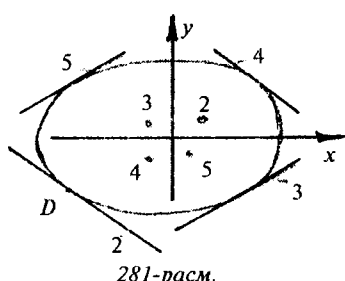


Бу формуладан кўриниб турибдики,  $e = 0$  бўлганда кесимнинг барча нуқталарида бир хил кучланиш пайдо бўлади.

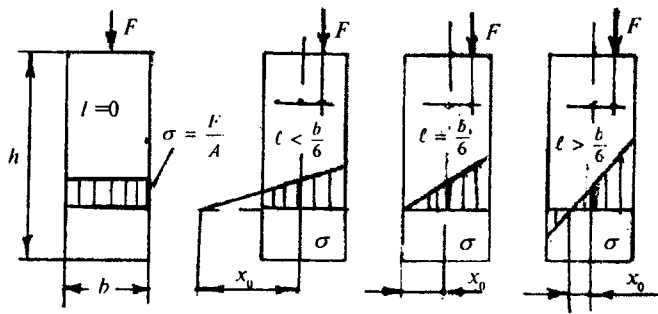
**Кесим ядроси.** Техникада ва қурилишда учрайдиган айрим материаллар (бетон, гишт, ёғоч, чўян, шиша) чўзилиш ва сиқилишга бир хил қаршилик кўрсата олмайди. Бундай материалларнинг кесим юзасида икки хил ишорали кучланиш ҳосил бўлиши ноқулай, яъни мақсад-

га мувофиқ эмас.

Масалан, мўрт материаллар сиқилишга нисбатан чўзилишда тез емирилади. Шунинг учун мўрт материалдан тайёрланган бруслар марказлашмаган сиқилишга учраса, кўндаланг кесим юзасида бир хил ишорали кучланиш (сиқувчи) ҳосил бўлгани маъкул. Бунинг учун кесимнинг нейтрал ўқининг эгаллаган ўрнини ўзгартириш керак. Масалан, (10.20) формулага асосан  $X_o$  ва  $Y_o$  масофаларни шундай танлаш мумкинки, бу ҳолатда нейтрал ўқ кесимнинг контурига  $D$  нуқтада уринма бўлиб қолади. Унда



$F$  күч кесимнинг марказига яқинлашади ва 2 нуқтада жойлашади. Худди шундай 3,4,5 нуқталарни кесимнинг маркази атрофига айлантирасак, бу нуқталарга мос равишда 3,4,5 чизиқлар, яъни нейтрал ўқларнинг ҳолатлари тўғри келади. Нейтрал



282-расм.

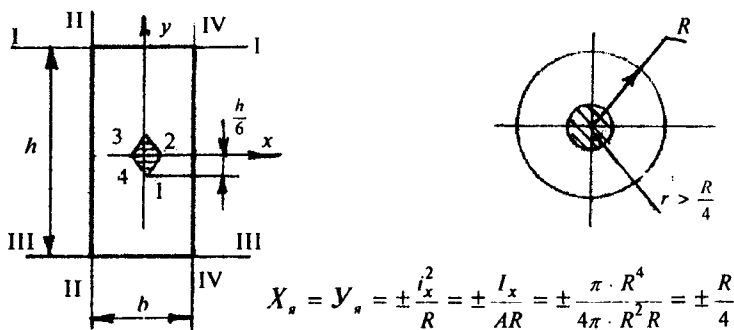
ўқлар кесимнинг сиртига уринма бўлиб жойлашади. Нейтрал ўқларнинг бу ҳолатларига тўғри келадиган чексиз куч нуқталарни кесимнинг маркази атрофига айлантирилишида ҳосил бўлган эгри чизиқли соҳа кесим ядроси дейилади.

Кесим ядроси ичига қўйилган ҳар қандай ташқи куч кесим юзасида бир хил ишорали кучланишни юзага келтиради.

Масалан, томонлари  $b$  ва  $h$  бўлган тўғри тўртбурчакли кесим учун кесим ядросини топамиз. Бунинг учун кесимнинг томонларига уринмалар ўтказамиз, I—I уринмани  $XOY$  координата системаидаги координаталари:  $X_o = -\frac{i_y^2}{x_n}$  ва  $Y_o = -\frac{i_x^2}{y_n}$  формулаларидан фойдаланиб кесим ядросининг координаталарини топамиз:

$$X_F = X_n = -\frac{i_y^2}{\infty}; \quad Y_F = Y_n = -\frac{i_x^2}{h} = -\frac{2I_x}{hA} = -\frac{2bh^3}{12bh^2} = -\frac{h}{6}$$

Шундай қилиб, I—I уринмага тўғри келувчи кесим ядросининг 1 нуқтаси  $OY$  ўқидан  $Y_n = -\frac{h}{6}$  масофада жойлашади. III—III уринмага тўғри келадиган кесим ядросининг 3 нуқтаси ҳам  $OY$  ўқидан  $Y_n = \frac{h}{6}$  масофада жойлашади. II—II ва IV—IV уринмалар учун  $Y_n = 0$

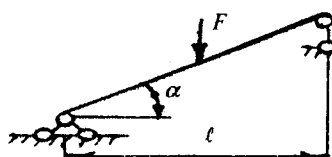


283-расм.

ва  $X_s = Y_s = \pm \frac{h}{6}$  ҳосил бўлади. 1, 2, 3, 4 нуқталарни тўғри чизиқлар билан туташтирасак, ромб ҳосил бўлади (283-расм). Доиравий кесим учун кесим ядроси доиранинг маркази атрофида жойлашган ва радиуси  $r = \frac{R}{4}$  бўлган доира бўлади (283-расм).

#### 10.4. ЭГИЛИШ БИЛАН ЧЎЗИЛИШНИ ЁКИ СИҚИЛИШНИНГ БИРГАЛИҚДАГИ ТАЪСИРИ

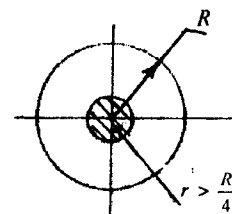
Ташқи  $F$  куч билан юкланган балка шарнирли таянчга таянган ва горизонтга нисбатан  $\alpha$  бурчакда жойлашган (284-расм)  $F$  кучни балка кесимиининг бўйлама ўқига ва нормалига проекциялаш мумкин (285-расм):



284-расм.

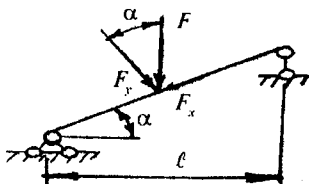
$F_y$  куч таъсирида балка оддий кўндаланг эгилишда бўлади.

Натижада балканинг кўндаланг кесимида эгилишдаги, яъни эгувчи момент таъсиридаги нормал кучланиш ҳосил бўлади (286-а расм).



$F_x$  күч таъсирида балка сиқилади. Натижада балканинг кўндаланг кесим юзасида тенг тарқалган сиқувчи нормал кучланиш ҳосил бўлади (286-б расм):

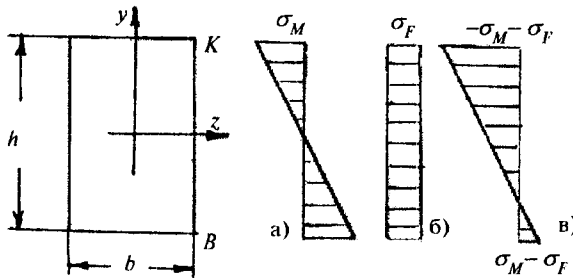
$$\sigma_F = -\frac{F}{A}$$



285-расм.

Балка кесимининг четки нуқтадаридаги тўлиқ кучланиш  $\sigma_M$  ва  $\sigma_F$  кучланишларининг йиғиндисига тенг бўлади (286-в, расм):

$$\sigma = \pm \frac{M}{W_z} \pm \frac{F}{A} \quad \text{ёки} \quad \sigma_k = -\frac{M}{W_z} - \frac{F}{A} \quad \text{ва} \quad \sigma_B = \frac{M}{W_z} - \frac{F}{A}$$



286-расм.

**1-масала.** Берилган  $F = 15 \text{ kH}$ ;  $\ell = 2 \text{ m}$ ;  $h : b = 2,5$

Балка кесимининг ўлчамлари аниқлансан ин ва хавфли нуқтадардаги кучланишлар топилсан ин (287-расм).

Балканинг таянч кесимидағи  $M_x$  ва  $M_y$  эгуви моментаарни аниқлаймиз ва эпюрасини қурамиз:

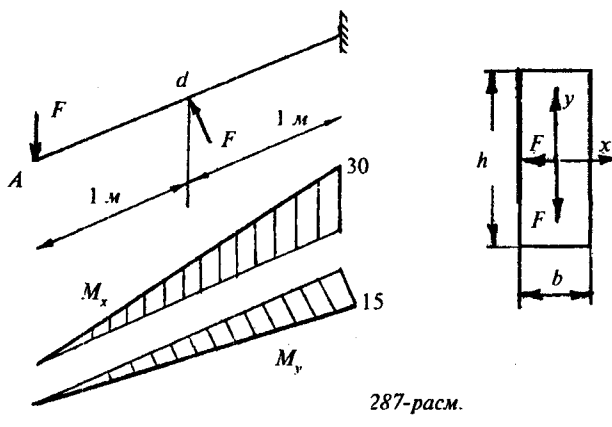
$$M_x = 2F = 30 \text{ кНм}$$

$$M_y = F = 15 \text{ кНм}$$

Балканинг мустаҳкамлик шартини ёзамиш:

$$\sigma_{\max} = \frac{M_x}{W_x} + \frac{M_y}{W_y} \leq [\sigma]$$

$$\text{ва} \quad \frac{6M_x}{bh^2} + \frac{6M_y}{b^2h} \leq [\sigma]$$



287-расм.

Агар  $h = 2,5 b$  ни ва  $M_x$ ,  $M_y$  моментларининг қийматларини ҳисобга олсақ, мустаҳкамлик шартидан кесимнинг эни —  $b$  ни топамиз:

$$b = \sqrt[3]{\frac{405}{6,25 \cdot 8 \cdot 10^3}} \approx 0,2 \text{ м}$$

Кесимнинг баландлиги  $h = 2,5 \cdot 0,2 = 0,5$  м. Нейтрал ўқнинг ҳолатини аниқлайдаймиз:

$$|\operatorname{tg} \varphi| = \left| \frac{M_y}{M_x} \cdot \frac{I_x}{I_y} \right| = \operatorname{tg} \beta \frac{I_x}{I_y}$$

Бу ерда  $I_x = \frac{bh^3}{12}$  ва  $I_y = \frac{b^3h}{12}$  кесимнинг  $X$  ва  $Y$  ўқлагрига нисбатан инерция моментлари;  $\operatorname{tg} \beta = \frac{M_y}{M_x} = \frac{15}{30} = 0,5$  — нейтрал ўқнинг бурчак коэффициенти.

$$I_x = \frac{0,2 \cdot (0,5)^3}{12} = 2,1 \cdot 10^{-3} \text{ м}^4; \quad I_y = \frac{0,5 \cdot (0,2)^3}{12} = 3,4 \cdot 10^{-4} \text{ м}^4$$

$$\operatorname{tg} \varphi = \frac{2,1 \cdot 10^{-3}}{3,4 \cdot 10^{-4}} \cdot 0,5 = 4,242 \quad \text{ёки} \quad \varphi = 76^\circ$$

Агар куч таъсир чизиги I—III чораклардан ўтса, нейтрал ўқ II—IV чораклардан ўтиши керак; агар кучнинг

таъсир чизиги II—IV чораклардан ўтса, нейтрал чизик I—III чораклардан ўтиши керак. Кесимнинг  $C$  ва  $K$  нуқталари нейтрал ўқдан энг узоқда жойлашганлиги учун нормал кучланиш катта қийматга эришади. Иккита нуқтадан  $C$  нуқта энг хавфли ҳолатда, чунки бу нуқтада чўзувчи кучланиш ҳосил бўлади.

$$\sigma_c = \frac{M_x}{I_x} \cdot y_c + \frac{M_y}{I_y} \cdot x_c$$

$$\text{Бу ерда: } x_c = \frac{b}{2} = 0,1 \text{ м}, \quad y_c = \frac{h}{2} = 0,25 \text{ м}$$

$C$  нуқта координатлари. У ҳолда:  $\sigma_c = -7982 \frac{\text{kH}}{\text{м}^2}$

Балка эркин учининг ( $A$  нуқта) тўлиқ салқилигини топамиз:

$$f = \sqrt{f_x^2 + f_y^2} = \sqrt{\left(\frac{F\ell^3}{3EI_y}\right)^2 + \left(\frac{F\ell^3}{3EI_x}\right)^2} = \frac{F\ell^3}{3E} \sqrt{\frac{1}{(8I_y)^2} + \frac{1}{(I_x)^2}} =$$

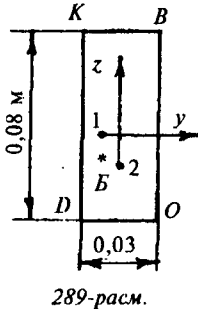
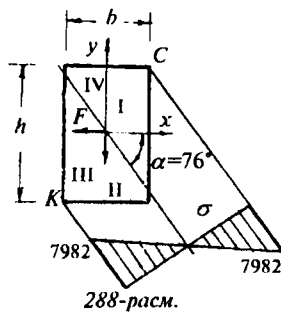
$$= \frac{15 \cdot 8}{3 \cdot 2 \cdot 10^8} \sqrt{\frac{1}{(8 \cdot 0,00034)^2} + \frac{1}{(0,0021)^2}} = 33,34 \cdot 10^{-5} \text{ м}$$

**2-масала.** Узунлиги  $\ell = 1,5 \text{ м}$  бўлган пўлат стержень  $F = 60 \text{ кН}$  куч таъсирида чўзилади. Тўғри бурчакли кесимнинг  $K$ ,  $C$ ,  $B$ ,  $D$  нуқталарининг кучланишлари топилсин.

**Ечиш.** Кесимнинг  $B$  нуқтасининг координаталари  $y_B = -1 \text{ см}$  ва  $Z_B = -2 \text{ см}$ . Стержень кўндаланг кесим юзасининг геометрик тавсифларини топамиз:

$$\text{Кесим юзаси } A = 3 \cdot 8 = 24 \text{ см}^2 = 2,4 \cdot 10^{-3} \text{ м}^2$$

Инерция радиуслари:



$$i_y^2 = \frac{I_y}{A} = \frac{0,03(0,08)^3}{12 \cdot 2,4 \cdot 10^{-3}} = 0,0534 \cdot 10^{-2} \text{ м}^2$$

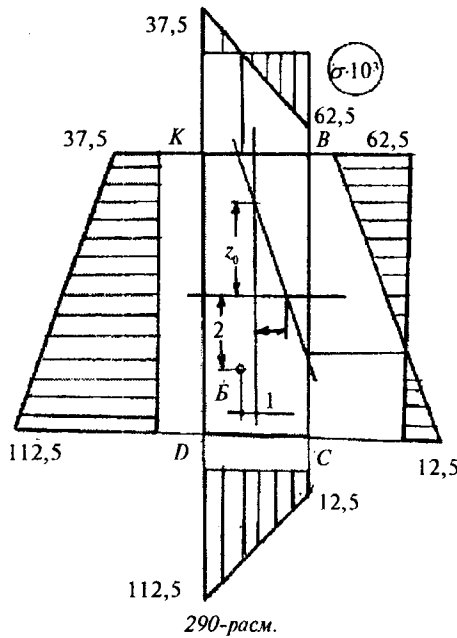
$$i_z^2 = \frac{I_z}{A} = \frac{0,08(0,03)^3}{12 \cdot 2,4 \cdot 10^{-3}} = 0,075 \cdot 10^{-3} \text{ м}^2$$

Кесим нейтрал ўқининг ҳолатини қўйидаги тенгламадан топамиз:  $1 + \frac{y_F \cdot y_O}{i_z^2} + \frac{z_F \cdot z_O}{i_y^2} = 0$

Агар  $Z_o = 0$  бўлса,  $y_0 = -\frac{i_z^2}{y_F} = \frac{0,075 \cdot 10^{-3}}{0,01} = 7,5 \cdot 10^{-3} \text{ м}$

Агар  $y_o = 0$  бўлса,  $Z_0 = -\frac{i_y^2}{z_F} = \frac{0,0534 \cdot 10^{-2}}{0,02} = 2,67 \cdot 10^{-2} \text{ м}$

Демак, нейтрал ўқ кесимнинг  $ZOY$  координата ўқларининг мусбат чорагидан  $y_o$  ва  $Z_o$  масофаларда кесиб ўтар экан.



Кесимнинг КВСД нуқталаридағи нормал күчланишларни қуидаги формуладан топамиз:

$$\sigma = \frac{F}{A} \left( 1 + \frac{y_F y}{i_z^2} + \frac{z_F z}{i_y^2} \right)$$

*K* нуқтанинг күчланиши:  $z_k = 0,04 \text{ м}$ ;  $y_k = -0,015 \text{ м}$

$$\sigma_k = \frac{60}{2,4 \cdot 10^{-3}} \left[ 1 + \frac{(-0,01)(-0,015)}{0,075 \cdot 10^{-3}} + \frac{(-0,02)(-0,04)}{0,0534 \cdot 10^{-2}} \right] = 37,5 \cdot 10^3 \frac{\text{kH}}{\text{м}^2}$$

*B* нуқтанинг күчланиши:  $z_c = 0,04 \text{ м}$ ;  $y_c = -0,015 \text{ м}$

$$\sigma_B = \frac{60}{2,4 \cdot 10^{-3}} \left[ 1 + \frac{(-0,01)0,015}{0,075 \cdot 10^{-3}} + \frac{(-0,02)0,04}{0,0534 \cdot 10^{-2}} \right] = -62,5 \cdot 10^3 \frac{\text{kH}}{\text{м}^2}$$

*C* нуқтанинг күчланиши:  $z_c = 0,04 \text{ м}$ ;  $y_c = -0,015 \text{ м}$

$$\sigma_c = \frac{60}{2,4 \cdot 10^{-3}} \left[ 1 + \frac{(-0,01)0,015}{0,075 \cdot 10^{-3}} + \frac{(-0,02)(-0,04)}{0,0534 \cdot 10^{-2}} \right] = 12,5 \cdot 10^3 \frac{\text{kH}}{\text{м}^2}$$

*D* нуқтанинг күчланиши:  $z_d = 0,04 \text{ м}$ ;  $y_d = -0,015 \text{ м}$

$$\sigma_d = \frac{60}{2,4 \cdot 10^{-3}} \left[ 1 + \frac{0,01 \cdot 0,015}{0,075 \cdot 10^{-3}} + \frac{0,02 \cdot 0,04}{0,0534 \cdot 10^{-2}} \right] = 112,5 \cdot 10^3 \frac{\text{kH}}{\text{м}^2}$$

Кесимнинг КВ; ВС; СД ва ДК томонларининг күчланиш эпюраси 290-расмда күрсатылган.

**3-масала.** Пұлатдан тайёрланған вал минутига  $n = 900$  маротаба айланади ва етакланувчи шкивлари билан  $N_2 = 10 \text{ kNm}$  ва  $N_3 = 20 \text{ kNm}$  қувват узатади. Валнинг диаметри топилсін (291-расм).

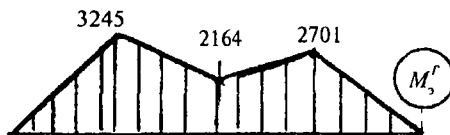
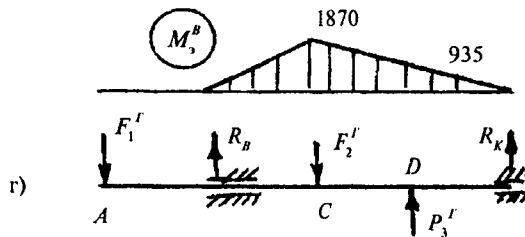
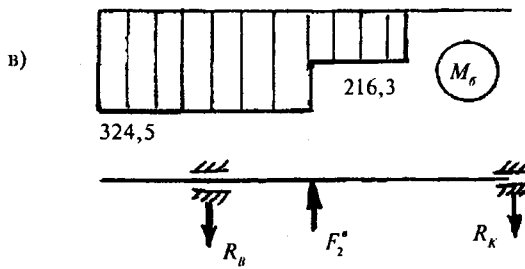
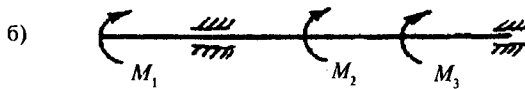
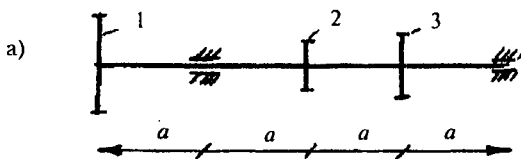
Берилған:

$$D_1 = 0,6 \text{ м}; \quad D_2 = 0,2 \text{ м}; \quad D_3 = 0,4 \text{ м}; \quad a = 1 \text{ м}$$

$$\alpha_1 = 0^\circ; \alpha_2 = 60^\circ; \quad \alpha_3 = 180^\circ$$

**Ечиш.** Етакловчи шкивнинг узатастыған қуввати етакланувчи шкивлар қувватларининг йиғиндисига тенг бўлади:

$$N_1 = N_2 + N_3 = 10 + 20 = 30 \text{ kNm}$$



291-расм.

Шкивлардаги буровчи моментларни топамиз (291-брасм):

$$M_1 = 973,6 \frac{N_1}{n} = 973,6 \frac{30}{900} = 324,5 \text{ Нм}$$

$$M_2 = 973,6 \frac{N_2}{n} = 973,6 \frac{10}{900} = 108,2 \text{ Нм}$$

$$M_3 = 973,6 \frac{N_3}{n} = 973,6 \frac{20}{900} = 216,3 \text{ Нм}$$

Буровчи моментларнинг йўналишлари етакловчи ременларнинг тортишиш кучлари йўналишлари билан мос. Шкивлардаги моментлар етакланувчи ременнинг тортишиш кучлари билан қуидагича боғланишда:

$$M_1 = M_2 = t \cdot \frac{D}{2}$$

$$t_1 = \frac{2M_1}{D_1} = \frac{2 \cdot 324,5}{0,6} = 1081,6$$

$$t_2 = \frac{2M_2}{D_2} = \frac{2 \cdot 108,2}{0,2} = 1081H$$

$$t_3 = \frac{2M_3}{D_3} = \frac{2 \cdot 216,3}{0,4} = 1081H$$

Бу ерда етакловчи ва етакланувчи ременларнинг тортишиш кучларининг валга нисбатан босим кучини аниқлаймиз:

$$P_1 = 3t_1 = 3 \cdot 1081,67 = 3245H; \quad P_2 = 3t_2 = 3 \cdot 1081 = 3243H$$

$$P_3 = 3t_3 = 3 \cdot 1081 = 3245H$$

Ременлар шкивга турли бурчаклар остида жойлаштирилгани учун тортишиш кучларининг валга нисбатан босими ҳам шу бурчак остига йўналади.  $F_1$ ,  $F_2$  ва  $F_3$  кучларнинг вертикал (291-в расм)  $P_1^B = 0$ ;  $F_2^B = F_2 \cdot \sin 60^\circ = 3243 \cdot 0,866 = 2805,8H$ ;  $F_3^B = 0$  ва горизонтал текисликларидаги ажратувчиларни топамиз (291-г расм):

$$F_1^T = F_1 = 3245 \text{ H}; \quad F_3^T = -F_3 = -3245 \text{ H}$$

$$F_2^T = F_2 \cdot \cos 60^\circ = 3245 \cdot 0,5 = 1621,5 \text{ H}$$

Вертикал текислиқ:  $\sum M_B = 0; \quad F_2^B \cdot 1 - R_k \cdot 3 = 0$

$$\text{дан } R_k = \frac{F_2^B \cdot 1}{3} = \frac{2805,81}{3} = 936,3 \text{ H}$$

$$\sum M_k = -F_2^B \cdot 2 + R_B \cdot 3 = 0 \quad \text{дан } R_B = \frac{2 \cdot 2805,8}{3} = 1870,5 \text{ H}$$

Текшириш:  $\sum y = -1870,5 + 2805,8 - 936,3 = 0$

Әгүвчи момент  $M_s^B$  ни аниқтаймиз:  $0 \leq x_1 \leq 1 \text{ m}$ ;

$$M_s^B = -R_B \cdot x_1$$

$x_1 = 0$  бўлса,  $M_s^B = 0$  ва  $x_1 = 1$  бўлса,  $M_s^B = -1870,8 \text{ Nm}$

$$0 \leq x_2 \leq 2 \text{ m}; \quad M_s^B = -F_k \cdot x_2$$

$x_2 = 0$  бўлса,  $M_s^B = 0$  ва  $x_2 = 2$  м бўлса,  $M_s^B = -1870,5 \text{ Nm}$

Горизонтал текислиқ:

$$\sum M_B = F_1^T \cdot 1 - F_2^T \cdot 1 + F_3^T \cdot 2 - R_k \cdot 3 = 0$$

$$R_k = \frac{F_1^T \cdot 1 - F_2^T \cdot 1 + F_3^T \cdot 2}{3} = \frac{3245 - 1621,5 + 3243 \cdot 2}{3} = 2701 \text{ H}$$

$$\sum M_K = F_1^T \cdot 4 - R_B^T \cdot 3 + F_2^T \cdot 2 - F_3 \cdot 1 = 0$$

$$R_B = \frac{F_1^T \cdot 4 + F_2^T \cdot 2 - F_3 \cdot 1}{3} = \frac{3245 \cdot 4 + 1621,5 - 3243 \cdot 1}{3} = 4326,7 \text{ H}$$

Әгүвчи момент  $M_s^T$  ни аниқтаймиз:  $0 \leq x_1 \leq 1 \text{ m}$ ;

$$M_s^T = -F_1 x_1$$

$x_1 = 0$  бўлса,  $M_s^T = 0$  ва  $x_1 = 1$  бўлса,  $M_s^T = -3245 \text{ Nm}$

$$0 \leq x_2 \leq 1 \text{ m}; \quad M_s^T = -F_1^T (1 + x_2) + R_B x_2$$

$$x_2 = 0 \text{ бўлса, } M_s^T = -3245 \text{ Nm} \text{ ва}$$

$x_2 = 1$  м бўлса,  $M_s^r = -2164$  Нм

$$0 \leq x_3 \leq 1 \text{ м}; \quad M_s^r = -F_1^r(1 + x_3) + R_B(1 + x_3) - F_2^r x_3$$

$x_3 = 0$  бўлса,  $M_s^r = -2164$  Нм ва

$x_3 = 1$  м бўлса,  $M_s^r = -2701$  Нм

$$0 \leq x_4 \leq 1 \text{ м}; \quad M_s^r = -R_k \cdot x_4$$

$x_4 = 0$  бўлса,  $M_s^r = 0$  ва

$x_4 = 1$  м бўлса,  $M_s^r = -2701$  Нм

Тўлиқ эгувчи моментни  $M_s^B$  ва  $M_s^r$  моментларнинг йиғиндиси сифатида топамиз:  $M_x^2 = (M_s^B)^2 + (M_s^r)^2$

$$M_{xA} = 0; \quad M_{xB} = \sqrt{0 + (M_s^r)^2} = 3245 \text{ Нм}$$

$$M_{xc} = \sqrt{(2164)^2 + (1870,8)^2} = 2862 \text{ Нм}$$

$$M_{xo} = \sqrt{(2701)^2 + (935,3)^2} = 2862 \text{ Нм}; \quad M_{xx} = 0$$

Эгувчи ва буровчи момент эпюраларига асосан *B* таянч кесими хавфли ҳолатда бўлади (291-в, г расм).

III— мустаҳкамлик назариясига асосан келтирилган моментни топамиз:

$$M_{\text{кел}} = \sqrt{M_x^2 + M_6^2} = \sqrt{(3245)^2 + (324,5)^2} = 3261,2 \text{ Нм}$$

$$\sigma_{\max} = \frac{M_{\text{кел}}}{W} \leq [\sigma] \quad \text{ёки} \quad \frac{32M_{\text{кел}}}{\pi \cdot d^3} = [\sigma]$$

Бу ерда:

$$d = \sqrt[3]{\frac{32M_{\text{кел}}}{\pi[\sigma]}} = \sqrt[3]{\frac{32 \cdot 3261,2}{3,14 \cdot 8 \cdot 10^7}} = 0,0746 = 74,6 \text{ мм}$$

$d = 80$  мм деб қабул қиласиз.

### *Савол ва топшириклар*

1. Мураккаб қаршиликлар нима?
2. Мураккаб қаршиликлар турларини айтинг.
3. Вални буралиш билан эгилишида кесим юзасида қандай кучланишлар ҳосил бўлади?
  4. Буралиш билан эгилишда мустаҳкамлик шартини ёзинг.
  5. Валнинг диаметрини аниқланг.
  6. Қийшиқ эгилиш схемасини чизинг.
  7. Қийшиқ эгилишда нейтрал ўқ тенгламасини ёзинг?
  8. Қийшиқ эгилишда мустаҳкамлик шарти формуласини ёзинг.
  9. Қийшиқ эгилишда мустаҳкамлик шарти формуласидан фойдаланиб кесимни танланг.
  10. Марказий бўлмаган чўзилиш ва сиқилишда нормал кучланиш формуласини ёзинг.
  11. Марказий бўлмаган чўзилиш ва сиқилишда кесимнинг нейтрал ўқ тенгламасини ёзинг.
  12. Марказий бўлмаган чўзилиш ва сиқилишда мустаҳкамлик шарт формуласини ёзинг.
  13. Кесим ядроси нима?
  14. Марказий бўлмаган чўзилиш ва сиқилишда деформация қандай аниқланади?
  15. Марказий бўлмаган чўзилиш ва сиқилишида нормал кучланиш стержень кесим юзасида қандай қонуният билан ўзгариади?

## ХІ Б О Б

### СИҚИЛГАН СТЕРЖЕНЛАРНИ УСТУВОРЛИККА ХИСОБЛАШ

**Устуворлик ҳақида түшүнчә.** Күпгина инженерлик иншоотларини ҳисоблашда уларнинг мустаҳкамлик шарти билан бир қаторда устуворлиги ҳам таъминланиши керак.



292-расм.

Ботиқ ёки қабариқ сирт устида ётган шарнинг мувозанат ҳолати устувор ёки ноустувор мувозанатга мисол бўлади.

Ботиқ сиртда жойлашган шар исталган ҳолатга оғдирилганда ҳам ўзининг

дастлабки вазиятига қайтади. Шунинг учун шар ботиқ сиртда устувор мувозанатда.

Қабариқ сиртда жойлашган шар кичик миқдорга оғдирилганда пастга думалаб кетади. Шунинг учун бу шар ноустувор ҳолатда.

Секин-аста ўсувчи куч таъсирида стержень сиқилса, кучнинг бирор критик қийматида стержень ўзининг тўғри чизиқли ҳолатини йўқотади (293-расм). Стерженнинг устувор мувозанат ҳолати бузилади. Агар, кучни шу қийматида ушлаб турилса, стерженда мувозанат ҳолат юзага келади ва стерженнинг янги устувор мувозанати содир бўлади.



293-расм.

Агар сиқувчи куч катталаштирилса, стерженнинг ноустуворлиги ошади ва яна кучнинг қиймати ошса, стержень емирилиши мумкин.

Демак, стержень тўғри чизиқли ҳолатидан четга чиқиши ноустувордир. Ноустувор стержень бўйлама эгилиш ҳолатида бўлади. Бўйлама эгилиши жуда хавфлидир, чунки сиқувчи куч озгина ортирилганда стерженнинг эгилиши тез ортади. Натижада эгилишда бўладиган кучланиш ҳам тез ортади, стержень емирилиши мумкин.

Сиқувчи кучнинг критик қийматида стерженнинг кўндаланг кесимида критик кучланиш ҳосил бўлади:

$$\sigma_{\kappa} = \frac{F}{A} \quad (11.1)$$

Устуверликка нотўғри ҳисоблаш оқибатида жуда кўп конструкцияларнинг емирилиши содир бўлган.

Масалан, 1907 йил АҚШда Шимолий Лаврентия дарёсига қурилган, бош пролёти 549 м бўлган консол системали катта кўприк ағдарилиб тушган. 9000 тоннали конструкция бутунлай ишдан чиқсан; конструкциянинг катта қисми сувга 40 м чуқурликка чўкиб 74 киши ҳалок бўлган. Шундай воқеа Квебек дарёсидаги кўприкда ҳам икки ма-ротаба содир бўлган.

1981 йил май ойида Швейцариянинг Менхенштейн қишлоғидаги кўприкда бўлган ҳалокатли ҳодиса сиқилган стерженларнинг устуверликка пухта ҳисоблаш нақадар зарур ва муҳимлигини кўрсатувчи сабоқдир. Ҳалокат рўй берган пайдада кўприкдан узунлиги 42 м бўлган ва 12 вагондан иборат бўлган пассажир поезди ўтган. Паровоз кўприкдан ўтиб бўлган, лекин дарёга қулаган бта вагон уни ҳам тортиб кетган. Фалокатда кўп киши ўлган ва 200 киши ярадор бўлган. Фалокат ферманинг сиқилган тирговчуларидан бири устуверлигини йўқотиши натижасида содир бўлган.

## 11.1. КРИТИК КУЧНИ АНИҚЛАШ ЭЙЛЕР ФОРМУЛАСИ

Икки учи шарнирли таянчга таянган ўзгармас кесимили сиқилаётган стержендаги критик кучни топиш учун стержень эгилган ўқининг дифференциал теигламасидан фойдаланамиз (294-расм). Сиқилаётган стерженнинг деформацияси эластик бўлиб, критик куч таъсирида стерженнинг кўндаланг кесимида ҳосил бўлган кучланиш стержен материалининг пропорционаллик чегарасидаги кучланишдан катта бўлмайди:

$$\frac{d^2y}{dx^2} = -\frac{M}{EI} = -\frac{Fy}{EI} \quad \text{ёки} \quad \frac{d^2y}{dx^2} + K^2 \cdot y = 0 \quad (11.2)$$

$$\text{Бу ерда: } K^2 = \frac{F}{EI} \quad (11.3)$$

(11.2) дифференциал тентгламанинг интегралы қуйидаги-ча ёзилади:

$$y = a \cdot \sin kx + b \cdot \cos kx \quad (11.4)$$

Бу ерда:  $a$ ,  $b$  — интеграллаш доимийликлари, стер-жень учлари таяниш шартларидан топилади.

Масалан: 1) Биринчи шарт:  $X = 0$  бўлганида,  $Y = Y_C = 0$  ва  $b = 0$  бўлади. Унда стержень эгилган ўқининг тентглама-си қуйидагича ёзилади:

$$y = a \cdot \sin kx$$

Бу тентгламадан аниқки, стерженнинг эгилган ўқи синусоида экан, яъни стержень синусоида бўйича эгилади.

2) Иккинчи шарт:  $x = \ell$  да  $y = y_B = 0$  бўлади. Бу ерда  $a \neq 0$ , демак,  $\sin k\ell = 0$ . Бу ҳол учун  $K\ell = \pi, 2\pi, \dots, n\pi$  эканлигини топамиз. Бу ерда,  $K = \frac{\pi}{\ell}$  ёки  $K^2 = \frac{n^2\pi^2}{\ell^2}$  ни ҳисобга олсак, (11.3) формуладан критик кучни топамиз.

$$F_k = \frac{n^2\pi^2 EI}{\ell^2} \quad (11.5)$$

$n$  — ихтиёрий бутун сон.

(11.5) формула Эйлер формуласи. Шундай қилиб, ен-гил эгилган стерженни мувозанатда ушлайдиган куч бир нечта қийматга эга бўлиши мумкин экан. Стерженнинг бўйлама эгилишидаги сиқувчи кучни минимал (энг ки-чик) қиймати  $n = 1$  га тўғри келади.

У ҳолда:

$$F_k = \frac{\pi^2 EI}{\ell^2} \quad (11.6)$$

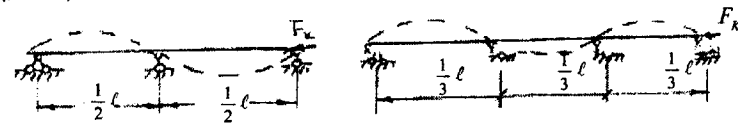
$F_k$  кучнинг бу қийматига стерженнинг ярим тўлқинли синусоида шаклидаги эгилиши тўғри келади:



294-расм.

$$y = a \cdot \sin \frac{\pi x}{\ell} \quad (11.7)$$

Агар  $n = 2$  ва  $n = 3$  бўлса, стерженнинг эгилиши иккита ва учта ярим тўлқинли синусоидал чизиқ бўлади (295-расм).



$$K = \frac{2\pi}{\ell}; \quad y = a \cdot \frac{\sin 2\pi x}{\ell}; \quad F_k = \frac{4\pi^2 EI}{\ell^2} \quad K = \frac{3\pi}{\ell}; \quad y = a \sin \frac{3\pi x}{\ell}, \quad F_k = \frac{9\pi^2 EI}{\ell^2}$$

295-расм.

Стерженнинг бундай эгилишлари ноустувордир.

Эйлер формуласидан кўринишича,  $F_k$  куч стерженнинг бикрлигига тўгри ва стержень узунлиги квадратига тескари пропорционалдир.

Эластиклик чегарасида ишлайдиган стержень учун критик куч стерженнинг геометрик ўлчамлари ва материалнинг эластиклик модулига боғлиқ; стержень тайёрланган материалнинг мустаҳкамлик тавсифномаларига боғлиқ эмас.

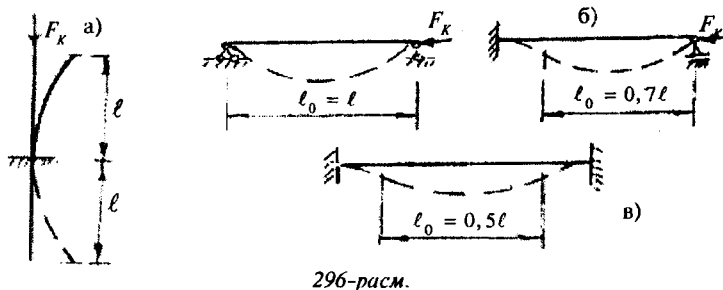
Масалан, юмшоқ ва юқори навли пўлатларда  $E$  қиймати тахминан бир хил бўлганлиги учун уларда критик куч ҳам бир хилдир, яъни улар бир хил критик кучда устуворлигини йўқотади.

Иккита шарнир таянчли стерженнинг эгилишдаги энг катта салқилиги  $x = \frac{\ell}{2}$  масофасидаги нуқтасида ҳосил бўлади:

$$y_{\max} = a \sin kx = a \sin \frac{\pi}{\ell} \cdot \frac{\ell}{2} = a$$

Стержень учларини маҳкамланиш шартини критик кучнинг қийматига таъсирини аниқлаш учун ҳар хил таянчларга таянган стерженларнинг бўйлама эгилишдаги деформацияларини иккита шарнирли таянчга таянган стерженнинг деформацияси билан таққослаймиз. Масалан, бир учи қистириб маҳкамлаб қўйилган стержень деформацияси

икки таянчли стержень деформациясининг ярмисига тенг (296-расм, а).



296-расм.

Демак, бир учи қистириб маҳкамланган стержень учун Эйлер формуласи:

$$F_k = \frac{\pi^2 EI}{\ell_0^2} \quad \text{ёки} \quad F_k = \frac{\pi^2 EI}{(2\ell)^2} = \frac{\pi^2 EI}{4\ell^2} \quad (11.7)$$

Стержень учларининг маҳкамланиш шартларига қўра (296-расм) критик кучнинг формуласини ёзамиш:

$$F_k = \frac{\pi^2 EI}{(\mu\ell)^2} \quad (11.8)$$

Бу ерда:  $\mu$  — келтирилган узунлик коэффициенти;  
 $\ell_0 = \mu \cdot \ell$  — келтирилган узунлик.

## 11.2. ЭЙЛЕР ФОРМУЛАСИНИ ИШЛАТИШ ЧЕГАРАСИНИ АНИҚЛАШ

Критик кучланиш:

$$\sigma_k = \frac{F_k}{A} = \frac{\pi^2 EI}{A\ell^2} = \frac{\pi^2 E}{\left(\frac{\mu\ell}{i}\right)^2} = \frac{\pi^2 E}{\lambda^2} \quad (11.9)$$

Бу ерда:  $i^2 = \frac{I}{A}$  — стержень кесим юзасининг инерция радиуси;

$\lambda = \mu \frac{l}{i}$  — стерженнинг эгилувчанлиги.

(11.9) формуладан маълум бўладики,  $\sigma_k$  стерженнинг эгилувчанлигига боғлиқ. Эйлер формуласини ишлатиш мумкин бўлган чегарани аниқлаймиз. Мустаҳкамлик чегараси  $\sigma_b = 40 \text{ мПа}$  бўлган ст. З пўлат учун:  $E = 2 \cdot 10^5 \text{ мПа}$ ;  $\lambda = 150$  бўлса:

$$\sigma_k = \frac{\pi^2 \cdot 2 \cdot 10^5}{(150)^2} = 87,7 \text{ мПа} \leq 160 \text{ мПа}$$

У ҳолда, стержень мустаҳкамлик чегарасидан паст кучланишда устувор ҳолатини йўқотади.

$$\lambda = 50 \text{ бўлса: } \sigma_k = \frac{\pi^2 \cdot 2 \cdot 10^5}{(50)^2} = 300 \text{ мПа} > [\sigma] = 160 \text{ мПа}$$

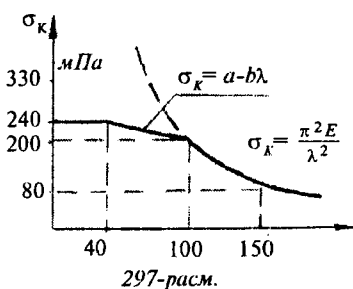
Сиқилаётган стержендаги кучланиш критик кучланишдан кичик қучланишда емирилиш содир бўлади.

Критик кучни аниқлаш учун Эйлер формуласи стержень материалининг Гук қонунига бўйсунадиган чегарада келтириб чиқарилган эди. Шунинг учун Эйлер формуласи ёрдамида топилган критик кучланишни материалнинг пропорционаллик чегарасидаги кучланишдан катта бўлган ҳолларда фойдаланиб бўлмайди.

Агар  $\sigma_k = \sigma_n = 200 \text{ мПа}$  деб олинса, (11.9) формуласидан эгилувчанликнинг чегарашиб қийматини топамиз:

$$\lambda_0 = \sqrt{\frac{\pi^2 E}{\sigma_n}} \quad (11.10)$$

$$\text{ёки } \lambda_0 = \sqrt{\frac{\pi^2 \cdot 2 \cdot 10^5}{200}} \approx 100$$



Шундай қилиб, эгилувчанлиги  $\lambda \geq 100$  стерженлар учун Эйлер формуласи ишлатилиши мумкин (297-расм). Эгилувчанлик 0 дан 40—50 гача бўлганида, стержень калта бўлади. Бундай

стерженлар мустақамлик йүқолиши билан емирилади. Шунинг учун критик күчланиш оқувчанлик (пластик материал) ёки мустақамлик чегарасидаги күчланиш (мұрт материал) га тенг қылиб олинади (297-расм).

Әгилювчанлиги ( $50 \leq \lambda \leq \lambda_0$ ) оралиқда бұлған стерженлар эластик-пластик деформацияланиб, устуорлигини йүқотади. Бунда, критик күчланиш стержень материалининг пропорционаллык ёки оқувчанлик чегараларидаги күчланишга тенг бўлади. Критик күчланишнинг бундай ўзгариши тўғри чизик бўлиб, Ясинский формуласига бўйсунади (297-расм).

Ясинский формуласи қуйидагича ёзилади:

$$\sigma_k = a - b\lambda \quad (11.11)$$

Ст. 3 пўлат учун:

$$\text{Ёғоч учун: } \sigma_k = 3100 - 11,4\lambda$$

$$\text{Чўян учун} \quad \sigma_k = 293 - 1,94\lambda$$

$$\sigma_k = a - b\lambda + c\lambda^2 \quad (11.12)$$

Бу ерда:  $a$ ,  $b$ ,  $c$  — эмпирик коэффициентлар.

Айрим материаллар учун  $a$ ,  $b$ ,  $c$  коэффициентлар:

Материал	$\lambda$	$a$	$B$	$c$
Ст.2, Ст.3	100	3100	11,4	—
Ст.5	100	4640	32,6	—
Сталь 40	90	3210	11,6	—
Кремнис. сталь	100	5890	38,2	—
Сосна	110	193	1,94	—
Чўян	80	7760	120	0,53

### 11.3. СИҚИЛГАН СТЕРЖЕННИНГ КҮНДАЛАНГ КЕСИМДАГИ РАЦИОНАЛ ШАКЛИ

Сиқилган стерженлар учун Эйлер формуласини қўллаб, критик куч топилганда стержень учларининг маҳкамлашишига боғлиқ ҳолда бош текисликларда устуорликни

йўқотишининг турли шакллари бўлиши мумкинлигини иnobatga олиш зарур. Бир учи қистириб маҳкамланган, иккинчи учи эса озод бўлган стерженнинг устуворлиги ҳамда бикрлиги кичик бўлган текисликда йўқолади, чунки бу текисликда этилишга мос келувчи критик куч энг кичик бўлади (298-расм).

$$I_x = \frac{hb^3}{12} \quad \text{ва} \quad I_y = \frac{h^3b}{12}. \quad I_x > I_y$$

Эгилиш  $X$  ўқи текислигига бўлади.

$$F_{1k} = \frac{\pi^2 EI_x}{(\mu_1 t)^2} \quad \text{ва} \quad F_{2k} = \frac{\pi^2 EI_y}{(\mu_2 t)^2} \quad \text{деб қабул қиласлий.}$$

$I_x > I_y$  бўлганлиги учун:  $F_{1k} > F_{2k}$

Стержень иккала бош инерция текислигига ҳам бир хил эгилиши учун  $I_x = I_y$  ёки  $\mu_1 = \mu_2$  бўлиши керак.

Масалан, кесим юзаси иккита швслардан ташкил топган бўлса, уларнинг иккала бош инерция текислигига бир хил устуворликни йўқотишини таъминлаш учун  $I_x = I_y$  тенгликни ҳосил қиласмиз.

Бунинг учун  $a$  масофа шундай танланиши керакки,

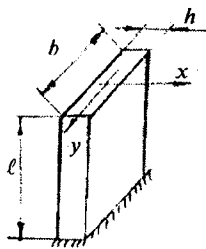
$$2I_{x1} = 2 \left[ I_{y1} + A \left( \frac{a}{2} \right)^2 \right] \quad \text{шарт бажарилсин.}$$

Демак,  $P_{1k} = P_{2k}$  тенглик юзага келади, унда қуйидаги тенг устуворлик шарти ҳосил бўлади:

$$\frac{I_x}{\mu_1^2} = \frac{I_y}{\mu_2^2}$$

Агар,  $\mu_1 = \mu_2$  бўлса ҳам стержень иккала бош инерция текислигига устуворликни бир хил йўқотади.

$i_{min}$  — минимал инерция радиусининг энг катта қийматга олиб келадиган юза рационал кесим бўлади. Ўлчов бирлигисиз тавсифнома танлаймиз:



298-расм

$$\varsigma = \frac{i_{\min}}{\sqrt{A}} \quad (11.13)$$

Кесимнинг рационаллигини  $\varsigma$  нинг қиймати ёрдамида аниқлаймиз:

квадрат	0,289
доира	0,283
түргбурчакли	0,204
швеллер	0,41—0,29
қўштавр	0,41—0,27
бурчак	0,5—0,3
трубасимон ( $d = 0,7\text{--}0,8$ )	1,2—1,0
трубасимон ( $d = 0,95\text{--}0,8$ )	2,25—1,64

#### 11.4. СИҚИЛГАН СТЕРЖЕНЛАРНИ УСТУВОРЛИККА АМАЛИЙ ҲИСОБЛАШ

Сиқилган стерженларни мустаҳкамликда ҳисоблаш ўлчамларини шундай танлаш керакки, уларни эксплуатация қилиш жараёнида куч таъсиридан устуворлик йўқотилмаслиги керак. Бунинг учун сиқилган стерженнинг кесимдаги нормал кучланиши критик кучланишдан кичик бўлиши керак:

$$\sigma = \frac{N}{A_6} < \frac{F_k}{A_6} = \sigma_k \quad (11.14)$$

Бу ерда:  $N$  — сиқувчи куч;  $A_6$  — стерженнинг заифлашган кесим юзаси.

Критик кучланиш материалнинг оқувчанлик чегарасидан пластик материал учун ёки мустаҳкамлик чегарасидан мўрт материаллар учун хавфли бўлиши мумкин. Шунинг учун стерженни устуворликка амалий ҳисоблашда критик кучланишнинг ҳосил бўлишини чеклаш керак, яъни устуворликка эҳтиётлик шартини таъминлаш керак:

$$\sigma = \frac{F_k}{A_6} = [\sigma]_y \quad (11.15)$$

Устуровликка рухсат этилган кучланиш  $[\sigma]$ , устуровликка эҳтиётлик коэффициенти  $(n_y)$  орқали топилади:

$$[\sigma]_y = \frac{\sigma_k}{n_y} \quad (11.16)$$

Устуровликка эҳтиётлик коэффициенти  $n_y$  мустаҳкамликка эҳтиётлик коэффициенти  $n$  дан катта деб қабул қилинади:

Ёғоч —  $n_y = 2,8 \dots 3,2$ ; пўлат —  $n_y = 1,8 \dots 3,0$ ; чўян —  $n_y = 5 \dots 5,5$ .

$[\sigma]$  — стерженнинг мустаҳкамликка рухсат этилган кучланиши;

$\phi$  — мустаҳкамликка рухсат этилган кучланишнинг камайтириш коэффициенти. Коэффициент —  $\phi$  материалнинг этилувчанлигига боғлиқ равишда топилади:  $\lambda = \mu \frac{\ell}{r}$

Ёғоч учун коэффициент —  $\phi$  қўйидаги формуладан топилади:

$$\lambda = 75 \text{ бўлса, } \phi = 1 - 0,8 \left( \frac{\lambda}{100} \right)^2$$

$$\lambda = 75 \text{ бўлганида, } \phi = \frac{3100}{\lambda^2}$$

(11.15) устуровлик шарти қўйидагича ёзилади:

$$\sigma = \frac{F_k}{A_b \cdot \phi} \leq [\sigma] \quad (11.17)$$

Бу шарт орқали стерженнинг кўндаланг кесими танлаши мумкин.

Коэффициент стержень кесимининг ўлчамларига боғлиқ бўлганилиги учун унини қиймати олдиндан берилган бўлмайди. Шунинг учун кесимнинг ўлчамлари аста-секин яқинлашиш усули билан топилади. Биринчи маротаба  $\phi = 0,5$  деб олинади. Кейинги яқинлашишда  $\lambda$  га боғлиқ ҳолда коэффициент  $\phi$  интерполяция усули билан топилади:

$$\phi_1 = \phi' - \frac{\phi' - \phi''}{10} \cdot K$$

Топилган φ ёрдамида кучланиш, аниқланиш ва унинг кучланиши рухсат этилган қиймат билан солиштирилади. Иккала кучланиш орасида фарқ бўлиши мумкин. Агар  $\sigma < [\sigma]$  бўлса, кесим ўлчамининг қиймати кичиклаштирилиши керак, агар  $\sigma > [\sigma]$  бўлса, кесим ўлчамларини ошириш керак. Ҳисобланган кучланиш  $\sigma$  билан кучланишнинг рухсат этилган қиймати орасидаги фарқ 3–5% қилиб олиб борилиши керак.

### 11.5. БЎЙЛАМА ВА КЎНДАЛАНГ ЭГИЛИШ

Чўзилиш ёки сиқилишни эгилиш билан биргалиқдаги таъсирида бўлган стерженнинг кўндаланг кесимидағи тўлиқ кучланишни, кучларнинг мустақиллик принципига асосан, чўзилиш ёки сиқилишдаги ва эгилишдаги кучланишларнинг йиғиндинсига тенг деб қабул қилинган:

$$\sigma_{\max} = \frac{N}{A} + \frac{M}{W} \leq [\sigma] \quad (11.18)$$

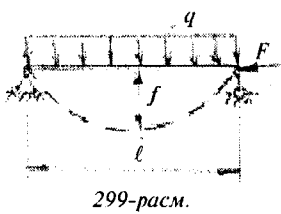
Бу ерда  $M$  фақат кўндаланг куч таъсиридаги эгувчи стержендаги бўйлама сиқувчи куч стерженнинг эгилган ўқини ҳар бир нуқтасига нисбатан қўшимча момент ҳосил қиласди. Натижада стерженнинг кўндаланг кесим юзасидан қўшимча кучланиш келиб чиқади. Ҳавфли кесимдаги энг катта кучланиш қуидагича топилади:

$$\sigma_{\max} = \left| \frac{F}{A} + \frac{M_0}{W} + \frac{F \cdot f}{W} \right| \quad (11.19)$$

$f$  — бўйлама ва кўндаланг кучлар таъсиридаги стерженнинг энг катта салқилиги.

Бўйлама куч чўзувчи бўлса,  $f$  нинг қиймати кичик, агар бўйлама куч сиқувчи бўлса, салқилик сезиларли ва катта. Бўйлама ва кўндаланг эгилишда тўлиқ кучланишни кучларни мустақиллик принципига асосан топиб бўлмайди, чунки  $f$  бу аломатга буюнмайди.

Ингичка ва узун стерженга  $f$  нинг қийматини ҳисобга олмаслик конструкцияни ҳавф холатга олиб келиши мумкин.



299-расм.

Шунинг учун бўйлама ва кўндаланг эгилишга учраётган стерженнинг максимал салқилигини ( $f$ ) топамиз. Бўйлама ва кўндаланг эгилиш таъсиридаги стержень эластик чизиқнинг дифференциал тенгламиши қуидагича ёзилади:

$$EI_y'' = M_0 - Fy \quad (11.20)$$

Бу ерда:  $M_0 = q \frac{\ell}{2}x - q \frac{x^2}{2}$  кўндаланг куч таъсиридаги эгувчи момент. (11.20) тенгламани  $M_0 = EIy_0''$  ни ҳисобга олиб қуидаги кўринишга олиб келамиз:

$$EIy'' = EI \cdot y_0'' - Fy \quad (11.21)$$

(11.21) тенгламанинг  $x = \frac{\ell}{2}$  нуқта учун айрим чеклашлар орқали умумий ечимини ёзамиш:

$$f = f_0 - \frac{1}{1 - \frac{F}{F_k}} = f_0 \cdot c \quad (11.22)$$

Стерженнинг бўйлама ва кўндаланг эгилишдаги энг катта салқилиги, (11.22) формуладан кўринишича, сиқувчи куч критик қийматга эришса, салқилик  $f$  назарий жиҳатдан чексиз бўлиши керак.

$f_0 = \frac{5q\ell^4}{384EI}$  — стерженнинг кўндаланг тақсимланган куч таъсиридаги энг катта салқилиги. Энди бўйлама ва кўндаланг эгилиш учун тўлиқ кучланиш формуласини ёзамиш:

$$\sigma_{\max} = \frac{F}{A} + \frac{M_0}{W} + \frac{F \cdot f_0 \cdot c}{W} = \frac{F}{A} + \frac{M_0 + F \cdot f_0 \cdot c}{W} = \frac{F}{A} + \frac{M_{\max}}{W} \quad (11.23)$$

Бу ерда:  $M_{\max} = M_0 + Ff_0c = \frac{q\ell^2}{3} - Ff_0c$  ёки

$$M_{\max} = \frac{q\ell^2}{3} - \frac{5q\ell^4}{384EI} C = q \frac{\ell^2}{8} \left( 1 + \frac{5F\ell^2}{48EI} C \right)$$

Қавсни қуйидагида ўзгартырамиз:  $\frac{5\pi^2 F \ell^2}{48\pi^2 EI} = \frac{1,028 F}{F_k}$

Ү ҳолда:

$$\begin{aligned} M_{\max} &= q \frac{\ell^2}{8} \left( 1 + \frac{1,028 F}{F_k} C \right) = q \frac{\ell^2}{8} \left( 1 + \frac{F}{F_k} \cdot \frac{F_k}{F_k - k} \right) = \\ &= q \frac{\ell^2}{8} \left( 1 + \frac{F}{F_k - F} \right) = q \frac{\ell^2}{8} \cdot \frac{F_k}{F_k - F} = q \frac{\ell^2}{8} C = M_0 \cdot C \end{aligned}$$

Күчланин:

$$\sigma_{\max} = \frac{F}{A} + \frac{M_0}{W} C = \frac{F}{A} + \frac{M_0}{W} \cdot \frac{F_k}{F_k - F} \quad (11.24)$$

Агар,  $\frac{F}{F_k} \ll 1$  нисбат кичик бўлса, (11.24) формуладаги  $C$  коэффициентнинг қиймати бирга яқин бўлади, яъни:

$$\sigma_{\max} = \frac{F}{A} + \frac{M_0}{W} = \frac{F}{A} + \frac{q\ell^2}{8W} \quad (11.25)$$

Носимметрик кучлар билан юкландган стерженларнинг тўлиқ кўчишини (11.24) формула билан амалда ҳисобласак, хатолик 5–7 % бўлади. Агар,  $F = F_k$  бўлса, σ нинг қиймати чексиз катта бўлади, стержень емирилади. Юқоридаги формулалардан кўринадики, салқилик ва кучланиш кучлар билан чизиқли боғланишда эмас. Агар, куч  $n$  маротаба ошса, кучланиш ундан кўпроқ ортади. Мустаҳкамлик шарти бажарилмайди. Шунинг учун бўйлама ва кўндаланг эгилишдаги стерженнинг мустаҳкамлиги чекли юк бўйича таъминланиши керак, яъни куч  $K_0$  маротаба ошса, стержендаги энг катта кучланиш оқувчанлик чегарасига эришади:

$$\frac{K_o F}{A} + \frac{M_o K}{W} \cdot \frac{1}{1 - \frac{K_o F}{F_k}} = \sigma_{ok}$$

Бу ерда:  $K_o F$  ва  $K_o M$  – чекли юк. Юқоридаги тенгликини қуйидаги ёзамиш:

$$\frac{F}{A} + \frac{q\ell^2}{8W} \cdot \frac{1}{1 - \frac{K_o F}{F_k}} = \frac{\sigma_{ok}}{K_o}$$

Бу ерда:  $\frac{\sigma_{ok}}{K_o} = [\sigma]$  — сиқилишга рухсат этилган кучланыш.

Стерженнинг мустаҳкамлик шартини ёзамиш:

$$\frac{F}{A} + \frac{q\ell^2}{8W} \cdot \frac{1}{1 - \frac{K_o F}{F_k}} = [\sigma]$$

Бу ерда:  $C_o = \frac{1}{1 - \frac{K_o F}{F_k}} = \frac{F_k}{F - K_o F}$  — бўйлама кучнинг кучланишга таъсирини ифодаловчи коэффициент.

Стерженнинг салқилигини чеклаш учун бикрлик шартини ёзамиш:

$$f_{max} = f_o \frac{1}{1 - \frac{K_o F}{F_k}} = f_o \frac{F_k}{F_k - K_f F} \leq [f]$$

$[f]$  — рухсат этилган салқилик;

$K_f$  — салқиликнинг эҳтиётлик коэффициенти.

### *Савол ва топшириқлар*

1. Устуворлик нима?
2. Эйлер формуласини ёзинг.
3. Балка учларининг тирадиши шартларининг Эйлер формуласига таъсири борми?
4. Критик кучланиш қандай формула билан топилади?
5. Эгилувчанлик нима?
6. Эйлер формуласи қандай эгилувчанлик қийматида ишлатилади?
7. Устуворлик шартини ёзинг?

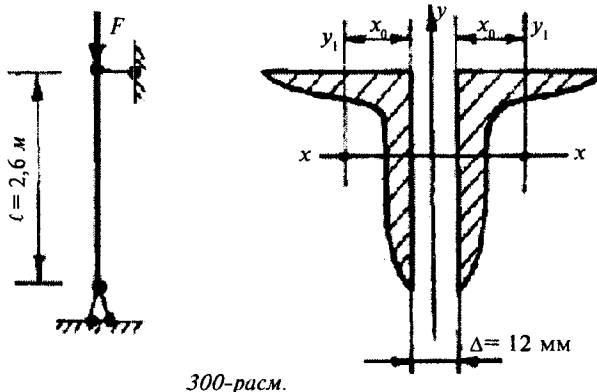
**1-масала.** Кесими тенг ёнли бўлмаган икки бурчакни ўзаро биритиришдан таркиб топган ферма стерженидаги

сиқувчи кучнинг рухсат этилган миқдори аниқлансин.  
Стержень ст. 3 маркали пўлатдан тайёрланган (300-расм ).

$$140 \times 90 \times 6 \text{ тенг томонсиз бурчак учун: } I_{y_0} = 120 \text{ см}^4$$

$$I_{x_0} = 364 \text{ см}^4; x_0 = 2,03 \text{ см}; A = 18 \text{ см}^2$$

**Ечиш.** Рухсат этилган кучни стерженнинг устуворлик шартидан фойдаланиб ёзамиш:  $\sigma_y = \frac{F}{\varphi A} \leq [\sigma]$ , у ҳолда:  
 $[N] = \varphi A [\sigma]$



$\varphi$  — коэффициент миқдорини топиш учун стерженнинг эгилувчанлигини аниқлаш керак. Бу эса ўз навбатида стержень кесимининг минимал инерция моменти ва инерция радиусини топишни талаб этади:

$$I_x = 2I_{x_0} = 2 \cdot 364 = 728 \text{ см}^3$$

$$\begin{aligned} I_y &= 2 \left[ I_{y_0} + (x_0 + 0,5 \cdot \Delta)^2 \cdot A \right] = \\ &= 2 \left[ 120 + (2,03 + 0,5 \cdot 1,2)^2 \cdot 18 \right] = 489 \text{ см}^4 \end{aligned}$$

Шундай қилиб,  $I_y < I_x$  ва минимал инерция радиуси:

$$i_{\min} = \sqrt{\frac{I_y}{A}} = \sqrt{\frac{489}{2 \cdot 18}} = 3,68 \text{ см}$$

Стерженнинг эгилувчанлигини аниқлаймиз:

$$\lambda = \mu \frac{\ell}{i_{\min}} = 1 \cdot \frac{260}{3,68} = 70,65$$

Жадвалдан топилған:

$$\lambda = 70; \varphi' = 0,81$$

$$\lambda = 80; \varphi'' = 0,75$$

Қийматларни интерполяциялаб  $\lambda = 70,65$  әгилувчанликка түрі келадиган коэффициент  $\Phi$  нинг қийматини топамиз:

$$\Phi = 0,81 - \frac{0,81 - 0,75}{10} \cdot 0,65 = 0,806$$

Сиқувчи күчнинг рухсат этилган қиймати:

$$[N] = 0,806 \cdot 2 \cdot 18 \cdot 1600 = 46425,6 \text{ кг} = 464,256 \text{ кН}$$

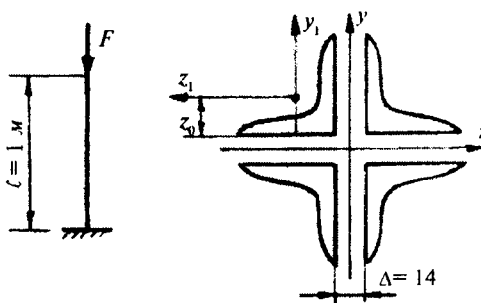
**2-масала.** Кесими түрттә  $90 \times 90 \times 2$  тенг томонли бурчакдан ташкил топган ст. 3 маркалы пұлатдан тайёрланған устуннинг устуорлыққа әхтиётлік коэффициенти  $[n_y] = 2$  учун сиқувчи күчнинг рухсат этилган қиймати топилсін (301-расм).

$90 \times 90 \times 2$  тенг томонли бурчак учун:

$$Z_0 = 2,55 \text{ см}, \quad I_{y_1} = 118 \text{ см}^4, \quad A = 15,6 \text{ см}^2$$

**Ечиш.** Кесимнинг инерция моментини топамиз:

$$I_z = I_y = 4 [I_{z_1} + a^2 \cdot A] = 4 [118 + (3,25)^2 \cdot 15,6] = 1131,1 \text{ см}^4$$



301-расм.

Бу ерда:  $a = Z_0 + 0,5 \cdot \Delta = 2,55 + 0,5 \cdot 1,4 = 3,25 \text{ см}$

Инерция радиуси:

$$i_z = i_y = i_{\min} = \sqrt{\frac{I_z}{\Sigma A}} = \sqrt{\frac{1131,1}{4 \cdot 15,6}} = 4,25 \text{ см}$$

$$\text{Устуннинг эгилувчанлиги: } \lambda = \mu \frac{\ell}{i_{\min}} = \frac{2 \cdot 100}{4,25} = 47,05$$

$\lambda < \lambda_{\text{кр}}$  бўлгани учун критик кучни Эйлер формуласидан топиб бўлмайди. Критик кучни Ясинский формуласидан аниқлаймиз:

$$\begin{aligned} F_{kp} &= \sigma_{kp} \cdot A = (a - b\lambda) \Sigma A = \\ &= (3100 - 11,4 \cdot 47,05) \cdot 4 \cdot 15,6 = 159970,5 \text{ кГ} \end{aligned}$$

Устунга таъсир этувчи рухсат этилган куч:

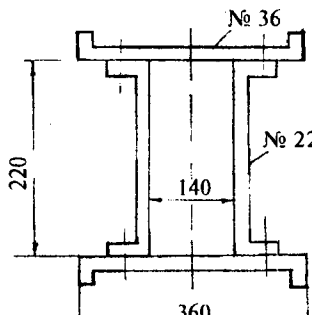
$$[F] = \frac{F_{kp}}{\left[\frac{n_y}{n_y}\right]} = \frac{159,97}{2} = 79,985 \text{ кН}$$

**3-масала.** Куйидаги иккита — 36 ва 22 профилли швеллерлар бирикмасидан тайёрланган колоннанинг схемаси кўрсатилган бирикмани иккита учлари ҳам шарнирли таянчга таянган. Устуворлик ва мустаҳкамлик шартларидан фойдаланиб колоннага қўйилиши мумкин бўлган сиқувчи кучни топинг. Материал ст.3.  $[\sigma] = 160 \text{ мПа}$ ,  $\ell = 9 \text{ м}$ ;  $\mu = 1$ .

**Ечиш.** Кесимдаги швеллерларнинг тавсифларини ёзib оламиз. Кесимнинг ўлчамларини масштабда ифодалаймиз. Колоннанинг кесим юзасини топамиз:

$$A = 2(53,4 + 26,7) = 160,2 \text{ см}^2$$

Кесимнинг минимал инерция моментини параллел ўқларга нисбатан инерция моменти формуласидан топамиз:



302-расм.

$$I_x = 2 \left[ 513 + \left( \frac{22}{2} + 2,68 \right)^2 \cdot 53,4 \right] + 2 \cdot 2110 = 25232,808 \text{ см}^4$$

$$I_y = 2 \cdot 10820 + 2 \left[ 151 + (7 + 2,21)^2 \cdot 26,7 \right] = 26471,607 \text{ см}^4$$

$$I_x = I_{\min} = 25232,808 \text{ см}^4$$

Кесимнинг минимал инерция радиусини топамиш:

$$I_{\min} = \sqrt{\frac{J_{\min}}{A}} = \sqrt{\frac{25232,808}{160,2}} = 12,55 \text{ см}$$

Колоннанинг эгилувчанлиги:

$$\lambda = \mu \frac{\ell}{i_{\min}} = 1 \cdot \frac{900}{12,55} = 71,713$$

$\phi$  ни қийматини топамиш:

$$\begin{array}{ll} \lambda = 70 \text{ да} & \phi' = 0,81 \\ \text{ва} & \lambda = 80 \text{ да} \\ & \phi'' = 0,75 \end{array}$$

$$\text{У ҳолда: } \phi = 0,81 - \frac{0,81 - 0,75}{10} \cdot 1,713 = 0,7997$$

Рұхсат этилган сиқувлы күчни топамиш:

$$[F] = \phi [\sigma] \cdot A = 0,7997 \cdot 1600 \cdot 160,2 = 206979 \text{ кг}$$

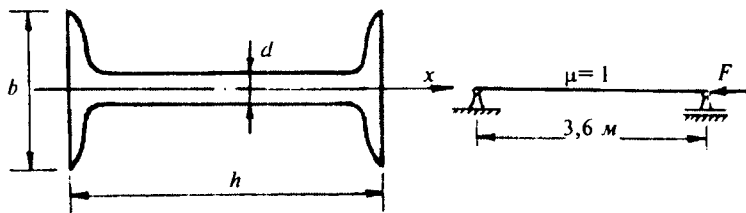
Колоннанинг кесими түрттә парчин мих ўрни билан заифлаштирилған.

$$A_H = A - 4d(0,95 + 0,75) = 160,2 - 4 \cdot 2 \cdot 1,7 = 146,6 \text{ см}^2$$

Колоннанинг мустақамлик шарты  $\sigma_{\max} = \frac{F}{A_H} \leq [\sigma]$  дан рұхсат этилган сиқувлы күчни топамиш:

$$F \leq [\sigma] \cdot A_H = 1600 \cdot 146,6 = 234560 \text{ кг}$$

**4-масала.** Пұлатдан тайёрланған стержень  $F = 28$  т күч билан сиқиляпты. Стерженнинг узунлиғи  $\ell = 3,6$  м ва иккита шарнирли таянчға таянади (303-расм). Стерженнинг устуварлық шартидан фойдаланиб кесими танлансын. Рұхсат этилған күчланиш  $[\sigma] = 1600 \frac{\text{кг}}{\text{см}^2}$ .



303-расм.

**Ечиш.** 1-хисоблаш. Стерженнинг ҳисобланган кесим юзасини топамиз:

$$A = \frac{F}{\varphi [\sigma]} = \frac{28000}{\varphi \cdot 1600} = \frac{17,5}{\varphi}; \quad \varphi = 0,5; \quad A = \frac{17,5}{0,5} = 35 \text{ см}^2$$

Кесим юзаси  $A = 35 \text{ см}^2$  бўлган қўштаврни каталогдан танлаймиз:  $N = 24$  ( $A = 34,8 \text{ см}^2$ ;  $I_y = 198 \text{ см}^4$ ).

Кесимнинг минимал инерция радиусини топамиз:

$$i_{\min} = \sqrt{\frac{I_{\min}}{A}} = \sqrt{\frac{198}{34,8}} = 2,385 \text{ см}$$

Стерженнинг эгилувчанлиги:

$$\lambda = \mu \frac{\ell}{i_{\min}} = 1 \cdot \frac{360}{2,385} = 150,94$$

Жадвалдан ст. 3 материали учун  $\varphi$  нинг қийматини топамиз:

$$\lambda = 150; \quad \varphi' = 0,32$$

$$\lambda = 160; \quad \varphi'' = 0,29$$

Интерполяция усули билан

$$\varphi_1 = 0,32 - \frac{0,32 - 0,29}{10} \cdot 0,94 = 0,317$$

$$\text{ва } \varphi_2 = \frac{\varphi + \varphi_1}{2} = \frac{0,5 + 0,317}{2} = 0,4085 \text{ ни топдик: } \varphi > \varphi_2$$

2-хисоблаш:

$A = \frac{17,5}{0,4085} = 42,84 \text{ см}^2$ . Кесим юзаси 27 а қүштаврни кесим юзасыга яқин:  $A = 43,2 \text{ см}^2$ ;  $I_y = I_{\min} = 337 \text{ см}^4$ . Стерженниң әгилувчанлиги:

$$\lambda = \frac{360}{\sqrt{\frac{337}{43,2}}} = \frac{360}{2,793} = 128,89$$

$$\begin{aligned} \lambda &= 120; & \varphi' &= 0,45 \\ \text{Жадвалдан: } \lambda &= 130; & \varphi'' &= 0,4 \end{aligned}$$

$$\text{У ҳолда: } \varphi_3 = 0,45 - \frac{0,45 - 0,4}{10} \cdot 8,89 = 0,406$$

$$\text{Хақиқий күчланишни топамиз: } \sigma_x = \frac{28000}{43,2} = 648,15 \frac{\text{кг}}{\text{см}^2}$$

Рұхсат этилған күчланиш:

$$[\sigma]_y = \varphi_3 \cdot [\sigma] = 0,406 \cdot 1600 = 649,6 \frac{\text{кг}}{\text{см}^2}; \quad \sigma_x < [\sigma]_y$$

Шунинг учун 27 а қүштаврли кесимни танлаймиз. Стерженниң әгилувчанлиги  $> 100$ . Критик күчни Эйлер формуласи ёрдамида топамиз:

$$F_{kp} = \frac{\pi^2 EI_{\min}}{\ell^2} = \frac{(3,14)^2 \cdot 2 \cdot 10^6 \cdot 337}{(360)^2} \approx 52006 \text{ кг}$$

$$\text{Коэффициент: } K_y = \frac{F_k}{F} = \frac{52006}{28000} \approx 1,86$$

**5-масала.** Пүлатдан тайёранган стержень  $F$  күч билан сиқиляпти (304-расм):

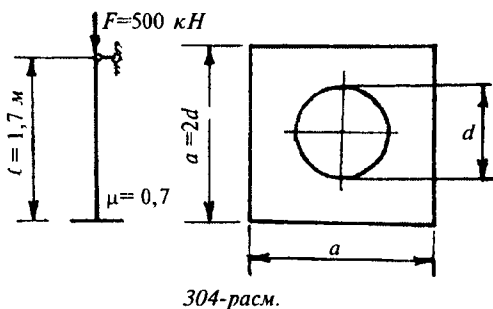
1)  $[\sigma] = 160 \text{ мПа}$  күчланишдан фойдаланиб стержень күндаланг кесимининг геометрик үлчамларини топинг;

2) критик күч анықлансын.

**Ечиш.** Стержень күндаланг кесимининг юзаси:

$$A = a \cdot a - \frac{\pi \cdot d^2}{4} = 2d \cdot 2d - \frac{\pi \cdot d^2}{4} = 3,215d^2$$

Минимал инерция моменти:



$$I_{\min} = I = \frac{a^4}{12} - \frac{\pi \cdot d^4}{64} = \frac{(2d)^4}{12} - \frac{\pi \cdot d^4}{64} = 5,27d^4 \text{ ва инерция}$$

$$\text{радиуси: } i_{\min} = \sqrt{\frac{5,27d^4}{3,215d^2}} = \sqrt{\frac{5,27(0,0441)^2}{3,215}} = 0,0564 \text{ м}$$

1-хисоблаш ( $\varphi = 0,5$ ):

$$A \geq \frac{P}{\varphi[\sigma]} = \frac{500}{0,5 \cdot 160 \cdot 10^3} = 0,00625 \text{ м}^2 \text{ бўлади, у ҳолда:}$$

$$d = \sqrt{\frac{0,00625}{3,215}} = \sqrt{0,001944} = 0,0441 \text{ м}$$

Стерженнинг эгилувчанлиги  $\lambda = 0,7 \frac{1,7}{0,0564} = 21,1$  жадвалдан пўлат материал учун:

$\lambda = 20; \varphi = 0,96$

$\lambda = 30; \varphi = 0,94$  топамиз. Интерполяция усули билан

топилган:  $\lambda = 21,1$  эгилувчанлик учун  $\varphi$  нинг қийматини топамиз:

$\varphi_1 = 0,96 - \frac{0,96 - 0,94}{10} \cdot 1,1 = 0,9578; \varphi_1 = 0,9518$  – биринчи маротаба қабул қилинган  $\varphi = 0,5$  дан фарқ қиласди.

2-хисоблаш:  $\varphi_2 = \frac{\varphi + \varphi_1}{2} = \frac{0,5 + 0,9578}{2} = 0,7289$

$$A \geq \frac{F}{\varphi_2[\sigma]} = \frac{500}{0,7289 \cdot 160 \cdot 10^3} = 0,042872 \text{ м}^2$$

$$d = \sqrt{\frac{F_1}{3,215}} = \sqrt{\frac{0,0042872}{3,215}} \approx 0,036 \text{ м}$$

$$i_{\min} = \sqrt{\frac{5,27d^4}{3,215d^2}} = \sqrt{\frac{5,27 \cdot 0,001296}{3,215}} = 0,046$$

Стерженнинг эгилувчанлиги:  $\lambda = 0,7 \frac{1,7}{0,046} = 25,87$

Жадвалдан:

$$\lambda = 20; \quad \varphi = 0,96$$

$$\lambda = 30; \quad \varphi = 0,94 \quad \text{НИ ТОПАМИЗ:}$$

$$\varphi_3 = 0,96 - \frac{0,96 - 0,94}{10} \cdot 5,87 = 0,94826$$

Топилган  $A = 0,0042872 \text{ м}^2$  кесим юзаси ва  $\varphi_3 = 0,94826$  қийматда устуорликни таъминлаши керак бўлган рухсат этилган кучланишни топамиз:

$$\sigma_y = \frac{F}{\varphi_3 \cdot A} = \frac{500}{0,948 \cdot 0,0043} = 122,6 \cdot 10^3 \frac{\text{Н}}{\text{м}^2} < [\sigma]$$

Демак, стержень ташқи сиқувчи куч билан тўлиқ юкланмаган  $\varphi$  нинг янги қийматини топамиз:

3-ҳисоблаш:

Стержень ўлчами  $d = 0,03 \text{ м}$  деб қабул қиласиз.

У ҳолда:  $A = 3,215d^2 = 3,215(0,03)^2 = 0,00289 \text{ м}^2$  ва кўндаланг кесимнинг инерция радиусини топамиз:

$$i_{\min} = \sqrt{\frac{5,27d^2}{3,215}} = \sqrt{\frac{5,27 \cdot (0,03)^2}{3,215}} = 0,0384 \text{ м}$$

Стерженнинг эгилувчанлиги:  $\lambda = 0,7 \frac{1,7}{0,0384} = 30,98$

Жадвалдан пўлат стержень учун:

$\lambda = 30$  да  $\varphi_4 = 0,94$  ва  $\lambda = 40$  да  $\varphi_4 = 0,92$  ни қабул қиласиз. Интерполяция усули билан

$$\varphi_4 = 0,94 - \frac{0,94 - 0,92}{10} 0,98 = 0,938 \text{ ни топамиз.}$$

$$4\text{-жисоблаш: } \varphi_s = \frac{\varphi_3 + \varphi_4}{2} = \frac{0,9482 + 0,938}{2} = 0,943$$

Устуворлик шартидан стерженниг кўндаланг кесим

$$\text{юзаси: } A = \frac{F}{\varphi_s [\sigma]} = \frac{500}{0,943 \cdot 160 \cdot 10^3} = 0,00331 \text{ м}^2 \text{ ва ўлчами}$$

$$d = \sqrt{\frac{A}{3,215}} = \sqrt{\frac{0,00331}{3,215}} = 0,032 \text{ м. Кўндаланг кесимнинг инерция радиуси: } i = \sqrt{\frac{5,27 d^2}{3,215}} = \sqrt{\frac{5,27 (0,32)^2}{3,215}} = 0,0411 \text{ м}$$

$$\text{Стерженниг эгилувчанлиги: } \lambda = 0,7 \frac{1,7}{0,0411} = 29,02$$

Жадвалдан:

$$\lambda = 20 \text{ да } \varphi_6 = 0,96 \text{ ва } \lambda = 30 \text{ да } \varphi_6 = 0,94$$

Интерполяция усули билан  $\varphi_6 = 0,96 - \frac{0,96 - 0,92}{10} \cdot 9,02 = 0,942$  ни топамиз.  $\varphi_6 = 0,942$  қийматда устуворликка рухсат этилган кучланиш

$$[\sigma]_y = \varphi_6 [\sigma] = 0,942 \cdot 160 = 150,72 \text{ мПа бўлиб,}$$

$\sigma_y = \frac{F}{\varphi_6 \cdot A} = \frac{500}{0,942 \cdot 0,00331} = 160,358 \text{ мПа}$  тенглашади:  $\sigma_y$  нинг қиймати оддий чўзилиш ва сиқилишга рухсат этилган кучланишдан 0,22 % катта бўлиб,  $[\sigma]$ , дан эса 9,638 мПа фарқ қиласди. Шунинг учун стерженниг ўлчами  $d = 0,033 \text{ м}$  деб қабул қиласиз.

5-жисоблаш:

$$d = 0,033 \text{ м ва } A = 3,215d^2 = 3,215(0,033)^2 = 0,0035 \text{ м}^2$$

Стрежень кесимининг инерция радиуси:

$$i = \sqrt{\frac{5,27 d^2}{3,215}} = \sqrt{\frac{5,27 (0,033)^2}{3,215}} = 0,04225 \text{ м ва эгилувчанлиги:}$$

$$\lambda = 0;7 \frac{1,7}{0,04225} = 28,16 \text{ қийматида жадвалдан } \varphi \text{ нинг янги}$$

$$\text{қийматини топамиз: } \varphi_7 = 0,96 - \frac{0,96 - 0,94}{10} 8,16 = 0,9437$$

Устуровликка рухсат этилган күчланиш:

$$[\sigma]_y = \varphi_7 [\sigma] = 0,9437 \cdot 160 = 151 \text{ MPa}$$

$$\sigma_y = \frac{F}{\varphi_7 \cdot A} = \frac{500}{0,9437 \cdot 0,0035} = 151,379 \text{ MPa} < 160 \text{ MPa} \text{ пўлат}$$

материални учун эгилувчанлик ( $\lambda_{\text{тек}} = 100$ ) дан кичик бўлса, критик кучни топиш учун эмпирик формуладан фойдаланамиз:

$$F_{kp} = A(a - b\lambda) = 0,0035(310 \cdot 10^3 - 1,14 \cdot 10^3 \cdot 28,18) = 972,65 \text{ kN}$$

Устуровлик коэффициенти:  $n_y = \frac{F_{kp}}{F} = \frac{972,65}{500} = 1,95$   
стерженга қўйилиши мумкин бўлган кучнинг рухсат этилган қиймати:

$$[F] = \varphi A [\sigma] = 0,9437 \cdot 0,0035 \cdot 160 \cdot 10^3 = 528,472 \text{ kN}$$

## ХІІ Б О Б

### ДИНАМИК КУЧЛАР

**Умумий тушунча.** Материаллар қаршилиги фанининг асосий масаласи бўлган конструкция қисмлари кўндаланг кесимининг ўлчамлари ёки улар материалини танлашни шу пайтгача фақат статик юк таъсирида ўргандик. Нолдан ўзининг охирги қийматига секин-аста ўсадиган куч статик юкка мисол бўлади. Статик юк таъсирида элемент деформациясининг тезлиги вақт оралиғида сезиларли бўлмайди, чунки бунда иншоот қисмларида пайдо бўладиган ҳаракат тезланиши жуда кичик бўлади. Ўзгармас тезлик билан кўтарилаётган юкнинг канат (ип)га таъсири статик куч; агар юк маълум тезланиш билан кўтарилса, динамик куч бўлади. Динамик куч таъсиридаги элемент заррачаларининг ҳаракат тезланиши вақт оралиғида сезиларли бўлади. Динамик юк ўзининг қиймати ва ҳолатини ўзгартириб туриши мумкин.

Динамик юк таъсиридаги элемент Даламбер аломатига асосан ҳар дақиқа ташқи ва инерция кучлари таъсирида мувозанатда деб қараш мумкин. Инерция кучлари элемент материали заррачаларининг ҳаракат тезланиши асосида қўшимча куч сифатида ҳосил бўлади. Элементнинг хусусий оғирлиги каби инерция кучи ҳам ҳажмий куч деб қаралиши мумкин.

Ҳар бир заррачага таъсир қилувчи элементар инерция кучининг қиймати —  $dP_i$  заррачанинг массаси —  $m$  ни унинг тезланиши —  $a$  га кўпайтмасига тенг ва тезланишга тескари томонга йўналади:

$$dP_i = dm \cdot a \quad (12.1)$$

Элементар заррача массаси  $m = \frac{dG}{g}$  ни ҳисобга олсак,

$$dP_i = \frac{dG}{g} \cdot a = \frac{\gamma \cdot dv}{g} \cdot a \text{ ҳосил бўлади.}$$

$dG = \gamma \cdot dv$  — заррачанинг хусусий оғирлиги

$g$  — эркин тушиш тезланиши,  $9,81$  м сек $^2$

$\gamma$  — материалнинг солиштирма оғирлиги: кн/м $^3$

$dV$  — элементар заррачанинг ҳажми, м<sup>3</sup>.

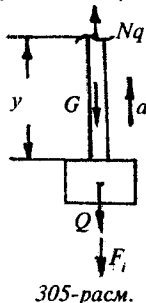
Стерженли системаларни ҳисоблашда ҳажмий инерция кучлари стерженнинг ўқи бўйлаб тарқалган инерция кучлари билан алмаштирилади. Элементар узунлик  $dx$  бўйлаб тарқалган инерция кучи  $dPi = \frac{\gamma \cdot A \cdot dx}{g} \cdot a$  формула билан топилади

Ички ёнувдвигателларининг қисмлари, тебранма ҳаракатда қатнашувчи конструкциялар зарб таъсирида ишлайдиган механизмлар — динамик юклар таъсирида бўлади.

## 12.1. ТЕКИС ТЕЗЛАНИШЛИ ҲАРАКАТДА КУЧЛАНИШНИ АНИКЛАШ

(Статик ҳисоблашга келтириладиган динамик масалалар)

**Тросни ҳисоблаш.**  $a$  тезланиш билан юқорига ҳаракат қилаётган, оғирлиги  $Q$  бўлган юк пўлатдан тайёрланган



тросга осилган. Тросни ихтиёрий  $Y$  — у узунлигидан кесиб, пастки қисмининг мувозаат ҳолатини ўрганамиз (305-расм).

Трос ўзининг хусусий оғирлиги  $\gamma Ax$ ,  $Q$  юк ва юкни юқорига  $a$  тезланиш билан ҳаракатланишда ҳосил бўлган қўшимча инерция кучи  $\frac{Q+\gamma Ax}{g} a$  таъсирида бўлади. Троснинг ихтиёрий танланган кўндаланг кесимидағи динамик кучланиш қўйидагича топилади:

$$\sigma_g = \frac{N_g}{A} = \frac{1}{A} \left( Q + \gamma Ax + \frac{Q+\gamma Ax}{g} \cdot a \right) = \frac{Q+\gamma Ax}{A} \left( 1 + \frac{a}{g} \right)$$

$\frac{Q+\gamma Ax}{A}$  троснинг ҳаракатланмаётган, яъни юкни қўзгал-мас бўлган ҳолатига тўғри қелувчи статик кучланишни ифодалайди.

$$\sigma_g = \sigma_{cm} \left( 1 + \frac{a}{g} \right) = K_g \cdot \sigma_{cm} \quad (12.2)$$

$K_g = 1 + \frac{a}{g}$  динамик коэффициент дейилади.

Шундай қилиб, юкни текис тезланишда ҳаракатлантирсак, динамик кучланиш статик миқдордан катта бўлар экан.

Системанинг мустаҳкамлик шарти  $\sigma_{g\max} = \sigma_{c\max} \cdot K_g \leq [\sigma]$  дан қўйидагини ҳосил қиласиз:

$$\sigma_{c\max} = \frac{[\sigma]}{K_g} \quad (12.3)$$

Динамик коэффициентни назарий усул билан топиш мумкин бўлмаса, фақат тажрибавий қиймати ишлатилса, динамик масалалар статик ҳисоблаш билан алмаштирилади.

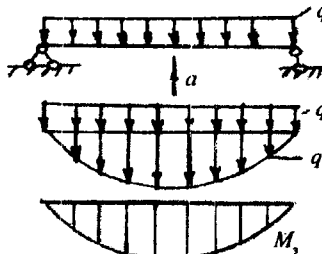
**Тақсимланган куч интенсивлиги  $q$  таъсиридаги элементларда кучланишини аниқлаш.**

Тенг тақсимланган куч интенсивлиги  $q$  таъсиридаги ўзгармас кесимли балка  $a$  тезланиш билан кран ёрдамида кўтарилади. Натижада балканинг узунлиги бўйлаб тарқалган инерция кучи —  $qi$  ҳосил бўлади. Балка, тақсимланган куч  $q$  таъсиридан ташқари, инерция кучидан ҳам эгилади.

Балка тақсимланган куч интенсивлиги —  $q$  таъсирида эгилганлиги учун, уни кўтаришда ҳар бир кесими турли тезланиш билан кўчади. Шунинг учун балканинг узунлиги бўйлаб инерция кучининг интенсивлиги ўзгарувчан бўлади. Хусусий ҳолда балканинг эгилишдаги бикрлиги ёки кесимининг салқилиги жуда катта бўлса, тезланиш орқали инерция кучлари таъсирида ҳосил бўлган деформацияни ҳисобга олсак ҳам бўлади. Натижада балканинг ҳамма кесимларини кўчиш тезланиши бир хил инерция кучи  $q$ , балканинг узунлиги бўйлаб тенг тарқалган деб қаралади. У ҳолда динамик тақсимланган куч  $q_g = q + \frac{q}{g} a$  таъсиридаги эгувчи момент:

$$M_g = \frac{q_g \cdot t^2}{8} = \left( q + \frac{q}{g} a \right) \frac{t^2}{8} = \frac{q t^2}{8} \left( 1 + \frac{a}{g} \right) = M_c \cdot K_g \text{ ва хавфли}$$

кесимдаги динамик кучланиш:



306-расм.

$$\sigma_g = \frac{M_g}{W} = \frac{M_c}{W} \cdot K_g = \sigma_c \cdot K_g \quad (12.4)$$

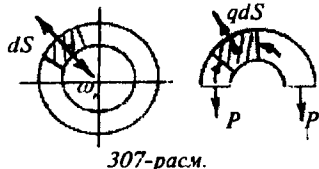
ва мустаҳкамлик шарти:

$$\sigma_{g\text{-max}} = \sigma_{c\text{-max}} \cdot K_g = K_g \cdot \frac{q\ell^2}{gW} \leq [\sigma] \quad (12.5)$$

формулалар билан топилади. Локомотивнинг иккита фидирагини бирлаштирувчи спарник (тирсакли-шарнирили ўқ) даги энг катта эгувчи момент ҳам шу усул билан аниқланиши мумкин:

$$M_{\max} = \frac{q_g \ell^2}{8} = \frac{\gamma A \ell^2}{8} \left( 1 + \frac{\omega^2 r}{g} \right)$$

**Айланувчан ҳалқасимон элементда кучланиш.** Ўзгармас кесимли тез айланатган ҳалқанинг кучланишини топамиз. Ҳалқанинг айланishiда ажратилган  $ds$  узунлиқдаги элемент ўзгармас бурчак тезлик —  $\omega$  билан ҳаракат қиласи. Бурчак тезланиш  $\varepsilon = 0$ , шунинг учун тангенциал тезланиш  $\omega_t = 0$ , марказга интилевчи тезланиш  $\omega_n = \frac{\omega^2 D}{2}$  ҳалқанинг марказига интилади. Ҳосил бўлган инерция кучи қуидагича топилади:



307-расм.

$$qds = \frac{\gamma A}{g} \frac{\omega^2 D}{2} ds = \omega_n \frac{\gamma A}{g} ds$$

$q$  — ҳалқанинг бир бирлик узунлигидаги инерция кучининг интенсивлиги.

Ҳалқанинг чўзувчи кучи  $P = \frac{Dq}{2}$  ни ҳисобга олсак, динамик кучланишни топамиз:

$$\sigma_g = \frac{P}{A} = \frac{Dq}{2A} = \frac{D}{2A} \cdot \frac{\gamma A}{g} \cdot \frac{\omega^2 D}{2} = \frac{\gamma \omega^2 D^2}{4g} \quad (12.6)$$

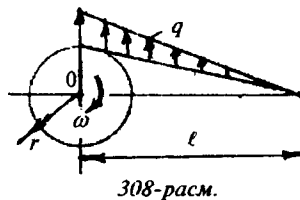
**Шатунни ҳисоблаш.** Ўзгармас бурчак тезликда шатуннинг  $K$  нуқтасида марказга интилевчи  $B$  нуқтада фақат тангенциал тезланиш ҳосил бўлади.  $KB$  шатунни ҳамма нуқтасида ( $K$  ва  $B$  нуқталардан ташқари) марказга интилевчи ва

тангенциал күчланишлар ҳосил бўлади.  $OK$  кривошип  $KB$  шатунга перпендикуляр бўлган ҳолатда, марказдан қочувчи инерция кучлари шатун ўқига перпендикуляр йўналади ва  $KB$  узунлиқда чизикли қонуният билан ўзгаради.  $K$  нуқтада  $q = q_0$  ва  $B$  нуқтада  $q = 0$ .

Шатунни икки таянчли балка деб қабул қилсак, энг катта эгувчи момент  $B$  нуқтадан  $\frac{\ell}{\sqrt{3}}$  масофада ҳосил бўлади:  $M_{\max} = \frac{q_0 \ell^2}{9\sqrt{3}}$ , бу ерда:  $q_0 = \frac{A\gamma}{g} \omega^2 r$ .

Динамик күчланиш:

$$\sigma_n = \frac{M_{\max}}{W} = \frac{q_0^2}{9\sqrt{3}W} = 9\sqrt{3} \cdot g W \frac{\gamma A \omega^2 \cdot r \cdot \ell^2}{g 9\sqrt{3}W} \quad (12.7)$$



308-расм.

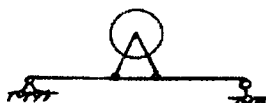
## 12.2. ТЕБРАНМА ҲАРАКАТДА КҮЧЛАНИШНИ АНИҚЛАШ

Айрим конструкция қисмларини ишлаш жараёнида тезланиш йўналиши ва ишорасини ўзgartиради. Бу ҳолатда күчланиш ва деформациялар ҳам ҳар даврда ишорасини ўзgartиради. Масалан, айланувчи юқ осилган механизм билан жиҳозланган балка юқ айланishiда инерция кучи ҳосил бўлади. Инерция кучи балкада ҳар дақиқа ишорасини ўзгартирувчи күчланиш ва деформацияни келтириб чиқаради.

Балка юкнинг айланиш даврига тенг давр билан тебранади. Бундай тебраниш мажбурий тебраниш дейилади.

Агар, эркин ва мажбурий тебранишлар даврлари тенглашса, вақт оралиғида тебраниш амплитудаси жуда тез ўсади ва резонанс ҳодисаси содир бўлади. Резонанс емирилишга сабаб бўлади. Шунинг учун резонанс ҳодисасини чеклаш лозим. Бунинг учун эркин ва мажбурий тебранишлар даврлари мос тушмаслиги керак.

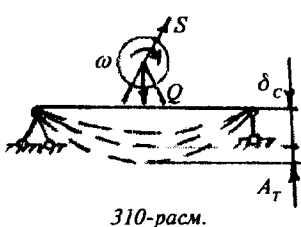
Конструкцияни лойиҳалашда (уғотувчи кучни) мажбурий тебраниш даври берилганлиги учун фақат эркин тебранишнинг параметрлари --



309-расм.

давр, частота ва амплитудаларини танлаш керак.

Конструкциянинг тебранма ҳаракати эластик мувоза-нат ҳолатида давом этади. Конструкциянинг статик дефор-мацияси инерция кучи таъсирида ҳосил бўлган динамик деформацияга қўшилади. Динамик деформация тебранма ҳаракатнинг турига ва амплитудасига боғлиқ. Чўзувчи ёки сиқувчи куч таъсиридаги пружинанинг бўйлама тебрани-ши; хусусий оғирлиги таъсири-дан тебранаётган балканинг ҳаракати оддийдир. Бу ҳолатда систе-манинг деформацияси битта текисликдаги (координата) ёки йўналишдаги қиймат билан ўлчанади (310-расм). Бундай тебран-ма ҳаракат эркинлик даражаси бирга тенг бўлган тебранма ҳара-кат, дейилади. У ҳолда балка хавфли кесимидағи энг кат-та салқилик қуйидагича топилади:



310-расм.

чиши; хусусий оғирлиги таъсири-дан тебранаётган балканинг ҳаракати оддийдир. Бу ҳолатда систе-манинг деформацияси битта текисликдаги (координата) ёки йўналишдаги қиймат билан ўлчанади (310-расм). Бундай тебран-ма ҳаракат эркинлик даражаси бирга тенг бўлган тебранма ҳара-

кат, дейилади. У ҳолда балка хавфли кесимидағи энг кат-та салқилик қуйидагича топилади:

$$\delta_n = \delta_c + A_m = \delta_c \left( 1 + \frac{A_T}{\delta_c} \right) = K_g \cdot \delta_c \quad (12.8)$$

Балқанинг деформацияси эластик бўлганлиги учун кучланиш деформацияга пропорционалдир:

$$\sigma_g = K_g \cdot \sigma_c = \left( 1 + \frac{A_T}{\delta_c} \right) \cdot \sigma_c \quad (12.9)$$

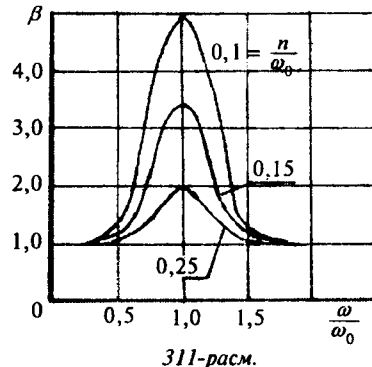
Эркин тебранаётган  $Q$  юк ҳаракатининг дифферен-циал тенгламаси  $\frac{Q}{g} x^{11} + cx = 0$  ни ечиб, эркин тебраниш частотаси  $\omega_o = \sqrt{\frac{g \cdot c}{Q}} = \sqrt{\frac{g}{\delta Q}}$  ва даври  $t_o = \frac{2\pi}{\omega_o}$  топилади.

Хусусий ҳол: Эгилиш: икки таянчли балка учун  $\delta_Q = f = \frac{Ql^3}{48EI}$  (а),  $\delta_Q = f = \frac{Ql^3}{3EI}$  (в) консол учун.

Мажбурий тебранишни уйғотувчи куч  $S$  айланиш дав-рида синусоидал чизиқ билан ўзгаради. Бу ҳолатда  $K_g$  нинг ифодаси ҳам ўзгаради:

$$K_g = 1 + \frac{A}{\delta_c} = 1 + \frac{\delta_H}{\delta_c} \cdot \beta \quad (12.10)$$

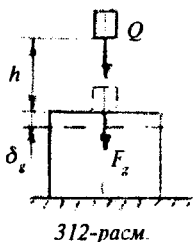
Бу ерда  $\delta_H = \frac{H}{Q} \delta_0$  — энг катта уйғотувчи күч  $S_{max} = H$  таъсиридаги деформация;  $\beta = \frac{A}{\delta_H}$  — тебранишнинг ўсиш коэффициенти.  $\beta$  нинг қиймати  $\frac{\omega}{\omega_0}$  нисбатга ва тебранишнинг сўниш коэффициенти ( $n$ )га боғлиқ. Агар  $\frac{\omega}{\omega_0} = 1$  ва тебранишнинг сўниш коэффициенти кичиклашса, тебраниш амплитудаси ва  $\beta$  нинг қиймати катталашади. Демак, динамик деформация ва кучланишлар жуда тез ўсади. Конструкциянинг хавфли ҳолатини чеклаш учун унга тебранишнинг сўндирадиган турли мосламаларини ўрнатиш мумкин.



311-расм.

### 12.3. ЗАРБ ТАЪСИРИДА КУЧЛANIШ

Конструкция қисмининг ёки бир бўлгининг жуда кичик вақт давомида тезлиги ўзгаришининг ҳодисаси зарб таъсирида содир бўлади. Зарб таъсирида зарбланувчи ва зарб берувчи қисмлар орасида жуда катта босим ҳосил бўлади. Зарб таъсирининг тезлиги қисқа вақт оралиғида ўзгаради ва хусусий ҳолда нолга қадар яқинлашади. Чунки зарбланувчи элементда зарб берувчи элементнинг тескари йўналишга ҳаракатини ўзгартирувчи реакция ҳосил бўлади —  $F_g = \frac{Q}{g} a$ , бу ерда  $Q$  — зарб берувчи элементнинг оғирлиги. Зарб давомида зарб берувчи ва зарбланувчи элементлардаги  $F_g$  реакциялар ўзаро тенг. Агар  $F_g$  күч маълум бўлса, зарбланувчи элементлардаги кучланиши топамиз. Лекин зарбнинг давом қилиш вақти номаълум бўлганлиги учун ( $Q$  юк зарб таъсири тезлигининг нолга



қадар тушиш даври) а тезланишни топиб бўлмайди. Шунинг учун  $F_g$  кучнинг қиймати ҳам номаълум.  $F_g$  кучни топиш учун энергиянинг сақланиш қонунидан фойдаланамиз.

1) Зарбнинг кинетик энергияси зарбланувчи элемент деформациясини потенциал энергиясига айланади, яъни:

$$T = I_d \quad (12.11)$$

2) Кучланиш ва деформациянинг зарбланувчи элемент ҳажмида тенг тарқалган деб қабул қилинади.

Зарб таъсириининг охирида  $Q$  юк  $h + \delta_g$  масофани бошиб ўтади. У ҳолда  $Q$  юкни кинетик энергияси бажарилган ишга тенг бўлади:

$$T = A_g = (h + \delta_g) Q \quad (12.12)$$

Зарбланувчи элемент деформациясининг потенциал энергиясини топиш учун, статик деформациянинг потенциал энергиясидан фойдаланамиз:

$$U_c = \frac{1}{2} Q \cdot \delta_c \quad (12.13)$$

$$\text{Бу ерда: } \delta_c = \frac{Q}{C} \quad \text{ёки } Q = c \cdot \delta_c$$

С элементнинг бикрлик коэффициенти, элементнинг шакли, ўлчамлари ва материали, деформацияси турига боелиқ. У ҳолда:

$$U_c = \frac{1}{2} Q \delta_c = \frac{c}{2} \cdot \delta_c^2$$

Зарбланувчи элементнинг деформацияси эластик бўлса, динамик кучланиш материалнинг пропорционаллик чегарасидан катта бўлмайди, у ҳолда Гук қонунидан фойдаланиш мумкин:

$$\delta_g = \frac{F_g}{c} \quad \text{ва} \quad U_g = \frac{F_g \cdot \delta_g}{2} = \frac{C}{2} \delta_g^2 = \frac{Q}{2\delta_c} \cdot \delta_g^2; \quad \text{бу ерда: } C = \frac{Q}{\delta_c}$$

Топилган  $T$  ва  $I_d$  ларнинг ифодаларини (12.11) формулага келтириб қўйсак,

$Q \cdot (h + \delta_g) = \frac{Q}{2\delta_c} \delta_g^2$  ёки  $\delta_g^2 = 2\delta_c \delta_g - 2h\delta_c = 0$  ҳосил бўлади.

$$\text{Бу ердан: } \delta_g = \delta_c \pm \sqrt{\delta_c^2 + 2h\delta_c} \text{ ёки } \delta_g = \delta_c \left[ 1 + \sqrt{1 + \frac{2h}{\delta_c}} \right] = K_g \delta_c$$

Гук қонунига асосан қучланиш ва куч деформацияга пропорционал, у ҳолда:

$$\begin{aligned} \sigma_g &= \sigma_c \left[ 1 + \sqrt{1 + \frac{2h}{\delta_c}} \right] = K_g \delta_c \\ F_g &= Q \left[ 1 + \sqrt{1 + \frac{2h}{\delta_c}} \right] = K_g Q \end{aligned} \quad (12.15)$$

Юқоридаги формулалардан кўринадики, динамик деформация, қучланиш ва куч статик деформацияга боғлиқ экан.

$$K_g = 1 + \sqrt{1 + \frac{2h}{\delta_c}} \text{ — динамик коэффициент.}$$

Агар  $h = \frac{v^2}{2g}$  билан алмаштирилса,  $K_g = 1 + \sqrt{1 + \frac{v^2}{g\delta_c}}$  ҳосил бўлади. Бу ерда  $v$  — зарб берувчи элементнинг тез-

лиги  $\frac{2h}{\delta_c} = \frac{hQ}{Q\delta_c} = \frac{T_o}{U_c}$  ни ҳисобга олсак, динамик коэффициент қуидагича топилади:

$$K_g = 1 + \sqrt{1 + \frac{T_o}{U_c}} \quad (12.18)$$

Бу ерда  $T_o$  — зарб таъсири бошланган вақтдаги юкнинг кинетик энергияси. Агар,  $Q$  юк  $h = 0$  масофадан тушиб зарб берса,  $\delta_g = 2\delta_c$  ҳосил бўлади:  $\sigma_g = 2\sigma_c$  ва  $F_g = 2Q$ .

Агар, масофа  $\delta_c$  деформациядан катта бўлса,  $\frac{2h}{\delta_c}$  қийматга нисбатан илдиз остидаги бирни ҳисобга олмасак ҳам бўлади, яъни:

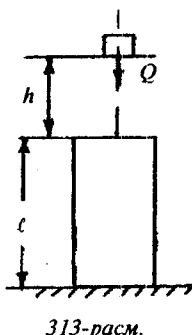
$$K_g = 1 + \sqrt{\frac{2h}{\delta_c}} \quad (12.19)$$

Бу ерда ҳатолик 5% дан катта бўлмайди.

$$\text{У ҳолда: } \delta_g = \delta_c \left( 1 + \sqrt{\frac{2h}{\delta_c}} \right) \text{ ва } \sigma_g = \delta_g \left( 1 + \sqrt{\frac{2h}{\delta_c}} \right)$$

Агар,  $\frac{2h}{\delta_c}$  қийматни жуда катта деб қабул қылсак,  $K_g$  ни күйидаги формула билан топамиз:

$$K_g = \sqrt{\frac{2h}{\delta_c}} = \sqrt{\frac{T_o}{U_c}} \quad (12.20)$$



313-расм.

Бу ерда  $\sigma_g = \sigma_c \sqrt{\frac{2h}{\delta_c}}$  кучланишни ҳисоблашда қўйилган хатолик 10 % дан ошиб кетмаслиги керак:  $\frac{2h}{\delta_c} > 110$

**Зарб таъсирининг хусусий ҳоллари.** Ҷўзилиш ёки сиқилиши. Динамик коэффициентни тақрибий формула ёрдамида то-пайлик:

$$K_g = \sqrt{\frac{T_o}{U_c}}$$

Бу ерда:  $U_c = \frac{Q\delta_c}{2} = \frac{Q^2\ell}{2EA} = \frac{\sigma_c^2 AE}{2E}$  ва  $\sigma = \frac{Q}{A}$

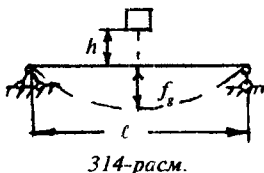
Динамик кучланиш:  $\sigma_g = K_g \sigma_c = \sqrt{\frac{2T_o E}{\sigma^2 A \ell}} \cdot \sigma = \sqrt{\frac{2T_o E}{A \ell}}$

Демак, динамик кучланиш сиқилаётган стерженнинг кўндаланг кесим юзасига боғлиқ экан.

Статик куч стерженнинг ўлчамига боғлиқ эмас. Динамик куч ва динамик кучланиш зарбнинг таъсири қилиш давомига, стерженнинг материалига ва узунлигига боғлиқ. Динамик куч таъсиридаги элементнинг мустаҳкамлик шартини ёзамиз:

$$\sigma_g \leq [\sigma_g] \quad (12.22)$$

Бу ерда  $[\sigma_g] = \frac{\sigma_{ok}}{n_g}$  рухсат этилган динамик кучланиш.



314-расм.

$n_g = 1,5 \dots 2,0$  — зарб таъсирига эҳтиётилик коэффициенти.

**Эгилиш.** Эгилишда динамик деформация балка учларининг таяниш шартига ва ташқи куч билан юклаб-

ниш схемасига боғлиқ. Иккита шарнирли таянчга таянган балка узунлиги ўртасидаги  $Q$  юк таъсирида (314-расм), динамик кучланиш қуидагича ёзилади:

$$\sigma_g = K_g \sigma_c = \frac{Q\ell}{4W} \sqrt{\frac{96T_oEI}{Q^2\ell^3}} = \sqrt{\frac{6T_oEI}{W^2\ell^3}}$$

Бу ерда:

$$f_c = \delta_c = \frac{Q\ell^3}{48EI}; \quad \sigma_c = \frac{Q\ell}{4W} \quad \text{ва} \quad U_c = \frac{Qf_c}{2} = \frac{Q^2\ell^3}{96EI}$$

Агар,  $I = i^2 A$  ва  $W = \frac{I}{J_{\max}} = \frac{i^2 A}{J_{\max}}$  бўлса:

$$\frac{I}{W^2} = \frac{i^2 A}{\left(\frac{i^2 A}{J_{\max}}\right)^2} = \left(\frac{Y_{\max}}{i^2}\right)^2 \cdot \frac{1}{A}$$

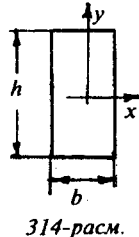
У ҳолда динамик кучланиши:

$$\sigma_g = \frac{y_{\max}}{i} \sqrt{\frac{6TE}{Al}} \quad (12.23)$$

формуладан кўринадики, эгилишда динамик кучланиш балка материалининг эластик модулига, кесимнинг ўлчамлари ва шаклига, балканинг таяниш шартига боғлиқ.

Масалан, тўғри бурчакли кесим:

$$\frac{J_{\max}}{i} = \frac{\frac{2}{3}}{\sqrt{\frac{bh^3}{12bh}}} = \sqrt{3} \quad \text{ва} \quad \sigma_g = \sqrt{\frac{18T_oE}{Al}}$$



Доиравий кесим:

$$\frac{J_{\max}}{i} = \frac{\frac{d}{2}}{\sqrt{\frac{\pi \cdot d^4 \cdot 4}{64 \cdot \pi \cdot d^2}}} = 2 \quad \text{ва} \quad \sigma_g = \sqrt{\frac{24T_oE}{Al}}$$

Динамик коэффициентни аниқлаш учун тақрибий формула татбиқ этилмаса, динамик кучланиш қуидагича топилади:

$$\sigma_g = \frac{Q\ell}{4W} \left[ 1 + \sqrt{1 + \frac{96T_oEI}{Q^2\ell^3}} \right] \leq [\sigma_g]$$

**Буралыш.** Айланаётган вал бир учининг ҳаракатини қисқа вақт оралиғида чеклаб қўйисак (тормозланса), иккинчи учига маховикнинг таъсири —  $T$  қўйилса, валда зарб таъсиридаги буровчи момент ҳосил бўлади. Динамик буралыш бурчаги  $\delta_g = \varphi_g = K_g \varphi_c$  ва кучланиш  $\tau_g = \tau_c \cdot K_g = \tau_c \sqrt{\frac{T_o}{U_c}}$ . Бу ерда:  $\varphi_c = \frac{M\ell}{GI_p}$

$$U_c = \frac{M \cdot \varphi_c}{2} = \frac{M^2 \ell}{2GI_p}, \text{ у ҳолда: } \tau_g = \frac{M}{W_p} \sqrt{\frac{2T_o GI_p}{M^2 \ell}} = \sqrt{\frac{2T_o GI_p}{W_p^2 \ell}}$$

$$\frac{I_p}{W_p^2} = \frac{\pi \cdot d^4}{32} \cdot \frac{1}{\left(\frac{\pi \cdot d^3}{16}\right)^2} = \frac{8}{\pi \cdot d^2} = \frac{2}{\frac{\pi \cdot d^2}{4}} = \frac{2}{A}$$

Динамик кучланиш:  $\tau_g = 2 \sqrt{\frac{T_o G}{A \ell}}$

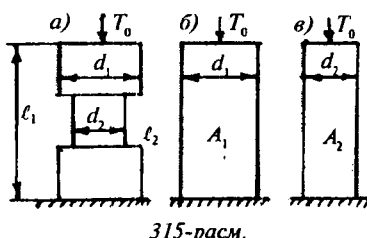
Динамик деформация:  $\varphi_g = \frac{M\ell}{GI_p} \sqrt{\frac{2T_o GI_p}{M^2 \ell}} = \sqrt{\frac{2T_o \ell}{GI_p}}$

#### 12.4. ЎЗГАРУВЧАН КЕСИМЛИ СТЕРЖЕНЛАРДА ЗАРБ ТАЪСИРИДАГИ КУЧЛANIШ

Бўйлама зарб таъсиридаги кучланишни камайтириш учун стерженнинг ҳажмини катталаштириш керак эканлигини олдинги мавзуларда кўриб ўтдик.

Бу назария, агар стерженнинг ҳажми унинг узунлиги бўйлаб ўзгармас бўлса, ўринлидир. Стерженнинг узунлиги бўйлаб кўндаланг кесим юзаси ўзгарувчан бўлса, амалиётда юқоридаги назарияларда ўзгариш бўлиши мумкин.

Масалан, узунлиги бўйлаб  $d_1 > d_2$  диаметрли кесимнинг энг катта кучланиши  $d_2$  диаметрли кесимда ҳосил бўлади. Энг катта куч-



ланиш стерженнинг заифлашган кесими диаметрига ва унинг сиқувчанлигига боғлиқ. Бу ҳолда стерженнинг кучланиши икки хил усул билан камайтирилиши мумкин:

1) Стерженнинг заифлашган кесимини  $d_1$  диаметр билан тайёрлаш: бу ҳолда стерженнинг кесим юзаси катталашади; сиқилувчанлиги камаяди: инерция кучи бир оз ортади. Кесим юзаси катталашиши ҳисобига кучланиш камаяди. Агар стерженъ заифлашган кесимни тақозо қилса, бу вариант керак эмас.

2) Стерженнинг мустаҳкамлигини ошириш учун, унинг сиқилувчанлиги орттирилиши керак. Сиқилувчанлик асосан стерженнинг узунлиги бўйлаб  $d_2$  диаметр билан тайёрлаш эвазига орттирилади. У ҳолда динамик куч —  $F_g$  камаяди, кучланиш ҳам камаяди. Бу назарияларни ҳисоб ўсали билан текширамиз. 315-расмда кўрсатилган учта стерженга ҳам бир хил  $T_0 = Qh$  зарб таъсири қўйилсин. Уларни қўйидагича белгилайлик:

$$\frac{A_2}{A_1} = q \quad \text{ва} \quad \frac{\ell_2}{\ell_1} = \rho$$

Кучланишини тақрибий формула ёрдамида топамиз (315-а расм):  $\sigma_g = \sigma_c \sqrt{\frac{2h}{\Delta\ell}} = \frac{Q}{A_2} \sqrt{\frac{2h}{\Delta\ell}} = \sqrt{\frac{2T_0 Q}{A_2^2 \Delta\ell}}$

$$\text{Бу ерда: } \Delta\ell = \frac{Q\ell_2}{EA_2} + \frac{Q(\ell_1 - \ell_2)}{EA_1} = \frac{Q\ell_1}{EA_2} [P + q(1 - P)]$$

$$\text{У ҳолда: } \sigma_g = \sqrt{\frac{2T_0 Q}{A_2^2 \frac{Q\ell_1}{EA_2} [P + q(1 - P)]}}$$

Ўзгармас кесимли (*б* ва *в*) стерженлар учун

$$\sigma_b = \sqrt{\frac{2T_0 E}{A_1 l_1}} \quad \text{ва} \quad \sigma_v = \sqrt{\frac{2T_0 E}{A_2 l_1}}$$

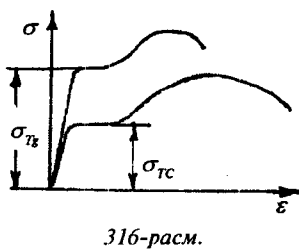
$$[P + q(1 - P)] < q < 1 \quad \text{бўлганлиги учун } \sigma_a > \sigma_b > \sigma_v$$

Шундай қилиб, (а) схемада диаметрнинг 20% кичиклаштирилиши кучланишни 50% га катталаширади, агар стерженнинг узунлиги бўйлаб бир хил  $d_2$  диаметрда тайёрланса, кучланиш 20% га яқин камайтирилади. Ўзга-

рувчан кесимли стерженларга бўйлама зарб таъсирида ишлайдиган болтларни мисол қилиш мумкин. Болт зарб таъсирини емирилмасдан ўтказиб юбориши учун унинг узунлиги бўйлаб диаметрини резъбанинг ички диаметрига тенг қилиб тайёрлаш керак. Бунинг учун болтнинг сирти йўнилади ёки унда ички канал ҳосил қилинади. Кўпинча стерженнинг узунлиги катталаштирилиши эвазига ҳам кучланиш камайтирилади.

**Зарбга синаш.** Тажрибалар натижасига кўра, бир хил

материалдан тайёрланган намуналар статик ва динамик кучларга ҳар хил қаршилик кўрсатиши аниқланган. Масалан, намуналарни чўзилишга катта тезликда синашда олинган диаграмма статик куч таъсиридаги диаграммадан фарқ қиласди (316-расм):



316-расм.

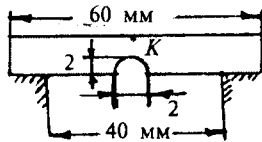
- 1) динамик куч таъсирида материалнинг оқувчанлик ва мустаҳкамлик чегаралари катталашади;
- 2) емирилишдаги қолдиқ деформацияси камаяди;
- 3) диаграмма  $\sigma$  ўқи томонга силжийди;
- 4) оқувчанлик вақти камаяди;
- 5) материалнинг эластиклик модули катталашади.

Зарб таъсиридан пластик материалда мўртлик намоён бўлиши мумкин, яъни пластик материал мўрт материалдек емирилади.

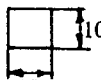
Н.Н. Давиденко тажрибасига асосан зарб таъсиридан оқувчанлик чегараси 20–70% га, мустаҳкамлик чегараси 10–30% га ортади.

Материални зарбга синаш учун маҳсус намуна тайёрланади (317-расм). Материални оғирроқ вазиятда ишлатиш учун намунада ўлчамлари 2 мм бўлган канал тайёрланади. Маятник типидаги коперда (317-расм) намунага  $K$  нуқтадан зарб берилади.

С маятник  $h_1$  баландлиқдан тушиб намунани емириади ва ортиқча қолган энергия ҳисобига  $h_2 \leq h_1$  баландликка кўтарилади. Маятникнинг бажарган иши  $W_{uu} = G(h - h_2)$  нинг бир қисми намунани емиришга сарфланади. Ишнинг



317-расм.

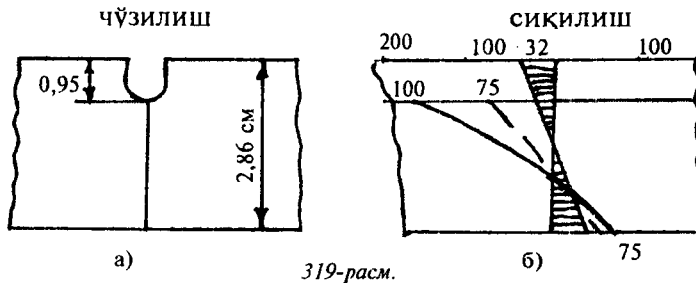


318-расм.

бир қисми ишқаланишга, ҳавонинг қаршилигини енгизга сарфланади. Материалнинг зарб таъсирига қаршилик кўрсата билиш қобилиятини зарбга қовушқоқлик тавсифлари аниқлайди:

$$a = \frac{W_1}{A} = \frac{W - \Delta W}{A} \quad (12.26)$$

*a* — тавсифлар қанча катта бўлса, материалнинг зарб таъсирига қаршилик кўрсатиш қобилияти шунч яхши бўлади. *a* нинг қиймати тажриба ўтказиш шароитига, намунали ўлчамларига боғлиқ бўлади. Намунанинг заифлашган кесимида кучланишнинг тарқалиш қонунияти (319-расм) да кўрсатилган:



319-расм.

(а) диаграмма намунани каналча бўлмаган пайтдаги кучланиш эпюраси. (б) диаграмма намунани зарб таъсиридан эгилишдаги нормал кучланиш ( $\sigma_{1_y}$ ) эпюраси. Пунктир чизиқли эпюра канал ёнида кучланишнинг маҳаллий тўплами ҳосил бўлмаган пайтдаги кучланишнинг тарқалиш қонунияти. Диаграммадан кўринадики, намунанинг баландлигини 0,95 см га камайтирганда, кучланишнинг маҳаллий тўплами 5,22 маротаба катталашар экан.

Каналчанинг асосида жойлашган материал ҳажмий күчләнгәнлик ҳолатида бўлади.  $\sigma_2$  күчланиш намуна ўқига параллел,  $\sigma_1$  перпендикуляр жойлашади. Материал окувчанлик чегарасидан катта бўлган  $\sigma_1 = 1,25\sigma_T$  пластик деформация олади ва мўрт ҳолатда бўлади.

## ХІІІ БОБ

### ЎЗГАРУВЧАН КУЧЛANIШЛАР

Материалларнинг систематик равишдаги қиймати ёки қиймати ва ишорасини ўзгартириб турадиган юкларга қаршилиги уларнинг статик ёки зарб таъсирига қаршилигидан фарқ қиласди. Шунинг учун материалнинг ўзгарувчан юклар таъсиридаги мустаҳкамлигини ўрганиш алоҳида аҳамиятга эга. Қиймати жиҳатидан ўзгарувчан ва жуда кўп такрорланадиган юклар таъсирида машиналарнинг қисмлари тасодифан ва сезиларли даражада қолдик деформация ҳосил қилмай емирилиши қизиқарли ҳол эди.

Ўзгарувчан юклар таъсирида материалларнинг структураси ўзгаради, шунинг учун материалда "толиқиши" — "чарчаши" ҳосил бўлиб, емирилади — пластиклик мўртлик билан алмашади, деган фикр пайдо бўлган эди. XX асрнинг бошларида металларнинг структураси ва механик хоссалари ўзгарувчан кучланишлар таъсиридан ўзгармас эканлиги исботланади. Масалан, буг машинанинг штоки ёки поезд вагонининг ўқи узоқ вақтлар ўзгарувчан кучланишлар таъсирида ишласа ҳам ўзининг структураси ва пластиклик хоссаларини ўзгартирмайди. Кўплаб ўтказилган тажрибалар шуни кўрсатдики, ўзгарувчан юклар таъсиридаги металлнинг сиртида микродарз (ёрилиш) пайдо бўлади. Микродарз ўсиб, бошқа микродарзлар билан қўшилади ва детални ичкари томон ривожлантиради. Ўзгарувчан юклар таъсирида дарз кетган юзалар ўзаро яқинлашади ва бир-бирига босим таъсирини ўтказади. Натижада дарз юзалиари силликлишади. Янги ривожланган дарз юзаси эса қўйпол ва донадор бўлади. Бу ҳолат мўрт емирилишга яқин. Ўзгарувчан юклар таъсиридаги емирилишнинг бундай механизми дарз ривожланиши билан деталнинг кесими заифлашиши ва деталнинг мустаҳкамлиги камайиб бораётганлигини тўғри тушунтиради.

Дарз асосидаги материал ҳажмий кучланганлик ҳолати маҳаллий тавсифга эга, чунки дарз ва кучланганлик ҳолати материалнинг ҳамма қисмida ҳам ҳосил бўлмайди.

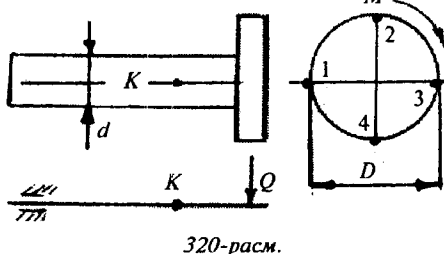
Демак, техника, фан ривожланишининг янги этапида материалларнинг ўзгарувчан юклар таъсирида емирилишига асосий сабаб унинг "толиқиши" — "чарчаши" эмас, балки деталнинг сиртида ҳосил бўлган дарз юзаси экан. Шунинг учун толиқиш деганда материалларнинг аста-секин ривожланадиган микродарзлар таъсиридан емирилиши тушунилади.

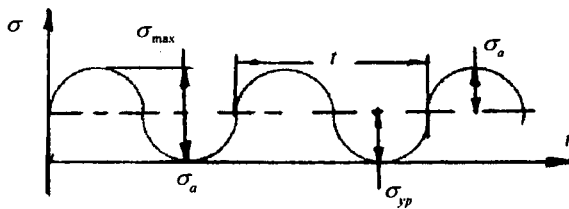
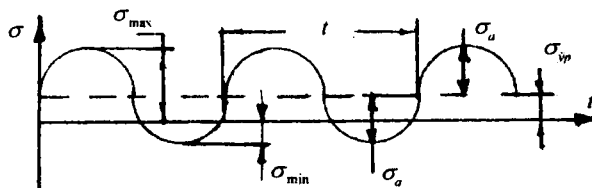
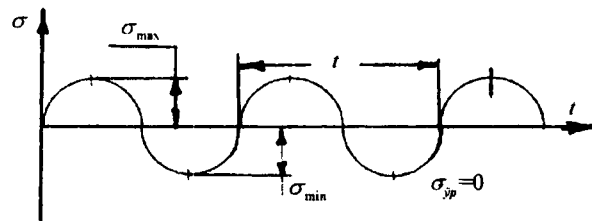
### 13.1. КУЧЛАНИШ ЦИКЛЛАРИНИНГ ТУРЛАРИ

Бир учида шкив ўрнатилган вал сиртига тўғри келадиган кучланишни топайлик. Агар вал шкивнинг оғирлиги  $Q$  таъсиридан эгилади, деб қабул қиласак, валнинг кўндаланг кесим юзасида эгилишдаги нормал кучланишлар ҳосил бўлади. Кесим юзасидан ажратилган 1 ва 3-нуқталар (320-расм) нейтрал ўқ устида жойлашади. Шунинг учун бу нуқталарда эгилишдаги нормал кучланиш нолга тенг. 2 ва 4-нуқталар вал материалининг чўзиладиган ва сиқиладиган толаларида жойлашган. Бу нуқталардаги нормал кучланишлар ўзаро тенг ва қарама-қарши ишоралидир. Агар, валнинг айланишини ҳисобга олсак, вақт оралигида, яъни маълум даврда ( $T$ ) бу нуқталарнинг ўрни алмашиб туради. Демак,  $K$  нуқтанинг ҳолати 1, 2, 3 ва 4-нуқталар ҳолати билан мос тушиши мумкин экан. Натижада  $K$  нуқтанинг кучланиши вақт оралигида қийматини ва ишорасини ўзгартиради. Бир давр ичida кучланишнинг ўзгаришига кучланиш цикли дейилади. Конструкция қисмларини ишлаш жараёнида кучланишлар циклари жуда

кўп давом этиши мумкин ва турлича бўлади (321-расм). Масалан:

1) Носимметрик ўзгарувчан кучланишлар (308-б, в расм) максимал ва минимал қийматлари тенг ва бир хил ишорали ва нолдан бошланадиган циклли





321-расм.

бўлади. Агар кучланишларни ( $\sigma_{\max} = \sigma_{\min}$ ) максимал ва минимал қийматлари тенг ва бир хил ишорали бўлса, ўзгармас кучланишлар, дейилади. Симметрик циклли ўзгарувчан кучланишларни максимал ва минимал қийматлари бир-бирига тенг ва ҳар хил ишоралидир. Кучланишларнинг ишорасини ҳисобга олганда, минимал кучланиши максимал кучланишга нисбати цикл тавсифи дейилади, яъни:

$$\eta = -\frac{\sigma_{\min}}{\sigma_{\max}} \quad \text{ва} \quad \eta = \frac{\sigma_{\min}}{\sigma_{\max}} \quad (13.1)$$

Циклнинг ўртача кучланиши:

$$\sigma_{y_p} = \frac{\sigma_{\max} - \sigma_{\min}}{2} \quad (13.2)$$

Цикл кучланишининг амплитудаси:

$$\sigma_a = \frac{\sigma_{\max} - \sigma_{\min}}{2}$$

### 13.2. СИММЕТРИК ЦИКЛДА ЧИДАМЛИЛИК ЧЕГАРАСИНИ АНИҚЛАШ

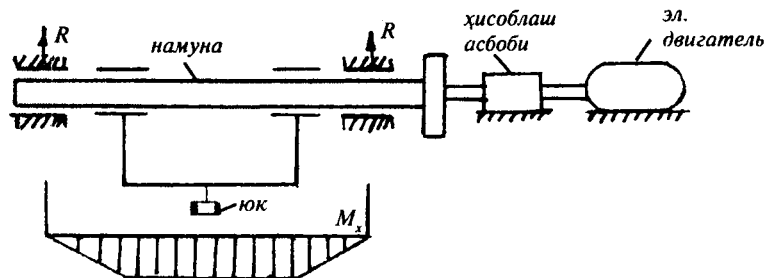
Материалда дарз пайдо бўлиб емирилиши учун фақат унинг толиқиши кифоя қилмасдан, балки энг катта кучланиш материалнинг чидамлилик чегарасидан ошиб кетиши керак.

Чидамлилик чегараси, деб цикллар сони жуда кўп бўлганда, деталнинг толиқиб емирилишига сабаб бўлмайдиган энг катта кучланишга айтилади.

Симметрик циклларда чидамлилик чегараси  $\sigma_{-1}$ , оддий чўзилиш ва сиқилишда  $\sigma_{+1}$  билан белгиланади.

Симметрик циклларда чидамлилик чегараси бошқа цикллардаги чидамлилик чегарасидан кичик ва уни тажрибада аниқлаш мумкин. Бунинг учун бир хил материалдан 6—10 та намуна тайёрлаб олинади. Намуна доиравий кесимли бўлиб, шарико-подшипник орқали шундай юкландади, унинг ўрта қисми соф эгилишга ишласин (бу ҳолатда  $\tau = 0$ ). Намуна (2000...3000) айл/мин тезлик билан айланади (322-расм).

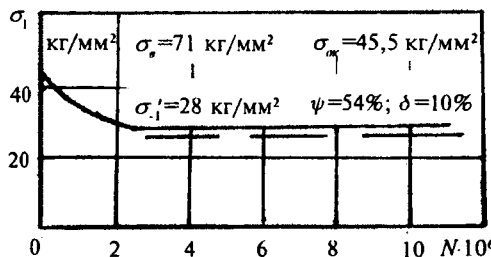
Намунада маҳаллий кучланишлар тўплами ҳосил бўлмаслиги учун уни шакли силлиқ қилиб тайёрланади.



322-расм.

Бириңчи намуна машинага ўрнатилади ва ташқи күч билан шундай юкландыки, унинг күндалант кесимидаги энг катта нормал кучланиш материалнинг мустаҳкамлик чегарасидаги кучланишнинг 0,5...0,6 қисмини ташкил қылсина. Машина ишлаши билан вал айланба бошлайды ва  $+\sigma$  дан  $-\sigma$  гача ўзгарувчи кучланишлар таъсирида бўлади. Тажриба намуна емирилгунча давом эттирилади. Намуна емирилиши билан машина тўхтатилади. Мосламани ҳисоблаш асбоби намунани емирилишига қадар айланган цикл  $N_1$  сонини кўрсатади. Иккинчи намуна  $\sigma'$  кучланишдан кичик  $\sigma'$  кучланиши билан юкланди ва емирилиш цикли  $N_2$  ёзиб олинади. Учинчи намуна  $\sigma''' < \sigma''$  кучланиши берилади ва ҳ.к. Ҳар бир тажрибада цикл сони ёзиб олинади. Кучланиш камайиб бориши билан цикл сони ортиб боради, яъни  $\sigma' > \sigma'' > \sigma''' > \sigma''' > \dots$  кучланишлар учун  $N_1 < N_2 < N_3 < \dots$  цикллар сони тўғри келади. Кучланишларни камайтиравериб шундай цикл сонини топамизки, бу ҳолда намуна емирилмайди. Агар пўлат материалдан тайёрланган намуна  $N = 10 \cdot 10^6$  циклда емирилмаса,  $N = 100 \cdot 10^6 - 200 \cdot 10^6$  циклда ҳам емирилмас экан. Тажриба натижаларини, масалан, хромникелли пўлат материали учун графикда ифодалаш мумкин (323-расм). Бунинг учун ординатага ҳар бир намунада ҳосил қилинган кучланишлари, абсциссада эса цикл сонлари жойлаштирилади.

Эгри чизиққа ўтказилган горизонтал уринманинг ординатаси материалнинг чидамлилик чегарасини аниқлайди. Пўлат материалнинг эгилишдаги чидамлилик чегараси оддий чўзилиш ва сиқилишдаги мустаҳкамлик чегараси билан боғлиқ:  $\sigma_{-1}^2 = 0,4\sigma_B$ . Ўзгарувчан чўзувчи ёки сиқувчи куч таъсиридаги пўлатни чидамлилик чегараси  $\sigma_{-1}^0$  эгилишдаги чидамлилик чегарасидан



323-расм.

кичик, яъни:  $\sigma_{-1}^0 = 0,7$ ;  $\sigma_{-1}^2 = 0,28 \sigma_B$ , чунки чўзилиш ва сиқилишда кесимининг ҳамма нуқтаси бир хил кучланиш таъсирида бўлади. Эгилишда энг катта кучланиш кесимнинг четки толаларида ҳосил бўлади, қолган материалда кучланишнинг қиймати кичиклашади. Буралишда чидамлилик чегараси:  $\tau_{-1}^0 = 0,55\sigma_{-1}^0 = 0,22\sigma_B$  ва рангли металлар учун:

$$\sigma_{-1}^2 = (0,24...0,50)\sigma_B \quad (13.3)$$

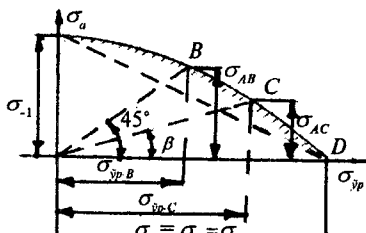
### 13.3. НОСИММЕТРИК ЦИКЛДА ЧИДАМЛИЛИК ЧЕГАРАСИНИ АНИҚЛАШ

Носимметрик циклда материалнинг чидамлилик чегарасини аниқлаш бир оз мураккаб. Чунки намунани эгилиши билан бир қаторда уни чўзувчи ва сиқувчи куч билан ҳам юклаш керак. Бу ҳолат синов машиналарини мураккаблаштиришга, қўшимча мосламалар тайёрлашга олиб келади. Шунинг учун носимметрик циклларда материал

ни чидамлилик чегарасини аниқлаш учун тажрибалар асосида қурилган диаграммадан фойдаланамиз (324-расм). Диаграмманинг абсциссада ўртача кучланиш  $\sigma_{yp}$  ва ординатасида кучланишлар амплитудаси  $\sigma_0$  жойлаштирилади. Ҳар хил цикллардаги кучланишлар ёрдамида КВСД эгри чизиқ ўтказилган. Бирорта

цикл тавсифини қийматига чидамлилик чегарасини тошиш учун координатани  $O$  нуқтасидан абсциссага  $\beta$  бурчак остида  $OC$  чизиқни ўтказамиз:

$$\operatorname{tg} \beta = \frac{\sigma_a}{\sigma_{yp}} = \frac{1-\eta}{1+\eta} \quad (13.4)$$



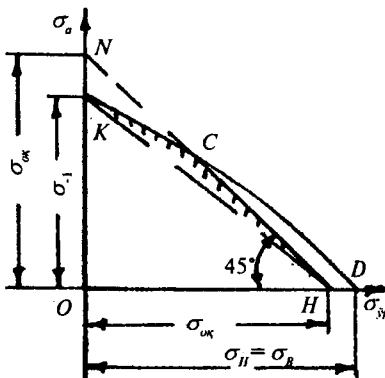
324-расм.

$CC_1$ , ва  $OC_1$  масофаларни ва тегишли  $\sigma_c$  ва  $\sigma_{\max}$  кучланишларнинг йиғиндиси чидамлилик чегарасининг қийматини беради, яъни:

$$\sigma_c = \sigma_{\max} = \sigma_{ac} + \sigma_{yp}$$

Абсциссаси  $\sigma_{yp} = 0$  бўлган  $K$  нуқтанинг ординатаси  $OK = \sigma_a = \sigma_{+1}$  симметрик циклда чидамлилик чегарасини ординатаси  $\sigma = 0$  бўлган  $D$  нуқтанинг абсциссаси  $OD = \sigma_{yp} = \sigma_{+1} = \sigma_b$  ўзгармас кучланишдаги чидамлилик чегарасини аниқлади.  $\beta = 45^\circ$  бурчак остида жойлашган  $B$  нуқта нолдан бошланадиган циклнинг чидамлилик чегарасини аниқлайдиган оқувчанлик чегараси бўлмаган материаллар учун чидамлилик чегараси, статик юк таъсиридаги мустаҳкамлик чегарасига ўхшаган хавфли ҳисобланади. Агар материал пластик бўлса, статик юк таъсирида оқувчанлик чегараси ва ўзгарувчан кучланишларда чидамлилик чегараси хавфли ҳисобланади. Бундай материалларда толиқиши емирилиши билан бирга пластик деформациялар пайдо бўлиши ҳам хавфлидир. Бунда циклнинг энг катта кучланиши  $\sigma_{\max} = \sigma_a + \sigma_{yp} = \sigma_{ok}$  бўлади.

Бурчак билан ўтказилган тўғри чизиқ  $KB$  чизиқни кесиб ўтса, денталь толиқиши емирилишига учрайди;  $BD$  чизиқни кесиб ўтса, пластик деформация пайдо бўлиши билан ишдан чиқади. Чизиқ статик юкланишда хавфли кучланишни ва  $KB$  чизиқ ўзгарувчан кучлар таъсиридаги хавфли кучланишни билдиради.

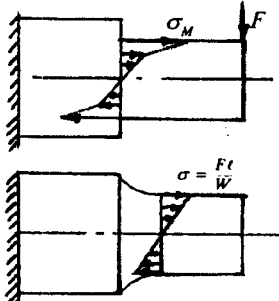


325-расм.

### 13.4. ЧИДАМЛИЛИК ЧЕГАРАСИГА ТАЬСИР ҚИЛУВЧИ ФАКТОРЛАР

Тажрибалар шуни күрсатадики, чидамлилик чегарасига кучланишлар концентрацияси, деталнинг ўлчамлари, деталь сиртининг ҳолати, деталнинг технологик ишлов бериш тавсифи таъсир қиласди.

#### а) Кучланишлар концентрацияси.



326-расм.

Узунлиги бўйлаб кесими бир жинсли бўлмаган деталларда, кичик диаметрдан катта диаметрга ўтиш жойларида ёки заифлашган кесимларда кучланишларнинг тарқалиш қонунияти ўзгаради ва маҳаллий кучланиши, яъни кучланишлар тўплами ҳосил бўлади:

$$\sigma_M = \alpha_k \frac{Ft}{W} \quad (13.5)$$

Бундай кучланишларга кучланишлар концентрацияси дейилади.

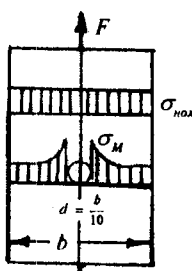
Максимал кучланишни номинал кучланишга нисбати кучланишлар концентрациясининг коэффициенти дейилади:

$$\alpha_{kn} = \frac{\sigma_M}{\sigma_{nom}} \quad (13.6)$$

Бу ҳолатда намуна материали изотроп ва эластик деб қаралади. Кучланишлар концентрациясининг ҳақиқий коэффициенти материалнинг ҳамма хусусиятларини ҳисобга олади ва унинг қиймати тажрибалар асосида топилади.

Материалнинг маҳаллий кучланишларга сезирлиги —  $q$  юқоридаги коэффициентларга боғлиқ:

$$q = \frac{\alpha_{kg}-1}{\alpha_{kn}-1} \quad (13.7)$$



327-расм.

$q$  нинг қиймати юқори сифатли, термик ишлов берилган легирланган пўлатда биргача, камулеродли пўлатда 0,5 гача, чўянда нолга яқин бўлади.

Демак, мустаҳкамлик чегараси катта бўлган материалларда  $q$  нинг қиймати катта экан. Агар,  $\sigma_{ном} = \sigma_{-1}$  ва  $\sigma_M = \sigma_{-1k}$  деб қабул қиласак,  $\alpha_{kg} = \frac{\sigma_{-1}}{\sigma_{-1k}}$  ҳосил бўлади. У ҳолда кучланиш концентрациясининг ҳақиқий коэффициенти чидамлилик чегараси билан боғлиқ бўлади:

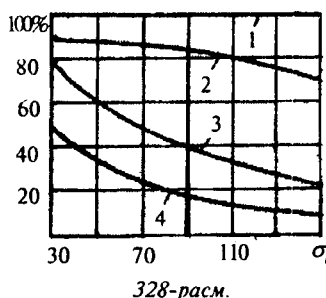
$$\alpha_{kg} = 1 + q(\alpha_{kn} - 1)$$

Пўлат материал учун  $\alpha_{kg} = 1,2 + 0,2 \frac{\sigma_B - 40}{110}$ ; канавкалар, кесимлар ўзгарадиган жойлар бўлса,  $\alpha_{kg} = 1,5 + 1,5 \frac{\sigma - 40}{110}$  формула ишлатилади. Толиқиши эмирилишлари кесимлар ўзгарадиган жойларда, нотекисликлар атрофларида бошланади. Бундай ҳолларда деталнинг чидамлилик чегараси камаяди.

#### б) Деталь сиртининг сифати.

1. Сирти жилоланган.
2. Сирти кескич билан ишлов берилган.
3. Прокатлаб олинган сирт.
4. Денгиз сувида коррозияланган.

Деталнинг сирти қанча давал бўлса, чидамлилик чегараси шунчак кичик бўлади. Деталь ишлов берилган сиртда кучланишлар концентрацияси ҳосил бўлади. Шунинг учун деталнинг сиртига маҳсус ишлов берилади. Унда чидамлилик чегараси ортади.



#### 13.5. ЎЗГАРУВЧАН КУЧЛANIШЛАРДА МУСТАҲКАМЛИК ШАРТИ

Турли цикллардаги хавфли кучланишнинг қиймати 324—325-расмлардаги диаграммалар асосида топилади. Мўрт материаллар учун 324-расмдаги диаграмманинг  $K_d$  тўғри чизигидан ташқарида жойлашган кучланиши хавф-

ли деб олинади. Пластик материаллар учун  $K_H$  түгри чизиқдан (325- расм) ташқаридаги кучланиш хавфли деб олинади. Рухсат этилган кучланишни танлаш учун диаграммаларни абсцисса ва ординаталарини мустаҳкамликка боғлиқ камайтириш керак.

Үзгармас юқда кучланишнинг рухсат этилган қиймати қуидагича топилади:

$$\text{Пластик материал учун: } [\sigma_{+1}] = \frac{\sigma_{ok}}{K_{o1}} \quad (13.8)$$

$$\text{Мўрт материал учун: } [\sigma_{+1}] = \frac{\sigma_\beta}{K_{02} \cdot \alpha_{kg}}$$

Бу ерда:  $K_{o1}$  — оқувчанлик чегарага нисбатан мустаҳкамликка эҳтиётлик коэффициенти.

$K_{02}$  — мустаҳкамлик чегарага нисбатан мустаҳкамликка эҳтиётлик коэффициенти.

$\alpha_{kg}$  — кучланишлар концентрациясининг ҳақиқий коэффициенти.

Симметрик циклда чидамлилиқ чегарасида ( $\sigma_{-1}$ ) хавфли кучланиш бўлади.

$$\text{Мўрт материал учун: } [\sigma_{-1}] = \frac{\sigma_{-1}}{K_0 \cdot \alpha_{kg} \cdot \alpha_n}$$

Пластик материал учун:

$$[\sigma_{-1}] = \frac{\sigma_{-1}}{K_0 \cdot \alpha_{kg} \cdot \alpha_M \cdot K_T \cdot K_s \cdot K_g} \quad (13.9)$$

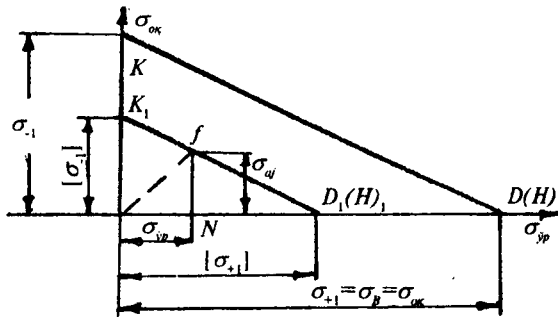
Бу ерда:  $K_0$  — асосий мустаҳкамликка эҳтиётлик коэффициенти.

$K_T$  — деталь тайёрлаш технологиясининг кучланишга таъсири.

$K_s$  — детални эксплуатация қилиш шароитининг кучланишга таъсири.

$K_g$  — ўзгарувчан кучланишнинг зарб таъсири билан биргалиқдаги таъсирини ҳисобга олувчи динамик коэффициент.

329-расмда  $\sigma_o = \sigma_{yp}$  координаталарида хавфли кучланишлар чизиги  $K_D$  (кн) ва рухсат этилган кучланишлар чизиги  $K_D$   $D_1$  кўрсатилган.  $K_D$   $D_1$  чизиқ  $AK$  ва  $OD_1 = [\sigma_{+1}]$  кучланишлар асосида чизилган.



329-расм.

Үзгарувчан күчланишларнинг турли циклларда рухсат этилган күчланишини аниқлаш учун координата боши  $O$  нүктадан абсциссага  $\beta$  бурчак остида түгри чизиқ ўтказамиз ( $\tan \beta = \frac{1-r}{1+r}$ ) ва  $K_1D_1$  чизиқ билан кесишгунча давом эттирамиз.  $f$  нүктанинг абсциссаси  $\sigma_{ypf}$  ва ординатасининг йифиндиси рухсат этилган күчланишни беради:

$$\sigma_{\max f} = [\sigma_r] = \sigma_{ypf} + \sigma_{af} \quad (13.10)$$

$N/D_1$  учбурчагини  $OK_1D_1$  учбурчагига ўхшашилигидан:

$$\frac{OD_1}{ND_1} = \frac{OK_1}{Nf} \text{ ёки } \frac{[\sigma_{+1}]}{[\sigma_{+1}] - \sigma_{ypf}} = \frac{[\sigma_{-1}]}{\sigma_{af}} \text{ ва}$$

$$\sigma_{af} [\sigma_{+1}] + \sigma_{ypf} [\sigma_{-1}] = [\sigma_{+1}] [\sigma_{-1}] \text{ ҳосил бўлади.}$$

$$\text{Лекин } \sigma_{af} = \frac{1-r}{2} \sigma_{\max f} = \frac{1-r}{2} [\sigma_2] \text{ ва}$$

$$\sigma_{ypf} = \frac{1+r}{2} \sigma_{\max f} = \frac{1+r}{2} [\sigma_2]$$

У ҳолда:

$$[\sigma_2] = \frac{2[\sigma_{+1}][\sigma_{-1}]}{(1+r)[\sigma_{-1}] + (1-r)[\sigma_{+1}]} \quad (13.11)$$

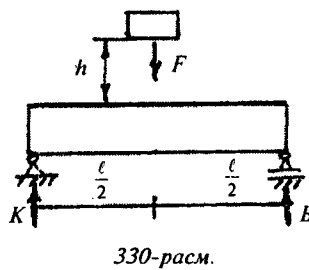
ҳосил бўлади. Мустаҳкамлик шарти қуидагича ёзилади.

$$\sigma_{\max} \leq [\sigma_r] \quad (13.12)$$

Мураккаб қаршилик-эгилиш билан буралишнинг биргаликдаги статик юк таъсирида мустаҳкамлик шарти:

$$\frac{\sigma^2}{[\sigma]^2} + \frac{\tau^2}{[\tau]^2} \leq 1$$

ва ўзгарувчан юк таъсирида:  $\sigma = \sigma_a + \sigma_{yp}$  ва  $\tau = \tau_{yp} + \tau_a$ ;  $[\sigma] = [\sigma_r]$  ва  $[\tau_r^\delta]$  кўринишда олинади.



330-расм.

**1-масала.** Икки таянчли қўштаврли балкага  $h = 20$  см ба-ландликдан  $F = 1500$  Н юк ке-либ тушади (330-расм). Балка-нинг энг катта динамик нормал кучланишини топамиз. Ўнг та-янич ўрнини эластик пружина билан алмаштириб биринчи са-волга жавоб берамиз.

Берилган: қўштавр  $N-22$ .

$$\ell = 2 \text{ м}; \quad 10^3 \alpha = 30 \frac{\text{м}}{\text{кН}} \quad \text{ёки} \quad \alpha = \frac{30}{10^3}$$

$$E = 2 \cdot 10^8 \frac{\text{кН}}{\text{м}^2}; \quad I_x = 2550 \cdot 10^{-2} \text{ м}^4$$

$$W_x = 232 \cdot 10^{-6} \text{ м}^3$$

**Ечиш.** Балканинг хусусий оғирлигини ҳисобга олмай-миз.  $F$  юк таъсиридан  $K$  ва  $B$  таянчлардаги реакция кучлари  $K = B = \frac{F}{2} = 750$  Н бўлади. Энг катта динамик кучланиш қўйидаги формула билан топилади:  $\sigma_g = k_g \cdot \sigma_{cm}$ , бу ерда  $K_g = 1 + \sqrt{1 + \frac{2h}{\Delta_{cm}}}$  динамик коэффициент бўлиб, статик кўчиш  $\Delta_{cm}$  га боғлиқ  $\Delta_{cm} = f_{cm} = \frac{F\ell^3}{48EI_x}$  балканинг  $F$  юк статик таъсир қилгандаги тўлиқ кўчиши.

$\sigma_{cm} = \frac{M_{cm}}{W_x} = \frac{F\ell}{4W_x}$  — статик юк  $F$  таъсиридаги энг катта нормал кучланиш.

Динамик кучланиш:  $\sigma_l = \left[ 1 + \sqrt{1 + \frac{2h \cdot 48EI_x}{F\ell^3}} \right] \cdot \frac{F\ell}{4W_x}$   
ёки  $\sigma_d = 0,295 \cdot 10^6 \frac{\text{кН}}{\text{м}^2}$

Энди балканинг ўнг таянчини пружина билан алмаштирамиз. Динамик кучланиш  $\sigma_g = K_g \cdot \sigma_{cm}$  формула билан топилади. Динамик коэффициент  $K_d$  ни аниқлашда балканинг статик күчиши пружинанинг ўнг таянч кучининг деформациясига боғлиқ бўлади (331-расм).

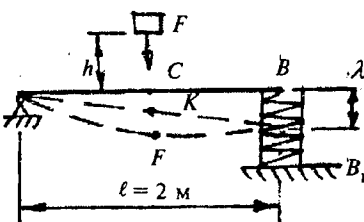
$$\Delta_{ct} = \Delta_6 + \Delta \beta \lambda$$

Бу ерда:

$$\Delta_6 = f_{cm} = \frac{F\ell^3}{48EI_x}; \quad \lambda = \frac{F}{2} \cdot \alpha = \frac{F}{2} \cdot \frac{30}{10^5} = \frac{1,1 \cdot 30}{2 \cdot 10^3} = 0,0165 \text{ м}$$

пружинанинг  $B$  реакция кучи таъсиридан кўчиши.  $\beta$  — пружинанинг деформацияси билан балканинг  $F$  юк таъсиридаги тўлиқ кўчиши орасидаги боғланиш.

$\Delta BB_1 K \infty \Delta CKK$  ўхшашликдан  $CK = \frac{BB_1}{2} = \frac{\lambda}{2} = \beta \lambda$  ва



331-расм.

$$f_{cm} = \frac{F\ell^3}{48EI_x} = \frac{1,5 \cdot 8}{48 \cdot 2 \cdot 10^8 \cdot 2550 \cdot 10^{-8}} = 4,9 \cdot 10^{-5} \text{ м}$$

ҳосил бўлади. Демак,  $\beta = 0,5$

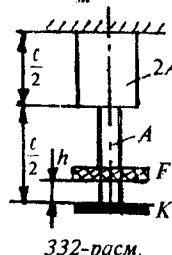
Натижада  $\Delta_{cm} = 4,9 \cdot 10^{-5} + 0,5 \cdot 0,0165 = 8,299 \cdot 10^{-5} \text{ м}$  ҳосил бўлади.

Динамик коэффициент:  $K_g = 1 + \sqrt{1 + \frac{2 \cdot 0,2}{8,299 \cdot 10^{-5}}} \approx 8$  ва

$$\text{куchlаниш: } \sigma_g = K_g \frac{F\ell}{4W_x} = 8 \cdot \frac{1,5 \cdot 2}{4 \cdot 232 \cdot 10^{-6}} = 0,0258 \cdot 10^6 \frac{\text{kH}}{\text{m}^2}$$

**2-масала.** Погонали бруsnинг  $K$  нуқтаси  $h = 5$  мм баландликдан тушаётган  $Q = 400$  кг юк таъсирида зарбга учрайди.

Бруsnинг узунлиги  $l = 5$  м, кўндаланг кесим юзаси  $A = 2$  см $^2$ , пўлат материалдан. Энг катта нормал кучланиш топилсин. Агар  $K$  элементга зарб таъсирини юмшатувчи цилиндрик пружина ўрнатилса,



332-расм.

кучланишни топинг. 1 кг статик юк таъсирида пружина  $4 \cdot 10^{-3}$  мм сиқилади.

**Ечиш.** Погонали бруснинг статик куч таъсиридаги узайишни ва нормал кучланишини топамиз, статик узайиш:

$$\delta_{cm} = \Delta\ell_{cm} = \frac{F \frac{\ell}{2}}{EA} + \frac{F \frac{\ell}{2}}{E2A} = \frac{3F\ell}{4EA}$$

ва кучланиш:  $\sigma_{cm} = \frac{F}{A} = \frac{400}{2} = 200 \frac{\text{кг}}{\text{см}^2}$

Энг катта динамик кучланишни топамиз:

$$\sigma_g = \sigma_{cm} K_g = \sigma_{cm} \left( 1 + \sqrt{1 + \frac{2h}{\Delta\ell_{cm}}} \right) = 200 \left( 1 + \sqrt{1 + \frac{2 \cdot 0,06 \cdot 16 \cdot 10^6}{3 \cdot 400 \cdot 500}} \right)$$

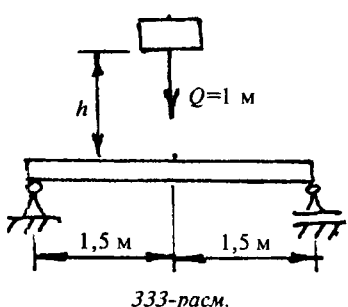
ва  $\sigma_g = 1349 \frac{\text{кг}}{\text{см}^2}$

К элементга цилиндрик пружина ўрнатилганда,  $\delta_{cm}$  статик деформация погонали бруснинг ва пружинанинг сиқилишига тенг бўлади, яъни:

$$\begin{aligned} \delta_{cm} &= \Delta\ell_{cm} + \lambda_{cm} = \frac{3F\ell}{4EA} + F \cdot 4 \cdot 10^{-4} = \\ &= \frac{3 \cdot 400 \cdot 500}{4 \cdot 2 \cdot 10^6 \cdot 2} + 400 \cdot 4 \cdot 10^{-4} = 0,1975 \text{ см} \end{aligned}$$

Унда динамик кучланиш:

$$\sigma_g = 200 \left( 1 + \sqrt{1 + \frac{2 \cdot 0,6}{0,1975}} \right) = 732 \frac{\text{кг}}{\text{см}^2}$$



**З-масала.** N-24 профилли балка иккита шарнирли таянчга таянади. Юк балканинг ўрта қисмига 50 см/сек тезлик билан келиб зарб таъсир қиласди. Энг катта кучланишни топинг.

**Ечиш.** N-24 қўштаврли кесимнинг айрим геометрик тавсифларини ёзиб оламиз.

$$I_x = 3460 \text{ см}^4$$

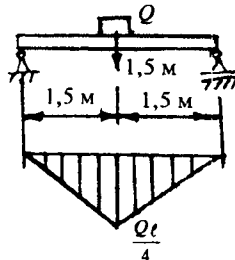
$$W_x = 289 \text{ см}^3; A = 34,8 \text{ см}^2$$

Статик күчланишни топамиз:

$$\sigma_{cm} = \frac{M}{W_x} = \frac{Q\ell}{4W} = \frac{1000 \cdot 300}{4 \cdot 289} = 259,5 \frac{\text{k}\cdot\text{м}}{\text{см}^2}$$

Балканинг энг катта салқилигини топамиз:

$$f_{cm} = \frac{Q\ell^3}{48EI} = \frac{1000 \cdot (300)^3}{48 \cdot 2 \cdot 10^6 \cdot 3460} = 0,0813 \text{ см}$$



334-расм.

Динамик күчланишни топамиз:

$$\sigma_g = \sigma_{cm} \left( 1 + \sqrt{1 + \frac{V^2}{gf_{cm}}} \right) = 259,5 \left( 1 + \sqrt{1 + \frac{50^2}{981 \cdot 0,0813}} \right)$$

$$\text{ва } \sigma_g = 259,5 \cdot 6,69 = 1735,4 \frac{\text{k}\cdot\text{м}}{\text{см}^2}$$

Динамик деформация:

$$f_g = f_{cm} \kappa_g = 0,0813 \cdot 6,69 = 0,544 \text{ см}$$

**4-масала.** Бир минутда  $n$  маротаба айланма ҳаракат килаётган, оғирлиги  $Q$  бўлгандвигатель иккита қўштаврли балкага ўрнатилган. Двигателнинг айланма ҳаракат қилаётган қисмларининг марказдан қочма кути  $H=10kH$ ;  $Q=30kH$ .

- 1) эркин тебраниш частотаси —  $\omega_0$ ;
- 2) уйготувчи куч ўзгаришининг частотаси —  $\omega$
- 3) тебранишнинг ўсиш коэффициенти —  $\beta$
- 4) динамик коэффициент —  $K_g$  ва
- 5) энг катта күчланиш қийматлари топилсин.

Берилган қўштавр: N-40

$$n = 200 \frac{\text{об}}{\text{мин}}; I_x = 19062 \cdot 10^{-8} \text{ м}^4, E = 2 \cdot 10^8 \frac{\text{k}\cdot\text{м}}{\text{м}^2}$$

$$W_x = 953 \cdot 10^{-6} \text{ м}^3$$

**Ечиш.** Берилган схемадан асосий схемани танлаб оламиз. Бунинг учун  $Q$  юкнинг ўрнига  $P = 1$  бирлик кучини

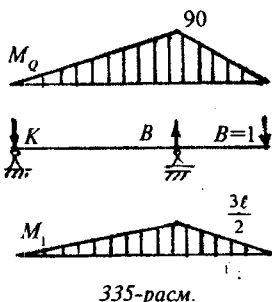
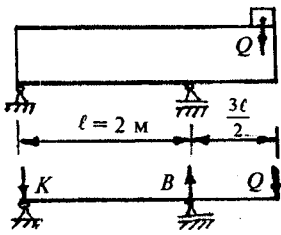
жойлаштирамиз.  $Q$  юк таъсиридан ҳосил бўлган эгувчи момент эпюрасини қурамиз:

а) Реакция кучларини топамиз:

$$\sum M_B = Q \frac{3\ell}{2} - K\ell = 0; \quad K = \frac{3Q}{2} = \frac{3}{2} \cdot 30 = 45 \text{ kH}$$

$$\sum M_A = -B\ell + Q\left(\frac{3\ell}{2} + \ell\right) = 0 \quad B = \frac{5}{2}Q = 75 \text{ kH}$$

б) Эгувчи момент  $M_Q$  ни то-



памиз:

$$0 < x_1 < 2 \text{ м}; \quad M_Q = -K \cdot x_1$$

$x_1 = 0$  бўлса,  $M_Q = 0$  ва  $x_1 = 2 \text{ м}$  бўлса,  $M_Q = -90 \text{ kNm}$

$$0 < x_2 < \frac{3\ell}{2} = 3 \text{ м} \quad M_Q = -Q \cdot x_2$$

$x_2 = 0$  бўлса,  $M_Q = 0$  ва  $x = 3 \text{ м}$  бўлса,  $M_Q = -90 \text{ kNm}$

Бирлик куч Р-1 таъсиридан ҳосил бўлган эгувчи момент  $M_p$  эпюрасини қурамиз (335-расм).

а) Реакция кучини топамиз:

$$\sum M_B = P \frac{3\ell}{2} - K\ell = 0 \text{ ёки}$$

$$K = \frac{3}{2}P = 1,5 \text{ kH} \text{ ва}$$

$$\sum M_A = P \frac{5\ell}{2} - B\ell = 0 \text{ ёки } B = \frac{5}{2}P = 2,5 \text{ kH}$$

б) Эгувчи момент  $M_p$  ни топамиз:  $0 \leq x_1 \leq \ell \quad M_p = -K \cdot x_1$

$$x_1 = 0 \text{ бўлса, } M_p = 0 \text{ ва } x_1 = \ell \text{ бўлса, } M_p = -\frac{3\ell}{2}$$

$$0 \leq x_1 \leq \frac{3\ell}{2} \quad M_p = -P \cdot x_1$$

$$x_1 = 0 \text{ бўлса, } M_p = 0 \text{ ва } x_1 = \frac{3\ell}{2} \text{ бўлса, } M_p = -\frac{3\ell}{2}$$

*Q* юк ўрнатилган нүктанинг кўчишини топамиз:

$$\Delta = \frac{\omega \cdot M_p^0}{EI} = \frac{\frac{1}{2} \cdot 90 \left( \ell + \frac{3\ell}{2} \right) \frac{3\ell}{2}}{EI} = \frac{1350\ell^2}{8EI} = \frac{1340 \cdot 4}{8 \cdot 2 \cdot 10^8 \cdot 19062 \cdot 16^{-8}} = 0,0177 \text{ м}$$

$\omega$  — ташқи куч *Q*дан қурилган эгувчи момент  $M_q$  нинг юзаси.

$M_p^0$  — ташқи куч *Q* таъсиридан қурилган эгувчи момент  $M_p$  эпюраси юзасининг оғирлик марказига тўғри келувчи бирлик куч моменти  $M_p$  эпюрасининг ординатаси.

Эркин тебраниш частотасини топамиз:

$$\omega_0 = \sqrt{\frac{g}{\Delta}} = \sqrt{\frac{9,81}{0,0177}} = 23,54 \frac{1}{\text{сек}}$$

Үйфотувчи куч ўзгаришининг частотаси:

$$\omega = 2\pi \frac{n}{60} = \frac{\pi \cdot n}{30} = \frac{3,14 \cdot 200}{30} = 20,9 \frac{1}{\text{сек}}$$

Тебранишнинг ўсиш коэффициенти:

$$\beta = \frac{1}{1 - \left( \frac{\omega}{\omega_0} \right)^2} = \frac{1}{1 - \left( \frac{20,9}{23,54} \right)^2} = 4,717$$

$\beta$  қиймати манфий ишора билан чиқса, кейинги ҳисоблашларда  $|\beta|$  олиниши керак. Динамик коэффициентни топамиз:

$$K_g = 1 + \frac{f_H}{f_d} \beta = 1 + \frac{H}{Q} |\beta| = 1 + \frac{10}{30} 4,717 = 2,57$$

Энг катта нормал кучланишни топамиз:

$$\sigma_g = K_g \sigma_{CT} = K_g \cdot \frac{M}{W_x} = 2,67 \cdot \frac{9}{953 \cdot 10^{-6}} = 0,2427 \cdot 10^6 \frac{\kappa H}{\text{м}^2}$$

**5-масала.** СДЕ ва КТИ синиқ стерженлар билан БК валик БВ ўқ атрофида ўзгармас бурчак тезлик билан айланади (336-расм). СД ва КИ вертикал ҳамда ДЕ ва ИТ горизонтал участкаларида ҳосил бўлган инерция кучлари таъсиридаги эгувчи момент эпюраси қурилсин:  $[\sigma] = 100 \text{ МПа}$  шартни бажарадиган валикни бир минутдаги айланишлар сонини рухсат этилган қиймати топилсин. Валикнинг диаметри  $d = 0 \text{ мм}$ .

**Ечиш.** Инерция күчининг интенсивлиги  $g_i$ , синиқ стерженниң  $СД$  ва  $КИ$  оралиқларида тұғри чизиқли қонуият билан үзгаради:  $K$  ва  $C$  нүктада  $g_i = 0$ ;  $D$  ва  $I$  нүқталарда  $q_i = \frac{\gamma A\omega^2}{g} \ell$  ға тенг. Стерженнинг горизонтал  $ДЕ$  ва  $ИТ$  оралиқларида күчининг интенсивлиги үзгармас ға тенг тар-қалған:  $q_i = \frac{\gamma A\omega^2}{g} \ell$ .

Системаниң таянч күчларини топамиз:

$$\sum M_A = 0 \text{ ёки } q_i 2\ell \frac{2\ell}{2} + q_i 2\ell \left( \frac{2\ell}{\ell} + 3\ell \right) + \frac{1}{2} q_i \ell \cdot 5\ell - B \cdot 3\ell = 0$$

$$\text{Бу ерда: } B = \frac{25}{6} \cdot \frac{\gamma A\omega^2 \ell^2}{g}$$

$$\sum M_B = 0$$

$$B \cdot 3\ell - q_i \cdot 2 \cdot \ell \left( \frac{2\ell}{2} + \ell \right) - \frac{1}{2} q_i \ell \cdot 2\ell + q_i 2\ell \frac{2\ell}{2} + \frac{1}{2} q_i \ell \cdot \ell = 0$$

$$B = \frac{5}{6} \cdot \frac{\gamma A\omega^2 \ell^2}{g}$$

$$\text{Текшириш: } \sum y = 0 \text{ ёки } B + B - q_i 2\ell - \frac{1}{2} q_i \ell - \frac{q_i \ell}{2} - q_i 2\ell = 0$$

$$\begin{aligned} & \frac{5}{6} \cdot \frac{\gamma A\omega^2 \ell^2}{g} + \frac{25}{6} \cdot \frac{\gamma A\omega^2 \ell^2}{g} - \frac{\gamma A\omega^2 2\ell^2}{g} - \frac{\gamma A\omega^2 \ell^2}{2g} - \frac{\gamma A\omega^2 \ell^2}{2g} - \\ & - \frac{\gamma A\omega^2 2\ell^2}{g} = 0; \quad \frac{30}{6} \cdot \frac{\gamma A\omega^2 \ell^2}{g} - \frac{30}{6} \cdot \frac{\gamma A\omega^2 \ell^2}{g} = 0 \end{aligned}$$

Әгувчи момент қийматларини топамиз: **I—I қирким.**

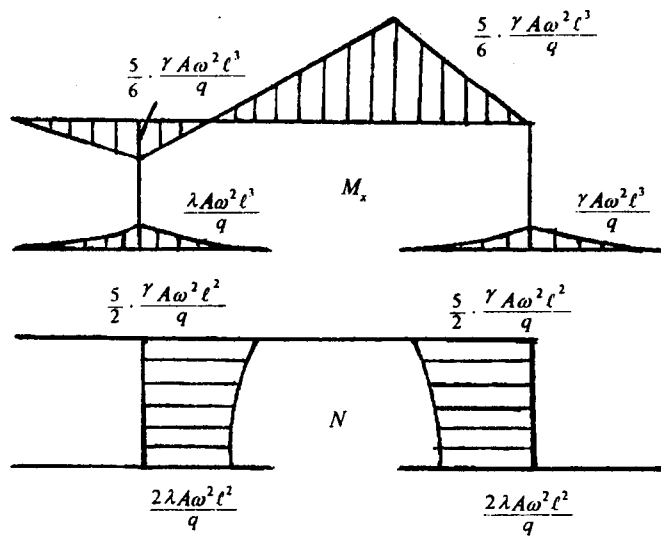
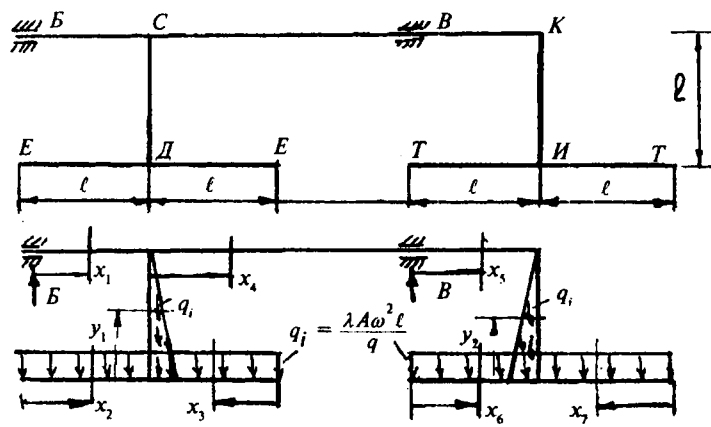
$$0 \leq x_1 \leq \ell \quad M_1 = B x_1 = \frac{5}{6} \cdot \frac{\gamma A\omega^2 \ell^2}{g} \cdot x_1$$

$$x_1 = 0; \quad M_1 = 0 \quad \text{ва} \quad x_1 = \ell; \quad M_1 = \frac{5}{6} \cdot \frac{\gamma A\omega^2 \ell^3}{g}$$

$$\text{II—II қирким. } 0 \leq x_2 \leq \ell \quad M_2 = q_i \frac{x^2}{2} = - \frac{\gamma A\omega^2 \ell^2}{g} \cdot \frac{x_2^2}{2}$$

$$x_2 = 0 \quad \text{бұлса; } M_2 = 0 \text{ ва}$$

$$x_2 = \ell \quad \text{да} \quad M_2 = - \frac{\gamma A\omega^2 \ell^3}{2g}$$



336-расм.

$$\text{III—III қирқим. } 0 \leq x_3 \leq \ell; \quad M_3 = -q_i \frac{x_3^2}{2} = -\frac{\gamma A \omega^2 \ell}{g} \cdot \frac{x_3^2}{2}$$

$x_3 = 0$  бүлса,  $M_3 = 0$  ва

$$x_3 = \ell \quad \text{да} \quad M_3 = -\frac{\gamma A \omega^2 \ell^3}{2g}$$

**IV қирқим.**  $0 \leq y_1 \leq \ell; \quad M_V = 0$

**V—V қирқим.**  $0 \leq x_4 \leq 2\ell$

$$\begin{aligned} M_5 &= B(x_4 + \ell) - \frac{1}{2} q_i \ell \cdot x_4 - q_i \ell \left( \frac{\ell}{2} + x_4 \right) - q_i \ell \left( x_4 - \frac{\ell}{2} \right) = \\ &= \frac{5}{6} \frac{\gamma A \omega^2 \ell^2}{g} (x_4 + \ell) - \frac{\gamma A \omega^2 \ell^2}{g} x_4 - \frac{\gamma A \omega^2 \ell^2}{g} \left( \frac{\ell}{2} + x_4 \right) - \frac{\gamma A \omega^2 \ell^2}{g} \left( x_4 - \frac{\ell}{2} \right) \end{aligned}$$

$$x_4 = 0 \text{ бүлса, } M_5 = \frac{5}{6} \cdot \frac{\gamma A \omega^2 \ell^3}{g}; \quad x_4 = 2\ell \text{ бүлса, } M_5 = -\frac{5}{2} \cdot \frac{\gamma A \omega^2 \ell^3}{g}$$

**VI—VI қирқим.**  $0 \leq x_5 \leq \ell$

$$M_6 = B(3\ell + x_5) - q_i 2\ell \left( \frac{2\ell}{2} + \ell + x_5 \right) - \frac{1}{2} \cdot q_i \ell (2\ell + x_5) + Bx_5$$

$$x_5 = 0 \text{ бүлса, } M_6 = -\frac{5}{2} \cdot \frac{\gamma A \omega^2 \ell^3}{g}; \quad x_5 = \ell \text{ бүлса, }$$

$$M_6 = \frac{5\gamma A \omega^2 \cdot 4\ell^3}{6g} - \frac{\gamma A \omega^2 \cdot 2\ell^2 \cdot 3\ell}{g} - \frac{\gamma A \omega^2 \cdot 3\ell^3}{2g} + \frac{25\gamma A \omega^2 \ell^3}{6g} = 0$$

$$\text{VII—VII қирқим. } 0 \leq x_6 \leq \ell \quad M_7 = -q_i \frac{x_6^2}{2} = -\frac{\gamma A \omega^2 \ell}{g} \cdot \frac{x_6^2}{2}$$

$$x_6 = 0 \text{ бүлса, } M_7 = 0 \text{ ва } x_6 = \ell \text{ да } M_7 = -\frac{\gamma A \omega^2 \ell^3}{2g}$$

$$\text{VIII—VIII қирқим. } 0 \leq x_7 \leq \ell \quad M_8 = -q_i \frac{x_7^2}{2} = -\frac{\gamma A \omega^2 \ell}{g} \cdot \frac{x_7^2}{2}$$

$$x_7 = 0 \text{ бүлса, } M_8 = 0 \text{ ва } x_7 = \ell \text{ да } M_8 = -\frac{\gamma A \omega^2 \ell^3}{2g}$$

**IX—IX қирқим.**  $M_9 = 0$

Энг катта эгувчи момент  $B$  таянч кесимида ҳосил бўла-ди.

$$M_{\max} = \frac{5}{2} \cdot \frac{\gamma A \omega^2 \ell^3}{g}$$

Берилган системанинг  $СД$  ва  $ИК$  вертикал қисмларида бўйлама куч ҳосил бўлади, чунки куч интенсивлиги,  $B$  ва  $B$  реакция кучлари фақат  $СД$  ва  $ИК$  стерженъ ўқларига проекция беради.

$$N_1 = 0; N_2 = 0; N_3 = 0; N_4 = q_i 2\ell + \int_0^{y_1=\ell} q_{yi} dy$$

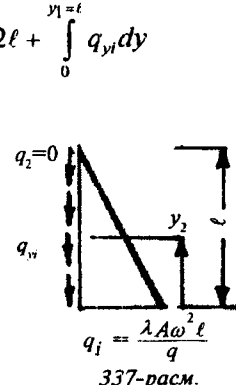
$СД$  узунликда  $q_i$  — инерция кучи интенсивлиги тўғри чизиқли қонуният билан ўзгаради. Шунинг учун инерция кучи интенсивлигининг тенг таъсир қилувчиси  $q_i$  — таъсир чизиги билан, уни минимал  $q_i = 0$  ва максимал  $q_i = \gamma A \omega^2 \frac{\ell}{g}$  қийматларидан ҳосил бўлган учбурчак юзаси билан ўлчана-ди (337-расм).

$СД$  участкада  $N$  куч ўзгариш қонуниятини билишимиз учун  $y = 0$  ва  $y = \ell$  чегара оралиғидаги қийматларда ҳам инерция кучини аниқлашимиз лозим.

Масалан,  $y = y_1$  бўлсин, у ҳолда  $q_i = q_y$ , схемадан  $\frac{q_i}{\ell} = \frac{q_{yi}}{\ell - y_1}$  ёки  $q_{yi} = q_i \left(1 - \frac{y_1}{\ell}\right)$

$q_{yi}$  — инерция кучининг интенсивлиги  $y = y_1$  ҳолатидаги қиймати. Демак,

$$\begin{aligned} N_4 &= q_i \cdot 2\ell + \int_0^{\ell} q_i \left(1 - \frac{y_1}{\ell}\right) dy = \frac{\gamma A \omega^2 \ell}{g} \cdot 2\ell + \int_0^{\ell} q_i dy - \int_0^{\ell} q_i \frac{y_1}{\ell} dy = \\ &= \frac{\gamma A \omega^2 \ell}{g} \cdot 2\ell + \frac{\gamma A \omega^2 \ell}{g} \cdot y_1 \left| -\frac{\gamma A \omega^2 \ell}{g} \cdot \frac{y_1^2}{2\ell} \right| \end{aligned}$$



337-расм.

$$y_1 = 0 \text{ бўлса, } N_4 = \frac{\gamma A \omega^2 2\ell^2}{g}$$

$$y_1 = \frac{\ell}{2}; \quad N_4 = \frac{19}{8} \cdot \frac{\gamma A \omega^2 \ell^2}{g}; \quad y_1 = \ell; \quad N_4 = \frac{5}{2} \cdot \frac{\gamma A \omega^2 \ell^2}{g}$$

$$N_5 = 0; N_6 = 0; N_7 = 0; N_8 = 0$$

$$0 \leq y_2 \leq \ell$$

$$\begin{aligned} N_9 &= q_i 2\ell + \int_0^{y_2=\ell} q_{yi} dy = q_i \cdot 2\ell + \int_0^{\ell} q_i \left(1 - \frac{y_2}{\ell}\right) dy = \frac{\gamma A \omega^2 \ell}{g} 2\ell + \\ &\quad + \frac{\gamma A \omega^2 \ell \cdot y_2}{g} - \frac{\gamma A \omega^2 \ell}{g} \cdot \frac{y_2^2}{2\ell} \end{aligned}$$

$$y_2 = 0 \text{ бўлса, } N_9 = \frac{\gamma A \omega^2 \ell^2}{g}$$

$$y_2 = \frac{\ell}{2}; \quad N_9 = \frac{19}{8} \cdot \frac{\gamma A \omega^2 \ell^2}{g}$$

$$y_2 = \ell; \quad N_9 = \frac{5}{2} \cdot \frac{\gamma A \omega^2 \ell^2}{g}; \quad N_{\max} = \frac{5}{2} \frac{\gamma A \omega^2 \ell^2}{g}$$

Системанинг хавфли кесими учун қуидаги шарт ба-  
жарилиши керак:

$$\sigma_{\max} = \frac{N_{\max}}{A} + \frac{M_{\max}}{W} = \frac{N_{\max}}{A} + \frac{32 \cdot M}{\pi d^3} \leq [\sigma] \text{ ёки}$$

$$\frac{5\gamma A \omega^2 \ell^2}{2Ag} + \frac{32 \cdot 5\gamma A \omega^2 \cdot \ell^2}{2\pi d^3 g} \leq [\sigma]; \quad \frac{5\gamma A \omega^2 \ell^2}{2g} + \frac{8 \cdot 5\gamma A \omega^2 \cdot \ell^3}{2dg} = [\sigma]$$

Бу ерда:

$$\omega_p = \omega = \sqrt{\frac{[\sigma]}{\frac{5\gamma \ell^2}{2g} + \frac{20\gamma \ell^3}{dg}}} = \sqrt{\frac{100 \cdot 10^3}{\frac{5 \cdot 78 \cdot 0,25}{2 \cdot 9,81} + \frac{20 \cdot 78 \cdot 0,125}{9,81 \cdot 0,02}}} = 10 \frac{1}{\text{сек}}$$

Бир минутда валикнинг айланиш сони:

$$n = \frac{60 \cdot \omega_p}{2\pi} = \frac{60 \cdot \omega_p}{2 \cdot 3,14} = 95,54$$

**6-масала.** Мустаҳкамлик чегараси  $\sigma_b = 600 \text{ мПа}$ ; оқувчанлик чегараси  $\sigma_T = 300 \text{ мПа}$ ; пұлатдан тайёрланған, диаметри  $d = 50 \text{ мм}$  бўлган вални хавфли кесимда  $M_\delta = 320 \text{ Нм}$  буровчи ва  $M_s = 320 \text{ Нм}$  эгувчи моментлар таъсир қиласи.

Эгилишдаги нормал кучланишнинг симметрик циклдаги: буралишдаги уринма кучланишнинг тепкили (пульсирующий) циклдаги кучланишга тенг деб қаралиб, хавфли кесим учун эҳтиётлик коэффициенти топилсан.

**Ечиш.** Энг катта нормал кучланишни аниқлаймиз:

$$\sigma_{\max} = \frac{M_s}{W} = \frac{32M_s}{\pi d^3} = \frac{32 \cdot 320 \cdot 10^3}{3,14 \cdot (50)^3} = 0,026 \cdot 10^3 \frac{\text{Н}}{\text{мм}^2}$$

Энг катта уринма кучланишни аниқлаймиз:

$$\tau_{\max} = \frac{M_\delta}{W} = \frac{16 \cdot M_\delta}{\pi d^3} = \frac{16 \cdot 320 \cdot 10^3}{3,14 \cdot (50)^3} = 0,013 \cdot 10^3 \frac{\text{Н}}{\text{мм}^2}$$

Буралишда оқувчанлик чегараси:

$$\tau_{-1} = 0,25\sigma_T = 0,25 \cdot 300 = 75 \text{ мПа}$$

Чидамлилик (бардош бериш) чегараси:

$$\text{Буралишда: } \sigma_{-1} = 0,25\sigma_b = 0,25 \cdot 600 = 150 \text{ мПа}$$

$$\text{Эгилишда: } \sigma_{-1} = 0,43\sigma_b = 0,43 \cdot 600 = 258 \text{ мПа}$$

Кучланишлар концентрацияси:

$$K = 1,2 + 0,2 \frac{\sigma_b - 40}{110} = 1,2 + 0,2 \frac{600 - 40}{110} = 2,2$$

Масштаб коэффициенти:

$$\beta_m = 1,2 + 0,1(d - 3) = 1,2 + 0,1(5 - 0,3) = 1,67$$

$\sigma$  ва  $\tau$  бўйича эҳтиётлик коэффициенти:

$$n_\sigma = \frac{\sigma_{-1}}{\sigma_{\max}} = \frac{\sigma_{-1}}{k \beta_m \cdot \sigma_{\max}} = \frac{250}{2,2 \cdot 1,67 \cdot 26} = 2$$

$$n_\tau = \frac{\sigma_{\max}}{2} = \frac{13}{2} = 6,5$$

Чарчашибдан емирилишдаги ва оқувчанликнинг бошланнишидаги умумий эҳтиётлик коэффициентларини топамиз:

$$n_{\tau_0} = \frac{\tau_{-1}}{k \cdot n_{\tau} + \beta_m n_{\tau}} = \frac{75}{2,2 \cdot 6,5 + 1,67 \cdot 6,5} = 2,9$$

$$k_{TM} = \beta_m \cdot \kappa = 1,67 \cdot 2,2 = 3,674$$

Буралашдаги оқувчанликка эҳтиётлик коэффициенти:

$$n_{\tau} = \frac{\tau_T}{\tau_{\max}} = \frac{75}{13} = 5,77$$

Мустаҳкамликнинг умумий эҳтиётлик коэффициенти:

$$n = \frac{n_{\sigma} \cdot n_{\tau}}{\sqrt{n_{\sigma}^2 + (n_{\tau})^2}} = \frac{2,7 \cdot 5,77}{\sqrt{(2,7)^2 + (5,77)^2}} = 2,99$$

Чарчашдан өмирилишга эҳтиётлик коэффициенти:

$$n = \frac{n_{\sigma} \cdot k_{TM}}{\sqrt{n_{\sigma}^2 + K^2 TM}} = \frac{2,7 \cdot 3,674}{\sqrt{(2,7)^2 + (3,674)^2}} = 2,17$$

## XIV Б О Б

### ДЕФОРМАЦИЯ ВА КУЧЛАНИШЛАРНИ ЭКСПЕРИМЕНТАЛ ТЕКШИРИШ

**Экспериментал текширишнинг аҳамияти ва принципи [3].**

Машина ва иншоот қисмларида ҳосил бўладиган ҳар қандай куч, кучланиш ва деформацияларнинг ҳаммасини ҳам назарий усул билан ҳисоблаб бўлмайди. Айниқса, ташки кучларнинг симметрия текислиги бўйлаб таъсир этмаслиги, вақтга нисбатан ўзгарувчанлиги, ички кучларнинг концентрацияланиши натижасида ҳосил бўлган деформация ва кучланишларнинг ўзгарувчанлиги уларни аниқлашни қийинлаштиради. Шунинг учун ҳам машина ва иншоот қисмларининг мустаҳкамлик тавсифларини аниқлашда ҳозирги замон экспериментал текшириш усулларидан кенг фойдаланиш зарурияти келиб чиқади.

Экспериментал текшириш машина қисмларининг, бир томондан, техник талабларга жавоб берини (иш нормасини, маҳсулотнинг сифатини, техник қаров ва бошқаларни) аниқласа, иккинчи томондан, унинг конструкциясини — бўғин бўлакларининг ўлчамларини ва ортиқча оғир бўлмаслигини, улардаги ҳақиқий кучланишни, деформацияни ва материални тўғри танлашни ўргатади.

Одатда, машина ва иншоот қурилмалари бирданига ясалмай, бир қанча ўзгартиришлар киритиш натижасида яратилади. Ўзгартиришлар эса, экспериментал текширишнинг маҳсулидир. Экспериментал текшириш ўзгартиришлар киритиш билан бир қаторда назарий ҳисоблаш усулларини аниқлади ва бойитиб боради. Экспериментал текшириш натижасида машина бўлакларининг мустаҳкамлиги —  $[\sigma]$  ва  $[\tau]$  бир неча марта оширилиб, эҳтиётлик коэффициенти —  $[n]$  камайтирилади. Натижада машиналарнинг конструкция қисмларини бир неча марта енгиллаштириш ва арzon материал қўллаш мумкинлигини аниқлади. Бу билан машиналарнинг иш қобилиятлари камаймайди, балки уларни ҳаракатга келтирадиган энергия сарфлари камайтирилади ва маблағ тежаб қолинади.

Мураккаб кучланиш ва динамик юклама таъсиридаги машина қисмларининг мустаҳкамлигини текшириш ва таъминлашда экспериментал текшириш жуда катта аҳамиятга эга бўлади.

Механик текширишлар махсус синаш машиналарида универсал узувчи машиналар, буралишга синаш машиналари ва бошқалар ҳамда асбоблар: стрелкали индикатор, тензорометр ва бошқаларда бажарилади. Бундай усулда текширишда материалдан махсус намуна тайёрланади. Бу усул материалнинг умумий мустаҳкамлик, эластиклик тавсифларини аниқлашда қўлланилади.

Материалларни, яъни ишлаб турган машина қисмларини дала шароитида ҳамда ишлаб чиқариш корхоналарида ишдан чиқиши сабабларини аниқлашда юқоридаги усуллардан фойдаланиб бўлмайди. Бундай шароитда деформация ва кучланишларнинг ўзгариш қонунларини аниқлаш электр ўлчаш асбоблари, электротензодатчиклар ёрдамида олиб борилиши мумкин.

Деформация ва унга асосланган кесим кучланишларини аниқлаш учун уч хил датчиклар қўлланилиши мумкин:

1. Пьезоэлектрик датчиклар — сегнетоэлектрик деб атавучи кристалл моддалар группасидан фойдаланишга асосланади. Бу моддалар пьезоэлектрик самарага эга бўлиб, механик кучланиш ёки деформация таъсирида диэлектрик сиртда ҳар хил номли электр зарядларини ва уларга мос равишда потенциаллар айирмасини ҳосил қиласди. Ҳосил бўлган электр зарядлари деформацияга ёки кучланишга пропорционал равишда ўзгаради.

2. Индукцион датчиклар — ферромагнит таёқчанинг деформацияланиши натижасида унга ўралган симда электр юритувчи кучнинг ҳосил бўлишига асосланган.

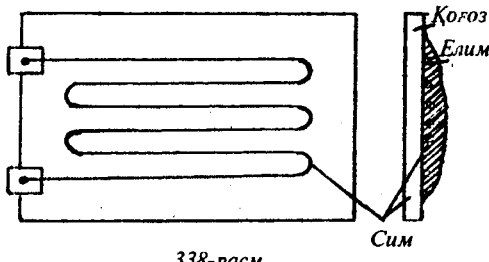
3. Симли датчиклар — механик кучланиш ва деформацияланиши натижасида сим қаршилигининг ўзгаришига асосланган. Симли датчик пьезоэлектрик ва индукцион датчикларга қараганда содда ва тайёрланишининг арzonлиги, ишлатилишининг қулайлиги туфайли кенг тарқалгандир. Симнинг қаршилиги физика қонунларидан маълум бўлиб, у сим ўлчамларига тўғри боғланишда бўлади, яъни:

$$R = \rho \frac{l}{s} \quad (14.1)$$

Бу ҳолда:  $\ell$  — симнинг узунлиги,  $s$  — симнинг кўндаланг кесим юзи,  $\rho$  — симнинг солишиштира қаршилиги.

Симли датчик диаметри ( $O = 0,02 - 0,04 \text{ мм}$ ) ва солишиштира қаршилиги катта бўлган симдан петля шаклида зичлиги катта қоғозга ёпишириб ясалган бўлади (338-расм).

Ишлатиш учун у деталга ёпишиширилади. Бу датчик ёрдамида асосан механик куч таъсирида ҳосил бўлган чўзилиш, сиқилиш, эгилиш, буралиш деформациялари ўлчанади (338-расм).



338-расм.

**Чўзилиш ва сиқилиш деформациясини электротензометр ёрдамида аниқлаш [3].** Чўзилишга ёки сиқилишга ишлайдиган призматик брусларнинг кесимларини тензодатчик ёрдамида чизиқли силжишларини ва уларда ҳосил бўладиган зўриқишлирни жуда аниқ ўлчаш мумкин. Бу усул деформацияни ричагли тензометр, стрелкали индикатор ёрдамида аниқлагандан кўра афзал бўлиб, динамик куч таъсирида текширишда тенги йўқ. Чунки тензометр ва индикаторларнинг стрелкалари динамик куч таъсирида содир бўлаётган деформация ва зўриқишлирни аниқлаш даврида тўхтовсиз тебранма ҳаракат қиласи. Максимал кўрсаткини кўз билан илғаб олиш қийин.

Тензодатчик ёрдамида брусларнинг ихтиёрий кесим оралидаги, яъни индикторларни ўрнатиш мумкин бўлмаган кесимлардаги деформацияларни ўлчаш мумкин. Бу усул механик кучланиш ва деформацияланиш натижасида тензодатчик қаршилигининг ўзгаришига асосланади (339-а, б расм).

Тензодатчик деформация ўлчаниши керак бўлган брус сиртига бўйлама чўзилишга ёки сиқилишга ишлайдиган

тарзда узун томони билан ёпиштирилади. Брус деформацияланиш натижасида унинг сиртига мустаҳкам ёпиштирилган тензородатчик петляси узун томони бўйлаб чўзилиши ёки қисқариши мумкин.

Симли тензородатчикнинг қаршилиги эластиклик деформация чегарасида  $0,2\text{--}0,5$  Ом гача бўлиши мумкин, яъни  $100$  Ом ли тензородатчикнинг қаршилиги  $0,1\text{--}0,5$  Ом гача ўзгариади.

Шу чегарада пўлат пластинканинг нисбий деформацияси  $2,5 \cdot 10^{-3}$  % ни ташкил қиласди. Кучланиш эса тахминан  $200$  Н/мм $^2$ . Бу қийматларни ўлчаб олиш учун симли датчик ўлчаш кўприги орқали кўпайтиргич аппаратига ва ниҳоят шлейфли ёки катодли осциллографларга уланади. Осциллограф экранидан олинган қиймат масштаблаш тартибига қараб ички кучни, кучланишни ёки абсолют ва нисбий деформацияни бериши мумкин. Масалан:

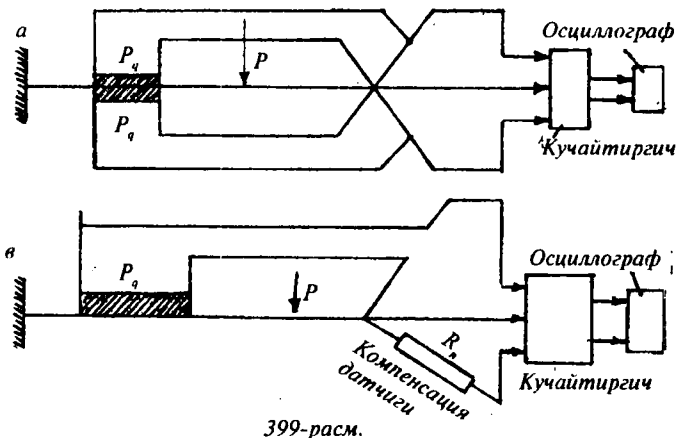
$$K_\rho = \frac{P}{m} \left[ \frac{H}{\text{мм}} \right]; \quad K_\delta = \frac{\sigma}{m} = \frac{P}{Am} \quad (14.2)$$

$$K_{\Delta\ell} = \frac{\Delta\ell}{m} \left[ \frac{H}{\text{мм}} \right]; \quad K_\varepsilon = \frac{\varepsilon}{m} \quad (14.3)$$

Бу ҳолда:  $m$  — осциллограф экранидаги кучнинг, кучланишнинг ёки деформациянинг ўзгариши натижасида шлейф ёруғлик нуқтасининг оғиши.

Тензородатчик электр токига уланганда қизиши мумкин. Натижада унинг қаршилиги деформацияга боғлиқ бўлмаган ҳолда ўзгариади. Бунинг олдини олиш мақсадида деформация ўлчанаётган обьектдаги тензородатчик қаршилигига тенг бўлган бир хил тавсифли иккинчи тензородатчик олинади ва у деформацияланмайдиган, лекин ташки шароити бир хил бўлган обьектга ёпиштириллади ҳамда ўлчаш кўпригининг иккинчи бўш елкасига уланади. Бундай уланган тензородатчикка компенсация датчиги дейилади.

Деформация миқдорининг аниқлиги бруслага ёпиштирилган тензородатчикни тарировка қилишга боғлиқ. Тензородатчик фақат бир обьектни ўлчаш учун яроқли бўлиб, уни олдиндан тарировка қилиб бўлмайди. Чунки тензородатчик обьектга ёпиштирилганида у деталь билан бир бутун бўлиб



399-расм.

кетади ва уни қайтадан күчириб олиш ва бошқа обьекттега ёпиштириш мумкин эмас. Тензодатчик ёпиштирилган бруснинг деформациясини бир вақтда ричагли тензометр ва тензодатчик ёрдамида лаборатория шароитида ўлчаб олиш йўли билан тарировка қилиш мумкин. Тензометри орқали бруснинг нисбий деформацияси куйидагича аниқланади:

$$\frac{\Delta \ell}{\ell} = \frac{h}{20m}$$

Бу ҳолда:  $h$  — тензометр шкаласининг бўлакчалари;  $m$  — тензометрнинг кўпайтириш коэффициенти. У 1000—1200 атрофида бўлиб, тензометрнинг паспортида берилади;  $\ell$  — тензометр базаси ( $\ell = 20—50$  мм оралиғида бўлади). Сўнгра ўлчаш кўприги уланган блок схема (кучайтиргич ва осциллограф) орқали тензодатчик қаршилигининг ўзгариши ёки унга пропорционал равишда ток кучи ва кучланишларнинг ўзгариши осциллограф экрани орқали ўлчаб олинади ( $h$ ) ва нисбий деформациянинг масштаб қиймати топилади.

Бу усулда топилган масштаб ричагли тензометрни ўлчаш аниқлигига боғлиқ бўлиб, у жуда аниқ бўла олмайди. Чунки тензометр шарнирларининг ишқаланишига ишлаши ва шкала бўлакларининг аниқ ўлчаб бўлмаслиги

анча хатоликларга йўл қўяди. Шу сабабли уни машина қисмларида қўллаш мумкин эмас.

Тензодатчикнинг деформацияга боғлиқ ўзгаришини деформацияси аниқ иккинчи балкага ёпиштирилган тензодатчикнинг кўрсатиши асосида солиштириш йўли билан ҳам тарировка қилиш мумкин. Бу ҳолда деформацияси ўлчаниши керак бўлган бруス сиртига ёпиштирилган тензодатчик тавсифидаги (базаси, қаршилиги, симнинг диаметри) иккинчи бир тензодатчик эгилишга қаршилик моменти тенг миқдорли балка сиртига ёпиштирилади, сўнгра бруス ва балка сиртига ёпиштирилган тензодатчиклар ( $R_g$  ва  $R_t$ ) ўлчашиб кўпргининг икки елкасига уланади. Тарировка қилиш тартиби қуйидагича бажарилади: консолли балка секин-аста ўсиб борувчи куч таъсирида эгилади ва балка сиртининг нисбий деформацияси унга ёпиштирилган тензодатчик  $R_t$  ёрдамида аниқланади (осциллограф экранидаги  $h_e$ ). Гук қонунига биноан бу деформация қуйидагига тенг:

$$\sigma = E \varepsilon_t \quad (14.4)$$

Кучланиш эса эгилишга тенг қаршилик моментли балка учун ўзгармас бўлиб, қуйидагича топилади:

$$\sigma = \frac{P\ell}{\frac{\ell h^2}{6}} = const \quad (14.5)$$

$$K_{\varepsilon_T} = \frac{\varepsilon_T}{h_T} \text{ ёки } K_{\Delta\ell_T} = \frac{\Delta\ell_T}{h_T}$$

Сўнгра балкани тинч ҳолатда қолдириб, деформацияси ўлчаниши керак бўлган бруслни секин-аста ташқи куч таъсирида чўза бошлаймиз. Унинг чўзилиши натижасида унга ёпиштирилган тензодатчик ҳам чўзилади ва қаршилиги ўзгариб, ўлчашиб кўпрги диагоналидан ток ўта бошлайди. Бу ток кучайтиргич орқали кучайтирилиб, осциллограф барабанидан ўсиб олинади ёки ўлчаб олинади.  $h_d$  амплитудага тўғри келган нисбий деформация қуйидагига топилади:  $\varepsilon_d = K \varepsilon_t \cdot h_d$  ёки  $\Delta\ell_d = h_d K_{\Delta\ell_T}$

Нисбий деформацияни билган ҳолда абсолют деформацияни топиш мүмкін:  $\Delta l = \varepsilon_d \cdot l$

Сүнгра күчланиш эластиклик модули ва ички күчлар топилади:

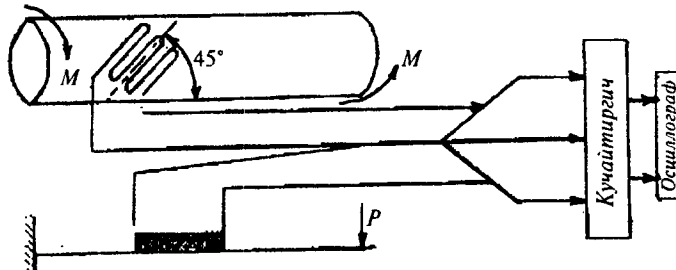
$$\sigma = E \varepsilon_d; \quad E = \frac{\sigma}{\varepsilon_d}$$

Масштабни аниқлашда РД нинг  $\Delta l$  га боғлиқ ўзгариш қийматига тарировка графаси қурилса (341-б расм) стержень деформациясининг ҳақиқий қийматини топиш яна-да осонлашади.

**Валнинг буралиш деформациясини тензодатчик ёрдамида аниқлаш [3].** Валнинг буралиш деформациясини аниқлаш чўзилиш ва сиқилиш деформациясини аниқлашга нисбатан мураккаб бўлиб, уни кўпинча чўзилиш деформацияси учун топилган рухсат этилган күчланиш орқали аниқла-нади. Бунда буралишга ишлаётган цилиндрик сиртнинг сиртида олинган цилиндр ясовчига  $45^\circ$  қияликдаги тола-ларнинг буралиш натижасида чўзилиш ва сиқилишга иш-лаши асос қилиб олинади.

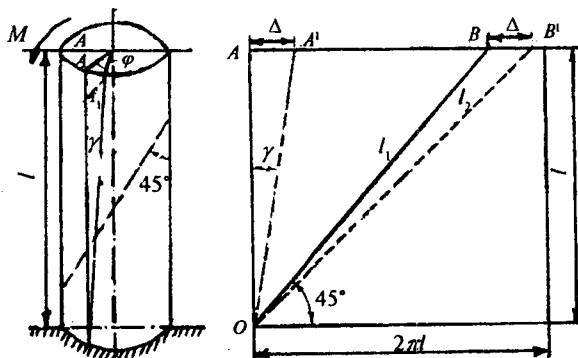
Цилиндрик сиртга  $45^\circ$  қияликда битта тензодатчик ёпиштирилиб ва иккинчи тензодатчик (компенсация учун олинади)эгилиш күчланиши ўзгармас балқага ёпиштирил-са, юқоридаги ўлчаш кўприги ҳосил бўлади (340-расм).

Цилиндрик сиртга  $45^\circ$  қияликда ёпиштирилган тензо-датчикнинг буралиш натижасида деформацияланиши ва уни эгилишга ишлаётган балканинг деформацияси билан боғланишини аниқлаш учун цилиндрик сиртнинг тақсим-



340-расм.

ланишини кўриб чиқамиз (340-расм):  $L_1$  — тензодатчик ёпиштирилган қия текислик толаларининг узунлиги;  $L_2$  —  $L_1$  нинг деформациядан кейинги узунлиги;  $\gamma$  — нисбий силжиш бурчаги.



340-расм.

Нисбий бўйлама деформация  $\varepsilon = \frac{\ell_2 - \ell_1}{\ell_1}$  эканини эътиборга олиб, цилиндр сиртида олинган  $45^\circ$  қиялиқда толанинг нисбий деформациясини топамиз:

$$\varepsilon_{45} = \frac{1}{2} \gamma = \frac{1}{2} \cdot \frac{\Delta}{\ell} = \frac{1}{2} r \frac{\varphi}{\ell} \quad (14.6)$$

Бу ҳолда:  $\ell$  — стерженнинг узунлиги;  $\varphi$  — стержень эркин учининг буралиш бурчаги;  $r$  — стержень кесим юзасининг радиуси.

Буралишдан ҳосил бўлган  $\varepsilon_{45}$  нисбий деформация балканинг эгилишдан топилган нисбий деформация масштаби орқали қуидагича ҳисоблаб олинади:

$$K_{\varepsilon t} = \frac{\varepsilon_T}{h_D}; \quad \varepsilon_{45} = K \cdot \varepsilon_T \cdot h_D$$

Бу ҳолда:  $h_D$  — стерженнинг буралиши натижасида тензодатчикнинг деформацияланишини кўрсатувчи осциллограф ёруғлик нурининг оғиш оралиғи.

Буралиш  $\varepsilon_{45}$  нисбий деформацияга тўғри келган буралиш бурчаги қўйидагича топилади:  $\varphi = \frac{2\ell \varepsilon_{45}}{r}$

Буровчи момент эса:  $\varphi = \frac{M\ell}{GJ_p}$  дан

$$M = \frac{GJ_p \varphi}{\ell} \quad \text{ёки } M = \frac{2\varepsilon_{45} \cdot GJ_p}{r \cdot \ell} = \frac{2GJ_p \varepsilon_{45}}{r}$$

Бу ҳолда:  $J_p = \frac{\pi d^4}{32}$  — кесим юзанинг қутб инерция моменти;  $G = 0,4 \cdot E = 8 \cdot 10^4 \frac{Н}{мм^2}$  силжишдаги эластиклик мондули.

Шундай қилиб, буралиш деформацияси  $\varepsilon_{45}\varphi$  ва  $M$ ларни эгилишга тенг қаршилик моментли балканинг эгилиш деформацияси орқали тензодатчик ёрдамида аниқлаш мумкин экан. Бу усул машина ва иншоот қисмларини ишлаб чиқариш жараённида ёки дала шароитида мустаҳкамликка текшириш талаб этилганида кенг қўлланилади.

### Лок қопламалари усули [4]

Лок қопламалари усулидан, одатда, деформация ва кучланишлар тақсимланишини, шунингдек, деталь сиртидаги кўп юкланган зоналарини аниқлашда фойдаланилади.

Синовдан олдин деталнинг текшириладиган сирти ёки унинг модели юпқа маҳсус мўрг лок билан ( $0,07$ — $0,15$  мм), масалан, канифольцеллуоид локи(целлуоид қўшилган канифолнинг спиртдаги ёки бошқа эриткичдаги эритмаси) билан қопланади. Лок деталь сиртига яssи чўтка билан суртилади ёки пульверизатор билан пуркалади, ёки деталь лок солинган идишга ботириб олинади. Қуритилгач (баъзи лок сортлари маълум ҳароратда қиздирилиши керак) деталь синовдан ўтказилади.

Деталь билан биргаликда деформацияланадиган лок қатламида пайдо бўлган дарзлар синовнинг асосий натижаси ҳисобланади. Юк ортиши билан улар кетма-кет пайдо бўлиши ҳам мумкин. Энг биринчи дарзлар деталнинг энг кўп юкланган зоналарида пайдо бўлади.

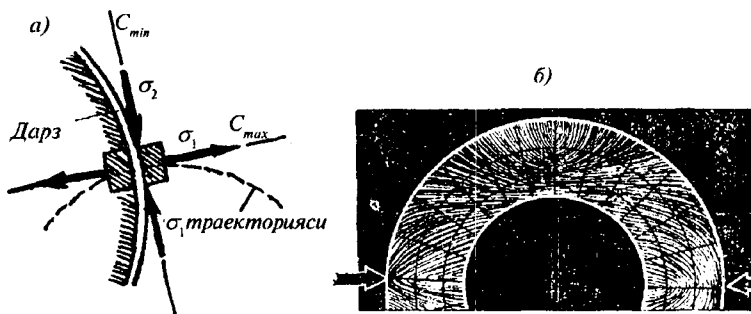
Дарзлар ҳосил қилишнинг иккита усулидан, яъни детални юклантириш ва юксизлантириш усулидан фойдаланилади.

Биринчи усулда лок деталь сиртига у юклангунга қадар суртилади. Табиийки, деталь юкланганида пайдо бўладиган дарзлар сиртнинг ҳар бир нуқтасида энг катта чўзиши йўналишига перпендикуляр йўналишда, яъни бош чўзиши  $\varepsilon_1$  ёки бош кучланиш  $\sigma_1$  йўналишига перпендикуляр жойлашади (342-а расм).

Шундай қилиб, юкланганда пайдо бўладиган дарз ҳар бир нуқтада  $\sigma_2$  йўналишга мос тушади ва бу кучланиш траекторияси ҳисобланади. Ушбу усул билан диаметри бўйлаб сиқилган алюминий ҳалқанинг қопламасидаги дарзлар 342-расмда кўрсатилган.

Дарзлар олишнинг иккинчи усулида локни юкланган деталнинг сиртига суртилади. Лок қуригач, деталь астасекин юксизлантирилади, бунда юксизлантириш жараёнида деталь сиқилган йўналишда чўзиши юзага келади ва аксинча. Юксизлантириш натижасида  $\sigma_1$  траекторияси билан устма-уст тушувчи дарзлар пайдо бўлади, юклантириш процессида эса  $\sigma_2$  траекторияси йўналишида дарзлар пайдо бўлган эди.

Лок қопламлари ёрдамида бош кучланишлар йўналиши топилгач, кучланишлар қийматини топишнинг энг ишончли усулларидан бири деформацияларни тензометрлар ёрдамида ўлчашдир. Бунинг учун керакли нуқталарга



342-расм.

$\sigma_1$  ва  $\sigma_2$  йўналишларда иккитадан тензометр (ёки датчик) қўйилади, улар ёрдамида  $\varepsilon_1$  ва  $\varepsilon_2$  деформациялар ўлчаниб, бош кучланишлар ҳисоблаб топилади. Тензометрсиз деформация қийматини, баъзи ҳолларда кучланишни аниқлашга имкон берадиган лок қопламалари усули ҳам мавжуд, лекин бунда маълум чегаравий нисбий чўзилиш  $\varepsilon_g$  да дарзлар пайдо бўладиган юқори сифатли локлардан фойдаланиш керак бўлади. Одатда  $\varepsilon_g = 3,5 \cdot 10^{-4}$  қийматли локлардан фойдаланилади. Бу қиймат пўлатдаги  $\varepsilon_g E = 3,5 \cdot 10^{-4} \times 2 \cdot 10^6 = 700$  кгк/см<sup>2</sup> кучланишга тўғри келади.

Шуни айтиш керакки, лок қопламасида дарзларнинг пайдо бўлишига кўпгина омиллар сезиларли таъсир қилали (лок қуриганида пайдо бўладиган чўкиш кучланишлари, деталь ва қоплам материалларининг эластик хоссалари турлича бўлиши, синов вақтидаги ҳаво температураси ва бошқ.). Бу омиллардан баъзилари ҳисоб йўли билан, шунингдек, тарировка қилинувчи намуналар билан ҳисобга олиниши мумкин; намуналарда  $\varepsilon_g$  лар синов шароитлари билан бир хил шароитларда топилади. Лок қопламалари усулида кучланишлар миқдорини топиш аниқлиги нисбатан унча катта эмас ( $\pm 15\%$ ).

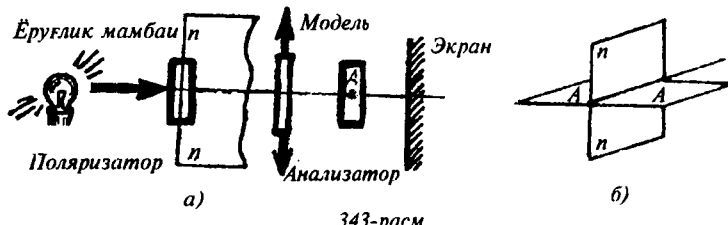
Бу усулда деталларда, айниқса мураккаб шаклли деталларда кучланишлар тақсимланишининг сифатини тез аниқлашда фойдаланиш мақсадга мувофиқдир. Лок қопламалари усулидан ҳаракатланаштган деталларда ва зарбий юклама таъсир этганида фойдаланса ҳам бўлади.

**Кучланишларни поляризацион — оптик усулда аниқлаш [4].** Усулнинг физик асослари. Оптик усул баъзи шаффофф (тиник) деформацияларнан оптик жиҳатдан анизотроп бўлиб қолиш хоссасига, деформацияларнан ҳолатда улар (шиша, целлулоид, желатин, бакелит ва б.) нурни иккига ажратиб синдириш хоссасига асосланади. Бундай материалларга оптик актив материаллар дейилади. Оптик усулда деталнинг ўзи эмас, балки оптик актив материалдан ясалган модель текширилади. Модель оптик қурилмага, яъни поляристикопга жойлаштирилади, у ерда кутбланган нур оқими билан қопланган тасвир пайдо бўлади, полосалар анализ қилиниб, моделда кучланишлар тақсимланишини ўрганиш мумкин.

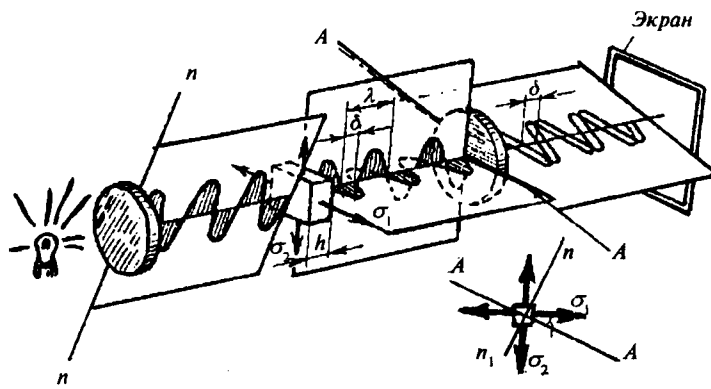
Маълумки, табии ёруғлик нурида унга перпендикуляр бўлган барча йўналишларда ёруғлик тебраниши мавжуд бўлиб, ёритиладиган жисм яқинида ёруғлик тебранишларининг манбай бетартиб жойлашади. Кутбланган нурда тебранишлар тартибли бўлади. Агар тебранишлар битта текисликда содир бўлса, текис кутбланиш дейилади; текисликнинг қутбланиш текислиги дейилади. Кутбланган нур олиш учун табии нурни кутлагич (поляризатор) орқали ўтказилади. Исланд шпати кристалларидан елимлаб тайёрланадиган Никол призмаси қутлагич бўлиб хизмат қилиши мумкин. Кутлагич тебранишларни аниқ бир текисликда ўтказиб, унга перпендикуляр бўлган ташкил этувчиларни сўндиради.

343-а расмда ёруғликни текис кутловчи полярископ асосий қисмларининг жойланиши схематик тарзда кўрсатилган. Қутлагич ва анализатор полярископнинг асосий қисмлари ҳисобланади. Анализатор ҳам поляризатор каби призмадан иборат, лекин иш ҳолатида шундай буралгани, 343-б расмда кўрсатилган А—А ва П—П лар билан кўрсатилган қутбланиш текисликлари ўзаро перпендикуляр жойлашган. Бундай ҳолда модель бўлмаса ёки у юкланмаган бўлса, экран қоронгилаштирилган бўладидан поляризатордан ўтган ёруғлик нури анализатор билан сўндирилади.

П—П текисликда кутбланган ёруғлик нури (349-расм) моделдан ўтишда ҳар бир нуқтада тебраниш текисликлар ўзаро перпендикуляр бўлган ва  $\sigma_1$ ,  $\sigma_2$  бош кучланишлар йўналишига мос келувчи иккита нурга ажralади. Бош кучланишлар қиймати ҳар хил бўлганлигидан модель материялининг мазкур текисликлардаги оптик хоссалари ҳам турлича бўлади —  $v_1$  ва  $v_2$  ҳам турлича бўлади, натижада



343-расм.



344-расм.

уарга моделнинг  $h$  қалинлигини ўтиш учун  $h/v_1$  вақт керак бўлса, иккинчисига  $h/v_2$  вақт керак бўлади.

Вақтлар орасидаги фарқ

$$\Delta t = \frac{h}{v_2} - \frac{h}{v_1} = \frac{h(v_1 - v_2)}{v_1 v_2} \quad (a)$$

га teng. Вақтлар орасидаги фарқ  $\Delta t$  туфайли биринчи нурнинг тўлқинларидан  $\delta$  қийматга олдин кетади; бунга нурлар йўли орасидаги фарқ дейилади ва у  $\delta = \Delta t v$  (б) га teng, бу ерда  $v$  — нурнинг ҳаводаги тезлиги.

Нурлар йўли орасидаги фарқ 349-расмда график тарзда тебранишларни тасвирловчи синусоидаларнинг силжиганлиги билан тасвирланган.

Тажрибалар билан шу нарса аниқланганки, тезликлар орасидаги фарқ  $v_1 - v_2$  бош кучланишлар орасидаги фарққа тўғри пропорционал бўлади, яъни:  $v_1 - v_2 = c(\sigma_1 - \sigma_2)$  (в).

Бу ерда  $c$  — модель материалнинг оптик активлигига боғлиқ бўлган ўзгармас қиймат.

(а), (б) ва (в) ларни ўзаро таққослаб, фотоэластик қонунини миқдор жиҳатдан ифодаловчи қуйидагича формулани ёзиш мумкин:

$$\delta = c_\lambda h (\sigma_1 - \sigma_2) \quad (14.7)$$

Бу ерда  $c_\lambda$  — модель материалининг хоссаларига ва ёруғлик тўлқини узунлигига боғлиқ бўлган ўзгармас коэффи-

циент;  $v_1$ ,  $v_2$  ва  $v$  тезликлар ёруғлик түлқини узунлигига боғлиқ.

Агар (14.7) формулада кучланишлар фарқи  $\sigma_1 - \sigma_2$  бўлса,  $\delta = \lambda, 2\lambda, \dots, m\lambda$  бўлганда экранда қора полосалар ҳосил қиласди. Ҳар бир полосага бутун сондан иборат ўз рақами  $m$  тўғри келади, бу сонга полосанинг тартиби дейилади.

Оқ ёруғликдан фойдаланилганда полосалар бўялади, чунки оқ ёруғлик барча ташкил этувчилари учун нурнинг сўниш шарти  $\delta = m\lambda$  бажарилиши мумкин эмас.  $\sigma_1 - \sigma_2$  нинг ҳар бир қийматига оқ ёруғликнинг сўнмаган ўз ранглари, демак, з бўёғи тўғри келади.

$\sigma_1 - \sigma_2$  нинг ўзгармас қийматига мос келувчи бир хил бўёқлар изохромлар деб аталади. Изохромлар монохроматик ёруғликда олинадиган қора (бўялмаган) полосаларга ҳам тегишилдирир.

Мазкур қора полосалар расмига қараб модель нуқтадаридаги  $\sigma_1 - \sigma_2$  бош кучланишлар фарқини аниқлаш мумкин.

Нурлар йўлида түлқин узунлигига teng фарқни келтириб чиқарувчи бош кучланишлар фарқи  $\sigma_1 - \sigma_2 = \sigma_0$  нинг қиймати модель полосасининг қиймати деб аталади.  $\delta = \lambda$  бўлганда формуладан қуйидаги ифодага эга бўламиз:

$$\sigma_0 = \frac{\lambda}{c_\lambda h} \quad (14.8)$$

Фараз қилайлик, моделга тушадиган юклама ортиб боради ва қандайдир нуқтадаги  $\sigma_1 - \sigma_2$  фарқ кетма-кет  $\sigma_0, 2\sigma_0, \dots, m\sigma_0$  қийматларга эришади. Нуқтадаги уларга мос келувчи йўл фарқи  $\delta = \lambda, 2\sigma_0, \dots, m\sigma_0$  ларга teng бўлади, улар экранда биринчи, иккинчи, ...,  $m$  тартибли қора полосалар деб аталади. Улар ёритилган нуқталар билан алмашинади. Бу 345-расмда нур интенсивлиги I нинг кучланишлар фарқи  $\sigma_1 - \sigma_2$  га боғлиқлиги график кўринишда тасвирланган. Қуйида бу боғланиш оддий чўзилишга ишлайдиган элемент ёритилишининг алмасиниш картинаси билан намойиш қилинган.

Айтилганлардан кўриниб турибдики, агар синалаётган моделда  $m$  тартибли полоса кузатилса, бу полосанинг

нүқталаридаги бош кучланишлар фарқининг қиймати  $\sigma_1 - \sigma_2 = m\sigma_0$  га тенг бўлади. Полосанинг тартиби юклама ошиши жараёнида полосанинг исталган нүқтасидаги қора полосалар сонини бевосита санаш йўли билан аниқлайди. Одатда, полосанинг тартиби унинг ноль полосага нисбатан тартиб номерига ( $\sigma_1 - \sigma_2 = 0$  нүқталарда ташқи юкламанинг исталган қийматида) мос бўлади, бу полосанинг тартибини топишни осонлаштиради.

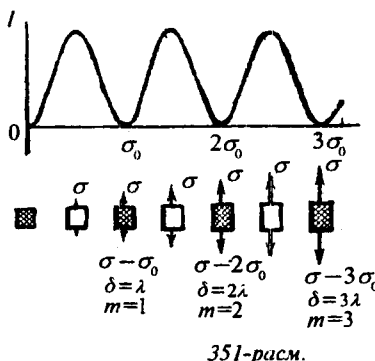
Полосанинг қиймати  $\sigma_0$  моделда тажриба йўли билан қиймати аниқ кучланишлар ҳосил қилиш ва ҳосил бўлган полосалар картинасини кузатиш йўли билан топилади. Масалан, чўзилишда экранда биринчи тартибли қора полоса ҳосил қиливчи  $P$  кучини топиб  $\sigma_0 = P/F$  ни аниқлаш мумкин.

Материалнинг оптик аниқлиги қанча катта бўлса, полоса қиймати шунча кичик бўлади. Желатин энг сезгир ҳисобланади, унда  $h = 1$  см бўлганида  $\sigma_0 = 0,02 \frac{\text{кгк}}{\text{см}^2}$ . Ишлатиладиган оддий материаллар (бакелит ва ҳ.к.) учун бу миқдор  $12 \text{ кгк}/\text{см}^2$  га, целлулоид учун  $30-60 \text{ кгк}/\text{см}^2$  га, шиша учун  $260-500 \text{ кгк}/\text{см}^2$  га тенг бўлади.

Шундай қилиб, оптик усулда бевосита тажрибадан бош кучланишларнинг фақат йўналиши ва уларнинг қийматлари фарқи —  $\sigma_1 - \sigma_2$  топилади. Бу модельнинг ҳар бир нүқтасида текис кучланиш ҳолатининг формуласини қўллаб исталган қия юзачадаги уринма кучланишларни аниқлаш имконини беради:

$$\tau_\alpha = -\frac{\sigma_1 - \sigma_2}{2} \cdot \sin 2\alpha \quad (14.9)$$

Хусусан ҳар бир нүқтадаги  $\tau_{\max}$  аниқланади, чунки:



$$\sigma_1 - \sigma_2 = 2\tau_{\max}$$

Нүкта чизиқли кучланиш ҳолатида бўлганида ( $\sigma_1 = \sigma$ ,  $\sigma_2 = 0$ )  $\sigma_1 - \sigma_2$  фарқ кучланишнинг ўзига тенг бўлади. Тажриба натижасидан топилган қиймат модель контури-нинг юкламаган нүктасида шундай ҳолатни кўрамиз.

Умумий ҳолда кучланиш ҳолати ҳақида тўла тасаввур ҳосил қилиш учун  $\sigma_1 - \sigma_2$  фарқдан ташқари, ҳар бир бош кучланишнинг қийматини ҳам билиш керак ёки бошқача айтганда, бу кучланишларни бир-биридан ажратиш керак бўлади.

**Бош кучланишларни ажратиш.** (Моделдан деталга ўтиш). Кучланишларни ажратиш учун бир неча усуллар таклиф қилинган, улардан бири қўшимча тажриба ўтказишни табаб қилса, бошқаси ҳисоблаш усулига асосланган.

Эластиклик назариясида текис масала шароитида бўлган жисмда кучланишларнинг тақсимланиши материалинг эластиклик доимийларига (эластиклик модули  $E$  га. Пуассон коэффициенти  $\mu$  га) боғлиқмаслиги исботланади. Демак, турли материаллардан ясалган деталь ва унинг моделида улар геометрик ўхшаш ва уларга таъсир қиласидиган юкламалар ўхшаш бўлса, деформация ва кучланишларнинг тақсимланиш қонуни бир хил бўлади. Бу модельдаги кучланиш  $\sigma_{mod}$  дан деталдаги уларга мос келувчи кучланиш  $\sigma$  га

$$\sigma = \frac{h_m}{h} \cdot \frac{s_m}{s} \cdot \frac{P}{P_m} \cdot \sigma_{mod} \quad (14.10)$$

формула бўйича ўтиш имконини беради. Бу ерда  $h_m/h$  – модель ва деталь қалинликларининг нисбати;  $S_m/S$  – модель ва деталь контурининг бир-бирига мос келувчи чизиқли ўлчамларининг нисбати;  $P/P_m$  – деталь ва модельга тушадиган юкламаларнинг нисбати.

(14.10) формуладан фойдаланиш мумкин бўлмайдиган ҳоллар (моделнинг кўп боғланишли контури, яъни тешиклари бўлган пластинканинг контури) ҳам бор, бундай ҳолларда юқоридаги формуладан тахминий формула (лекин бирмунча аниқроқ) сифатида фойдаланилади.

## **Материаллар қаршилиги фанини ўқитиши услубиятига доир**

Ўзбекистонда содир бўлаётган ижтимоий-иктисодий ўзгаришлар, фан билан ишлаб чиқариш интеграциясини ривожланишида анъанавий ахборот ва ўқитишинг комп’ютерли воситалари, глобал масштабдаги телекоммуникацион тармоқ билан тўлдирилиши, ўз навбатида мустақил равишда фикрлашни; эгаллаган билимларни борликнинг қайси жойларида ва қай тарзда қўлланиши; ахборотлардан саводли ва мустақил фойдаланишни; маълум бир вазифани тадқиқ қилиш учун зарур омилларни тўплашни билишни, уларни таҳлил қилиш, муаммоларни ечиш гипотезасини илгари суришни; замонавий технологиялардан фойдаланишни тақозо этади.

Ҳозирги замонда фанларни ўқитиши жараёнида замонавий педагогик технологиялар тадбиқ этилмоқда.

Таълимни технологиялаштиришнинг асосини таълим жараёнини самарадорлигини ошириш ва таълим олувчиларни берилган шароитларда ва ажратилган вақт ичida лойиҳалаштирилаётган ўқув натижаларига эришишларини кафолатлаш мақсадида тўлиқ бошқаришғояси ташкил этади.

Педагогик технология — ўқув жараёнини технологиялаштиришни бутунлигича аниқловчи тизимли категория.

Ўқитиши технологияси — биринчидан, педагогик технологияни жараёнили — ҳаракат аспектини англатади. Бу, таълим жараёнини амалга оширишни инструментал таъминловчи усул ва воситаларнинг тартибли бирлигини ўзида мужассамлаштирган таълим моделини ишлаб чиқиши ва амалга оширишнинг технологик жараёни;

— иккинчидан, педагогик технологиянинг жараёнилибаёни аспектини, педагогик ҳамда ўқув фаолиятининг лойиҳасини бажаришнинг баёнидир (технологик харита).

Таълим технологияси — педагогик технологиянинг илмий аспектини белгилаш, дарс бериш ва билимларни ўзлаштиришнинг барча жараёnlарини қўллаш ва белgilашнинг тизимли усули.

Материаллар қаршилиги умуммуҳандислик фанларининг таркибига кириб, бўлажак мутахассисларга конструкция ва иншоот қисмларини кучланганлик-деформацияланган ҳолатларини таҳлил қилишни, уларни турли деформациялар жараёнида мустаҳкамликка ва бикрликка ҳисоблаш усулларини ўргатади.

Материаллар қаршилиги фанини ўқитишдан мақсад ҳар бир мустахассис замонавий талабига тўла жавоб бера оладиган, юқори унумли, мустаҳкамлиги етарлича таъминланган, мумкин қадар енгил, тузилиши оддий конструкция ёки иншоот қисмини лойиҳалашни ўргатишидир.

Фаннинг асосий муаммоси — деформация турлари; мутаҳкамлик, бикрлик ва устуворлик шартлари; конструкцияларни статик ва динамик юкланишида материалларнинг хоссаларини таҳлили. Бу фанни ўрганишда талабалар — математика, физика, чизма геометрия, назарий механика, металлар технологияси фанларини ўзлаштиргандаги билимларига асосланадилар.

Материаллар қаршилиги вазифаларини амалга оширишни тушунтиришда ўқитишнинг қуйидаги усулларидан фойдаланиш мумкин:

- маъруза;
- тарихий воқеани тушунтириш (конкрет конструкция ёки иншоот қисми билан боғлиқ);
- тажриба усули (намойиш усули);
- китоб билан ишлаш;
- машқлар, лойиҳалар (ҳисоблаш-график ишлари) усули;
- суҳбат, мунозара, видео усули.

Ўқитиш самарадорлигини ошириш учун:

- ўқитувчи томонидан мавзу бўйича режа асосида маъруза амалга оширилиб, талабалар тегишли жойларини ёзиб оладилар;
- дарс вақтида тегишли мулоқотлар, савол-жавоблар ўюштириш, диалог ва ўтилган дарсни мустаҳкамлаш;
- ўтилган мавзу бўйича доскада мисоллар ишлаш;
- реал машина ва механизмлар моделларидан ва тегишли плакатлардан фойдаланиш;

- дарсга, мавзуга қизиқтириш — мунозара, ҳикоя, тарихий воеа усулларини қўллаш;
- реал обьектлар (мутахассислик бўйича) нинг юклиниш схемаларини тузиш ва ҳисоблаш;
- материаллар қаршилиги фани бўйича олимпиада масалаларини ва бир масалани бир неча хил усулда ечишни ўрганиш;
- дарс мавзуларини тайёрлаб тарқатиш;
- барча топшириқлар, услугубий комплексларни (уй ишлари, лаборатория топшириқлари, саволлар мажмуи) кўпайтириб, олдиндан талабаларга тарқатиш;
- дарсларни намуна сифатида видеотасмаларга ёзиб олиб тарқатиш;
- компьютер ёрдамида маъруза матнларини ёзиб тарқатиш;
- ҳисоблаш-график ишларини компьютерда бажариш дастурини ишлаб чиқиш;
- компьютер технологиясидан фойдаланиб талабаларни масофадан ўқитиши;
- электрон дарсликни яратиш талаб этилади.

Ўқитишининг барча усулларини тадбиқ этишда технологик харита тузилиди. Технологик харита умуман фан бўйича тузилиши ҳам мумкин ёки фанни алоҳида-алоҳида мавзулари, тажриба ишлари ва амалий дарслари бўйича ҳам тузилиши мумкин.

Фанни ўзлаштиришда эшлиши, кўриш, ёзиш асосида мавзу бўйича маълумот қисқа қилиб берилади. Талабалар дарсда қайд қилинмаган материалларни қўшимча адабиётлардан ёзиб келадилар. Бу усулда талаба ўзи дарсда ёзган материални ўқиб чиқади ва таҳлил қиласди.

Фанни ўқитишида қўйидагиларни эътиборга олиш мақсадга мувофиқ:

- талабалар эгаллаган бошланғич билимларининг ўртacha даражаси;
- мавзуларни тушунтиришда оддийдан мураккабга ўтиш;
- назарий масалаларни ўрганишда амалий ва тажриба машғулотларининг мантиқий кетма-кетлигини таъминлаш;

— мавжуд ҳар бир манба — адабиёт, күргазма ва техник ўқитиш воситасига ўзига хос характеристика бериш;

— ҳар бир талаба бажарадиган индивидуал ҳисоб-график ишлари тегишли равишда қўшимча ижодий изланишларининг мантикий яхлитлигини таъминлаш ва бошқалар.

Материаллар қаршилиги муаммоларини ҳал қилишда конструкция ёки иншоот қисмини юкландганлик ва деформацияланган ҳолатини таҳлил этиш лозим. У ҳолда уни мустаҳкамлик ва бикрликка ҳисоблаш қўйидаги тартибда олиб борилади:

— ички куч факторларини аниқлаш;

— элемент материалини Гук қонунига бўйсунишини таъкидлаш;

— чизиқли ёки бурчакли деформациялар ички кучга тўғри ва элементнинг бикрлигига тескари пропорционал ўзгаришини ёзиш;

— барча кучланишлар ички кучга тўғри ва кесим юзанинг геометрик характеристикасига тескари пропорционаллигини ёзиш;

— элементларни бикрлик ва мустаҳкамлик шартларини ёзиш;

— бикрлик ва мустаҳкамлик шартлар асосида рационал кесимни ёки рухсат этилган юкни танлаш.

Конструкция ва иншоот қисмларини оддий ёки мурakkab деформация ҳолатларида юқорида келтирилган тартибни инобатга олиш кетма-кетлиги сақланиши ва қўйидаги таянч сигналлари кўринишларига эга бўлиши лозим.

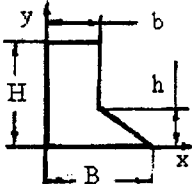
## **ПЛАКАТЛАР**

- 19-01. Кесиш методи
- 19-02. Ички күч факторлари
- 19-03. Чўзилиш ва сиқилиш
- 19-04. Кам углеродли чўзилиш диаграммаси
- 19-05. Турли материалларнинг чўзилиш диаграммаси
- 19-06. Пўлат ва чўянни сиқилиш диаграммалари
- 19-07. Ёғочни механик характеристикалари
- 19-08. Пўлатни пластик ва мустаҳкамлик характеристикалари
- 19-09. Материалларни физика-механик характеристикалари
- 19-10. Қотишмаларни физика-механик характеристикалари
- 19-11. Металларни физико-механик характеристикалари
- 19-12. Деформация тезлигининг материалларини хоссаларига таъсири
- 19-13. Температуранинг материаллар хоссаларига таъсири
- 19-14. Нуқтанинг кучланганлик ҳолати
- 19-15. Доиравий кесимли стерженли буралиш
- 19-16. Тўғри бурчакли кесим юзаларининг буралиши
- 19-17. Чўзилиш ва сиқилишда дифференциал боғланишлар
- 19-18. Балка ва таянч турлари
- 19-19. Стерженли соф эгилиш
- 19-20. Кўндаланг эгилишда дифференциал боғланишлар
- 19-21. Пластиклик ва емирилиш критерийлари
- 19-22. Мустаҳкамлик ва пластиклик критерийлари
- 19-23. Критик кучланишлар диаграммаси
- 19-24. Турли таянчларга тирадувчи стерженларда критик куч
- 19-25. Стерженларни устуворликка амалий ҳисоблаш
- 19-26. Стерженлар учун бўйлама сиқилиш коэффициенти
- 19-27. Статик тенгламалар
- 19-28. Текисликдаги мувозанат тенгламалари
- 19-29. Геометрик тенгламалар
- 19-30. Сен-Венан тенгламаси

## **ДИАФИЛЬМЛАР**

- 1. Д-1 қисм. Умумий тушунчалар
- 2. Д-2 қисм. Сиқилиш. Силжиш. Буралиш
- 3. Д-1 қисм. Эгилиш. Мураккаб деформация. Устуворлик.

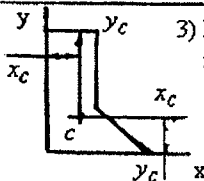
Текис кесим юзаларининг геометрик тавсифлари



Реал объект - носимметрик шаклли кесим юза  
1) Кесимни  $X$  ва  $Y$  ўқларига нисбатан статик  
моментлар:  $S_x = \int y \cdot dA$      $S_y = \int x \cdot dA$

$$x_c = \frac{x_1 \cdot A_1 + x_2 \cdot A_2}{A_1 + A_2} \quad y_c = \frac{y_1 \cdot A_1 + y_2 \cdot A_2}{A_1 + A_2}$$

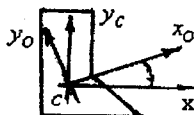
$$x_1 = \frac{b}{2} \quad x_2 = b + \frac{1}{3}(B - b) \quad y_1 = \frac{H}{2} \quad y_2 = \frac{h}{3}$$



3) Марказий  $X_c$  ва  $Y_c$  ўқларга нисбатан кесимни  
инерция моментлари

$$I_{xc} = I_x + a^2 \cdot A \quad I_{yc} = I_y + b^2 \cdot A$$

$$I_{xyc} = I_{xy} + a \cdot b \cdot A$$



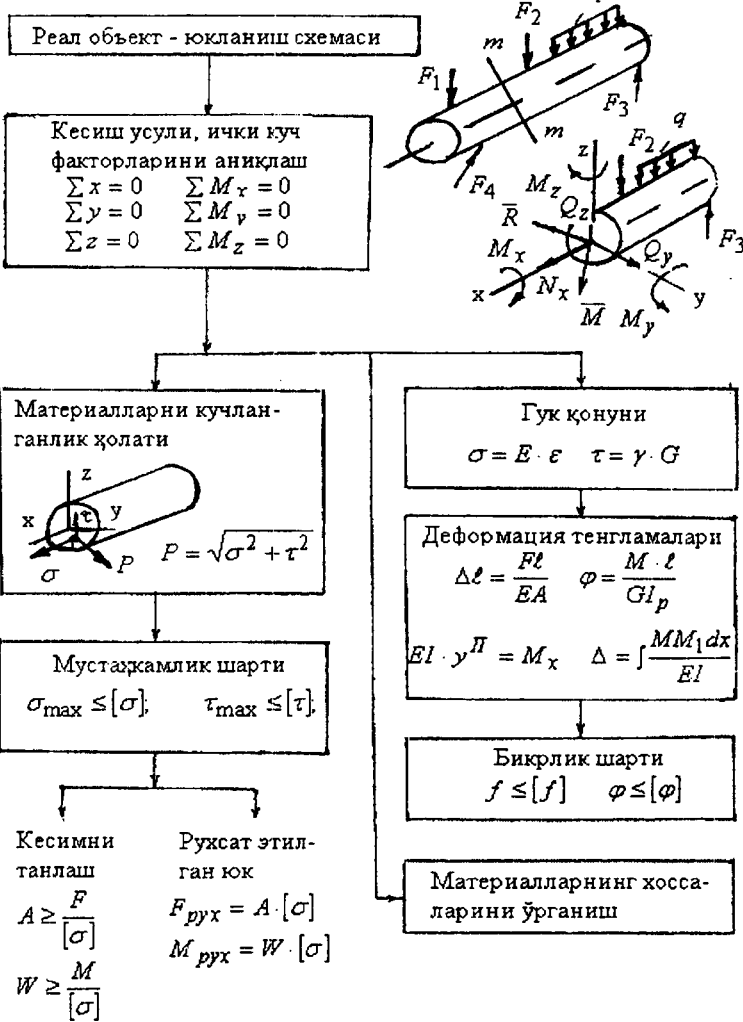
Бош инерция ўқлар йўналишини аниқлаш

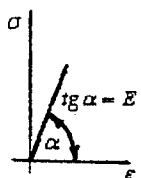
$$\tan 2\alpha = - \frac{2I_{xyc}}{I_{xc} - I_{yc}}$$

Бош инерция моментларни экстремал қийматлари:

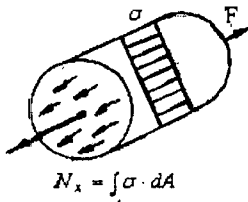
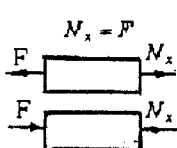
$$I_{xoy} = \frac{I_{xc} - I_{yc}}{2} \cdot \sin 2\alpha_0 + I_{xyc} \cdot \cos 2\alpha_0 = 0$$

$$I_{\max} = \frac{1}{2} \left[ (I_{xc} + I_{yc}) \pm \sqrt{(I_{xc} - I_{yc})^2 + 4 \cdot I_{xyc}^2} \right]$$

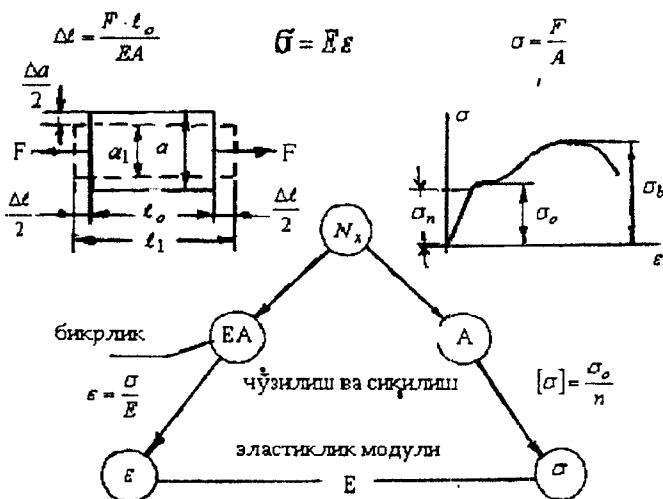




Гүк қонунын



Нормал күчлөнүш



бикрлик

$$\epsilon = \frac{\sigma}{E}$$

чүзилиш ва сиқылыш

$$[\sigma] = \frac{\sigma_o}{n}$$

эластиклilik модули

$$E$$

Көлдик дәформация:

пластиклilik  $\delta > 5\%$

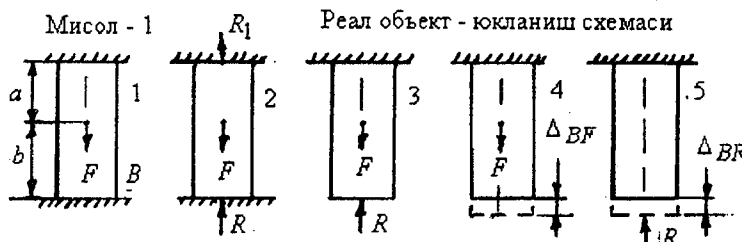
мұртлilik  $\delta < 5\%$

Мустағаммалык шарт

$$\sigma_{max} = \frac{F}{A} \leq [\sigma]$$

Рационал кесим

$$A \geq \frac{F_{max}}{[\sigma]}$$



Деформация тенгламаси

$$\Delta_B = \Delta_{BF} - \Delta_{BR} = 0$$

$$\Delta_{BF} = \frac{Fa}{EA}, \quad \Delta_{BR} = \frac{R(a+b)}{EA}$$

Номаълум күч  $R$ -ни топиш

Мувозанат тенгламаси

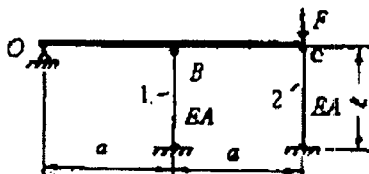
$$\sum y = R_1 - F + R = 0$$

Аниқмаслик даражаси

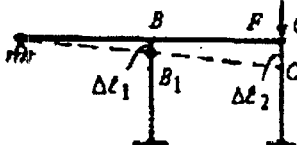
$$S = n - m = 2 - 1 = 1$$

$$R = F \left( \frac{a}{a+b} \right) \quad R_1 = F \left( \frac{b}{a+b} \right)$$

Мисол - 2



Деформациялантай қолыт



Стержендер деформацияларининг бөлшемини  
ΔOCC<sub>1</sub> және ΔOBB<sub>1</sub> дәл

$$\frac{\Delta CC_1}{2a} = \frac{BB_1}{a} \text{ үз } \Delta l_2 = 2\Delta l_1$$

Гүл қоюнни

$$\Delta l_1 = \frac{N_1 t}{EA}, \quad \Delta l_2 = \frac{N_2 t}{EA}$$

$$\text{уада } N_2 - 2N_1 = 0$$

Кесишүесүзі



Мұнозанат тектеламалар  
 $\sum x = -x_0 = 0$

$$\sum y = y_0 - N_1 - N_2 - F = 0$$

$$\sum M_O = N_1 a + N_2 \cdot 2a + F \cdot 2a = 0$$

$$N_1 \cdot 2a + N_2 \cdot 2a + F \cdot 2a = 0$$

$$N_2 - 2N_1 = 0$$

$$N_1 = \frac{2}{3}F \rightarrow N_2 = \frac{4}{3}F$$

Абсолют үзайыш

$$\Delta l_1 = \frac{2Fl}{3EA}, \quad \Delta l_2 = \frac{4Fl}{3EA}$$

$$A \geq \frac{4F}{3[\sigma]}$$

Мустағаммак шарты

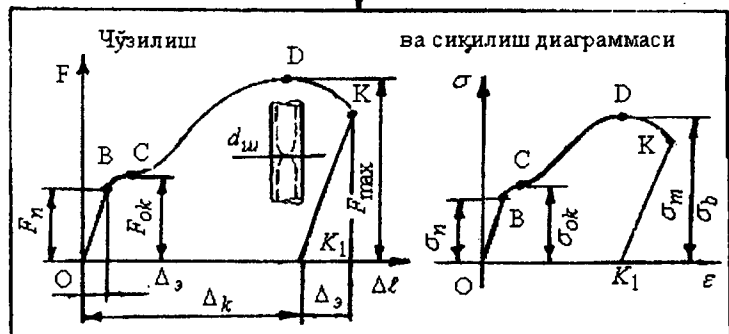
$$\sigma_1 = \frac{N_1}{A} = \frac{2F}{3A} \leq [\sigma]$$

$$\sigma_2 = \frac{N_2}{A} = \frac{4F}{3A} \leq [\sigma]$$

$$F_{\text{пых}} = \frac{3}{2}A \cdot [\sigma]$$

Материалларни хоссаларини тажрибада ўрганиш

Реал материал - намуна, синон машинаси ва мақсади'



Механик хоссалар:  
Пропорционаллик чегара

$$\sigma_n = \frac{F_n}{A_0}$$

$$\text{Оқынчанлык чегара} \quad \sigma_{ok} = \frac{F_{ok}}{A_0}$$

$$\text{Мустајкамплик чегара} \quad \sigma_b = \frac{F_{\max}}{A_0}$$

Пластиклік хоссалар:  
нисбеттік деформация

$$\delta = \frac{\ell_1 - \ell_0}{\ell_0} \cdot 100\%$$

$$\text{нисбеттік күндаланг} \\ \text{қисқариш} \quad \psi = \frac{A_0 - A_1}{A_0} \cdot 100\%$$

$\delta > 5\% -$  пластик материал

$\delta < 5\% -$  мұрт материал

Рухсат этилган күчләнеш

$$[\sigma] = \frac{\sigma_{ok}}{n}$$

эластик модули  $E = t g \alpha$

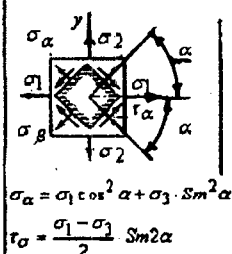
$$\text{Пуассон сони} \quad \mu = \frac{\varepsilon}{n}$$

Күчланғанлық ва мұстақамлық назарияри

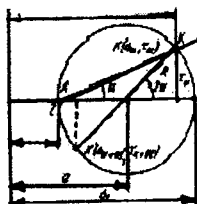
Реал объект - күчланғанлық түрі:  
чиңірті, текис, ұажмий



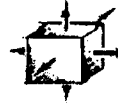
Нормал өңдердің күчланишни анықлаш



Мор усули:



Деформацияның тақдилі



$$\begin{aligned}\epsilon_1 &= \frac{1}{E} [\sigma_1 - \mu(\sigma_2 + \sigma_3)] \\ \epsilon_2 &= \frac{1}{E} [\sigma_2 - \mu(\sigma_1 + \sigma_3)] \\ \epsilon_3 &= \frac{1}{E} [\sigma_3 - \mu(\sigma_1 + \sigma_2)] \\ \epsilon_0 &= \frac{1-2\mu}{E} (\sigma_1 + \sigma_2 + \sigma_3)\end{aligned}$$

Бош күчланишлар:

$$\sigma_{1,3} = \frac{1}{2} [(\sigma_\alpha + \sigma_\beta) \pm \sqrt{(\sigma_\alpha - \sigma_\beta)^2 + 4 \cdot r_\alpha^2}]$$

Гүк қонуны ұажмии  
нисбеттің үзгариш

Конструкцияни мұстақамлигини текшириш  
Деформацияланғанлық ва күчланғанлықтың хавфлик даражасы

$$\sigma_{max} = \sigma_1 - \sigma_0$$

$$\epsilon_{max} = \epsilon_1 - \epsilon_0$$

$$r_{max} = r_0$$

$$U - U_0$$

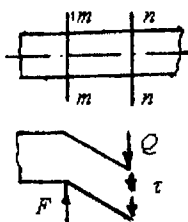
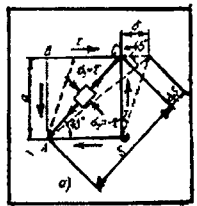
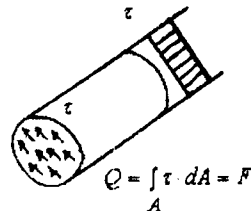
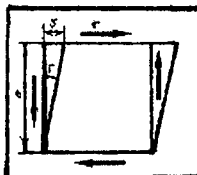
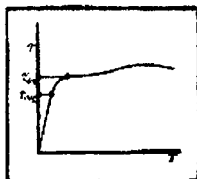
$$\sigma_1 \leq [\sigma]$$

$$\sigma_1 - \mu(\sigma_2 + \sigma_3) \leq [\sigma]$$

$$\sigma_1 - \sigma_3 \leq [\sigma]$$

$$\sqrt{\sigma^2 + 3r^2} \leq [\sigma]$$

мұстақамлық шарттар



Абсолют силжиш

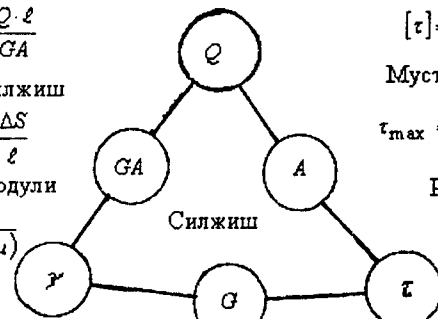
$$\Delta S = \frac{Q \cdot \ell}{GA}$$

Нисбий силжиш

$$\operatorname{tg} \gamma = \frac{\Delta S}{\ell}$$

Силжиш модули

$$G = \frac{E}{2(1+\mu)}$$



Гүк қонуни

$$\tau = \gamma \cdot G$$

Рухсат этилган күчланиш

мұрт материал

$$[\tau] = (0,8 \dots 1,0) [\sigma]$$

пластик материал

$$[\tau] = (0,5 \dots 0,6) [\sigma]$$

Мустажкамлик шарт

$$\tau_{\max} = \frac{F}{A} \leq [\tau] \quad A \geq \frac{F}{[\tau]}$$

Рационал кесим

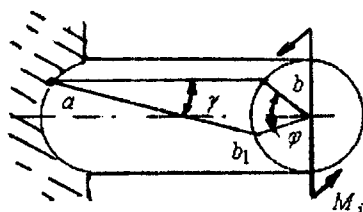
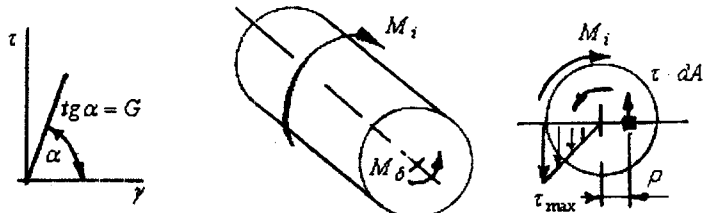
$$A \geq \frac{F}{[\tau]}$$

Парчин миҳли бирікмани җисеблаш:

- қириқилиш       $\tau_{\max} = \frac{4F}{n\pi d^2} \leq [\tau] \quad n \geq \frac{4F}{\pi d^2 [\tau]}$

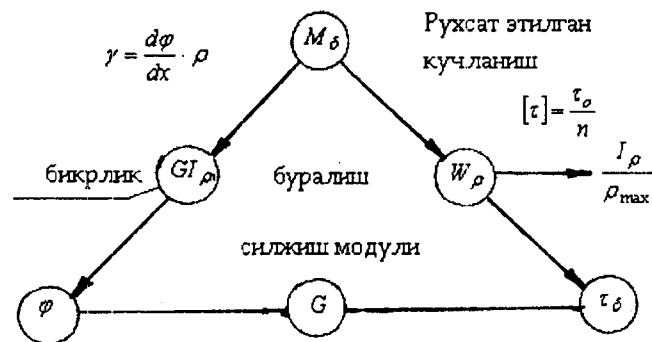
- әзилиш       $\sigma_c = \frac{F}{nd^2} \leq [\sigma]_c \quad n \geq \frac{F}{d^2 [\sigma]_c}$

- чүэзилиш ва сиқишлиш       $\sigma = \frac{F}{l(b-md)} \leq [\sigma]$



Гүк қонуни

$$\tau = \gamma \cdot G = \gamma \cdot \frac{E}{2(1+\mu)}$$



буралиш бурчаги

уринма күчләніш

$$\varphi = \frac{M_\delta \cdot l}{G \cdot I_\rho}$$

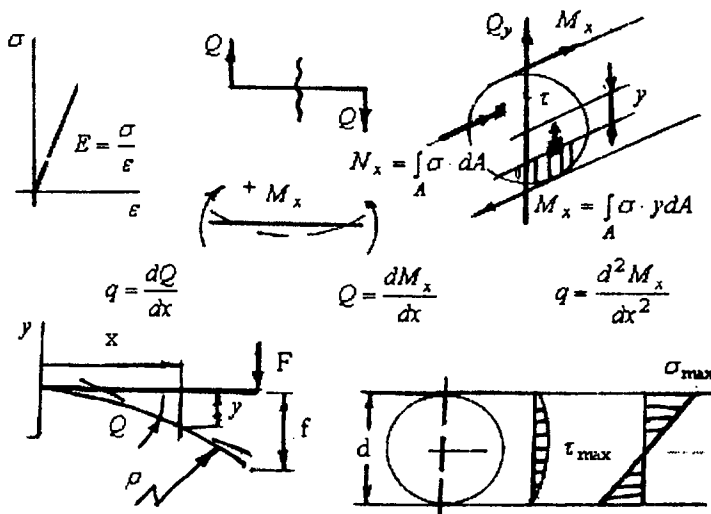
$$\tau_\delta = \frac{M_\delta}{W_\rho}$$

бикрлик шарти

мустаҳкамлік шарти

$$\varphi \leq [\varphi]$$

$$\tau \leq [\tau]$$



$$y = f(x)$$

$$\varepsilon = \frac{y}{\rho}$$

$$\theta = \frac{dy}{dx}$$

$$EI_x$$

$$M_x$$

$$\sigma = \frac{M_x \cdot y}{I_x}$$

$$W_x$$

$$\tau = \frac{Q \cdot S_x^\sigma}{I_x \cdot d}$$

эгилиш

$$f$$

$$E$$

$$\frac{I_x}{y_{max}}$$

такрибий дифференциал  
төглама

$$EI \cdot y'' = \pm M_x$$

бикрлик шарти

$$f \leq [f]$$

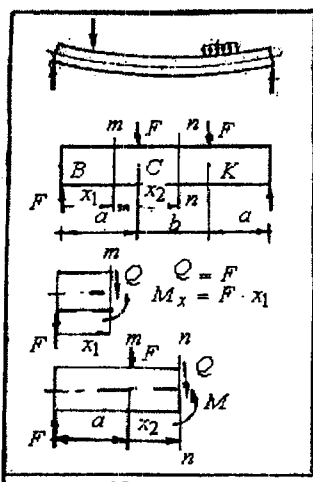
мустажкамлик шарти

$$\sigma_{max} = \frac{M_x}{W} \leq [\sigma]$$

рационал кесим

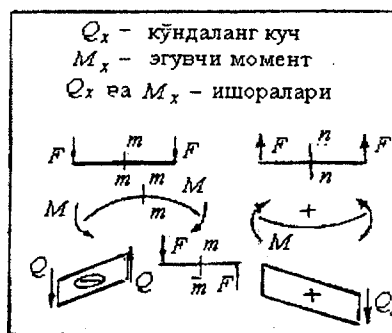
$$W_x \geq \frac{M_x}{[\sigma]}$$

Эгилишда ички күч факторларини анықлаш

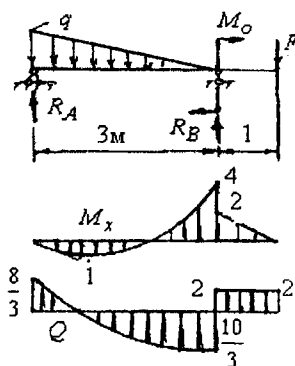
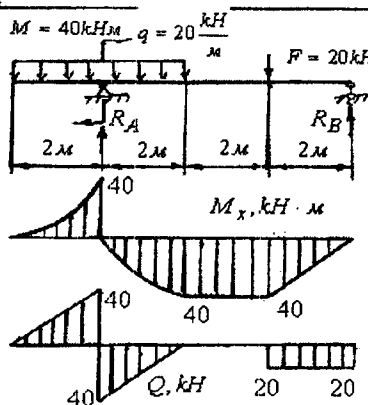
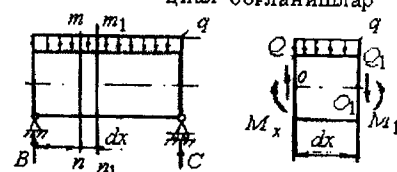


$$q = -\frac{dQ}{dx}, \quad Q = \frac{dM_x}{dx}$$

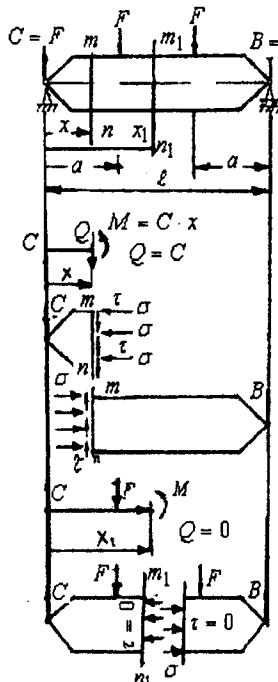
$$q = -\frac{dQ}{dx} = \frac{d^2M_x}{dx^2}$$



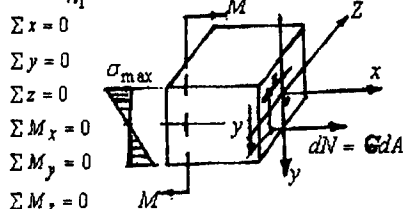
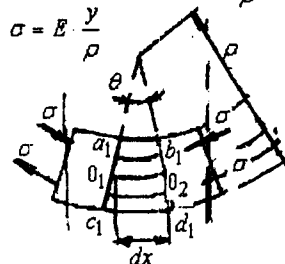
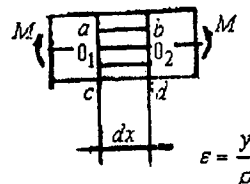
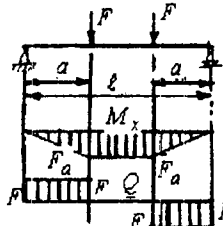
$M_x, Q_x$  ва  $q$  - орасидаги дифференциал бөглөннүүлүр



Эгилишда нормал күчләнишни анықлаш



- Факат нормал күчләниш тасыридаги балкани деформацияси - соф эгилиш дейилди
- Балкани эгилишца үз узунлигини ўзgartырмайдыган материал толаси - нейтрал тола дейилди
- Чүзилдиган ва сикилдиган толалар учун Е - const



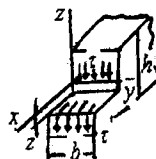
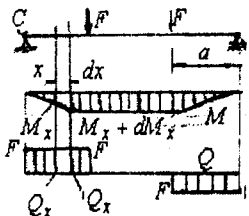
$$M_x = \frac{E}{\rho} \int y^2 \cdot dA = \frac{E}{\rho} \cdot I_x$$

$$\frac{1}{\rho} = \frac{M_x}{EI_x}$$

егерлик радиуси

$$\sigma = \frac{M_z}{I_z} \cdot y \quad \sigma_{\max} = \frac{M_z}{W_z} \leq [\sigma] \quad W \geq \frac{M}{[\sigma]}$$

### Эгилишда уринма күчләнишни анықлаш



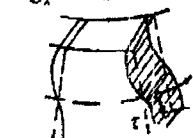
- Күндаланг күч Q барча ички уринма күчләнишларнинг тенг тасир килувчиси

- Уринма күчләнишларни жүфтлик аломатига күра

$$\tau = -\tau$$

- кесимнинг нейтрал ўқидан бир хил масофада жойлашган юзалардаги уринма күчләнишлар ўзаро тенг

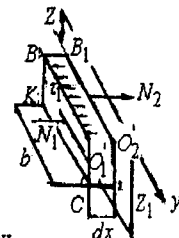
- балкани эгилишида кесим юзалар текислигича қолади



#### Чўзуви кучлар

$$N_1 = \int \sigma_x \cdot dA = \frac{M_x}{I_y} \int z_1 \cdot dA$$

$$N_2 = \frac{M_x + dM_x}{I_y} \int z_1 \cdot dA$$



$KBO_1C$  - юзани статик моменти

$$S_y^0 = \int z_1 \cdot dA$$

Тангенциал күч  
 $dT = \tau \cdot b \cdot dx$

#### Мувозанат тенгламаси

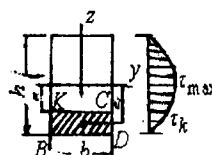
$$\sum x = N_1 + dT - N_2 = 0 \quad \text{ва} \quad \frac{M_z}{I_y} \cdot S_y^0 + \tau^1 \cdot b \cdot dx - \frac{M_x + dM_x}{I_y} S_y^0 = 0$$

$$\text{Уринма күчләниш } \tau = \frac{dM_x}{dx} \cdot \frac{S_y^0}{I_y \cdot b} = \frac{Q \cdot S_y^0}{I_y \cdot b} \quad S_y^0 \frac{b}{2} \left( \frac{h^2}{4} - z^2 \right)$$

$$\tau = \frac{6Q \left( \frac{h^2}{4} - z^2 \right)}{bh^2}$$

$$z = 0 \text{ бўлса } \tau = \tau_{\max} = \frac{3Q}{2bn}$$

$$z = \frac{h}{2} \quad \text{бўлса} \quad \tau = 0$$



Балканинг мустағамлигини тұлғық текшириш

$$R_B = \frac{F}{2} \quad \text{Нормал күчләниш} \quad \sigma = \frac{M \cdot Z}{I_x}$$

$$Z = 0 \rightarrow \sigma = 0; \quad Z = \frac{H}{2} \rightarrow \sigma_{\max} = \frac{M}{W_{yo}}$$

Уринма күчләниш  $\tau = \frac{Q \cdot S_x}{I_y \cdot b(d)}$

$$Z = \frac{H}{2} \rightarrow \tau = 0; \quad Z = h_1 \quad \tau_o = \frac{Q \cdot t(h_1 - t) \cdot b}{2I_y \cdot b(d)}$$

$$R_B \quad Z = Z_k \quad \tau_k = \frac{Q}{2I_y \cdot d} \left[ bt(h_1 - t) + d \left( \frac{h_1^2}{5} - Z^2 \right) \right]$$

$$\tau_n = \frac{Q \cdot y(H-t)}{2I_y} \quad I_y = \frac{dh_1^3}{12} + 2 \left[ \frac{bt^3}{12} + bt \left( \frac{H-t}{2} \right)^2 \right]$$

- Мустағамлиқ шарттар

$$\sigma_{\max} = \frac{M_{\max}}{W} \leq [\sigma] \quad \tau_{\max} = \frac{Q \cdot S_{\max}}{I_x \cdot d} \leq [\tau]$$

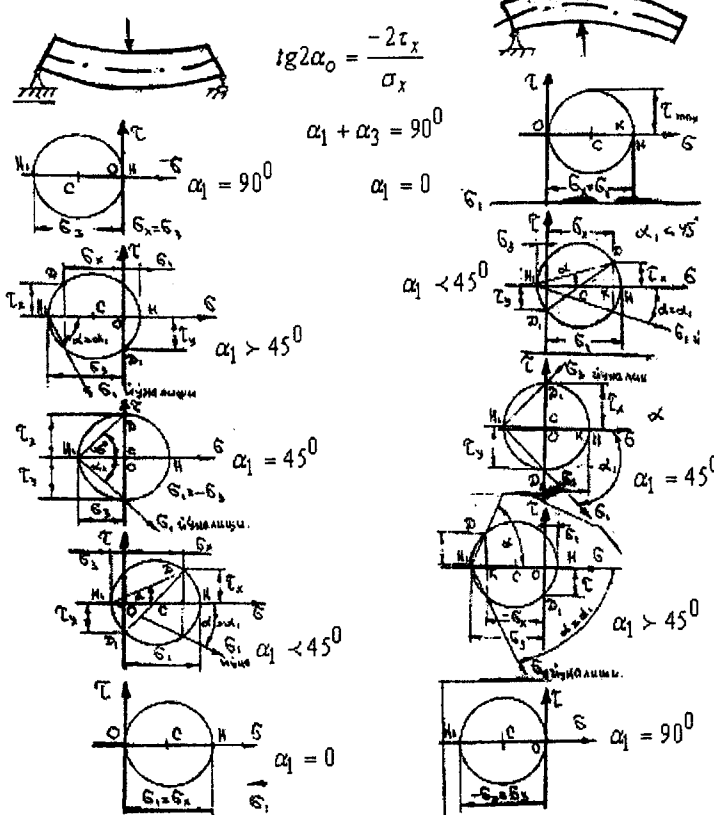
- Бош нормал күчләнишлар  $\sigma_{1,3} = \frac{1}{2} \left[ \sigma_x \pm \sqrt{\sigma_x^2 + 4\tau^2} \right]$

- Мустағамлиқ назариялар

I - назария  $\sigma_1 \leq [\sigma]$    II - назария  $\frac{1-\mu}{2} \sigma_x + \frac{1+\mu}{2} \sqrt{\sigma_x^2 + 4\tau^2} \leq [\sigma]$

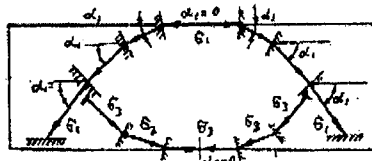
III - назария  $\sqrt{\sigma_x^2 + 4\tau^2} \leq [\sigma]$    IV - назария  $\sqrt{\sigma_x^2 + 3\tau^2} \leq [\sigma]$

Бош күчләнишлар йўналишини аниклаш

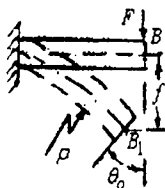


$\alpha_1$  – чўзувчи күчләниш

$\alpha_3$  – сиқувчи күчләниш



### Эгилишда күчишларни аниқлаш



- эгрий төңглиаси  $y = f(x)$
- салқылыш ва кесимни айланиш бурчаги орасидаги бөгланиш  $\theta = \frac{dy}{dx}$
- балканинг эгрилик радиуси бикрлиги ва эгувчи момент орасидаги бөгланиш  $\frac{1}{\rho} = \frac{M}{EI}$

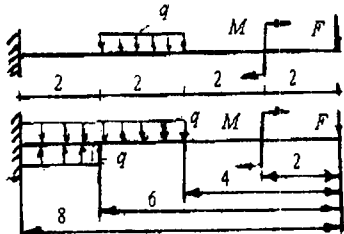
- балка эгилган ўқининг тақрибий дифференциал төңглиаси
- эгрилик радиуси ва унинг координаталари орасидаги бөгланиш  $\frac{1}{\rho} = \pm \frac{d^2 y}{dx^2}$

$$EI \cdot \frac{d^2 y}{dx^2} = \pm M$$

- кесимнинг айланиш бурчаги  $\theta = \frac{1}{EI} [Md_x + C]$

салқылыш  $y = \frac{1}{EI} [dx(M \cdot dx + Cx + D)]$

- башланғич параметрлар усулі



- графоаналитик усул.

Сохта күч интенсивлігі билан сохта эгувчи момент орасидаги бөгланиш

$$\frac{d^2 M_c}{dx^2} = q_c \quad \frac{d^2 (EI \cdot y)}{dx^2} = \frac{d^2 M_c}{dx^2}$$

жакыншы балка

$$\begin{array}{ll} y = 0 & y \neq 0 \\ \theta = 0 & \theta \neq 0 \end{array} \quad y = \frac{M_c}{EI}$$

сохта балка

$$\begin{array}{ll} M_c = 0 & M_c \neq 0 \\ Q_c = 0 & Q_c \neq 0 \end{array} \quad \theta = \frac{Q_c}{EI}$$

- универсал формула

$$\theta = \theta_0 + \frac{1}{EI} \left[ -F \frac{x^2}{2} - M(x-2)^4 - q \frac{(x-4)^3}{6} + q \frac{(x-6)^3}{6} \right]$$

Мор усулі

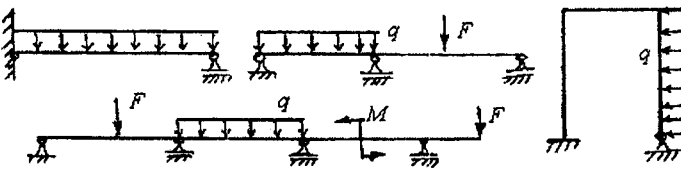
$$f = \int \frac{M \cdot M_1 dx}{EI}$$

$$y = y_0 + \theta_0 + \frac{1}{EI} \left[ -F \frac{x^3}{6} - M \frac{(x-2)^2}{2} - q \frac{(x-4)^4}{24} + q \frac{(x-6)^4}{24} \right]$$

$$f = \frac{\omega \cdot M_1}{EI}$$

Эгилишда статик ноанык масалалар

Реал объект - юкланиш схемаси



Статик ноанық системаны мувозанат тенгламаларини түзиш ва аниқмаслик даражасини анылаш:

$$\begin{aligned}\sum x &= 0 & \sum y &= 0 & \sum z &= 0 \\ \sum M_x &= 0 & \sum M_y &= 0 & \sum M_z &= 0 \\ S &= n - m\end{aligned}$$

Статик ноанықликни очиш усуллари:

- Эгилган ўқтакрибий дифференциал тенгламаси  $EI \cdot y'' = \pm M_x$
- Деформацияни таққослаш  $f_B = f_{Ba} + f_{BB} = 0$
- Мор интегралини табдигүз этиш  $f_B = \int_0^L \frac{M_F M_1 dx}{EI} = 0$
- Верещагин қоидасини табдигүз этиш  $f_B = \frac{\omega_F \cdot M_1}{EI} = 0$
- Уч момент тенгламаси

$$M_1 \ell_1 + 2M_2 (\ell_1 + \ell_2) + M_2 \cdot \ell_2 = -6 \left( \frac{\omega_1 a_1}{\ell_1} + \frac{\omega_2 a_2}{\ell_2} \right)$$

- Каноник тенглама түзиш  $x_1 \delta_{11} + \Delta_{1F} = 0$

Эгувчи момент эпюрасини қуриш

Мустағамликтекшириш

Бикрликка ҳисоблаш

↓



↑

Күшімчалар түзіш усуллары

Балка  
екіншінде  
тәрбие  
ни табдік  
этіш

$$EIy'' = Bx - q \frac{x^2}{2}$$

$$EI\theta = B \frac{x^2}{2} - q \frac{x^3}{6} + C$$

$$EIy = B \frac{x^3}{6} - q \frac{x^4}{24} + Cx + D$$

деформацияның  
хосланыш усулі

$$f_B = f_{Bq} + f_{BB} = 0$$

$$f_{Bq} = -\frac{q\ell^4}{8EI} \quad f_{BB} = -\frac{B\ell^3}{3EI}$$

Мор усули

$$f_B = \int_0^l \frac{M_x M_0}{EI} dx = 0$$

$$M_x = Bx - q \frac{x^2}{2}; \quad M_0 = 1 \cdot x$$

$$f_B = \int_0^l \frac{t(Bx - q \frac{x^2}{2}) dx}{EI} = 0$$

Верещагин усули

$$f_B = \frac{\omega \cdot M_0}{EI}$$

$$\omega_q = \frac{q\ell^3}{6}$$

$$\omega_B = \frac{B\ell^2}{2}$$

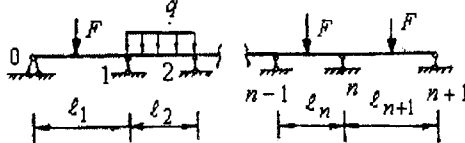
$$\omega_B = \frac{3}{4}\ell$$

$$M_B = \frac{2}{3}\ell$$

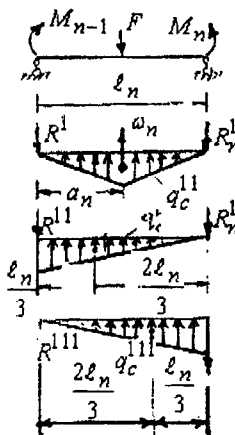
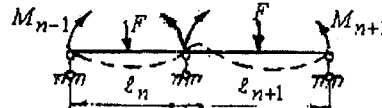
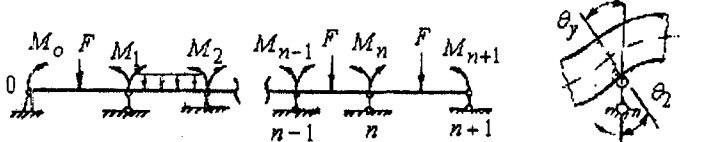
$$B = \frac{3}{8}q\ell^2$$

### Үч момент назарияси

Реал объект -  
узлуксиз балка  
(күп. таянчли)



### Асосий система (балка)



$$\theta_2 = \frac{Q_c^n}{EI}$$

$$Q_c^n = R_n$$

$$R_n = R_n^1 + R_n^{11} + R_n^{111}$$

$$\theta_2 = \frac{Q_c^n}{EI}$$

$$Q_c^n = T_n$$

$$T_n = T_n^1 + T_n^{11} + T_n^{111}$$

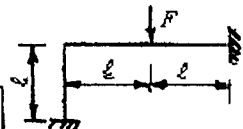
$$\sum M_{n-1} = 0$$

$$\sum M_{n+1} = 0$$

### Үч момент тенгламаси:

$$M_{n-1} \cdot l_n + 2M_n(l_n + l_{n+1}) + M_{n+1} \cdot l_{n+1} = 6 \left( \frac{\omega_n \cdot a_n}{l_n} + \frac{\omega_{n+1} \cdot a_{n+1}}{l_{n+1}} \right)$$

Реал объект - статик тоанык рама



Асосий система.

Каноник тенглама



$$x_1 \cdot \delta_{11} + x_2 \cdot \delta_{12} + x_3 \cdot \delta_{13} + \delta_{1F} = 0$$

$$x_1 \cdot \delta_{21} + x_2 \cdot \delta_{22} + x_3 \cdot \delta_{23} + \Delta_{2p} = 0$$

$$x_1 \cdot \delta_{31} + x_2 \cdot \delta_{32} + x_3 \cdot \delta_{33} + \Delta_{3F} = 0$$

Верещагин усули

$$\delta_{ik} = \frac{\omega_i \cdot M_i^o}{EI}$$

$$\delta_{ii} = \frac{\omega_i \cdot M_i^o}{EI}$$

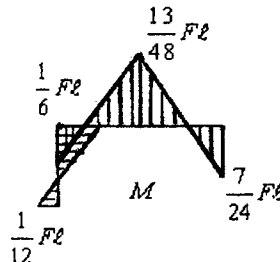
	$\delta_{11} = \frac{1/2 \cdot l \cdot l \cdot 2/3 \cdot l + l \cdot 2l \cdot l}{EI} = \frac{7l^3}{3EI}$
	$\delta_{12} = \frac{l \cdot 2l \cdot l}{EI} = \frac{2l^3}{EI}$
	$\delta_{13} = \frac{l \cdot 2l \cdot l + 1/2 \cdot l \cdot l \cdot l}{EI} = \frac{5l^3}{2EI}$
	$\delta_{22} = \frac{1/2 \cdot 2l \cdot 2l \cdot 2/3 \cdot 2l}{EI} = \frac{8l^3}{3EI}$
	$\delta_{23} = \frac{1/2 \cdot 2l \cdot 2l \cdot 1}{EI} = \frac{2l^2}{EI}$
$\delta_{3F} = \frac{1/2 \cdot l \cdot Fl \cdot 1}{EI} = \frac{Fl^2}{2EI}$	
$\delta_{33} = \frac{1 \cdot l + 1 \cdot 2l}{EI} = \frac{3l}{EI}; \quad \delta_{1F} = \frac{1/2 \cdot l \cdot Fl \cdot l}{EI} = \frac{Fl^3}{2EI}; \quad \delta_{2p} = \frac{1/2 \cdot l \cdot Fl \cdot 5l}{3EI} = \frac{5Fl^3}{6EI}$	

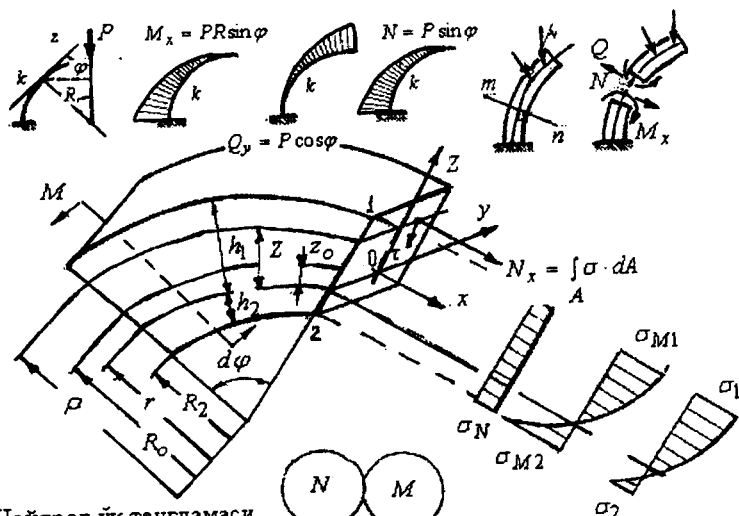
$$\frac{7}{3}l \cdot x_1 + 2l \cdot x_2 + \frac{5}{2} \cdot x_3 - \frac{Fl^2}{2} = 0$$

$$2l \cdot x_1 + \frac{8}{3}l \cdot x_2 + 2x_3 = \frac{5Fl^2}{6} = 0$$

$$\frac{5}{2}l \cdot x_1 + 2l \cdot x_2 + 3x_3 - \frac{Fl^2}{2} = 0$$

$$x_1 = \frac{F}{4}; \quad x_2 = \frac{7F}{16}; \quad x_3 = \frac{Fl^2}{12}$$



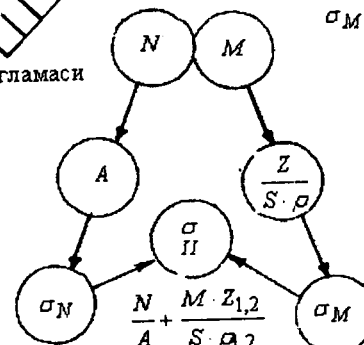


Нейтрал үк тенгламаси

$$r = \frac{A}{\int \frac{dA}{A \rho}}$$

$$\rho = r + z$$

$$z_o = R_o - r$$



Гүк қонуни

$$\varepsilon = \frac{z \cdot \alpha}{\rho \cdot d\varphi}$$

Статик момент

$$S = A \cdot Z$$

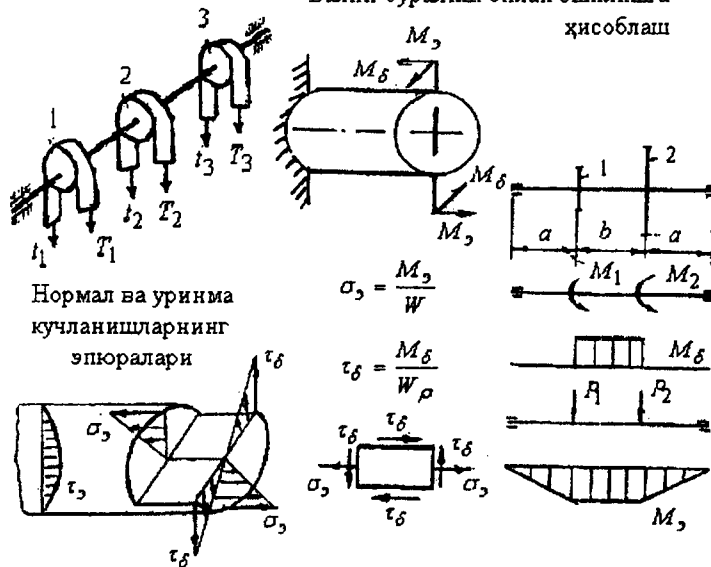
$$\text{Мустаҳкамлик шарт } \sigma_{\max} = \frac{N}{A} \pm \frac{M \cdot Z_{1,2}}{S \cdot R_{1,2}} \leq [\sigma]$$

$$\frac{R_o}{h} \leq S \rightarrow \sigma = \frac{M}{W} \quad W_y = \frac{I_y}{Z_{\max}}$$

$$\frac{R_o}{h} \leq S \rightarrow \sigma_1 = 0,935 \frac{M}{W} \quad \sigma_2 = 1,071 \frac{M}{W}$$

$$\frac{R_o}{h} > 5 \rightarrow \sigma = \sigma_N + \sigma_M = \frac{N}{A} + \frac{M \cdot Z_{1,2}}{S \cdot R_{1,2}}$$

Вални буралиш билан эшилишга  
жисоблаш



Келтирилган момент

$$M_k = \sqrt{M_\delta^2 + M_3^2}$$

Мустаҳкамлик шарт

$$\frac{M_k}{W} \leq [\sigma]$$

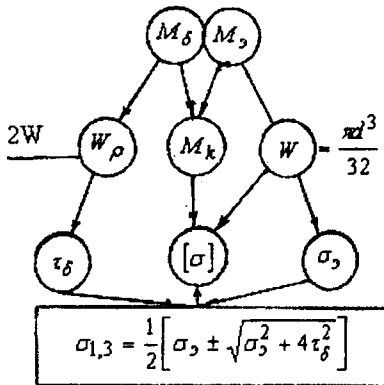
Вални диаметри

$$d \geq 3 \sqrt[3]{\frac{32M_k}{\pi[\sigma]}}$$

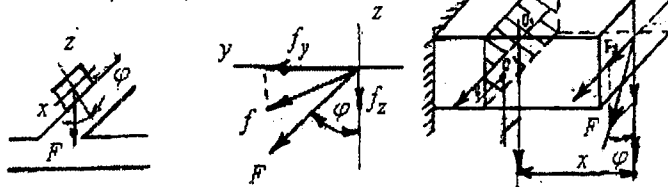
Бикрлик шарт

$$\varphi \leq [\varphi] = \frac{0,15 \dots 0,3}{\ell} \left( \frac{\text{град}}{\text{м}} \right)$$

$$f \leq [f]$$



### Қишик әтилиш



### Ички күч факторлари

$$M_{y1} = F_z \cdot x = F \cdot x \cos \varphi \quad M_{z1} = F_y \cdot x = F \cdot x \sin \varphi$$

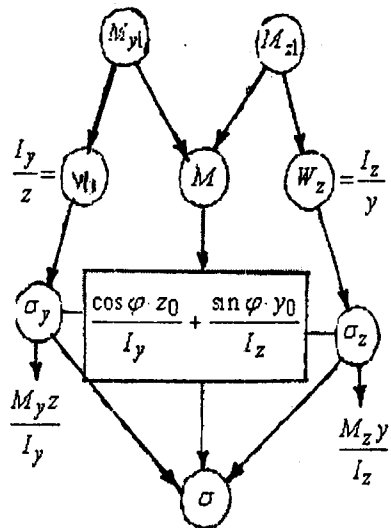
### Нормал күчланиш

$$\sigma = \sigma_y + \sigma_z$$

### Нейтрал үқ тенгламасы

$$\frac{\cos \varphi \cdot z_0}{I_y} + \frac{\sin \varphi \cdot y_0}{I_z} = 0$$

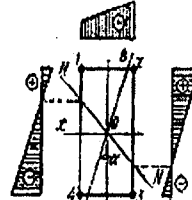
$$\operatorname{tg} \alpha = \operatorname{tg} \varphi \cdot \frac{I_y}{I_z}$$



### Мұстажамлиқ шарт

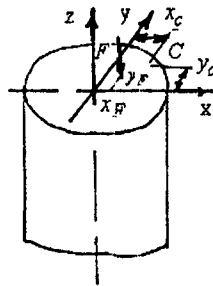
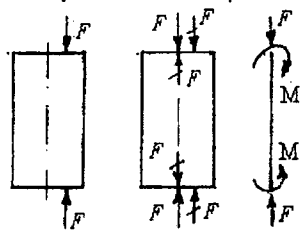
$$\sigma_{\max} = M_{\max} \left( \cos \varphi + \frac{W_y}{W_x} \sin \varphi \right) \leq [\sigma]$$

$$f = \sqrt{f_x^2 + f_y^2} = \frac{F t^3}{3E} \sqrt{\frac{\cos^2 \varphi}{I_y^2} + \frac{\sin^2 \varphi}{I_x^2}}$$

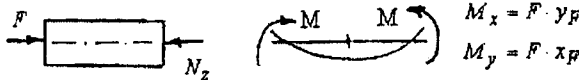


### σ Эпюраси

Марказлашмаган сиқилиш



Ички күч факторлари



$$\sigma_y = \frac{M_y z}{I_y}$$

$$M_x$$

$$N_z$$

$$M_y$$

Нейтрал үк тәнгламасы

$$1 + \frac{y_F \cdot y_0}{i_x^2} + \frac{x_F \cdot x_0}{i_y^2} = 0$$

$$\frac{I_x}{y} = W_x$$

$$A$$

$$\frac{I_y}{x} = W_y$$

Нормал күләнеш  
 $\sigma = \sigma_N + \sigma_x + \sigma_y$

$$\sigma = \frac{F}{A}$$

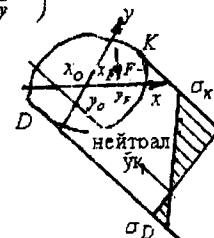
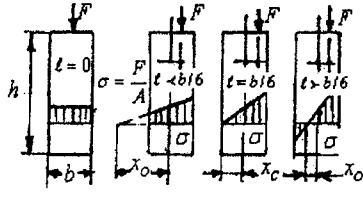
$$\sigma_x$$

$$\sigma_N$$

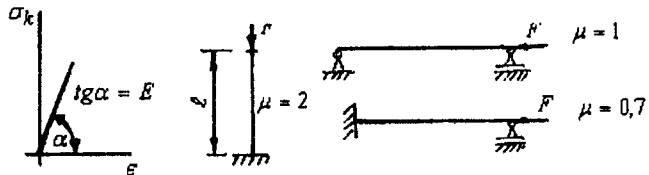
$$\sigma_y$$

Мустаҗкамлик шарт

$$\sigma_x = \frac{M_{xy}}{I_x} \cdot \frac{F}{A} \left( \frac{y_F \cdot y_0}{i_x^2} + \frac{x_F \cdot x_0}{i_y^2} \right) \leq [\sigma]$$



## Сиқилған стержендернинг устуворлиги



$$\sigma_k = \sigma_n = E \cdot \varepsilon - Гук қонуни$$

$$\frac{d^2y}{dx^2} + k^2 \cdot y = 0$$

$$y = a \cdot \sin k_x + b \cdot \cos k_x$$

Эгилуевчанлик

$$\lambda = \mu \frac{l}{i_{\min}}$$

$$i_{\min} = \sqrt{\frac{I_{\min}}{A}}$$

$$\varphi = f(\lambda) = \varphi^I + \frac{\varphi^I + \varphi^{II}}{10} \cdot K_\lambda$$

$$\varphi^I = f(\lambda, \text{материал})$$

$$\varphi^{II} = f(\lambda, \text{материал})$$

Критик күч

$$F_k = \frac{n^2 \pi^2 \cdot EI_{\min}}{(\mu e)^2}$$

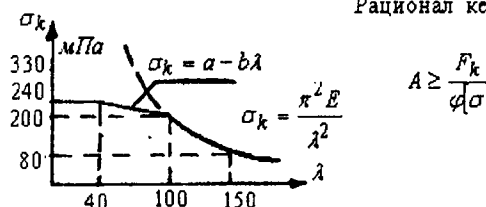
Кучланиш

$$\sigma_k = \frac{F_k}{A}$$

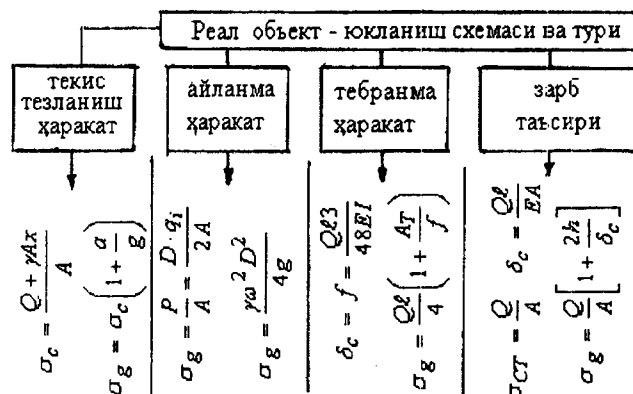
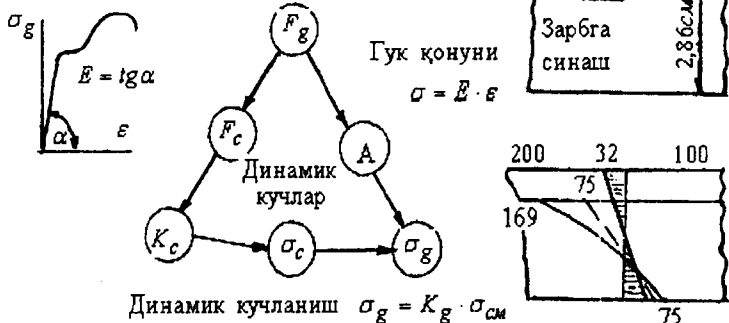
Устуворлик шарт

$$\sigma_k = \frac{F_k}{A \cdot \varphi} \leq [\sigma]$$

Рационал кесим



$$\text{Инерция кучи } dP_i = \frac{\gamma A}{g} dy \cdot a$$



Мустажкамлик шарты.

$$\sigma_{g, max} \leq [\sigma]$$

Рұксат этилған күчланиш

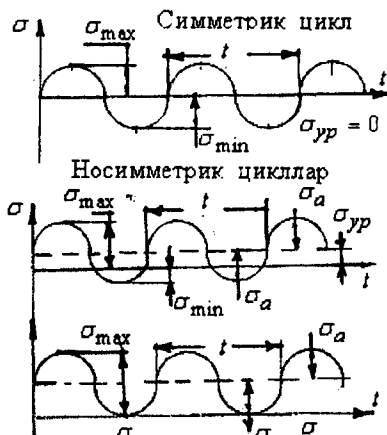
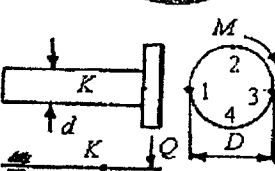
$$[\sigma] = \frac{\sigma_0}{n}$$

Рұксат этилған юза:

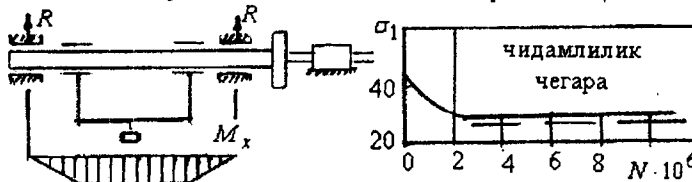
$$A \geq \frac{K_g \cdot F_c}{[\sigma]}$$

Үзгәрүчан күчланишлар

Чаржаш вадар  
ерипши



Симметрик циклда чидамлилик чегаралы аниклаш



Толиқишига мустақаммият шар-

$$\sqrt{\sigma^2 + 3\tau^2} \leq [\sigma]$$

Чидамлилик коэффициенти

$$n = \frac{n_\sigma \cdot n_\tau}{\sqrt{n_\sigma^2 + n_\tau^2}}$$

Мустақаммиятка әхтиётлик  
коэффициентлар

$$n_\sigma = \frac{\sigma}{K_\sigma \cdot \sigma_a + \psi_\sigma \cdot \sigma_m}$$

$$n_\tau = \frac{\tau_{-1}}{K_\tau \cdot \tau_a + \psi_\tau \cdot \tau_m}$$

$$\sigma_{-1}^0 = 0,4 \cdot \sigma_b - \text{эгилиш}$$

$$\sigma_{-1}^\delta = 0,22 \cdot \sigma_b - \text{буралиш}$$

$$\sigma_{-1}^o = 0,28 \cdot \sigma_b - \text{чүзилиш}$$

Материалларни күчланиш-  
ларга сезирлигі

$$\psi_\sigma = \frac{2\sigma_{-1} - \sigma_o}{\sigma_o}$$

$$\psi_\tau = \frac{2\tau_{-1} - \tau_o}{\tau_o}$$

## **МАТЕРИАЛАР ҚАРШИЛИГИ ФАНИДАН ТЕСТ САВОЛЛАРИ**

**1. Материаллар қаршилиги фанининг вазифалари нимадан иборат?**

**Жавоб:**

1. Конструкция ва иншоот қисмларини мустаҳкамликка ҳисоблаш.
2. Конструкция ва иншоот қисмларини устуворликка ҳисоблаш.
3. Конструкция ва иншоот қисмларини бикрликка ҳисоблаш.
4. Конструкция ва иншоот қисмларини мустаҳкамликка; бикрликка, устуворликка ҳисоблаш усулларини ўрганади.

**2. Мустаҳкамлик деб нимага айтилади?**

**Жавоб:**

1. Конструкция ва иншоот қисмларини ташқи куч таъсирига емирилмасдан қаршилик кўрсата олиш қобилияти.
2. Ташқи куч таъсиридан иншоот қисмини мувозанатда бўлиши.
3. Ташқи куч таъсиридан иншоот қисмида қолдиқ деформация ҳосил бўлмаслиги.
4. Конструкция ёки иншоот қисмини ташқи куч таъсирига қаршилик кўрсата олмаслиги.

**3. Устуворлик деб нимага айтилади?**

**Жавоб:**

1. Стерженларни ташқи куч таъсиридан тўғри чизиқли мувозанат ҳолатини сақлаб билиш қобилияти;
2. Ташқи куч таъсиридан стержень шаклининг ўзгариши;
3. Ташқи куч таъсиридан стержень ўқининг эгриланиши;
4. Ташқи куч таъсиридан стержень ўқининг тўғриланиши.

#### **4. Куч деб нимага айтилади?**

**Жавоб:**

1. Иккита жисмнинг ўзаро механик таъсирига.
2. Машинанинг ҳаракатига.
3. Конструкция мустаҳкамлигини таъминламайдиган факторга.
4. Конструкция бикрлигини таъминловчи факторга.

#### **5. Кесиш усули нима учун керак?**

**Жавоб:**

1. Ички кучларни кўриш ва аниқлаш учун.
2. Ташқи ва ички кучларни мувозанатлаштириш учун.
3. Стержень деформациясини аниқлаш учун.
4. Стержень кесимидағи кучланишни аниқлаш учун.

#### **6. Деформация деб нимага айтилади?**

**Жавоб:**

1. Ташқи куч таъсиридан стерженнинг шакли ёки ўлчамини ўзгаришига;
2. Стержень мустаҳкамлигининг йўқолишига;
3. Стерженни ташқи куч таъсиридан мувозанатини бузишишига;
4. Стерженини ташқи куч таъсиридан мувозанат ҳолатини сақланишига.

#### **7. Текис кесим юзаларининг геометрик тавсифлари нима учун керак?**

**Жавоб:**

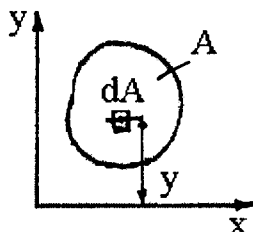
1. Кесим юзани аниқлаш учун.
2. Оддий ва мураккаб деформацияларда мустаҳкамликка ва бикрликка ҳисблаш учун.
3. Куч моментини аниқлаш учун.
4. Кесимнинг ўлчамини танлаш учун.

#### **8. Кесимнинг статик моменти деб нимага айтилади?**

**Жавоб:**

1. Элементар юза билан тегишли ўқ орасидаги масофа кўпайтмасининг интегралига айтилади.
2. Элементар юза билан тегишли ўқ орасидаги масофа бўлинмасининг интегралига айтилади.

- Элементар юза билан қутб нүктаси орасидаги масофа күпайтмасининг интегралига айтилади.
- Элементар юзани елкага күпайтмасига айтилади.



### 9. Кесимни X ўқига нисбатан статик моменти формуласини кўрсатинг.

Жавоб:

$$1) S_x = \int_0^A y dA \quad 2) S_x = F \cdot A;$$

$$3) S_x = F \cdot l; \quad 4) S_x = \int_0^A y^2 dA$$

- Мураккаб кесим юзаларининг оғирлик маркази қайси формула билан аниқланади?

Жавоб:

$$1. X_c = \frac{x_1 A_1 + x_2 A_2 + x_3 A_3 + \dots}{A_1 + A_2 + A_3 + \dots}; \quad Y_c = \frac{y_1 A_1 + y_2 A_2 + y_3 A_3 + \dots}{A_1 + A_2 + A_3 + \dots}$$

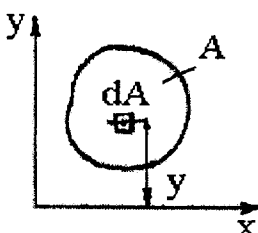
- Кесимнинг диагоналларини кесиштириш усули билан.

$$3. X_c = \frac{S_x}{A}; \quad Y_c = \frac{S_y}{A} \quad 4) -\sum S_x = y_0 \cdot \sum A; \quad \sum S_y = x_0 \cdot \sum A$$

- Кесимни инерция моменти деб нимага айтилади?

Жавоб:

- Элементар юза билан тегишли ўқ орасидаги масофа квадратига күпайтмасининг интегралига айтилади.
- Элементар юза билан тегишли ўқ орасидаги масофа квадратига бўлинмасининг интегралига айтилади.
- Элементар юза билан қутб нүктаси орасидаги масофа күпайтмасининг интегралига айтилади.
- Элементар юзани елкага күпайтмасига айтилади.

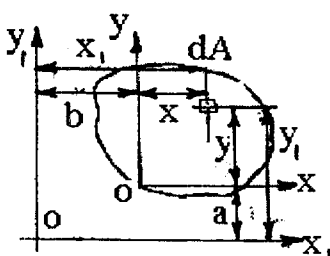


12. Кесимни X ўқига нисбатан инерция моменти формуласини күрсатинг.

Жавоб:

$$1) I_x = \int_0^A y^2 dA; \quad 2) I_x = \int_0^A \rho^2 dA$$

$$3) I_x = \int_0^A x^2 dA \quad 4) I_x = A \cdot \ell^2$$



13. Кесимни  $X_1$  параллел ўқига нисбатан инерция моменти формуласини күрсатинг.

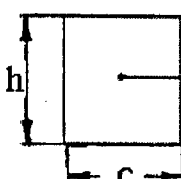
Жавоб:

$$1) I_{x_1} = I_y + b^2 \cdot A;$$

$$2) I_{x_1} = I_x + a^2 \cdot A$$

$$3) I_{x_1} = I_{xy} + ab \cdot A$$

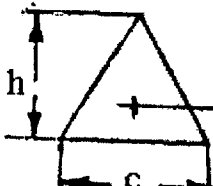
$$4) I_{x_1} = I_x + a \cdot A$$



14. Түгри бурчакли кесим юзасини X ўқига нисбатан инерция моменти формуласини күрсатинг.

Жавоб: 1)  $I_x = \frac{ch^3}{12}$  2)  $I_x = \frac{hc^3}{12}$

$$3) I_x = \frac{ch^3}{3} \quad 4) I_x = \frac{c^2 h^2}{4}$$



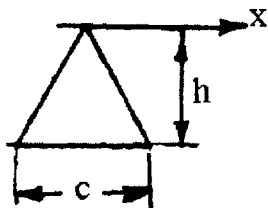
15. Учбуручаксимон кесимни X ўқига нисбатан инерция моменти формуласини күрсатинг.

Жавоб: 1)  $I_x = \frac{ch^3}{12}$

$$2) I_x = \frac{ch^3}{36};$$

$$3) I_x = \frac{ch^3}{4}$$

$$4) I_x = \frac{ch^3}{48}$$

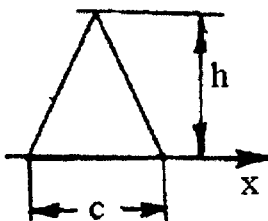


**16. Учбұрчаксимон кесимни X ўқига нисбатан инерция моменти формуласини күрсатинг.**

Жавоб:

$$1) \quad I_{x_1} = \frac{ch^3}{12} \quad 2) \quad I_{x_1} = \frac{ch^3}{36}$$

$$3) \quad I_{x_1} = \frac{ch^3}{4} \quad 4) \quad I_{x_1} = \frac{ch^3}{48}$$

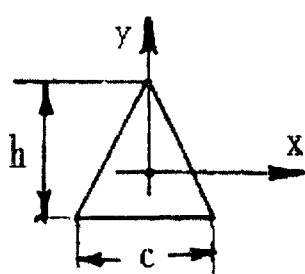


**17. Учбұрчаксимон кесимни X ўқига нисбатан инерция моменти формуласини күрсатинг.**

Жавоб:

$$1) \quad I_{x_2} = \frac{ch^3}{12} \quad 2) \quad I_{x_2} = \frac{ch^3}{36}$$

$$3) \quad I_{x_2} = \frac{ch^3}{4} \quad 4) \quad I_{x_2} = \frac{ch^3}{48}$$



**18. Учбұрчаксимон кесимни Y ўқига нисбатан инерция моменти формуласини күрсатинг.**

Жавоб:

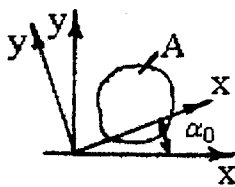
$$1) \quad I_y = \frac{hc^3}{48} \quad 2) \quad I_y = \frac{ch^3}{12}$$

$$3) \quad I_y = \frac{ch^3}{48} \quad 4) \quad I_y = \frac{hc^3}{36}$$

**19. Бош инерция ўқлари деб нимага айтилади?**

Жавоб:

1. Марказдан қочма инерция моментлари нолға тенг бўлган ҳолга тўғри келувчи ўқларга айтилади.
2.  $\alpha = 0$ , бурчак остида жойлашган ўққа.
3. Бош инерция моментлари нолға тенг бўлган ўқларга.
4. Кесимнинг оғирлик марказидан ўтuvчи ўқларга.



**20. Бош инерция ўқларининг йўналиши қайси формула билан аниқланади?**

$$\text{Жавоб: 1)} \quad \operatorname{tg} 2\alpha_0 = -\frac{2\tau_{xy}}{\sigma_x - \sigma_y};$$

$$2) \quad \operatorname{tg} 2\alpha_0 = -\frac{2I_{xy}}{I_x - I_y} \quad 3) \quad \operatorname{tg} \alpha_0 = -\frac{\tau_{xy}}{\sigma_1 - \sigma_x};$$

$$4) \quad \operatorname{tg} 2\alpha_0 = -\frac{I_x - I_y}{2I_{xy}}$$

**21. Кесимнинг бош инерция моментлари қайси формула билан аниқланади?**

Жавоб:

$$1) \quad I_{x_0} = I_x \cos^2 \alpha_0 + I_y \sin^2 \alpha_0; \quad I_{y_0} = I_y \cos^2 \alpha_0 + I_x \sin^2 \alpha_0$$

$$2) \quad I_{x_0 y_0} = \frac{I_x - I_y}{2} \sin^2 \alpha_0 + I_{xy} \cos^2 \alpha_0$$

$$3) \quad I_{x_0} = I_x \cos^2 \alpha_0 + I_{xy} \sin 2\alpha_0 + I_y \sin^2 \alpha_0$$

$$4) \quad I_{y_0} = I_y \cos^2 \alpha_0 - I_{xy} \sin 2\alpha_0 + I_x \sin^2 \alpha_0$$

**22. Инерция радиуси қайси формула билан топилади?**

$$\text{Жавоб: 1)} \quad i^2 = \rho^2 F; \quad 2) \quad i^2 = \frac{I}{A}; \quad 3) \quad i^2 = I \cdot A;$$

$$4) \quad i^2 = \frac{A}{I}$$

**23. Марказий чўзилиш ёки сиқилиш деб нимага айтилади?**

Жавоб:

1. Ўзаро тенг ва бўйлама ўқида қарама-қарши томонларга йўналган кучлар таъсиридаги стерженнинг деформациясига айтилади.

2. Стерженнинг ташқи куч таъсиридан емирилишига.

3. Стерженнинг эластик деформациясига.  
 4. Стерженнинг бикрлиги кичиклашишига.

**24. Чўзилиш ва сиқилишда стерженни кесим юзасида қандай куч ҳосил бўлади?**

Жавоб: 1) ташки; 2) ички бўйлама куч; 3) қўндаланг куч; 4) момент.

**25. Чўзилиш ва сиқилишда Гук қонунини кўрсатинг.**

$$\text{Жавоб: } 1) \Delta\ell = \ell_1 - \ell_0; \quad 2) \Delta\ell = \frac{F\ell}{EA}; \quad 3) \Delta\ell = \frac{EF}{\ell A};$$

$$4) \Delta\ell = \frac{FA}{E\ell}$$

**26. Гук қонунининг иккинчи кўринишини кўрсатинг.**

Жавоб:

$$1) \varepsilon = \frac{\Delta\ell}{\ell}; \quad 2) \varepsilon = \frac{\sigma}{E}; \quad 3) \varepsilon = \ell_1 - \ell_0; \quad 4) \varepsilon = \frac{\sigma}{A}$$

**27. Пуассон коэффициенти қайси формула билан топилади.**

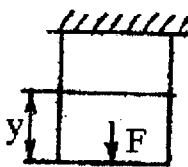
Жавоб:

$$1) \mu = 0,3; \quad 2) \mu = \frac{\varepsilon}{\sigma}; \quad 3) \mu = \frac{\varepsilon}{\dot{\varepsilon}}; \quad 4) \mu = \frac{\Delta\ell}{\ell}$$

**28. Чўзилиш ва сиқилишда нормал кучланиш формуласини кўрсатинг.**

Жавоб:

$$1) \sigma = NA; \quad 2) \sigma = \frac{N}{A}; \quad 3) \sigma = \frac{A}{N}; \quad 4) \sigma = \sqrt{\rho^2 - \tau^2}$$

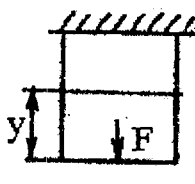


**29. F куч ва хусусий оғирлиги таъсиридаги стерженнинг ички кучини аниқланг.**

Жавоб:

$$1) N_1 = F + \gamma \cdot y \quad 2) N_1 = F \\ 3) N_1 = \gamma \cdot y \quad 4) N_1 = F - \gamma \cdot y$$

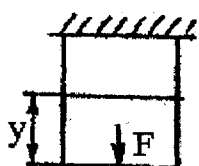
**30. F куч ва хусусий оғирлик таъсиридаги стерженнинг деформациясини аниқланг.**



Жавоб:

$$1) \Delta\ell = \frac{F\ell}{EA}; \quad 2) \Delta\ell = \frac{F\ell}{EA} + \frac{\gamma\ell^2}{2E};$$

$$3) \Delta\ell = \frac{\gamma\ell^2}{2E}; \quad 4) \Delta\ell = \frac{F\ell}{EA} - \frac{\gamma\ell^2}{2E}$$



31. F күч ва хусусий оғирлик таъсиридаги стерженнинг кесимини танланг.

$$\text{Жавоб: } 1) A \geq \frac{F}{[\sigma]}; \quad 2) A = A_0 \ell^{[\sigma]^y};$$

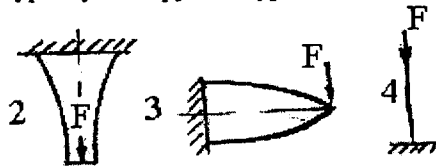
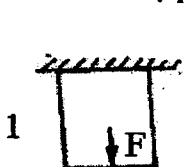
$$3) A \geq F[\sigma]; \quad 4) A = \frac{\pi d^2}{4}$$

32. Тенг қаршилик күрсатувчи брус кесимининг юзасини аниқланг.

Жавоб:

$$1) A \geq \frac{F}{[\sigma]}; \quad 2) A = A_0 \ell^{[\sigma]^y}; \quad 3) A = F[\sigma] \quad 4) A = h\ell$$

33. Тенг қаршилик күрсатувчи брусни күрсатинг.



34. Температура таъсирида деформацияни аниқланг.

$$\text{Жавоб: } 1) \Delta\ell_t = \alpha \cdot \ell; \quad 2) \Delta\ell_t = \alpha \cdot \Delta t \cdot \ell;$$

$$3) \Delta\ell_t = \Delta t \cdot \ell; \quad 4) \Delta\ell_t = \frac{\Delta t \cdot \ell}{EA}$$

35. Материалларни чўзилиш ёки сиқилишга синашдан мақсад нима?

Жавоб:

- 1) Намунани чўзилишда узиш.

- 2) Материални механик ва пластиклик хоссаларини аниқлаш.
- 3) Намуналарнинг шаклини ўзгартириш.
- 4) Материалларни Гук қонунига бўйсунишини текшириш.

**36. Юмшоқ пўлат материалы учун рухсат этилган кучланишни кўрсатинг.**

Жавоб:

$$1) [\sigma] = \frac{\sigma_{\text{ок}}}{n}; \quad 2) [\sigma] = \frac{\sigma_2}{n}; \quad 3) [\sigma] = \frac{\sigma_n}{n}; \quad 4) [\sigma] = \frac{\sigma_s}{n}$$

**37. Чўян материалы учун рухсат этилган кучланишни аниқланг.**

Жавоб:

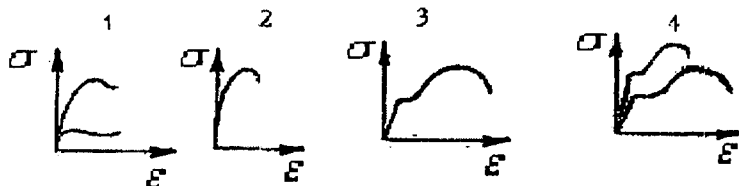
$$1) [\sigma] = \frac{\sigma_2}{n}; \quad 2) [\sigma] = \frac{\sigma_{\text{ок}}}{n}; \quad 3) [\sigma] = \frac{\sigma_s}{n}; \quad 4) [\sigma] = \frac{\sigma_n}{n}$$

**38. Мўртлик деб нимага айтилади?**

Жавоб:

- 1) Катта деформация ҳосил қилиб емирилиш хусусиятига эга бўлган материал.
- 2) Кичик деформация ҳосил қилиб емириладиган материалнинг хосасига.
- 3) Кичик деформация ҳосил қилиб емирилмайдиган материалнинг хосасига.
- 4) Окувчанлик чегараси бор бўлган материалга.

**39. Юмшоқ пўлатни чўзилиш диаграммасини кўрсатинг.**



**40. Материалларни пропорционаллик чегараси, деб нимага айтилади?**

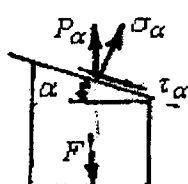
**Жавоб:**

- 1) Материалларнинг қолдик деформацияси бошланышига.
- 2) Гук қонуни ишлатиладиган чегарадаги кучланишга.
- 3) Диаграмманинг эгри чизиқли қисмини бошланышига.
- 4) Материални пластиклик хоссасига.

**41. Қўзилиш ва сиқилиш деформациясининг потенциал энергияси қайси формула билан топилади?**

**Жавоб:**

$$1) U = \frac{2E}{\sigma^2}; \quad 2) U = \frac{\sigma^2}{2E}; \quad 3) U = \frac{2\sigma}{\varepsilon}; \quad 4) U = \frac{2}{\sigma\varepsilon}$$



**42. Чизиқли кучланганлик ҳолатида қия кесимни нормал кучланиши қайси формула билан топилади?**

**Жавоб:**

$$1) \sigma_\alpha = P_\alpha \sin \alpha; \quad 2) \sigma_\alpha = \sigma_0 \cos^2 \alpha;$$

$$3) \sigma_\alpha = \frac{\sigma_0}{2} \sin 2\alpha; \quad 4) \sigma_\alpha = \frac{F}{A}$$

**43. Чизиқли кучланганлик ҳолатида қия кесимни уринма кучланиши қайси формула билан топилади?**

**Жавоб:**

$$1) \tau_\alpha = \frac{F}{A}; \quad 2) \tau_\alpha = P_\alpha \cos \alpha; \quad 3) \tau_\alpha = \frac{\sigma_0}{2} \sin 2\alpha;$$

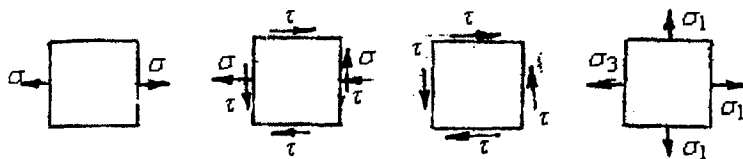
$$4) \tau_\alpha = \sigma_0 \cos \alpha$$

**44. Бош юза деб нимага айтилади?**

**Жавоб:**

- 1) Фақат нормал кучланиш таъсир қиласидиган юзалар.
- 2) Уринма кучланишлар нолга тенг бўлган юзалар.
- 3) Нормал кучланишлар нолга тенг бўлган юзалар.
- 4) Фақат уринма кучланишлар таъсир қиласидиган юзалар.

**45. Қайси кубик чизиқли күчләнгәнлик ҳолатыда?**



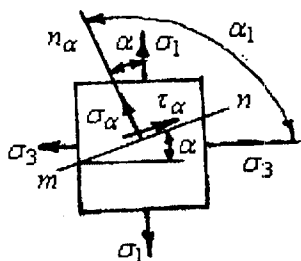
**46. Текис күчләнгәнлик ҳолатыда қия кесимни нормал күчләнишини анықланг.**

$$\text{Жавоб: 1)} \quad \sigma_\alpha = \sigma_1 \cos^2 \alpha ;$$

$$2) \quad \sigma_\alpha = \sigma_1 \cos^2 \alpha + \sigma_3 \cos^2 \alpha_1 ;$$

$$3) \quad \sigma_\alpha = \frac{\sigma_1 - \sigma_3}{2} \sin^2 \alpha ;$$

$$4) \quad \sigma_\alpha = \sigma_3 \cos^2 \alpha$$



**47. Текис күчләнгәнлик ҳолатыда қия кесимни нормал күчләнишини анықланг.**

$$\text{Жавоб: 1)} \quad \tau_\alpha = \frac{\sigma_1}{2} \sin 2\alpha ;$$

$$2) \quad \tau_\alpha = \frac{\sigma_3}{2} \sin 2\alpha ;$$

$$3) \quad \tau_\alpha = \frac{\sigma_1 - \sigma_3}{2} \sin 2\alpha ;$$

$$4) \quad \tau_\alpha = \frac{\sigma_1 + \sigma_3}{2}$$

**48. Уринма күчләнишларни жуфтлик аломати деб нимага айтилади?**

**Жавоб:**

1) Ўзаро перпендикуляр жойлашган қия кесимлардан ги уринма күчләнишларнинг тенглигига.

2) Ўзаро перпендикуляр қия кесимлардаги уринма кучланишларнинг тенгсизлигига.

3) Уринма кучланишларнинг бош кучланишларга тенг бўлишига.

4) Уринма кучланишларнинг максимал қийматга эришишига.

**49. Бош кучланишларнинг йўналиши қайси формула билан топилади?**

Жавоб:

$$1) \ tg 2\alpha_0 = -\frac{2I_{xy}}{I_x - I_y}; \quad 2) \ tg 2\alpha_0 = -\frac{2\tau_{xy}}{\sigma_x - \sigma_y};$$

$$3) \ tg 2\alpha_0 = -\frac{\sigma_x - \sigma_y}{2I_{xy}}; \quad 4) \ tg \alpha_0 = -\frac{\tau_{xy}}{\sigma_1 - \sigma_3}$$

**50. Ҳажмий деформацияда Гук қонуни бўйича  $\varepsilon$ , ни аниқлайдиган тўғри формуласини кўрсатинг?**

Жавоб: 1)  $\varepsilon_1 = 2E[\sigma_1 - \mu\sigma_3]$ ; 2)  $\varepsilon_1 = \frac{1}{E}[\sigma_1 - \mu(\sigma_2 + \sigma_3)]$ ;

3)  $\varepsilon_1 = \frac{\sigma_1}{E}$ ; 4)  $\varepsilon_1 = \sigma_1 - \frac{\mu}{E}(\sigma_2 + \sigma_3)$

**51. Ҳажмий эластиклик модулининг формуласини кўрсатинг.**

Жавоб: 1)  $\frac{E}{1-2\mu} = k$ ; 2)  $k = \frac{E}{3(1-2\mu)}$ ;

3)  $k = \frac{E}{3-2\mu}$ ; 4)  $k = \frac{E}{3\mu}$

**52. Ҳажмий деформацияни тўлиқ потенциал энергияси формуласини кўрсатинг.**

Жавоб: 1)  $U = U_x - U_w$ ;

2)  $U = \frac{1}{E} [\sigma_1^2 + \sigma_2^2 - \sigma_3^2 - 2(\sigma_1\sigma_2 + \sigma_2\sigma_3 + \sigma_1\sigma_3)]$

$$3) \quad U = \frac{1}{2E} \left[ \sigma_1^2 + \sigma_2^2 + \sigma_3^2 - 2\mu(\sigma_1\sigma_2 + \sigma_2\sigma_3 + \sigma_1\sigma_3) \right]$$

$$4) \quad U = \frac{1}{2E} \left[ \sigma_1^2 + \sigma_2^2 + \sigma_3^2 - \sigma_1\sigma_2 - \sigma_2\sigma_3 - \sigma_1\sigma_3 \right]$$

**53. Ҳажм ўзгаришидаги деформация потенциал энергиясининг тўғри формуласини кўрсатинг.**

Жавоб: 1)  $U_x = \frac{3\sigma_1\varepsilon_1}{2}$ ; 2)  $U_x = \frac{1-2\mu}{6E}(\sigma_1 + \sigma_2 + \sigma_3)^2$ ;

$$3) \quad U_x = \frac{1-2\mu}{6E}(\sigma_1^2 + \sigma_2^2 + \sigma_3^2); \quad 4) \quad U_x = U + U_w$$

**54. Қачон кубикда ҳажм ўзгариши бўлади?**

Жавоб:

1)  $\sigma_1 + \sigma_2 + \sigma_3 = 0$  бўлса;

2) барча қирраларига  $\sigma_{yp} = \frac{\sigma_1 + \sigma_2 + \sigma_3}{3}$  кучланиш таъсир қиласа;

3) кубик деформацияси эластик бўлса;

4)  $U_w = U - U_x$  энергия сарфланса.

**55. Шакл ўзгаришидаги деформация потенциал энергиясининг тўғри формуласини кўрсатинг.**

Жавоб: 1)  $U_w = \frac{3\sigma_{yp}\varepsilon_{yp}}{2}$ ; 2)  $U_w = \frac{1+\mu}{3E}(\sigma_1 + \sigma_2 + \sigma_3)^2$ ;

$$3) \quad U_w = \frac{1+\mu}{3E} \left[ \sigma_1^2 + \sigma_2^2 + \sigma_3^2 - \sigma_1\sigma_2 - \sigma_1\sigma_3 - \sigma_2\sigma_3 \right];$$

$$4) \quad U_w = -\frac{1+\mu}{3E}(\sigma_1\sigma_2 + \sigma_1\sigma_3 + \sigma_2\sigma_3)$$

**56. Мустаҳкамлик назарияларининг вазифаларини тўғри таърифланг.**

Жавоб:

1) Турли кучланганлик ҳолатида кубикни деформациясини аниқлаш.

2) Мор доирасини қуриш.

3) Турли кучланганлик ҳолатида кубикни мустаҳкамлик шартини тузиш.

4) Кесимни танлаш.

**57. Энг катта бош нормал күчланиш назарияси бўйича мустаҳкамлик шартини кўрсатинг.**

Жавоб: 1)  $\sigma_1 \leq [\sigma]$ ; 2)  $\sigma_1 - \mu(\sigma_2 + \sigma_3) \leq [\sigma]$ ;  
3)  $\sigma_1 - \sigma_3 \leq [\sigma]$ ; 4)  $[(\sigma_1 - \sigma_2)^2 + (\sigma_1 - \sigma_3)^2 + (\sigma_2 - \sigma_3)^2] \leq 2\sigma_0$

**58. Энг катта нисбий деформация назарияси бўйича мустаҳкамлик шартини кўрсатинг.**

Жавоб: 1)  $\sigma_1 \leq [\sigma]$ ; 2)  $\sigma_1 - \mu(\sigma_2 + \sigma_3) \leq [\sigma]$ ;  
3)  $\sigma_1 - \sigma_3 \leq [\sigma]$ ; 4)  $[(\sigma_1 - \sigma_2)^2 + (\sigma_1 - \sigma_3)^2 + (\sigma_2 - \sigma_3)^2] \leq 2\sigma_0$

**59. Энг катта уринма күчланишлар назарияси бўйича мустаҳкамлик шартини кўрсатинг.**

Жавоб: 1)  $\sigma_1 \leq [\sigma]$ ; 2)  $\sigma_1 - \mu(\sigma_2 + \sigma_3) \leq [\sigma]$ ;  
3)  $\sigma_1 - \sigma_3 \leq [\sigma]$ ; 4)  $[(\sigma_1 - \sigma_2)^2 + (\sigma_1 - \sigma_3)^2 + (\sigma_2 - \sigma_3)^2] \leq 2\sigma_0$

**60. Соф силжиш деб нимага айтилади?**

Жавоб:

- 1) Фақат нормал күчланиш таъсиридаги кубикнинг деформацияси.
- 2) Фақат уринма күчланиш таъсиридаги кубикнинг деформацияси.
- 3) Уринма күчланишлар нолга тенг бўлган юзага.
- 4) Нормал күчланиш нолга тенг бўлган юзага.

**61. Силжишда Гук қонунини ифодаловчи формулани кўрсатинг.**

Жавоб: 1)  $\tau = \frac{F}{A}$ ; 2)  $\tau = \gamma G$ ; 3)  $\tau = \frac{\gamma}{G}$ ; 4)  $\tau_a = \sigma_1$

**62. Силжиш модулини кўрсатинг.**

Жавоб:

1)  $k = \frac{E}{2(1 - \mu)}$ ; 2)  $G = \frac{E}{2(1 + \mu)}$ ; 3)  $k = \frac{\sigma_{yp}}{\varepsilon_{yp}}$ ; 4)  $G = \frac{(\mu + 1)2}{E}$

**63. Силжишда рухсат этилган күчланишни танланг.**

Жавоб: (I-назария) 1)  $[\tau] = \frac{[\sigma]}{1 + \mu}$ ; 2)  $[\tau] = [\sigma]$ ;

3)  $[\tau] = \frac{[\sigma]}{2}$ ; 4)  $[\tau] = \frac{[\sigma]}{\sqrt{3}}$

**64. Силжишда рухсат этилган күчланишни танланг.**

Жавоб: (II назария)

1)  $[\tau] = \frac{[\sigma]}{1 + \mu}$ ; 2)  $[\tau] = [\sigma]$ ; 3)  $[\tau] = \frac{[\sigma]}{2}$ ; 4)  $[\tau] = \frac{[\sigma]}{\sqrt{3}}$

**65. Силжишда рухсат этилган күчланишни танланг.**

Жавоб: (III-назария) 1)  $[\tau] = [\sigma]$ ; 2)  $[\tau] = \frac{[\sigma]}{1 + \mu}$ ;

3)  $[\tau] = \frac{[\sigma]}{2}$ ; 4)  $[\tau] = \frac{[\sigma]}{\sqrt{3}}$

**66. Силжишда рухсат этилган күчланишни танланг.**

Жавоб: (IV-назария) 1)  $[\tau] = [\sigma]$ ; 2)  $[\tau] = \frac{[\sigma]}{1 + \mu}$ ;

3)  $[\tau] = \frac{[\sigma]}{2}$ ; 4)  $[\tau] = \frac{[\sigma]}{\sqrt{3}}$

**67. Бир қирқамли парчин михли бирикмани қирқилишга мустаҳкамлик шартини кўрсатинг.**

Жавоб: 1)  $\tau = \frac{F}{n\pi \cdot d^2} \leq [\tau]$ ; 2)  $\tau = \frac{F}{nA} \leq [\tau]$ ;

3)  $\tau = \frac{F2}{n\pi \cdot d^2} \leq [\tau]$ ; 4)  $\tau = \frac{\pi d^2}{4Fn} \leq [\tau]$

**68. Бир қирқимли парчин михли бирикмада парчин михлар сонини топинг.**

Жавоб: 1)  $n = n_1 + n_2 + n_3 + \dots$ ; 2)  $n > \frac{4F}{\pi d^2 [\tau]}$ ;

3)  $n \geq \frac{F2}{\pi d^2 [\tau]}$ ; 4)  $n \geq \frac{F}{[\tau] \pi d^2}$

**69. Парчин михли бирикмани эзилишта мустаҳкамлик шартини кўрсатинг.**

$$\text{Жавоб: } 1) \sigma_s = \frac{F}{tb} \leq [\sigma]; \quad 2) \sigma_s = \frac{F}{td} \leq [\sigma], 4$$

$$3) \sigma_s = \frac{F}{2tb} \leq [\sigma]; \quad 4) \tau = \frac{F}{A}$$

**70. Парчин михли бирикмани эзилишда парчин михлар сонини топинг.**

$$\text{Жавоб: } 1) n = 1, 2, 3, \dots; \quad 2) n \geq \frac{F}{td[\sigma]};$$

$$3) n \geq \frac{F}{\pi d[\tau]}; \quad 4) n \geq \frac{4F}{\pi d[\tau]}$$

**71. Парчин михли бирикмани чўзишиш ва сиқилишга мустаҳкамлик шарти.**

$$\text{Жавоб: } 1) \sigma = \frac{F \cdot 4}{\pi d^2} \leq [\sigma]; \quad 2) \sigma = \frac{F \cdot 4}{t(b - md)} \leq [\sigma];$$

$$3) \tau = \frac{F}{A} \leq [\tau]; \quad 4) \sigma = \frac{F}{td} \leq [\sigma]$$

**72. Буровчи момент деб нимага айтилади.**

**Жавоб:**

- 1) Куч моментига.
- 2) Вални ўрганилаётган қисмидаги ташқи кучларни кесим марказига нисбатан моментларининг алгебравик йиғиндисига.
- 3) Вални ўрганилаётган қисмидаги ташқи моментларни алгебравик йиғиндисига.
- 4)  $M_1 = TR_1 - t_1 R_1$  – моменти.

**73. Доиравий кесимли стерженнинг буралишида кучлашибаш формуласи?**

$$\text{Жавоб: } 1) \tau = \frac{F}{A}; \quad 2) \tau = \frac{M_\delta}{I_\rho} \rho; \quad 3) \tau = \frac{QS_y^0}{I_y d}; \quad 4) \tau = \frac{M}{W}$$

**74. Буралиш бурчаги формуласини күрсатинг.**

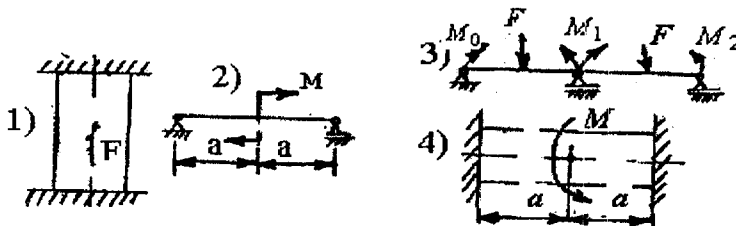
Жавоб: 1)  $\varphi = \frac{F\ell}{EA}$ ; 2)  $\varphi = \frac{M_\delta \ell}{GI_\rho}$ ; 3)  $\varphi = \frac{4FR^3n}{Gr^4}$ ; 4)  $\varphi = \frac{M_c}{EA}$

**75. Буралишда мустақамлик шартини күрсатинг.**

Жавоб: 1)  $\tau = \frac{F}{A} \leq [\tau]$ ; 2)  $\tau = \frac{M_k}{W_\rho} \leq [\tau]$ ;

3)  $\tau = \frac{QS_y}{I_y d} \leq [\tau]$ ; 4)  $\sigma = \frac{M}{W} \leq [\sigma]$

**76. Буралишда статик ноанық системани күрсатинг.**



**77. Буралишда мустақамлик шартидан фойдаланиб валнинг диаметрини аниқланг.**

Жавоб: 1)  $d = \sqrt{\frac{4F}{\pi[\sigma]}}$ ; 2)  $d = \sqrt[3]{\frac{16M_k}{\pi[\tau]}}$ ;

3)  $d = \sqrt[3]{\frac{32M}{\pi[\sigma]}}$ ; 4)  $d = \sqrt[4]{\frac{32M_k \ell}{\pi[\varphi]G}}$

**78. Буралишда бикрлик шарти асосида валнинг диаметрини аниқланг.**

Жавоб: 1)  $d = \sqrt{\frac{4F}{\pi[\sigma]}}$ ; 2)  $d = \sqrt[3]{\frac{16M_k}{\pi[\tau]}}$ ;

3)  $d = \sqrt[3]{\frac{32M}{\pi[\sigma]}}$ ; 4)  $d = \sqrt[4]{\frac{32M_k \ell}{\pi[\varphi]G}}$

**79. Винтсимон пружинанинг деформациясини аниқланг.**

$$1) \lambda = \frac{F\ell}{EA}; \quad 2) \lambda = \frac{M_k \ell}{GI_p}; \quad 3) \lambda = \frac{4FR^3n}{G \cdot r^4}; \quad 4) \lambda = \frac{M_c}{EI}$$

**80. Буралиш деформациясининг потенциал энергиясини кўрсатинг.**

Жавоб:

$$1) U = \frac{F^2 \ell}{2EA}; \quad 2) U = \frac{M_k^2 \ell}{2GI_p}; \quad 3) U = \frac{M_n^2 \ell}{2EI}; \quad 4) U = \frac{Q^2 \ell}{2GA}$$

**81. Винтсимон пружина ўрамининг кесим юзасидаги кучланиши:**

Жавоб:

$$1) \tau = \frac{QS_y}{I_y d}; \quad 2) \sigma = \frac{F}{\pi \cdot r^2}; \quad 3) \tau = \frac{F}{\pi \cdot r^2} + \frac{2FR}{\pi \cdot r^3}; \quad 4) \sigma = \frac{F}{ntd}$$

**82. Эгувчи момент деб нимага айтилади?**

Жавоб:

- 1) Куч моментига.
- 2) Балкани ўрганилаётган қисмидаги ташқи кучларни кесим марказига нисбатан моментларининг алгебравик йифиндисига.
- 3) Кучни елкага бўлинмасига.
- 4) Балкани ўрганилаётган қисмидаги ташқи ва ички кучлар мувозанатига.

**83. Эгувчи момент ва кўндаланг куч орасидаги дифференциал боғланишини кўрсатинг.**

$$1) Q = \frac{dM}{dx}; \quad 2) Q = dM \cdot dX; \quad 3) Q = \int M_x dx; \quad 4) Q = \int M^2 dx$$

**84. Ёйилган куч интенсивлиги ва кўндаланг куч орасидаги дифференциал боғланишини кўрсатинг.**

$$\text{Жавоб: } 1) q = Q \cdot dx \quad 2) q = \frac{dQ}{dx} \quad 3) q = \int Q \cdot dx \quad 4) q = \frac{dx}{dQ}$$

**85. Ёйилган куч интенсивлиги ва эгувчи момент орасидаги дифференциал боғланишини кўрсатинг.**

$$\text{Жавоб: } 1) \ q = d^2 M \cdot d^2 x \quad 2) q = \frac{d^2 M}{d^2 x} \quad 3) q = \int M^2 dx \quad 4) q = \frac{dM}{dx}$$

### 86. Соф эгилиш деб нимага айтилади?

- 1) Фақат уринма кучланиш таъсиридаги балканинг деформациясига.
- 2) Уринма ва нормал кучланишлар таъсиридаги балканинг деформациясига.
- 3) Фақат нормал кучланиш таъсиридаги балканинг деформациясига.
- 4) Бош кучланишлар таъсиридаги балкани деформациясига.

### 87. Эгилишда нормал кучланиш формуласини кўрсатинг.

$$\text{Жавоб: } 1) \sigma = \frac{F}{A}; \quad 2) \sigma = \frac{Mz}{I_x};$$

$$3) \sigma = \frac{Q \cdot S}{I \cdot b}; \quad 4) \sigma = \frac{Mz}{S\rho}$$

### 88. Эгилишда уринма кучланиш формуласини кўрсатинг.

$$\text{Жавоб: } 1) \sigma = \frac{Mz}{I_x}; \quad 2) \tau = \frac{Mz}{I};$$

$$3) \tau = \frac{Q \cdot S_y}{I_y \cdot b}; \quad 4) \tau = \frac{F}{A}$$

### 89. Эгилишда нормал кучланиш бўйича мустаҳкамлик шартини кўрсатинг.

$$\text{Жавоб: } 1) \sigma = \frac{F}{A} \leq [\sigma]; \quad 2) \sigma = \frac{Mz_y}{S_y \rho} \leq [\sigma];$$

$$3) \sigma = \frac{M}{W_x} \leq [\sigma]; \quad 4) \sigma = \frac{Q \cdot S_y}{I_y \cdot d} \leq [\sigma]$$

### 90. Доиравий кесимнинг қаршилик моменти формуласини кўрсатинг.

Жавоб:

$$1) W_x = \frac{\pi \cdot r^3}{16}; \quad 2) W_x = \frac{\pi \cdot d^3}{32}; \quad 3) W_x = \pi \cdot r^3; \quad 4) W_x = \frac{I_x}{A}$$

**91.** Эгилишда нормал күчланиш бүйича мустақамлик шартидан рухсат этилган юкни аниқланг.

Жавоб:

$$1) F = W[\sigma]; \quad 2) M = W[\sigma]; \quad 3) F = W[\sigma]; \quad 4) Q = A[\tau]$$

**92.** Эгилишда нормал күчланиш бүйича мустақамлик шартидан фойдаланиб кесимни танланг.

Жавоб:

$$1) W \geq \frac{F}{[\sigma]}; \quad 2) A \geq \frac{F}{[\sigma]}; \quad 3) W \geq \frac{M}{[\sigma]}; \quad 4) \frac{I_y}{S_y} \geq \frac{Q}{b[\tau]}$$

**93.** Эгилишда уринма күчланиш бүйича мустақамлик шартни күрсатинг.

$$\text{Жавоб: } 1) \tau = \frac{F}{A} \leq [\tau]; \quad 2) \tau = \frac{Q \cdot S_y}{I_y \cdot d} \leq [\tau];$$

$$3) \tau = \frac{M}{W_x} \leq [\tau]; \quad 4) \tau = \frac{Q}{A} \leq [\tau]$$

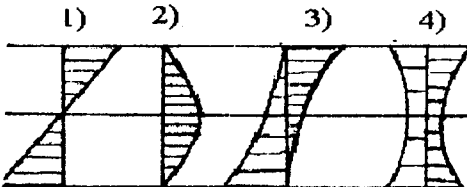
**94.** Эгилишда бош нормал күчланишлар формуласини күрсатинг.

$$\text{Жавоб: } 1) \sigma_\alpha = \sigma_1 \cos^2 \alpha + \sigma_3 \sin^2 \alpha;$$

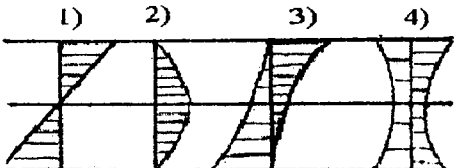
$$2) \sigma_{1,3} = \frac{1}{2} \left[ \sigma \pm \sqrt{\sigma^2 + 4\tau^2} \right]; \quad 3) \sigma = \tau; \quad \tau = -\sigma_3;$$

$$4) \tau_{\max} = \frac{\sigma_1 - \sigma_3}{2}$$

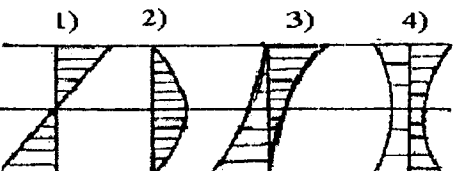
**95.** Эгилишда нормал күчланиш эпюрасини күрсатинг.



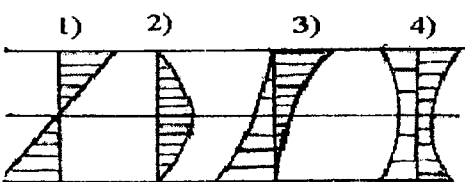
96. Эгилишда уринма кучланиш эпюрасини кўрсатинг.



97. Эгилишда бош нормал кучланиш эпюрасини кўрсатинг.



98. Эгилишда бош уринма кучланиш эпюрасини кўрсатинг.



99. Балка эгилган ўқининг тақрибий дифференциал тенгламаси қани?

Жавоб: 1)  $y = \frac{M_c}{EI}$ ; 2)  $EIy' = M_x$ ; 3)  $\theta = \frac{Q_c}{EI}$ ;

4)  $y = \int \frac{\overline{MM_1}dx}{EI}$

100. Эгилишда салқиликни графоаналитик усул билан аниқланг.

Жавоб:

1)  $y = \frac{M_c}{EI}$ ; 2)  $EIy' = M_x$ ; 3)  $y = \int \frac{MM_1dx}{EI}$ ; 4)  $y = \frac{M \cdot \omega}{EI}$

101. Эгилиш деформациясининг потенциал энергиясини кўрсатинг?

Жавоб:

1)  $U = \frac{F\Delta\ell}{2}$ ; 2)  $U = \frac{M_s^2\ell}{2GI_p}$ ; 3)  $U = \frac{M \cdot \ell}{2EI}$ ; 4)  $U = \frac{\sigma\varepsilon}{2}$

**102. Мор интегралини күрсатинг.**

Жавоб: 1)  $I_x = \int_0^t y^2 dA$ ; 2)  $EI\theta = \int_0^t M_x dx + C$

3)  $\Delta_{12} = \int_0^t \frac{M_1 M_2}{EI} dx$ ; 4)  $U = \int_0^t \frac{M^2}{2EI} dx$

**103. Верещагин формуласини күрсатинг.**

Жавоб:

1)  $\Delta = \frac{\omega \cdot M_c^0}{EI}$ ; 2)  $\Delta = \frac{M_c}{EI}$ ; 3)  $\Delta = \frac{Q_c}{EI}$ ; 4)  $\frac{1}{\rho} = \frac{M}{EI}$

**104. Уч момент тенгламаси татбиқ қилинадиган балка-ни күрсатинг.**

1)



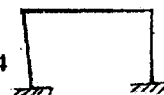
2)



3)



4



**105. Уч момент тенгламасини күрсатинг.**

Жавоб:

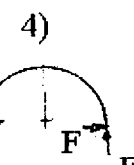
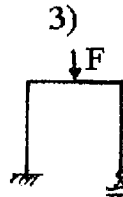
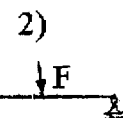
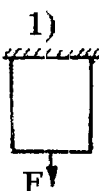
1)  $\sum M = M_1 + M_2 + M_3$ ;

2)  $M_0 \ell_n + 2M_1(\ell_n + \ell_{n+1}) + M_2 \cdot \ell_{n+1} = -6 \left( \frac{\varpi_1 a_1}{\ell_n} + \frac{\varpi_2 a_2}{\ell_{n+1}} \right)$

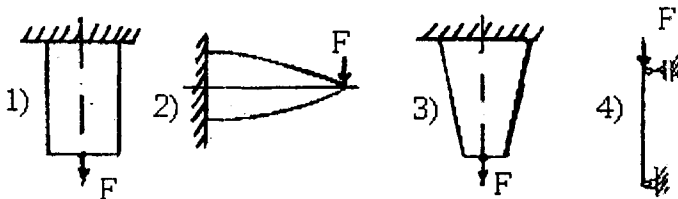
3)  $M = F_1 \ell_1 + F_2 \ell_2 + F_3 \ell_3$ ; 4)  $0 = M_1 + M_2 + M_3$

**106. Күч усули билан ечиладиган масаланинг схемасини күрсатинг.**

Жавоб:



**107. Тенг қаршилик күрсатувчи балкани күрсатинг.**

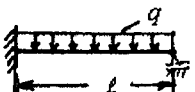


**108. Тенг қаршилик күрсатувчи балка деб нимага айтилади?**

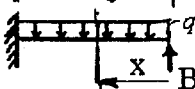
**Жавоб:**

1. Узунлиги бўйлаб кесим юзаси ўзгармайдиган балкага.
2. Узунлиги бўйлаб барча кесим юзаларида нормал қучланиш бир хил қийматтага эга бўлган балкага.
3. Узунлиги бўйлаб кесим юзаси тўғри чизиқли қонуният асосида танланган балкага.
4. Узунлиги бўйлаб кесим юзасида нормал қучланиш бир хил қийматтага эга бўлмаган балкага.

**109. Қандай усул билан берилган статик ноаниқ балканинг реакция кучи топилган?**



**Жавоб:**



1) Деформацияни таққослаш усули  
 $f_B = f_{BB} + f_{Bq}$

2) Тақрибий дифференциал тенгламанинг татбиқ этиш усули:

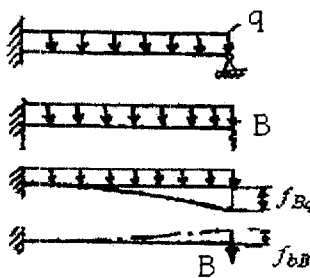
$$EIy' = Bx - q \frac{x^2}{2}$$

3) Верещагин формуласи  $\Delta = \frac{\varpi \cdot M^0}{EI}$

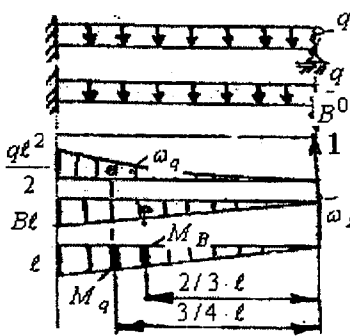
4) Куч усули  $x_1 \delta_{11} + \Delta_{1F} = 0$

**110) Қандай усул билан берилган статик ноаниқ балканинг ғеакция кучи топилган**

**Жавоб:**



- 1) деформацияни таққослаш усули;  $x_1 \delta_{11} + \Delta_{1F} = 0$
- 2) такрибий дифференциал тенгламани татбиқ этиш усули;
- 3) Мор интеграли;
- 4) Верещагин формуласи;
- 5) күч усули;
- 6) уч момент тенгламаси.



**111. Қандай усул билан берилған статик ноанық балканинг реакция кучи топилған?**

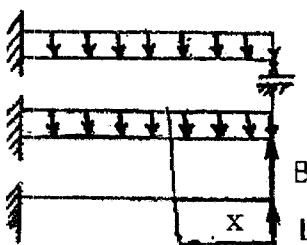
Жавоб:

- 1) Уч момент теоремасини табиқ этиш.
- 2) Мор интегралини татбиқ этиш.
- 3) Күч усули:  $x_1 \delta_{11} + \Delta_{1F} = 0$ .
- 4) Верещагин формуласи.

$$\Delta = \frac{\varpi \cdot M^0}{EI}$$

**112. Қандай усул билан берилған статик ноанық балканинг реакция кучи топилған?**

Жавоб:



- 1) Деформацияни таққослаш усули:  $f_B = f_{BB} + f_{Bq} = 0$
- 2) Мор интеграли:  $\Delta = \int \frac{M \bar{M}_0 dx}{EI}$
- 3) Күч усули:  $x_1 \delta_{11} + \Delta_{1F} = 0$
- 4) Верещагин формуласи:  

$$\Delta = \frac{\varpi \cdot \bar{M}^0}{EI}$$

**113. Текис әгри стерженларда нормал күчланишни анықланып?**

Жавоб:

$$1) \tau = \frac{QS_y^0}{I_y b}; \quad 2) \sigma = \frac{4F}{\pi d^2}; \quad 3) \sigma = \frac{N}{A} \pm \frac{M \cdot Z}{S_y^0 \cdot \rho}; \quad 4) \sigma = \frac{MZ}{I_y}$$

114. Текис эгри стерженларда нейтрал ўқ тенгламасини күрсатинг.

Жавоб:

$$1) \frac{x^2}{a^2} + \frac{y^2}{b^2} = 1; \quad 2) r = \frac{A}{\int_0^r \frac{dA}{\rho}}$$

$$3) 1 + \frac{x_0 x_p}{l_y^2} + \frac{y_0 y_p}{l_x^2} = 0; \quad 4) \frac{\cos \varphi \cdot Z_0}{I_y} + \frac{\sin \varphi \cdot y_0}{I_z} = 0$$

115. Эгри стерженларда нормал кучланишни  $\sigma = \frac{M \cdot Z_{1,2}}{S_y \cdot R_{1,2}}$  формуладан аниқлаш учун қандай эгрилик бўлиши керак?

Жавоб:

$$1) \frac{R_0}{h} = 0; \quad 2) R_0 > 5h; \quad 3) R_0 < 5h; \quad 4) R_0 = 5h$$

116. Эгилиш билан буралишни биргаликдаги таъсирида вални кесим юзасида қандай кучланишлар ҳосил бўлади?

Жавоб:

$$1) \text{нормал кучланиш: } \sigma_s = \frac{M_s}{N}$$

2) нормал ва уринма кучланишлар.

$$3) \text{уринма кучланиш: } \tau = \frac{M_\delta}{W_\rho}$$

$$4) \sigma = 0 \text{ ва } \tau = 0$$

117. Эгилиш билан буралишни биргаликдаги таъсирида вал кесимининг четки нуқтаси қандай кучланганлик ҳола - тида бўлади?

Жавоб: 1) чизиқли; 2) текис; 3) ҳажмий; 4) тўғри.

**118. Эгилиш билан буралышни биргаликдаги таъсирида валинг мустаҳкамлик шарти формуласини кўрсатинг.**

Жавоб:

$$\text{I назария. } 1) \frac{\sqrt{M_s^2 + M_\delta^2}}{W} \leq [\sigma];$$

$$2) \frac{1}{W} \left[ 0,35M_s + 0,65\sqrt{M_s^2 + M_\delta^2} \right] \leq [\sigma]$$

$$3) \frac{1}{W} \sqrt{M_s^2 + 0,75M_\delta^2} \leq [\sigma] \quad 4) \frac{1}{2W} [M_s + \sqrt{M_s^2 + M_\delta^2}] \leq [\sigma]$$

**119. Эгилиш билан буралышни биргаликдаги таъсирида валинг мустаҳкамлик шарти формуласини кўрсатинг.**

Жавоб:

$$\text{II назария. } 1) \frac{\sqrt{M_s^2 + M_\delta^2}}{W} \leq [\sigma];$$

$$2) \frac{1}{W} [M_s + \sqrt{M_s^2 + M_\delta^2}] \leq [\sigma]$$

$$3) \frac{1}{W} \left[ 0,35M_s + 0,65\sqrt{M_s^2 + M_\delta^2} \right] \leq [\sigma];$$

$$4) \frac{1}{2W} \sqrt{M_s^2 + 0,75M_\delta^2} \leq [\sigma]$$

**120. Эгилиш билан буралышни биргаликдаги таъсирида валинг мустаҳкамлик шарти формуласини кўрсатинг.**

$$\text{III назария } 1) \frac{1}{2} \left[ \sigma_s + \sqrt{\sigma_s^2 + 4\tau_\delta^2} \right] \leq [\sigma];$$

$$2) \sqrt{\sigma_s^2 + 4\tau_\delta^2} \leq [\sigma]; \quad 3) \sqrt{\sigma_s^2 + 3\tau_\delta^2} \leq [\sigma];$$

$$4) \left[ 0,35\sigma_s + 0,65\sqrt{\sigma_s^2 + 4\tau_\delta^2} \right] \leq [\sigma]$$

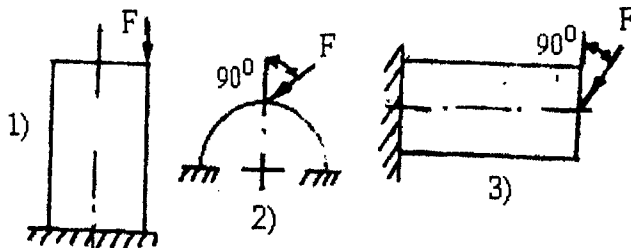
**121. Эгилиш билан буралышни биргаликдаги таъсирида валинг мустаҳкамлик шарти формуласини кўрсатинг.**

Жавоб:

$$\text{IV назария } 1) \sqrt{\sigma_s^2 + 4\tau_\delta^2} \leq [\sigma]; \quad 2) \sqrt{\sigma_s^2 + 3\tau_\delta^2} \leq [\sigma];$$

$$3) \frac{1}{2} \left[ \sigma_s + \sqrt{\sigma_s^2 + 4\tau_\delta^2} \right] \leq [\sigma]; \quad 4) \left[ 0,35\sigma_s + 0,65\sqrt{\sigma_s^2 + 4\tau_\delta^2} \right] \leq [\sigma]$$

### 122. Қийшиқ әғилиш схемасини күрсатинг.



### 123. Қийшиқ әғилишда нормал күчләниш формуласини күрсатинг.

Жавоб:

$$1) \quad \sigma = \frac{F}{A} \left( 1 + \frac{y_0 y_F}{I_x^2} + \frac{x_0 x_F}{I_y^2} \right); \quad 2) \quad \sigma = \pm M \left( \frac{\cos \varphi}{W_y} + \frac{\sin \varphi}{W_z} \right)$$

$$3) \quad \sigma = \frac{M_y \cdot y_c}{I_y} + \frac{M_z \cdot z_c}{I_z}; \quad 4) \quad \sigma = \frac{F_z}{A} + \frac{F_y}{A}$$

### 124. Қийшиқ әғилишда нейтрал ўқ тенгламасини күрсатинг.

Жавоб:

$$1) \frac{x^2}{a^2} + \frac{y^2}{b^2}; \quad 2) \quad 1 + \frac{y_0 y_F}{I_x^2} + \frac{x_0 x_F}{I_y^2} = 0;$$

$$3) \quad \frac{\cos \varphi \cdot z_0}{I_y} + \frac{\sin \varphi \cdot y_0}{I_z} = 0; \quad 4) \quad r = \frac{A}{\int_0^A \frac{dA}{\rho}}$$

### 125. Қийшиқ әғилишда мустаҳкамлик шартини күрсатинг.

Жавоб:

$$1) \quad \sigma = \frac{M_y \cdot y_c}{I_y} + \frac{M_z \cdot y_z}{I_z} \leq [\sigma]; \quad 2) \quad \sigma = \frac{F_z}{A} + \frac{F_y}{A} \leq [\sigma]$$

$$3) \sigma = \frac{M}{W_y} (\cos \varphi + \frac{W_z}{W_y} \sin \varphi) \leq [\sigma]; \quad 4) \frac{F}{A} \left( 1 + \frac{y_0 y_F}{I_x^2} + \frac{x_0 x_F}{I_y^2} \right) \leq [\sigma]$$

**126. Қийшиқ әғилишда тұлық күчиш формуласини күрсатинг.**

Жавоб:

$$1) f = \frac{F\ell}{A}; \quad 2) f = \frac{M_{\delta}\ell}{GI_{\rho}}; \quad 3) f = \sqrt{f_z^2 + f_y^2}; \quad 4) f = \frac{M_c}{EI}$$

**127. Марказий бўлмаган чўзилиш ва сиқилишда нормал кучланиш формуласини кўрсатинг.**

$$\text{Жавоб: } 1) \sigma = \frac{F}{A}; \quad 2) \sigma = \frac{M_x y}{I_x}$$

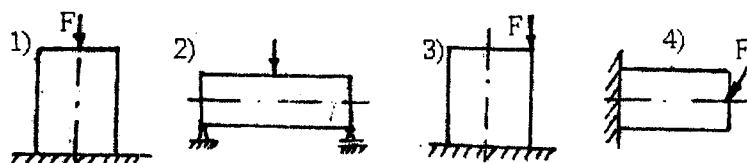
$$3) \sigma = \pm \frac{F_z x \cdot z_c}{I_y} \pm \frac{F_y x \cdot y_c}{I_z}; \quad 4) \sigma = \pm \frac{F}{A} + \frac{F \cdot y_F \cdot y}{I_x} \pm \frac{F \cdot x_F \cdot x}{I_y};$$

**128. Марказий бўлмаган чўзилиш ва сиқилишда нейтрал ўқ тенгламаси?**

$$\text{Жавоб: } 1) \frac{x^2}{a^2} + \frac{y^2}{b^2} = 1; \quad 2) 1 + \frac{y_0 y_F}{I_x^2} + \frac{x_0 x_F}{I_y^2} = 0;$$

$$3) r = \frac{A}{\int_0^A \frac{dA}{\rho}}; \quad 4) \operatorname{tg} \alpha = \operatorname{tg} \varphi \frac{I_y}{I_z}$$

**129. Марказий бўлмаган чўзилиш ва сиқилиш схемасини кўрсатинг.**



**130. Кесим ядроси нима?**

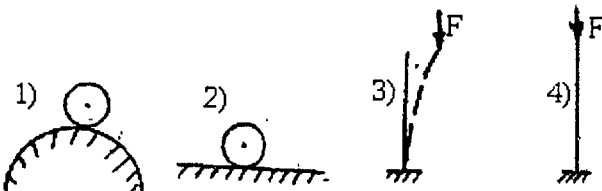
Жавоб:

- 1) Стержен кесим юзасининг оғирлик маркази.
- 2) Стерженнинг кўндаланг кесим юзаси.

3) Кесим юзанинг маркази атрофида ҳосил бўлган эгри чизикли соҳа.

4) Кесим юзанинг сиртида жойлашган элементар юза.

### 131. Стерженнинг устувор ҳолатини кўрсатинг?



### 132. Эйлер формуласини кўрсатинг.

$$1) F_k = [\sigma] A; \quad 2) F_k = [\tau] A; \quad 3) F_k = a - b\lambda;$$

$$4) F_k = \frac{n^2 \pi^2 EI_{\min}}{(\mu \ell)^2}$$



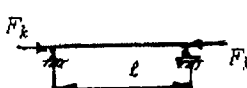
### 133. Стерженини тирадиши шартига кўра $\mu$ нинг қайси қиймати тўғри?

Жавоб: 1)  $\mu = 0,5$ ; 2)  $\mu = 0,7$ ;  
3)  $\mu = 2$ ; 4)  $\mu = 1$



### 134. Стерженнинг тирадиши шартига кўра $\mu$ нинг қайси қиймати тўғри?

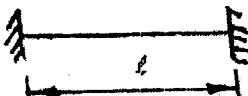
Жавоб: 1)  $\mu = 0,5$ ; 2)  $\mu = 0,7$ ;  
3)  $\mu = 2$ ; 4)  $\mu = 1$



### 135. Стерженнинг тирадиши шартига кўра $\mu$ нинг қайси қиймати тўғри?

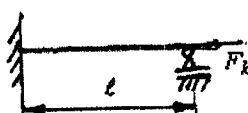
Жавоб: 1)  $\mu = 0,5$ ; 2)  $\mu = 0,7$ ;  
3)  $\mu = 2$ ; 4)  $\mu = 1$

### 136. Стерженнинг тирадиши шартига кўра $\mu$ нинг қайси қиймати тўғри?



Жавоб: 1)  $\mu = 0,5$ ; 2)  $\mu = 0,7$ ;

3)  $\mu = 2$ ; 4)  $\mu = 1$



137. Стерженнинг тирадиши шартига кўра  $\mu$  нинг қайси қиймати тўғри?

Жавоб: 1)  $\mu = 0,5$ ; 2)  $\mu = 0,7$ ;

3)  $\mu = 2$ ; 4)  $\mu = 1$

138. Этилувчанлик қайси формула билан топилади?

$$\text{Жавоб: } 1) \lambda = \frac{4FR^3n}{Gr^4}; \quad 2) \lambda = \mu \frac{l}{i_{\min}};$$

$$3) \lambda = \frac{F\ell}{EI}; \quad 4) \lambda = \frac{M_c}{EI}$$

139.  $\lambda \geq 100$  стерженларда критик кучланиш қайси формула билан топилади?

$$\text{Жавоб: } 1) \sigma = \frac{F_k}{A}; \quad 2) \sigma_k = a - b\lambda;$$

$$3) \sigma_k = \frac{\pi^2 E}{\lambda^2}; \quad 4) \sigma_k = \sigma_{ok}$$

140.  $40 \leq \lambda \leq 100$  стерженларда критик кучланиш қайси формула билан топилади?

$$\text{Жавоб: } 1) \sigma = \frac{F_k}{A}; \quad 2) \sigma_k = a - b\lambda;$$

$$3) \sigma_k = \frac{\pi^2 E}{\lambda^2}; \quad 4) \sigma_k = \sigma_{ok}$$

141. Сиқилган стерженларнинг устуворлик шартини кўрсатинг.

Жавоб:

$$1) \sigma_k = \frac{F_k}{A} \leq [\sigma]; \quad 2) \sigma_k = \frac{F_k}{A \cdot \varphi} \leq [\sigma]; \quad 3) \sigma_k = \frac{\varphi \cdot F_k}{A \cdot \varphi} \leq [\sigma]$$

142. Этилиш билан чўзишишнинг биргаликдаги таъсирида кучланиш формуласи?

Жавоб: 1)  $\sigma = \frac{F}{A}$ ; 2)  $\sigma = \frac{M}{W_x}$ ; 3)  $\sigma = \frac{F}{A} + \frac{M}{W_x}$

4)  $\sigma = \frac{F}{A} + \frac{M}{W} + \frac{Ft}{W}$

**143. Бүйлама ва күндаланг эгилишда нормал кучланиш?**

Жавоб: 1)  $\sigma = \frac{F}{A}$ ; 2)  $\sigma = \frac{M}{W_x}$ ; 3)  $\sigma = \frac{F}{A} + \frac{M}{W_x}$

4)  $\sigma = \frac{F}{A} + \frac{M}{W} + \frac{Ft}{W}$

**144. Бүйлама ва күндаланг эгилишда салқилик формуласи?**

Жавоб: 1)  $f = \frac{M_c}{EI}$ ; 2)  $f = f_0 \frac{1}{1 - \frac{F}{F_k}}$ ;

3)  $f = \frac{4FR^3n}{Gr^4}$ ; 4)  $f = \frac{5q\ell^4}{384EI}$

**145. Текис тезланишли ҳаракатда динамик кучланиш?**

Жавоб: 1)  $\sigma_g = \sigma_{cl}(1 + \frac{a}{g})$ ; 2)  $\sigma_g = K_g \frac{q\ell^2}{8W}$ ;

3)  $\sigma_g = \frac{\gamma \varpi^2 D^2}{4g}$ ; 4)  $\sigma_g = \frac{\gamma F \varpi^2 r \ell^2}{9g\sqrt{3} \cdot W}$

**146. Труба ёки бетон плитани күтаришда ҳосил бўлган динамик кучланиши аниқланг?**

Жавоб: 1)  $\sigma_g = \sigma_{cl}(1 + \frac{a}{g})$ ; 2)  $\sigma_g = K_g \frac{q\ell^2}{8W}$ ;

3)  $\sigma_g = \frac{\gamma \varpi^2 D^2}{4g}$ ; 4)  $\sigma_g = \frac{\gamma F \varpi^2 r \ell^2}{9g\sqrt{3} \cdot W}$

**147. Айланувчан ҳалқасимон элементдаги динамик кучланиш?**

Жавоб: 1)  $\sigma_g = \sigma_{cl} \left(1 + \frac{a}{g}\right)$ ; 2)  $\sigma_g = K_g \frac{q\ell^2}{8W}$ ;

$$3) \sigma_g = \frac{\gamma \varpi^2 D^2}{4g}; \quad 4) \sigma_g = \frac{\gamma F \varpi^2 r \ell^2}{9g \sqrt{3} \cdot W}$$

**148. Шатунда ҳосил бўладиган динамик кучланиш?**

Жавоб: 1)  $\sigma_g = \sigma_{cl} \left(1 + \frac{a}{g}\right)$ ; 2)  $\sigma_g = K_g \frac{q\ell^2}{8W}$ ;

$$3) \sigma_g = \frac{\gamma \varpi^2 D^2}{4g}; \quad 4) \sigma_g = \frac{\gamma F \varpi^2 r \ell^2}{9g \sqrt{3} \cdot W}$$

**149. Тебранма ҳаракатда ҳосил бўлган динамик кучланиш?**

Жавоб: 1)  $\sigma_g = \sigma_{cl} \left(1 + \frac{a}{g}\right)$ ; 2)  $\sigma_g = \sigma_{cl} \left(1 + \frac{A}{\delta_c}\right)$ ;

$$3) \sigma_g = K_g \frac{q\ell^2}{8W}; \quad 4) \sigma_g = \sigma_c \sqrt{\frac{T_0}{U_c}}$$

**150. Тебранма ҳаракатда динамик коэффициент қандай формула билан топилади?**

Жавоб: 1)  $K_g = 1 + \frac{a}{g}$ ; 2)  $K_g = 1 + \frac{A}{\delta_c}$ ;

$$3) K_g = \sqrt{\frac{T_0}{U_c}}; \quad 4) K_g = 1 + \frac{\omega^2 r}{g}$$

**151. Зарб таъсирида динамик коэффициент формуласи?**

Жавоб: 1)  $K_g = 1 + \frac{\delta_u}{\delta_c} \beta$ ; 2)  $K_g = 1 + \frac{\omega^2 r}{g}$ ;

$$3) K_g = 1 + \sqrt{1 + \frac{2h}{\delta_c}}; \quad 4) K_g = 1 + \frac{a}{g}$$

**152. Текис тезланишлы ҳаракатда динамик коеффициент?**

$$\text{Жавоб: 1) } K_g = 1 + \sqrt{1 + \frac{v^2}{g\delta_c}}; \quad 2) \quad K_g = 1 + \frac{\delta_u}{\delta_c};$$

$$3) \quad K_g = 1 + \frac{a}{g}; \quad 4) \quad K_g = 1 + \frac{\omega^2 r}{\delta}$$

**153. Зарб таъсирида кучланиш формуласи?**

$$\text{Жавоб: 1) } \sigma_g = \frac{Q}{A} K_g; \quad 2) \quad \sigma_g = \sigma_c \left( 1 + \frac{A}{\delta_c} \right);$$

$$3) \quad \sigma_g = \frac{Q}{A} \left( 1 + \sqrt{1 + \frac{2h}{\delta_c}} \right); \quad 4) \quad \sigma_g = K_g \frac{q\ell^2}{8W}$$

**154. Зарб таъсирида чўзилиш ва сиқилиш. Кучланиш формуласи?**

Жавоб:

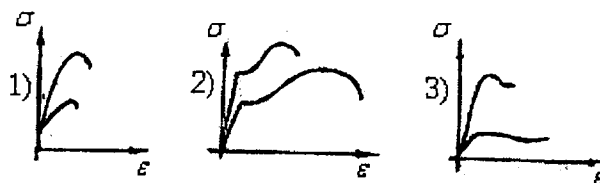
$$1) \quad \sigma_g = \sqrt{\frac{2T_0 E}{A\ell}}; \quad 2) \quad \sigma_g = \frac{I_{\max}}{i} \sqrt{\frac{6T_0 E}{A\ell}}; \quad 3) \quad \tau_g = \sqrt{\frac{4T_0 E}{A\ell}}$$

**155. Зарб таъсиридаги динамик узайиш?**

Жавоб:

$$1) \quad \Delta\ell_g = K_g \frac{Q\ell}{EA}; \quad 2) \quad f_g = K_g \frac{Q\ell^3}{48EI}; \quad 3) \quad \varphi_g = \sqrt{\frac{T_0\ell}{GI_\rho}}$$

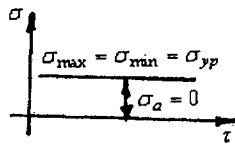
**156. Зарб таъсирида чўзилиш диаграммасини кўрсатинг.**



**157. Ўзгарувчан кучланишнинг тўғри турини кўрсатинг.**

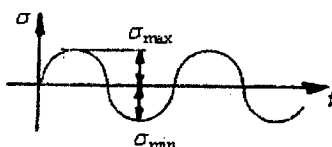
Жавоб: 1) симметрик

- 2) ўзгармас  
3) носимметрик  
4) пулсацияли



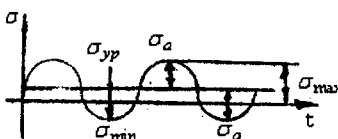
**158. Ўзгарувчан кучланишнинг тўғри турини кўрсатинг.**

- Жавоб: 1) симметрик  
2) ўзгармас  
3) носимметрик  
4) пулсацияли



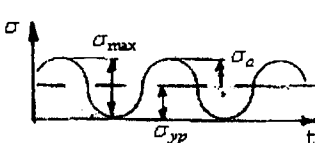
**159. Ўзгарувчан кучланишнинг тўғри турини кўрсатинг.**

- Жавоб: 1) симметрик  
2) ўзгармас  
3) носимметрик  
4) пулсацияли



**160. Ўзгарувчан кучланишнинг тўғри турини кўрсатинг.**

- Жавоб: 1) симметрик  
2) ўзгармас  
3) носимметрик  
4) пулсацияли



**161. Ўзгарувчан кучланишларда мустаҳкамлик шартини (пластик материал учун) кўрсатинг.**

$$\text{Жавоб: 1) } [\sigma_{+1}] = \frac{\sigma_{ok}}{k_{01}}; \quad 2) \quad [\sigma_{+1}] = \frac{\sigma_{-1}}{k_0 \alpha_{kg} \alpha_m};$$

$$3) \quad [\sigma_{+1}] = \frac{\sigma_{-1}}{k_0 \alpha_{kg} \alpha_m k_T k_g k_g}; \quad 4) \quad [\sigma_{+1}] = \frac{\sigma_b}{k_{02} \alpha_{kg}}$$

**162. Ўзгарувчан кучланишларда мустаҳкамлик шартини (мўрт материал) кўрсатинг.**

$$\text{Жавоб: 1) } [\sigma_{+1}] = \frac{\sigma_{ok}}{k_{01}}; \quad 2) \quad [\sigma_{-1}] = \frac{\sigma_{-1}}{k_0 \alpha_{kg} \alpha_m}$$

$$3) [\sigma_{+1}] = \frac{\sigma_b}{k_{02} \alpha_{kg}} ; \quad 4) [\sigma_{-1}] = \frac{\sigma_1}{k_0 \alpha_{kg} \alpha_m k_T k_s k_g}$$

**163. Материалы Гук қонунига бүйсунмайдиган балкаларда нормал күчлөнүш формуласини күрсатынг.**

Жавоб:

$$1) \sigma'_{-1} = 0,4\sigma_s ; \quad 2) \sigma_r = \frac{3M}{bh^2} \left( 1 + \frac{\sqrt{E_u}}{\sqrt{E_c}} \right) ; \quad 3) \sigma_m = \alpha_m \frac{F\ell}{W}$$

**164. Материалы Гук қонунига бүйсунмайдиган балкаларда нейтрал ўқ тенгламасини күрсатынг?**

$$\text{Жавоб: } 1) r = \frac{A}{\int_0^A \frac{dA}{\rho}} ; \quad 2) h_t = \frac{h\sqrt{E_c}}{\sqrt{E_u} + \sqrt{E_c}}$$

$$3) \operatorname{tg}\alpha = \operatorname{tg}\varphi \frac{I_y}{I_z}$$

**ТАЯНЧ ИБОРАЛДАРНИНГ ЛУГАВИЙ МАЛЬНОСИ ВА ЎКУВ  
МАКСАДЛАРИНИНГ ТОИФАЛАРИНИ БЕЛИЛАШ**

Таянч иборалар	Лугавий маъноси	Ўкув максадларига тондрагар		
		билиш	тушуниш	кулланли
Материал	Механик ва пластикник хосасига, ишлов берилгиси хусусиятига эга бўлган конструкция ва иншоот қисмларини тайёрлаш мумкин бўлган нарса.	+	+	
Каршилик	Хар хаддай тапки тасирга ички акс тасирини курсага олишилик	+		
Мустаҳзаматик	Ташки тасирга символизован ҳаршилик ҳурсатини кобилияти	+		
Бикрлик	Жисмнинг ўлчами ва шаклиниң ўзгаришита қаринлик курсанлиш қобилияти. Бикр-ўткам ва шаклиниң узаралишта мойиллас дегани.	+		
Устуворлик	Лойиха асосида берилган түрги чизиклни мувозозлашсан шаклони саклаш қобилияти.	+		
Куч	Иккита жисмнинг жонлик тасирни	+	+	
Тўпламма куч	Иккита жисмнинг ўзро тасирланувчи нуқта воситасида амалга опирилади, яъни юкни кўйилни юзасининг ўлчами конструкция элемендерининг ўтказмаларидан жуда кичик.	+		

Тәжің иборалар	Лугавий маңынды	Үйкүв мақсадыннан төнфалары		
		Билиш	Гүлшүниш	Кұлапаш
Таксименгандын күч	Искегі жисмениң ұзаро таъсирдеушінде өзге өсімдік бүйінча аманта оширилады.	+		
Кесиш методи	Жисмениң $m - n$ тектісінен билан фикран искегі жисмеге ажратылады.	+	+	+
Ташқи күч	Тінч - ҳаракатсиз холатда бұлтанды жисмеге искенди жисмениң таъсирі	+		
Ички күч	Ташқи күч таъсирде жисмеге материалдан заразағарынан ұзаро тортишиш күчтегерінин активизацияшының	+		
Деформация	Ташқи күч таъсирдан жисмде үлгемдік шекаралары	+	+	
Оддий деформация	Ташқи күч жыныспенда жисмениң үлчам өсімдік шекаралары	+		
Муражаба деформация	Бир жағдайда искегінде үлгемдік деформацияларынан жисменің үлчамы	+		
Эластик деформация	Ташқи күч таъсирде жисмеге искендинде үлгемдік деформацияларынан жисмениң үлчамы	+		

Таянч изборалар	Лутакий маңыс	Үкүв мәқсалинин төнфалары	
		билиш	гүшүнүү
Пластик деформация	Көллик деформация, янын ташки күч гасыри жүкпилтандын кейин жисмениң болшениң үлчам да шактанинг тикелемасында	+	
Күчтөнүү	Ички күчни кесим юздала тарқалыш конуунитини ифодалайды, янын бир бирлик юзага түрү көлүвчи күч	+	+
Нормал күчтөнүү	Кесим юзага тик йүнәлдиган күчтөнүү	+	+
Уринма күчтөнүү	Кесим юзага уркына йүнәлдиган күчтөнүү	+	+
Түнүк күчтөнүү	Нормал да уринма күчтөнүүшларни геометрик жүйелендиси	+	
Конаклии күчтөнүү	Иккита жисмни төтишиш (контактлашыши) юзасидати күчтөнүү	+	+
Күчтөнүүшлар концентрациясы	Күчтөнүүшлар түплеми	+	+
Катионик	Сиррига сингидрилган деталда қарыштык күрсеге олиши қобитияти	+	

Таянч иборалар	Лугавий маъноси	Ўкув максадининг тоғфалари		
		билиш	түшүнүш	күтлемеш
Конструкция	Деталь, механизм, машина, курилма, иншоот	+		
Иншоот	Ділотина, бир ёки күп қаваты имораттар	+	+	
Брус	Узунлуги қолпан үлгамларидан жатыр бүлпен жисм	+	+	
Слрежнъ	Интича брус	+	+	
Балка	Этилипта қаршилик құрсағадын брус	+	+	
Рама	Ситник чизикти брус	+	+	
Геометрик гавсиф	Геометрик болғаннан назарияни	+	+	
Пластиника	Калыннан қолпан үлгамларидан кишик бүлпен жисм	+	+	
Кобик	Әркі шакали пластинка	+	+	
Статик момент	Кесим көзә билген үк орасидати масофа күштілгастыннан инегралди	+	+	+
Офирик маркази	Кесим көздан ҳисоблаб топилған шулай нұктаки, бұның ароғида айланған кесим көзесін нұқтасыннан чызған траекториясы айланған булады	+	+	+

Тәннәң изборалар		Үкүв мәксадыннан төнделәри		
	Лугазый мәйнаси	Бишли	түшүнүш	күлгөлү
Инерция моменти	Кесим юза билән үк орасыдагы масофа квадратининг күлгөлүсү	+	+	+
Үкәрата нисбәт тан инерция моменти	Кесим изозанни бирор үкәзән инерция моменти	+	+	+
Марказдан қочча инерция моменти	Кесим юза билән иккита үк орасыдагы масофа күлгөлүсүнин интегралы	+	+	+
Күб инерция моменти	Кесим юза билән күб нүккаси орасыдагы масофа квадратининг күлгөлүсү	+	+	+
Каршылык моменти	Кесим үтгама ригининг бөгөннүүши булиб, мустахзаматкын ифолалайтын төлөттрик тасиф	+	+	+
Бол инерция үкү	Бол инерция үкәрата нисбәтән кесимининг марказдан қочча инерция моменти нөпта төң	+	+	+
Бол инерция моменти	Бол инерция үкәрата нисбәтән кесимининг инерция моменти	+	+	+
Инерция радиуси	Кесимининг бирор үкәзән инерция моментини кесим юзасыга нисбәтән бигел топырағы	+	+	+

Таянч иборалар		Луганий мақбиноси		Үкүв мәксадыннан төнфалары	
		Билиш	Түшүнүш	Күтпаш	
Чүзилши	Ташкы күч тасырыдан брус узуншылдымның ортишы (үзайтышы) ва күндалынг ұлчамыннан кискариши	+	+	+	+
Сиккити	Ташкы күч тасырыдан брус узуншылдымның кискариши	+	+	+	+
Марказий чүзилши ва сиккити	Ташкы күч тасырыдан бруснин кесим юзасидеги материял заңрачалары бир жыл масофага күчали, яғни бруснин кесим юзасы үк бүйтаб чизикли кискарады ёки орталы	+	+		
Бүйлама деформация	Ташкы күч тасырыдан брус узуншылдымның үк бүйлаб чизикли узудыштыннан нисбай (абсолют) мөккдори	+	+		
Күндалынг деформация	Ташкы күч тасырыдан брус күндалынг кесим юзасинан үзгаришини абсолют (нисбай) мөккдори	+	+		
Эластик модули	Физик константа, материалдын түрига боялик	+	+		
Пуассон коэффициенти	Брус күндалынг кесим юзасинан кискаришини тасығылда	+			
Хусусий оғырлык	Жисменинг оғырлығы	+			

Тәжінчілдер	Лұғавий мағыны	Үқүв мәксадыннан тоғағалар	
		Биілшіш	Түшүншіш
Төңгірлік күрсатуучы брус	Узуннегі бүйірлі үзгартуучан кесім жөзетарда нормал күтпелеш	+	+
Хәвфін кесім еміршілдік солир бүйінші мүмкіншілік	Эң калта күтпелеш тасыридан кесім юзделе	+	+
Мұстахаммик шары	Хәвфін кесімдегі еміршілдік чекейдігандегі математикалық иордала	+	+
Рұхсат этилдан күтпелеш	Эластик деформация да мұстахаммиккін таьминлаштыру	+	+
Температуралы күтпелеш	Температура (қыздырыш) таьсирда хосил бұлтандыру	+	+
Температуралы деформация	Металдарнинг иссиқликдан көнтайшыши	+	+
Диаграмма	Күч билігін деформация болғаннинни координата үсіарылда графикалық үсууда ифолдауданын	+	+
Пропорционал-лық чектара	Күч билігін деформация болғаннинниң графикасы түрін чындастыру	+	+
Эластик	Брус материалыннан эластичтік хосасасыда - деформация сұнурунан бұлалы	+	+

Гаянч ибсралар	Лутавий маъноси	Ўқув маъсадининг тоифалари	
		Билиш	тушуниш
Оқидашлик чегара	Таҳмидан ўзгармас күлганини таъсиррида бруслинг узайиниш тез ўсади	+	+
Мустаҳкамлик чегара	Энг кагта кунга тўғри келувчи күлганиш	+	+
Маҳаллий узайиниши	Бруслузайинин мальум бир ораликда гўлтанишни ёки солир бўлиниш	+	+
Пухталаниш	Бирдамич узайини эвазига пропорционалийк чегарани ўзиши	+	+
Абсолют деформация	Бир бирлик узунликка тўтири келувчи узайиниши	+	+
Нисбий деформация	Бир бирлик узунликка тўтири келувчи абсолют узайиниши	+	+
Пластиктик	Бруслинг чўзилиши (сикилиши) га, этилишга ва ҳ.ж.ларга мойиллиги, кагта ҳодимлик деформация ҳосил қилиши хусусияти	+	+
Муртлик	Материалнинг пластичика тескари хоссаси	+	+
Гук конуни низария	Куч билан деформация боғланнишининг трафикаси тўғри чизик конунишни тавсифловчи	+	+

Таянч иборалар		Лугавий маъноси		Ўқув макасининг тоғдайлари	
		Билиш	тушуниш	Кўшиш	
Статик ноанник масала	Номаъдум кучларининг сони мувоза наёт тенгизмалари сонидан куп бўлган масала	+	+	+	+
Статик ноанник-лик ларзжа	Статик ноанник масала неча маротаба ноаник эканлигини ифодалайди	+	+	+	+
Деформацияларнинг боғланниши	1. Брус таъиу нукрасининг кўлиши ташки ва реакция кучлари таъсиридан иопга тент бўлиши 2. Бикр қаттиқ жисм воситасида бояганиша бўлган стерженларни деформациялариницида ҳосил бўлган шаклдерни геометрик боғленниши	+	+	+	+
Кучланганлик холат	Кубик томониерла ва кий кесим юзларидаги кучланништарнинг худма-хизматни ва ўзгаришими таҳдиди	+	+	+	
Чиззик күчлен-ганик холати	Чиззик буйлаб кубикни кўцдалент ва ҳия кесим юзларидаги кучланништарни таҳдиди	+	+	+	
Ҳажмий күчлан-ганик холат	1. Кубикнинг ҳажми бўйича кучланништарни таҳдиди 2. Кубикнинг деформациялариницида шакт ёки ҳажм ўзгаришининг таҳдиди	+	+	+	
Бош юз	Уринма кучланништар таъсири иопга тент бўлган юзлар	+	+	+	

Таянч иборалар		Луганий маъноси		Ўкув маъсадининг тоифаи ри	
		Биллини	Гурунни	Кўллани	Кўллани
Бош кучланишишар	Бош юзаларга қўйилган кучланишишар	+	+	+	+
Бош кучланишишарининг йўналтини	Чўзувки за сиккуви кучланишишар йўналтинини аниқлаши	+	+	+	+
Мор долраси	1. Кучланишишар доираси 2. Кўндаланти ёки кесимлардаги кучланишишар ўзаришими ифодаловчи трафикавий усул	+	+	+	+
Хажжий деформация	Кубикни ўзаро перне иккисуяр утта кирраларининг бир ваҳда қўйилиши ва сиддиишининг таҳдиди	+	+	+	+
Деформацияни поендишал энергияси	Кубикни деформациянишида бажарилган ишни тарсифловчи сарфланган энергия	+	+	+	+
Хажжий ўзарини	Кубикни деформациянишида барча кирраларини бир хил миқдорга узайини ёки қисқариши, ягани кубик кубикслитича колади	+	+	+	+
Шакл ўзарини	Кубикни деформациянишида унини кирраларининг ўлчамири бир хил ўзармайди, кубик параллелорамм шаклининг эгаллайди	+	+	+	+

Таңын иборалар	Лугавтый маъноси	Ўқув маъсдадининг тоифалари		
		билиш	тупушиш	Күтгалиш
Гүк ҳажмий конунни	Эластик ҳажмий деформацияни тасвифловчи конуннигини математик ифодаси	+	+	
Ҳажмий элес- тиник модул	Эластик ҳажмий деформацияидаги физик көнсантан	+		
Мустаҳкаммик наэзия	Конструкциялар мұстахкаммити түрлісідеги түрді наэзарін заражибавий мүлдөзә зағояларни мужассамшаштан ҳолатини мале матик ифодаси	+		
Мұрт әмберилиш	Материалдарни эластистик хоссасидан ташқарыда да раз ёрилиши	+		
Пластик емгиритин	Материалдарни эластистик хоссасидан ташқарыда қолдик деформация ҳосні кітінші	+		
Силжин	Ташқы күч тасырыдан брус жесим юзеларини бир- бирнан нисбатан күчиши (харакати)	+		
Абсолют силжинш	Бир бирлік үлчамта түри көлгүчи сілжинш	+		
Нисбий силжинш	Бир-бірлік үлчамта түри көлгүчи абсолют силжинш	+		
Картинын	Хавфлик салжинш кесимніда кесилицінша қарышынк күрсетип қобылғаты	+	+	

Тәнч иборалар	Лугавий маңыси	Үйкү мақседдиктерине тондардағы билиш түпнүүшілік күлтәші
Эзилшіл	Силжин төкиспелгіла перендикуляр юзада материал заррачаларынын күчіши	+
Силжин модули	Силжин деформациясындаги физик константа	+
Биримка	Иксита жисмни тұташтырыш юзаси ва усулы	+
Пайдалы биримка	Иксита элемент материаларини суюқ ҳолде бирақырын усулы	+
Парчин миҳли бирақыма	Иксита элементтер парчин миҳ воскласда бирақыриши усулы	+
Буралиш	Парарапел жойланшан иксига дониравий кесімдерге ри бир үк атрофикала ва бир-бірге нисбатан айланышы	+
Вал	Айланма ҳаракаты қауымдан узаталған потонали дониравий кесімді брус	+
Үк	Айланувчи екіншікәр болған ұракатты үзгешілдә жатнашылған дониравий кесімнің брус	+
Буровчи момент	Гашқы айланғандарнинг алгебравик йылғылыштағы төң бүтиб, валиннт кесім юзасындағы материял заррачаларын буралиша қаршилик курсағатчы күштердің кесім марказынан икесінан күч момеңдерининг төң таъсир күшүниси	+

Тағынч иборалар	Лутавий маңынosi	Үкүз мәкседдининг тоғданары		
		билиш	тушунуш	құтупаш
Буралиши бүрчаты	Вал құндаланған кесим өзасын ұқ атрафида айланыш вазияттани (бүрчелти) белгілеши	+	+	
Эптора	Ички күч факторлерини бүснүнгін үскі бүліаб ұзартыпкіни ифодаловын мәденим қонуннят асосида курилган графикасі	+	+	
Бикрілік шарти	Брус деформациясинин чекканган қыйматтана белгіловчы математик ифода	+	+	
Деплонация	Мажбурий буралиши	+		
Этүвчи момен	Белканнан кесим өзасидан ұзуучи ва сиқувчи иккі бүйлама күштердің мейтрагал үкәз нисбетан күч момендеринің тектес тасыр қылувчысы бүліб, балқаннан танынған кесим марказына нисбетан бир томонда жойланштан ташкү күчтарнан шу кесим марказыға нисбетан күч моменттеринің алебравик үйгіндісі	+	+	+
Не иттал қалтам	Белканнан этилищика қалтасиб үзүліпдейдиган за сиқултамайлықтан материал қалтамы	+	+	+
Күчніш	Нұсқаның ташың күч тасырида шу күч құнапшида бир чизнұң бүліаб күчиши	+	+	+

Таянч иборалар	Лугавий маъноси	Ўқув максадининг тоифалари		
		билиш	тупуниш	кулпаш
Дифференциал боғланниш	Балка кесимининг айланниш бурчаги билан салқилик орасидаги боғланниш	+	+	+
Дифференциал тентама	Балка этилтган ўқини ташки куч ва бикрик бикен боғланнишининг математик ифодаси	+	+	+
Универсиял формулла	Балка иктиёрий кесимининг айланниш бурчаги ва салқилигини аныкшаш форумласи	+	+	+
Графоаналитик усул	Балка тангензан кесимининг айланниш бурчаги ва салқилигини аништириш аналитик ва графика усулиарини муассаслантиш куриникиши	+	+	+
Этилни маркази	Балка кесимдан ташкардидан жойлашсан шундай нуктаки, бу нуктага мувозалаловин куч ҳийилни, кесимдағы уринма күчарнан кесимини оңирлик марзазига нисбатан моменти мувозаналанды ва балка кесимининг буралниш текшанды	+	+	+
Ишлар орасидаги боғланниш	Искита кетма-кет күйилтган күчтар тасбирда бүлпән нуктапарнинг шу күчтар ишшілшідеги күштүндө бағерилған ишшарини үзаро ғелділгі	+		
Күчтүшлар орасидаги боғланниш	Искита кетма-кет күйилтган күчтар тасбирда бүлпән нуктапарнинг шу күчтар ишшілшідеги күштүштерини үзаро төнгиткин ифодалайтын	+		

Таянчыборалар		Лугавий маңынс		Үқүв мақсадыннан тоғағада ри		
		билиш	тушуниш	күлгаш		
Мор интегралы	Ташки на бирлік күчтер тасурида бүтән нұжаннинг шу күчтер жүналышындағы күшшида ба жарылған ишшарнинг үзәре тәнгілін асосделан гендердә бүлиб, бу тәнгілмалдан балканнин күчтіши хисобланады	+	+	+	+	
Верешатын усули	Белка нұктасыннан күчтішини аниктапша ташки ва бирлік күт моменттери эптораларини күриш за уағарни үзаро күттайтириша асосделан усули	+	+	+	+	
Деформациялар-ни тақсосташ	Нұжаннинг салқылтты ташки за таянч күчтарни тасиридеги салқыншарнинг ынтымдиси сифаттада нолға тенг бұлдақ	+				
Узлуксиз балса	Таянчлар сони 3 та за уздан күп булсан балсалар	+	+	+	+	
Үч момент ғоремеси	Учта номалыум реактив момендерни аниктапша учун табиғиқ этилдан нағария	+	+	+	+	
Статик нөзаник рама •	Номалыум реакция күчтерининг сони мұво зәнәт тәнгілемдери соңдан күп бүтән рама	+	+	+	+	
Күт усули	Номалыум реакция күчтерининг бирлік күчлер бүлген алмаштырылышы	+	+	+	+	

Таңғы изборалар	Лугавий маңыноси	Үкүз мәденилінгө тоғдар		
		Бұлшы	Гүшүнші	Күлтәнші
Қаноник тәнгілама	Бирлік худалар белжарған ишшерлеринің йиғиндисіні ташкау күнні бирнешкі күч... иши билан жуозанатапшы	+	+	+
Әтре стержень	Бүйілдеме үкім төкіс эткіс бүтін стержень	+	+	+
Мұрагаб қаршилик	Конструқциялардың искиттаға удан ортік олдай деформациялар тақсирілді бұлшы	+	+	+
Қийниң әтиліші	Симметрия үшарлар жойлаштырылғандан ташқарыда брунсинг әтиліші	+	+	+
Маржиналданған сиккеліші	Брунсинг сиккеліші билан әтиліш деформацияларинің биралықтаты тақсирілді бұлшы	+	+	+
Бұратшыл әтиліші	Валниң жесім юзасыда буровчи за этгүвчи моменттарнан хосил бұлшы, яны вадни буралиш билан әтиліш деформацияларинің биралықтаты тақсирілді бұлшы	+	+	+
Көлпірілган момент	Түрлі мұстақаммалық нәзариялари ассоциациянан буровчи за этгүвчи моменттарнан йиғиндисі	+	+	+

Тәжінч иборалар	Лугавий маңынды	Үкүв мәқседінің толғадағы		
		Белгіш	Түспүнніш	Күтпаш
Ноңғұтворлық	Оңтүстік күт тасқында стережнінг түрін чизикти шактаппана сақтағанда олmasсты	+	+	+
Критик күч	Стереже на үстүвөрликтінгүйдешінде сабаб бүтүрүчі күч	+	+	+
Этилітүрштаптык	Түрлі үзүнлік үз-үтпемдеги стережнінде гүргін чизикти шактаппана эластик үзартырыш хуусияттана исподатовчы константа	+	+	+
Динамик күч	Быр-бырлық вакт оралығыда құймалық үз-үтпемдеги үзартырувчы күч	+	+	
Динамик деформация	Динамик күч тасқырданғанда брусыннан шакті өсім үтчамтарининг үзарыши	+	+	
Зарб тасқыри	Маңдым баландылтықтан түштің юқнанған жысмә тасқыри	+	+	
Зарбға синан	Зарб тасқырида материал хоссаларының үрганышы	+	+	
Үзартуудан күтпаш	Вакт оралығыда құймалық үз-үтпемдеги үзартырадын күтпаш	+	+	
Материалдар-нинг тоқылары	Үзартуудан күтпаш тасқында материалдан дарз өрнекши	+	+	
Пидам-тылник чегара	Материалдарнинг тоқыларын чектайдыган чегара	+	+	

**ҮКҮВ ВА УСЛУБИЙ (технологик) КАРТА**

T/p	Мазуулар номын	Фотола-нилдэгэн ҮТ Ва услубий куллан- нашар	Үкүв дар- си ва на зорат тури	Таянч иборалар ва билимни ўзлантириш даражсөн (билиш, түшүнүш ва құлтап)
1	Фаннинг вазифалари. Күч турвари. Кесиш методи. Күчләнниш ва деформация. Фонда қабул қыллинган гөтөзәшар	П-10-01 П-102 Д-1 ТС	M, T XGII	Материал, қаршилик, мустахамлик, бикрик, устуворлик, күч, түллана күч, тарқалған күч, статик күч, динамик күч, кесиш методи, күчләнниш, контактлы күчләнниш, күчләнништар концентрациясы, катионлик, деформация, ожий деформация; мұраскеб деформация; эластик деформация, пластик деформация; күчиш; бру, стержень, балка, рама, қобик, конструкция, иншоот — (билиш, түшүнүш)
2	Текис изалеттерни геометрик тавсифлаш. Статик ва инерция моменттары. Паразиттес үзарга нисбатан инерция моменттары. Одан кесин юзаларник инерция моменттары. Координацияның инерция моменттарыннан инерция моменттарининг үзарышы. Болш инерция үзары ва бол инерция моменттары. Қаршилик моменттар түшүнүшсі.	TC	M, ME T XGI	Геометрик тасиғи, статик момент, инерлик нарказы, инерция моменти, күб инерция моменти, марапаттан кочма инерция моменти, бөш инерция үзі, болш инерция моменти, қаршилик моменти, инерция размын (билиш, түшүнүш ва құлтап)

3	Чүзгүлшін за сілділін. Күтеги-ниш за деформация. Гүк кону-ни. Эластичлық молуды.	II-19-03 II-19-13 II-19-04 II-19-05. II-19-06 II-19-07 II-19-08 II-19-09 II-19-11 II-19-13	М МЕ ТМ Т ХГИ	Марказай чүзгүлшін за сілділін; чүзгүлшін, сикки-лиш; бүйтама күт, абсолют үзайдын; насбамы үзайдын; Гүк конуның, эластистик молуды, бүйтама же формалық күнделіні; деформация, Гуассон коэффициентін; диаграмма, пропорциональлик шеңбер, эластостик шеңбер, пугаланыш, мұрзатек, кесімшінгі насбамен көсірдірдін, тенг жарылғыш күретүүк бүс; қарордаки күтеги-ниш, қарордаки деформация, мұстахабдік шардың, руссал этидан күтеги-ниш, эхтіелдік коэффициент, статик но-наш масасы, статик ноанастык заражасы, же фор-машыя рәмін болғаныш (білдін, түпнұмын за-күлдеш)
---	--	---	---------------------------	--

4	Күтәнганик қолатер ри. Чындағы жағдайда күтәнганик қолатерлер. Бон қолалар да биш күтәншілер. Күтәншілер дөлдөр. Қажый күтәнганик қолатер. Қажый әсфермадандағы қолатер. Құқуны. Элестік деформацияның эсерлілігі.	П-19-14 П-19-14 П-19-14 ТС	М МЕ ХИ Т	Чындағы күтәнганик қолатер, қояж күтәнниш, қояж нор май күтәнниш, тұлғы күтәнниш, уриңға күтәнниш, күтәнниш күтәнниш, күтәнниш аломат, биш қоя, биш нор таул құлағыны; әкис күтәнниш, Мор лодкаст, қажый күтәнганик. Гүйсінде қажый қолатер, қажым ұшармын, шакы ұшармын (белиш, түштүшіш)
5	Мұстакаммик өзгерілешілдер. Мұтташылдық сәйкеслеши. Классик және мұстахмандық нағариялар.	П-19-21 П-19-22	М Т	Эн ғале биш нормал күтәннисеर, эн ғале индейл деформация, эн қата уриңға күтәнниш, электрлік нағария. Мор назарешісі, мұрт саурашын, пластик сәккышш, харфоп қолат, әсфермадан қолат, әсфермадандараж (белиш, түштүшіш)
6	Сәлжек. Құқуны. Күтәнниш. Деформацияның иеленділіктері. Гарын мөсүлде пайдаланылған бүркінде риң қисебапш	Д-2 ТС	М МЕ Т МТ	Соф сәлжек, сәлжек мөдүлі, абсолют сәлжек; индейл сәлжек, бүркін, қаркыншы, эмлини, зафрешан қоя (белиш, түштүшіш)
7	Буратин. Еуропий мөменик анықшы. Долгравий кесілдеші. Страснда күтәнниншіләр анықшы. Мұстахмандық за бүркіншілар. Винтимон пружиналық қисебапш. Статик нөзандық масалалар.	П-19-15 П-19-16 ТС	М МЕ ТМ Т ХИ	Тасса, шілдік, тағылых күні, буровик мөмнен, буралиш бүрчіл, күнбағ, алғанныштар соңын, бүркіншілар шаршы, көл, үк (белиш, түштүшіш қүтәнниш)

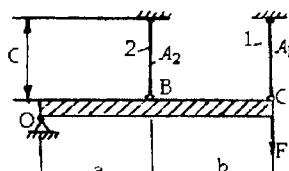
8	Этилами. Ички күч фактора - ролиң анниқдаш. Эбүзүй жомсны, күнделін күч за сұйынан күч интенсивити орасидати диф- ференциал болғандыштар. Нор- мал күнделіншілдік анниқдаш. Нормал күнделін бүйірле мус- тахамдик шартты. Кесістік тәнестіп. Уртака күнделіншілдік анниқдаш. Мұста хамаңыл шары. Журавский формуласынан түрли жекедериз тәбиғи этил. Эги- лиш марзазы. Баланси мүсек- емділіккін бөш күнделіншілдер сүйіча тәжірире. Тенгі ярдилілік күрсетудегі бағдарлар.	II-19-18 Д-3 II-19-20 II-19-19 Д-3 TC	M ME TM T ХИ	Күнделенг күч зертчи жомсны, заңғы тәжірике материял құдайлардың сипаттамалы чүзделді, және ал күтім, радиоел жасым, рухат этилдан жоқ, тені күршилдік күрсатуучи салызы; этилдин марказы (бұлшын, тулуумын за- күлдешіш)
	TC	M ME TM T ХИ	Салжолик, кесімнен айланни бүрчік, зақындык дифференциация; уннан реал формула; Мор интеграл; Верешатын усул, графоаналитик устуң бирлек күч ишшар орасидати болғаныншы; Күнделіншілдер орасидати болғанынш, уч мөмсөн шынындастырылған, күч усулі, көнөнкі іс нюзілері; Узлукес балеzi; бирлек күч күнделіншілдер күтіші (бұлшын, тулуумын зақындык)	

9	Этап спорожненія. Күтпәнниш за тиңламасы.	ТС	М. Т	Этап спорожнеб; эгерлик радиусы; кобілш, можындың на зерін; Лашас төртежмесі (білшік, түшүнші)
10	Мұражаб қарындаштар. Бурағын білең этилдепин биралықтаған тақыры. Қайшық этилдепин. Марказий бұйыматан құйделдің за сиктіліш. Күтпәнниш за жійрал үк тиңламасы.	Д-3 ТС	М МЕ Т ХГИ	Мұражаб қарындаш, келіктердің моменті, құйделік этилдепин; марказалашматаң сиктіліші, кесім япросы; бұйнама на құйделтің этилдепін (білшік, түшүнші за құйделші)
11	Устуроворик. Қріптік мүчін анықташ. Эшлер формуласы. Қріптік күтпәнниш. Эшлер формуласының күзеттің шарасын анықташ. Устуроворик шары. Бұйнама на құйдаланған этилдепіш.	П-19-24 Д-3 П-19-25 П-19-26 ТС	М МЕ Т ХГИ	Кріптік күч, кріптік күтпәнниш; синусомда, ноустуров, этилдепіш; устуроворик шары, мұстақалықса рухад этелдан күтпәннишін камтайдыши коэффициенті; инертологияның устия (білшік, түшүнші за құйделші)
12	Динамик күтпәр. Текис тәжірибелілік атапнана за төбранма характеристикаларда динамик күтпәнништар. Зарб тақыры. Зарб-нин хусусий холдар. Зарба синан.	ТС	М МЕ Т	Инерция күтп, динамик күтпәнниш, синап күтп-неші, динамик коэффициенті, динамик жфор-мадия, тәбраниш амплитудасы, зарб тақыры, зарба синан (білшік, түшүнші)

13	<b>Үзүрүзен күтгөлшілдер.</b> Матрица рәйнін толықини. Үзүрүзен күтгөлшілдер никіп тұрағы. Годанниң дегазгамасы. Носимметрик күтеге тәсіл толықшыларасын анықташ. Үзүрүзен күтгөлшілдерге мүсеб хематика қысабан.	ТС	M МЕ Т	Үзүрүзен күтеги, тоқыши, дағы сұртшы; ұзаруған күтеги амплитудасы; ұзаруған кула ниш лағары; ұзаруған күтеги гүлдәрі; симметрик үзүрүзен күтеги ниш; жостылама тәрік үзүрүзен күтеги, күтеги атты күтеги; чылдаушыл өзара; мәдениетарник күтеги ниш лаға сәзірлілік (біліш, ғұмылш)
14	Матреалі Гүж қонуника бұйсуннайтын мәжітліліктері кула ниш		M Т	(біліш )
15	Яңы матрицалар. Күтеги на жформацияны анықташын яңы устарды		M Т	Технотехникалық туулар; Мұар полосасы (біліш )

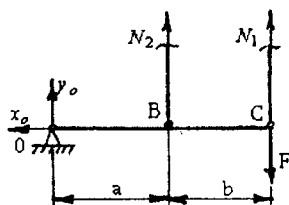
**ЭСЛАТМА:** 1. Ўқударсинг түри - М — маъруза; МЕ — масала ечиш; ТМ — тажриба машғулоти  
 2. Назорат түри - Т — тест синовиары; ХГИ — хисоблаш график ишлари  
 3. Фойдаланыладиган үкитиш техник воситалари ва услугубий күлтәнмалар;  
 П — плакат; Д — диафильм; ТС — таянч сигналлары

## Мор интегралы татбиқ этиладиган масалалар



1-расм.

Чўзилиш ва сиқилиш: **1-масала.** Берилган ОС бикр брус О нуқтада кўзгалмас шарнирли таянчга тиради ва 1 ва 2-стерженларга осилган. Стерженлардаги кучланишлар ва уларга қўйилган кучнинг рухсат этилган қиймати топилсин. Стерженларнинг материали пўлат.



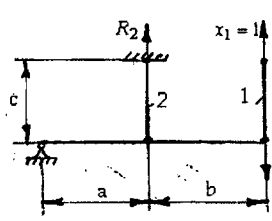
2-расм.

**Ечиш.** Конструкцияни барча ўлчамлари, реакция ва ички кучлари кўрсатилган ҳисоблаш схемасини чизамиз (2-расм). Масаланинг шартига кўра  $N_1$  ва  $N_2$  ички кучлар ёрдамида  $F$  кучни рухсат этилган қиймати топилиши керак.  $N_1$  ва  $N_2$  кучларни аниқлашда шарнирдаги  $x_0$  ва  $y_0$  реакция кучларини топиш шарт эмас.

Шунинг учун учта мувозанат тенгламасидан биттасини:  $\sum M_o = 0$

$$\sum M_o = -N_2 \cdot 1 - N_1 \cdot 2 + F \cdot 2 = 0$$

Хосил бўлган тенгламада номаъумлар сони мувозанат тенгламасидан ортиқча. Демак, масала статик ноаниқ  $N_1$  ва  $N_2$  кучларни топиш учун масалани аниқмаслик дарражасини очиш керак. Бунинг учун куч усулидан фойдаланамиз.



3-расм

**Куч усули** — системани аниқмаслик дарражасини очишнинг умумий усули бўлиб, қуйидаги тартибда амалга оширилади:

1) асосий системани танлаш — статик ноаниқ системадаги битта ортиқча боғланишнинг таъсирини  $x_1 = 1$  бирлик куч таъсири билан алмаштиришдир.

Системани каноник тенгламасини тузамиз. Каноник тенгламаларнинг сони системадаги йўқотилган ортиқча боғланишлар сонига тенг бўлади.  $\delta_{11}X_1 + \Delta_{1F} = 0$

Каноник тенгламадаги  $\delta_{11}$  ва  $\Delta_{1F}$  кўчишларни Мор интеграли ёрдамида топамиз:

$$\delta = \sum \int_0^t \frac{N \cdot N dx}{AE}$$

$\delta_{11} = \int \frac{\bar{N} \cdot \bar{N} dx}{2AE}$  – биринчи стерженни  $x_1 = 1$  бирлик кучи таъсиридан шу куч йўналишидаги кўчиши.

$\bar{N}$  – биринчи ва иккинчи стерженлардаги  $x_1 = 1$  бирлик кучидан ҳосил бўлган ички бўйлама куч.  $\bar{N}$  – кучни аниқлаш учун, асосий системани фақат  $x_1 = 1$  бирлик кучи таъсиридан мувозанат тенгламасини тузамиз.

$$\Sigma M_o = -\bar{R}_2 \cdot 1 - x_1 \cdot 2 = 0, \text{ бу ерда } \bar{R}_2 = -2x_1 = -2$$

$\bar{R}_2$  – иккинчи стержендаги  $x_1 = 1$  бирлик куч таъсиридан ҳосил бўлган бўйлама куч.

Унда:

$$\delta_{11} = \frac{\bar{R}_2 \cdot \bar{R}_2 \cdot \ell_2}{A_2 E} + \frac{x_1 \cdot x_1 \cdot \ell_1}{A_1 E} = \frac{(-2)(-2) \cdot 1}{AE} + \frac{1}{2AE} = 1,125 \cdot 10^{-4} \text{ м}$$

$\Delta_{1F} = \int \frac{N \cdot N dx}{AE}$  – биринчи стерженни ташқи F куч таъсиридан  $x_1 = 1$  бирлик куч йўналишидаги кўчиши.

Бу ерда N – биринчи ва иккинчи стерженлардаги F куч таъсиридан ҳосил бўлган бўйлама куч.

N – кучни топиш учун системани фақат F куч таъсиридан мувозанат тенгламасини тузамиз.

$\bar{N}$  – биринчи ва иккинчи стерженлардаги  $x_1 = 1$  бирлик кучидан ҳосил бўлган бўйлама кучи ( $\bar{N} = -2$ ).

$$\Sigma M_o = -\bar{R}_2 \cdot 1 + 2F = 0 \text{ ва } \bar{R}_2 = 2F$$

$$\text{Унда: } \Delta_{1F} = \frac{\bar{R}_2 \cdot \bar{N} \cdot \ell_2}{A_2 E} = \frac{2F(-2) \cdot 1}{2 \cdot 10^{-4} \cdot 2 \cdot 10^8} = -F \cdot 10^{-4}$$

$\delta_{11}$  ва  $\Delta_{1F}$  кўчишларни каноник тенгламага келтириб қўямиз.

$$1,125 \cdot 10^{-4} \cdot x_1 - F \cdot 10^{-4} = 0 \quad \text{ва} \quad x_1 = \frac{F}{1,125} kH$$

Шундай қилиб,  $N_1 = x_1 = \frac{F}{1,125} kH$  күчни мувозанат системани тенгламасига келтириб қўйиб  $N_2$  күчни топамиз.

$$-N_2 \cdot 1 - 2 \frac{F}{1,125} + 2F = 0 \quad \text{ёки} \quad N_2 \cdot 1 - 2 \frac{F}{1,125} + 2F = 0$$

$$\text{ва} \quad N_2 = \frac{0,25F}{1,125}$$

Стерженларни мустаҳкамлик шартидан фойдаланиб рухсат этилган күчни топамиз:

$$\sigma' = \frac{N_1}{2A} = \frac{F}{2,25A} = \frac{F}{4,5 \cdot 10^{-4}} \leq [\sigma]$$

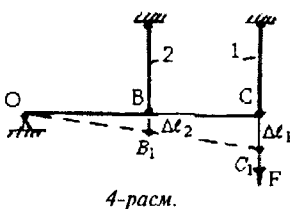
$$\text{Бу ерда: } F_{pux} = 4,5 \cdot 10^{-4} \cdot 160 \cdot 10^3 = 72kH;$$

$$\sigma^{II} = \frac{N_2}{A} = \frac{0,25 \cdot F}{2,25 \cdot 10^{-4}} \leq [\sigma]$$

Бу ерда:  
 $F_{pux} = \frac{2,25 \cdot 10^{-4} \cdot 160 \cdot 10^3}{0,25} = 144kH, \quad F_{pux} = 72kH$  күчни қабул қиласиз.

**Статик ноаниқликини очишни — системани деформация тенгламасини тузиш усули.** Қўшимча — деформация тенгламани тузиши учун системанинг деформациясини ўрганамиз.  $F$  куч таъсирида биринчи ва иккинчи стерженларда  $N_1$  ва  $N_2$  бўйлама кучлар ҳосил бўлади.  $N_1$  ва  $N_2$  кучлар таъсирида биринчи стержень  $\Delta\ell_1$  ва иккинчи стержень  $\Delta\ell_2$  миқдорга узаяди. Натижада ОВС бруслари атрофида айланади. В нуқта  $B_1$  ҳолатга ва С нуқта  $C_1$  ҳолатга кўчади.

Схемада  $\Delta OBB_1 \approx \Delta OCC_1$  ҳосил бўлади. Унда:  $\frac{BB_1}{OB} = \frac{CC_1}{OC}$



$$\text{Бу ерда: } BB_1 = \Delta\ell_2 = \frac{N_2\ell_2}{E_2A_2}; \quad OB = 1\text{м}; \quad CC_1 = \Delta\ell_1 = \frac{N_1\ell_1}{E_1A_1}$$

ва  $OC = 2\text{м}$

$$\frac{N_2\ell_2}{E_2A_2} = \frac{N_1\ell_1}{2 \cdot E_1A_1} \quad \text{ва} \quad \frac{N_2 \cdot 1}{EA} = \frac{N_1 \cdot 1}{2E2A}, \quad \text{бу ерда: } N_2 = \frac{N_1}{4}$$

Системани деформациясини ўрганиш натижасида  $N_2 = N_1 \frac{1}{4}$  тенгламани ҳосил қылдик. Бу тенгликни системани мувозанат тенгламаси билан биргаликда ечиб  $N_1$  ва  $N_2$  күчларни топамиз:

$$-N_2 - 2N_1 + 2F = 0 \quad \text{ва} \quad -\frac{N_1}{4} - 2N_1 + 2F = 0. \quad \text{Үнда } N_1 = \frac{8F}{9}$$

Стерженлардаги бўйлама күчлар ҳар хил бўлса ҳам улардаги кучланишлар бир хил ва ўзаро тенг:  $\sigma' = \sigma = 0,2 \cdot 10^4 F$ .

Стерженлардаги қўйилиши мумкин бўлган чекли юк  $F_{ok}^{uch}$  таъсирида энг аввал иккинчи стерженда оқувчанлик чегараси бошланади (пластик деформация ҳосил бўлади). Үнда иккинчи стержендаги бўйлама куч  $N_2 = \sigma_{ok} \cdot 2A$  га тенг бўлади.

Конструкцияни тўлиқ юк кўтариш қобилияти йўқолиши учун биринчи стерженда ҳам оқувчанлик чегараси бошланиши ёки пластик деформация ҳосил бўлиши керак. Үнда биринчи стержендаги бўйлама куч  $N_1 = \sigma_{ok} \cdot A$  га тенг бўлади. Чекли юк  $F_{ok}^{uch}$  ни топиш учун  $\sum M_0 = 0$  мувозанат тенгламасидан фойдаланамиз:

$$\sum M_0 = -N_1 \cdot 1 - N_2 \cdot 2 + 2F_{ok} = 0$$

$$\text{Бу ерда: } F_{ok}^{uch} = \frac{5\sigma_{ok} \cdot A}{2} = \frac{5 \cdot 240 \cdot 10^3 \cdot 2 \cdot 10^{-4}}{2} = 120\text{kH}$$

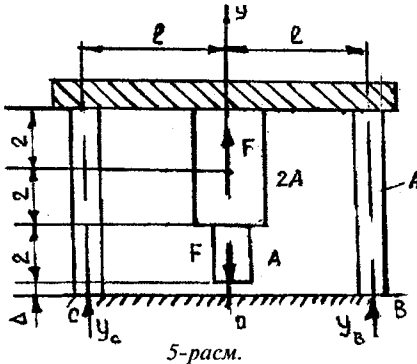
Рухсат этилган кучни эҳтиётлик коэффициенти  $K = 1,5$  дан фойдаланиб топамиз:

$$F_{pyx} = \frac{F_{ok}}{K} = \frac{120}{1,5} \approx 80,0\text{kH}$$

Демак, системани мустақамлик шарти ва чекли күчланиши бўйича рухсат этилган күчлари бир хил экан.

## 2 - масала.

Қўзғалмас таянчга тирадувчи иккита стерженларга ўрнатилган бруsnинг ўртасига погонали стержень осилган. Четки стерженларни кўндаланг кесим юзаси  $A = 20 \cdot 10^{-4} \text{ m}^2$ ; погонали брусларни кўндалсанг кесим юзаси  $A = 3 \cdot 10^{-5} \text{ m}$  масофа етишмайди. Погонали стерженнинг хусусий оғирлигини ҳисобга олмасдан,  $F$  кучни қийматида  $\Delta$  – зазор ёпилиши топилсин. Берилган  $F$  куч таъсиридан погонали стерженини пастки асосида ва ўрга погонали стержень учун бўйлама куч эпюраси қурилсин. Берилган  $F$  куч таъсиридан погонали стерженини пастки асосида ҳосил бўлган реакция нолга тенг бўлиши учун ўртача погонали стерженини неча градусга совутилиши аниқлансин.



$$\text{Берилган } E = 2 \cdot 10^8 \frac{kH}{m^2}, \quad F = 19kH$$

**Ечиш:** С ва В нуқталардаги реакция күчларини топамиз:

$$\sum Y = Y_A - F + F + Y_B = 0; \quad \sum M_c = F\ell - F\ell - Y_B 2\ell = 0$$

Иккита тенгламадан  $Y_A = Y_B = 0$  ҳосил бўлади. Четки стерженлар деформацияга учрамайди.  $\Delta$  – зазор фақат погонали стерженнинг деформацияси натижасида ёпилади.  $\Delta$  – зазор ёпилиш шартидан фойдаланиб  $F$  кучни топамиз:

$$\Delta = \frac{-F \cdot 2}{E2A} + \frac{F \cdot 4}{E2A} + \frac{F \cdot 2}{EA} = \frac{F}{EA}$$

Бу сурда:  $\frac{-F \cdot 2}{E2A}$  – погонали стерженини юқорига йўналган

$F$  куч таъсиридан ҳосил бўлган деформацияси.

$\frac{F \cdot 4}{E2A} + \frac{F \cdot 2}{E2A}$  – погонали стерженни пастига йўналган F куч таъсиридан ҳосил бўлган деформацияси.

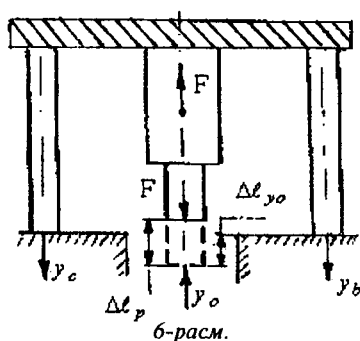
$$\text{Унда } F = \Delta EA = 3 \cdot 10^{-5} \cdot 2 \cdot 10^8 \cdot 20 \cdot 10^{-4} = 12 \text{ kN}$$

Агар, F кучлар бир томонга, масалан, пастига йўналса С ва В нуқталардаги реакциялар  $Y_c = Y_b = F$  бўлади. F кучни қўйидаги тенгламадан топамиз:

$$\Delta = \frac{F \cdot 2}{E2A} + \frac{F \cdot 4}{E2A} + \frac{F \cdot 2}{EA} = \frac{5F}{EA}$$

Юқоридаги ҳисоблаш натижасига кўра берилган F куч  $\Delta$  – зазор ёпилиши учун керак бўлган F кучдан катта эканлиги аниқланди. Демак, зазор ёпилади, натижада ўрта ва четки стерженларни асосида  $Y_c$ ,  $Y_0$  ва  $Y_b$  – реакция кучлари ҳосил бўлади. Реакция кучларни системани мувозанат тенгламаларидан топамиз (6-расм).

$$\sum Y = Y_c - Y_0 + F - F + Y_b = 0; \quad \sum M_c = F\ell - F\ell + Y_0\ell - Y_b 2\ell = 0$$



Мувозанат тенгламаларидан  $Y_c = Y_b = \frac{Y_0}{2}$  ни ҳосил қиласиз.

Демак, мувозанат шартларидан реакция кучларини топиш мумкин эмас. Масала статик ноаниқ.

I. Статик ноаниқликни очишни – системани деформация тенгламасини тузиш усули.

Погонали стерженни берилган F куч таъсиридаги деформациясидан погонали

стерженларни  $Y_0$  – реакция таъсиридаги деформацияси –ни айримасини  $\Delta$  – зазорга тенглаштирамиз (6-расм), яъни  $\Delta l_H - \Delta l_{y_0} = \Delta$

$$\text{Бу ерда: } \Delta l_H = -\frac{F \cdot 2}{EA} + \frac{F \cdot 4}{E2A} + \frac{F \cdot 2}{EA} = \frac{3F}{EA} \text{ ва}$$

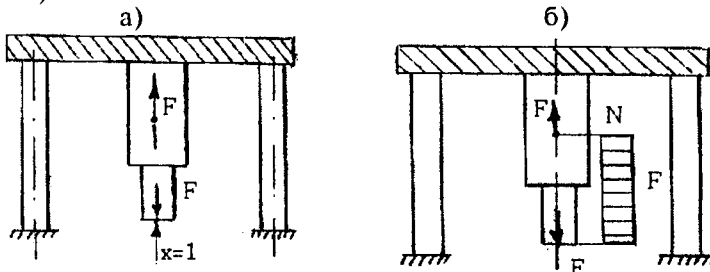
$$\Delta l_{y_0} = \frac{Y_0 \cdot 2}{EA} + \frac{Y_0 \cdot 4}{E2A} + \frac{Y_0 \cdot 6}{EA} = \frac{7Y_0}{EA}$$

$$\text{Унда: } \frac{3F}{EA} - \frac{7Y_0}{EA} = \Delta \text{ тенгламадан } Y_0 = \frac{3F - \Delta EA}{7} = 6,43 \text{ kN}$$

$$Y_c = Y_b = \frac{Y_0}{2} = \frac{6,43}{2} = 3,215 \text{ кН}$$

## II. Статик ноаниқликни очиши — күч усули

Асосий системани ҳосил қилиш учун статик ноаниқ системасидан ортиқча бөлгенишни йүқтотамиз (7-а расм). Берилган схемада О кесимни таянчдан озод этиб, таянч таъсирини  $X=1$  бирлик күч таъсири билан алмаштирамиз. Асосий система — учун берилган күч ва бирлик күчлар таъсиридан бўйлама күч эпюраларини қурамиз (7-б расм)



7-расм.

Агар,  $F$  күчлар бир томонга — пастга йўналса, бўйлама күч эпюраси № четки стерженларда ҳам қурилади (7-б расм), чунки пастга йўналган  $F$  күчлар четки стерженларни сиқади. Натижада четки стерженларда ҳам ички зўриқиши күчлари ҳосил бўлади.

Каноник тенгламани тузамиз:  $\delta_{11}x_1 + \Delta_{1H} = -\Delta$

Каноник тенгламанинг ўнг томонига зазор  $\Delta$  — киритилди, чунки погонали брусни пастки кесимидағи кўчиш нолга тенг эмас, балки зазор  $\Delta$  — га тенг.

Каноник тенгламада  $\Delta$  — зазорни олдинги томонига миинус ишора қўйилди,  $X_1=1$  күчни йўналиши погонали стерженни пастки қисми кўчишининг йўналишига тескари.

$\delta_{11}$  ва  $\Delta_{1F}$  кўчишларини топишда Верещагин усулидан фойдаланамиз:

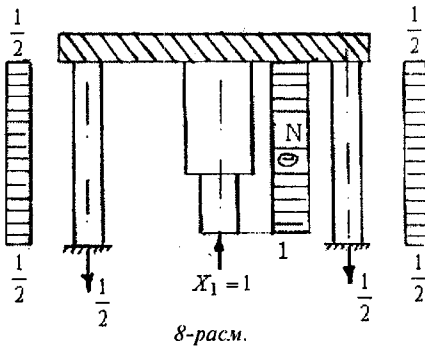
$$\delta = \sum \frac{\omega \cdot y}{AE}$$

Бу ерда:  $\omega$  – бўйлама куч эпюрасининг юзаси;

$y$  – бўйлама куч эпюрасининг юзаси –  $\omega$  – ни оғирлик марказига тўғри келувчи, бирлик куч эпюрасининг ординатаси;

$AE$  – стерженни ўрганилаётган участкасининг бикрлиги;

$\delta_H$  – кўчишни топиш учун бирлик куч эпюрасини ўзини ўзига кўпайтирамиз (8-расм).



$$\delta_H = \frac{1 \cdot 2 \cdot 1}{AE} + \frac{1 \cdot 4 \cdot 1}{2AE} + \frac{\frac{1}{2} \cdot 6 \cdot \frac{1}{2}}{AE} + \frac{\frac{1}{2} \cdot 6 \cdot \frac{1}{2}}{AE} = \frac{7}{AE}$$

$$\delta_H = \frac{7}{20 \cdot 10^4 \cdot 2 \cdot 10^8} = \frac{7}{40} \cdot 10^{-4} \text{ м}$$

$\Delta_{IF}$  – кўчишни топиш учун куч юзаси  $\omega$  ни бислиқ куч эпюрасига кўпайтирамиз:

$$\Delta_{IF} = \frac{F \cdot 2(-1)}{AE} + \frac{F \cdot 2(-1)}{2AE} = -\frac{3F}{AE} = -\frac{3 \cdot 19}{20 \cdot 10^4 \cdot 2 \cdot 10^8} = \frac{-57}{40} \cdot 10^{-4} \text{ м}$$

Топилган  $\delta_H$  ва  $\Delta_{IF}$  – кўчишларни қийматларини каноник тенгламага келтириб қўямиз:

$$\frac{7}{40} \cdot 10^{-4} \cdot x - \frac{57}{40} \cdot 10^{-4} = -3 \cdot 10^{-5}$$

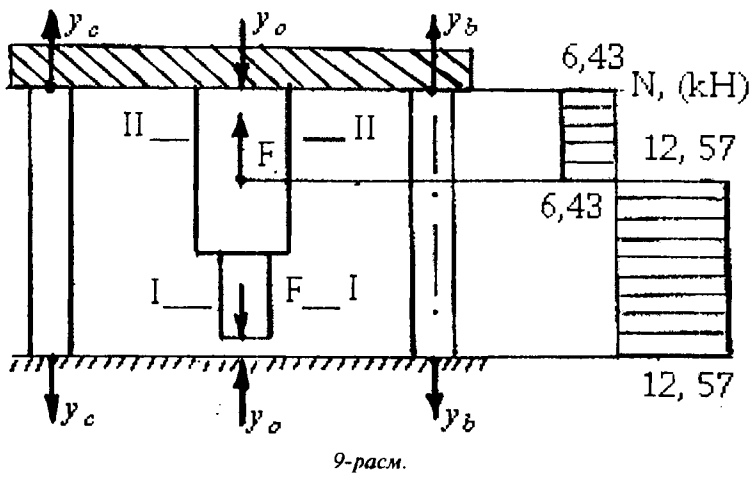
Бу ерда:  $x = 6,43kH$ ; демак,  $x = y_o = 6,43kH$

$$\text{ва } y_c = y_B = \frac{y_o}{2} = \frac{6,43}{2} = 3,215kH$$

Поғонали стержендаги бўйлама кучни топамиз:

I—I участка  $N_1 = F - y_o = 19 - 6,43 = 12,57kH$  (чўзувчи)

II-II участка  $N_2 = F - F - y_o = -6,43kH$  (сиқувчи)



Четки стерженлардаги күчланишларни топамиз.

$$\sigma = \frac{y_c}{A} = \frac{3,215}{20 \cdot 10^{-4}} = 0,16075 \cdot 10^4 \frac{kH}{m^2}$$

Үрта погонали стерженни қанча даражага совутилғандар пастки О кесимдеги реакция күчи  $y_0$  берилған F күчи таъсирида нолға тенг бўлади.

$$\Delta\ell_F - \Delta\ell_I = \Delta \quad \text{ёки} \quad \frac{3F}{EA} - \alpha \cdot \Delta t \cdot \ell = \Delta$$

Бүрда  $\Delta\ell_F = \frac{3F}{EA}$  – пігонали стерженни F күчләри таъси-  
ридан деформациясы;

$\Delta\ell_1 = \alpha \cdot \Delta t \cdot l$  – побоали стерженни температура таъсиридан деформацияси;

$\alpha$  — стержень материалини температура таъсиридан чизиқли кенгайиши коэффициенти;

$\Delta t$  – температуралар фарқи;

$\ell = 6m$ ; поғонали стерженниң узунлиғи.

Погонали стержень совутилса — қисқаради (сиқилади). Шунинг учун формулада  $\Delta\ell$ , – деформация минус ишора билан ёзилған:

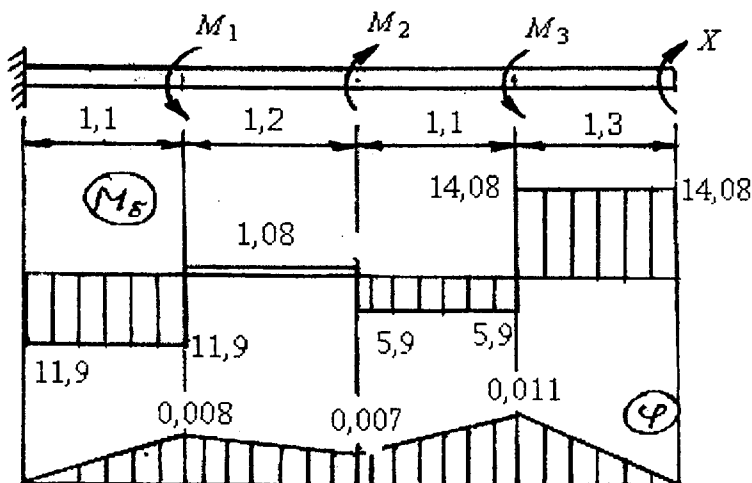
$$\frac{3 \cdot 19}{2 \cdot 10^8 \cdot 20 \cdot 10^{-4}} - 125 \cdot 10^{-7} \cdot \Delta t \cdot 6 = 3 \cdot 10^{-5}$$

$$\text{ва } \Delta t = \frac{\left( \frac{570}{40} - 3 \right)}{7,5} \cdot \frac{10^{-5}}{10^{-5}} = 1,5^\circ$$

### Буралиш

Пүлатдан тайёрланган валга учта момент  $M_1 = 13 \text{ кНм}$ ;  $M_2 = 7 \text{ кНм}$  күйилган:

- 1) Масалани аниқмаслик даражаси икки хил усул (деформацияни таққослаш ва куч усуллари) билан очилсин;
- 2)  $x$  — моментни қайси қийматида вални ўнг кесими-нинг буралиш бурчаги нөлгәтенг бўлади;
- 3)  $x$  — моментни топилган қийматида буровчи моментни эпюраси қурилсин;
- 4) вал материалини буралишга мустаҳкамлик шартидан фойдаланиб, вални диаметрини танланг ( $[\tau] = 50 \text{ МПа}$ );
- 5) буралиш бурчаги эпюраси қурилсин.



10-расм.

## Деформацияни таққослаш усули

**Ечиш.** Масалани шартига асосан номаълум  $x$  моментни қиймати шундай танланиши керакки, К кесимни О кесимга нисбатан буралиш бурчаги нолга тенг бўлсин. Бунинг учун валга қўйилган барча моментлар ва  $x$  момент таъсиридан К кесимни О кесимга нисбатан буралиш бурчагларининг йифиндисини нолга тенглаштирамиз:

$$\varphi_k = \varphi_{km_1} + \varphi_{km_2} + \varphi_{km_3} + \varphi_{kx} = 0$$

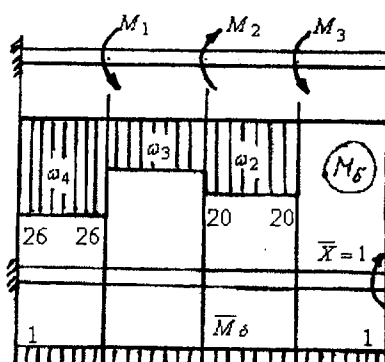
$$\text{Бу ерда: } \varphi_{km_1} = \frac{-M_1 \cdot 1,1}{GI_\rho}; \quad \varphi_{km_2} = \frac{M_2 \cdot 2,3}{GI_\rho}$$

$$\varphi_{km_3} = \frac{-M_3 \cdot 3,4}{GI_\rho}; \quad \varphi_{kx} = \frac{x \cdot 4,7}{GI_\rho} \quad \text{Унда:}$$

$$\frac{-M_1 \cdot 1,1}{GI_\rho} + \frac{M_2 \cdot 2,3}{GI_\rho} - \frac{M_3 \cdot 3,4}{GI_\rho} + \frac{x \cdot 4,7}{GI_\rho} = 0 \quad \text{ва } x = 14,085 kNm$$

## Статик аниқмасликни очишни куч усули

Валдан ортиқча боғланишни ташлаб юборамиз ва асосий системани ҳосил қиласиз. Вални ортиқча боғланиши деб, К — кесимни буралишига ҳақиқий берадётган  $x$  моментни қабул қиласиз.



II-расм.

Масалани шартига асосан К кесимни буралиш бурчаги нолга тенг бўлиши керак. Ана шу шартни каноник тенглама кўринишида ёзамиш:

$$\delta_{II} x + \Delta_{IM} = 0.$$

Асосий системада ташки моментлардан буровчи моментни аниқлаймиз ва эпюрасини қурамиз (11-расм).

I—I участок  $M_{I\delta} = 0$

II-II участка  $M_{2\delta} = -M_3 = -20 \text{кНм}$

III-III участка  $M_{3\delta} = -M_3 + M_2 = -20 + 7 = -13 \text{кНм}$

IV-IV участка  $M_{4\delta} = -M_3 + M_2 - M_1 = -26 \text{кНм}$

Вални узунлиги бўйлаб  $\bar{x} = 1$  бирлик куч таъсиридан ҳосил бўлган  $\bar{M}_\delta = 1$  бирлик момент эпюрасини қурамиз (11-расм).

Каноник тенгламадаги коэффициентларни ҳар бир оралиқ учун Мор интегралини Верещагин усули билан топамиз.

$$\text{I-I участка } \varphi_I = \int_0^{1,3} \frac{\dot{M}_{1\delta} \cdot \bar{M}_\delta}{GI_\rho} dx = 0$$

$$\text{II-II участка } \varphi_{II} = \int_0^{1,1} \frac{\dot{M}_{2\delta} \cdot \bar{M}_\delta}{GI_\rho} = \frac{\omega_2 \cdot \bar{M}_\delta}{GI_\rho}$$

Бу ерда  $\omega_2 = 20 \cdot 1,1 = 22 \text{кНм}^2$  – вални иккинчи участкаси-даги куч юзаси (11-расм).

$\bar{M}_\delta$  – иккинчи участка куч юзасининг оғирлик маркази остида жойлашган бирлик момент эпюрасининг ординатаси,  $\bar{M}_\delta = 1$ .

$$\text{Унда } \varphi_{II} = \frac{22 \cdot 1}{GI_\rho} = -\frac{22}{GI_\rho}$$

$$\text{III-III участка } \varphi_{III} = \frac{\omega_3 \cdot \bar{M}_\delta}{GI_\rho} = \frac{-13 \cdot 1,2 \cdot 1}{GI_\rho} = -\frac{15,6}{GI_\rho}$$

$$\text{IV-IV участка } \varphi_{IV} = \frac{\omega_4 \cdot \bar{M}_\delta}{GI_\rho} = \frac{-26 \cdot 1,1 \cdot 1}{GI_\rho} = -\frac{28,6}{GI_\rho}$$

$$\text{Унда: } \Delta_{IM} = \varphi_I + \varphi_{II} + \varphi_{III} + \varphi_{IV} = \frac{-22}{GI_\rho} - \frac{15,6}{GI_\rho} - \frac{28,6}{GI_\rho} = -\frac{66,2}{GI_\rho}$$

$\delta_{II}$  – кўчишини топиш учун Верещагин усулидан фойдаланамиз (11-расм).

$$\text{I-I участка } \varphi^1 = \int_0^{1,3} \frac{\dot{M} \cdot \bar{M}}{GI_\rho} dx = \frac{\omega \cdot \bar{M}}{GI_\rho}$$

Бу ерда  $\omega$  — бирлик момент эпюрасини биринчи участка-даги юзаси:

$$\omega = 1 \cdot 1,3 = 1,3 \text{ ва } M = 1. \text{ Унда: } \varphi^I = \frac{1,3}{GI_p}$$

$$\text{II-II участка } \varphi^{II} = \frac{1,1}{GI_p}$$

$$\text{III-III участка } \varphi^{III} = \frac{1,2}{GI_p}$$

$$\text{IV-IV участка } \varphi^{IV} = \frac{1,1}{GI_p}$$

$$\text{Унда } \delta_H = \varphi^I + \varphi^{II} + \varphi^{III} + \varphi^{IV} = \frac{1,3}{GI_p} + \frac{1,1}{GJ_p} + \frac{1,2}{GJ_p} + \frac{1,1}{GJ_p} = \frac{4,7}{GJ_p}$$

Топилган коэффициентларни каноник тенгламага келтириб қўямиз:

$$\frac{4,7}{GI_p} \cdot x - \frac{66,2}{GJ_p} = 0, \text{ бу ердан } x = -\frac{\Delta_{JM}}{\delta_H} = \frac{66,2}{4,7} = 14,085 \text{ kNm}$$

Энди берилган система учун (10-расм) буровчи момент эпюрасини қурамиз:

$$\text{I-I участка } M_\delta = x = 14,085 \text{ kNm}$$

$$\text{II-II участка } M_\delta = x - M_3 = 14,085 - 20 = -5,915 \text{ kNm}$$

$$\text{III-III участка}$$

$$M_\delta = x - M_3 + M_2 = 14,085 - 20 + 7 = 1,085 \text{ kNm}$$

$$\text{IV-IV участка}$$

$$M_\delta = x - M_3 + M_2 - M_1 = 14,085 - 20 + 7 - 13 = -11,915 \text{ kNm}$$

Буровчи момент эпюрасидан вални энг хавфли кесимини танлаймиз:  $M_{\delta_{\max}} = 14,085 \text{ kNm}$ . Валнинг диаметрини топамиз:

$$d = \sqrt[3]{\frac{16M_{\delta_{\max}}}{\pi[\tau]}} = \sqrt[3]{\frac{16 \cdot 14,085}{3,14 \cdot 50 \cdot 10^3}} = 0,113 \text{ m}$$

$d = 0,12 \text{ m} = 120 \text{ mm}$  қабул қиласиз. Буралиш бурчагини

Гук қонунига асосан топамиз.  $\varphi = \frac{M_\delta \cdot \ell}{GI_p}$ , бу ерда

$G = 8 \cdot 10^7 \frac{kH}{m^2}$  – вал материалынг силжиш модули;  
 $I_\rho = \frac{\pi d^4}{32}$  – вал кесимини қутб инерция моменти.

$$\text{Үнда, } GI_\rho = 8 \cdot 10^7 \cdot \frac{3,14 \cdot (0,12)^4}{32} = 1627,8 kNm^2$$

$$\text{I—I участка } \varphi_1 = \frac{14,085x_1}{1627,8}; \quad 0 \leq x_1 \leq 1,3m$$

$x_1 = 0$  бўлса,  $\varphi_1 = \varphi_k = 0$ .  $x_1 = 1,3m$  бўлса,  $\varphi_1 = \varphi_B = 0,01125$  рад

$$\text{II—II участка } 0 \leq x_2 \leq 1,1m \quad \varphi_{II} = 0,01125 - \frac{5,915 \cdot x_2}{1627,8}$$

$x_2 = 0$  бўлса,  $\varphi_{II} = \varphi_B = 0,01125$  рад

$x_2 = 1,1m$  бўлса,  $\varphi_{II} = \varphi_C = 7,25 \cdot 10^{-3}$  рад

$$\text{III—III участка } 0 \leq x_3 \leq 1,2m \quad \varphi_{III} = 0,00725 + \frac{1,085 \cdot x_3}{1627,8}$$

$x_3 = 0$  бўлса,  $\varphi_{III} = \varphi_C = 0,00725$  рад

$x_3 = 1,2m$  бўлса,  $\varphi_{III} = \varphi_D = 0,00805$  рад

$$\text{IV—IV участка } 0 \leq x_4 \leq 1,1m \quad \varphi_{IV} = 0,00805 - \frac{11,915 \cdot x_4}{1627,8}$$

$x_4 = 0$  бўлса,  $\varphi_{IV} = \varphi_D = 0,00805$  рад

$x_4 = 1,1m$  бўлса,  $\varphi_{IV} = \varphi_O = 0,00805 - 0,00805 = 0$  рад

## АДАБИЁТЛАР

1. *М.Т. Ўроздоев*. Материаллар қаршилиги курси. Т., 1973 й.
2. *К.М. Мансуров*. Материаллар қаршилиги. Т., 1983 й.
3. *С.А. Йўлдошбеков*. Материаллар қаршилиги. Т., 1983 й.
4. *С.Смирнов*. Материаллар қаршилиги. Т., 1998 й.
5. *Г.С. Писаренко*. Сопротивление материалов. Киев, 1988 г.
6. *Н.Н. Беляев*. Сопротивление материалов. М., 1973 г.
7. *В.К. Каучурин*. Материаллар қаршилигидан масалалар тўплами. Т., 1998 й.
8. *Г.С. Писаренко и другие*. Справочник по сопротивлению материалов, Киев, 1975 г.
9. *В.А. Гастев*. Краткий курс сопротивления материалов. М., 1977 г.
10. *Н.К. Снитко*. Сопротивление материалов. Л., 1975 г.
11. *М.В. Рубинин*. Руководство и практические занятия по сопротивлению материалов. М., 1957 г.
12. *А.С. Вольмир*. Сборник задач по сопротивлению материалов. М., 1984 г.
13. *Г.М. Ицкович и другие*. Руководство к решению задач по сопротивлению материалов. Р., 1963 г.
14. *А.В. Дарков, Г.С. Шниро*. Сопротивление материалов. М., 1989 г.
15. *В.И. Федосьев*. Сопротивление материалов. М., 1989 г.
16. *М.М. Фалоненко-Бородин и другие*. Курс сопротивления материалов. Том-1. М., 1956 г.
17. *П.А. Степин*. Сопротивление материалов. М., 1988 г.
18. *А.В. Александров*. Сборник задач по сопротивлению материалов. М., 1977 г.

## **МУНДАРИЖА**

Кириш .....	5
Куч ва куч турлари .....	8
Деформация ва қўчиш .....	11
Материаллар қаршилигига қабул қилинган гипоте- залар .....	12
Конструкция элементлари .....	13

## **I БОБ. ТЕКИС КЕСИМ ЮЗАЛАРИНИНГ ГЕОМЕТРИК ТАВСИФЛАРИ**

1.1. Статик момент ва инерция моментлар .....	15
1.2. Параллел ўқларга нисбатан инерция моментлар ...	17
1.3. Оддий кесим юзаларининг геометрик тавсифлари	18
1.4. Оддий кесим юзаларининг қаршилик моментлари	21
1.5. Координата ўқларини айлантирганда инерция моментлари .....	22
1.6. Инерция эллипси ҳақида тушунча .....	27
Масалалар .....	29

## **II БОБ. ЧЎЗИЛИШ ВА СИҚИЛИШ**

2.1. Бўйлама куч. Кучланиш ва деформация .....	46
2.2. Ҳарорат таъсирида кучланиш ва деформация .....	49
2.3. Ҳусусий оғирлик таъсиридаги стерженнинг чўзилиш ёки сиқилишини ҳисоблаш .....	50
2.4. Чўзилиш ва сиқилишда статик ноаниқ системалар	53
2.5. Материалларни чўзилиш ва сиқилишга синаш .....	55
2.5.1. Юмшоқ пўлатнинг чўзилиш диаграммаси .....	56
2.5.2. Материалларни чўзилиш ва сиқилиш диаграм- малари .....	60

2.5.3. Чўзилиш ва сиқилишда потенциал энергия .....	64
2.6. Рухсат этилган кучланишни танлаш .....	64
2.7. Кучланишлар концентрацияси .....	65
2.8. Контакт кучланишлар ҳақида тушунча .....	66
2.9. Қаттиқлик .....	67
2.10. Янги материалларнинг механик тавсифлари .....	68
Масалалар .....	69

### III БОБ. КУЧЛАНГАНЛИК ҲОЛАТЛАРИ ВА МУСТАҲКАМЛИК НАЗАРИЯЛАРИ

3.1. Чизиқли кучланганлик ҳолати .....	111
3.2. Текис кучланганлик ҳолати .....	113
3.3. Кучланишларни график усулда топиш .....	115
3.4. Ҳажмий кучланганлик ҳолати .....	118
3.5. Ҳажмий деформация .....	120
3.6. Деформациянинг потенциал энергияси .....	121
Масалалар .....	122
3.7. Мустаҳкамлик назариялари .....	125

### IV БОБ. СИЛЖИШ

4.1. Соф силжишда кучланиш ва деформация .....	138
4.2. Соф силжишда рухсат этилган кучланиш .....	142
4.3. Парчин михли бирималарни ҳисоблаш .....	143
4.4. Пайванд бирималар .....	145
Масалалар .....	147

### V БОБ. БУРАЛИШ

5.1. Буровчи момент ҳақида тушунча .....	150
5.2. Доиравий кесим юзали брусларнинг буралишда кучланиш ва деформация .....	152
5.3. Буралишда мустаҳкамлик ва бирлик шартлари ....	155
5.4. Буралишда статик аниқмас масала .....	156
5.5. Буралишда кучланиш ҳолатининг таҳлили .....	157

5.6. Буралышда потенциал энергия .....	158
5.7. Винтсимон цилиндрик пружиналарни ҳисоблаш .	159
5.8. Кесими доирвий бўлмаган стерженларнинг буралиши .....	161
Масалалар .....	163

## VI БОБ. ЭГИЛИШ

6.1. Таянч ва таянч турлари .....	181
6.2. Эгилишда ички кучларни аниқлаш .....	182
Масалалар .....	186
6.3. Эгилишда нормал кучланишни аниқлаш .....	196
6.3.1. Турли кесимлар учун нормал кучланиш эпюраси .....	201
6.4. Эгилишда уринма кучланишни аниқлаш .....	204
6.4.1. Журавский формуласини турли кесимларга татбиқ этиш .....	208
6.5. Балкалар мустаҳкамлигини бош кучланишлар бўйича текшириш .....	218

## VII БОБ. ЭГИЛИШДА БАЛКАЛАРНИНГ КЎЧИШНИИ АНИҚЛАШ

7.1. Салқилик ва кесимнинг айланиш бурчаги .....	229
7.2. Балка эгилиш ўқининг дифференциал тенгламаси	230
7.3. Бошланғич параметрлар усули .....	232
7.4. Эгилишда кўчишни топишнинг графоаналитик усули .....	235
Масалалар .....	237
7.5. Тенг қаршилик кўрсатувчи балкалар. Ўзгарувчан кесимли балкаларда кўчишларни аниқлаш .....	262
7.6. Эгилишда кўчишларни топишнинг энергетик усуллари .....	265
7.6.1. Эгилишда деформациянинг потенциал энер- гияси .....	265

7.6.2. Ишлар орасидаги боғланишлар теоремаси.	
Кўчишлар орасидаги боғланишлар теоремаси .	267
7.6.3. Эгилишда кўчишларни аниқлашнинг Мор интеграли .....	270
7.6.4. Верещагин қоидаси .....	271
7.7. Статик аниқмас системалар .....	272
7.8. Узлуксиз балкалар. Уч момент теоремаси .....	276
7.9. Статик аниқмас рамаларни ҳисоблаш .....	280
Масалалар .....	282

## VIII БОБ. ЭГРИ СТЕРЖЕНЛАР

8.1. Эгувчи момент, кўндаланг ва бўйлама кучларни аниқлаш .....	308
8.2. Кўндаланг ва бўйлама кучлар билан боғлиқ бўлган кучланишлар .....	310
8.3. Эгувчи момент билан боғлиқ бўлган қучланишни аниқлаш .....	310
8.4. Эгри стерженда нейтрал ўқ ҳолатини аниқлаш ...	314
8.5. Эгри стерженларда мустаҳкамлик шартлари .....	315
Масалалар .....	316
8.6. Юпқа деворли идишларни ҳисоблаш .....	322

## IX БОБ. МАТЕРИАЛИ ГУК ҚОНУНИГА БЎЙСУНМАЙДИГАН БАЛКАЛАРНИНГ ЭГИЛИШИ

Кучланиш .....	338
----------------	-----

## X БОБ. МУРАККАБ ҚАРШИЛИКЛАР

10.1. Эгилиш билан буралишининг биргаликдаги таъсири .....	344
10.2. Қийшиқ эгилиш .....	347
10.3. Марказлашмаган сиқилиш (чўзилиш) .....	351
10.4. Эгилиш билан чўзилишни ёки сиқилишнинг бирга- ликдаги таъсири .....	356

Масалалар .....	357
-----------------	-----

## XI БОБ. СИҚИЛГАН СТЕРЖЕНЛАРНИ УСТУВОРЛИККА ҲИСОБЛАШ

Устуворлик ҳақида түшүнчә .....	367
11.1. Критик күчни аниқлаш. Эйлер формуласи .....	368
11.2. Эйлер формуласини ишлатиш чегарасини аниқлаш .....	371
11.3. Сиқилган стерженнинг күндаланг кесимдаги рационал шакли .....	373
11.4. Сиқилган стерженларни устуворликка амалий ҳисоблаш .....	375
11.5. Бўйлама ва кўндаланг эгилиш .....	377
Масалалар .....	380

## XII БОБ. ДИНАМИК КУЧЛАР

Умумий түшүнчалар .....	391
12.1. Текис тезланишли ҳаракатда кучланишни аниқлаш .....	392
12.2. Тебранма ҳаракатда кучланишни аниқлаш .....	395
12.3. Зарб таъсирида кучланиш .....	397
12.4. Ўзгарувчан кесимли стерженларда зарб таъсиридаги куchlаниш .....	402

## XIII БОБ. ЎЗГАРУВЧАН КУЧЛАНИШЛАР

Умумий түшүнчалар .....	407
13.1. Кучланиш циклларининг турлари .....	408
13.2. Симметрик циклда чидамлилик чегарасини аниқлаш .....	410
13.3. Носимметрик циклда чидамлилик чегарасини аниқлаш .....	412
13.4. Чидамлилик чегарасига таъсир қилувчи факторлар .....	414

13.5. Ўзгарувчан кучланишларда мустаҳкамлик	
шарти .....	415
Масалалар .....	418

## XIV БОБ. ДЕФОРМАЦИЯ ВА КУЧЛАНИШЛARНИ ЭКСПЕРИМЕНТАЛ ТЕКШИРИШ

Экспериментал текширишнинг аҳамияти ва	
принципи .....	431
Чўзилиш ва сиқилиш деформациясини электротензометр	
ёрдамида аниқлаш .....	433
Валнинг буралиш деформациясини тензодатчик	
ёрдамида аниқлаш .....	437
Лок қопламалари усули .....	439
Кучланишларни поляризацион-оптик усулда	
аниқлаш .....	441
Материаллар қаршилиги фанини ўқитиш услубиятига	
доир .....	447
Материаллар қаршилиги фанидан тест саволлари .....	479
Таянч ибораларининг лугавий маъноси .....	514
Адабиётлар .....	551

*Нарзулла Бибутов*

**МАТЕРИАЛЛАР ҚАРШИЛИГИ АСОСЛАРИ**

*Ўзбекистон Республикаси Олий ва ўрта маҳсус таълим вазирлиги томонидан олий ўқув юртлари талабалари учун дарслик сифатида тавсия этилган*

*Нашриёт муҳаррир **M. Йўлдошева***

*Техник муҳаррир **Б. Ашуроғ***

*Мусаҳҳих **Н. Фозилова***

*Компьютерда тайёрловчи **T. Каримон***

Босишга 20.05.03 й.да рухсат этилди. Қоғоз формати  $84 \times 108^{1/32}$ .  
Шартли б.т. 33,б. Нашр табоги 34,3. Адади 1000 нусха.  
Буюртма № 52  
Баҳоси шартнома асосида.

«Минҳож» нашриёти. Тошкент, Буюк Турон кўчаси, 41.

Фан ва технологиялар маркази босмахонасида чоп этилди. Тошкент,  
Олмазор кўчаси, 171.

**Б 66** **Бибутов Н.С.** Материаллар қаршилиги асослари: Олий ўқув юртларининг талабалари учун дарслик.—Т.: «Минҳож» нашр., 2003.— 560 б.